

АКАДЕМИЯ НАУК СОЮЗА ССР

№ 31 (1957)

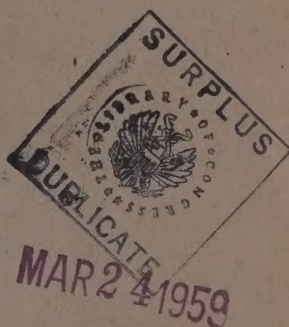
5 - MAR 26  
Сору *Sup* 1959

# ЖУРНАЛ ФИЗИЧЕСКОЙ ХИМИИ

SOURCE UNKNOWN

ТОМ  
XXXI

*no PTC*



*LC*  
*Monthly*  
**1**

ВЫПУСК

ЯНВАРЬ  
1957

---

ИЗДАТЕЛЬСТВО АКАДЕМИИ НАУК СССР  
МОСКВА

# ЖУРНАЛ ФИЗИЧЕСКОЙ ХИМИИ

*Редакционная коллегия:*

В. Я. АНОСОВ, К. В. АСТАХОВ, А. И. БРОДСКИЙ, Г. К. БОРЕСКОВ,  
Я. И. ГЕРАСИМОВ, С. В. ГОРБАЧЕВ, Г. С. ЖДАНОВ, Л. А. НИКОЛАЕВ,  
Н. Н. СЕМЕНОВ, А. Н. ТЕРЕНИН, А. Н. ФРУМКИН,  
К. В. ЧМУТОВ

*Главный редактор* Я. И. ГЕРАСИМОВ

*Заместители главного редактора* С. В. ГОРБАЧЕВ, К. В. ЧМУТОВ

*Отв. секретарь* Л. А. НИКОЛАЕВ

# Ж У Р Н А Л Ф И З И Ч Е С К О Й Х И М И И

*Редакционная коллегия:*

В. Я. АНОСОВ, К. В. АСТАХОВ, А. И. БРОДСКИЙ, Г. К. БОРЕСКОВ,  
Я. И. ГЕРАСИМОВ, С. В. ГОРБАЧЕВ, Г. С. ЖДАНОВ,  
Л. А. НИКОЛАЕВ, Н. Н. СЕМЕНОВ, А. Н. ТЕРЕНИН, А. Н. ФРУМКИН,  
К. В. ЧМУТОВ

*Главный редактор* Я. И. ГЕРАСИМОВ

*Заместители главного редактора* С. В. ГОРБАЧЕВ, К. В. ЧМУТОВ

*Отв. секретарь* Л. А. НИКОЛАЕВ

31 РТ1

ТОМ XXXI, 1957 г.





## КИНЕТИКА РЕАКЦИЙ НА ПОВЕРХНОСТЯХ ТВЕРДЫХ ТЕЛ ПРОБЛЕМА КАТАЛИЗАТОРА НАИБОЛЬШЕЙ АКТИВНОСТИ\*

*М. И. Темкин*

Эта статья посвящена процессам гетерогенного катализа и некоторым близким к ним реакциям газов с твердыми телами. Из двух больших групп, а которые могут быть разбиты главные каталитические механизмы: 1) окислительно-восстановительные реакции и 2) кислотно-основные реакции, — будут рассматриваться лишь примеры реакций, принадлежащих к первой группе.

Для гетерогенного катализа, как и для катализа вообще, мыслимы следующие типы действия катализаторов:

1. В ходе реакции катализатор образует с исходными веществами промежуточные соединения в широком смысле слова. При гетерогенном катализе промежуточными соединениями являются химически адсорбированные частицы «поверхностные соединения». Такой путь протекания реакции обозначают как «стадийный катализ».

Представим энергетические соотношения при элементарных актах реакции в виде многомерной поверхности, дающей потенциальную энергию реагирующей системы, как функцию координат атомов. При стадийном катализе на этой поверхности, кроме минимумов, отвечающих начальному и конечному состоянию, будет существовать один или несколько минимумов, отвечающих промежуточным соединениям. Сечение такой поверхности, отвечающее наивыгоднейшему пути реакции, схематически представлено на рис. 1, а.

2. Катализатор участвует своим химическим сродством в образовании переходного состояния (активированного комплекса), но не образует промежуточных соединений в указанном выше смысле. Такой тип катализа соответствует терминам «действие контактом», «деформационный катализ» и т. п.

В этом случае поверхность потенциальной энергии не содержит других минимумов, кроме тех, которые соответствуют начальному и конечному состоянию. Соответствующее сечение поверхности представлено на рис. 1, б.

В последние годы ряд авторов, из них в наиболее общей форме Н. Н. Семенов и В. В. Воеводский [1—6], выдвигают гипотезы о цепных механизмах гетерогенного катализа. Такие механизмы близки к представлению о стадийном катализе, поскольку они включают образование реакционно-способных промежуточных соединений, но в то же время имеют и специфические черты, обычные для цепных схем. Имеющиеся по этому вопросу опытные данные [4] еще недостаточны для определенных выводов.

Представляет большой интерес задача нахождения новых экспериментальных путей для определения длинны цепей при гетерогенном катализе. Одним из таких путей могло бы служить изучение совместного действия ионизирующих излучений и катализатора, если бы излучение приводило к зарождению цепей, развивающихся далее на поверхности катализатора.

\* Этой статьей Редакция возобновляет печатание серии обобщающих статей посвященных актуальным вопросам современной физической химии. Редакция просит читателей присылать свои соображения и пожелания по содержанию этих статей и называть те проблемы физической химии, которые по их мнению заслуживают освещения в статьях такого рода.

фс. M128/13  
8796  
108

Суждение об относительной распространенности указанных типов каталитического действия может быть сделано на основе обобщения данных по механизму отдельных каталитических реакций. Как будет показано ниже, простая схема механизма реакции, относящаяся к типу стадийного катализа, позволяет получить кинетические уравнения ряда реакций, как частные случаи общего рассмотрения.

Указанная схема дает также возможность обсудить проблему, в общей форме выдвинутую А. А. Баландиным [7], о том, какой катализатор для данной реакции будет показывать наибольшую удельную активность (т. е. активность единицы поверхности) и можно ли произвести выбор наиболее активного катализатора на основе данных по энергиям связи атомов с поверхностью катализатора или других данных термодинамического характера. Эту проблему можно считать одной из центральных для теории подбора катализаторов.

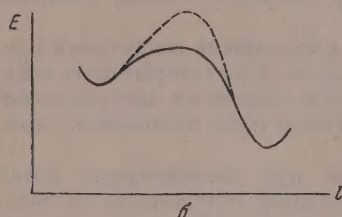
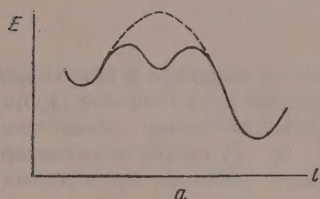
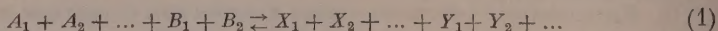


Рис. 1.  $E$  — потенциальная энергия,  $l$  — реакционная координата; пунктир — энергетический профиль в отсутствие катализатора; сплошная кривая — то же, в присутствии катализатора

### ОБОБЩЕННАЯ СХЕМА МЕХАНИЗМА ПОВЕРХНОСТНЫХ РЕАКЦИЙ

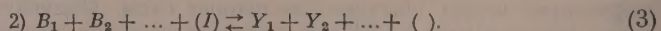
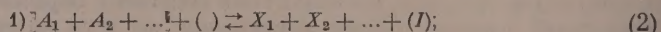
Мы будем обсуждать газовые реакции, хотя результаты допускают использование их и для реакций в растворах. Рассмотрение относится к кинетической области, т. е. предполагается, что диффузионное торможение реакции отсутствует.

Пусть на поверхности гетерогенного катализатора протекает обратимая реакция



Здесь  $A_1, A_2, \dots, B_1, B_2, \dots$  — газообразные исходные вещества, а  $X_1, X_2, \dots, Y_1, Y_2, \dots$  — газообразные продукты реакции.

Примем, что эта реакция включает в качестве промежуточного вещества частицу  $I$ , находящуюся на поверхности в химически адсорбированном состоянии. Это состояние мы обозначим  $(I)$ , заключая символ частицы в скобки. Пустые скобки  $( )$  будут обозначать свободное место на поверхности.  $(I)$  образуется из части исходных молекул  $A_1, A_2, \dots$ , а затем реагирует с другими исходными молекулами  $B_1, B_2, \dots$ . Таким образом реакция протекает в две стадии:

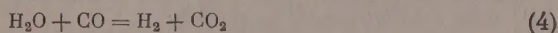


Часть продуктов реакции —  $X_1, X_2, \dots$  образуется в первой, а часть —  $Y_1, Y_2$  — во второй стадии.

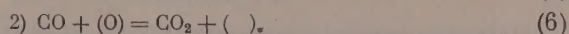
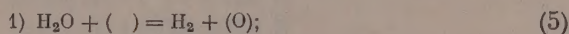
Приведенная схема является, в сущности, простейшей из мыслимых схем с участием промежуточных веществ — она включает только одну промежуточную частицу. Поэтому мы будем называть ее простой двухстадийной схемой. Очевидно, что число стадий и промежуточных частиц может быть больше. Несмотря на это, схема, выражаемая уравнениями (2) и (3), позволяет описать (иногда с некоторыми упрощениями) механизм целого ряда реакций, в том числе реакций, имеющих большое значение в химической технологии, как это будет показано на примерах.



Реакция водяного газа. Механизм этой реакции (называемой также конверсией окиси углерода) на катализаторе  $\text{Fe}_3\text{O}_4$ , установленный на основе кинетического исследования [8], полностью отвечает простой двухстадийной схеме. Суммарная реакция



слагывается из стадий:

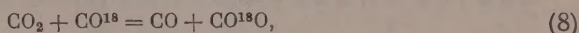


Соответствие между уравнениями (1) — (3) и (4) — (6) устанавливается следующей таблицей:

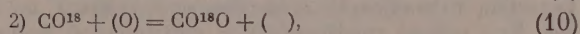
$$\frac{A_1}{\text{H}_2\text{O}} \frac{B_1}{\text{CO}} \frac{X_1}{\text{H}_2} \frac{Y_1}{\text{CO}_2} \frac{(I)}{(O)}. \quad (7)$$

Поскольку реакция протекает, по-видимому, на частично восстановленной поверхности  $\text{Fe}_3\text{O}_4$ , в данном случае было бы естественнее обозначить стадию  $\text{CO} + (\text{O})$ , как первую. Чтобы достичь согласия с обобщенной схемой, нумерация стадий изменена.

Изотопный обмен. Обмен тяжелым кислородом между  $\text{CO}_2$  и  $\text{CO}$  был изучен на поверхности  $\text{Fe}_3\text{O}_4$  [9], а также на поверхности угля [10]. Реакция



протекает по схеме:



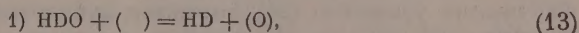
являющейся частным случаем простой двухстадийной схемы, в соответствии с таблицей:

$$\frac{A_1}{\text{CO}_2} \frac{B_1}{\text{CO}^{18}} \frac{X_1}{\text{CO}} \frac{Y_1}{\text{CO}^{18}\text{O}} \frac{(I)}{(O)}. \quad (11)$$

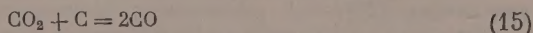
Такого же рода механизмы мыслимы и в других случаях изотопного обмена. Так, например, обмен



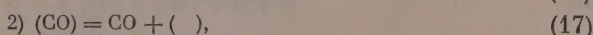
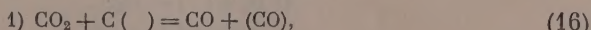
на  $\text{Ni}$  и подобных поверхностях может протекать по схеме:



Реакции углекислого газа и водяного пара с углем. Хотя реакция



не является гетерогенно-каталитической, ее механизм может быть представлен схемой, по существу не отличающейся от рассмотренных. Кислород, химически адсорбированный на поверхности угля, удаляется с нее в виде  $\text{CO}$  [11], поэтому можно отождествить, в случае поверхности угля,  $(\text{O})$  и  $(\text{CO})$ . Учитывая это, стадии реакции (15) могут быть представлены следующим образом [12, 10]:



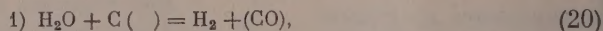
в согласии с простой двухстадийной схемой, как показывает таблица:

$$\frac{A_1}{\text{CO}_2} \frac{B_1}{\text{CO}} \frac{X_1}{\text{CO}} \frac{Y_1}{\text{CO}(\text{CO})} \frac{(I)}{(O)}. \quad (18)$$

## Сходство кинетики реакции



с кинетикой реакции (15) [13] дает основание предполагать, что реакция (19) имеет следующий механизм:

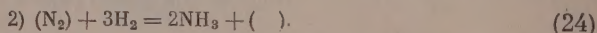
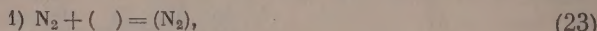


Нетрудно видеть, что реакции (4), (8), (12), (15) и (19) образуют группу взаимно связанных процессов, имеющих общие стадии. Действительно, стадии (10) и (9) совпадают со стадией (6) в прямом и обратном направлении, а также со стадией (16); таково же взаимоотношение стадий (13) и (14) со стадией (5), а также (20). Далее, совпадают стадии (17) и (21). Поэтому кинетические характеристики рассмотренных реакций при протекании их на одной и той же поверхности связаны определенными соотношениями. Зная скорость реакции (4) на  $\text{Fe}_3\text{O}_4$ , можно предсказать скорость реакции (8) на этом катализаторе, а исходя из данных по скорости реакции (15), можно предсказать скорость реакции (8) на поверхности угля. Ожидаемые соотношения наблюдаются на опыте [9, 10], что подтверждает излагаемые представления о механизме реакций.

Синтез аммиака. Кинетика синтеза аммиака



изучена как на железе [14], так и на ряде других металлов [15]. Механизм реакции, отвечающий кинетическим данным, во всех случаях один и тот же. Его можно представить в упрощенной форме, если пренебречь диссоциацией молекулы  $\text{N}_2$  на атомы N при хемосорбции и принять, что  $\text{N}_2$  в адсорбированном состоянии занимает одно место на поверхности:



Мы приходим к простой двустадийной схеме:

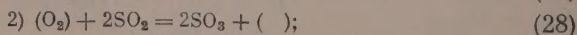
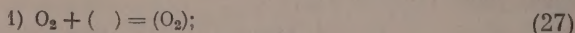
$$\frac{A_1}{N_2} \frac{B_1}{H_2} \frac{B_2}{H_2} \frac{B_3}{H_2} \frac{X_1}{-} \frac{Y_1}{\text{NH}_3} \frac{Y_2}{\text{NH}_3} \frac{(I)}{(N_2)} \quad (25)$$

Фактически уравнение (24) выражает суммарный результат нескольких процессов, но так как соответствующие промежуточные вещества, которыми могут быть  $(\text{NH})$ ,  $(\text{NH}_2)$  и  $(\text{H})$ , не занимают заметной части поверхности, а, кроме того, стадия (24) протекает быстро по сравнению с (23), нет надобности учитывать более детально процессы, суммированные уравнением (24).

Контактное окисление сернистого газа. Для объяснения кинетики реакции



на  $\text{V}_2\text{O}_5$ , установленной эмпирически [16], было выдвинуто [17] предположение о механизме реакции, которое можно представить следующим образом:



$$\frac{A_1}{\text{O}_2} \frac{B_1}{\text{SO}_2} \frac{B_2}{\text{SO}_2} \frac{X_1}{-} \frac{Y_1}{\text{SO}_3} \frac{Y_2}{\text{SO}_3} \frac{(I)}{(\text{O}_2)} \quad (29)$$

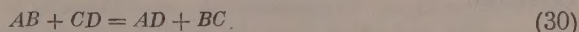
Здесь сделаны такие же упрощения, как и в схеме механизма предыдущей реакции.



Механизм, выражаемый уравнениями (27) и (28), получил подтверждение при исследовании реакции (26) на  $\text{Fe}_2\text{O}_3$  [18].

Приведенные до сих пор примеры являлись конкретными реакциями. Теперь возьмем пример другого рода.

Реакции двойного разложения. Поляни [19] в качестве модели гетерогенного каталитического процесса рассмотрел воображаемую реакцию:



Согласно Поляни, для осуществления этой реакции служат четыре поверхностных атома катализатора. Реакция происходит так, как показано на рис. 2, наличие у поверхностных атомов катализатора,  $K$ , свободных валентностей создает возможность reactionного пути, требующего малой энергии активации.

Схема Поляни может быть включена в простую двустадийную схему, если считать четыре атома  $K$  отвечающими одному месту поверхности

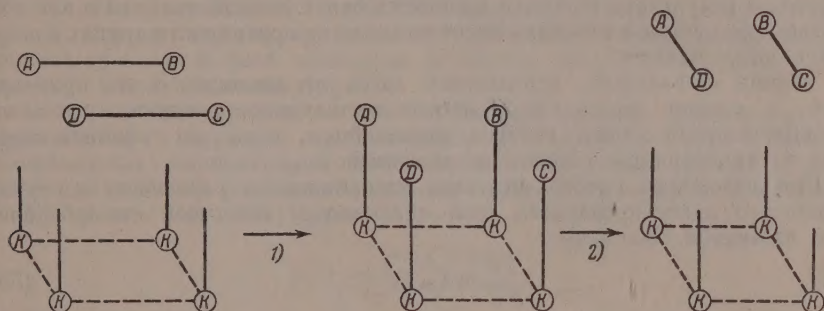
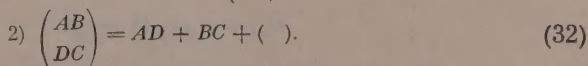
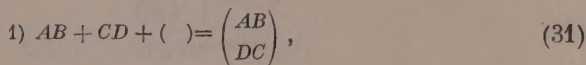


Рис. 2

Это было бы строго верно, если бы атомы  $K$  были расположены изолированными группами по четыре атома в каждой; поскольку в действительности они образуют плоскую решетку, указанное упрощающее предположение вносит определенную ошибку, так как не учитывает «перекрывание» групп по четыре атома, служащих возможным местом образования промежуточного соединения. Однако без этого упрощения задача вывода кинетического уравнения была бы слишком сложной.

Аналогичное упрощение было сделано и выше, когда было принято, что молекула  $\text{N}_2$  или  $\text{O}_2$  занимает на поверхности одно место, а не два. Однако в этих примерах, как можно показать, трактовка, предполагающая, что адсорбция  $\text{N}_2$  (соответственно,  $\text{O}_2$ ) сопровождается диссоциацией на атомы, приводит к кинетическому уравнению, совпадающему с вытекающим из приведенной здесь упрощенной схемы [17, 15] (для области средних покрытий поверхности и при линейной зависимости энергии адсорбции от покрытия).

Таким образом мы представим стадии процесса (30) следующим образом:



Реакции, описываемые уравнением (30), рассматривал в ряде работ А. А. Баландин. В последних работах он, так же как и Поляни, принимает, что эти реакции требуют четырех атомов катализатора [20], хотя

обозначает их как «дублетные» в соответствии с ранней формулировкой теории, в которой учитывались только два атома катализатора. Основное отличие концепций А. А. Баландина и Поляни состоит в том, что первый допускает возможность рассмотрения «мультиплетного комплекса»  $\begin{pmatrix} AB \\ DC \end{pmatrix}$  как переходного состояния, а не только как промежуточного соединения, т. е. не предпринимает выбора между деформационным и стадийным типом катализа.

### КИНЕТИКА РЕАКЦИЙ В ИДЕАЛЬНЫХ АДсорбированных СЛОЯХ

Будем называть идеальным [21] адсорбированный слой, удовлетворяющий следующим условиям («простая адсорбция» по Лэнгмюру [22]): 1) все места поверхности одинаковы; иными словами, поверхность однородна; 2) взаимодействие адсорбированных частиц друг с другом не имеет места.

Понятие взаимодействия адсорбированных частиц включает любой эффект, в результате которого прочность связи данной частицы с поверхностью изменяется в зависимости от наличия на поверхности других адсорбированных частиц.

Термин «идеальный» использован здесь по аналогии с его применением в теории растворов и противопоставляется понятию «реальный адсорбированный слой», которое применяется, если по крайней мере одно из приведенных условий не выполнено.

При адсорбции одного вещества адсорбционное равновесие в случае идеального адсорбированного слоя описывается известной гиперболической изотермой Лэнгмюра:

$$\Gamma = \Gamma_{\infty} \frac{p}{p + b}, \quad (33)$$

где  $\Gamma$  — адсорбированное количество,  $p$  — равновесное давление газа,  $b$  и  $\Gamma_{\infty}$  — постоянные.

Картина идеального адсорбированного слоя является в большинстве случаев слишком упрощенной, однако она служит удобным исходным пунктом для рассмотрения.

Обозначим скорость первой стадии, уравнение (2), в прямом направлении через  $\omega_1$ , а в обратном направлении — через  $\omega_{-1}$ , соответствующие обозначения для второй стадии, уравнение (3), будут  $\omega_2$  и  $\omega_{-2}$ .

Введем для краткости обозначения  $p_A = p_{A_1} p_{A_2} \dots$ ,  $p_B = p_{B_1} p_{B_2} \dots$ , где  $p_{A_i}$  — парциальное давление вещества  $A_i$  в газовой фазе и т. д. Мы будем предполагать, что все вещества, кроме промежуточного вещества  $I$ , адсорбируются слабо и поэтому не покрывают заметной части поверхности. Степень покрытия поверхности веществом  $I$  [т. е. отношение числа мест, занятых ( $I$ ), к общему числу мест на поверхности] обозначим через  $\eta$ . Тогда мы получаем следующие уравнения для скорости отдельных стадий:

$$\omega_1 = \kappa_1 p_A (1 - \eta); \quad (34)$$

$$\omega_{-1} = \kappa_{-1} p_X \eta; \quad (35)$$

$$\omega_2 = \kappa_2 p_B \eta; \quad (36)$$

$$\omega_{-2} = \kappa_{-2} p_Y (1 - \eta). \quad (37)$$

Здесь  $\kappa_1$ ,  $\kappa_{-1}$  и т. д. — константы скорости.

Уравнения (34) — (37) применимы, если активированные комплексы первой и второй стадий образуются непосредственно из газовых молекул (в случае реакций, скорость которых  $\omega_1$  и  $\omega_{-2}$ ), и, соответственно, из газовых



молекул и частиц ( $I$ ) (в случае реакций, скорость которых  $\omega_{-1}$  и  $\omega_2$ ). Они верны также, если часть молекул (или все молекулы), прежде чем вступить в реакцию, должна быть предварительно адсорбирована, при условии, что соответствующие адсорбционные равновесия устанавливаются быстро, по сравнению с протеканием процессов (2) и (3). Действительно, в этом случае химический потенциал участников реакции в газообразном и адсорбированном состоянии одинаков, и при вычислении концентрации активированных комплексов на поверхности, определяющей скорость реакции, необходимость предварительной адсорбции не имеет значения. Если в ходе реакции, требующей предварительной адсорбции каких-либо веществ, адсорбционное равновесие по отношению к этим веществам нарушено, то такого рода реакция требует для трактовки ее кинетики более сложной схемы, чем рассматриваемая.

Чтобы процесс (1) протекал стационарно, т. е. при постоянной  $\eta$ , должно быть выполнено условие:

$$\omega_1 + \omega_{-2} = \omega_{-1} + \omega_2. \quad (38)$$

Это условие тривиально для случая длительно протекающей реакции в проточной или проточно-циркуляционной [23] системе, когда концентрации веществ в газовой фазе постоянны (в случае проточной системы — для данного сечения катализатора).

Если реакция проводится в статической системе, уравнение (38) выполняется с хорошим приближением и отвечает известному методу стационарных концентраций Боденштейна. Оно применялось в ряде работ для описания результатов опытов в статических условиях [24, 25, 12].

Уравнения (34) — (38) дают

$$\frac{\eta}{1 - \eta} = \frac{\kappa_1 p_A + \kappa_{-2} p_Y}{\kappa_{-1} p_X + \kappa_2 p_B}, \quad (39)$$

откуда

$$\eta = \frac{\kappa_1 p_A + \kappa_{-2} p_Y}{\kappa_1 p_A + \kappa_{-1} p_X + \kappa_2 p_B + \kappa_{-2} p_Y}, \quad (40)$$

$$1 - \eta = \frac{\kappa_{-1} p_X + \kappa_2 p_B}{\kappa_1 p_A + \kappa_{-1} p_X + \kappa_2 p_B + \kappa_{-2} p_Y}. \quad (41)$$

Наблюдаемая скорость реакции (1), которую мы обозначим  $\omega$ , очевидно, выражается через скорости стадий (2) и (3) следующим образом (при стационарном течении процесса):

$$\omega = \omega_1 - \omega_{-1} = \omega_2 - \omega_{-2}. \quad (42)$$

Отсюда получаем, что

$$\omega = \frac{\kappa_1 p_A \kappa_2 p_B - \kappa_{-1} p_X \kappa_{-2} p_Y}{\kappa_1 p_A + \kappa_{-1} p_X + \kappa_2 p_B + \kappa_{-2} p_Y}. \quad (43)$$

Введем обозначения

$$\omega_+ = \frac{\kappa_1 p_A \kappa_2 p_B}{\kappa_1 p_A + \kappa_{-1} p_X + \kappa_2 p_B + \kappa_{-2} p_Y}, \quad (44)$$

$$\omega_- = \frac{\kappa_{-1} p_X \kappa_{-2} p_Y}{\kappa_1 p_A + \kappa_{-1} p_X + \kappa_2 p_B + \kappa_{-2} p_Y}, \quad (45)$$

тогда

$$\omega = \omega_+ - \omega_-. \quad (46)$$

Естественно считать величину  $\omega_+$  скоростью реакции (1) в прямом направлении, а  $\omega_-$  — скоростью реакции (1) в обратном направлении.

При равновесии в отношении реакции (1)  $\omega = 0$ , так что  $\omega_+ = \omega_-$ . Таким образом, в согласии с термодинамическим законом действующих

масс, при равновесии

$$\frac{p_X p_Y}{p_A p_B} = K, \quad (47)$$

причем константа равновесия  $K$  следующим образом выражается через константы скорости:

$$K = \frac{\kappa_1 \kappa_2}{\kappa_{-1} \kappa_{-2}}. \quad (48)$$

Приведенная трактовка близка к предложенному Д. А. Франк-Каменецким и А. Ф. Семечковой [12] выводу кинетического уравнения для реакции (15).

Подставляя, в соответствии с таблицей (18), в уравнения (44) и (45) значения  $p_A = p_{\text{CO}_2}$ ,  $p_B = 1$  (поскольку в схеме данной реакции  $B_1$  отсутствует),  $p_X = p_{\text{CO}}$ ,  $p_Y = p_{\text{CO}}$ , мы получаем

$$\omega_+ = \frac{\kappa_1 p_{\text{CO}_2}}{1 + \frac{\kappa_{-1}}{\kappa_2} p_{\text{CO}} + \frac{\kappa_1 + \kappa_{-2}}{\kappa_2} p_{\text{CO}_2}} \quad (49)$$

и соответствующее уравнение для  $\omega_-$ , что совпадает с результатом Д. А. Франк-Каменецкого и А. Ф. Семечковой.

Если в системе, содержащей реагирующие вещества и катализатор, имеет место равновесие по отношению к суммарной реакции (1), то должны быть осуществлены и равновесия, отвечающие отдельным стадиям (2) и (3). Так как скорость достижения последних равновесий, вообще говоря, неодинакова, то по мере приближения системы к равновесному состоянию одно из равновесий (2) или (3) будет уже практически достигнуто, в то время как скорость реакций другой стадии в прямом и обратном направлении будет еще существенно различна; при этом мы не будем иметь равновесия и в отношении суммарной реакции (1).

Таким образом для систем, близких к равновесию, мы можем считать одну из стадий равновесной, а другую — лимитирующей скорость. Это позволяет упростить форму уравнения кинетики реакции.

Равновесия, подобные выражаемым уравнениями (2) или (3), было предложено [26] называть адсорбционно-химическими равновесиями. Они доступны прямому экспериментальному изучению. Исследовано равновесие (24) на поверхности железного катализатора синтеза аммиака [26] и равновесие (5) на такой же поверхности [27] и на поверхности  $\text{Fe}_3\text{O}_4$  и других окислов [28].

Условие равновесия для стадии 1) [уравнение (2)], т. е. равенство  $\omega_1 = \omega_{-1}$ , дает согласно уравнениям (34) и (35)

$$\frac{p_X \eta}{p_A (1 - \eta)} = K_1, \quad (50)$$

где  $K_1$  — константа равновесия стадии 1), причем

$$K_1 = \frac{\kappa_1}{\kappa_{-1}}. \quad (51)$$

Аналогично для стадии 2) [уравнение (3)] получаем

$$\frac{p_Y (1 - \eta)}{p_B \eta} = K_2 \quad (52)$$

и

$$K_2 = \frac{\kappa_2}{\kappa_{-2}}. \quad (53)$$



Уравнения (48), (51) и (53) дают соотношение между константой равновесия суммарного процесса (1) и константами равновесия стадий (2) и (3)

$$K = K_1 K_2, \quad (54)$$

которое, разумеется, можно получить и термодинамическим путем.

### КИНЕТИКА РЕАКЦИЙ В РЕАЛЬНЫХ АДСОРБИРОВАННЫХ СЛОЯХ

При экспериментальном изучении адсорбционных равновесий и адсорбционно-химических равновесий в широком интервале изменения химического потенциала адсорбированных частиц выясняется, что гиперболическая изотерма адсорбции (33) и уравнения типа (50) или (52) для адсорбционно-химических равновесий, отвечающие картине идеального адсорбированного слоя, не передают действительных соотношений. В соответствии с этим кинетика реакций на твердых поверхностях часто не описывается уравнением (43), хотя их механизм укладывается в стадийную схему, представленную уравнениями (2) и (3).

Опытные результаты, относящиеся к равновесиям и кинетике реакций, в ряде случаев могут быть описаны, если для области средних покрытий поверхности заменить изотерму адсорбции (33) логарифмической изотермой

$$\Gamma = C_1 + C_2 \ln p \quad (55)$$

( $C_1$  и  $C_2$  — постоянные) и соответствующим образом изменить формулировку кинетических закономерностей.

Истолкование такого рода зависимостей требует отказа, по крайней мере, от одного из предположений, лежащих в основе картины идеального адсорбированного слоя. Поэтому существующие объяснения свойств реальных адсорбированных слоев опираются на предположение о существовании сил взаимодействия адсорбированных частиц или на предположение о неоднородности поверхности.

Первое предположение может быть конкретизировано как представление о существовании эффекта взаимного влияния адсорбированных частиц, подобного взаимному влиянию заместителей в ароматических соединениях [29]. Элементарный расчет этого эффекта, использующий модель поверхностного электронного газа [30], приводит к линейной зависимости энергии связи адсорбированных частиц с поверхностью от степени заполнения (в области средних заполнений), что отвечает логарифмической изотерме (55). Другой подход к истолкованию физической природы взаимодействия адсорбированных атомов, также приводящий к указанной линейной зависимости, был предложен Бударом [31].

Более разработана трактовка, использующая представление о неоднородности поверхности [32, 17, 33—35]. Было найдено общее решение математической задачи определения характера неоднородности поверхности по форме изотермы адсорбции (в предположении отсутствия сил взаимодействия адсорбированных частиц) [33]. Позднее тот же результат был получен независимо Сипсом [36]. Аналогичный подход позволяет определить характер неоднородности поверхности по кинетике реакции [34]. Логарифмической изотерме отвечает поверхность, равномерно неоднородная по энергиям связи частиц с поверхностью [17, 33]. Кинетические соотношения при таком характере неоднородности также близки к вытекающим из представления о взаимном влиянии адсорбированных частиц [17]. Поэтому, если даже в действительности отклонения от свойства идеального адсорбированного слоя обусловлены взаимным влиянием адсорбированных частиц, можно пользоваться картиной неоднородной поверхности без взаимодействия адсорбированных частиц, как приближенным эквивалентом однородной поверхности, на которой проявляются силы взаимного влияния. Этот путь будет использован здесь для вывода уравнений кинетики реакций в реальных адсорбированных слоях.

В случае неоднородной поверхности каждому месту на ней отвечают определенные значения констант скорости реакций (2) и (3), которые наблюдались бы на воображаемой однородной поверхности, все места которой обладают свойствами, идентичными с рассматриваемым местом. Мы обозначим соответствующие величины для данного места неоднородной поверхности по-прежнему через  $\kappa_1$ ,  $\kappa_{-1}$  и т. д.

Пронумеруем мысленно все места поверхности в порядке убывания энергии связи промежуточной частицы  $I$  с поверхностью; отношение номера места к общему числу мест на поверхности единичной площади обозначим через  $s$ . Величины  $\kappa_1$ ,  $\kappa_{-1}$  и т. д., таким образом, являются функциями  $s$ . Скорость реакции на неоднородной поверхности мы получим путем сложения вкладов отдельных участков поверхности в общую величину скорости, т. е. путем интегрирования по параметру  $s$ ; при этом пределы изменения  $s$ , очевидно, будут 0 и 1.

Для группы мест, отвечающих значениям  $s$ , лежащим в узких пределах от  $s$  до  $s + ds$ , можно считать  $\kappa_1$ ,  $\kappa_{-1}$  и т. д. одинаковыми, так что эта группа мест эквивалентна однородной поверхности. Ее вклад в общую скорость стационарной реакции,  $d\omega$ , определяется, в соответствии с уравнением (43), следующим равенством:

$$d\omega = \frac{\kappa_1 p_A \kappa_2 p_B - \kappa_{-1} p_X \kappa_{-2} p_Y}{\kappa_1 p_A + \kappa_{-1} p_X + \kappa_2 p_B + \kappa_{-2} p_Y} ds. \quad (56)$$

Как и прежде, условно рассматривая общую скорость реакции как разность скоростей реакции в прямом и обратном направлении, определяемых уравнениями (44) и (45), имеем

$$d\omega_+ = \frac{\kappa_1 p_A \kappa_2 p_B}{\kappa_1 p_A + \kappa_{-1} p_X + \kappa_2 p_B + \kappa_{-2} p_Y} ds; \quad (57)$$

$$d\omega_- = \frac{\kappa_{-1} p_X \kappa_{-2} p_Y}{\kappa_1 p_A + \kappa_{-1} p_X + \kappa_2 p_B + \kappa_{-2} p_Y} ds. \quad (58)$$

Тогда скорость реакции в прямом направлении

$$\omega_+ = \int_0^1 \frac{\kappa_1 p_A \kappa_2 p_B}{\kappa_1 p_A + \kappa_{-1} p_X + \kappa_2 p_B + \kappa_{-2} p_Y} ds, \quad (59)$$

скорость реакции в обратном направлении

$$\omega_- = \int_0^1 \frac{\kappa_{-1} p_X \kappa_{-2} p_Y}{\kappa_1 p_A + \kappa_{-1} p_X + \kappa_2 p_B + \kappa_{-2} p_Y} ds, \quad (60)$$

и наблюдаемая скорость реакции  $\omega$  определяется по уравнению (46).

Чтобы из уравнений (59) и (60) получить кинетику реакции, нужно знать вид зависимости величин  $\kappa_1$ ,  $\kappa_{-1}$  и т. д. от  $s$ . Обозначим через  $\varepsilon$  теплоту адсорбции частицы  $I$  на местах поверхности данного сорта. Предположение о равномерной неоднородности поверхности по величинам  $\varepsilon$  означает, что

$$\varepsilon = \varepsilon^0 - Cs, \quad (61)$$

где  $\varepsilon^0$  — наибольшее значение  $\varepsilon$ , отвечающее  $s = 0$ , и  $C$  — постоянная. Как уже отмечено выше, это предположение отвечает логарифмической изотерме адсорбции вещества в области средних степеней покрытия поверхности. Строго говоря, логарифмической изотерме соответствует линейная зависимость от  $s$  стандартного химического потенциала адсорбированных частиц [33]. Мы будем здесь пользоваться более наглядной

формулировкой, оперирующей энергией связи  $\epsilon$  частиц  $I$  с поверхностью, что предполагает независимость от  $s$  стандартной энтропии адсорбированных частиц.

Обозначим через  $Q_1$  тепловой эффект (убыль энтальпии) первой стадии на данном сорте мест поверхности, через  $Q_2$  — то же для второй стадии. Нетрудно видеть, что из уравнения (61) следуют зависимости:

$$Q_1 = Q_1^0 - Cs, \quad (62)$$

$$Q_2 = Q_2^0 + Cs, \quad (63)$$

где  $Q_1^0$  и  $Q_2^0$  — значения величин при  $s = 0$ .

Принимая стандартную энтропию адсорбированных частиц не зависящей от  $s$ , получаем для констант равновесия уравнения:

$$K_1 = K_1^0 e^{-fs}, \quad (64)$$

$$K_2 = K_2^0 e^{fs}, \quad (65)$$

где  $K_1^0$  и  $K_2^0$  — значения  $K_1$  и  $K_2$  при  $s = 0$ , и

$$f = \frac{C}{RT}. \quad (66)$$

Уравнения (64) и (65) можно бы получить и непосредственно из линейной зависимости стандартного химического потенциала частиц ( $I$ ) от  $s$ .

В ряду аналогичных реакций константы равновесия и константы скорости часто связаны соотношениями, прототипом которых служит известное уравнение Бренстеда для соотношения между константой каталитического действия кислоты и ее константой диссоциации. Мы примем, что такого рода соотношение выполняется в нашем случае при переходе от одного места поверхности к другому. Это значит, что для первой стадии реакции

$$x_1 = g_1 K_1^{\alpha_1}, \quad (67)$$

$$x_{-1} = g_1 K_1^{-\beta_1}, \quad (68)$$

где  $g_1$ ,  $\alpha_1$  и  $\beta_1$  — постоянные.

Аналогично для второй стадии

$$x_2 = g_2 K_2^{\beta_2}, \quad (69)$$

$$x_{-2} = g_2 K_2^{-\alpha_2}, \quad (70)$$

где  $g_2$ ,  $\alpha_2$  и  $\beta_2$  — другие постоянные.

Теория предэкспоненциального фактора уравнения Аррениуса для реакций на твердых поверхностях [37] показывает, что при переходе от одного места неоднородной поверхности к другому эта величина в первом приближении может быть принята неизменной. Поэтому уравнения (69) и (70) эквивалентны следующим соотношениям для энергии активации  $E$  первой и второй стадий:

$$E_1 = (\text{const})_1 - \alpha_1 Q_1, \quad (71)$$

$$E_{-1} = (\text{const})_1 + \beta_1 Q_1, \quad (72)$$

$$E_2 = (\text{const})_2 - \beta_2 Q_2, \quad (73)$$

$$E_{-2} = (\text{const})_2 + \alpha_2 Q_2. \quad (74)$$

Таким образом величины  $E$  и  $Q$  для разных мест данной поверхности связаны линейными зависимостями. Естественно считать, что чем больше  $\epsilon$  — энергия связи частицы  $I$  с поверхностью, тем меньше энергия ак-

тивации реакций, при которых эта связь образуется, и тем больше энергия активации реакций, при которых эта связь рвется. Поэтому  $\alpha_1$ ,  $\alpha_2$ ,  $\beta_1$  и  $\beta_2$  в предыдущих уравнениях должны быть положительными величинами. К такому же выводу приводит интерпретация соотношений типа уравнений (71) — (74) при помощи потенциальных кривых [38].

Если в системе, содержащей катализатор с неоднородной поверхностью, устанавливается термодинамическое равновесие, то равенство скоростей прямых и соответствующих их обратных процессов должно осуществляться для каждого сорта мест на поверхности независимо от наличия других мест (принцип детального равновесия). Таким образом для всех мест должны выполняться уравнения (51) и (53). Поэтому из уравнений (67) и (68) следует, что

$$\alpha_1 + \beta_1 = 1, \quad (75)$$

а из уравнений (69) и (70)

$$\alpha_2 + \beta_2 = 1. \quad (76)$$

Согласно уравнениям (75) и (76), постоянные  $\alpha_1$  и  $\alpha_2$ , а также  $\beta_1$  и  $\beta_2$  заключены между нулем и единицей.

Величины  $\alpha$  и  $\beta$  и соотношение  $\alpha + \beta = 1$  были введены А. Н. Фрумкинским [39] при рассмотрении влияния потенциала электрода на энергию активации процесса разряда иона  $\text{H}_3\text{O}^+$  и обратного ему процесса ионизации адсорбированного Н. Имеющие здесь место зависимости аналогичны рассмотренным выше.

Из уравнений (64), (65) и (67) — (70) следует, что константы скорости процессов (2) и (3) на неоднородной поверхности, подчиняющейся уравнению (61), должны следующим образом зависеть от значения параметра  $s$ :

$$x_1 = x_1^0 e^{-\alpha_1 s}, \quad (77)$$

$$x_{-1} = x_{-1}^0 e^{\beta_1 s}, \quad (78)$$

$$x_2 = x_2^0 e^{\beta_2 s}, \quad (79)$$

$$x_{-2} = x_{-2}^0 e^{-\alpha_2 s}. \quad (80)$$

Здесь  $x_i^0$  — значение  $x_i$  при  $s = 0$  и т. д.

Уравнения (77) — (80), совместно с уравнениями (59) и (60), определяют кинетику реакции. Для облегчения интегрирования примем, что

$$\alpha_1 = \alpha_2 = \alpha, \quad \beta_1 = \beta_2 = \beta. \quad (81)$$

Разумеется,

$$\alpha + \beta = 1. \quad (82)$$

Предположение (81) не ограничивает существенно наше обсуждение, так как во многих случаях одна из стадий может быть принята за равновесную, и в таком случае ее кинетика не имеет значения; кроме того, обычно оказывается, что  $\alpha = \beta = 1/2$ , так что действительно  $\alpha_1 = \alpha_2$ .

Введем обозначение

$$u = \frac{x_{-1} p_X + x_2 p_B}{x_1 p_A + x_{-2} p_Y}. \quad (83)$$

Сравнивая уравнения (83) и (39), мы видим, что

$$u = \frac{1 - \eta}{\eta}, \quad (84)$$

где через  $\eta$  обозначена вероятность для данного места быть занятым (следовательно,  $1 - \eta$  — вероятность для данного места быть свободным).



Уравнения (83) и (77) — (80) дают

$$s = \frac{1}{f} \ln u \frac{x_{1P_A}^0 + x_{-2P_Y}^0}{x_{-1P_X}^0 + x_{2P_B}^0}. \quad (85)$$

Деля числитель и знаменатель подинтегрального выражения в уравнении (59) на  $x_{1P_A}^0 + x_{-2P_Y}^0$  и используя уравнение (85), получаем

$$\omega_+ = \frac{1}{f} \frac{x_{1P_A}^0 x_{2P_B}^0}{(x_{1P_A}^0 + x_{-2P_Y}^0)^\alpha (x_{-1P_X}^0 + x_{2P_B}^0)^\beta} \int_{u_0}^{u_1} \frac{u^{\beta-1} du}{1+u}. \quad (86)$$

Здесь  $u_0$  и  $u_1$  — значения  $u$  при  $s = 0$  и  $s = 1$ . Примем, что реакция протекает в области средних покрытий поверхности веществом  $I$  и что неоднородность поверхности велика, т. е. что  $f = C/RT \gg 1$ . В таком случае наиболее сильно адсорбирующие места будут практически все время покрыты частицами  $I$ , а наиболее слабо адсорбирующие — практически все время свободны. Таким образом при  $s = 0$   $\eta \approx 1$ , а, следовательно,  $u_0 \approx 0$ ; при  $s = 1$   $\eta \approx 0$  и  $u_1 \approx \infty$ .

Как известно,

$$\int_0^\infty \frac{u^{\beta-1} du}{1+u} = \frac{\pi}{\sin \beta\pi}, \quad 0 < \beta < 1. \quad (87)$$

Так как  $\sin \beta\pi = \sin \alpha\pi$ , мы получаем для области средних покрытий поверхности

$$\omega_+ = \frac{1}{f} \frac{\pi}{\sin \alpha\pi} \frac{x_{1P_A}^0 x_{2P_B}^0}{(x_{1P_A}^0 + x_{-2P_Y}^0)^\alpha (x_{-1P_X}^0 + x_{2P_B}^0)^{1-\alpha}}. \quad (88)$$

Аналогичным путем находим, что для области средних покрытий поверхности

$$\omega_- = \frac{1}{f} \frac{\pi}{\sin \alpha\pi} \frac{x_{-1P_X}^0 x_{-2P_Y}^0}{(x_{1P_A}^0 + x_{-2P_Y}^0)^\alpha (x_{-1P_X}^0 + x_{2P_B}^0)^{1-\alpha}}. \quad (89)$$

Рассмотрим теперь случай малых покрытий поверхности, т. е. примем, что даже наиболее сильно адсорбирующие участки почти все время свободны, т. е. для всех мест  $\eta \ll 1$ . Тогда для всех мест  $u \gg 1$  и

$$\int_{u_0}^{u_1} \frac{u^{\beta-1} du}{1+u} \approx \int_{u_0}^{u_1} u^{\beta-2} du = \frac{1}{\alpha} (u_0^{-\alpha} - u_1^{-\alpha}).$$

Поскольку мы предполагаем сильно неоднородную поверхность, то всегда  $u_1 \gg u_0$  и, следовательно,

$$\int_{u_0}^{u_1} \frac{u^{\beta-1} du}{1+u} \approx \frac{1}{\alpha u_0^\alpha}.$$

Уравнения (86) и (83) дают

$$\omega_+ = \frac{1}{\alpha f} \frac{x_{1P_A}^0 x_{2P_B}^0}{x_{-1P_X}^0 + x_{2P_B}^0}. \quad (90)$$

В случае однородной поверхности при малых покрытиях, согласно уравнению (39),  $x_{1P_A}^0 + x_{-2P_Y}^0 \ll x_{-1P_X}^0 + x_{2P_B}^0$ , поэтому уравнение (44) дает

$$\omega_+ = \frac{x_{1P_A}^0 x_{2P_B}^0}{x_{-1P_X}^0 + x_{2P_B}^0},$$

что отличается от уравнения (90) лишь отсутствием численного множителя  $1/\alpha f$ .

Таким образом при малых покрытиях формы кинетического уравнения на неоднородной и однородной поверхности совпадают.

Аналогичный результат может быть получен и для больших покрытий. Поэтому наибольший интерес представляет область средних покрытий, в которой кинетические уравнения для реальных и идеальных адсорбированных слоев существенно отличаются.

Следует учитывать, что в случае реальных адсорбированных слоев область средних покрытий отвечает много большему интервалу изменения равновесного давления  $p_1$ , чем в случае идеальных адсорбированных слоев. Поэтому вероятность того, что реакция при наугад выбранных условиях будет протекать в области средних покрытий, в случае реальных адсорбированных слоев значительно выше, чем в случае идеальных.

### ПРИМЕРЫ КИНЕТИКИ РЕАКЦИЙ

Рассмотрим на примерах согласие полученных результатов с опытными данными по кинетике реакций.

Реакция водяного газа. В соответствии с таблицей (7), уравнения (88) и (89) дают для реакции (4)

$$\omega = \frac{1}{f} \frac{\pi}{\sin \alpha \pi} \left[ \frac{x_1^0 p_{H_2O} x_2^0 p_{CO}}{(x_1^0 p_{H_2O} + x_{-2}^0 p_{CO_2})^\alpha (x_{-1}^0 p_{H_2} + x_2^0 p_{CO})^{1-\alpha}} - \frac{x_{-1}^0 p_{H_2} x_{-2}^0 p_{CO_2}}{(x_1^0 p_{H_2O} + x_{-2}^0 p_{CO_2})^\alpha (x_{-1}^0 p_{H_2} + x_2^0 p_{CO})^{1-\alpha}} \right]. \quad (91)$$

Это уравнение совпадает с опытным уравнением [8]

$$\omega = k_1 p_{CO} \left( \frac{p_{H_2O}}{p_{H_2}} \right)^\beta - k_2 p_{CO_2} \left( \frac{p_{H_2}}{p_{H_2O}} \right)^{1-\beta}, \quad (92)$$

где  $k_1$  и  $k_2$  — постоянные и  $\beta = 1/2$ , если принять, что

$$x_1^0 p_{H_2O} \gg x_{-2}^0 p_{CO_2}, \quad (93)$$

$$x_{-1}^0 p_{H_2} \gg x_2^0 p_{CO}. \quad (94)$$

Неравенства (93) и (94) обозначают, что первая стадия, выражаемая уравнением (5), является быстрой и, следовательно, равновесной, а вторая стадия, выражаемая уравнением (6), — медленной, лимитирующей. Эта интерпретация уравнения (92) совпадает с полученной ранее [8] менее общим путем. Очевидно, что  $k_1/k_2 = K$  — константе равновесия реакции (4).

Изотопный обмен. Уравнение скорости реакции (8) на основании уравнения (88) и таблицы (11) должно быть следующим:

$$\omega_+ = \frac{1}{f} \frac{\pi}{\sin \alpha \pi} \frac{x_1^0 p_{CO_2} x_2^0 p_{CO^{18}}}{(x_1^0 p_{CO_2} + x_{-2}^0 p_{COO^{18}})^\alpha (x_{-1}^0 p_{CO} + x_2^0 p_{CO^{18}})^{1-\alpha}}. \quad (95)$$

Если пренебречь изотопным эффектом, т. е. рассматривать изотопы как «меченные атомы», то  $x_1^0 = x_{-2}^0$  и  $x_{-1}^0 = x_2^0$ , так как вторая стадия [уравнение (10)] является обращением первой [уравнение (9)]. Мы получаем тогда, считая содержание  $COO^{18}$  и  $CO^{18}$  малым:

$$\omega_+ = k p_{CO^{18}} \left( \frac{p_{CO_2}}{p_{CO}} \right)^\beta, \quad (96)$$

где  $k$  — постоянная. Если принять  $\beta = 1/2$ , это уравнение согласуется с опытными данными по скорости реакции (8) на  $\text{Fe}_3\text{O}_4$  [9].

Реакция углекислого газа с углем. Уравнение (49), выведенное в предположении идеального адсорбированного слоя, лишь качественно согласуется с опытными данными [10]. Чтобы количественно описать кинетику реакции, нужно исходить из уравнения (88). Оно дает

$$\omega_+ = \frac{1}{f} \frac{\pi}{\sin \alpha \pi} \frac{\kappa_1^0 p_{\text{CO}_2} \kappa_2^0}{(\kappa_1^0 p_{\text{CO}_2} + \kappa_{-2}^0 p_{\text{CO}})^\alpha (\kappa_{-1}^0 p_{\text{CO}} + \kappa_2^0)^{1-\alpha}}, \quad (97)$$

Если принять, что можно пренебречь слагаемым  $\kappa_{-2}^0 p_{\text{CO}}$  по сравнению с  $\kappa_1^0 p_{\text{CO}_2}$ , уравнение (97) приводится к следующему виду:

$$\omega_+ = k_1 \left( \frac{p_{\text{CO}_2}}{1 + k' p_{\text{CO}}} \right)^\beta, \quad (98)$$

где  $k$  и  $k'$  — постоянные.

Уравнение (98) подтверждается опытными данными [10] при  $\beta = 1/2$ .

Синтез аммиака. Выше уже указывалось, что механизм этой реакции может быть представлен простой двухстадийной схемой лишь в той мере, в какой первую стадию [уравнение (23)] можно считать лимитирующей. При составе газовой смеси, не слишком далеком от равновесного, это условие выполняется. Чтобы получить уравнения кинетики синтеза аммиака, а также обратной реакции — разложения аммиака, мы должны в уравнениях (88) и (89) выполнить подстановку в соответствии с таблицей (25) и сделать упрощения, отвечающие неравенствам:

$$\kappa_{-2}^0 p_{\text{NH}_3}^2 \gg \kappa_1^0 p_{\text{N}_2}, \quad (99)$$

$$\kappa_2^0 p_{\text{H}_2}^3 \gg \kappa_{-1}^0, \quad (100)$$

которые выражают предположение, что реакции второй стадии в обратном и прямом направлениях много быстрее соответствующих реакций первой стадии. Это приводит к уравнениям:

$$\omega_+ = \frac{1}{f} \frac{\pi}{\sin \alpha \pi} \frac{\kappa_1^0 p_{\text{N}_2} \kappa_2^0 p_{\text{H}_2}^3}{(\kappa_{-2}^0 p_{\text{NH}_3}^2)^\alpha (\kappa_2^0 p_{\text{H}_2}^3)^{1-\alpha}}, \quad (101)$$

$$\omega_- = \frac{1}{f} \frac{\pi}{\sin \alpha \pi} \frac{\kappa_{-1}^0 \kappa_{-2}^0 p_{\text{NH}_3}^2}{(\kappa_{-2}^0 p_{\text{NH}_3}^2)^\alpha (\kappa_2^0 p_{\text{H}_2}^3)^{1-\alpha}}. \quad (102)$$

Таким образом

$$\omega_+ = k_1 \frac{p_{\text{N}_2} p_{\text{H}_2}^3}{p_{\text{NH}_3}^{2\alpha}}, \quad (103)$$

$$\omega_- = k_2 \frac{p_{\text{NH}_3}^{2(1-\alpha)}}{p_{\text{H}_2}^{3(1-\alpha)}}, \quad (104)$$

где  $k_1$  и  $k_2$  — постоянные. Наблюдаемая скорость синтеза аммиака с учетом обратного процесса должна описываться уравнением:

$$\omega = k_1 p_{\text{N}_2} \left( \frac{p_{\text{H}_2}^3}{p_{\text{NH}_3}^2} \right)^\alpha - k_2 \left( \frac{p_{\text{NH}_3}^2}{p_{\text{H}_2}^3} \right)^{1-\alpha}, \quad (105)$$

где  $k_1/k_2 = K$  — константе равновесия реакции (22).

Уравнение (105) с  $\alpha = 1/2$  было вначале [14] подтверждено измерениями скорости синтеза аммиака на катализаторе Fe с промоторами  $\text{Al}_2\text{O}_3$  и  $\text{K}_2\text{O}$  (катализатор, применяемый в промышленности), а затем и на других

катализаторах —  $\text{Mo}_2\text{N}$ , W, [40]. Рассмотрение литературных данных показало, что уравнение (105) охватывает синтез и распад  $\text{NH}_3$  не только на упомянутых металлах, но также на Os, Mn, U, Cu, Ce, Ni, Pt, Ru, причем в большинстве случаев, но не всегда,  $\alpha = 1/2$ . Одно из возможных объяснений отклонения  $\alpha$  в уравнении (105) от значения  $1/2$  [34] заключается в том, что в случаях, где это отклонение имеет место, неоднородность поверхности не отвечает уравнению (61). При определенных типах неоднородности, в частности — при фрейндлиховской изотерме адсорбции, вновь получается кинетическое уравнение вида (105), но с измененным значением показателя.

В случае Fe с двумя промоторами уравнение (105) с дополнительными членами, учитывающими неидеальность газов и т. п. [41], оправдывается и при высоких давлениях [42]. Интервал давлений, в котором это уравнение проверено — от долей атмосферы до 500 атм [43], вероятно, больше, чем для любого другого уравнения кинетики газовых реакций.

Интерпретация уравнения (105) подтверждается измерениями скорости адсорбции  $\text{N}_2$  в сочетании с измерениями скорости реакции [44, 45], изучением адсорбционно-химического равновесия (24) на Fe [26] и другими данными.

С другой стороны, определения так называемого «стехиометрического числа»  $n$ , проведенные японскими исследователями [46, 47], дали результаты, не согласующиеся с приведенной выше трактовкой. В этих работах  $n$  обозначает число элементарных актов лимитирующей стадии реакции, отвечающее тому, что исходные молекулы исчезают, а конечные — появляются в числе, указываемом стехиометрическим уравнением реакции [в нашем случае — уравнением (22)]. Стехиометрическое число определялось сопоставлением наблюдаемой величины скорости реакции ( $\omega$ ) вблизи равновесия, со скоростью изотопного обмена  $\text{N}_2$  с  $\text{NH}_3$  в условиях равновесия (22). Было получено значение  $n = 2$ , в то время как принятие процесса (23) в качестве лимитирующего требует  $n = 1$ . Причина этого расхождения в настоящее время неясна. Выбор лимитирующей стадии в соответствии с  $n = 2$  не дает возможности получить согласующееся с опытом кинетическое уравнение.

Контактное окисление сернистого газа. Подобно предыдущему случаю, считаем вторую стадию реакции [уравнение (28)] равновесной. Тогда:

$$x_{-2}^0 p_{\text{SO}_2}^2 \gg x_1^0 p_{\text{O}_2}; \quad (106)$$

$$x_2^0 p_{\text{SO}_2}^2 \gg x_{-1}^0, \quad (107)$$

и уравнения (88) и (89) дают

$$\omega = k_1 p_{\text{O}_2} \left( \frac{p_{\text{SO}_2}^2}{p_{\text{SO}_2}^2} \right)^\alpha - k_2 \left( \frac{p_{\text{SO}_2}^2}{p_{\text{SO}_2}^2} \right)^{1-\alpha}, \quad (108)$$

причем  $k_1/k_2 = K$ .

Уравнение (108) выполняется на  $\text{V}_2\text{O}_5$  с  $\alpha = 0,4$  [16] и на  $\text{Fe}_2\text{O}_3$  с  $\alpha = 0,75$  [18].

Рассмотренные примеры показывают достаточно широкую применимость уравнений кинетики реакций на реальных поверхностях, отвечающих простой двустадийной схеме. Данный здесь общий вывод этих уравнений обоснован от необходимости повторения сходных рассуждений применительно к конкретным реакциям.

Разумеется, простая двустадийная схема не в состоянии охватить механизм всех реакций на поверхностях. Нетрудно привести примеры механизмов, не укладывающихся в нее. Здесь возможно использование подхода, аналогичного изложенному, хотя в ряде случаев могут возникнуть трудности вычислительного характера.



## КАТАЛИЗАТОР НАИБОЛЬШЕЙ АКТИВНОСТИ

В ходе вывода кинетических уравнений для реакций на неоднородной поверхности мы приняли, что уравнения (67) — (70) описывают изменение констант скорости при переходе от одного места данной поверхности к другому. Мы теперь сделаем более общее предположение, а именно, что эти уравнения приложимы также и при переходе от одной поверхности к другой. Ниже будут приведены опытные данные в подтверждение этого предположения. Оно позволяет рассмотреть в общей форме условия наибольшей активности катализатора реакции, протекающей по простой двустадийной схеме. Для упрощения примем, в соответствии с опытными данными для ряда реакций, что

$$\alpha_1 = \alpha_2 = 1/2. \quad (109)$$

Вначале будем считать, что реакция протекает в идеальном адсорбированном слое. Тогда ее скорость подчиняется уравнению (43). Уравнения (67) и (69) дают

$$\kappa_1 \kappa_2 = g_1 g_2 (K_1 K_2)^{1/2}$$

или, учитывая уравнение (54),

$$\kappa_1 \kappa_2 = g_1 g_2 K^{1/2}. \quad (110)$$

Подобно этому

$$\kappa_{-1} \kappa_{-2} = g_1 g_2 K^{-1/2}. \quad (111)$$

Таким образом, числитель в выражении для скорости реакции  $\omega$  [уравнение (43)] не зависит от выбора катализатора и максимум  $\omega$  достигается при минимальной величине знаменателя

$$D = \kappa_1 p_A + \kappa_{-1} p_X + \kappa_2 p_B + \kappa_{-2} p_Y. \quad (112)$$

Уравнения (69) и (70) определяют  $\kappa_1$  и  $\kappa_{-2}$  как функции  $K_2$ , но уравнение (54) позволяет выразить их и как функции  $K_1$ :

$$\kappa_2 = g_2 K^{1/2} K_1^{-1/2}, \quad (113)$$

$$\kappa_{-2} = g_2 K^{-1/2} K_1^{1/2}. \quad (114)$$

Эти уравнения и уравнения (67) и (68) дают

$$D = (g_1 p_A + g_2 K^{-1/2} p_Y) x + (g_1 p_X + g_2 K^{1/2} p_Y) x^{-1},$$

где  $x = K_1^{1/2}$ .

Прилагая условие минимума  $dD/dx = 0$ , получаем

$$g_1 p_A + g_2 K^{-1/2} p_Y = (g_1 p_X + g_2 K^{1/2} p_Y) x^{-2},$$

а отсюда, умножая обе части равенства на  $K_1^{1/2}$ ,

$$\kappa_1 p_A + \kappa_{-2} p_Y = \kappa_{-1} p_X + \kappa_2 p_B. \quad (115)$$

На основании уравнения (40) этот результат означает, что  $\eta = 1/2$ .

Мы использовали в качестве независимой переменной  $K_1$ ; но изменение  $K_1$  при переходе от одной поверхности к другой обусловлено изменением  $\epsilon$  — теплоты адсорбции промежуточного вещества  $I$ .

Нетрудно видеть, что увеличение  $\epsilon$  приводит к увеличению степени покрытия поверхности; поэтому имеется некоторое оптимальное значение  $\epsilon$ , соответствующее  $\eta = 1/2$  и отвечающее поэтому максимуму удельной активности катализатора (при данных значениях парциальных давлений веществ и температуры).

Приведенное рассмотрение может быть приложено и к различным местам неоднородной поверхности. Из них наибольший вклад в каталитическое действие поверхности дают те места, для которых  $\eta = 1/2$ . Нас, однако, интересует в первую очередь суммарная скорость реакции на всей поверхности. Из вышеизложенного следует, что максимальная скорость реакции должна достигаться в области средних заполнений. Таким образом мы должны использовать уравнения (88) и (89). Как и ранее, мы убеждаемся, что произведения  $z_1^0 z_{-1}^0$  и  $z_{-1}^0 z_{-2}^0$  не зависят от  $\varepsilon^0$  и, следовательно, не изменяются при переходе от одной поверхности к другой, так что нам остается рассмотреть знаменатель выражения для скорости реакции, который при  $\alpha = 1/2$  принимает вид:

$$\Delta = [(x_1^0 p_A + x_{-2}^0 p_T)(x_{-1}^0 p_X + x_2^0 p_B)]^{1/2}. \quad (116)$$

Уравнения (67), (68), (113) и (114) могут быть применены для того, чтобы выразить  $z_1^0, z_{-1}^0$  и т. д. как функции  $K_1$ . Производя подстановку, мы убеждаемся, что и знаменатель  $\Delta$  не зависит от  $K_1$ , а следовательно, и от  $\varepsilon^0$ . Итак, скорость реакции на различных поверхностях в области средних заполнений различается лишь в той мере, в какой это обусловлено множителем  $1/f$ . Эти различия не могут быть значительными.

Мы видим, что максимальная скорость реакции, идущей по простой двустадийной схеме, достигается в случае идеального адсорбированного слоя при условии, что теплота адсорбции промежуточного вещества  $\varepsilon$  такова, что стационарная степень покрытия поверхности равна  $1/2$ . Не многим меньше скорость реакции в случае реального адсорбированного слоя, если реакция протекает в области средних покрытий поверхности.

Этот результат можно истолковать наглядно при помощи «метода контролирующей полосы» С. З. Рогинского [35]. Если реакция протекает на неоднородной поверхности в области средних покрытий, на поверхности имеются различные места, с вероятностью быть занятыми, меняющейся от  $\eta \approx 0$  до  $\eta \approx 1$ . Среди них имеются места с  $\eta \approx 1/2$ , на которых скорость реакции будет наибольшей, эти места определяют в основном суммарную скорость реакции на поверхности (образуют «контролирующую полосу»).

Если мы перейдем к другой поверхности, с другим интервалом теплот адсорбции, но таким, что по-прежнему на ней будут все значения  $\eta$  от  $\eta \approx 0$  до  $\eta \approx 1$ , то и на этой поверхности будет группа мест с  $\eta \approx 1/2$ , на которой будет главным образом осуществляться реакция. Различие в скорости реакции на двух поверхностях будет зависеть лишь от того, какую долю от всей поверхности будут составлять места с  $\eta \approx 1/2$ ; очевидно, эта доля будет тем меньше, чем резче неоднородность поверхности, т. е. чем больше отношение интервала изменения энергии связи промежуточного вещества, который был обозначен через  $C$ , к  $RT$ . В наших формулах это обстоятельство учитывается множителем  $1/f = RT/C$ .

Из приведенного рассмотрения непосредственно следует, что если какая-либо реакция протекает на разных поверхностях и выполнены предпосылки, указанные выше — среднее заполнение поверхности и т. д., то наблюдаемая энергия активации (т. е. величина, непосредственно вычисляемая из температурной зависимости скорости реакции) должна быть одинаковой на всех поверхностях. Экспериментальная проверка этого вывода проще, чем сопоставление скоростей реакций, так как не требует знания величины поверхности катализаторов. Наиболее подходит для этой цели реакция синтеза и разложения аммиака, так как она наблюдается на большом числе поверхностей, причем в ряде случаев выполняется уравнение кинетики (105) с  $\alpha = 1/2$ , т. е. соблюдены предпосылки для вывода о постоянстве энергии активации. По причинам вычислительного характера оказывается более удобным нахождение величины  $k_2$  и соответственно этому — наблюдаемой энергии активации распада аммиака,

$A_2$ , как из данных по скорости синтеза, так и из данных по скорости распада. Величина  $A_2$  оказывается для ряда металлов весьма близкой [15]. Так, для синтеза  $\text{NH}_3$  на Fe была получена величина  $A_2 = 40 \text{ ккал}$  [14]\*; при синтезе на W  $A_2 = 45,3 \text{ ккал}$  и при синтезе на  $\text{Mo}_3\text{N}$   $A_2 = 42,5 \text{ ккал}$  [40]. Этот результат, полученный вначале эмпирически [40], привел к трактовке вопроса об условиях, определяющих максимальную активность катализатора синтеза аммиака [15], дальнейшим развитием которой является данное здесь изложение.

Близость энергий активации разложения аммиака на разных металлах может рассматриваться как экспериментальное подтверждение исходного предположения о приближенной применимости уравнений (67) — (70) с  $\alpha = \beta = 1/2$  для описания изменения констант скорости при переходе от одной поверхности к другой.

Недавно О. Ф. Щеглов, Г. К. Боресков и М. Г. Слинько [49] исследовали удельные активности металлов IV периода Менделеевской системы в реакции синтеза аммиака и получили большие различия в значениях удельной активности (т. е. скорости реакции, рассчитанной на единицу поверхности). Кинетика реакции была описана уравнением (105), но с различными значениями  $\alpha$ ; наибольшая скорость реакции наблюдалась на Fe, при этом  $\alpha = 1/2$ . В случае Cr  $\alpha = 0,8$ , для реакции на Co  $\alpha = 0,1$  и для реакции на Ni  $\alpha = 0,25$ .

Можно думать, что  $\alpha$ , близкое к нулю, означает протекание реакции в области заполнений, приближающихся к малым, так как уравнение (88) при  $\alpha \ll 1$  переходит в уравнение (90) для малых заполнений. Точно так же  $\alpha$ , близкое к единице, означает приближение к области больших заполнений. В обоих случаях, на основании изложенного выше, скорость реакции должна быть ниже, а энергия активации выше, чем в области средних заполнений, как это и наблюдалось в цитируемой работе.

При исследовании реакций на промышленных катализаторах мы обычно получаем кинетическое уравнение, отвечающее области средних заполнений, как видно из рассмотренных выше примеров. Это показывает, что в результате эмпирического отбора промышленные катализаторы обладают удельной активностью, близкой к максимальной (при данном механизме реакции).

По-видимому, как правило, истинное значение  $\alpha$  равно  $1/2$ . Этот факт пока не имеет удовлетворительного теоретического толкования, как уже отмечалось А. Н. Фрумкин при обсуждении кинетики катодного выделения водорода [50].

### РЕАКЦИЯ ВБЛИЗИ РАВНОВЕСИЯ И ВДАЛИ ОТ РАВНОВЕСИЯ

Вывод о том, что скорость реакции наиболее велика при половинном или среднем покрытии поверхности, был получен для общего случая, когда степень покрытия является стационарной величиной, определяемой кинетическими характеристиками процесса. Как указывалось выше, если реакция протекает при состоянии системы, не сильно удаленном от термодинамического равновесия, обычно одна из двух стадий делается практически равновесной. В этом случае степень покрытия поверхности определяется условиями адсорбционно-химического равновесия, отвечающего быстрой стадии. Таким образом, в отличие от общего случая, для реакции вблизи равновесия требование среднего покрытия может быть сведено к определенным термодинамическим характеристикам поверхности без каких-либо дополнительных предположений.

Оценка оптимальной для процесса синтеза аммиака энергии связи атома азота с поверхностью дала значение, близкое к средней величине для поверхности железного катализатора [15]. Трактовка вопроса об оптимальной энергии, развитая ранее [15] на примере синтеза аммиака, является более

\* Более точные измерения, выполненные позднее [48], дают  $A_2 = 42 \text{ ккал}$ .

частной, чем приведенная здесь, так как заранее предполагает наличие лимитирующей и равновесных стадий.

Рассмотрим другой предельный случай — реакцию в условиях, далеких от равновесных. Примем вначале, что реакция протекает в идеальном адсорбированном слое, т. е. что ее скорость передается уравнением (43). Так как мы приняли, что система далека от равновесных условий, то

$$x_1 p_A x_2 p_B \gg x_{-1} p_X x_{-2} p_Y \quad (117)$$

и

$$\omega \approx \omega_+. \quad (118)$$

Вследствие того что концентрация продуктов реакции мала, их тормозящее действие незаметно, т. е.

$$x_1 p_A + x_2 p_B \gg x_{-1} p_X + x_{-2} p_Y. \quad (119)$$

Поэтому скорость реакции приближенно выражается уравнением

$$\omega = \frac{x_1 p_A x_2 p_B}{x_1 p_A + x_2 p_B}. \quad (120)$$

Неравенство (119) позволяет заменить уравнения (40) и (41) следующими приближенными уравнениями

$$\eta = \frac{x_1 p_A}{x_1 p_A + x_2 p_B}, \quad (121)$$

$$1 - \eta = \frac{x_2 p_B}{x_1 p_A + x_2 p_B}. \quad (122)$$

Уравнение (121) показывает, что  $\eta = 1/2$  при

$$x_1 p_A = x_2 p_B. \quad (123)$$

Таково условие максимальной активности катализатора при реакции, протекающей в идеальном адсорбированном слое вдаль от равновесия.

Пусть теперь реакция происходит в реальном адсорбированном слое. На основании равенства (118) ее скорость в области средних покрытий, которую нам нужно рассмотреть, передается уравнением (88). Так как концентрация продуктов реакции мала, то

$$x_1^0 p_A \gg x_{-2}^0 p_Y \quad (124)$$

и

$$x_2^0 p_B \gg x_{-1}^0 p_X. \quad (125)$$

Поэтому для скорости реакции получаем приближенное уравнение

$$\omega = \frac{1}{f} \frac{\pi}{\sin \alpha \pi} (x_1^0 p_A)^{1-\alpha} (x_2^0 p_B)^\alpha, \quad (126)$$

или, при  $\alpha = 1/2$ ,

$$\omega = \frac{\pi}{f} (x_1^0 p_A x_2^0 p_B)^{1/2}. \quad (127)$$

Поскольку произведение  $x_1^0 x_2^0$  не зависит от  $\varepsilon^0$ , мы получаем скорость реакции, зависящую от природы поверхности лишь в той мере, в какой различаются величины  $f$  для разных поверхностей, при условии, что реакция протекает в области средних заполнений. Этот результат уже был получен выше для общего случая. Наибольшая возможная скорость реакции достигается в идеальном адсорбированном слое при соблюдении уравнения (123).

Предположим теперь, что в системе идет реакция между веществами  $X_1, X_2, \dots, Y_1, Y_2, \dots$ , а концентрации веществ  $A_1, A_2, \dots, B_1, B_2, \dots$



много меньше равновесных, т. е.

$$\omega \approx -\omega_- \quad (128)$$

Мы, следовательно, рассматриваем обратную реакцию вдали от равновесия. Условием максимальной (по абсолютной величине) скорости реакции будет равенство

$$\kappa_{-1}p_X = \kappa_{-2}p_Y \quad (129)$$

Примем для простоты, что  $p_A = p_B$  и  $p_X = p_Y$ . Тогда катализатор наибольшей активности для прямой реакции определяется условием  $\kappa_1 = \kappa_2$ , а для обратной — условием  $\kappa_{-1} = \kappa_{-2}$ . Эти условия, вообще говоря, не удовлетворяются одновременно, поэтому катализатор, наиболее активный для прямой реакции вдали от равновесия, не будет совпадать с катализатором, наиболее активным для обратной реакции вдали от равновесия.

В противоположность этому, для системы в состояниях, близких к равновесному, одно и то же условие определяет наибольшую активность катализатора как для прямой, так и обратной реакции, поскольку, как мы видели выше, в таких системах степень покрытия поверхности отвечает адсорбционно-химическому равновесию по отношению к быстрой стадии, одной и той же для прямой и обратной реакции.

Условия, выражаемые уравнениями (123) и (129), являются кинетическими, а не термодинамическими. Неизвестно какое-либо общее соотношение между величинами  $g_1$  [уравнения (67) и (68)] и  $g_2$  [уравнения (69) и (70)]. В одном специальном случае, однако, мы можем предположить существование такого рода соотношения, хотя бы, приближенного, — а именно, если вторая стадия при протекании в обратном направлении аналогична первой стадии в прямом направлении, и наоборот. Для этого необходимо, чтобы в соответствующие реакции вступало равное число молекул. Развивая предположения, сделанные ранее, мы примем, что зависимость вида

$$\kappa = gK^{1/2} \quad (130)$$

приблизительно выполняется не только для данной реакции при переходе от одной поверхности к другой, но и при переходе от одной реакции к другой, аналогичной реакции.

Это значит, что в рассматриваемом случае

$$g_1 = g_2 \quad (131)$$

Реакции, стадии которых подчиняются уравнению (131), будем называть симметричными.

Если  $p_A = p_B$ , уравнения (123) и (130) дают

$$K_1 = K_2 \quad (132)$$

Такой же результат, при  $p_X = p_Y$ , дает уравнение (129).

Таким образом в случае симметричной реакции не только при малом, но и при большом удалении от равновесия катализатор, наиболее активный для прямой реакции, является одновременно наиболее активным и для обратной реакции.

Учитывая приближенный характер рассмотрения, можно считать уравнение (132) эквивалентным следующему соотношению между тепловыми эффектами стадий:

$$Q_1 = Q_2 \quad (133)$$

Это уравнение определяет оптимальное значение  $\varepsilon$ .

Из рассмотренных выше примеров гетерогенных каталитических реакций, укладываемых в простую двустадийную схему, строго симметричными являются реакции изотопного обмена (8) и (12). В случае этих реакций первая стадия в прямом направлении и вторая стадия в обратном

направлении отличаются лишь тем, что атом заменен его изотопом. Выполнению уравнения (131) поэтому не вызывает сомнений.

Можно предположительно считать симметричной также реакцию водяного газа (4). В этом случае применимость уравнения (131) является гипотетической.

Реакции синтеза аммиака (22) и окисления сернистого газа (26) не симметричны; уравнение (131) в случае этих реакций не может выполняться уже хотя бы потому, что величины  $g_1$  и  $g_2$  имеют различную размерность.

Реакции двойного разложения, описываемые уравнением (30), могут быть симметричными. Тогда условием наибольшей активности катализатора будет уравнение (133). Предполагая, что реакция идет по схеме Поляни, мы получим следующие выражения для тепловых эффектов стадий:

$$Q_1 = Q_{AK} + Q_{BK} + Q_{CK} + Q_{DK} - (Q_{AB} + Q_{CD}); \quad (134)$$

$$Q_2 = -(Q_{AK} + Q_{BK} + Q_{CK} + Q_{DK}) + Q_{AD} + Q_{BC}. \quad (135)$$

Здесь  $K$  означает атом катализатора,  $Q_{AK}$  — энергия связи  $AK$  и т. д. Уравнения (133), (134) и (135) дают:

$$Q_{AK} + Q_{BK} + Q_{CK} + Q_{DK} = \frac{1}{2}(Q_{AB} + Q_{CD} + Q_{AD} + Q_{BC}). \quad (136)$$

Заметим, что

$$Q_{AK} + Q_{BK} + Q_{CK} + Q_{DK} = \epsilon. \quad (137)$$

Таким образом, чтобы активность катализатора была наибольшей, энергия связи с поверхностью комплекса  $\begin{pmatrix} AD \\ BC \end{pmatrix}$  должна равняться полусумме энергий связей, разрывающихся и образующихся при реакции. Этот результат был получен ранее А. А. Баландиным [7, 20] при помощи аргументации, в ряде пунктов существенно отличающейся от подхода, использованного здесь. А. А. Баландин рассматривает уравнение (136) как количественное выражение принципа энергетического соответствия в катализе.

В итоге приведенного рассматривания можно дать следующий ответ на вопрос, поставленный в начале статьи, о возможности осуществления выбора наиболее активного катализатора для данной реакции на основе данных термодинамического характера. В общем случае такой выбор не может быть сделан, но он делается возможным при условии, если реакция протекает в условиях, близких к равновесным, или если реакция симметрична.

## ВЫВОДЫ

Механизмы ряда гетерогенных каталитических процессов, а также некоторых реакций газов с твердым телом, могут рассматриваться как частные случаи простой двустадийной схемы, выражаемой уравнениями (2) и (3). В эту схему может быть включен и дублетный механизм А. А. Баландина.

Скорость реакций, протекающих стационарно по простой двустадийной схеме, в случае идеального адсорбированного слоя выражается уравнением (43). Она может быть представлена как разность скоростей реакции в прямом и обратном направлении, определяемых уравнениями (44) и (45). В случае реального адсорбированного слоя, когда адсорбция промежуточного вещества следует логарифмической изотерме (55), скорость реакции в прямом и обратном направлении определяется уравнениями (88) и (89). При выводе этих уравнений использовано предположение о линейной зависимости, в пределах данной поверхности, энергии активации стадий реакции от энергии адсорбции промежуточного вещества.

Как частные случаи общей трактовки получаются согласующиеся с опытом уравнения кинетики следующих реакций: сдвига равновесия водяного газа, изотопного обмена между двуокисью и окисью углерода, восстановления двуокиси углерода углем, синтеза и разложения аммиака, окисления сернистого газа.

Предположение о применимости упомянутой выше линейной зависимости, при переходе от одной поверхности к другой, позволяет установить условия, наибольшей скорости реакции (на единицу поверхности). Считая коэффициент  $\alpha$  в линейной зависимости равным  $1/2$ , находим, что наибольшая скорость реакции будет осуществляться при половинном покрытии поверхности (в случае идеального адсорбированного слоя) или при средних покрытиях (в случае реального адсорбированного слоя). Выводы согласуются с опытными данными, относящимися к синтезу аммиака на различных металлах.

Если реакция протекает в системе, состав которой не сильно удален от равновесного, то одна из стадий является равновесной, а другая — лимитирующей. Тогда условие наибольшей скорости реакции удовлетворяется при определенных значениях термодинамических величин, характеризующих равновесную стадию.

В системе, далекой от равновесия, условие наибольшей скорости реакции, вообще говоря, не может быть сведено к термодинамическим характеристикам, таким, как энергия адсорбции промежуточного вещества. При этом катализатор, наиболее активный при прямой реакции, не совпадает с таковым для обратной реакции. Это совпадение имеет место и возникает возможность сведения кинетического условия наибольшей активности катализатора к термодинамическому условию, если реакция симметрична, т. е. вторая стадия в обратном направлении аналогична первой стадии в прямом направлении, благодаря чему энергии активации стадий укладываются в общую линейную зависимость. Считая дублетные реакции А. А. Баландина симметричными, приходим к критерию наибольшей активности катализатора, идентичному с полученным ранее А. А. Баландиным другим путем.

Физико-химический институт  
им. Л. Я. Карпова  
Москва

Поступила  
3.VII.1956

#### ЛИТЕРАТУРА

1. Н. Н. Семенов. О некоторых проблемах химической кинетики и реакционной способности, Изд-во АН СССР, М., 1954.
2. В. В. Воеводский, Ф. Ф. Волькенштейн, Н. Н. Семенов, Сборник «Вопросы химической кинетики, катализа и реакционной способности», Изд-во АН СССР, М., 1955, стр. 423.
3. Н. Н. Семенов, В. В. Воеводский, Сборник «Гетерогенный катализ в химической промышленности», ГХИ, М., 1955, стр. 233.
4. C. Wagner, K. Hauffe. ZS. Elektrochem., 45, 309, 1939.
5. S. A. Taylor, N. Thon, Journ. Amer. Chem. Soc., 74, 4169, 1952.
6. Н. Н. Thon, Н. А. Taylor, Journ. Amer. Chem. Soc., 75, 2747, 1953.
7. А. А. Баландин, Журн. общ. химии, 16, 793, 1946.
8. Н. В. Кулькова, М. И. Темкин, Журн. физ. химии, 23, 695, 1949.
9. Н. В. Кулькова, Э. Д. Кузнец, М. И. Темкин, ДАН, 90, 1047, 1953.
10. В. А. Европин, Н. В. Кулькова, М. И. Темкин, Журн. физ. химии, 30, 348, 1956.
11. I. Langmuir, Journ. Amer. Chem. Soc., 37, 1154, 1915.
12. А. Ф. Семечкова, Д. А. Франк-Каменецкий, Журн. физ. химии, 14, 291, 1940.
13. J. Gadsby, C. N. Hinshelwood, K. W. Sykes, Proc. Roy. Soc., A187, 129, 1946; F. J. Long, K. W. Sykes. Proc. Roy. Soc., A193, 377, 1948.
14. М. И. Темкин, В. М. Пыжев, Журн. физ. химии, 13, 851, 1939. См. также Успехи химии, 7, 1092, 1938.
15. М. И. Темкин, С. Л. Киперман, Журн. физ. химии, 21, 927, 1947.

16. Г. К. Боресков, Т. И. Соколова, Журн. хим. пром., 14, 1241, 1937.
17. М. И. Темкин, Журн. физ. химии, 15, 296, 1941.
18. Г. К. Боресков, Т. И. Соколова, Журн. физ. химии, 18, 87, 1944.
19. M. Polanyi, ZS. Elektrochem, 35, 561, 1929.
20. А. А. Баландин, Сборник «Вопросы химической кинетики, катализа и реакционной способности», Изд-во АН СССР, М., 1955, стр. 461.
21. М. И. Темкин, Сборник «Гетерогенный катализ в химической промышленности», ГХИ, М., 1955, стр. 256.
22. I. Langmuir, Journ. Amer. Chem. Soc., 40, 1361, 1403, 1918.
23. М. И. Темкин, С. Л. Киперман, Л. И. Лукьянова, ДАН, 74, 763, 1950.
24. I. Langmuir, Trans. Farad. Soc., 17, 621, 1921—22.
25. М. И. Темкин, Е. А. Михайлова, Acta Phys. chim. URSS, 2, 9, 1935.
26. А. Е. Романушкина, С. Л. Киперман, М. И. Темкин, Журн. физ. химии 27, 1181, 1953.
27. Б. П. Брунс, Проблемы кинетики и катализа, 7, 436, 1949.
28. Н. В. Кулькова, М. И. Темкин, Журн. физ. химии (в печати).
29. А. Х. Брегер, А. А. Жуховский, Журн. физ. химии, 21, 423, 1947.
30. М. И. Темкин, Сборник «Вопросы химической кинетики, катализа и реакционной способности», Изд-во АН СССР, М., 1955, стр. 484.
31. M. Boudart, Journ. Amer. Chem. Soc., 74, 3556, 1952.
32. Я. Б. Зельдович, Acta phys. chim. URSS, 1, 961, 1935.
33. М. И. Темкин, В. Г. Левич, Журн. физ. химии, 20, 1441, 1946.
34. М. И. Темкин, Проблемы кинетики и катализа, вып. 6, стр. 54, 1949.
35. С. З. Рогинский, Адсорбция и катализ на неоднородных поверхностях, Изд-во АН СССР, М.—Л., 1948.
36. R. Sips, Journ. Phys. Chem., 16, 490, 1948.
37. М. И. Темкин, Журн. физ. химии, 11, 169, 1938.
38. M. G. Evans, M. Polanyi, Trans. Farad. Soc., 34, 11, 1938.
39. А. Н. Фрумкин, ZS. phys. Chem. (A), 160, 116, 1932.
40. С. Л. Киперман, М. И. Темкин, Журн. физ. химии, 20, 369, 623, 1946.
41. М. И. Темкин, Журн. физ. химии, 24, 1312, 1950.
42. П. П. Сидоров, В. П. Лившиц, Журн. физ. химии, 21, 1177, 1947.
43. В. Д. Лившиц, И. П. Сидоров, Журн. физ. химии 26, 538, 1952, Труды ГИАП, 1, 72, 1953.
44. K. Love, R. H. Emmett, Journ. Amer. Chem. Soc., 63, 3297, 1941.
45. S. Brunauer, K. Love, R. Keenan, Journ. Amer. Chem. Soc., 64, 751, 1942.
46. S. Enomoto, J. Horiuti, Journ. Res. Inst. Catalysis Kokkaido University, 3, 87, 1955.
47. S. Enomoto, J. Horiuti, H. Kabayashi, Journ. Res. Inst. Catalysis Kokkaido University, 3, 185, 1955.
48. И. П. Сидоров, В. Н. Шишкова, М. И. Темкин, Труды ГИАП (в печати).
49. О. Ф. Щеглов, Г. К. Боресков, М. Г. Слинко, ДАН, 105, 123, 1955.
50. А. Н. Фрумкин, Труды совещания по электрохимии 1950 г. Изд-во АН СССР, М., 1953, стр. 21.



## ИССЛЕДОВАНИЕ ПРОЦЕССА ОТВЕРЖДЕНИЯ ФЕНОЛЬНО-ФОРМАЛЬДЕГИДНЫХ РЕЗОЛЬНЫХ СМОЛ

### III. ИССЛЕДОВАНИЕ РЕЗИТОВ

*Л. И. Голубенкова, Г. Д. Слонимский и В. А. Каргин*

Ранее [1,2] нами было показано, что в процессе образования и отверждения резольной фенольно-формальдегидной смолы в первых двух стадиях (в стадии резола и резитола) существенную роль играют связи физической природы.

В стадии резола смола представляет собой смесь сравнительно низкомолекулярных линейных продуктов. В резолах возможно образование более длинных цепочек за счет межмолекулярных связей.

В стадии резитола молекулы способны связываться в пространственную сетку поперечными связями. Количество поперечных связей в резитоле не очень велико; именно этим обусловлена способность резитола к значительным высокоэластическим деформациям. В зависимости от условий (температуры, растворителя и пр.) количество связей в резитоле может меняться.

Смола в последней стадии отверждения, в стадии резита, характеризуется полной потерей плавкости и растворимости в органических растворителях.

Нами исследовались резиты различной степени отверждения, полученные при термической обработке резольной смолы (молярное соотношение фенола и формальдегида — 6 : 7, катализатор — аммиак).

Провести резкую границу между глубоко конденсированными резитолами и резитами довольно трудно, так как изменение тех или иных свойств смолы при ее переходе от резитола к резиту происходит постепенно. Поэтому мы условно считали смолу перешедшей в резит в том случае, если она не набухала в ацетоне и этиловом спирте при комнатной температуре.

### ТЕРМОМЕХАНИЧЕСКОЕ ПОВЕДЕНИЕ РЕЗИТОВ

Термомеханические свойства резитов в значительной степени зависят от условий их изготовления (температуры отверждения, времени выдержки при высоких температурах, катализатора и т. д.). Даже резиты, полученные с одним и тем же катализатором, как это имело место в нашей работе, показывают большое разнообразие термомеханических свойств.

Исследование резитов при различных температурах и напряжениях показало, что они подчиняются закону пропорциональности, т. е. между величиной напряжения и равновесной деформацией существует линейная зависимость.

На рис. 1 дана зависимость равновесной деформации образцов резита от величины напряжения для 25° и 150°. Как при 25°, так и при 150° наблюдается линейная зависимость между напряжением и равновесной деформацией.

Подчинение резитов закону пропорциональности указывает на то, что они обладают пространственным строением. Количество поперечных связей в резите определяется в первую очередь степенью отверждения образца, но в любом образце резита поперечных связей будет больше, чем в резитоле, на что указывают более высокие значения равновесных модулей упругости резитов по сравнению с резитолами.

Несмотря на это, количество химических связей даже в резите не может быть очень большим, так как иначе модули упругости резитов по своей

величине должны были бы приближаться к величинам, характерным для обычных низкомолекулярных стекол. На практике же модули упругости резитов значительно меньше модуля упругости низкомолекулярного стекла.

Термомеханические исследования также показали, что резин не может находиться в вязкотекучем состоянии. При высоких температурах и под действием больших напряжений резиты способны к значительным высокоэластическим деформациям.

На рис. 2 представлена зависимость деформации от времени при нагружении и разгрузке образцов. Испытывались одинаковые образцы резиты, но время действия напряжения было разным. Испытание проводилось при  $160^\circ$ .

На рис. 2 видно, что при увеличении времени действия напряжения на образец остаточная деформация возрастает, т. е. на первый взгляд, из этого можно сделать вывод о том, что резин течет.

Однако в данном случае имеет место не течение резиты, а лишь развитие в нем высокоэла-

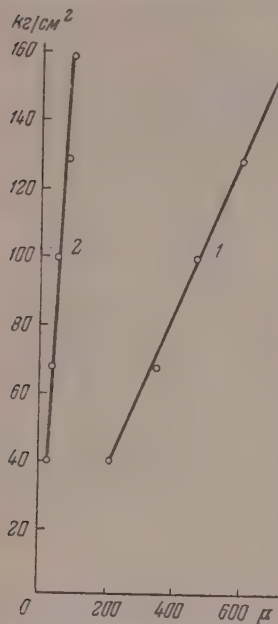


Рис. 1. Зависимость между равновесной деформацией и напряжением для резитов: 1— $150^\circ$ , 2— $25^\circ$

стической деформации. Этот вывод вытекает из того, что если бы имело место истинное течение, то модуль эластичности образца изменялся бы постоянно во времени в сторону уменьшения и, в конечном счете, стал бы

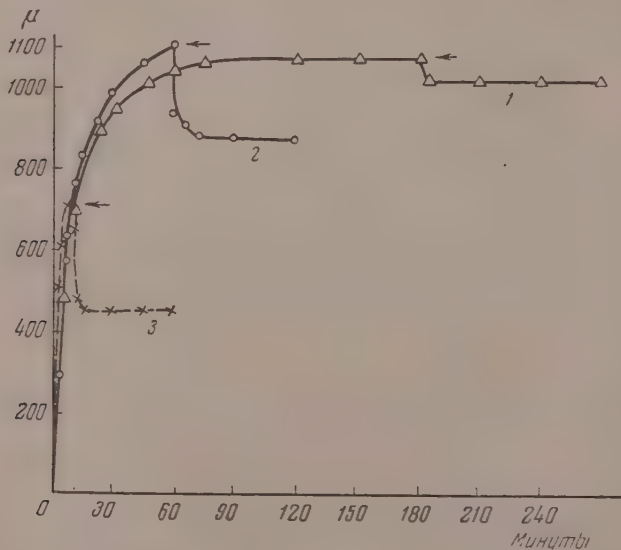


Рис. 2. Зависимость деформации резиты от времени при действии постоянного напряжения ( $129 \text{ kg/cm}^2$ ) и после прекращения его действия. Длительность действия напряжения: 1—180 мин.; 2—60 мин.; 3—10 мин.; при  $160^\circ \text{C}$ . Стрелками отмечены моменты снятия напряжения

равен нулю. Однако при испытании резитов всегда получается конечное равновесное значение модуля эластичности.

Возникающая остаточная деформация связана не с течением резита, а с тем, что процесс конденсации в фенольно-формальдегидной резольной смоле не ограничивается первыми двумя стадиями, но протекает в значительной степени и в последней стадии — в стадии резита. Поэтому полученная остаточная деформация (рис. 2) не является обычной: это — фиксированная возникающими новыми связями (благодаря протеканию процесса дальнейшего отверждения) высокоэластическая деформация. Чем дольше действует на образец напряжение, тем большее количество новых связей может при этом образоваться и тем большей по величине оказывается остаточная деформация. Прогревание таких фиксированных деформированных образцов при более высоких температурах ( $\sim 180^\circ$ ) в течение длительного времени (30 час.) не приводит к уничтожению остаточной деформации. Таким образом образовавшиеся в деформированном резите в результате процесса дальнейшего отверждения новые связи не дают возможности образцу уничтожить эту деформацию даже при более высоких температурах.

### РЕАКЦИЯ КОНДЕНСАЦИИ В РЕЗИТАХ

Термомеханическое поведение резитов в значительной степени зависит от глубины процесса отверждения, прошедшего в них.

Как уже указывалось выше, реакция конденсации не ограничивается стадией резола и резитола, но играет большую роль также и в резите. Даже глубоко отвержденные образцы резита под действием температуры и напряжения испытывают дальнейшие изменения своих механических свойств.

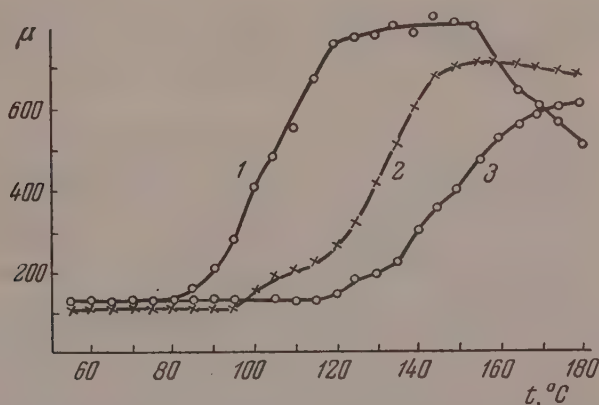


Рис. 3. Зависимость деформации резита различной степени отверждения от температуры. Время действия постоянного напряжения ( $129 \text{ кг/см}^2$ ) 10 сек. 1, 2, 3 соответствуют повышению степени отверждения

Термомеханические кривые, снятые для резитов различной глубины отверждения, имеют разный характер. На рис. 3 дана зависимость деформации от температуры для резитов, степень отверждения которых различна. Из этого рисунка видно, что по мере дальнейшей конденсации температура стеклования образцов перемещается в область более высоких температур\*.

\* Возрастающие номера кривых на рис. 3 соответствуют повышению степени отверждения.

Более глубоко отвержденные образцы резина проявляют при одной и той же температуре меньшую деформируемость, чем образцы меньшей степени отверждения. В менее отвержденных образцах резина дальнейший процесс отверждения протекает значительно быстрее (большее уменьшение деформации при высоких температурах).

При повторном испытании того же образца резина оказывается, что он имеет значительно более высокое значение модуля эластичности, чем при его первоначальном испытании. Такое нарастание модуля эластичности образцов резина при повторном испытании также указывает на то, что в резине продолжают протекать реакции дальнейшего отверждения.

Термомеханические кривые, снятые последовательно для одного и того же образца резина, даны на рис. 4.

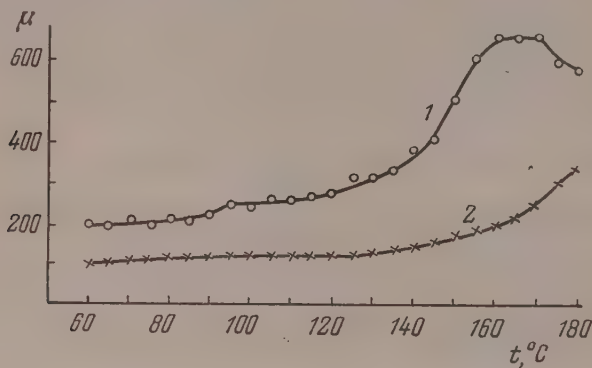


Рис. 4. Зависимость деформации резина от температуры при повторной деформации. 1 — первая деформация; 2 — повторная деформация. Время действия постоянного напряжения ( $129 \text{ кг/см}^2$ ) 10 сек.

При предварительном прогреве образцов резина было выяснено, что такой прогрев может приводить не только к увеличению модуля, но и к его уменьшению. Образец резина был прогрет при  $140^\circ$  в течение 160 мин. и затем испытывался при  $200^\circ$ . Модуль эластичности этого образца при  $200^\circ$  оказался равным  $E = 350 \text{ кг/см}^2$ . Другой такой же образец испытывался при  $200^\circ$  без предварительного прогрева, и его модуль эластичности при этой температуре оказался равным  $E = 490 \text{ кг/см}^2$ .

Прогревание таких же образцов резина при температуре выше  $160^\circ$  приводит к тому, что модуль эластичности образца, измеренный при  $200^\circ$ , значительно возрастает. Эти результаты были проверены и подтверждены на ряде других образцов. При этом было выяснено, что для каждого образца резина существует определенный интервал температур, в пределах которого при предварительном прогревании образца наблюдается уменьшение равновесного модуля эластичности (при испытании при более высокой температуре) по сравнению с непрогретыми образцами.

Таким образом не всякая температура предварительного прогрева способствует более быстрому протеканию процесса дальнейшего отверждения. Было выяснено, что чем более глубоко законденсирован образец, тем более высокая температура предварительного прогрева требуется для ускорения протекания реакции конденсации.

Следовательно, пространственная сетка, существующая в резине, не является стабильной: для резина характерна термическая подвижность сетки. Выдержка резина при определенных температурах приводит к разрушению части связей, что выражается в уменьшении модуля эластичности, измеренного при более высокой температуре. При предварительной выдерж-



е при других (более высоких) температурах происходит увеличение значения модуля эластичности, т. е. число связей нарастает.

Резит не удается полностью растворить ни в одном органическом растворителе. Нерастворимость резита указывает на то, что в образовании пространственной сетки участвуют также и прочные химические связи.

### ХАРАКТЕР СВЯЗЕЙ В РЕЗИТАХ

Для выяснения характера связей, существующих в резите, была взята зависимость равновесного модуля эластичности  $E$  от температуры.

На рис. 5 дана зависимость  $\lg E$  от  $1/T$ . Из этого рисунка видно, что в интервале температур 120—200° наблюдается линейная зависимость между этими величинами. Ниже 120° линейная зависимость нарушается.

Испытание этого образца в широком интервале температур показало, что при температуре выше 120° в данном образце резита в значительной степени развивается высокоэластическая деформация. Таким образом линейная зависимость между  $\lg E$  и  $1/T$  наблюдается тогда, когда образец находится в высокоэластическом состоянии.

Из наклона прямой рис. 5 была рассчитана энергия связи, ответственная за образование лабильной сетки.

Как известно [3], равновесный модуль эластичности пропорционален числу узлов  $N$  в сетке в степени  $2/3$ :

$$E = AN^{2/3} = AN_0^{2/3} e^{(2/3)(U/RT)}, \quad (1)$$

так как  $N = N_0 e^{U/RT}$ , где  $U$  — энергия образования узла,  $T$  — абс. температура,  $R$  — газовая постоянная и  $A$  — постоянная.

Логарифмируя (1), находим

$$\lg E = \text{const} + \frac{2}{3} \frac{U}{R} \lg e \frac{1}{T}. \quad (2)$$

Из (2) следует, что величина  $\frac{2}{3} \frac{U}{R} \lg e$  равна тангенсу угла наклона прямой в координатах  $\lg E$ ,  $1/T$ .

Из данных рис. 5 получаем

$$\frac{2}{3} \frac{U}{R} \lg e = 0,87 \cdot 1000^*$$

или

$$U = \frac{3 \cdot 870 \cdot 2}{2 \cdot 0,43} \approx 6 \text{ ккал/моль связей.}$$

Таким образом энергия образования связи в резите равна приблизительно 6 ккал/моль связей, что соответствует энергии водородной связи.

Следовательно, из этого можно сделать вывод, что водородные связи играют существенную роль в последней стадии отверждения смолы — в резите. В связи с этим естественно предположить, что вторичные цепные и пространственные структуры физической природы, обнаруженные в резоле и резитоле [1, 2], также обусловлены водородными связями.

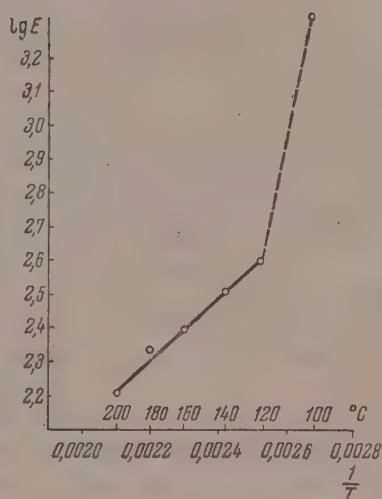


Рис. 5. Зависимость между десятичным логарифмом равновесного модуля эластичности резита и обратной абс. температурой

\* Умножение на 1000 необходимо вытекает из масштаба графика.

## ВЫВОДЫ

1. Процесс отверждения фенольно-формальдегидной резольной смолы не ограничивается стадией резола и резитола, но протекает в значительной степени и в стадии резита.

2. В стадии резита пространственная сетка образуется как физическими, так и химическими связями. Однако физические связи (водородные связи) играют существенную роль, что проявляется в эластичности резитов при повышенных температурах и в значительном уменьшении равновесных модулей эластичности при повышении температуры. Химические связи образуются при более высоких температурах и при более длительных прогревах.

3. В зависимости от температуры предварительного прогрева возможно как повышение, так и понижение модуля эластичности резита (при испытании при более высоких температурах), т. е. возможно как увеличение, так и уменьшение количества поперечных связей в резите.

Институт пластмасс и  
Физико-химический институт  
им. Л. Я. Карпова  
Москва

Поступила  
8.IX.1955

## ЛИТЕРАТУРА

1. В. А. Каргин, Г. Л. Слонимский и Л. И. Голубенкова, Журн. физ. химии, 30, 2435, 1956.
2. Г. Л. Слонимский, В. А. Каргин и Л. И. Голубенкова, Журн. физ. химии, 30, 2656, 1956.
3. Г. М. Бартнев, Журн. техн. физики, 22, 1154, 1952.

## INVESTIGATION INTO THE PROCESS OF CURING OF PHENOLFORMALDEHYDE RESINS

## III. INVESTIGATION OF RESITES

*L. I. Golubenkova, G. L. Slonimskii and V. A. Kargin (Moscow)*

## Summary

A study of the mechanical properties of resites has shown that the three-dimensional network in resins of such type is formed by bonds of both chemical and physical nature. The main role in determining the complex of mechanical properties of the resite is played by hydrogen and not by chemical bonds that are formed only on prolonged heating at elevated temperatures.

Attention is drawn to the underestimation of the part played by physical interactions in developing concepts regarding the mechanism of curing.

## ИССЛЕДОВАНИЕ АТОМНО-МОЛЕКУЛЯРНОГО СТРОЕНИЯ НЕКОТОРЫХ ОКИСЕЙ МЕТОДОМ РАДИАЛЬНОГО РАСПРЕДЕЛЕНИЯ

*Н. А. Шишаков*

Известно, что на основании диффракционной картины от поликристаллического вещества, дающей сведения о межплоскостных расстояниях, вообще говоря, невозможно получить данные о координатах атомов и о расстояниях между ними, т. е. определить структуру полностью. Некоторым выходом из затруднительного положения, создающегося при анализе малых количеств веществ в поликристаллическом виде, является применение метода радиального распределения в той форме, в какой он применяется при электронографическом анализе структуры молекул в парах. Правда, при этом удастся получать сведения лишь о немногих межатомных расстояниях, но это относится главным образом к кратчайшим расстояниям, которые часто являются особенно характерными и которые могут давать представления об атомных радиусах и о природе химической связи. Последнее обстоятельство и казалось привлекательным при анализе разнообразных веществ электронографическим методом, когда данные для полного структурного анализа являются недостаточными.

Из разнообразных известных формул для анализа радиального распределения была выбрана несколько упрощенная формула Мэкла и Саттона [1]

$$D(r) = k \Sigma I s^2 \frac{\sin sr}{sr}, \quad (1)$$

где  $I$  — интенсивность рассеяния при соответствующем значении  $s$ , а  $s = 4\pi \frac{\sin \varphi}{\lambda}$ . Правда, эта формула не позволяет непосредственно оценивать относительные числа межатомных расстояний среди других, но является достаточной для отчетливого выявления их наличия, в чем можно убедиться из приводимых далее результатов.

Окись или гидроксид  $\gamma'$ - $\text{Al}_2\text{O}_3 \cdot x\text{H}_2\text{O}$  (структура Бюргерса). Этому известному веществу приписывают формулу  $\text{Al}_2\text{O}_3$ . По данным Бюргерса с соавторами [2] и Фервэя [3] решетка принадлежит к типу каменной соли с четырьмя ионами кислорода и в среднем с  $2 \frac{2}{3}$  ионами алюминия в ячейке, распределенными статистически по октаэдрическим пустотам между анионами. Константа решетки  $a = 3,95$  Å. По аналогии с вдвое большей кубической ячейкой также дефектной структуры  $\gamma$ - $\text{Al}_2\text{O}_3$  структуре Бюргерса приписывают ту же плотность 3,6, тогда как измеренная плотность составляет 3,3. Однако это разногласие в плотностях, а также слишком различные способы получения той и другой окиси указывают на необходимость пересмотра этого вопроса. С этой целью и был применен метод радиального распределения.

Для анализа были использованы данные об углах и интенсивностях, заимствованные из работы [2] и приведенные в табл. 1. Полученная кривая радиального распределения представлена на рис. 1. Найденные из кривой межатомные расстояния перечислены в табл. 2, куда включены также и те данные, которые входят в описанную Фервэем структуру  $\gamma'$ - $\text{Al}_2\text{O}_3$ . Очевидно, что кривая достаточно хорошо показывает дей-



ствительно существующие в структуре межатомные расстояния 1,8 и 2,8 Å, которые вполне можно приписать расстояниям между ионами Al — O и ионами O — O. Однако наличие довольно резкого максимума  $r = 1,2$  Å позволяет предполагать, что это есть расстояние O — H, т. е. что данное вещество является не чистой окисью, а, скорее гидроокисью.

Таблица 1

Данные рентгенограммы  
Бюргерса

$\frac{\lambda}{2 \sin \varphi}$	$I$
1,975	5
1,396	10
1,140	10
0,988	5
0,883	5
0,806	5

Таблица 2

Межатомные расстояния в структуре  
Бюргерса

По кривой радиального распреде- ления, Å	По структуре решетки по данным Фервэя, Å
1,2	—
1,8	1,71—1,98
2,8	2,78
3,5	3,28; 3,40; 3,95
4,7	4,29; 4,80; 5,12

Если предположить, что состав вещества соответствует формуле  $AlOON$  при двух молекулах в кубической ячейке, то получим для плотности следующее значение

$$\sigma = \frac{m_H MZ}{a^3} = \frac{1,62 \cdot 10^{-24} \cdot 59,98 \cdot 2}{(3,95 \cdot 10^{-8})^3} = 3,2,$$

которое ближе к экспериментальному значению плотности 3,3, чем к вычисленному 3,6 в предположении  $2^{2/3}$  молекул  $Al_2O_3$  в ячейке. Поэтому можно считать, что предположение о наличии водорода в структуре справедливо, т. е. что вопрос о составе и структуре остается пока открытым.

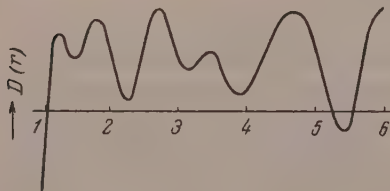


Рис. 1

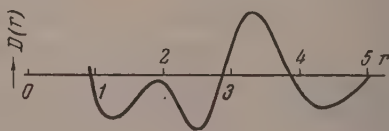


Рис. 2

Рис. 1. Кривая радиального распределения по рентгенограмме Бюргерса от структуры, обозначаемой  $\gamma'$ - $Al_2O_3$ . Первый максимум принадлежит, вероятно, расстоянию O — H

Рис. 2. Кривая радиального распределения по электронограммам от структуры  $\sigma$ - $AlOON$

Гидроокись  $\sigma$ - $AlOON$  или структура Штейнхейля  $\varepsilon$ - $Al_2O_3$ . Эта структура была обнаружена электронографическим путем Штейнхейлем [4], который приписал ей состав  $Al_2O_3$ . Впоследствии, однако, было показано [5], что это вещество является не безводной окисью а гидроокисью, вероятно, состава  $AlOON$  (в отличие от других гидроокисей алюминия ее можно обозначить буквой  $\sigma$ ). Исходя из предположения, что структура этой гидроокиси гексагональная с константами  $a = 3,08$  Å и  $c = 4,70$  Å и что решетка ионная, можно ожидать, что в ней должны встречаться расстояния 1,88 Å для Al — OH и 3,08 Å для Al — Al и OH — OH. Кривая радиального распределения, приведенная на рис. 2,

получена по данным табл. 3, заимствованным из прежней работы [5]. Как видно из кривой, в структуре действительно имеются расстояния 2,0 и 3,2 Å, близкие к указанным выше, что подтверждает правильность определения ячейки и правильность предположения, что структура по своему типу близка к типу брусита  $\alpha\text{-Mg(OH)}_2$ .

Гидроокись  $\beta\text{-Mg(OH)}_2$  (новая структура). Эта гидроокись возникает на поверхности магния и его сплавов при обработке водяным паром, кипящей водой и горячими растворами щелочей. Она представляет интерес с точки зрения антикоррозионной защиты. Первоначально предполагалось [6], что она имеет ромбическую структуру, но потом оказалось [7], что относительные интенсивности линий на электронограмме от случая к случаю меняются, причем иногда выпадает или ослабляется часть линий, а остальные указывают на гексагональный характер структуры с константами решетки

$$a = 3,29 \text{ Å}, \quad c = 5,02 \text{ Å}, \quad c/a = 1,52.$$

Если предположить, что по своему типу эта структура близка к структуре брусита и отличается от него лишь константами, то в ней должны существовать следующие кратчайшие расстояния

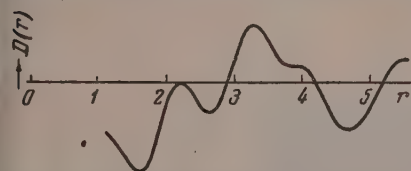


Рис. 3. Кривая радиального распределения по электронограммам от структуры  $\beta\text{-Mg(OH)}_2$

$$\text{Mg} - \text{OH} = 2,02 \text{ Å}; \quad \text{OH} - \text{OH} = 3,29 \text{ Å}$$

Кривая радиального распределения, вычисленная по данным, заимствованным из прежней работы (табл. 4), приведена на рис. 3.

Очевидно, что найденные по этим кривым кратчайшие межатомные расстояния 2,0 — 2,2 и 3,3 Å хорошо согласуются с ожидаемыми на основании вывода, что решетка гексагональна и что ее константы определены правильно.

Гидроокись железа  $\delta\text{-FeO(OH)}$ . Эта гидроокись возникает при взаимодействии водяного пара при низких давлениях со свежей

Таблица 3

Данные электронограммы  
Н. А. Шишакова [5] для  
 $\sigma\text{-AlOOH}$

$\frac{\lambda}{2 \sin \vartheta}$	I
2,644	20
1,537	30
1,321	10
1,005	10
0,893	5

Таблица 4

Данные электронограммы Шишакова для  
структуры  $\beta\text{-Mg(OH)}_2$

I	$\frac{\lambda}{2 \sin \vartheta}$	I	$\frac{\lambda}{2 \sin \vartheta}$
2	2,847	4	1,366
5	2,508	3	1,236
3	1,888	4	1,047
5	1,646	3	0,984
1	1,564	3	0,942

тонкой пленкой железа, полученного путем конденсации пара железа в самом электронографе. Согласно прежним данным [5] кристаллы имеют

гексагональную структуру с константами

$$a = 2,668 \text{ \AA}, \quad c = 4,766 \text{ \AA}, \quad c/a = 1,786.$$

Уверенности в правильности определения ячейки не было, так как эта структура явно не бруситового типа, который легко определяется. Данные для анализа радиального распределения в этой структуре, заимствованные из упомянутой работы, приведены в табл. 5, а полученная из них кривая радиального распределения представлена на рис. 4.

Таблица 5

Электроннографические данные для структуры  $\delta\text{-FeOON}$ 

$I$	$\frac{\lambda}{2 \sin \theta}$	$I$	$\frac{\lambda}{2 \sin \theta}$
18	2,316	7	1,039
30	2,079	6	0,936
2	1,707	2	0,895
2	1,602	18	0,863
30	1,335	1	0,824
18	1,168	6	0,768
18	1,122	1	0,734

Здесь также оказывается, что найденные межатомные расстояния 2,7 и 4,7  $\text{\AA}$  хорошо совпадают с константами решетки 2,67 и 4,77  $\text{\AA}$ , а следовательно, и с важнейшими расстояниями Fe — Fe в гипотетической гексагональной структуре. Этим лишний раз подтверждается и правильность прежних заключений о характере ячейки и уместность проверки таких выводов методом радиального распределения. Возмож-

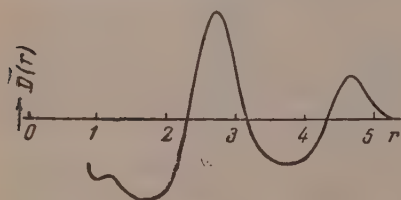


Рис. 4

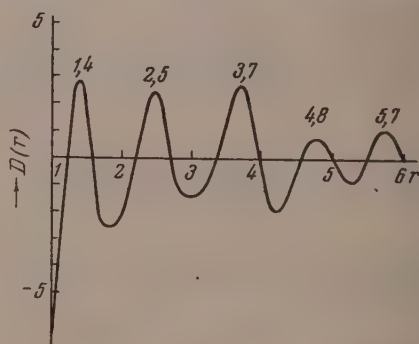


рис. 6

Рис. 4. Кривая радиального распределения по электронограмме от структуры  $\delta\text{-FeOON}$ . Первая линия, вероятно, принадлежит расстоянию O — H, как и на рис. 1

Рис. 6. Кривая радиального распределения, полученная по электроннографическим данным для окисленной поверхности золота

но, что первый максимум при  $r = 1,2 \text{ \AA}$  принадлежит расстоянию O — H, как и в случае рис. 1.

Перекись золота  $\text{AuO}_6$ . В опытах В. В. Андреевой было найдено, что поверхность золота окисляется при нагревании в кислороде при  $500^\circ\text{C}$ . Незаметная на-глаз окисная пленка, имеющая, согласно оптическим исследованиям, значительную толщину, прекрасно обнаруживается и электроннографическим способом. Измеренные по электронограмме (рис. 5) межплоскостные расстояния вместе с приближенной оценкой интенсивностей линий перечислены в табл. 6. Полученная из этих кривых кривая радиального распределения представлена на рис. 6. На ней об-



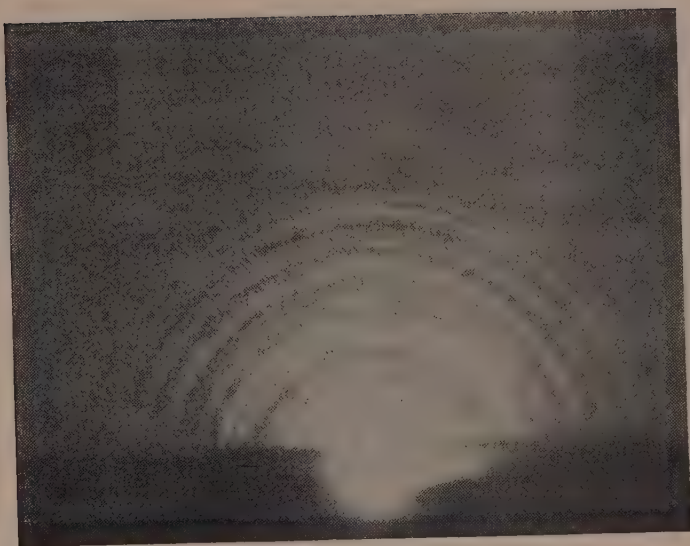


Рис. 5. Электронограмма от поверхности золота, нагревавшегося в кислороде при  $500^{\circ}\text{C}$

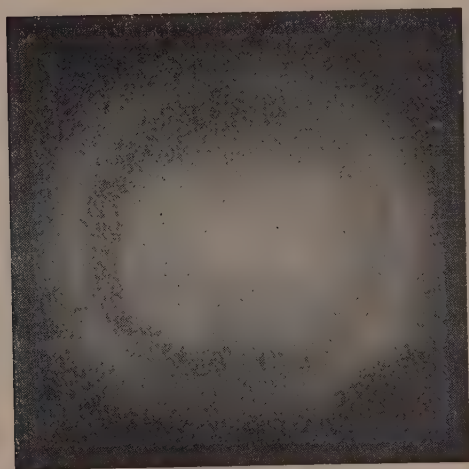


Рис. 7. Электронограмма от тонкой пленки алюминия, обработанного кислородом на аноде разрядной трубки при напряжении около  $600\text{ V}$  (получена Р. И. Назаровой)

ва) жи  
 лает,  
 агли б  
 ке-либ  
 ре,ый  
 тояв  
 и,е т  
 ждств  
 в,о обр  
 ч,е,ли  
 ть,сво  
 ж.мани  
 в,лярны  
 т,е не  
 р,му,ты  
 р,ный м  
 жидь за  
 ж,исма  
 должно б  
 д,еся 1

При  
миним.  
п-ты в  
яни, полу  
с вдухо  
серах лип  
дальней  
лик-два д  
я. обраб  
них элек  
м. фото  
рис. 8,  
юмания  
лучевны  
мел атом  
т. п. п. п.

наруживается ряд отчетливых максимумов. Большинство из них принадлежит, вероятно, расстояниям Au — Au. Расстояния Au — O вряд ли могли бы быть столь ясно выражены. К сожалению, сделать отсюда какие-либо выводы о структуре пока не представляется возможным. Однако первый максимум  $r = 1,4 \text{ \AA}$  не может относиться ни к тем, ни к другим расстояниям, так как радиусы ионов золота и кислорода весьма велики. Кроме того, кажется совершенно невероятным, что максимум появился вследствие приближенности вычислений, т. е. вследствие преждевременного обрыва ряда так как в данном случае было использовано особенно много линий, вплоть до  $d = 0,570 \text{ \AA}$ , и так как максимум выражен чрезвычайно резко. Остается предполагать, что это есть расстояние между атомами кислорода, т. е. что в структуре находятся не атомные, а молекулярные ионы кислорода. Поэтому данную структуру приходится считать не окисью, а, скорее, перекисью золота. Относительно химической формулы можно сделать следующее заключение: поскольку этот кислородный максимум имеет весьма большую площадь, он мог бы возникнуть лишь за счет очень большого относительного количества кислорода. При максимальной известной валентности золота на каждой ион золота  $\text{Au}^{3+}$  должно было бы приходиться три одновалентных иона  $\text{O}_2^-$ , почему и приходится приписывать этому веществу формулу  $\text{AuO}_6$ .

Таблица 6

Данные электронограммы от окисной пленки на золоте

$I$	$\frac{\lambda}{2 \sin \vartheta}$	$I$	$\frac{\lambda}{2 \sin \vartheta}$
2	5,21	2	1,123
5	3,106	5	1,043
10	2,704	2	1,007
10	2,246	1	0,942
1	2,028	5	0,912
2	1,825	2	0,864
10	1,738	1	0,816
10	1,587	2	0,764
1	1,521	2	0,726
1	1,431	2	0,689
5	1,364	1	0,629
2	1,304	2	0,603
1	1,206	1	0,570
5	1,177		

Природа первичной окисной пленки на алюминии. Этот вопрос остается до сих пор неразрешенным. Делались попытки наблюдать электронографически такую пленку на чистом алюминии, полученном путем конденсации в вакууме и соприкасавшемся затем с воздухом. Однако лишь в одном только случае [8] было обнаружено сверх линий алюминия диффузное кольцо с величиной  $\frac{\sin \vartheta}{\lambda} = 0,15 \text{ \AA}$ . В дальнейшем [9] было показано, что кроме такого же кольца получаются одно-два диффузных кольца на электронограмме от тонких пленок алюминия, обрабатывавшихся в электрическом разряде в кислороде. Одна из таких электронограмм приведена на рис. 7. С одной из них была получена микрофотометрическая кривая. При обработке последней, как это видно на рис. 8, приходилось учитывать также фон от остатков металлического алюминия и структуры Бюргерса, всегда возникающей при разряде. Полученные за вычетом общего фона кривые почернения от аморфной окиси алюминия показаны внизу на том же рис. 8. Найденные две симметричные кривые складывались, и из них выводилась средняя кривая



почернения, которая, вместе с вычисленной из нее кривой интенсивностей представлена далее на рис. 9.

Для получения кривых радиального распределения были использованы обе эти кривые. В обоих случаях в качестве членов суммы (1) брались

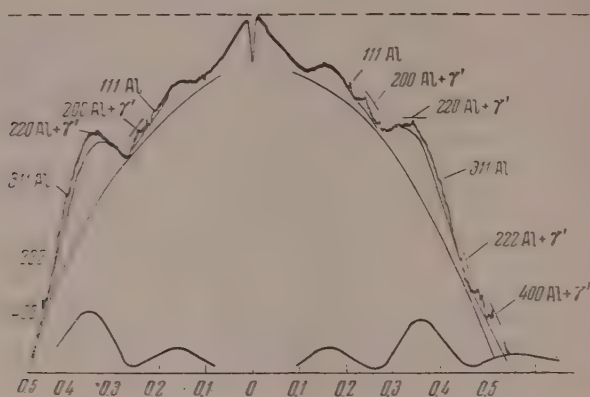


Рис. 8. Микрофотометрическая кривая, полученная по электронограмме от окисленной в кислородном разряде алюминиевой пленки

по 21 значению  $s$  (от  $\sin^2 \lambda = 0,100$  до  $\sin^2 \lambda = 0,600$  с интервалами 0,025), умноженному на соответствующую интенсивность или почернение. Полученные кривые представлены на рис. 10. Для грубой проверки этих громоздких вычислений была также получена кривая по трем ординатам,

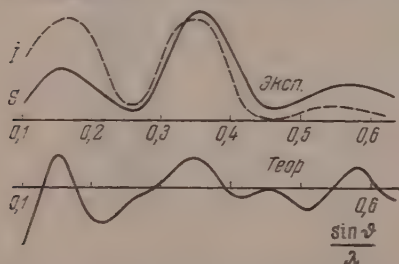


Рис. 9. Сравнение теоретической кривой интенсивностей рассеяния аморфной окисной пленкой на алюминии (нижняя кривая) с экспериментально полученными кривыми почернений и интенсивностей (верхние кривые)

соответствующим максимумам на верхних кривых рис. 9 при значениях  $\sin^2 \lambda$ , равных 0,15; 0,36 и 0,57, причем для  $I$  были приняты значения соответственно 10, 10 и 5. Полученная кривая радиального распределения представлена на рис. 11.

Все эти три кривые радиального распределения согласно показывают, что для аморфной окисной пленки на алюминии характерными являются межатомные расстояния  $1,85 \pm 0,05$  и  $3,1 \pm 0,1$  Å.

Первое из них означает, вероятно, расстояние Al — O. Действительно, если считать, что при взаимодействии кислорода с алюминием происходит разрыв молекулы кислорода и ионизация атомов, то расстояние Al — O в возникающем соединении будет  $0,57 \div 1,32 = 1,89$  Å. Второй максимум соответствует, вероятно, расстоянию O — O в возникающих полиэдрах. Если предположить, что ион алюминия окружен четырьмя ионами кислорода, то из расстояния 1,85 от центра тетраэдра до его вершины находим, что длина ребра тетраэдра равна  $1,85 \sqrt{3/2} = 3,02$  Å, т. е. близка к найденной величине 3,1 Å. Наоборот, в предположении шестерной координации мы получили бы для длины ребра октаэдра величину  $1,85 \sqrt{2} = 2,61$  Å, которой на кривых радиального распределения не наблюдается. Отсюда следует заключение, что для данной аморфной окиси алюминия характерной является только тетраэдрическая координация, т. е. что в этом отно-

шении окись резко отличается от известных кристаллических окисей, где имеется также и октаэдрическая координация.

На основании этих и других электронографических данных, а также на основании сведений об адсорбции кислорода алюминием, можно составить себе общее представление о природе окисной пленки на алюминии. В работе Н. К. Андрущенко и П. Д. Данкова [10] методом медленного натекания было показано, что при давлениях кислорода порядка  $10^{-1}$  мм рт. ст. толщина окисной пленки на алюминии составляет 8—10 Å, что

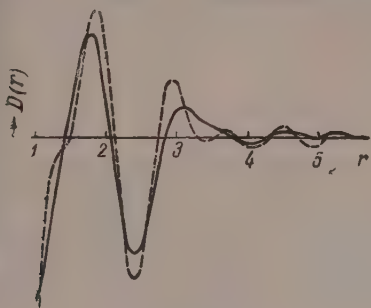


Рис. 10

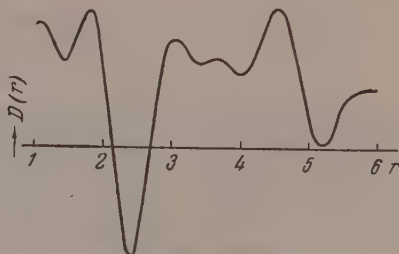


Рис. 11

Рис. 10. Кривые радиального распределения для аморфной окиси алюминия, полученные по кривой почернения (пунктирная кривая) и по кривой интенсивностей (сплошная кривая)

Рис. 11. Кривая радиального распределения для аморфной окиси алюминия, полученная по трем максимумам почернения при  $\sin \vartheta/\lambda = 0,15; 0,36$  и  $0,57$

соответствует 4—5 слоям кислородных анионов. Эта величина, найденная при расчете на видимую поверхность конденсированного на стекле алюминия, должна быть уменьшена примерно вдвое в соответствии со значительно большей истинной поверхностью, так что действительная толщина пленки должна быть оценена в два слоя кислородных анионов. Позднейшими опытами Н. К. Андрущенко [11] с малыми давлениями кислорода, проведенными в несколько других условиях и отчасти другими методами, эти результаты в основном были подтверждены, хотя в некоторых опытах получились намеки на толщину пленки, скорее, в три слоя анионов при расчете на истинную поверхность.

Эти соображения о толщине пленки могут быть перенесены и на случай окисной пленки на алюминии, образующейся при атмосферном давлении воздуха, хотя соответствующих непосредственных измерений, по-видимому, пока произведено не было. Утверждать это позволяют многочисленные опыты с конденсированными в вакууме пленками алюминия, длительное время находившимися на воздухе. При просвечивании таких пленок электронами они неизменно обнаруживают лишь линии металлического алюминия и полное отсутствие фона или диффузных колец. Единственным исключением был опыт [8], приведший к обнаружению одного диффузного кольца с  $\sin \vartheta/\lambda = 0,153$ . Правда, во многих последующих опытах с «отражением» электронов от пленок алюминия, полученных конденсацией на пьезокварцевой пластинке или на поверхности полированного железа, обнаруживались практически те же три диффузных кольца и сильный фон, какие возникают при газовом электрическом разряде. Это и не удивительно, так как при скольжении электронного луча вдоль поверхности имеет место незначительное его проникновение вглубь слоя и взаимодействие с несравненно более многочисленными точками, покрытыми окисной пленкой, чем в опытах с просвечиванием, где дифракция идет

главным образом за счет находящегося под пленкой металла. Таким образом приходится считать, что толщина и характер первичной окисной пленки на алюминии при всех этих условиях не зависят от давления кислорода.

Для проверки этих выводов, полученных методом радиального распределения, было проведено вычисление интенсивностей рассеяния как функции  $\sin \vartheta/\lambda$  в предположении наличия найденных межатомных расстояний 1,8; 3,1; 3,7 и 4,5 Å, причем для первых двух вес  $4\pi r$  был принят равным единице, а для последних двух равным двойке. Вычисление производилось по формуле Дебая без атомных множителей

$$I = \sum \sum \frac{\sin \left[ 4\pi \frac{\sin \vartheta}{\lambda} r \right]}{4\pi \frac{\sin \vartheta}{\lambda} r} \quad (2)$$

Результаты вычислений представлены внизу на рис. 9, откуда видно что все три максимума в основном воспроизводятся при тех же  $\sin \vartheta/\lambda$ , при каких они наблюдаются на опыте.

Если основываться на полученных сведениях о межатомных расстояниях и о толщине окисной пленки, то общее ее строение можно представить себе так, как это указано на рис. 12. На поверхности металла находится слой кислородных ионов. На этом слое правильным образом уложены катионы. Следующий слой анионов расположен так, что катионы оказываются изолированными от воздействия атмосферного воздуха и лишенными возможности диффундировать наружу. По этой причине пленка оказывается полностью достроенной и притом имеющей защитные свойства. Конечно, самый верхний слой пленки и должен состоять из кислорода, так как иначе он был бы активным, и пленка продолжала бы расти. Однако с такою же определенностью можно говорить здесь и о структуре нижнего слоя. Чтобы он тоже мог считаться достроенным, надо, чтобы заряды анионов были



Рис. 12. Строение первичной окисной пленки на алюминии. Большие шары означают кислородные анионы, малые — алюминиевые катионы. Непосредственно под этой пленкой должны располагаться атомы самого металла

насыщены и снизу. Это было бы возможным только тогда, когда примыкающие к анионному слою катионы приходились бы на пустоты между анионами. Это значит, что структура верхней части металла приспособлена к окисной пленке и тем самым отличается от структуры нижележащих слоев металла.

В добавление к этим данным о структуре окисной пленки на алюминии можно сказать еще, что вследствие перемещений атомов алюминия при постройке под нею образуются пустоты, которые могут заполняться как путем перестройки поверхности металла, так и путем приспособления рельефа пленки к рельефу поверхности металла.

### ВЫВОДЫ

Выяснено, что метод радиального распределения в его простой форме с большой пользой может применяться к анализу строения твердых тел. Таким путем получены сведения о структуре некоторых окисей. Чтобы подчеркнуть оригинальность этих сведений, окисы обозначены новыми



реческими буквами. Приведенные химические формулы имеют условный характер — они написаны в представленном виде по соображениям стехиометрии, но из-за малых количеств вещества судить о действительном его составе пока невозможно. О составе первичной окисной пленки на алюминии трудно судить также и из-за ее непосредственной связи самим металлом. Во всяком случае, в отличие от прежних работ по этому вопросу, не дающих ясных представлений о действительной природе этой пленки, приведенные сведения, по-видимому, можно считать близкими действительности.

Академия наук СССР  
Институт физической химии  
Москва

Поступила

10.XII.1955

#### ЛИТЕРАТУРА

1. H. Mackle a. L. Sutton, Trans. Farad. Soc., **47**, 691, 1937, 951.
2. W. Burgers, A. Claassen, J. Zernike, Zs. Phys., **74**, 543, 1932.
3. E. Verwey, Zs. Krist., **91**, 317, 1935.
4. A. Steinheil, Ann. Phys. (5), **19**, 465, 1934.
5. Н. А. Шишаков, Журн. физ. химии, **26**, 106, 1952.
6. Н. А. Шишаков, Журн. физ. химии, **26**, 358, 1952.
7. Н. К. Андрущенко и Н. А. Шишаков, Журн. физ. химии, **30**, 1966, 1956.
8. П. Д. Данков, А. А. Кочетков и Н. А. Шишаков, Изв. АН СССР, ОХН, № 5, 274, 1942.
9. П. Д. Данков, Д. В. Игнатов и Н. А. Шишаков, Электронография, исслед. окисных и гидроокисных пленок на металлах, Изд-во АН СССР, 1953, стр. 86.
10. Н. К. Андрущенко и П. Д. Данков, ДАН, **62**, 353, 1948.
11. Н. К. Андрущенко, Журн. физ. химии, **30**, 1900, 1956.

#### A STUDY ON THE ATOMIC-MOLECULAR STRUCTURE OF SOME OXIDES BY THE RADIAL DISTRIBUTION METHOD

*N. A. Shishakov (Moscow)*

#### Summary

The results of investigations are described of the new hydrated and non-hydrated oxides  $\gamma'$ -AlOOH,  $\sigma$ -AlOOH,  $\beta$ -Mg(OH)<sub>2</sub>,  $\delta$ -FeOOH and AuO<sub>2</sub> and of the primary oxide film on aluminum. For the first four substances the values for the interatomic distances previously found from powder diagrams have been confirmed by the radial distribution method. In the case of gold oxide, produced on heating the gold in an atmosphere of oxygen at 500° C, a distance of 1.4 Å was found, bearing evidence to the presence of molecular ions of oxygen. In the primary oxide film on aluminum distances of 1.89 and 3.1 Å were found. It was inferred that in this highly thin film the aluminum ions were present in the tetrahedral vacancies, distinguishing this film from other oxides of aluminum.

## К ВОПРОСУ О ЗАВИСИМОСТИ МЕЖДУ ИЗМЕНЕНИЯМИ ТЕМПЕРАТУРЫ, ДАВЛЕНИЯ И СОСТАВА БИНАРНЫХ АЗЕОТРОПОВ

*А. В. Сторонкин и А. Г. Морачевский*

Вопрос о влиянии изменения температуры на смещение состава бинарных азеотропов был впервые исследован и в качественной форме разрешен М. С. Вревским [1, 2]. Полученные им результаты известны в литературе под названием второго правила или второго закона Вревского.

Со времени работ Вревского влияние температуры на состав азеотропов явилось предметом исследования ряда авторов. В. А. Киреевым [3], Карлсоном и Кольбурном [4], Коулсоном и Герингтоном [5] были предложены уравнения для количественного расчета влияния температуры на состав азеотропа. Уравнения названных авторов, при всех их несомненных достоинствах, основаны, в различной степени, на использовании полуэмпирических или приближенных закономерностей, что, естественно, лишает их общности применения.

Редлиц и Шутц [6], а также один из авторов настоящей статьи [7], вывели дифференциальное уравнение вида:

$$\left(\frac{dx_1}{dT}\right)_{аз} = - \frac{1 - x_1}{\left(\frac{\partial \ln f_1^{(1)}}{\partial x_1^{(1)}}\right)_{P,T}} \frac{L_1 - L_2}{RT^2}, \quad (1)$$

где  $x_1$  — молярная доля первого компонента в азеотропной смеси;  $L_1$  и  $L_2$  — парциальные молярные теплоты испарения первого и второго компонента,  $f_1^{(1)}$  — рациональный коэффициент активности первого компонента в растворе. Нижний индекс «аз» указывает, что производная берется при сохранении условий азеотропии, индекс «аз» сверху указывает на то, что производная берется для азеотропного состава, но без сохранения условий азеотропии.

Уравнение (1) является, по существу, математической формулировкой второго закона Вревского. Это уравнение выведено на основании общих термодинамических положений [7], но оно мало пригодно для практического использования.

Уравнение (1), однако, можно преобразовать и привести к более удобному виду. Для этой цели используем очевидные соотношения:

$$\mu_1^{(1)} = \mu_1^{(2)}$$

или

$$\mu_1^0(T, P) + RT \ln x_1^{(1)} + RT \ln f_1^{(1)} = \mu_1^0(T) + RT \ln P + RT \ln x_1^{(2)}, \quad (2)$$

где  $\mu_1^{(1)}$  и  $\mu_1^{(2)}$  — химический потенциал первого компонента в растворе и в паре;  $x_1^{(1)}$  и  $x_1^{(2)}$  — молярные доли первого компонента в растворе и в паре.

Известно [7], что для азеотропного состава полные производные для изотермических или изобарических условий численно равны частным

производным при изотермо-изобарических условиях. Так, например,

$$\left(\frac{d \ln f_1^{(1)}}{dx_1^{(1)}}\right)_T^{\text{аз}} = \left(\frac{\partial \ln f_1^{(1)}}{\partial x_1^{(1)}}\right)_{P,T}^{\text{аз}} + \left(\frac{\partial \ln f_1^{(1)}}{\partial P}\right)_{T,x_1^{(1)}}^{\text{аз}} \left(\frac{dP}{dx_1^{(1)}}\right)_T^{\text{аз}} = \left(\frac{\partial \ln f_1^{(1)}}{\partial x_1^{(1)}}\right)_{P,T}^{\text{аз}},$$

поскольку производная  $(dP/dx_1^{(1)})_T^{\text{аз}}$  равна нулю. Поэтому для азеотропного состава путем дифференцирования выражения (2) по молярной доле  $x_1^{(1)}$  при изотермических или изобарических условиях возможно получить следующее выражение:

$$\frac{1}{x_1} + \left(\frac{\partial \ln f_1^{(1)}}{\partial x_1^{(1)}}\right)_{T,P}^{\text{аз}} = \frac{1}{x_1} \left(\frac{\partial x_1^{(2)}}{\partial x_1^{(1)}}\right)_{T,P}^{\text{аз}}$$

или

$$\left(\frac{\partial \ln f_1^{(1)}}{\partial x_1^{(1)}}\right)_{T,P}^{\text{аз}} = \frac{1}{x_1} \left[ \left(\frac{\partial x_1^{(2)}}{\partial x_1^{(1)}}\right)_{T,P}^{\text{аз}} - 1 \right], \quad (3)$$

где  $x_1 = x_1^{(1)} = x_1^{(2)}$ .

На основании (3) уравнение (1) приводится к виду:

$$\left(\frac{dx_1}{dT}\right)_{\text{аз}} = \frac{x_1 x_2}{1 - \left(\frac{\partial x_1^{(2)}}{\partial x_1^{(1)}}\right)_{T,P}^{\text{аз}}} \frac{L_1 - L_2}{RT^2}, \quad (4)$$

где  $x_1$  и  $x_2$  — молярные доли первого и второго компонентов в азеотропе. Поскольку для азеотропа выполняется условие

$$\left(\frac{\partial x_1^{(2)}}{\partial x_1^{(1)}}\right)_{P,T}^{\text{аз}} = \left(\frac{dx_1^{(2)}}{dx_1^{(1)}}\right)_T^{\text{аз}} = \left(\frac{dx_1^{(2)}}{dx_1^{(1)}}\right)_P^{\text{аз}}, \quad (5)$$

то значение производной, входящей в уравнение (4), может быть легко рассчитано, если известны данные по равновесию в двойной системе раствор-пар для изобарических или изотермических условий. Значение указанной производной определяется наклоном касательной к кривой  $x_1^{(2)} = f(x_1^{(1)})$  в точке азеотропа.

Нетрудно показать также [7], что производная

$$\left(\frac{\partial x_1^{(2)}}{\partial x_1^{(1)}}\right)_{P,T}^{\text{аз}}$$

будет по своей величине меньше единицы в случае азеотропа с минимумом температуры кипения и больше единицы в случае азеотропа с максимумом температуры кипения. Следовательно, знак разности в знаменателе уравнения (4) определяется типом азеотропа:

$$\begin{aligned} \left[ 1 - \left(\frac{\partial x_1^{(2)}}{\partial x_1^{(1)}}\right)_{P,T}^{\text{аз}} \right] &> 0 \text{ при мин } T \text{ (макс } P), \\ \left[ 1 - \left(\frac{\partial x_1^{(2)}}{\partial x_1^{(1)}}\right)_{P,T}^{\text{аз}} \right] &< 0 \text{ при макс } T \text{ (мин } P). \end{aligned} \quad (6)$$

Знак же производной  $(dx_1/dT)_{\text{аз}}$  для азеотропа данного типа будет определяться знаком разности  $L_1 - L_2$ . Абсолютное значение производной  $(\partial x_1^{(2)}/\partial x_1^{(1)})_{P,T}^{\text{аз}}$  зависит от степени различия между составами раствора и пара данной бинарной системы; иначе говоря, от формы «рыбки».

Очевидно, что производная будет близка к единице [и, следовательно, будет мал знаменатель в правой части уравнения (4)] при небольшой разнице между составами раствора и пара двойной системы. В уравнение (4)



входят величины, имеющие простой физический смысл. Численные значения этих величин возможно оценить для каждой конкретной системы. На основании (4) можно указать факторы, которые определяют величину  $(dx_1/dT)_{аз}$  — скорость смещения состава азеотропа при изменении температуры.

Из (4) следует, что скорость смещения состава азеотропа при изменении температуры будет тем больше, чем:

1) больше по абсолютной величине разность парциальных молярных теплот испарения компонентов;

2) меньше разница в составах раствора и пара в данной системе (имеется в виду общий характер равновесия раствор — пар в двойной системе);

3) ближе состав азеотропной смеси к эквимолярному, так как произведение  $x_1x_2$  имеет наибольшее значение (0,25) при  $x_1 = x_2 = 0,5$  и уменьшается при удалении состава азеотропа от эквимолярного\*.

Уравнение (4) может быть использовано и для количественного расчета значения производной  $(dx_1/dT)_{аз}$ , если известны данные о равновесии двойной системы раствор — пар (безразлично, при изобарических или изотермических условиях) и данные о теплотах испарения.

Дифференциальный вид уравнения не исключает возможности использования его для расчетов, так как, судя по имеющимся к настоящему времени экспериментальным данным, зависимость состава бинарных азеотропов от температуры линейна или очень близка к таковой. Другое затруднение в использовании уравнения для расчетов состоит в том, что  $L_1$  и  $L_2$  являются парциальными молярными теплотами испарения, а их значения известны для ограниченного числа двойных систем. Однако использование теплот испарения чистых компонентов вместо парциальных теплот не приведет к большой ошибке и вполне допустимо для ориентировочного расчета\*\*, особенно при значительной разнице в теплотах испарения чистых компонентов.

Очевидно, что из уравнения (4) легко получить уравнение, определяющее влияние давления на состав азеотропа. Для этого надо только в (4) заменить  $dT$  на  $dP$  при помощи уравнения Клапейрона — Клаузиуса, справедливого для азеотропов.

### ЭКСПЕРИМЕНТАЛЬНАЯ ЧАСТЬ

Определены составы азеотропов при различных значениях температуры и давления (в интервале давлений от 100 до 760 мм рт. ст.) в следующих двойных системах: бензол — циклогексан, бензол — изопропиловый спирт, бензол — н-пропиловый спирт, бензол — изобутиловый спирт, циклогексан — этиловый спирт, циклогексан, изопропиловый спирт, циклогексан — н-пропиловый спирт, циклогексан — этилацетат.

Реактивы подвергались тщательной очистке, проверявшейся измерением нескольких из числа наиболее характерных физико-химических констант. Препараты, использованные для работы, имели следующие константы: бензол — т. кип. 80,09°C; т. пл. 5,52°C;  $n_D^{20}$  1,5011; циклогексан — т. кип. 80,74°C; т. пл. 6,48°C;  $n_D^{20}$  1,4263; изопропиловый спирт — т. кип. 82,28°C;  $n_D^{20}$  1,3863; этилацетат — т. кип. 77,20°C;  $n_D^{20}$  1,3724; этиловый спирт — т. кип. 78,32°C;  $n_D^{20}$  1,3614; изобутиловый спирт —  $n_D^{20}$  1,3959.

Для анализа двойных смесей использовалась рефрактометрическая методика. Измерения  $n_D^{20}$  проводились с точностью до  $\pm 0,0001$  значения показателя преломления. Это обеспечивало точность анализа исследованных двойных смесей от  $\pm 0,1$  до  $\pm 0,25\%$ .

\* Первое обстоятельство общеизвестно. Второе близко к замечанию В. А. Киреева [8] о том, что чем острее экстремум на кривой давления пара, тем меньше влияние температуры на его положение по составу, но не вполне совпадает с ним, так как разница в составах раствора и пара при плоском экстремуме не всегда мала.

\*\* На возможность использования теплот испарения чистых компонентов в подобных расчетах указывал В. А. Киреев.

(в зависимости от характера влияния изменения состава на показатель преломления двойной смеси).

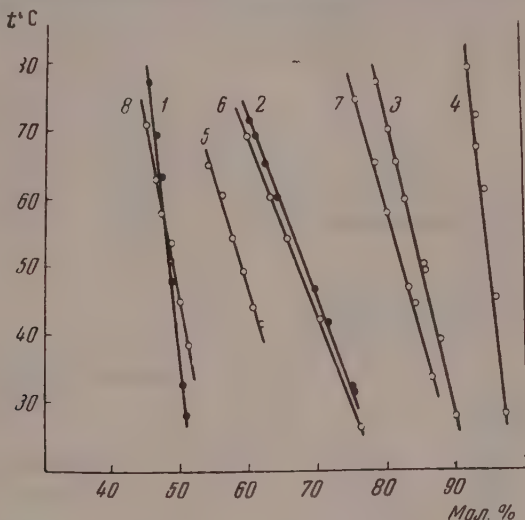
Составы азеотропов устанавливались при помощи ректификационных опытов на колонке со стеклянной насадкой эффективностью около 20 теоретических тарелок. Колонка имела головку специальной конструкции и была соединена с вакуумной установкой, включающей автоматический маностат, что обеспечивало возможность проводить ректификацию при любом значении давления в интервале от 100 до 760 мм рт. ст.

Точность определения состава азеотропа при нормальном давлении определяется практически точностью анализа. При пониженных давлениях точность несколько меньше. Можно считать, что температуры кипения азеотропов определены с точностью  $\pm 0,1-0,15^\circ\text{C}$ , а значения давления пара — с точностью  $\pm 1,5$  мм рт. ст.

Экспериментальные данные приведены в табл. 1—8.

Данные табл. 1—8 графически представлены на рисунке (на абсциссе — мол. % компонента 1).

Как видно из рисунка, для всех исследованных систем зависимость состава азеотропа от температуры в исследованном интервале температур является линейной. Для всех систем, кроме системы бензол — н-пропиловый спирт, данные для составов азеотропных смесей при нормальном



Зависимость состава бинарных азеотропов от температуры. 1 — циклогексан — бензол; 2 — бензол — изопропиловый спирт; 3 — бензол — н-пропиловый спирт; 4 — бензол — изобутиловый спирт; 5 — циклогексан — этиловый спирт; 6 — циклогексан — изопропиловый спирт; 7 — циклогексан — н-пропиловый спирт; 8 — циклогексан — этилацетат

давлении (760 мм рт. ст.) отличаются от приведенных в справочнике Хорли [8] на 1—4 мол. %. Полученные экспериментальные данные могут быть легко истолкованы при помощи уравнения (4). Так, например, в ряду систем  $\text{C}_6\text{H}_6$  — изо- $\text{C}_3\text{H}_7\text{OH}$ ,  $\text{C}_6\text{H}_6$  — н- $\text{C}_3\text{H}_7\text{OH}$ ,  $\text{C}_6\text{H}_6$  — изо- $\text{C}_4\text{H}_9\text{OH}$  величина разности теплот испарения заметно возрастает (как для теплот испарений чистых компонентов, так и для парциальных молярных теплот испарения при азеотропном составе), но скорость смещения состава азеотропа при изменении температуры, наоборот, наибольшая для системы  $\text{C}_6\text{H}_6$  — изо- $\text{C}_3\text{H}_7\text{OH}$  и наименьшая для системы  $\text{C}_6\text{H}_6$  — изо- $\text{C}_4\text{H}_9\text{OH}$ . Такое положение объясняется в первую очередь резким различием в значениях произведения  $x_1x_2$  для рассматриваемых систем. При  $50^\circ\text{C}$  указанное произведение имеет значение 0,22

Таблица 1

## Азеотроп бензол—циклогексан \*

$t, ^\circ\text{C}$	$P, \text{мм рт. ст.}$	Мол. % циклогексана в азеотропе
77,56	760	46,2
69,8	602	46,9
63,7	495	47,4
50,4	307	48,8
48,3	287	48,9
33,1	155	50,2
28,4	128	50,6

\* В системе бензол—циклогексан для двух температур состав азеотропа может быть определен из приведенных в работе Скотчарда и сотрудников [9] данных по равновесию раствор—пар для этой системы. Данные Скотчарда согласуются с нашими.

Таблица 2

## Азеотроп бензол—изопропиловый спирт

$t, ^\circ\text{C}$	$P, \text{мм рт. ст.}$	Мол. % бензола в азеотропе
71,74	760	60,2
69,3	695	61,0
65,3	607	62,6
60,4	509	64,3
46,6	296	69,4
41,8	243	71,3
32,2	157	74,8
31,8	155	74,9

Таблица 3

## Азеотроп бензол—н-пропиловый спирт

$t, ^\circ\text{C}$	$P, \text{мм рт. ст.}$	Мол. % бензола в азеотропе
77,10	760	78,8
70,1	610	80,4
65,4	516	81,4
59,9	423	82,9
50,2	293	85,3
49,8	289	85,4
39,4	189	87,7
28,0	123	89,9

Таблица 4

## Азеотроп бензол—изобутиловый спирт

$t, ^\circ\text{C}$	$P, \text{мм рт. ст.}$	Мол. % бензола в азеотропе
79,3	760	92,2
72,0	613	93,1
67,4	525	93,4
60,7	413	94,2
45,0	240	95,7
28,4	111	97,2

Таблица 5

## Азеотроп циклогексан—этиловый спирт

$t, ^\circ\text{C}$	$P, \text{мм рт. ст.}$	Мол. % циклогексана в азеотропе
64,8	767	54,6
60,8	643	56,4
54,3	507	57,7
49,3	420	59,3
44,3	340	60,5
41,2	296	61,6

Таблица 6

## Азеотроп циклогексан—изопропиловый спирт

$t, ^\circ\text{C}$	$P, \text{мм рт. ст.}$	Мол. % циклогексана в азеотропе
69,40	760	60,4
60,2	549	63,4
54,1	434	65,8
42,5	270	70,2
26,3	129	76,2

Таблица 7

## Азеотроп циклогексан—н-пропиловый спирт

$t, ^\circ\text{C}$	$P, \text{мм рт. ст.}$	Мол. % циклогексана в азеотропе
74,69	760	75,9
65,4	560	78,4
58,0	429	80,2
46,8	277	83,2
44,3	250	84,2
33,8	161	86,7

для азеотропа  $C_6H_6$  — изо- $C_3H_7OH$ , 0,13 — для азеотропа  $C_6H_6$  —  $-C_3H_7OH$  и 0,05 — для азеотропа  $C_6H_6$  — изо- $C_4H_9OH$ .

В системе  $C_6H_6$  —  $C_6H_{12}$  теплоты испарения компонентов близки между собой. Поэтому при повышении температуры раствора постоянного состава состав пара изменяется очень мало. Так, при повышении температуры на  $30^\circ C$  состав пара изменяется лишь на десятые доли процента [9]. Состав же азеотропа при повышении температуры, как видно из рисунка, изменяется значительно быстрее, что объясняется малой разницей в составах раствора и пара и близостью состава азеотропа к эквимолярному.

Для систем бензол — циклогексан, бензол — изопропиловый спирт и циклогексан — изопропиловый спирт имеются данные [10], необходимые для расчета по уравнению (4). Экспериментальные данные и вычисленные при помощи уравнения (4) приведены в табл. 9.

В табл. 9 в столбце I приведены данные расчета с использованием значений парциальных молярных теплот испарения \*, а в столбце II — теплот испарения чистых компонентов.

Видно, что совпадение результатов расчета и опыта вполне удовлетворительное. Уравнение (4) является термодинамическим, и поэтому точность расчета по нему определяется практически только точностью исходных данных\*\*. Имеющееся небольшое расхождение между данными опы-

Таблица 8

Азеотроп циклогексан — этилацетат

$t, ^\circ C$	$P$ , мм рт. ст.	Мол. % циклогексана в азеотропе
71,1	756	45,7
63,0	581	46,9
58,2	488	47,7
53,6	415	48,7
45,1	301	50,0
38,7	233	51,1

Таблица 9

Азеотропы	$t, ^\circ C$	$(dx/dT)_{aa} \cdot 100$ , моль/град		
		По расчету		Из опыта
		I	II	
Бензол — циклогексан	70	0,08	0,08	0,09
		0,08	0,08	0,09
Бензол — изопропиловый спирт	70	0,37	0,39	0,365
	55	0,38	0,40	0,365
	40	0,35	0,39	0,365
Циклогексан — изопропиловый спирт	70	0,33	0,35	0,37
	55	0,35	0,36	0,37
	40	0,36	0,38	0,37

та и расчета является естественным, если учесть приближенность метода определения парциальных теплот испарения и возможность некоторой ошибки при графическом определении значения производной  $\left( \frac{\partial x_1^{(2)}}{\partial x_1^{(1)}} \right)_{T, a}^{aa}$ .

В экспериментальной работе принимала участие Л. С. Кудрявцева.

### Выводы

1. Известное ранее термодинамическое уравнение, связывающее изменение температуры, давления и состава двойных азеотропов, приведено к виду более простому и пригодному для практического использования.

\* Парциальные молярные теплоты испарения рассчитывались на основании данных о зависимости от температуры парциальных давлений для раствора постоянного состава [10].

\*\* Как указывалось, уравнение выведено из общих термодинамических положений, что можно пренебречь объемным фактором и что к пару применимы законы идеальных газов [7]. Эти допущения практически не влияют на результаты расчета.



Полученное уравнение позволяет выявить факторы, определяющие степень влияния изменения температуры на состав азеотропа. При наличии для двойной системы данных о равновесии между раствором и паром и о теплотах испарения оно может быть использовано для расчета скорости смещения состава азеотропа при изменении температуры.

2. Экспериментально исследовано смещение состава азеотропа при изменении температуры и давления для систем бензол — циклогексан, бензол — изопропиловый спирт, бензол — *n*-пропиловый спирт, бензол — изобутиловый спирт, циклогексан — этиловый спирт, циклогексан — изопропиловый спирт, циклогексан — *n*-пропиловый спирт и циклогексан — этилацетат.

Ленинградский государственный  
университет им. А. А. Жданова

Поступила  
13.XII.1955

#### ЛИТЕРАТУРА

1. М. С. Вревский, О составе и упругости пара растворов, 1911.
2. М. С. Вревский, Работы по теории растворов, М.—Л., 1953.
3. В. А. Киреев, Журн. физ. химии, 15, 481, 1941.
4. Н. С. Carlson a. A. P. Colburn, Ind. Eng. Chem., 34, 581, 1942.
5. E. A. Coulson a. E. F. G. Herington, Journ. Chem. Soc., 69, 597, 1947.
6. O. Redlich a. P. W. Shutz, Journ. Amer. Chem. Soc., 66, 1007, 1944.
7. А. В. Сторонкин, Вестн. Ленингр. ун-та, № 8, 187, 1953.
8. G. Scatchard Wood a. Moschel, Journ. Phys. Chem. 43, 119, 1939.
9. Л. Хорсли, Таблицы азеотропных смесей, Москва, 1951. Вступительная статья В. А. Киреева.
10. А. В. Сторонкин, А. Г. Морачевский. Журн. физ. химии, 30, 1297, 1956.

#### ON THE RELATION BETWEEN CHANGES IN TEMPERATURE, PRESSURE AND THE COMPOSITION OF BINARY AZEOTROPES

*A. V. Storonkin and A. G. Morachevskii (Leningrad)*

#### Summary

The previously known thermodynamic equation connecting the changes in temperature, pressure and composition of binary azeotropic mixtures has been reduced to a simpler form, more convenient for practical use. Based on the derived equation the factors have been indicated determining the influence of the temperature on the azeotrope composition. The results are presented of an experimental investigation of the shift in azeotrope composition under changes in temperature and in pressure (over the range 100—760 mm Hg) for the systems benzene—cyclohexane, benzene—*isopropyl alcohol*, benzene—*n-propylalcohol*, benzene—*isobutyl alcohol*, cyclohexane—*ethyl alcohol*, cyclohexane—*isopropyl alcohol*, cyclohexane—*n-propyl alcohol* and cyclohexane—*ethyl acetate*. The experimental results have been discussed in the light of the derived equation.

## О ПРОЦЕССЕ СТАРЕНИЯ «ПЕРЕСЫЩЕННЫХ» ЦИНКАТНЫХ РАСТВОРОВ

В. Н. Флёров

Цинкатные растворы, их старение, равновесные твердые фазы в стареющих растворах были объектом внимания ряда исследователей. Однако, несмотря на это, до сих пор нет общепринятого взгляда на их природу и механизм старения.

Часть исследователей (1,2) приписывала цинкатным растворам чисто коллоидальный характер, рассматривая старение как следствие коагуляции коллоидной фазы. В других работах [3–5] на основе электрометрических исследований с цинковым и окислортуговым электродами делается вывод о ионном состоянии цинка в таких растворах.

В ряде работ [6,7] указывается на выделение цинкатных соединений в свободном состоянии.

Обширные исследования по получению различных цинкатных соединений, детальное изучение их свойств привели почти к единому мнению о природе цинкатных растворов. Возможности существования коллоидальной фазы в таких растворах даже не обсуждалась. Старение цинкатных растворов рассматривалось только как следствие старения равновесной твердой фазы — перехода ее в менее растворимые соединения.

Файткнехт [8] рентгенографическими и микроскопическими наблюдениями доказал существование одной аморфной и пяти кристаллических модификаций гидрата окиси цинка. Стабильными в растворах средней щелочности будут только  $ZnO$  и  $\epsilon-Zn(OH)_2$  (ромбическая форма). Остальные модификации Файткнехт получал только в значительно разбавленных растворах.

Шольдер и Гендрих [7] указывают, что стабильным осадком при  $20^\circ C$  в растворе  $1 \div 13,4 N$  по  $NaOH_{общ}$  является  $ZnO$ . Метастабильным осадком при  $20^\circ C$  в растворах  $NaOH$ ,  $1 \div 8,6 N$ , отмечается ромбическая форма гидроокиси цинка.

За последние годы ряд исследователей, не отрицая ионного состояния цинкатных растворов, допускает, однако, возможность существования в них коллоидной фазы.

З. А. Иофе [9] предполагает, что пересыщенные цинкатные растворы, получаемые в хлорно-цинковых элементах, представляют не молекулярно-гомогенные системы, а системы коллоидного характера. В. А. Плесков и Н. Б. Миллер [10] объясняют высокое значение тока обмена между цинковой амальгамой и цинкатным раствором вида  $ZnSO_4 + NaOH$  существованием коллоидных, положительно заряженных частиц.

Н. Т. Кудрявцев [11] и Билтц [12] отметили при ультрамикроскопических наблюдениях присутствие в цинкатных растворах коллоидных частиц, заряженных положительно.

Значительный интерес представляет влияние на процесс старения цинкатного раствора присадок различных веществ и оценка с точки зрения этого влияния природы раствора и механизма старения. В литературе до сих пор, однако, не имелось указаний на наличие присадок, эффективно влияющих на старение этих растворов.

Целью настоящей работы и было поставлено исследование кинетики старения «пересыщенных» цинкатных растворов в зависимости от ряда факторов: присутствия присадок, вида и концентрации щелочи, температуры и т. д.

### ЭКСПЕРИМЕНТАЛЬНАЯ ЧАСТЬ

«Пересыщенные» цинкатные растворы готовились разрядом медноокисных элементов лабораторного типа (с медноокисными электродами на выгорающем связующем).

Элементы разряжались до достижения электролитом максимального содержания плинка. Присадки вводились в щелочь до разряда элементов. Все использованные вещества были марок «х.ч.» и «ч.д.а.».

Старение растворов проводилось в пробирках из щелочестойкого стекла в термостатах с регулируемой температурой  $\pm 0,1^\circ\text{C}$ ;  $0^\circ\text{C}$  поддерживался при помощи тающего льда. Концентрация щелочи и цинка определялась объемным анализом — титрованием 1,0 N раствором HCl с двумя индикаторами: с фенолфталеином на содержание общей щелочи и с метилоранжем на содержание цинка (с поправкой на соду, присутствующую в растворе).

Наиболее сильное влияние на скорость старения оказывает температура. Повышение температуры резко ускоряет процесс старения (рис. 1, таблица). При низких температурах скорость старения настолько замед-

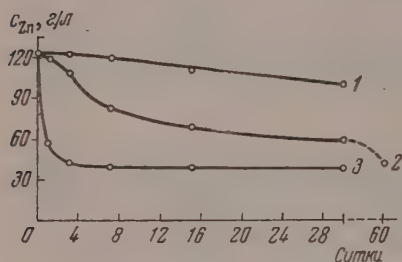


Рис. 1. Кинетика старения цинкатых растворов (5N NaOH<sub>общ</sub>) при разных температурах: 1 — при  $0^\circ\text{C}$ ; 2 — при  $20^\circ\text{C}$ ; 3 — при  $40^\circ\text{C}$

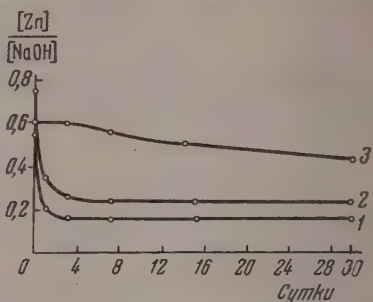


Рис. 2. Влияние щелочности цинкатых растворов на кинетику его старения (при  $20^\circ\text{C}$ ). 1 — 2,5 N NaOH<sub>общ</sub>; 2 — 5,0 N; 3 — 8,5 N

лена, что раствор не достигает своего равновесного состояния после нескольких месяцев старения. С повышением щелочности раствора отмечается замедление процесса старения (рис. 2, таблица).

Цинкатые растворы, приготовленные на основе разных видов щелочи (KOH, NaOH, LiOH), обладают различной кинетикой старения. В наиболее сильной степени подвергаются старению калийцинкатые растворы, в меньшей степени — натрийцинкатые и в еще меньшей — литийцинкатые растворы (рис. 3).

**Влияние на старение цинкатых растворов присадок кремнекислых и литиевых соединений, концентрации щелочи и температуры**

KOH	Наличие присадки	t, °C	Время старения в сутках						
			0	1	3	7	15	30	60
			Концентрация цинка в г/л						
4,3 N	Без присадки	20	79,5	74,8	55,9	47,2	45,2	31,6	26,6
	5 г/л LiOH · H <sub>2</sub> O	20	96,0	84,0	63,9	54,9	53,6	50,9	48,3
	5 г/л ж. ст.	20	91,9	84,2	73,5	63,8	60,7	53,5	52,5
7,0 N	Без присадки	0	159,5	159,5	158	156,5	155	—	—
	10 г/л LiOH · H <sub>2</sub> O	0	195,5	195,5	194	188,5	179	—	—
	20 г/л ж. ст.	0	214	214	204,5	201	186,5	—	—
	Без присадки	20	159,5	156	138	119	101	88,2	73,7
	10 г/л LiOH · H <sub>2</sub> O	20	195,5	193	171	157	142,5	137	131
	20 г/л ж. ст.	20	214	206	188,5	171	155,5	144,5	142,5
	Без присадки	40	159,5	107	79,7	67,3	63,0	61,2	—
	10 г/л LiOH · H <sub>2</sub> O	40	195,5	147,5	127	111,5	101	90,4	—
	20 г/л ж. ст.	40	214	196	177	168	156	151,5	—
9,5 N	Без присадки	20	211	207	181,5	151	121	103,5	94,8
	10 г/л LiOH · H <sub>2</sub> O	20	252	250	246	239	232	223	217
	20 г/л ж. ст.	20	273	273	270	268,5	267	262	249

Примечание: ж. ст. — жидкое стекло натриевое, с силикатным модулем 3,2 и плотностью 1,55 (SiO<sub>2</sub> ~ 35%).

Наибольший практический и теоретический интерес представляет влияние присадок на старение растворов.

Среди ряда проверенных присадок наиболее сильное влияние оказывают кремнекислые соединения, а также соединения лития. В присутствии этих соединений получаются растворы с более высоким содержанием цинка; старение растворов резко замедлено; равновесная концентрация цинка имеет более высокое значение.

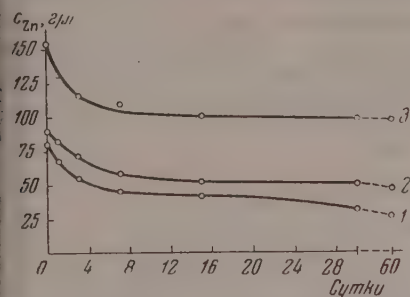


Рис. 3. Кинетика старения цинкатных растворов, приготовленных из различных видов щелочи. Температура 20° С. Общая щелочность — 4,3 N; 1 — калийцинкатный раствор; 2 — натрийцинкатный раствор; 3 — литийцинкатный раствор

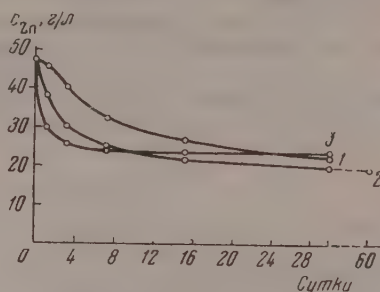


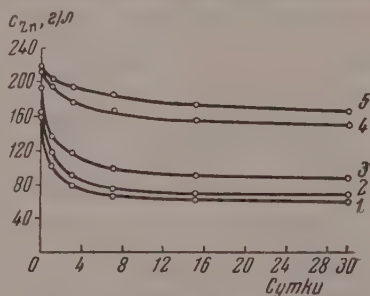
Рис. 4. Кинетика старения цинкатных растворов с присадкой  $\text{SiO}_2$  при различных температурах. 2,5 N  $\text{NaOH}_{\text{общ}}$ ; присадка — 0,7 г/л  $\text{SiO}_2$  (в виде жидкого стекла): 1 — при 0° С; 2 — при 20° С; 3 — при 40° С

Действие присадки проявляется в цинкатных растворах разной щелочности и при различных температурах (см. таблицу).

Наиболее сильное влияние присадки отмечается, однако, при повышенных температурах. С повышением температуры растворы с присадкой первое время подвергаются, так же как и растворы без присадки, более быстрому старению.

В дальнейшем, однако, старение резко замедляется и в равновесном состоянии в растворах, старевших при повышенной температуре, отмечается более высокая концентрация цинка (рис. 4, таблица).

Присадки начинают оказывать существенное влияние на старение уже при сравнительно малой их величине. Увеличение присадки вызывает и более сильное замедление старения (рис. 5). Существует, однако, некоторый оптимум присадки, превышение которого дает только малый эффект. Величина оптимума меняется с изменением температуры: чем выше температура, тем



большая величина присадки требуется для наиболее эффективного воздействия на старение. Для раствора 7 N  $\text{KOH}_{\text{общ}}$  таким оптимумом для температуры до 40° С будет присадка 5÷7 г/л  $\text{SiO}_2$ , для 5 N  $\text{NaOH}_{\text{общ}}$  — 1,0÷1,5 г/л  $\text{SiO}_2$ . Действенность присадки  $\text{LiOH} \cdot \text{H}_2\text{O}$  в растворе 7 N  $\text{KOH}_{\text{общ}}$  мало меняется при изменении ее в пределах 3÷10 г/л. При оптимальном присадки и средних концентрациях щелочи (2,5÷5 N  $\text{NaOH}_{\text{общ}}$  или 4÷7 N  $\text{KOH}$ ) отмечается изменение вида выпадающего равновесного осадка. Из таких растворов в присутствии кремнекислых соедине-



ний выпадает только ромбическая форма гидроокиси цинка (до температуры 40°C), тогда как в растворах без присадки при комнатной и более высокой температуре стабильным осадком является ZnO. При величине присадки меньше оптимальной из раствора выпадает смесь ромбической  $Zn(OH)_2$  и ZnO. Присадка LiOH действует менее сильно в этом отношении и при 40°C в растворах 7N KOH<sub>общ</sub>, 5N NaOH<sub>общ</sub> с присадкой наблюдается выпадение смеси ZnO и  $Zn(OH)_2$ , хотя при 20°C образуется еще ромбическая  $Zn(OH)_2$ .

Кремнекислые соединения оказывают одинаково эффективное воздействие на старение, будучи введенными в форме различных соединений (в виде жидкого стекла,  $Na_2SiO_3 \cdot 9H_2O$ , аморфной кремнекислоты). Анализ равновесных осадков в стареющих растворах показывает наличие в них только следов  $SiO_2$ .

### ОБСУЖДЕНИЕ РЕЗУЛЬТАТОВ

Говоря о процессе старения цинкатных растворов, следует указать, что было бы ошибочным рассматривать его только как следствие видоизменений равновесной твердой фазы. Против этого свидетельствует отмеченное как нами, так и некоторыми другими исследователями [7] изменение концентрации цинка в растворе во времени при отсутствии превращений равновесной твердой фазы.

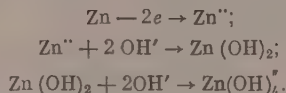
Старение же самого раствора показывает, что он имеет (по крайней мере, в какой-то своей части) коллоидальный характер. Принять цинкатные растворы за пересыщенные нельзя; эти растворы являются вполне устойчивыми — никаким внесением затравок или механическим воздействием не удастся быстро привести их в равновесное состояние.

С другой стороны, растворенный цинк обладает рядом свойств, свидетельствующих об ионном состоянии цинкатного раствора. При чисто коллоидной природе цинкатных растворов невозможно было бы объяснить наблюдающееся сравнительное постоянство величины максимальной концентрации цинка в электролите щелочно-цинковых элементов. Против этого говорит и закономерное изменение потенциала цинкового электрода в цинкатном растворе при изменении количества растворенного цинка [3]. Выделение в свободном состоянии цинкатных соединений [6, 7] также подтверждает возможность нахождения цинка в ионном состоянии.

Все изложенное выше позволяет предполагать, что цинкатные растворы могут носить двойственный характер: находиться одновременно в форме как истинного, так и коллоидного растворов.

Коллоидная фаза в цинкатных растворах может образовываться, в частности, путем пептизации гидроокиси цинка, первоначально выпавшей при взаимодействии раствора соли цинка и раствора щелочи. Этим, очевидно, и объясняются коллоидальные свойства таких растворов, отмеченные в работах Ганца [1], Герца [2], а также в работе В. А. Плескова и Н. Б. Миллера [10].

Коллоидная фаза может появиться и при разряде цинкового анода в щелочном растворе. Разряд его можно представить протекающим по следующим стадиям:



При усиленном режиме разряда, повышенной температуре или высоком относительном содержании цинка в растворе последняя стадия является наиболее замедленной. На поверхности цинкового анода сплошной пленкой или отдельными участками может скапливаться непрореагировавшая гидроокись цинка, по Губеру [13] в виде  $\gamma$ -формы.

Вследствие сил поверхностного натяжения гидроокись собирается в отдельные сфероиды, отрывающиеся от поверхности электрода. Подобный механизм образования коллоидных частиц наблюдал ультрамикроскопически Г. С. Воздвиженский [14] для свинцового анода в щелочи.

Коллоидальная часть свежеприготовленного цинкатыного раствора является метастабильной; из раствора она постепенно удаляется двумя путями: а) взаимодействием коллоидных частиц с растворителем (щелочью) с рассеянием их до ионного состояния и б) выпадением из раствора твердой фазы при агрегации отдельных коллоидных частиц.

В «пересыщенных» цинкатыных растворах, при недостатке свободных ионов  $\text{OH}'$ , должен преобладать второй процесс.

Сильное влияние на кинетику старения температуры и концентрации щелочи (рис. 1, 2) свидетельствует прежде всего о том, что устойчивость коллоидных мицелл определяется в данном случае преимущественно их гидратной оболочкой.

Воздействия кремнекислых и литиевых соединений на старение также, нам кажется, следует рассматривать с точки зрения мощности гидратной оболочки вокруг мицелл.

На взаимодействие кремнекислых соединений с некоторыми гидроокисями металлов, в частности железа, свинца и цинка, имеется указание в ряде работ [15—18]. Большинство авторов объясняет это взаимодействие как действие гидрофильного коллоида кремневой кислоты на гидрофобный коллоид гидроокиси металла.

Такое объяснение, однако, является в нашем случае недостаточным. Присадка действует в растворах с высокой щелочностью, где коллоидальная кремневая кислота не может длительно существовать. Силикат натрия  $\text{Na}_2\text{SiO}_3 \cdot 9\text{H}_2\text{O}$ , не дающий коллоидных растворов [19], в такой же степени замедляет старение, как и высокомолекулярное жидкое стекло.

По нашему мнению, защита мицелл  $\text{ZnO}$  (или гидроокиси) происходит вследствие хемосорбции ионов  $\text{SiO}_3''$  во внутреннем слое мицеллы. Ионы  $\text{SiO}_3''$  обладая мощной гидратной оболочкой, при внедрении в мицеллу  $\text{ZnO}$  (или гидроокиси) усиливают гидратный слой и вокруг мицеллы, что придает ей большую устойчивость.

Адсорбция ионов  $\text{SiO}_3''$ , обладающих большим сродством к воде, придает тем самым это свойство и самой мицелле. Вследствие этого адсорбирующиеся на поверхности частицы гидроокиси цинка ионы  $\text{SiO}_3''$  должны предотвращать (или, по крайней мере, сильно затруднять) отщепление молекул воды от гидроокиси и переход ее менее устойчивую коллоидную частицу  $\text{ZnO}$ .

Аналогичен, очевидно, механизм воздействия и присадки иона лития.

Катионы щелочных металлов располагаются в порядке возрастания энергии гидратации следующим образом:  $\text{Cs}^+$ ,  $\text{Rb}^+$ ,  $\text{K}^+$ ,  $\text{Na}^+$ ,  $\text{Li}^+$  [20]. Замена ионов  $\text{Na}^+$  и  $\text{K}^+$  во внутреннем слое коллоидной частицы  $\text{ZnO}$  (или гидроокиси) на ионы  $\text{Li}^+$ , обладающие более мощной гидратной оболочкой, должна привести к повышению устойчивости мицелл и, следовательно, к замедлению старения раствора.

Действенность уже относительно небольших количеств иона  $\text{Li}^+$  свидетельствует о большем его сродстве к мицеллам цинкатыного раствора по сравнению с ионами  $\text{Na}^+$  и  $\text{K}^+$  и о способности его вследствие этого замещать в оболочке мицеллы указанные ионы.

## ВЫВОДЫ

Исследована кинетика старения «пересыщенных» цинкатыных растворов в зависимости от температуры, щелочности и наличия ряда присадок.

2. Показано, что старение резко замедляется при наличии присадок кремнекислых и литиевых соединений, особенно при повышенных температурах.

3. Высказано предположение, что «пересыщенные» цинкаты растворы содержат цинк в форме как коллоидного, так и истинного растворов.

4. Действие присадок кремнекислых и литиевых соединений объясняется внедрением ионов  $\text{SiO}_3^{''}$  или  $\text{Li}^+$  в оболочку мицелл окиси (или гидроокиси) цинка, что придает им большую устойчивость вследствие увеличения мощности гидратного слоя вокруг мицеллы.

Политехнический институт  
им. А. А. Жданова  
г. Горький

Поступила  
13.XII.1955

#### ЛИТЕРАТУРА

1. A. Hantzsch, Zs. f. anorg. Chem., 30, 289, 338, 1902.
2. W. Herz, Zs. anorg. Chem., 31, 454, 1902.
3. F. Kunscher, Zs. anorg. Chem., 41, 343, 1904.
4. R. Fricke u. Th. Ahrendts, Zs. anorg. Chem., 134, 344, 1924.
5. А. И. Никурашин, Б. П. Никольский, Уч. зап. ЛГУ им. А. А. Жданова, сер. хим. наук, вып. 8, 33, 1949.
6. R. Fricke u. H. Humme, Zs. anorg. u. allg. Chem., 172, 242, 1928.
7. R. Scholder u. G. Hendrich, Zs. anorg. u. allg. Chem., 241, 76, 1939.
8. W. Feitknecht, Helv. Chim. Acta, № 13, 314, 1930.
9. З. А. Иофа, С. Я. Мирлина, Н. М. Мойсеева, Журн. прикл. химии, 22, 983, 1949.
10. В. А. Плесков и Н. Б. Миллер, Труды Совещания по электрохимии (19—25 декабря 1950 г.), Изд-во АН СССР, М., 1953, стр. 165.
11. Н. Т. Кудрявцев, Труды Совещания по электрохимии (19—25 декабря 1950 г.), Изд-во АН СССР, М., 1953, стр. 258.
12. W. Biltz, Ber., 37, 1095, 1904.
13. K. Huber, Helv. Chim. Acta, 26, 1037, 1943.
14. Г. С. Воздвиженский, Труды II Всесоюзной конференции по теоретической и прикладной электрохимии, Изд-во АН УССР, Киев, 1949.
15. W. Stericker, Ind. Eng. Chem., 37, 720, 1945.
16. H. A. Reimers, Пат. США № 1966, 733, 1932.
17. A. W. Thomas a. L. Johnson, Journ. Amer. Chem. Soc., 45, 2532, 1923.
18. J. F. Hazel, W. M. McNabb a. P. Machemer, Journ. Electroch. Soc. 99, 301, 1952.
19. П. Н. Григорьев, Растворимое стекло, Гизлегпром, М.—Л., 1938.
20. К. П. Мещенко, Журн. физ. химии, 26, 1736, 1952.

#### ON THE AGING PROCESS OF "SUPERSATURATED" ZINCATE SOLUTIONS

V. N. Flerov (Gorky)

#### Summary

A considerable effect on the aging rate of "supersaturated" zincate solutions is exerted by the temperature, by the alkalinity of the solution, by the type of the alkali and by the presence of certain addition agents. The aging rate is lowered with decrease in temperature and with increase in alkalinity. Aging is considerably retarded by the addition of silicon and lithium compounds. In their presence one can obtain solutions with higher concentrations of zinc, the equilibrium content of the latter being raised considerably. The character of the deposit precipitating is changed.

On the basis of a survey of the literature and of the experimental data, it is suggested that in "supersaturated" zincate solutions the zinc is present both in the ionic and colloidal forms. It is the presence of the colloidal phase that is the cause of the aging of the zincate solutions.

The retardation of the aging rate in the presence of the addition agents is explained by the incorporation of  $\text{SiO}_3^{''}$  and  $\text{Li}^+$  ions, possessing high energies of hydration, into the film of the zinc oxide (or hydroxide) micelle. This lends greater stability to the micelles, due to the strengthening of the hydrate layer about them.



## РАСПРЕДЕЛЕНИЕ ЭФФЕКТИВНОСТИ РАБОТЫ КАТОДА ПО ЕГО ПОВЕРХНОСТИ В УСЛОВИЯХ КОРРОЗИИ С ОКИСЛИТЕЛЬНОЙ ДЕПОЛЯРИЗАЦИЕЙ

*Н. Д. Томашов и О. Г. Дерягина*

Для случая, когда скорость коррозионного процесса определяется скоростью диффузии деполяризатора, Н. Д. Томашовым было показано, что сила локального тока микропар находится в параболической зависимости от площади катода (пропорциональна его периметру)

Такой характер зависимости силы тока от площади катода объясняется неодинаковой эффективностью работы периферии и середины катода. Проведенные опыты по измерению силы тока между анодом и различными участками катода макромодели с пространственно разделенными электродами показали значительное уменьшение плотности тока на поверхности катода по мере удаления от его края [1, 2].

Для дальнейшего изучения кинетики катодного процесса в краевой зоне представляло несомненный интерес изучить также поляризационные характеристики отдельных зон катода, различно удаленных от края последнего. Исследование этого вопроса даст новые возможности для развития теории электрохимической коррозии, например, потому, что основное отличие в работе макро- и микрокатода заключается в большем значении эффекта краевой зоны на работу микрокатода и малое влияние этого эффекта на работу макрокатода

Для настоящего исследования были изготовлены модели медь — цинк с электродами, расположенными в одной плоскости и изолированными друг от друга слоем полистирола (ширина изоляционной полосы полистирола менялась от 0,3 до 3 мм). Край медного катода состоял из узких полос меди (70—200  $\mu$ ), также разделенных тонким слоем полистирола толщиной от 30 до 60  $\mu$ .

Вид модели и схема измерения показаны на рис. 1. Модель поляризовалась от внешнего источника тока: цинк — анодно, а медь — катодно, причем сила тока регистрировалась как в общей цепи, так и отдельно в цепи каждого участка катода (1, 2, 3, 4 на рис. 1). Сопротивления микроамперметров, регистрирующих ток в цепи отдельных зон катода, были одинаковы и равнялись 95  $\Omega$ . Потенциал электрода измерялся при помощи капилляра 7, укрепленного в микроманипуляционной колонке, позволяющей быстро перемещать капилляр по поверхности и определять значение потенциала в определенной зоне катода [3]. Сопротивление капилляра, наполненного электролитом, очень велико: при диаметре 20—25  $\mu$  в наших условиях составляло 2—5  $\cdot 10^3 \Omega$ . Измерения потенциала вследствие этого проводились при помощи катодного вольтметра. Поляризация катода для случая коррозии с кислородной деполяризацией в целях большей стабильности значения рН исследовалась в растворе 0,02 N HCl. Помимо этого проводились исследования в этом же растворе с добавками перекиси водорода в количестве 0,12 и 0,24%. Опыты проводились в открытых сосудах без перемешивания. Исследовались участки катода, находящиеся на расстоянии 10, 250, 400, 750, 1000, 1800 и 2500  $\mu$  от его края.

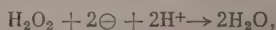
На рис. 2 и 3 приведены поляризационные кривые, полученные в разных точках катода в растворах 0,02 N HCl и 0,02 N HCl + 0,24% H<sub>2</sub>O<sub>2</sub>,



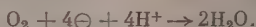
для моделей с расстоянием между цинком и медью 350  $\mu$ . На кривых, полученных в растворе 0,02 *N* HCl, наблюдается небольшой порог, соответствующий ионизации кислорода, растворенного в HCl. Плотность предельного тока у границы катода соответствует 2,8  $\text{mA}/\text{cm}^2$  (при потенциале —700 мВ): на расстоянии 400  $\mu$  от края предельный ток уменьшается в два раза, а

в середине катода (1000  $\mu$  от края) равен 0,5  $\text{mA}/\text{cm}^2$ , т. е. в 5,6 раза меньше, чем у границы катода.

В растворе 0,02 *N* HCl с добавкой перекиси водорода на поляризационных кривых наблюдаются две задержки потенциала, соответствующие протеканию двух различных катодных процессов; при +260 мВ восстановление перекиси водорода:



и при —100 мВ ионизация кислорода:



Предельный ток вследствие присутствия большого количества деполаризатора значительно выше, чем в предыдущем случае. Так же как и в растворе соляной кислоты без перекиси водорода, по мере удаления от края катода наблюдается уменьшение эффективности катода, и в центре катода (1000  $\mu$ ) предельный ток в 5,5 раза меньше, чем у края.

Рис. 1. Вид образца и принципиальная схема измерения поляризуемости катода на разных расстояниях от его края. 1, 2, 3, 4 — медный катод с раздробленным краем; 5 — цинковый анод; 6 — полистироловая изоляция между электродами и отдельными зонами катода; 7 — капилляр для измерения потенциала в отдельной зоне; 8 — образец (поперечный разрез модели); 9 — чашечка с электролитом; 10 — тубус микроскопа; 11 — катодный вольтметр; 12 — вид образца сверху

Если увеличивать расстояние между катодом и анодом в модели, то увеличивается как абсолютная величина предельного тока, так и эффективность работы края катода по сравнению с его серединой. На рис. 4 приведены поляризационные кривые (в растворе 0,02 *N* HCl + 0,24%  $\text{H}_2\text{O}_2$ ), полученные на модели, где цинк и медь были разделены друг от друга полистиролом толщиной в 3 мм. Плотность тока края катода в этом случае возрастает почти в три раза по сравнению со значениями, полученными в том же растворе для модели с расстоянием между электродами 350  $\mu$ . Плотность тока в середине катода сильно уменьшается. Поляризационная кривая центра катода идет очень круто (рис. 4, кривая 4), однако, если эту кривую перерисовать в большем масштабе, легко обнаружить, что и в этом случае наблюдаются две ступени, соответствующие двум вышеупомянутым катодным реакциям.

На рис. 5 показано распределение плотности тока по поверхности катода в растворе 0,02 *N* HCl + 0,24%  $\text{H}_2\text{O}_2$  при потенциале —700 мВ для моделей с расстоянием катод—анод 3, 1 мм и 350  $\mu$ . В таблице рассчитано отношение плотностей тока на участках катода, находящихся на разных расстояниях от края ( $i_x$ ), к плотности тока, наблюдаемой у края катода ( $i_k$ ). Сравнение плотностей тока различных участков катода при одном и том же потенциале показывает, что непосредственно около края катода и на некотором небольшом расстоянии (в наших условиях 250—300  $\mu$ )

плотность тока уменьшается незначительно — на 5—10%. На большем расстоянии от края наблюдается резкое падение плотности тока, и в середине катод работает с гораздо меньшей эффективностью.

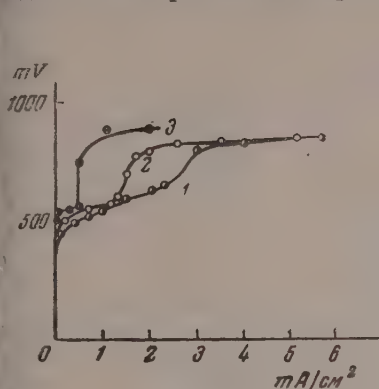


Рис. 2

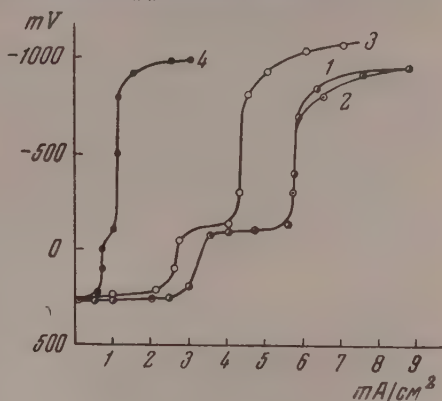


Рис. 3

Рис. 2. Катодная поляризация меди на разном расстоянии от края в растворе 0,02 N HCl. 1 — получена на расстоянии 10  $\mu$  от края; 2 — на расстоянии 250  $\mu$ ; 3—1000  $\mu$  от края катода. Расстояние между катодом и анодом 350  $\mu$

Рис. 3. Поляризация медного катода в растворе 0,02 N HCl + 0,24%  $H_2O_2$ : 1 — соответствует поляризации у края катода (10  $\mu$ ); 2 — поляризация катода на расстоянии 250  $\mu$ ; 3 — 600  $\mu$ ; 4—1000  $\mu$  от края катода. Расстояние между катодом и анодом 350  $\mu$

Повышение эффективности катода от центра к периферии объясняется тем, что по мере приближения к краю катода облегчается доступ деполяризатора к поверхности. Увеличение доступа деполяризатора в приэлектрод-

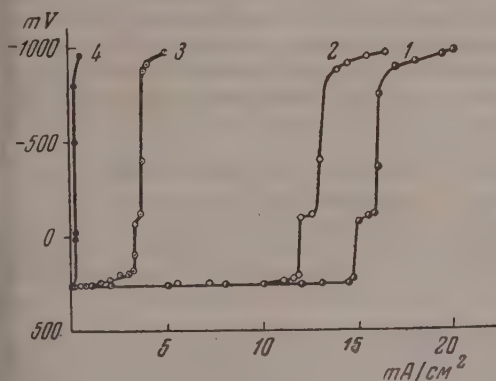


Рис. 4

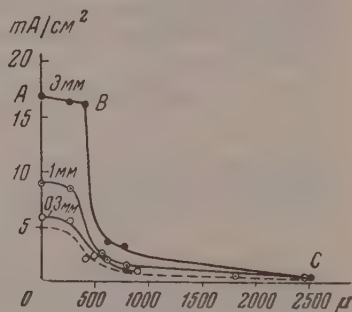


Рис. 5

Рис. 4. Катодная поляризация меди на разном расстоянии от края в растворе 0,02 N HCl + 0,24%  $H_2O_2$ : 1—10  $\mu$ ; 2—250  $\mu$ ; 3—650  $\mu$ ; 4—2500  $\mu$ . Расстояние между катодом и анодом — 3 мм

Рис. 5. Изменение эффективности работы катода от края до середины катода. Точка С соответствует плотности тока в середине катода. Шлифованные кривые относятся к различным расстояниям между катодом и анодом. Пунктирная кривая — экстраполяция на расстояние между катодом и анодом, приближающееся к нулю

ном слое вызывает, в свою очередь, увеличение плотности тока на данном участке. Наконец, вблизи края катода концентрация деполяризатора в приэлектродном слое становится настолько велика, что контролирующим фактором будет уже не диффузия деполяризатора, а скорость протека-

ния самой катодной реакции. В последнем случае увеличение концентрации деполяризатора будет лишь незначительно сказываться на увеличении плотности тока, что соответствует на кривой распределения плотностей тока пологому участку  $AB$ .

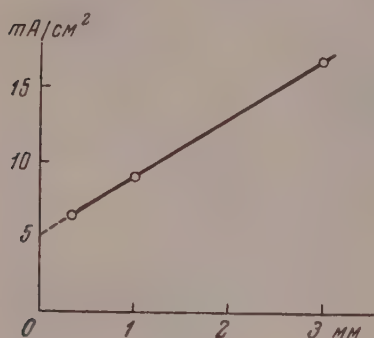


Рис. 6

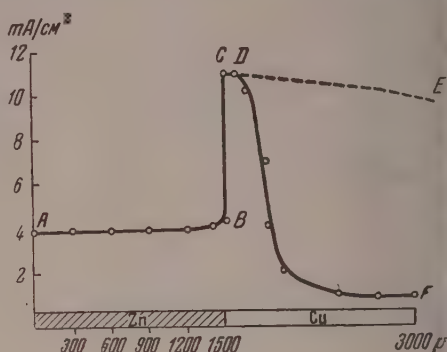


Рис. 7

Рис. 6. Зависимость плотности тока у края катода от расстояния между катодом и анодом модели

Рис. 7. Распределение плотности коррозионного тока по поверхности модели цинк — медь в растворе соляной кислоты с добавкой перекиси водорода:  $AB$  — распределение плотности тока на аноде;  $CDE$  — распределение плотности тока на катоде без учета неравномерной эффективности катода;  $CDF$  — с учетом неравномерной работы катода от центра до периферии

Результаты показывают, что для модели с плоскорасположенными электродами величина плотности тока у края катода находится в прямой зависимости от расстояния между катодом и анодом (рис. 6). Плотности тока в середине катода при уменьшении расстояния между катодом и анодом практически не меняется, вследствие чего отношение плотности тока края к плотности тока середины катода при сближении электродом будет убывать.

#### Эффективность работы катода на разном расстоянии от края\*

Расстояние между катодом и анодом	Расстояние от края катода в микронах										
	10	100	200	300	400	500	600	800	1000	2000	2500
3 мм	100	98	96	94	91	50	26	16	12	3	1,5
1 »	100	96	91	82	65	44	27	16	10	2,7	2,5
350 м	100	94	90	86	77	56	46	25	17	—	—
Непосредственный контакт **	100	96	92	80	68	46	32	20	15	8	4

\* Данные таблицы означают отношение плотности тока в данном участке катода ( $i_x$ ) к плотности тока края катода ( $i_k$ ), выраженное в процентах.

\*\* Получено на основании экстраполяции прямой рис. 6.

Снижение плотности тока на краю катода при уменьшении расстояния катод — анод объясняется, по-видимому, следующим образом: в результате встречной диффузии продуктов катодной и анодной реакции между катодом и анодом образуются вторичные продукты коррозии, которые оседают на полистироле. При сближении электродов продукты коррозии

начинают частично покрывать катод и анод и тем больше, чем меньше расстояние между электродами. Наличие слоя продуктов коррозии на поверхности катода затрудняет диффузию деполяризатора и тем самым несколько уменьшает эффективность края катода по сравнению с моделями, имеющими большое расстояние между катодом и анодом.

В наших опытах минимальное расстояние между электродами составляло 350  $\mu$ . Если предположить, что линейная зависимость между величиной предельного тока и расстоянием катод — анод сохраняется и при дальнейшем сближении электродов, то экстраполяцией (пунктирная часть прямой рис. 6) можно получить истинное значение плотности тока у края катода (т. е. значение плотности тока при непосредственном контакте катодной и анодной зон). Распределение плотности тока по поверхности короткозамкнутой модели будет примерно соответствовать пунктирной кривой на рис. 5.

Величина зоны катода, где лимитирующим фактором будет скорость катодной реакции ( $AB$  на рис. 5), зависит от ряда причин, и в первую очередь от концентрации деполяризатора в растворе и скорости электродной реакции. Так, например, с увеличением концентрации деполяризатора зона  $AB$  будет увеличиваться, при большей скорости электродной реакции зона  $AB$  будет уменьшаться.

Если размеры катода велики, по сравнению с этой зоной ( $AB$ ), — будет наблюдаться резкое изменение эффективности от центра к периферии. При уменьшении размеров катодного включения (при достаточном удалении катодов друг от друга) степень неравномерности работы катода по его поверхности будет уменьшаться, а общая эффективность катода — увеличиваться и, наконец, при достаточной дисперсности катодной фазы, когда размеры катода делаются меньше, чем зона  $AB$ , может полностью измениться характер коррозионного контроля, т. е. произойдет переход в работе катодов от контроля диффузией кислорода к контролю скоростью катодной реакции.

Г. В. Акимовым и А. И. Голубевым [4] был разработан метод, позволяющий определять распределение плотности тока по поверхности корродирующей системы. Распределение плотности коррозионного тока рассчитывается по этому методу из сопоставления кривых распределения потенциала по корродирующей поверхности и катодной и анодной кривых, снятых в тех же условиях на образцах материала соответственно катода и анода.

На основании полученных нами данных можно сделать весьма существенный вывод, накладывающий ограничение на возможность проведения подобных расчетов распределения плотности коррозионного тока в случае, если коррозионный процесс протекает с кислородной деполяризацией.

Если размеры катодных включений невелики (для наших условий, как следует на рис. 5, например, 300—350  $\mu$ ), то при расчете распределения плотности коррозионного тока на катоде возможно использовать обычные поляризационные кривые при условии, однако, что эти кривые снимались с катодов соизмеримых размеров с катодными включениями. Если же размер катодных включений превышает эту, предельную для данных условий, величину, необходимо учитывать неравномерную эффективность катода по его поверхности.

На рис. 7 показано распределение плотности коррозионного тока по поверхности модели цинк — медь в 0,02  $N$   $HCl + H_2O_2$  (модель представляла собой круг, половины которого состояли — одна из цинка, другая из меди, приблизительно равных по площади: площадь анода — 0,29  $см^2$ , площадь катода — 0,31  $см^2$ ).

Участок  $AB$  соответствует распределению плотности тока на аноде. участки:  $CDE$  — распределению плотности тока на катоде, вычисленному без учета неравномерной работы катода;  $CDF$  — с учетом неодинаковой



эффективности катода на разных расстояниях от края. Если подсчитать из этих кривых распределения силу тока на катоде и аноде, которые вообще должны быть равными, получим

а) с учетом неравномерной работы катода:

$I_a = 1,1 \text{ mA}$ ;  $I_k = 0,87 \text{ mA}$  — расхождения в пределах ошибки опыта

б) без учета неравномерной работы катода:

$I_a = 1,1 \text{ mA}$ ;  $I_k = 3,04 \text{ mA}$ , т. е. сила тока на катоде в три раза больше анодной.

Таким образом игнорирование неравномерной эффективности катода в случае больших катодных участков приводит к весьма значительным ошибкам.

### ВЫВОДЫ

1. В целях изучения коррозионных процессов в условиях коррозии с окислительной деполяризацией получены поляризационные кривые на отдельных участках катода, находящихся на разном расстоянии от края (от 10 до 2500  $\mu$ ) в растворе 0,02 N соляной кислоты и в этом же растворе с добавками перекиси водорода (0,12 и 0,24%).

2. Показано, что эффективность работы катода сильно понижается с удалением от края катода, что соответствует увеличению удельной поляризуемости катодной поверхности от края к середине катода.

3. Показано, что у края катода, вследствие облегченного подвода окислительного деполяризатора (кислород, перекись водорода), может происходить изменение контроля коррозионного процесса от диффузионного к контролю скоростью реакции восстановления деполяризатора.

4. Высказано предположение, что при достаточно малых размерах микрокатодов и при достаточных расстояниях этих катодов друг от друга коррозионный процесс может протекать с контролем скоростью катодной реакции, тогда как в тех же условиях, но с катодными включениями больших размеров, коррозионный процесс будет контролироваться скоростью диффузии деполяризатора.

Академия наук СССР  
Институт физической химии  
Москва

Поступила  
15.XII.1955

### ЛИТЕРАТУРА

1. Н. Д. Томашов, ДАН, 27, 983, 987, 1940.
2. Н. Д. Томашов, Коррозия металлов с кислородной деполяризацией, Изд-во АН СССР, Москва, 1947.
3. Г. В. Акимов, О. Г. Дерягина, Л. И. Стоклицкий, И. Н. Ямщиков, Труды ИФХ, Исследования по коррозии металлов, вып. 2, Изд-во АН СССР, 1951.
4. Г. В. Акимов, А. И. Голубев, Сборник исследования по коррозии металлов, Оборонгиз, Москва, 1950, стр. 267.

### SURFACE DISTRIBUTION OF THE WORKING EFFECTIVITY OF A CATHODE UNDER CONDITIONS OF CORROSION WITH OXIDATIVE DEPOLARIZATION

*N. D. Tomashov and O. G. Deryagina (Moscow)*

#### Summary

A study has been made of the change in polarization of the cathode, depending on the distance from its edges, under conditions of corrosion with oxygen and oxidative depolarization. Experiments were made on a copper cathode with laminated edges in 0.02N HCl and 0.02N HCl + H<sub>2</sub>O<sub>2</sub>. The current density at the edge of the cathode exceeds the current density in the center by 5—20 times and more (i. e. the edges of the cathode are more effective).

It was also shown that at the cathode edge, owing to the ready supply of the oxidative depolarizer, the rate determining factor of the corrosion process may change from diffusion to reduction of oxygen.

## СМЕШАННЫЕ АДСОРБЦИОННЫЕ КАТАЛИЗАТОРЫ

### III. АКТИВНОСТЬ СМЕШАННЫХ МЕТАЛЛИЧЕСКИХ КАТАЛИЗАТОРОВ НА КАРБОНАТАХ ЩЕЛОЧНО-ЗЕМЕЛЬНЫХ МЕТАЛЛОВ ПРИ РАЗЛОЖЕНИИ ПЕРЕКИСИ ВОДОРОДА

*И. А. Зубович*

В предыдущих работах [1, 2] были приведены результаты исследования каталитической активности платино-серебряных, платино-золотых, палладиево-серебряных, палладиево-золотых и платино-палладиевых катализаторов на сульфатах щелочно-земельных металлов при каталитическом разложении перекиси водорода и восстановлении м-нитрофенола. На основе анализа опытных данных был сделан вывод, что между атомами металлов, входящими в состав смешанных адсорбционных катализаторов, происходит взаимодействие. Характер этого взаимодействия определяется электронным строением атомов, т. е. местом соответствующих элементов в периодической системе Д. И. Менделеева. Значения максимумов или минимумов активности катализаторов, в зависимости от природы взятых компонентов, приходится на простейшие стехиометрические отношения атомов металлов (1 : 1, 1 : 2) на поверхности взятых носителей ( $\text{CaSO}_4$ ,  $\text{SrSO}_4$ ,  $\text{BaSO}_4$ ).

Интересно было проследить специфику взаимодействия активных компонентов в разбавленных слоях адсорбционных катализаторов на носителях, отличающихся по своим физико-химическим свойствам. В качестве таких носителей мы избрали труднорастворимые соли с различными катионами и анионами (включая переходные элементы), окислы кислотные и основные (включая полупроводники), обеззоленный сахарный уголь и графит.

В данной работе приводятся результаты изучения каталазной активности разбавленных слоев  $\text{Pt} + \text{Ag}$ ,  $\text{Pt} + \text{Au}$ ,  $\text{Pd} + \text{Cu}$ ,  $\text{Pd} + \text{Ag}$ ,  $\text{Pd} + \text{Au}$  и  $\text{Pt} + \text{Pd}$  адсорбционных катализаторов на карбонатах щелочно-земельных металлов ( $\text{CaCO}_3$ ,  $\text{SrCO}_3$ ,  $\text{BaCO}_3$ ).

### ЭКСПЕРИМЕНТАЛЬНАЯ ЧАСТЬ

**Препараты и метод.** Карбонаты щелочно-земельных металлов, применявшиеся в качестве носителей, отличались высокой степенью чистоты (при химическом анализе давали отрицательные показания на присутствие солей тяжелых металлов). Все рабочие растворы готовились на трижды перегнанной в аппарате из стекла на протекс дистиллированной воде.

Углекислый кальций получался из соды и хлористого кальция. Сода («чистая») предварительно очищалась трехкратной перекристаллизацией. Очистка насыщенного при 40° водного раствора хлористого кальция проводилась по методике, описанной в первом сообщении [1]. К полученному химически чистому раствору  $\text{CaCl}_2$ , нагретому до 80°, приливался при постоянном помешивании насыщенный при 40°, а затем нагретый до 80° водный раствор соды. Объемы растворов  $\text{CaCl}_2$  и  $\text{Na}_2\text{CO}_3$  предварительно рассчитывались, и полнота осаждения  $\text{Ca}^{2+}$  контролировалась.

После осаждения  $\text{Ca}^{2+}$  содержимое доводилось до кипения и оставлялось в термостате при температуре 40° до полного осаждения  $\text{CaCO}_3$ . Раствор с осадка  $\text{CaCO}_3$  сливался, и осадок промывался первоначально методом декантации, а затем переносился на воронку Бюхнера и промывался горячей водой (при 80°) до полного удаления  $\text{Cl}^-$  в промывных водах. Полученный  $\text{CaCO}_3$  просушивался в сушильном шкафу

при температуре  $110^\circ$  в течение 4 час., растирался в порошок в агатовой ступке и прокаливался в термостате при  $300^\circ$  в течение 3 час. В период прокаливания  $\text{CaCO}_3$  через каждые 40 мин. тщательно размешивался.

Для получения углекислого стронция и углекислого бария были взяты  $\text{SrCl}_2$ ,  $\text{BaCl}_2$  и  $\text{Na}_2\text{CO}_3$ . Химически чистые препараты  $\text{SrCl}_2$  и  $\text{BaCl}_2$  дважды перекристаллизовывались. Сам синтез  $\text{SrCO}_3$  и  $\text{BaCO}_3$  осуществлялся по методике, описанной при получении  $\text{CaCO}_3$ .

Полученные носители — карбонаты щелочно-земельных металлов — значатся под маркой № 4.

Дополнительно к  $\text{BaCO}_3$  № 4 были получены  $\text{BaCO}_3$  № 5,  $\text{BaCO}_3$  № 6 и  $\text{BaCO}_3$  № 7. Препарат  $\text{BaCO}_3$  № 7 получался аналогичным методом с препаратом  $\text{BaCO}_3$  № 4, причем несколько отличались лишь концентрации исходных растворов. Для получения  $\text{BaCO}_3$  № 4 брались насыщенные при  $40^\circ$  растворы  $\text{BaCl}_2$  (2,7N) и  $\text{Na}_2\text{CO}_3$  (6,3 N). Препарат  $\text{BaCO}_3$  № 7 получался из 1,5 N растворов  $\text{BaCl}_2$  и  $\text{Na}_2\text{CO}_3$ . При синтезе препаратов  $\text{BaCO}_3$  № 5 и  $\text{BaCO}_3$  № 6 брались соответственно 0,1N и 0,01 N растворы  $\text{BaCl}_2$  и  $\text{Na}_2\text{CO}_3$ . Условия и методика синтеза  $\text{BaCO}_3$  № 5 и  $\text{BaCO}_3$  № 6 были тождественны с принятыми при получении [1]  $\text{BaSO}_4$  № 5 и  $\text{BaSO}_4$  № 6. Изменение концентрации исходных растворов на один и два порядка и условий синтеза препаратов  $\text{BaCO}_3$  № 5 и  $\text{BaSO}_4$  № 6 вызывало изменение формы и дисперсности осадков [3]. Поэтому желательно было выяснить влияние этих факторов на активность разбавленных слоев смешанных адсорбционных катализаторов на карбонатах.

Для измерения скорости реакции применялся газометрический метод [1]. О скорости разложения перекиси водорода мы судили по количеству выделяющегося кислорода в единицу времени в начальный период реакции и времени полураспада. Во всех опытах для одного определения бралась навеска катализатора 0,1 г и 30 мл 0,2 моль/л раствора перекиси водорода.

Носители в условиях опыта были практически катализно неактивны. Термическая устойчивость раствора перекиси водорода при температуре и продолжительности катализных опытов была на грани чувствительности газометрической методики измерения. Кинетический закон разложения перекиси водорода на изучаемых простых и смешанных адсорбционных катализаторах выражается уравнением первого порядка. Экспериментальные данные рассчитывались по формуле:

$$K = \frac{1}{t} \ln \frac{a}{a-x},$$

где  $a$  — начальная концентрация  $\text{H}_2\text{O}_2$ ,  $x$  — количество прореагировавшей  $\text{H}_2\text{O}_2$ ;  $a-x$  — концентрация перекиси водорода ко времени  $t$ , выраженная в  $\text{см}^3 \text{O}_2$  при нормальной температуре и давлении. Графический метод расчета константы скорости реакции разложения  $\text{H}_2\text{O}_2$  по тангенсу угла наклона прямой, изображающей зависимость  $\lg(a-x)$  от времени, дает практически совпадающие результаты. При участии весьма активных катализаторов и при повышенной температуре константа скорости ( $K$ ) разложения  $\text{H}_2\text{O}_2$  дополнительно рассчитывалась по уравнению:

$$K = \frac{0,692}{\tau_{1/2}},$$

где  $\tau_{1/2}$  — время периода полураспада  $\text{H}_2\text{O}_2$ . В смешанных катализаторах при введении второго активного компонента (добавок) практически не происходило изменения кинетического закона реакции разложения  $\text{H}_2\text{O}_2$ , а имело место лишь изменение величины константы скорости реакции.

Опыты по разложению  $\text{H}_2\text{O}_2$  на катализаторах проводились при температуре  $25^\circ\text{C}$ . Для расчета кажущейся энергии активации были проведены исследования активности катализаторов при температурах в интервале от  $25^\circ$  (некоторые от  $15^\circ$ ) до  $55^\circ\text{C}$ .

Методика приготовления катализаторов из химически чистых препаратов и условия проведения опытов описаны нами в ранее выполненной работе [1].

Ряд партий  $\text{Pd} + \text{Ag}$  катализаторов, после восстановления в солевой бане водородом при  $240^\circ$ , продвигался предварительно очищенным воздухом при  $180^\circ$ . Обработка катализаторов воздухом практически не оказывала влияния на их активность при разложении  $\text{H}_2\text{O}_2$ .

**Результаты исследования.** Полученные экспериментальные данные представлены в табл. 1 и 2 и на рис. 1—10. В графиках активности (рис. 4—7) сплошной линией изображена наблюдаемая актив-



Т а б л и ц а 1.

(0,1 вес. %/ +  $n$  вес. % Ag на  $\text{CaCO}_3$ ,  $\text{SrCO}_3$ ,  $\text{BaCO}_3$ . Каталазная активность ( $K$ , мин.<sup>-1</sup>) при 25° ( $c_{\text{H}_2\text{O}_2} = 0,2 \text{ моль/л}$ . Навеска катализатора 0,1 г)

Катализаторы			на $\text{CaCO}_3$		на $\text{SrCO}_3$		на $\text{BaCO}_3$	
Содержание Pt и Ag в вес. %	Отношен. числа атомов Pt к Ag		Аддитивная активность	Наблюдаемая активность	Аддитивная активность	Наблюдаемая активность	Аддитивная активность	Наблюдаемая активность
	Pt	Ag						
Pt (0,1) Ag	Pt	—	1,026	1,026	0,924	0,924	1,536	1,536
Pt (0,1) + 0,0005 Ag	111	1	1,026	1,026	0,924	0,924	1,536	1,536
Pt (0,1) + 0,005 Ag	11	1	1,039	0,978	0,925	0,870	1,536	1,536
Pt (0,1) + 0,011 Ag	5	1	1,064	0,870	0,950	0,708	1,544	1,152
Pt (0,1) + 0,0184 Ag	3	1	—	0,756	—	0,660	—	0,924
Pt (0,1) + 0,0275 Ag	2	1	1,151	0,660	1,008	0,576	1,582	0,642
Pt (0,1) + 0,055 Ag	1	1	1,355	0,576	1,180	0,396	1,662	0,660
Pt (0,1) + 0,082 Ag	1	1,5	1,588	0,660	1,446	0,396	1,704	0,708
Pt (0,1) + 0,11 Ag	1	2	1,866	0,840	1,554	0,414	1,756	0,769
Pt (0,1) + 0,22 Ag	1	4	2,028	1,440	1,848	0,510	1,794	0,924
Pt (0,1) + 0,33 Ag	1	6	2,052	1,842	1,950	0,720	1,824	1,026
Pt (0,1) + 0,44 Ag	1	8	2,052	2,304	2,322	0,924	1,920	1,278
Pt (0,1) + 0,55 Ag	1	10	2,178	2,712	2,631	1,152	2,016	1,536
Pt (0,1) + 0,66 Ag	1	12	2,238	3,072	2,928	1,536	2,112	1,842

ость ( $A$ ) катализаторов как функция содержания варьируемого компонента (Cu, Ag, Au, Pd). Пунктирные кривые дают сумму активности отдельных компонентов (по закону простой аддитивности). Заштрихованными ружжками, треугольниками и квадратами на оси ординат дана активность катализаторов с содержанием одного постоянного компонента (Pt, Pd) носителях.

### ОБСУЖДЕНИЕ РЕЗУЛЬТАТОВ

Анализ результатов, помещенных в табл. 1, показывает, что на карбонатах проявляется четко выраженное токсическое действие серебра на платину. Максимальное токсическое действие серебра на платину, как на сульфатах [1], падает на отношение  $\frac{\text{Pt}}{\text{Ag}} = \frac{1(2) \text{ атом}}{1 \text{ атом}}$ . Причем такой

характер действия серебра на платину сохраняется на разных марках карбонатов, приготовленных по разной методике и отличающихся поэтому степенью дисперсности [3]. На рис. 1 приводятся данные каталазной активности платино-серебряных катализаторов для трех марок препарата  $\text{BaCO}_3$ . Из рис. 1 видно, что характер действия серебра на платину не зависит от дисперсности карбоната бария. Остается также весьма близкой на всех марках  $\text{BaCO}_3$  и общая активность Pt + Ag катализаторов.

Падение активности платино-серебряных катализаторов сопровождается ростом кажущейся энергии активации реакции разложения  $\text{H}_2\text{O}_2$  (рис. 2). Энергия активации возрастает с 7,2 ккал/моль (при 0,1 вес. % Pt на  $\text{BaCO}_3$  № 7) до 10,9 ккал/моль, когда содержание платины и серебра в носителе становится близким к эквимолярному отношению. При дальнейшем увеличении содержания серебра в носителе кажущаяся энергия активации первоначально медленно уменьшается, а затем, начиная примерно с отношения  $\frac{\text{Pt}}{\text{Ag}} = \frac{1 \text{ атом}}{4 \text{ атомам}}$  и при всех изученных последующих возрастающих концентрациях серебра в носителе, остается практически на одном уровне ( $\sim 9,6$  ккал/моль)

Интенсивность токсического действия серебра на платину на карбонатах



выражена значительно слабее, чем на сульфатах [1]. Например, при 0,055 вес. % Ag в носителе катализная активность платино-серебряных катализаторов на  $\text{BaSO}_4$  снижается на 99,5%, а на  $\text{BaCO}_3$ , при тех же условиях, она уменьшается на ~43%. В связи с этим привлекает внима-

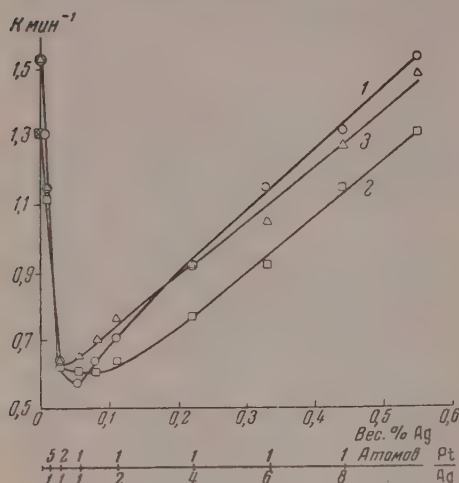


Рис. 1

Рис. 1. Pt (0,1 вес.%) + n вес.% Ag на  $\text{BaCO}_3$  № 5—7. Катализная активность при 25°, 1 — на  $\text{BaCO}_3$  № 5; 2 — на  $\text{BaCO}_3$  № 6; 3 — на  $\text{BaCO}_3$  № 7

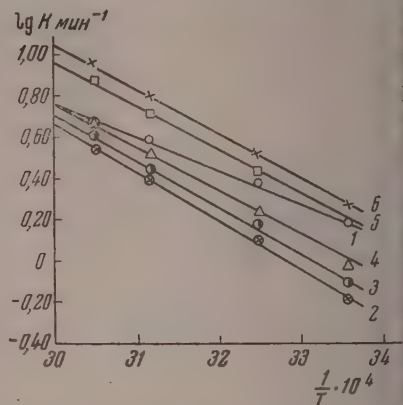


Рис. 2

Рис. 2. Зависимость  $\lg K$  от обратной температуры при катализном действии Pt и (Pt + Ag), нанесенных на  $\text{BaCO}_3$  № 7. 1—0,1% Pt; 2—0,1 Pt + 0,055% Ag; 3—0,1% Pt + 0,11% Ag; 4—0,1% Pt + 0,22% Ag; 5—0,4% Pt + 0,55% Ag; 6—0,1% Pt + 0,66% Ag

ние тот факт, что само серебро на карбонатах при концентрациях от 0,005 до 0,055 вес. % катализно активно, тогда как на сульфатах [1] в пре-

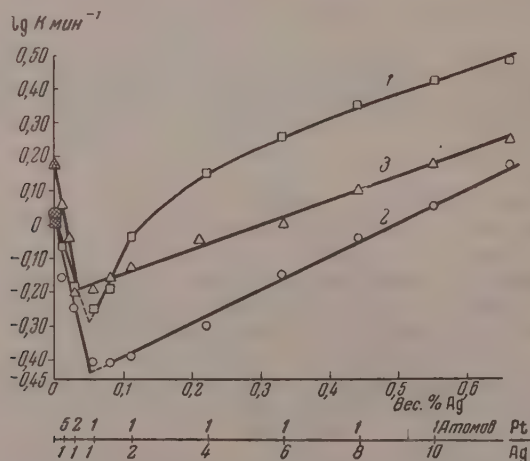


Рис. 3. Pt (0,1 вес.%) + n вес.% Ag на  $\text{CaCO}_3$ ,  $\text{SrCO}_3$  и  $\text{BaCO}_3$ . Катализная активность при 25° (1 — на  $\text{CaCO}_3$ ; 2 — на  $\text{SrCO}_3$ ; 3 — на  $\text{BaCO}_3$ ).

делах указанных концентраций оно практически не обладает каталитической активностью. Наблюдается, таким образом, определенная связь между собственной активностью серебра на носителе и его токсическом действии на платину.

При изучении распада перекиси водорода с участием катализаторов на карбонатах и на других подобных носителях основного или кислотного характера необходимо учитывать, несмотря на трудность их растворения, возможное изменение рН раствора перекиси водорода при контакте с адсорбционным катализатором и влияние изменившегося рН среды на скорость катализа перекиси водорода.

Специально проведенные с этой целью измерения рН на обычной потенциометрической установке со стеклянным электродом показали, что 0,2 моль/л водный раствор перекиси водорода имеет рН равное 6,2, рН воды в этих условиях равно 6,9—6,95. При десорбции в 30 мл 0,2 моль/л раствора  $H_2O_2$  1 г  $BaCO_3$  рН среды повышается до 8,3, причем такое изменение рН происходит при интенсивном перемешивании (300 поступательных-встряхивающих толчков в минуту) с первой же минуты соприкосновения  $H_2O_2$

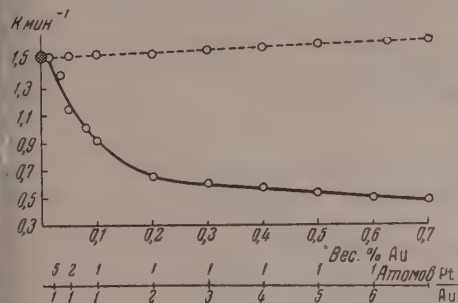


Рис. 4

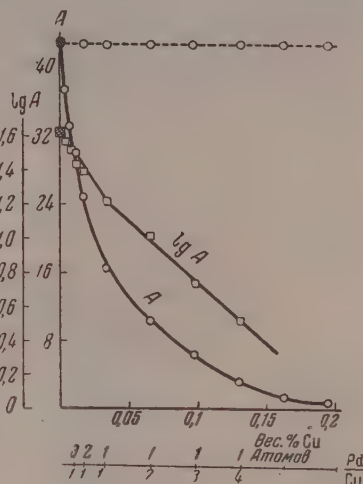


Рис. 5

Рис. 4. Pt (0,1 вес.%) + n вес.% Au на  $BaCO_3$  № 7. Катализная активность при 25°

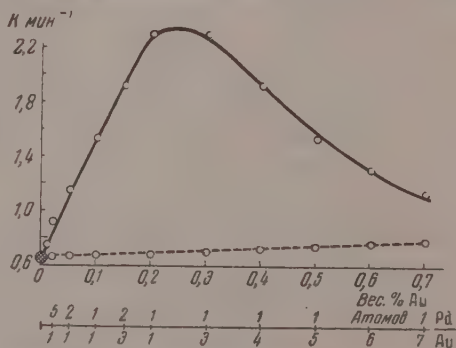
Рис. 5. Pd (0,0546 вес.%) + n вес.% Cu на  $BaCO_3$  № 7. Катализная активность при 25°. A — активность ( $см^3 O_2$  в минуту)

$BaCO_3$  при 25°C. Опыты показывают, что при продолжающемся перемешивании раствора перекиси водорода с  $BaCO_3$  рН среды (наблюдения проводились в течение 3 час.) практически сохраняется. Изменение навески  $BaCO_3$  от 0,05 до 0,2 г также не оказывает заметного влияния на дальнейшее повышение или понижение рН среды. Не влияет на рН среды и нанесение на  $BaCO_3$  платинового (0,1 вес. % Pt) и платино-серебряных (0,1 вес. % Pt + n вес. % Ag) катализаторов. Как и в случае одного носителя, рН среды остается на уровне 8,3.

Изучение активности 0,1 вес. % Pt и 0,1 вес. % Pt + n вес. % Ag катализаторов на  $BaCO_3$  с различными начальными значениями рН (от рН = 5 до рН = 3,15) показало, что торможение процесса каталитического разложения  $H_2O_2$  при пониженных значениях рН среды невелико. Так, при начальном значении рН, равном 3,15, скорость реакции замедляется всего в два раза.

Сравнительно небольшое тормозящее влияние понижения начального значения рН среды на катализ  $H_2O_2$  при участии платино-серебряных катализаторов на  $BaCO_3$  объясняется, надо полагать, тем, что у поверхности  $BaCO_3$  (также  $SrCO_3$  и  $CaCO_3$ ) во всех случаях сохраняется примерно одно и то же рН. Следовательно, изменение значения величины начального рН в подобных гетерогенных системах не оказывает того существенного влияния, какое наблюдается в гомогенном катализе перекиси водорода.

Измерения рН среды в опытах с сульфатом бария позволили установить, что 0,2 г навеска  $BaSO_4$ , внесенная в 30 мл 0,2 моль/л раствора  $H_2O_2$ , не изменяет рН раствора

Рис. 6. Pd (0,0546 вес. %) + n вес. % Au на  $BaCO_3$  № 4. Катализная активность при 25°

После трехчасового интенсивного перемешивания перекиси водорода с  $\text{BaSO}_4$  pH остается равным 6,2. Не влияют на изменение pH среды платиновые (0,1 вес. % Pt) и платино-серебряные (0,1 вес. % Pt + n вес. % Ag) катализаторы, нанесенные на  $\text{BaSO}_4$ . Увеличение pH среды при введении  $\text{Ba}(\text{OH})_2$  в 0,2 моль/л раствор  $\text{H}_2\text{O}_2$  до 8,3 (т. е. до значения pH раствора перекиси водорода с навеской  $\text{BaCO}_3$ ) практически не оказывает влияния на каталитическую активность 0,1 вес. % Pt на  $\text{BaSO}_4$ , но повышает примерно в 8 раз активность смешанного катализатора (0,1 вес. % Pt + 0,055 вес. % Ag) на  $\text{BaSO}_4$ . Несмотря на такое повышение каталитической активности платино-серебряного катализатора (Pt : Ag = 1 : 1) на  $\text{BaSO}_4$  при pH, равном 8,3, «токсическое» действие серебра на платину, нанесенную на  $\text{BaSO}_4$ , продолжает оставаться интенсивным и превышает «токсическое» действие Ag на Pt в платино-серебряном катализаторе того же состава на  $\text{BaCO}_3$  при одинаковых условиях и pH=8,3, примерно в 10 раз.

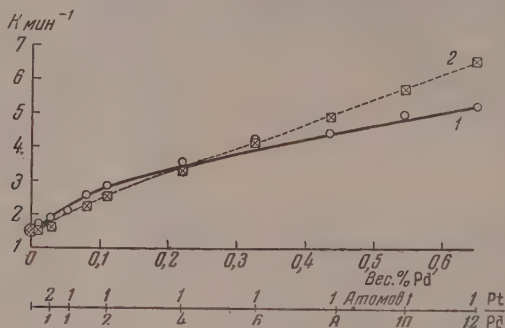


Рис. 7. Pt (0,1 вес. %) + n вес. % Pd на  $\text{BaCO}_3$   
 № 7. Каталитическая активность при 25°. 1 — наблюдаемая активность; 2 — аддитивная активность

Активность простых серебряных катализаторов на  $\text{BaSO}_4$  при pH раствора  $\text{H}_2\text{O}_2$ , равном 8,3, заметно возрастает. Начиная примерно с 0,22 вес. % Ag на  $\text{BaSO}_4$  и более высоких концентрациях, активность Ag на  $\text{BaSO}_4$  при сравнимых условиях и одинаковом pH практически приближается к активности на карбонатах.

Ионы  $\text{Ba}^{2+}$  ( $\text{BaCl}_2$ ) на катализ  $\text{H}_2\text{O}_2$  не оказывают влияния, так что наблюдаемый эффект по снижению токсического действия Ag на Pt на  $\text{BaSO}_4$  при введении  $\text{Ba}(\text{OH})_2$  следует отнести за счет увеличения концентрации ионов  $\text{OH}^-$ .

Приведенные данные по активности платино-серебряных катализаторов на  $\text{BaCO}_3$  и  $\text{BaSO}_4$  при одинаковых значениях pH среды (pH = 8,3) показывают, что интенсивность токсического действия Ag на Pt в адсорбционных катализаторах при разложении  $\text{H}_2\text{O}_2$  зависит не только от pH среды. В подобных системах, построенных по типу: активное вещество + носитель, большое влияние на активность катализаторов оказывает носитель. В зависимости от физико-химических свойств носителя может изменяться воздействие его на активные компоненты, характер взаимодействия самих активных компонентов, а отсюда и активность смешанных катализаторов. В этой связи заслуживают внимания результаты опытов по магнитной восприимчивости ( $\chi$ ) серебра на карбонатах и сульфатах [4]. Величина магнитной восприимчивости ( $\chi$ ) адсорбированного серебра (в сильно разведенных слоях, атомарного) значительно отличается на разных носителях, хотя и остается ансмально большой. Сравнение  $\chi$  адс. Ag<sub>1</sub> на  $\text{BaSO}_4$  и  $\text{BaCO}_3$  показывает, что  $\chi$  заметно падает от  $\text{BaSO}_4$  ( $\chi$  адс. Ag<sub>1</sub> =  $2700 \cdot 10^{-6}$ ) к  $\text{BaCO}_3$  ( $582 \cdot 10^{-6}$ ). Следовательно, магнитная восприимчивость адс. Ag<sub>1</sub> больше на том носителе ( $\text{BaSO}_4$ ), на котором малые концентрации серебра оказывают наибольшее токсическое действие на платину.

Отметим, что значительное изменение активности простых катализаторов и токсического действия серебра на платину в смешанных катализаторах наблюдается лишь при переходе от карбонатов к сульфатам (при замене аниона  $\text{CO}_3^{2-}$  на более трудно деформируемый анион  $\text{SO}_4^{2-}$ ), а не в ряду

карбонатов или сульфатов щелочно-земельных металлов. Замена одного катиона щелочно-земельного металла на другой, при одном и том же анионе в молекулах носителей, оказывает малое влияние на активность катализаторов.

Приведенные данные по каталазной активности катализаторов на карбонатах щелочно-земельных металлов согласуются с основными положениями теории, предложенной Н. И. Кобозевым [2, 5] применительно к отравлению катализаторов. Во всех случаях, начиная с 0,011 вес. % (табл. 1), имеет место закономерное уменьшение удельного токсического действия серебра на платину с увеличением его количества в носителе. Четко соблюдается также линейная зависимость (рис. 3)  $\lg A$  по  $g$ , где  $A$  —

наблюдаемая активность катализатора,  $g$  — количество адсорбированного яда (в нашем случае серебра). Как видно из рис. 3, излом прямых наблюдается при тех концентрациях серебра, при которых скорость реакции достигает минимума, а затем, по мере увеличения концентрации серебра в носителе, начинает вновь возрастать. Расчет полного числа областей миграции ( $Z^\circ$ ) для платино-серебряных катализаторов на  $\text{CaCO}_3$ ,  $\text{SrCO}_3$  и  $\text{BaCO}_3$  дает близкие между собой значения (табл. 2). Сравнение  $Z^\circ$  для платино-серебряных катализаторов на карбонатах и сульфатах (табл. 2) показывает, что  $Z^\circ$  для карбонатов превышает на один порядок соответствующие значения для сульфатов.

В этом же направлении, как уже указывалось, от карбонатов к сульфатам щелочно-земельных металлов возрастает токсическое действие серебра на платину в  $\text{Pt} + \text{Ag}$ -катализаторах. Отмеченное возрастание токсического действия серебра на платину с уменьшением числа областей миграции ( $Z^\circ$ ) на сульфатах находится в соответствии с требованиями теории [5]. Адсорбционный катализатор должен быть при равных условиях тем более устойчивым к отравлению, чем на более мелкие ячейки разбита поверхность носителя, чем больше  $Z^\circ$ . Таким образом структура поверхности (значение  $Z^\circ$ ), наряду с химической природой носителя, может оказывать определенное влияние на снижение токсического действия яда и на повышение активности адсорбционных катализаторов.

В рассматриваемых каталитических системах ( $\text{Pt} + \text{Ag}$ ,  $\text{Pt} + \text{Au}$ ,  $\text{Pd} + \text{Cu}$ ,  $\text{Pd} + \text{Ag}$ ,  $\text{Pd} + \text{Au}$ ,  $\text{Pt} + \text{Pd}$ ) замена носителей сульфатов щелочно-земельных металлов [1] на карбонаты увеличивает общую активность катализаторов, но не оказывает влияния, за исключением  $\text{Pd} + \text{Ag}$  катализаторов, на характер (тип) взаимодействия активных компонентов. Экспериментальные данные\*, приведенные на рис. 1—7, подтверждают сделанный вывод. Интересно, что в  $\text{Pd} + \text{Au}$ -катализаторах на карбонатах (рис. 6) сохраняется даже отношение

$$\frac{\text{Pd}}{\text{Au}} = \frac{1 \text{ атом}}{2(3) \text{ атомам}},$$

при котором на обоих носителях активность катализаторов при катализе перекиси водорода, достигает максимума.

\* В. И. Горшковым получены результаты по каталазной активности ( $\text{Pt} + \text{Pd}$ )-катализаторов на  $\text{BaCO}_3$  № 4 при  $25^\circ$ , которые практически также близки с приведенными данными рис. 7 (носитель  $\text{BaCO}_3$  № 7).

Таблица 2

Катализаторы	$Z^\circ$
$\text{Pt}$ (0,1 вес. %) + $n$ вес. % $\text{Ag}$ на:	
$\text{CaCO}_3$	$3,5 \cdot 10^{18}$
$\text{SrCO}_3$	$3,3 \cdot 10^{18}$
$\text{BaCO}_3$ № 5	$1,8 \cdot 10^{18}$
$\text{BaCO}_3$ № 6	$2,1 \cdot 10^{18}$
$\text{BaCO}_3$ № 7	$1,8 \cdot 10^{18}$
$\text{CaSO}_4$	$3,1 \cdot 10^{17}$
$\text{SrSO}_4$	$2,8 \cdot 10^{17}$
$\text{BaSO}_4$ № 4	$3,0 \cdot 10^{17}$
$\text{BaSO}_4$ № 5	$2,4 \cdot 10^{17}$
$\text{BaSO}_4$ № 6	$2,6 \cdot 10^{17}$



Опыты с (Pd + Au)-катализаторами на  $\text{BaSO}_4^*$ , когда pH раствора перекиси водорода было установлено 8,3, показали, что экстремальный тип кривой с максимумом активности при отношении  $\frac{\text{Pd}}{\text{Au}} = \frac{1 \text{ атом}}{2 \text{ атом}}$  сохраняется и в данном случае, но общая активность палладиевых и палладиево-золотых катализаторов до отношения атомов Pd : Au = 1 : 2 (до максимума активности) возрастает ~ в 3 раза. При дальнейшем увеличении концентрации золота на носителе общая активность (Pd + Au)-катализаторов повышается более значительно, но тип кривой активности

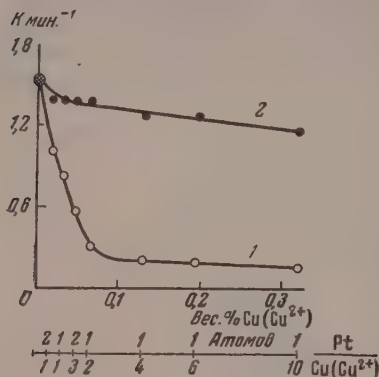


Рис. 8

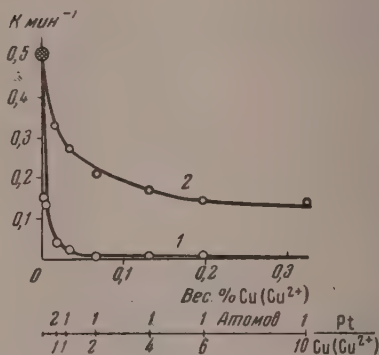


Рис. 9

Рис. 8. Pt + Cu(Cu<sup>2+</sup>) на  $\text{BaCO}_3$  № 7. Катализная активность при 25°, 1—0,1 вес. % Pt + n вес. % Cu; 2—0,1 вес. % Pt + n вес. % Cu<sup>2+</sup>; навеска катализатора 0,1 г;  $c_{\text{H}_2\text{O}_2} = 0,2 \text{ моль/л}$

Рис. 9. Pt + Cu(Cu<sup>2+</sup>) на  $\text{SrSO}_4$  № 4. Катализная активность при 25°, 1—0,1 вес. % Pt + n вес. % Cu; 2—0,1 вес. % Pt + n вес. % Cu<sup>2+</sup>; навеска катализатора 0,1 г;  $c_{\text{H}_2\text{O}_2} = 0,2 \text{ моль/л}$

с максимумом отчетливо сохраняется. Хотя активность (Pd + Au)-катализаторов на  $\text{BaSO}_4$  с повышением pH с 6,2 до 8,3 заметно, как мы видим, повышается, но она остается при сравнимых условиях и одинаковой концентрации раствора  $\text{H}_2\text{O}_2$  (0,2 моль/л) и равных по весу навесках катализатора (0,2 г) примерно в два раза ниже активности (Pd + Au)-катализаторов на  $\text{BaCO}_3$ . Активность простых палладиевых катализаторов (0,0546 вес. % Pd) на  $\text{BaSO}_4$  при этих же условиях ниже активности их на  $\text{BaCO}_3$  в пять раз.

В палладиево-серебряных катализаторах (Pd + Ag) на карбонатах, в отличие от аналогичных катализаторов на сульфатах [1], не наблюдается в пределах первых малых концентраций серебра (от 0,0005 до 0,055 вес. % Ag) того явного токсического действия серебра на палладий, которое характерно в случае носителей сульфатов\*\*.

Опытные данные показывают, что в (Pd + Ag) - катализаторах на  $\text{BaSO}_4$  серебро оказывает токсическое действие на палладий и в том случае, когда pH раствора  $\text{H}_2\text{O}_2$  повышено до 8,3. Активность смешанных катализаторов (0,0546 вес. % Pd + 0,055 вес. % Ag) на  $\text{BaSO}_4$  в этих условиях при 25° в два раза меньше\*\*\* активности палладиевых катализаторов (0,0546 вес. % Pd) на  $\text{BaSO}_4$ . Увеличение pH раствора  $\text{H}_2\text{O}_2$  до 8,3 сказывается лишь на значительном возрастании общей активности (Pd +

\*  $c_{\text{H}_2\text{O}_2} = 0,2 \text{ моль/л}$ . Навеска катализатора 0,2 г.

\*\* Например, на  $\text{BaCO}_3$  № 7 известная тенденция к снижению активности катализаторов, по сравнению с активностью 0,0546 вес. % Pd, имеет место практически лишь при 0,0275 вес. % Ag (0,0546 вес. % Pd + 0,0275 вес. % Ag). При дальнейшем увеличении содержания серебра в носителе наблюдается значительное возрастание общей активности катализаторов.

\*\*\*  $c_{\text{H}_2\text{O}_2} = 0,2 \text{ моль/л}$ . Навеска катализатора 0,2 г.

+ Ag)-катализаторов на  $\text{BaSO}_4^*$ , но не на изменении характера взаимодействия активных компонентов.

В палладиево-медных катализаторах (0,0546 вес. % Pd +  $n$  вес. % Cu) на карбонатах медь оказывает значительное токсическое действие на палладий (рис. 5). Токсическое действие меди на палладий наблюдается и на сульфатах. Таким образом в ряду  $\text{Cu—Ag—Au}$  имеет место переход от компонента (Cu), обладающего явным токсическим действием на палладий, к компоненту (Au), оказывающему на палладий активирующее действие (рис. 6).

Раствор  $\text{H}_2\text{O}_2$  (0,2 моль/л) в условиях опытов, при увеличении pH с 6,2 до 8,3, практически не разлагается.

Обзор приведенного экспериментального материала позволяет прийти к заключению, что активность разбавленных слоев смешанных металлических адсорбционных катализаторов на карбонатах щелочно-земельных металлов, как и на сульфатах [1], находится в явной зависимости от электронного строения атомов взятых металлов, определяется в конечном итоге местом соответствующих элементов в периодической системе Д. И. Менделеева.

При катализе окислительно-восстановительных процессов необходимо, чтобы каталитическая система содержала свободные спин-валентности (неспаренные электроны). Повышение каталитической активности должно наблюдаться в тех смешанных металлических адсорбционных катализаторах, взаимное влияние атомов которых при деформирующем воздействии носителя на них приводит к возбуждению внешних электронов и разделению электронных пар. Примером такой системы могут служить (Pd + Au) - катализаторы. У атомов Pd внешняя электронная оболочка только что построена до 18 электронов и не стабилизировалась, поэтому возможен, при сравнительно небольшом возбуждении ( $19 \text{ ккал}$ ), переход электронов из  $d$ - в  $s$ -положение ( $4d^{10} \rightarrow 4d^9 5s$ ) с образованием у каждого атома палладия двух неспаренных электронов. При возбуждении атомов Au, у которых 18-электронный слой также еще не вполне закреплен, возможно образование трех неспаренных электронов на каждый атом. Такое увеличение неспаренных электронов при возбуждении атомов Pd и Au, даже при спаривании части из них в процессе образования простейших атомных структур, безусловно положительно будет сказываться на активности разбавленных слоев палладиево-золотых катализаторов. Из данных рис. 6 следует, что состав возможных палладиево-золотых структур, на которые падает максимум общей активности катализаторов, выражается отношением

$$\frac{\text{Pd}}{\text{Au}} = \frac{1 \text{ атом}}{2(3) \text{ атомам}}.$$

В случае взаимодействия между атомами, которое в конечном итоге ограничивается спариванием уже имеющихся неспаренных электронов и уменьшением свободных валентностей, активность смешанных адсорбционных катализаторов должна резко падать. К числу таких катализаторов,

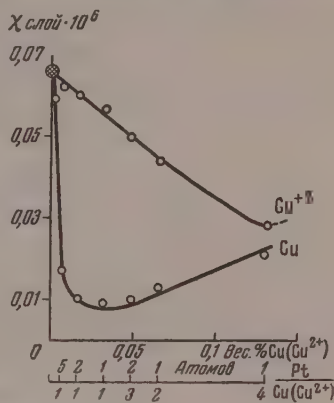


Рис. 10. Pt (0,1 вес. %) +  $n$  вес. % Cu(Cu<sup>2+</sup>) на  $\text{SrSO}_4$  № 5 (4). Изменение магнитной восприимчивости разведенного слоя. 0,1 вес. % Pt (заштрихованный кружок)

\* Скорость разложения 0,2 моль/л раствора  $\text{H}_2\text{O}_2$  при участии (0,0546 вес. % Pd + 0,055 вес. % Ag)-катализатора на  $\text{BaSO}_4$  увеличивается при этом на один порядок. Активность палладиевых катализаторов (0,0546 вес. % Pd) на  $\text{BaSO}_4$  увеличивается в три раза.

например, следует отнести  $(Pt \div Ag)$ - (табл. 1, рис. 3) и  $(Pt \div Cu)$ -катализаторы (рис. 8 и 9).

В смешанных платиновых катализаторах, когда переменным компонентом являются ионы меди \*  $(Pt \div Cu^{2+})$ , не наблюдается того резкого снижения активности платины, которое имеет место в  $(Pt \div Cu)$ - и  $(Pt \div Ag)$ -катализаторах на карбонатах (рис. 8, табл. 1) и сульфатах [1] (рис. 9) щелочно-земельных металлов. Так, активность катализатора  $Pt(0,1 \text{ вес. } \%) \div 0,0648 \text{ вес. } \% Cu$  на  $BaCO_3$  уменьшается сравнительно с активностью  $0,1 \text{ вес. } \% Pt$  в пять раз, тогда как активность  $Pt(0,1 \text{ вес. } \%) \div 0,0648 \text{ вес. } \% Cu^{2+}$  на том же носителе уменьшается всего в 1,1 раза (рис. 8). Активность катализатора  $Pt(0,1 \text{ вес. } \%) \div 0,0648 \text{ вес. } \% Cu$  на  $SrSO_4$  уменьшается относительно активности  $0,1 \text{ вес. } \% Pt$  в 44,7 раза, а активность  $Pt(0,1 \text{ вес. } \%) \div 0,0648 \text{ вес. } \% Cu^{2+}$  всего лишь в 2,4 раза (рис. 9).

Экспериментальные данные по исследованию магнитных свойств разбавленных слоев платино-медных катализаторов также подтверждают явное различие в действии атомарной меди  $(Cu)$  и ионов меди  $(Cu^{2+})$  на металлическую платину  $(Pt)$ . На рис. 10 дано графическое выражение изменения магнитной восприимчивости  $Pt(0,1 \text{ вес. } \%) \div n \text{ вес. } \% Cu$  ( $Cu^{2+}$ )-катализаторов на  $SrSO_4 \cdot N_2O_4$ . Определение магнитной восприимчивости\*\* проводилось по методике, описанной в литературе [4, 6]. На оси ординат (рис. 10) дана магнитная восприимчивость слоя  $(\chi_{\text{слой}} \cdot 10^3)$ , заштрихованным кружком показана магнитная восприимчивость постоянного компонента ( $0,1 \text{ вес. } \% Pt$ ). Из рис. 10 видно, что первые малые концентрации металлической меди сильно снижают парамагнетизм платины, ионы меди  $(Cu^{2+})$  при тех же концентрациях оказывают сравнительно слабое влияние на уменьшение восприимчивости слоя (на снижение парамагнетизма платины). Данные, приведенные на рис. 9, 10, позволяют сделать вывод, что восприимчивость слоя у платино-медных катализаторов на сульфате стронция симбатно следует за каталитической активностью. Максимальное падение магнитной восприимчивости, как и в случае каталитической активности, приходится на простейшее стехиометрическое отношение атомов платины и меди

$$\left( \frac{Pt}{Cu} = \frac{1}{1(2)} \right).$$

Результаты проведенного исследования показывают, что строение электронных оболочек атомов (ионов), наличие в атомах (ионах) неспаренных и легко возбуждаемых электронов, имеет важное значение для каталитической активности элементов. Активность разбавленных слоев смешанных металлических адсорбционных катализаторов связана с изменением их магнитных свойств (магнитной восприимчивости слоя).

Автор выражает благодарность Н. И. Кобозеву за интерес к выполненной работе.

## ВЫВОДЫ

1. Изучена каталитическая активность разбавленных слоев платино-серебряных, платино-золотых, палладиево-медных, палладиево-серебряных, палладиево-золотых и платино-палладиевых катализаторов на карбонатах щелочно-земельных металлов при разложении перекиси водорода.

Приводятся также данные по каталитическим и магнитным свойствам платино-медного катализатора на  $SrSO_4$ .

\*  $Cu^{2+}$  в пределах изученных концентраций (рис. 8 и 9) адсорбируются на карбонатах и сульфатах щелочно-земельных металлов практически необратимо.

\*\* Измерения магнитной восприимчивости катализаторов проводились автором в лаборатории катализа и газовой электродинамики Московского государственного университета им. М. В. Ломоносова.



2. Каталитическая активность смешанных металлических адсорбционных катализаторов в окислительно-восстановительных процессах связана электронным строением их атомов (ионов), с наличием в системе незаполненных электронов (свободных спин-валентностей) и природой носителя.

3. Экстремальные значения активности катализаторов падают на простейшие стехиометрические отношения атомов металлов на поверхности носителя.

Минимуму активности катализаторов при разложении перекиси водорода соответствует максимум энергии активации.

4. Изменение активности платино-серебряных катализаторов в зависимости от содержания серебра в носителях согласуется с основными выводами теории активных ансамблей применительно к отравлению катализаторов.

При графическом выражении  $\lg A$  по  $g$  (где  $A$  — наблюдаемая активность,  $g$  — концентрация серебра) получается линейная зависимость до больших глубин отравления.

5. Общее число областей миграции в платино-серебряных катализаторах на карбонатах щелочно-земельных металлов ( $Z^0 = 2,5 \cdot 10^{18}$ ) на один порядок выше числа областей миграции на сульфатах ( $Z^0 = 2,7 \cdot 10^{17}$ ).

6. Каталитическая активность изученных смешанных катализаторов связана с изменением их магнитных свойств (магнитной восприимчивости ион).

Ярославский технологический  
институт

Поступила  
17.XII.1955

#### ЛИТЕРАТУРА

1. И. А. Зубович, Журн. физ. химии, 29, 917, 1955.
2. И. А. Зубович, Журн. физ. химии, 29, 1696, 1955.
3. П. П. Веймарн, Записки Горного ин-та, 1, 94, 239, 313, 1908.
4. Н. И. Кобозев, В. Б. Евдокимов, И. А. Зубович и А. Н. Мальцев, Журн. физ. химии, 26, 1349, 1952.
5. Н. И. Кобозев, Журн. физ. химии, 14, 650, 1940.
6. В. Б. Евдокимов, И. Н. Озерцовский и Н. И. Кобозев, Журн. физ. химии, 26, 135, 1952.

#### MIXED ADSORPTION CATALYSTS

##### III. THE ACTIVITY OF MIXED METALLIC CATALYSTS ON ALKALINE EARTH METAL CARBONATES IN THE DECOMPOSITION OF HYDROGEN PEROXIDE

*I. A. Zubovich (Yaroslavl')*

#### Summary

The activity of dilute layers of platinum — silver, platinum — gold, palladium — copper, palladium — silver, palladium — gold and platinum — palladium catalysts deposited on the carbonates of the alkaline earth metals has been studied with respect to the decomposition of hydrogen peroxide. Data have also been obtained on the catalytic and magnetic properties of a platinum — copper catalyst on  $\text{SrSO}_4$ .

It was shown that the extremal values for the catalytic activity coincide with the simplest stoichiometric ratios of the metal atoms. The minimum of catalytic activity corresponds to a maximum activation energy.

The catalytic activity of the mixed metallic adsorption catalysts in redox processes is associated with the electronic structure of the atoms (ions), with the presence of unpaired electrons (free spin valencies) in the system and with the nature of the carrier.

The change in activity of platinum — silver catalysts with respect to the silver content in the carrier agrees with the principal conclusions of the active ensemble theory as applied to catalyst poisoning.



## МЕХАНИЗМ КОРРОЗИИ МЕТАЛЛОВ В УЗКИХ ЗАЗОРАХ И ЩЕЛЯХ

## II. КОРРОЗИЯ ЖЕЛЕЗА В РАСТВОРАХ ЗАМЕДЛИТЕЛЕЙ

*И. Л. Розенфельд и И. К. Маршаков*

В коррозионных средах, содержащих замедлители коррозии, железо в узких зазорах часто подвергается усиленному разрушению, которое в литературе носит название «щелевой коррозии» [1]. Коррозия металла в зазорах в некоторых случаях протекает очень интенсивно. Примерами могут служить многочисленные случаи разрушения металлических деталей по местам соприкосновения с прокладками или в местах неплотного соединения деталей из однородного металла в охлаждающих системах, в которых охлаждающий агент содержит замедлители коррозии. Несмотря на это, до последнего времени этот тип коррозионного разрушения не подвергался систематическому исследованию, и его механизм оставался неполностью выясненным. Наше исследование ставило своей целью получить количественные данные по коррозионной стойкости железа, находящегося в зазорах различной величины, и вскрыть механизм коррозионного разрушения в этом случае.

Методика исследования была изложена в нашей предыдущей статье [2].

## РЕЗУЛЬТАТЫ ЭКСПЕРИМЕНТАЛЬНОГО ИССЛЕДОВАНИЯ

Опыты проводились с железом следующего состава: 0,30% C; 0,27% Si, 0,65% Mn; 0,25% Cr; 0,25% Ni, остальное—железо. В качестве исходной коррозионной среды был взят электролит состава 30 мг/л NaCl + 70 мг/л  $\text{Na}_2\text{SO}_4$ , поскольку он имитирует речную воду. Механизм действия замедлителей в этом электролите был подробно изучен одним из авторов [3]. Коррозионное поведение железа в зазорах изучалось в присутствии нитрата натрия, бихромата калия, сульфата цинка и двузамещенного ортофосфата натрия. Эти замедлители коррозии являются представителями анодных замедлителей, обладающих окислительными свойствами, смешанных замедлителей, катодных и анодных замедлителей, не обладающих окислительными свойствами.

Продолжительность коррозионных испытаний была 30 суток. Размер образцов  $5 \times 3$  см. Исследуемые образцы располагались вертикально. При изучении коррозионных макропар катод и анод располагались параллельно друг другу и на расстоянии 50 мм друг от друга.

**Влияние нитрита натрия.** Нитрит натрия является анодным замедлителем, который при малых концентрациях вызывает увеличение интенсивности коррозии железа. В растворах нитрита натрия на железе сильно тормозится анодный процесс, катодный процесс, наоборот, несколько облегчается. Ранее было показано [3], что введение нитрита натрия в названный выше электролит в количестве 250 мг/л почти полностью подавляет коррозию железа. Иная картина наблюдается, когда железо находится в зазоре. На рис. 1 показаны результаты коррозионного испытания железа, находящегося в зазорах, в исходном электролите, который содержал 250 мг/л нитрита натрия. Мы видим, что при широких зазорах 0,70—1,00 мм на железе коррозионных поражений не наблюдается. При более узких зазорах 0,05—0,50 мм на железе наблюдается сильная коррозия, причем коррозионные потери железа для всех зазоров остаются

я примерно одинаковыми (кривая 2), но интенсивность коррозии (скорость коррозии, отнесенная к единице пораженной площади) имеет максимум при зазоре 0,45 мм (кривая 1). Следует обратить внимание на то, что максимальные коррозионные разрушения наблюдаются не при минимальном зазоре, как это можно было ожидать, а при некоторых средних значениях зазора. Из этого же рисунка видно (кривая 3), что площадь коррозионных поражений железа увеличивается с уменьшением ширины зазора и при зазорах 0,05—0,35 мм достигает максимального значения 30 см<sup>2</sup>, т. е. площади испытуемого образца.

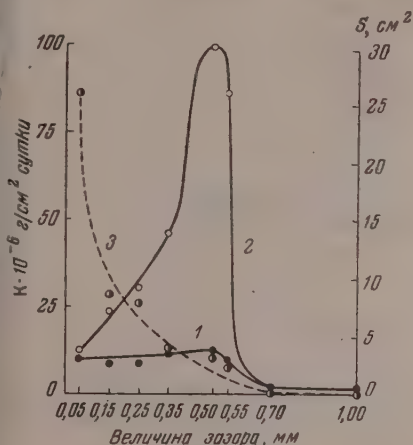


Рис. 1

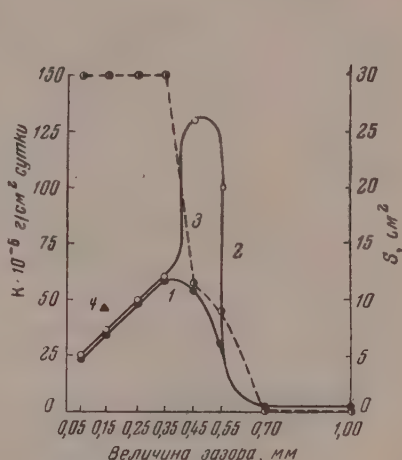


Рис. 2

Рис. 1. Зависимость общих коррозионных потерь, интенсивности коррозии и площади поражения железа от величины зазора в электролите состава 30 мг/л NaCl + 70 мг/л Na<sub>2</sub>SO<sub>4</sub> + 250 мг/л NaNO<sub>2</sub>, когда железо полностью находится в зазоре. Температура 30°C. 1 — общие коррозионные потери; 2 — интенсивность коррозии; 3 — площадь коррозионного поражения

Рис. 2. Зависимость общих коррозионных потерь, интенсивности коррозии и площади поражения железа от величины зазора в электролите состава 30 мг/л NaCl + 70 мг/л Na<sub>2</sub>SO<sub>4</sub> + 250 мг/л NaNO<sub>2</sub>, когда отношение площади металла в зазоре к площади металла в объеме равно 30 : 30 см<sup>2</sup> (т. е.  $S_1 : S_2 = 1 : 1$ ). Температура 30°C. 4 — скорость коррозии при  $S_1 : S_2 = 1 : 5$  (обозначения см. рис. 1)

На рис. 2 представлены результаты испытаний железа в той же коррозионной среде, когда металл, находящийся в зазоре, контактирует с металлом, омываемым электролитом. Отношение поверхности металла в зазоре к поверхности металла, омываемой электролитом, было взято равным единице ( $S_1 : S_2 = 1 : 1$ ). Из рисунка видно, что в этом случае общие коррозионные потери и интенсивность коррозии имеют максимум при зазорах 0,35—0,45 мм, причем наличие поверхности металла, омываемой электролитом, ведет к увеличению абсолютных величин коррозионных потерь и интенсивности коррозии железа в зазорах. При зазоре 0,45 мм коррозионные потери железа, находящегося только в зазоре, составили  $10 \cdot 10^{-6}$  и интенсивность —  $100 \cdot 10^{-6}$  г/см<sup>2</sup> сутки, а железо, имеющее контакт с поверхностью металла, омываемой электролитом, имеет эти величины соответственно равными  $50 \cdot 10^{-6}$  и  $130 \cdot 10^{-6}$  г/см<sup>2</sup> сутки. Дальнейшее увеличение поверхности металла, омываемой электролитом, также ведет к возрастанию коррозионных потерь металла в зазоре. Так, скорость коррозии железа в зазоре 0,15 мм при  $S_1 : S_2 = 1 : 1$  равна  $37 \cdot 10^{-6}$  г/см<sup>2</sup> сутки, а при  $S_1 : S_2 = 1 : 5$  (т. е. при увеличении поверхности, омываемой электролитом в 5 раз) она равна  $47 \cdot 10^{-6}$  г/см<sup>2</sup> сутки.

Возрастание концентрации нитрита натрия в коррозионной среде приводит к сокращению коррозионных поражений железа, находящегося в зазорах. При концентрации 0,5 г/л  $\text{NaNO}_2$  коррозионные поражения железа возникают только при зазорах, меньших 0,25 мм (рис. 3, кривая 2). Максимум интенсивности коррозии железа сдвигается в сторону более узких зазоров и уменьшается по абсолютной величине. Если при концентрации нитрита натрия 0,25 г/л максимум интенсивности коррозии наблюдался при зазоре 0,45 мм и был равен  $130 \cdot 10^{-6}$  г/см<sup>2</sup> сутки, то при концентрации нитрита натрия 0,50 г/л максимум интенсивности наблюдается при

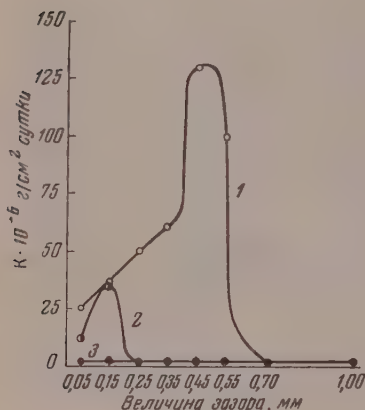


Рис. 3

Рис. 3. Интенсивность коррозии железа в зазорах при разных концентрациях  $\text{NaNO}_2$  в исходном электролите при  $S_1 : S_2 = 1 : 1$ . Температура 30° С. Концентрация  $\text{NaNO}_2$  1—250 мг/л; 2—500 мг/л; 3—2000 мг/л

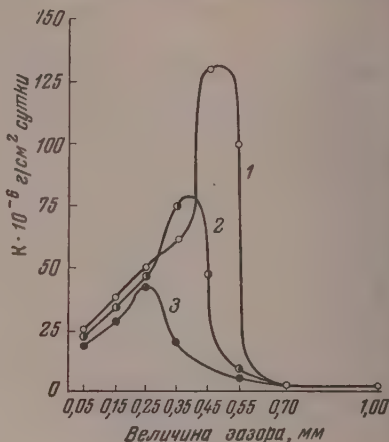


Рис. 4

Рис. 4. Интенсивность коррозии железа в зазорах при разных температурах в электролите состава 30 мг/л  $\text{NaCl}$  + 70 мг/л  $\text{Na}_2\text{SO}_4$  + 250 мг/л  $\text{NaNO}_2$ , при  $S_1 : S_2 = 1 : 1$ . 1—30° С; 2—20° С; 3—15° С

зазоре 0,15 мм и равен  $35 \cdot 10^{-6}$  г/см<sup>2</sup> сутки. Подавить полностью коррозию железа в зазоре 0,05 мм можно только при концентрации нитрита натрия, равной 2,0 г/л.

Изучение влияния температурного фактора на коррозионное поведение железа показало, что с увеличением температуры скорость коррозии и интенсивность коррозии железа в зазорах значительно возрастают. На рис. 4 даны результаты коррозионных испытаний железа в зазорах при температурах 15, 20, 30°С, когда отношение поверхности металла в зазоре к поверхности металла в объеме электролита равно единице. Увеличение температуры ведет к возникновению коррозионных разрушений при более широких зазорах, а также ведет к увеличению абсолютных значений коррозионных потерь и интенсивности коррозии, при этом максимальные значения этих величин с повышением температуры сдвигаются в сторону более широких зазоров. При температуре 15°С максимальная интенсивность коррозии железа равна  $40 \cdot 10^{-6}$  г/см<sup>2</sup> сутки, при температуре 20°С она равна  $79 \cdot 10^{-6}$  г/см<sup>2</sup> сутки и при 30°С ее величина достигает значения  $130 \cdot 10^{-6}$  г/см<sup>2</sup> сутки. В первом случае максимальная интенсивность наблюдается при зазоре 0,25 мм, во втором случае — при зазоре 0,40 мм, а в третьем случае — при зазоре 0,45 мм.

Изучение необратимых потенциалов железа, находящегося в зазорах, в растворе нитрита натрия (0,25 г/л) показано на рис. 5, из которого видно, что в начальный период времени потенциалы железа в зазорах и потен-

алы железа в объеме электролита одинаковы. Через 1—2 суток железо, находящееся в узких зазорах, начинает постепенно приобретать более отрицательные значения потенциала. По истечении 20—30 суток потенциал железа в зазорах 0,05—0,15 мм равен  $-0,30$  В, а потенциал железа, омываемого электролитом, равен  $+0,25$  В. Следовательно, разность потенциалов между железом в узких зазорах и железом в объеме электролита достигает  $0,55$  В. Это создает условия для возникновения коррозионных

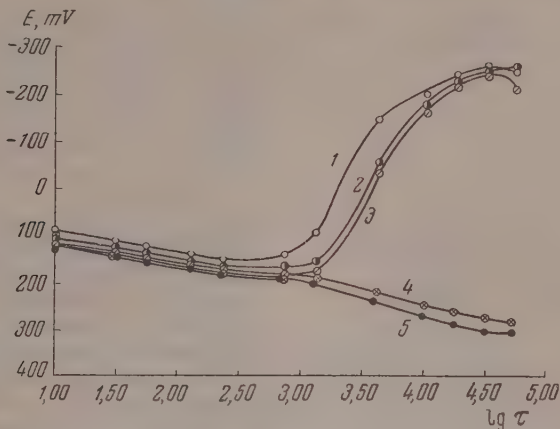


Рис. 5. Необратимые потенциалы железа, находящегося в зазорах, в электролите состава 30 мг/л NaCl + 70 мг/л  $\text{Na}_2\text{SO}_4$  + 250 мг/л  $\text{NaNO}_2$ . Температура  $15^\circ\text{C}$  ( $\tau$  — минуты). Потенциалы железа в зазоре: 1—0,05 мм; 2—0,15 мм; 3—0,25 мм; 4—1,00 мм; 5 — потенциалы железа в объеме электролита

макропар: металл в зазоре — металл в объеме электролита. Изменение силы тока такой пары при зазоре 0,15 мм и  $S_1:S_2 = 1:1$  показано на рис. 6. Ток этой пары измерен при помощи прибора с «нулевым сопротивлением» (4). Анод такой пары находится в зазоре. Вначале между железом в зазоре и железом в объеме электролита протекал крайне незначительный ток (0,5  $\mu\text{A}$ ), но затем он постепенно рос и достиг величины 14  $\mu\text{A}$ , после этого наблюдалось некоторое уменьшение тока. На металле, омываемом электролитом, этот ток распределяется примерно равномерно. Распределение же тока на металле, находящемся в зазоре, было изучено на специальном образце, который был изготовлен из изолированных друг от друга металлпических пластинок. Было найдено, что в исходном электролите, содержащем 250 мг/л  $\text{NaNO}_2$ , весь анодный ток на металле в зазоре 0,05—0,35 мм сосредотачивается на поверхности металла, расположенной не глубже 5 мм от начала зазора. Следовательно, коррозионные потери, обусловленные работой этих коррозионных пар, тоже сосредотачиваются непосредственно у начала зазора при поражении всей поверхности металла или у края язвы, обращенного к началу зазора, при язвенном разрушении.

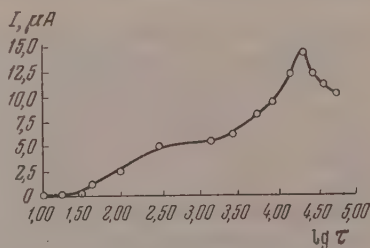


Рис. 6. Изменение силы тока коррозионной макропары железо в зазоре 0,15 мм — железо в объеме, во времени ( $\tau$  — минуты). Состав электролита 30 мг/л NaCl + 70 мг/л  $\text{Na}_2\text{SO}_4$  + 250 мг/л  $\text{NaNO}_2$ .  $S_1:S_2 = 1:1$ . Температура  $15^\circ\text{C}$



На рис. 7 дана реальная поляризационная диаграмма коррозионной макропары железо в зазоре 0,15 мм — железо в объеме электролита при отношении поверхностей анода и катода, равной 30 : 30 см<sup>2</sup>. Сила тока данной макропары была равна 13,2 мА.

Кривая 1 показывает изменение потенциала железа, находящегося в объеме электролита, при катодной поляризации; кривые 2 и 3 являются кривыми изменения потенциалов железа в зазоре на расстоянии 2 мм и 6–25 мм от начала зазора при анодной поляризации. Ввиду того что анодный ток на металле в зазоре сосредотачивается у самого начала зазора, значительная анодная поляризация наблюдается только на железе, находящемся у начала зазора. Графический расчет показал, что анодный контроль этой коррозионной пары равен примерно 60%, а катодный контроль равен примерно 40%.

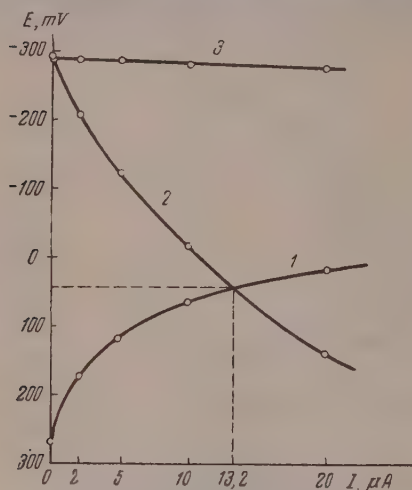


Рис. 7. Реальная коррозионная диаграмма коррозионной макропары железо в зазоре 0,15 мм — железо в объеме при  $S_1 : S_2 = 1 : 1$ . Состав электролита 30 мг/л NaCl + 70 мг/л Na<sub>2</sub>SO<sub>4</sub> + 250 мг/л NaNO<sub>2</sub>. Температура 15° С. 1 — катодная поляризационная кривая; 2, 3 — анодные поляризационные кривые, снятые на металле в зазор на расстоянии 2 мм и 6–25 мм от начала зазора

Омический контроль составляет небольшую величину, которую графически определить трудно. Омическое сопротивление между катодом (металл в объеме 30 см<sup>2</sup>) и анодом [ $2 \cdot (3 \times 0,5)$  см<sup>2</sup> — часть поверхности металла, находящегося непосредственно у начала зазора] было измерено при помощи переменного тока и оказалось равным 125 Ω. Падение потенциала на таком сопротивлении при силе тока в 13,2 мА равно 1,7 мВ, что составляет от 550 мВ всего лишь 0,3%.

Влияние ортофосфата натрия. Для исследова-

ния был взят двузамещенный ортофосфат натрия Na<sub>2</sub>HPO<sub>4</sub>. Он является анодным замедлителем коррозии, но в отличие от нитрита натрия не имеет окислительных свойств. Введение ортофосфата в коррозионную среду в количестве, недостаточном для полного подавления коррозии железа, вызывает местные разрушения и ведет к увеличению интенсивности коррозии. Наличие в исходном электролите 2,0 г/л ортофосфата вызывает снижение общих коррозионных потерь, но увеличивает интенсивность коррозии до  $500 \cdot 10^{-6}$  г/см<sup>2</sup> сутки. Увеличение концентрации ортофосфата до 3,75–4,00 г/л полностью предохраняет железо от коррозионных разрушений.

На рис. 8 представлены результаты коррозионных испытаний железа, находящегося в зазорах, в исходном электролите с добавкой 2,0 г/л ортофосфата. Из этого рисунка видно, что коррозионные потери железа невелики и не превышают  $16 \cdot 10^{-6}$  г/см<sup>2</sup> сутки. Интенсивность коррозии железа с уменьшением зазора падает, так как с уменьшением зазора сильно возрастает площадь металла, подвергающаяся коррозии. При зазоре 1,00 мм интенсивность коррозии железа равна интенсивности коррозии железа, которое находится в объеме электролита. Коррозионные потери железа, находящегося в зазоре, при наличии контакта с металлом, омываемым электролитом, возрастают и при  $S_1 : S_2 = 1 : 1$  достигают  $40 \cdot 10^{-6}$  г/см<sup>2</sup> сутки (рис. 9), однако интенсивность коррозии железа в зазоре в этом случае оказывается меньше. Ее значение при зазоре 1,00 мм равно  $240 \cdot 10^{-6}$  г/см<sup>2</sup> сутки.

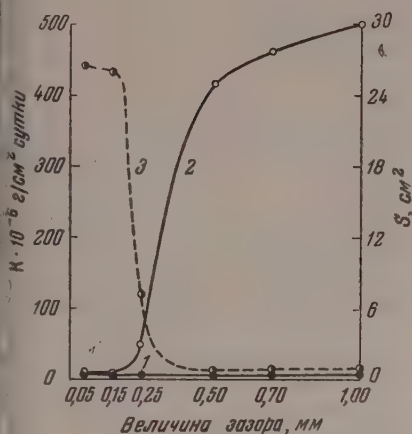


Рис. 8

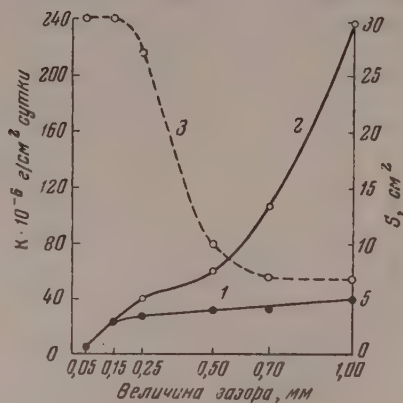


Рис. 9

рис. 8. Зависимость общих коррозионных потерь, интенсивности коррозии и площади орожения железа от величины зазора в электролите состава 30 мг/л NaCl + 70 мг/л  $\text{Na}_2\text{SO}_4 + 2000 \text{ мг/л Na}_2\text{HPO}_4$ , когда железо полностью находится в зазоре. Температура  $20^\circ \text{C}$  (обозначения см. рис. 1)

рис. 9. Зависимость общих коррозионных потерь, интенсивности коррозии и площади орожения железа от величины зазора в электролите состава 30 мг/л NaCl + 70 мг/л  $\text{Na}_2\text{SO}_4 + 2000 \text{ мг/л Na}_2\text{HPO}_4$  при  $S_1 : S_2 = 1 : 1$ . Температура  $20^\circ \text{C}$  (обозначения см. рис. 1)

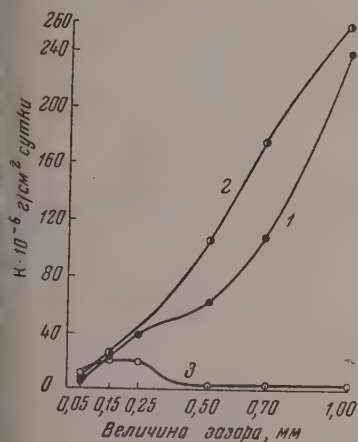


Рис. 10

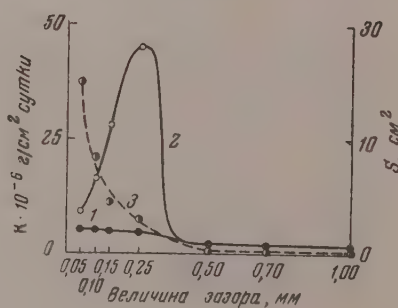


Рис. 11

Рис. 10. Интенсивность коррозии железа в зазорах при разных концентрациях  $\text{Na}_2\text{HPO}_4$  в исходном электролите при  $S_1 : S_2 = 1 : 1$ . Температура  $20^\circ \text{C}$  (обозначения см. рис. 3)

Рис. 11. Зависимость общих коррозионных потерь, интенсивности коррозии и площади орожения железа от величины зазора в электролите состава 30 мг/л NaCl + 70 мг/л  $\text{Na}_2\text{SO}_4 + 1000 \text{ мг/л K}_2\text{Cr}_2\text{O}_7$ , когда железо полностью находится в зазоре. Температура  $20^\circ \text{C}$  (обозначения см. рис. 1)

Увеличение концентрации ортофосфата ведет к уменьшению коррозионных потерь железа, находящегося в зазорах. На рис. 10 показано коррозионное поведение железа в зазорах при  $S_1 : S_2 = 1 : 1$  в растворах, содержащих различные количества ортофосфата натрия. Наличие 6,0 г/л ортофосфата натрия в исходном электролите предупреждает местное разрушение железа в зазорах до 0,25 мм. Железо в зазорах 0,05—0,25 мм при этой концентрации корродирует равномерно по всей поверхности. Под-

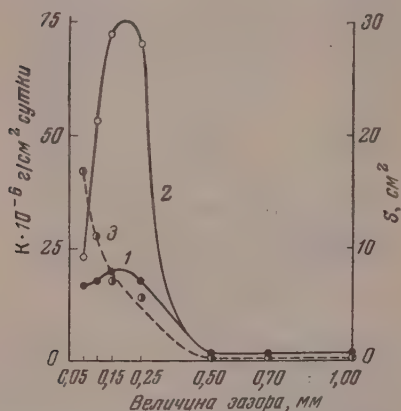


Рис. 12. Зависимость общих коррозионных потерь, интенсивности коррозии и площади поражения железа от величины зазора в электролите состава 30 мг/л NaCl + 70 мг/л Na<sub>2</sub>SO<sub>4</sub> + 1000 мг/л K<sub>2</sub>Cr<sub>2</sub>O<sub>7</sub> при  $S_1 : S_2 = 1 : 1$ . Температура 20° С (обозначения см. рис. 1)

дается торможением анодных и катодных процессов [3]. Особенно сильно тормозится анодный процесс. Введение бихромата в коррозионную среду в количестве, которое недостаточно для полного подавления коррозии железа, вызывает локализацию коррозионного разрушения и увеличение интенсивности коррозии.

На рис. 11, 12 показано коррозионное поведение железа в исходном электролите, содержащем 1,0 г/л бихромата калия. Такая концентрация бихромата полностью подавляет коррозию железа, свободно омываемого электролитом, но на железе, находящемся в узких зазорах, наблюдаются язвенные разрушения. С уменьшением ширины зазора площадь поражения железа в зазоре возрастает. Максимум интенсивности коррозии железа в зазоре при данной концентрации бихромата наблюдается в зазоре 0,25 мм, его значение равно  $75 \cdot 10^{-6}$  г/см<sup>2</sup> сутки, когда металл в зазоре имеет электрический контакт с металлом в объеме электролита, и  $45 \cdot 10^{-6}$  г/см<sup>2</sup> сутки при отсутствии такого контакта.

Электрохимические измерения показали, что разность потенциалов железа в зазоре 0,05 мм и железа в объеме электролита достигает 0,3 В.

Предотвратить коррозию железа в зазоре 0,05 мм удалось только при концентрации замедлителя, равной 6,0 г/л.

Влияние сульфата цинка. Сульфат цинка в используемой нами коррозионной среде является катодным замедлителем коррозии, защитное действие которого обусловлено только торможением катодного процесса [5]. Мы изучили коррозионное поведение железа в зазорах разной величины в исходном электролите с добавкой 2,0 г/л сульфата цинка (рис. 13). При такой концентрации замедлителя скорость коррозии железа в объеме электролита уменьшается до величины  $64 \cdot 10^{-6}$  г/см<sup>2</sup> сутки против  $129 \cdot 10^{-6}$  г/см<sup>2</sup> сутки в исходном электролите. Коррозия не носила яз-

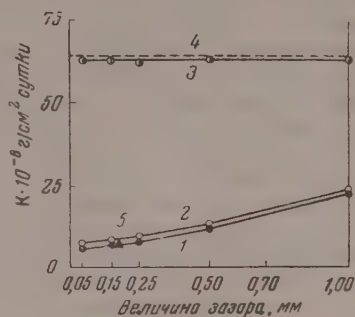
вить такое коррозионное разрушение железа в зазоре 0,05 мм удалось при концентрации ортофосфата 30,0 г/л.

Электрохимическое поведение железа, находящегося в зазоре, в растворах ортофосфата аналогично поведению железа в растворах нитрита натрия. Потенциалы железа в узких зазорах с течением времени разблагаются и приобретают значения, равные — 0,5 В, потенциалы в объеме электролита равны + 0,05 В (при 2 г/л Na<sub>2</sub>HPO<sub>4</sub>), + 0,15 В (при 4 г/л Na<sub>2</sub>HPO<sub>4</sub>) и + 0,25 В по водородной шкале (при 6 г/л Na<sub>2</sub>HPO<sub>4</sub>). Это создает условия для возникновения коррозионных макропар металл в зазоре — металл в объеме электролита.

Влияние бихромата калия. Бихроматы являются смешанными замедлителями коррозии, защитное действие которых объяс-

венного характера и уменьшилась до  $7-22 \cdot 10^{-6}$  г/см<sup>2</sup> сутки, (кривая 1) в зависимости от величины зазора. С увеличением ширины зазора происходит возрастание скорости коррозии. Наличие контакта с металлом, свободно омываемым электролитом, не изменяет скорости коррозии железа в зазорах (кривая 2). Скорость коррозии железа, свободно омываемого

Рис. 13. Зависимость общих коррозионных потерь железа от величины зазора в электролите состава 30 мг/л NaCl + 70 мг/л Na<sub>2</sub>SO<sub>4</sub> + 2000 мг/л ZnSO<sub>4</sub>. Температура 20° С. 1 — коррозия железа в зазорах, находящегося только в зазорах; 2 — коррозия железа в зазорах при  $S_1 : S_2 = 1 : 1$ ; 3 — коррозия железа в объеме при  $S_1 : S_2 = 1 : 1$ ; 4 — коррозия отдельного образца; 5 — коррозия железа в зазоре при  $S_1 : S_2 = 1 : 5$



электролитом и имеющего контакт с железом в зазоре, представлена на рис. 13 кривой 3, а кривая 4 указывает на величину скорости коррозии железа в объеме электролита, но без такого контакта. Из рассмотрения рисунка вытекает, что контакт с металлом в зазоре не оказывает никакого влияния на скорость коррозии металла в объеме электролита.

#### ОБСУЖДЕНИЕ РЕЗУЛЬТАТОВ ЭКСПЕРИМЕНТАЛЬНОГО ИССЛЕДОВАНИЯ

Рассмотрение экспериментального материала позволяет сделать вывод, что замедлители коррозии по влиянию на коррозионную стойкость железа в узких зазорах могут быть разделены на две группы. К первой группе относятся замедлители коррозии, которые при определенных концентрациях вызывают сильную коррозию железа в узких зазорах. Эта коррозия часто носит язвенный характер и имеет высокую интенсивность. Такими замедлителями являются анодные замедлители типа нитрита натрия и ортофосфата натрия и смешанные замедлители типа бихромата калия.

Ко второй группе относятся замедлители, которые не вызывают усиленной коррозии железа, находящегося в узком зазоре. Такими замедлителями являются катодные замедлители типа сульфата цинка.

Разберем механизм коррозионного разрушения железа, находящегося в зазорах, в присутствии замедлителей первой и второй группы.

Механизм «щелевой коррозии» железа в растворах замедлителей первой группы. Коррозия железа, находящегося в зазоре, в начальный период времени после погружения его в коррозионную среду, содержащую замедлитель коррозии в количестве, достаточном, чтобы подавить коррозию железа в объеме, тоже практически подавлена. Об этом говорят результаты измерений необратимых потенциалов железа в зазорах, показанные на рис. 5. Из этого рисунка видно, что в течение 1—2 суток железо в зазорах и в объеме электролита находится в пассивном состоянии. Потенциалы железа в зазорах и в объеме сдвинуты в положительную сторону и одинаковы. Только по истечении некоторого времени железо, находящееся в более тонких зазорах, начинает разблагораживаться, и на его поверхности возникают коррозионные язвы. Это происходит потому, что для поддержания пассивного состояния металла требуется непрерывное поступление замедлителя из объема к металлической поверхности. Диффузия же замедлителя к металлу, находящемуся в зазоре, затруднена, поэтому в зазоре могут создаваться такие условия, при которых вследствие расхода замедлителя



его концентрация упадет до величины, соответствующей появлению местных нарушений пассивности и возникновению коррозионных язв. В топких зазорах 0,05—0,25 мм коррозионное разрушение часто охватывает всю поверхность железа, находящуюся в зазоре, так как в этих случаях особенно сильно затруднена диффузия замедлителя в зазор из-за их небольшой ширины. В более широких зазорах, где диффузия в зазор облегчается, более часто встречаются местные разрушения. И, наконец, может быть случай, когда зазор достигает такой величины, при которой диффузия замедлителя в зазор настолько облегчается, что условия для нарушения первоначального пассивного состояния железа не возникают. Следовательно, чем тоньше зазор, тем больше вероятность коррозионного разрушения железа в нем, что находится в полном соответствии с работами Пирса и Эванса [6]. Однако площадь коррозионного поражения железа уменьшается с увеличением зазора, поэтому интенсивность коррозии возрастает с увеличением ширины зазора до определенного предела, и потом вследствие значительного облегчения доступа замедлителя в зазор коррозионные поражения совсем исчезают. Все выше перечисленное обуславливает наличие максимума интенсивности коррозии железа при определенном зазоре для каждой концентрации замедлителя, а не в наиболее узком зазоре, как это раньше предполагалось.

При изучении случая, когда металл в зазоре имеет контакт с металлом, находящимся в объеме электролита, необходимо принимать во внимание работу коррозионных макропар металл в зазоре — металл в объеме электролита. Анодом в таких парах служит металл, находящийся в узком зазоре, так как он находится в активном состоянии. Катодом работает металл, свободно омываемый электролитом. Работа этих пар увеличивает коррозионные потери железа в зазорах, а также ведет к увеличению интенсивности коррозии. Исключение представляет только ортофосфат. В растворах ортофосфата наличие поверхности железа, омываемой электролитом, ведет только к увеличению коррозионных потерь, а интенсивность коррозии падает. Это происходит вследствие того, что продукты коррозии в этих растворах имеют большой объем, они быстро заполняют объем зазора и еще больше затрудняют доступ замедлителя. Это способствует нарушению пассивного состояния на новых участках поверхности металла. Увеличение площади поражения металла в зазоре при контакте с металлом в объеме превосходит возрастание коррозионных потерь, поэтому интенсивность коррозии уменьшается.

Электрохимические исследования коррозионных макропар показали, что разность электродных потенциалов железа в объеме и в зазоре равна 0,30—0,55 В. Это, казалось бы, создает условия для возникновения коррозионных макропар с большой силой тока. Однако сила тока таких макропар, как было показано выше, не превышает 15—20 мА при отношении площадей анода и катода 30:30 см<sup>2</sup>. Ток коррозионной пары в условиях наших опытов (т. е. при параллельном расположении анода и катода) равномерно распределяется по катоду (металл в объеме), а на аноде (металл в зазоре) сосредотачивается на узкой полоске металла (не более 5 мм) в начале зазора. Остальная площадь металла остается инертной. Сосредоточение анодного тока на небольшой площади приводит к сильной поляризации анода. Сделанный выше расчет указывает, что анодный контроль макропары в электролите, содержащем 0,25 г/л NaNO<sub>2</sub>, равен 60%. Катодный контроль этой макропары при площади катода 30 см<sup>2</sup> равен 40%. Омический контроль невелик (не более 0,3%) и практически в данном случае может не учитываться. Таким образом, несмотря на то, что общее омическое сопротивление электролита между металлом в зазоре и металлом в объеме электролита может достигать 1000 Ω, процент омического контроля коррозионной пары остается незначительным, так как для работы коррозионной пары имеет значение не общее омическое сопротивление, а сопротивление между катодом (металл в объеме) и анодом (металл,

расположенный у самого начала зазора). Это сопротивление невелико (не более 125  $\Omega$ ), и при малых силах тока оно не играет большой роли при работе коррозионных пар.

Влияние температурного фактора на коррозионную стойкость железа, находящегося в зазорах, в растворах замедлителей коррозии сказывается по двум путям. Увеличение температуры ведет к увеличению концентрации замедлителя, которая требуется для полного подавления коррозии железа [3]. Это особенно относится к замедлителям, имеющим окислительные свойства, так как при повышенных температурах они могут выступать в качестве катодных деполяризаторов. Кроме того, повышение температуры вызывает облегчение диффузии замедлителя в зазор. Опытные данные указывают, что увеличение скорости диффузии замедлителя в зазор с повышением температуры не обеспечивает такой концентрации замедлителя в зазоре, которая могла бы подавить коррозию или хотя бы уменьшить ее. Наоборот, с повышением температуры коррозионные разрушения железа в зазорах значительно возрастают (рис. 4). Помимо этого, с повышением температуры коррозионные разрушения железа возникают в более широких зазорах, т. е. влияние первого фактора преобладает над вторым.

Механизм «щелевой коррозии» железа в растворах замедлителей второй группы. Замедлители второй группы такие, как сульфат цинка, при малых концентрациях не вызывают усиленных местных разрушений железа, поэтому железо в зазорах, к которому доступ замедлителя из общего объема электролита затруднен, не подвергается усиленному разрушению. Эти замедлители не вызывают пассивного состояния железа; следовательно, возможность возникновения активных-пассивных коррозионных пар исключается. «Щелевая коррозия» железа в электролитах, содержащих такие замедлители, протекает по тому же типу, как и в хлористых растворах, который был нами ранее рассмотрен [2]. Скорость коррозии железа в узких зазорах меньше, чем в объеме электролита, так как диффузия кислорода в зазор затруднена, а коррозия железа в этих растворах протекает исключительно с кислородной деполяризацией (рис. 13, кривая 1). Наличие контакта с металлом, свободно омываемым электролитом, ведет к увеличению скорости коррозии железа в хлористых и сульфатных растворах, а в определенных условиях может повести к сосредоточению коррозионных потерь на железе в зазоре (при интенсивной аэрации). Это происходит в результате возникновения пар дифференциальной аэрации. В присутствии сульфата цинка такого увеличения скорости коррозии железа в зазоре при наличии контакта с железом, омываемым электролитом, не имеется, так как возникающие пары дифференциальной аэрации малоэффективны из-за торможения катодного процесса сульфатом цинка (кривая 2). Следовательно, наличие в коррозионной среде замедлителей второй группы не только не вызывает усиленной коррозии железа в зазорах, но и уменьшает коррозионные потери, которые могли бы быть в данной коррозионной среде без замедлителя коррозии. Такое уменьшение обусловлено торможением работы коррозионных микропар железа замедлителем коррозии, который диффундирует в зазор, а также малой эффективностью работы пар дифференциальной аэрации.

### ВЫВОДЫ

1. Проведено систематическое изучение коррозионного поведения железа, находящегося в зазорах различной ширины, в электролите, имитирующем речную воду, с добавками наиболее типичных замедлителей коррозии  $\text{NaNO}_2$ ,  $\text{Na}_2\text{HPO}_4$ ,  $\text{K}_2\text{Cr}_2\text{O}_7$  и  $\text{ZnSO}_4$ . Найдено, что эти замедлители коррозии могут быть разделены на две группы. Замедлители первой группы  $\text{NaNO}_2$ ,  $\text{Na}_2\text{HPO}_4$  и  $\text{K}_2\text{Cr}_2\text{O}_7$  вызывают усиленную коррозию железа

в зазорах, а замедлители второй группы типа  $ZnSO_4$  не обуславливают такой коррозии.

2. Показано, что для предотвращения усиленной коррозии железа в узких зазорах требуются такие концентрации замедлителей, которые превосходят концентрацию замедлителей, необходимых для подавления коррозии железа в объеме, в 4—6 раз.

3. На основе коррозионных опытов установлено, что в электролите, содержащем анодные и смешанные замедлители (замедлители первой группы), вероятность возникновения усиленной коррозии железа возрастает в более узких зазорах, а максимальная величина коррозионных потерь и максимальная интенсивность коррозии наблюдаются не при минимальном зазоре, как это ожидалось, а при определенной величине зазора для каждой концентрации замедлителя и для каждой температуры.

4. Изучена работа активно-пассивных коррозионных микропар металл в зазоре — металл в объеме, и показано, что эти пары работают с анодно-катодным контролем. Омический контроль невелик.

5. На основе исследования коррозионного и электрохимического поведения железа в зазорах вскрыт механизм «щелевой коррозии» железа в растворах анодных, смешанных и катодных замедлителей. Усиленное коррозионное разрушение железа, находящегося в зазорах, в растворах анодных и смешанных замедлителей происходит в результате затрудненного доступа замедлителя в зазор. Это разрушение усиливается за счет возникновения активно-пассивных микропар. В растворах катодных замедлителей коррозия железа в зазорах невелика вследствие малой эффективности работы коррозионных микропар (затруднен доступ кислорода) и торможения замедлителем катодного процесса пары дифференциальной аэрации железо в зазоре — железо в объеме.

Академия наук СССР  
Институт физической химии  
Москва

Поступила  
20.XII.1955

#### ЛИТЕРАТУРА

1. Коррозия металлов, сб. 1, Госхимиздат, 1952, стр. 52, 69.
2. И. Л. Розенфельд и И. К. Маршаков, Журн. физ. химии, 30, 12, 1956.
3. И. Л. Розенфельд, Замедлители коррозии в нейтральных средах, Изд-во АН СССР, 1953.
4. M. J. Pryor a. M. J. Cohen, Journ. Electrochem. Soc., 100, 203, 1953.
5. И. Д. Томашев, Коррозия металлов с кислородной диполяризацией, Изд-во АН СССР, 1947.
6. A. M. Peers a. U. R. Evans, Journ. Chem. Soc., 1093, 1953.

#### „CREVICE CORROSION“ OF IRON IN SOLUTIONS OF CORROSION INHIBITORS

*I. L. Rosenfeld, I. K. Marshakov (Moscow)*

#### Summary

An investigation has been made of the corrosion stability of iron crevices of various width in electrolytes containing the inhibitors  $NaNO_2$ ,  $K_2Cr_2O_7$ ,  $Na_2HPO_4$  and  $ZnSO_4$ . Maximum corrosion was observed not at the crevices of minimal width, as expected, but at intermediate values, determined by the temperature, inhibitor concentration and other factors. On the basis of the corrosion and electrochemical studies, the mechanism has been elucidated of the „crevice corrosion“ of iron in the above mentioned solutions.



## ДИНАМИЧЕСКИЙ МЕТОД ОПРЕДЕЛЕНИЯ УПРУГОСТИ ПАРОВ МЕТАЛЛОВ

С. П. Детков

Определение упругости паров динамическим методом основано на измерении скорости перегонки (сублимации) вещества при переходе точки кипения. Образец во время опыта непрерывно и возможно равномерно сгравается; давление инертного газа постоянно, или, наоборот, температура постоянна, а давление непрерывно уменьшается [1].

Динамический метод почти не разработан теоретически. Некоторые числения мы встретили только у Фишера [2].

Дитчбурн и Гилмор [3] в своей обзорной статье подвергают метод острой критике и ставят под сомнение резкость проявления точки кипения. Действительно, при рассмотрении некоторых работ [2, 4—7] перегиб на кривой скорости перегонки весьма слаб, выражен, хотя применялись большие скорости нагрева (до 20 град./мин). С другой стороны, ряд авторов добился в своих работах достаточно резко выраженных точек кипения [1, 8]. Тем не менее в литературе нами не было найдено работ с применением динамического метода после 1934 г. Это говорит о том, что он фактически был оставлен. Причина, по-видимому, лежит в неустойчивости получаемых результатов, что, в свою очередь, является прямым следствием недостаточно развитой теории. Кроме того, с появлением и развитием метода испарения с открытой поверхности (метод Лэнгмюра [9—14]), который имеет верхний предел по давлению  $10^{-2}$ — $10^{-1}$  мм рт. ст., результаты, полученные экстраполяцией данных этого метода на более высокое давление, оказываются менее точными, чем непосредственное определение упругости паров динамическим методом с пружинными весами [15, 16].

В недавно опубликованном сообщении М. В. Смирнова и С. П. Деткова [17] описывается определение упругости паров цинка динамическим методом, в котором скорость перегонки определялась при помощи радиоактивного изотопа  $Zn^{65}$ . Результаты этой работы дают основание утверждать, что динамический метод с применением радиоактивных изотопов довольно прост и не уступает по точности лучшим статическим методам.

В настоящей работе будут рассмотрены теоретические основы динамического метода определения упругости паров металлов, роль диафрагмы пути потока пара и возможности метода с использованием материалов, полученных в вышеупомянутой работе [17].

### ТЕОРЕТИЧЕСКОЕ ОБОСНОВАНИЕ ДИНАМИЧЕСКОГО МЕТОДА ОПРЕДЕЛЕНИЯ УПРУГОСТИ ПАРОВ МЕТАЛЛОВ

Следует отметить отличительную особенность кипения металлов от кипения обычных жидкостей. Если кипение, например, воды можно отметить по образованию пузырьков в объеме жидкости, то кипение металлов по внешнему виду ничем не отличается от испарения. Образованию пузырьков пара в объеме мешает большое гидростатическое давление металлов по сравнению с давлением газа над поверхностью и хорошая теплопроводность металлов, передающая все тепло нагрева открытой поверхности, где и происходит парообразование. Это отличие показывается растом и отмечается многими авторами\* [18—21]. Убедительна в этом

\* Исключение может составить металл с растворенными в нем газами. Гринвуд [3] определял точку кипения металлов в вакууме визуально. При этом положение зависело от рода инертного газа, пористости тигля и т. д. По-видимому, такое «кипение» металла подобно кипению стали в сталеплавильной ванне. В некоторый момент при парциальных давлениях паров металла и растворенных газов становится больше внешнего давления, тогда наступает образование пузырьков газа. В дальнейшем мы будем рассматривать кипение чистого металла без растворенных газов.



отношении недавно прошедшая дискуссия [22] по поводу работы Россман и Ярвуда, допустивших в своей теории возможность образования пузырьков пара в глубине металла при испарении его в вакууме. Указанная особенность металлов должна привести к другому характеру изменения скорости перегонки металла при переходе точки кипения, нежели для жидкостей с пузырьковым кипением, что существенно для динамического метода.

Как уже отмечалось ранее, динамический метод основан на изменении скорости перегонки при переходе точки кипения. Общая скорость процесса перегонки может определяться одной из следующих, последовательно идущих стадий:

1. Подвод тепла к поверхности испарения — теплоподвод.
2. Переход молекул вещества с поверхности испарения в газовую фазу — парообразование.
3. Диффузия молекул пара от поверхности испарения к поверхности конденсации в среде инертного газа.

При этом предполагается, что конденсация проходит без кинетических затруднений, что вполне допустимо, если соотношение между поверхностью конденсации и поверхностью испарения, а также теплоподвод в конденсаторе можно сколь угодно увеличивать.

Рассмотрим по порядку скорости каждой стадии в отдельности.

Для скорости перегонки, ограниченной только теплоподводом, можно написать:

$$G = \frac{Q'}{q} = \frac{k_1(T - T_S)}{q},$$

где  $G$  — скорость перегонки, г/сек;  $Q'$  — затраченное на испарение тепло, кал/сек;  $T_S$  — температура поверхности испарения;  $T$  — температура слитого материала, нагреваемых металл;  $k_1$  — постоянная, кал/град · сек;  $q$  — удельная теплота парообразования, кал/г.

Общее количество подведенного тепла выразится

$$Q = k_1(T - T_S) + mck_T; \quad k_T = \frac{\Delta T}{\Delta \tau},$$

где  $Q$  — общий подвод тепла к образцу, кал/сек;  $m$  — масса металла;  $C$  — теплоемкость, кал/г · град;  $k_T$  — средняя скорость нагрева, град/сек;  $\Delta T$  — изменение температуры металла;  $\Delta \tau$  — изменение времени опыта.

Согласно (1) и (2)

$$Q = qG + mck_T.$$

Критерием лимитирования общей скорости перегонки стадией теплоподвода является изменение величины  $T_S$  (температуры поверхности испарения) при изменении общего подвода тепла  $Q$ . Постоянное значение  $T_S$  в процессе испарения при увеличении  $Q$  безусловно указывает на то, что теплоподвод лимитирует общую скорость. Перейдем к стадии парообразования.

Скорость парообразования вычисляется по известной формуле Лэнгмюра [9]

$$G = \alpha p_S \sqrt{\frac{M}{2\pi RT}},$$

где  $G$  — скорость парообразования, г/см<sup>2</sup> · сек;  $\alpha$  — коэффициент испарения (безразмерная величина);  $p_S$  — давление насыщенных паров, дин/см<sup>2</sup>;  $M$  — молекулярный вес;  $R$  — универсальная газовая постоянная, эрг/град · моль;  $T$  — абсолютная температура.

Формула отображает кинетические затруднения при переходе вещества из жидкого или твердого агрегатного состояния в газ.

Скорость парообразования даже при давлении насыщенных паров шь в несколько мм рт. ст. становится больше, чем скорость перегонки крупных промышленных агрегатах.

Простой расчет показывает, что для полного обеспечения теплом парообразования из образца цинка, например при 10 мм рт. ст. ( $G = 9,6 \text{ г/см}^2 \text{ сек}$ ), требуется создать в направлении теплоподвода градиент температуры  $270 \text{ град/см}$ .

Следовательно, в динамическом методе при измерении упругости паров лее чем несколько мм рт. ст., стадия парообразования не может ограничивать процесс отгонки в целом.

В связи с этим появляется определенное представление состава газого слоя у поверхности испарения. Он насыщен молекулами пара. Газовые же молекулы создают добавочное давление до общего давления в системе. Между паровой фазой и поверхностью испарения идет обмен молекулами пара со скоростью, которая вычисляется по уравнению Лэнгмюра. Эта «лэнгмюровская скорость» такова, что скорость отбора пара, диффундирующего к конденсатору, составляет небольшую долю от нее и почти не нарушает равновесие в насыщенном слое. К этой точке зрения прили Лэнгмюр [9], Гикман и Тревой [24], Престон [25].

Наконец, разберем стадию диффузии паров.

Диффузия паров в инертном газе может лимитировать перегонку до точки кипения. После начала кипения, когда давление паров металла выравнивается с внешним давлением газовой фазы, диффузионный порок полностью переходит в общемассовый. Тогда следует принимать внимание лишь первую стадию процесса (теплоподвод) и гидродинамическое сопротивление на пути потока пара.

Важно отметить, что переход от диффузии ниже точки кипения к общемассовому потоку при кипении совершается постепенно и непрерывно. Эта постепенность перехода является следствием обратной по отношению к парам диффузии инертного газа в силу разности парциальных давлений поверхности конденсации и у поверхности испарения. Диффундирующий инертный газ создает в направлении своего движения дополнительно избыточное общее давление, которое выравнивается обратным в направлении диффузии общемассовым потоком. С учетом его Стефан дал следующую формулу для стационарной диффузии паров в покоящемся инертном газе [26].

$$G = \frac{DPMS}{RTh} \ln \frac{P - p_k}{P - p_n} \quad (5)$$

где  $G$  — скорость диффузии,  $\text{г/сек}$ ;  $D$  — коэффициент диффузии,  $\text{см}^2/\text{сек}$ ;  $P$  — общее давление газовой фазы,  $\text{дин/см}^2$ ;  $S$  — сечение цилиндра, в котором происходит диффузия пара,  $\text{см}^2$ ;  $h$  — высота цилиндра,  $\text{см}$ ;  $R$  — универсальная газовая постоянная,  $\text{эрг/град} \cdot \text{моль}$ ;  $M$  — молекулярный вес;  $T$  — абсолютная температура газа;  $p_k$  — давление паров у поверхности конденсации;  $p_n$  — давление паров у поверхности испарения.

Из формулы видно, что по мере приближения к точке кипения, когда  $p_n \rightarrow P$ ,  $G \rightarrow \infty$ , т. е. скорость диффузии плавно и непрерывно увеличивается до сколь угодно большой величины и перестает лимитировать процесс. Поскольку теплоподвод ограничен, то вблизи точки кипения происходит плавный и непрерывный переход от лимитирования процесса перегонки стадией диффузии к лимитированию его стадией теплоподвода.

Приведем расчеты постепенного изменения скорости диффузии на примере испарения цинка в аргоне при постепенном приближении к точке кипения в условиях различного сечения диффундирующего потока. Принимая во внимание небольшую скорость нагрева ( $k_T \approx 0,3 \text{ град/мин}$ ), можно с известным приближением считать процесс диффузии стационарным в любой момент времени.

На рис. 1 кривые 1-6 показывают скорость диффузии цинка в аргоне в зависимости от упругости насыщенных паров при  $p = 100$  мм рт. ст. и  $T = 1100^\circ \text{K}$  (температура газового столба). При отсутствии прямых данных коэффициент диффузии вычислен нами приблизительно по коэффициенту самодиффузии кислорода, что дает  $D \approx 0.13 \text{ см}^2/\text{сек}$  при нормальных условиях. В качестве сосуда, где диффундирует пар, выбран канал высотой  $h = 1$  см и разным соответственно номеру кривых сечением 9,00; 6,00; 3,00; 1,50; 0,75 и 0,38 мм<sup>2</sup>.

Кривые диффузии ограничены сверху кривой 7, соответствующей определенному теплоподводу. В данном случае выбран теплоподвод, обеспечивающий скорость перегонки  $G = 6,5 \cdot 10^{-2} \text{ г/сек}$ . Для динамического метода с применением радиоактивного изотопа при медленном нагреве ( $k_T \approx 0,3$  град/мин.) это вполне достаточная величина.

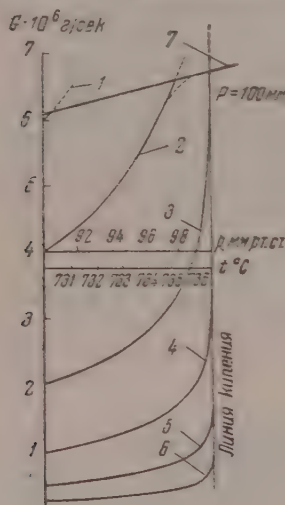


Рис. 1

Из графиков (рис. 1) видно, что кривая общей скорости перегонки вначале следует за кривой диффузии, затем отходит от нее (штриховая линия от кривой 2) и плавно примыкает к кривой теплоподвода. Это является следствием того, что вблизи точки пересечения кривых диффузии и кривой теплоподвода становится заметным совместное влияние на общую скорость перегонки первой и третьей стадий.

Поскольку процесс идет во времени (при динамическом методе нагрев образца непрерывный), то на кривых скорости перегонки в зависимости от времени, переход к кривой теплоподвода будет еще более плавный. Так как часть тепла идет на нагревание образца, то оно вследствие возрастания скорости испарения все замедляется. Это равносильно

постепенному (логарифмическому) увеличению на рис. 1 интервалов отсчета температуры при приближении к точке кипения. Снятие лимитирования стадии диффузии еще до начала кипения приводит к тому, что температура поверхности испарения асимптотически приближается к температуре кипения\*. При этом интенсивный отвод тепла с паром увеличивает разность температур поверхности нагрева и поверхности испарения. Если пузырьки пара образуются легко, то может наступить и пузырьковое кипение жидкости в глубине ее.

При образовании пузырьков пара скорость перегонки резко меняется за счет облегчения условий теплоподвода. Теперь парообразование идет в местах непосредственного подвода тепла. Этого вполне достаточно для точного определения динамическим методом точек кипения жидкостей образующих пузырьки пара.

Как уже отмечалось, металлы обычно кипят без образования пузырьков пара. Условия теплоподвода при этом не могут скачкообразно измениться. Мало того, поскольку лимитирование стадии диффузии снимается еще до начала кипения, то и наибольшее изменение скорости перегонки наступает до точки кипения. Здесь необходимы какие-то особые приемы повышения резкости перехода и точности наблюдения.

На рис. 1 видно, что при уменьшении сечения диффузионного потока — увеличении тем самым сопротивления диффузии и последующему ма-

\* Собственно температура кипения на поверхности согласно формуле Стефана так и не достигается, если не принимать во внимание гидродинамическое сопротивление потоку пара, а скорость второй стадии считать бесконечно большой.



овому потоку — интервал кривых наибольшего изменения скорости перегонки становится ближе к истинной точке кипения и в то же время становится более узким. Таким образом дополнительное сопротивление на пути потока пара — диафрагма — является необходимым условием точности определения упругости паров металлов динамическим методом. Как будет показано, гидродинамическое сопротивление, представляемое диафрагмой, ничтожно мало, поэтому постановка ее в приборе не приведет к существенной разнице общего давления.

### УЧЕТ ГИДРОДИНАМИЧЕСКОГО СОПРОТИВЛЕНИЯ

При рассмотрении стационарной диффузии паров в инертном газе с учетом влияния сопротивления диафрагмы возникает сложная картина. Ради простоты вместо диафрагмы возьмем тонкий длинный канал. Наличие диффузионного потока пара еще до кипения образца приводит к появлению разности общего давления на концах принятого канала вследствие внутреннего трения пара. Инертный газ остается макроскопически неподвижным. Это не значит, что источником гидродинамической потери давления является только поток пара.

Диффундирующий к поверхности инертный газ тоже испытывает трение. Возникающие потери давления при этом покрываются разностью парциальных давлений инертного газа. Вместе с тем инертный газ сносится обратно потоком пара, причем инертный газ опять испытывает внутреннее трение. Соответственно этому потери давления на трение покрываются за счет разности парциальных давлений пара.

Поскольку инертный газ макроскопически неподвижен, то

$$\Delta p' = \Delta p'',$$

где  $\Delta p'$  — потери давления на трение при диффузии инертного газа;  $\Delta p''$  — потери давления на трение при обратном сносе инертного газа.

Общие гидродинамические потери давления выразятся

$$P_{\text{пот}} = \Delta p' + \Delta p'' + \Delta P',$$

где  $\Delta P'$  — разность общего давления.

Наличие гидродинамического сопротивления приводит к уменьшению скорости диффузии по сравнению с вычисленной из уравнения (5); к ошибке определения общего давления над поверхностью испарения.

Для количественной оценки его влияния приведем нижеследующий расчет.

В нашем примере перегонки цинка в аргоне (кривые рис. 1) вычисленное число Рейнольдса показывает ламинарный поток. При ламинарном потоке для круглого трубопровода имеет место следующее соотношение в системе CGS [27]:

$$C = \frac{\pi}{128} \frac{d^4}{\eta h} P, \quad (6)$$

где  $d$  — диаметр канала,  $\eta$  — вязкость газа,  $C$  — пропускная способность ( $\text{см}^3/\text{сек}$ );

$$C = \frac{B}{\Delta P}; \quad B = PV = \frac{G}{M} RT, \quad (7)$$

где  $\Delta P$  — разность общего давления;  $V$  — объем прошедшего газа в секунду.

Исключая из уравнений (6) и (7) величину  $C$ , получим выражения для  $\Delta P$ :

$$\Delta P = \frac{128 RT h \eta}{\pi M P d^4} G. \quad (8)$$

В уравнении (8), если количество прошедшего газа  $G$  осматривается из потока пара, прямого и обратного «потока» инертного газа, тогда  $\Delta P$



представит общую гидродинамическую потерю давления; если принять во внимание только поток пара, тогда  $\Delta P$  представит разность общего давления.

Кроме гидродинамического сопротивления вблизи точки кипения следует учесть влияние на величину  $G$  теплоподвода, что еще более усложняет расчет.

Однако порядок величины  $\Delta P$  можно определить из формулы (8), принимая значение  $G$  соответственно только скорости теплоподвода, поскольку последняя в конечном счете лимитирует перегонку.

Для нашего примера перегонки цинка в аргоне с самым малым сечением канала (рис. 1, кривая 6) имеем:

$$h = 1 \text{ см}; S = 0,38 \text{ мм}^2; P = 100 \text{ мм рт. ст.}; \\ G = 6,5 \cdot 10^{-8} \text{ г/сек}; T = 1100^\circ \text{ К}; \eta = 4,5 \cdot 10^{-4} \text{ г/см сек.}$$

По уравнению (8)  $\Delta P \approx 4 \cdot 10^{-2} \text{ мм рт. ст.}$

Так как эта величина весьма мала по сравнению с парциальными давлениями паров цинка и аргона, то гидродинамическое сопротивление оказывает несущественное влияние на скорость диффузии, вычисляемую согласно уравнению (5), а также на точность измерения давления при определении упругости паров.

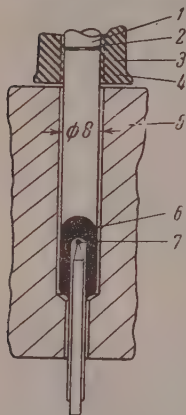


Рис. 2. 1 — трубка из кварцевого стекла; 2 — диафрагма; 3 — электроннагреватель части прибора между испарителем и конденсатором; 4 — асбестовая изоляция; 5 — медный блок; 6 — жидкий цинк; 7 — спай термонапары

Опыты. Прибор для определения упругости паров при помощи радиоактивного изотопа подробно описан в уже упомянутой работе [17]. Поместим здесь только часть прибора — испаритель, представленный на рис. 2.

Испаритель располагается в медном блоке для более равномерного нагрева. Образец жидкого цинка высокой чистоты, весом 4—5 г, содержит радиоактивный изотоп  $\text{Zn}^{65}$  и помещается в кварцевой пробирке. Давление аргона в приборе регулируется вакуумной установкой и измеряется U-образным ртутным манометром. Пары цинка конденсируются в верхней части кварцевой трубки. Последняя прогревается во избежание преждевременной конденсации паров цинка. Активность конденсата определяется счетчиком Гейгера — Мюллера в течение одной минуты через каждые две три минуты.

Можно считать, что

$$m' = k_2 N, \quad (9)$$

где  $m'$  — масса конденсата в граммах;  $N$  — активность конденсата, выраженная в имп/мин.;  $k_2$  — коэффициент.

Для определения точки кипения строились графики  $N = \varphi(\tau)$ , которые должны иметь такой же вид, как и графики  $m' = f(\tau)$ , где  $\tau$  — время от начала опыта.

Строить кривые  $N = \varphi(\tau)$  гораздо удобнее, так как при определении точки кипения важна форма кривой, а для перехода от активности к массе конденсата нужны дополнительные данные. Два графика построены на рис. 3 и 4.

На оси абсцисс отмечено время в минутах от начала опыта; на оси ординат: слева — активность конденсата, справа сверху — температура (кривая 2) и справа внизу — скорость перегонки (кривая 3). Давление аргона в приборе 3,7 и 502,4 мм рт. ст. соответственно.

Точки на кривой роста активности представляют среднее из измерений

тивности конденсата в течение минуты, поэтому ход кривой в месте резкого изменения скорости перегонки не точен. Следствием этого является неточный ход вычисленной кривой 3. Однако кривые ясно показывают, что переход от испарения к кипению совершается плавно и непрерывно, так это и следует из изложенной выше теории. Точка кипения определяется экстраполяцией кривой испарения и кривой кипения, т. е. промежуточные точки не принимаются во внимание, что делает нахождение истинной точки кипения более четким.

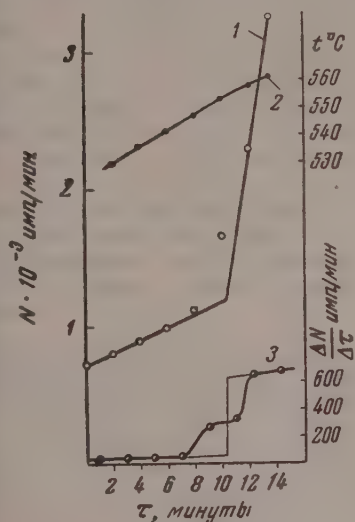


Рис. 3

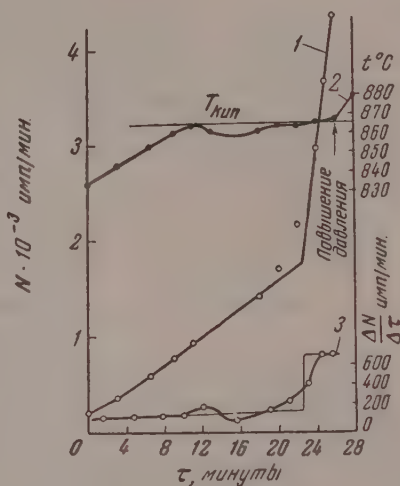


Рис. 4

В отношении роли диафрагмы опыт дает следующее. Первые опыты проводились без диафрагмы, т. е. без большого сопротивления диффундирующему потоку пара. На кривой роста активности конденсата в зависимости от времени перелома не было обнаружено, хотя точка кипения была пройдена.

В одном из последующих опытов при перегреве кварцевой трубки между испарителем и конденсатором ее сплющило так, что остался лишь тонкий канал. Высокая удельная активность образца ( $25,4 \text{ mCi/g}$ ) позволила фиксировать скорость перегонки и при таком узком проходе для пара.

На кривых, построенных по данным этого опыта, был виден резкий излом в месте точки кипения, близкий к  $90^\circ$ .

12 точек кипения при различном давлении аргона, полученные в этом приборе, давали хорошее согласие с данными по упругости паров цинка, полученными другими авторами. Следовательно, естественно образовавшаяся диафрагма действительно дает точные наблюдения, а сопротивление потоку пара не вносит заметной ошибки, в полном согласии с проведенным расчетом гидродинамического сопротивления.

Между приведенными двумя крайними опытами располагаются все другие, которые проводились в приборах с диафрагмами умеренного сечения отверстия. Причем при уменьшении диаметра отверстия наблюдается все большая резкость перехода от испарения к кипению.

На рис. 3 и 4 кривые построены по данным опыта диафрагмой с сечением отверстия  $8 \text{ мм}^2$ . Плавный переход вполне очевиден. На кривых, построенных по данным опыта с сечением отверстия в диафрагме  $2,5 \text{ мм}^2$ , перегиб кривых в точке кипения не имеет уже видимого плавного перехода (рис. 5, кривые 3 и 4)

Плавное изменение скорости перегонки вблизи точки кипения без дополнительного сопротивления на пути потока пара экспериментально обнаружил также Дюнуайе [28] при открытом испарении воды и льда в вакууме.

$N/64 \text{ имп./мин.}$

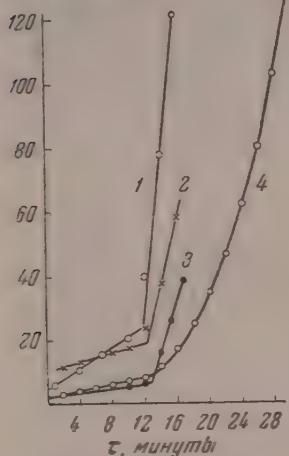


Рис. 5

В некотором удалении от точки кипения скорость перегонки ( $G$  и соответственно  $\text{tg}\alpha^\circ$ ) определяется стадией диффузии. Замечая, что коэффициент диффузии увеличивается с температурой в степени  $n = 3,2$ , согласно уравнению (5), для соотношения тангенсов углов наклона кривых 1 и 2 до точки кипения ( $\text{tg}\alpha_1^\circ$  и  $\text{tg}\alpha_2^\circ$ ) можно написать:

$$\frac{\text{tg}\alpha_1^0}{\text{tg}\alpha_2^0} = \frac{G_1}{G_2} = \frac{V \bar{T}_1^{2.2} \lg \frac{P_1 - P'_K}{P_1 - P''_K}}{V \bar{T}_2^{2.2} \lg \frac{P_2 - P'_K}{P_2 - P''_K}}. \quad (10)$$

Принимая давление паров цинка в конденсаторе  $P_K \approx 0$ , получим

$$\frac{\text{tg}\alpha_1^0}{\text{tg}\alpha_2^0} = \sqrt[2.2]{\frac{\bar{T}_1^2 \lg P_1 - \lg(P_1 - P'_K)}{\bar{T}_2^2 \lg P_2 - \lg(P_2 - P''_K)}}.$$

Нагрев образца в узком интервале равномерный, поэтому время опыта эквивалентно температуре образца.

Сравнивая тангенсы углов наклона на расстоянии  $5^\circ$  до точки кипения, получим:

$$P_1 - P'_K = 747 - 707 = 40 \text{ мм рт. ст.};$$

$$P_2 - P''_K = 3,7 - 3,61 = 0,09 \text{ мм рт. ст.}$$

Температура аргона  $T_1 \approx 1450^\circ\text{K}$ ;  $T_2 \approx 850^\circ\text{K}$ . Тогда

$$\frac{\text{tg}\alpha_1^0}{\text{tg}\alpha_2^0} \approx 1,8.$$

На расстоянии  $10^\circ$  до точки кипения  $\text{tg}\alpha_1^\circ/\text{tg}\alpha_2^\circ \approx 2$ .

В действительности тангенс угла наклона и увеличивается примерно в два раза.

Положение ветвей кривых после точки кипения определяет теплоподвод (грубо: скорость нагрева) и, следовательно, не зависит от давления газовой фазы.

Указанная малая зависимость скорости перегонки от внешнего давления (вблизи точки кипения) позволяет применить динамический метод определения упругости паров в широком интервале температур без смены образца и прибора.

Наконец, следует отметить влияние скорости нагрева. На рис. 5 кривая 3 снята при скорости нагрева 0,8 град./мин., а кривая 4 при скорости нагрева 0,3 град./мин.

При большей скорости нагрева излом кривой более резкий. На ветви кривой до точки кипения, где процесс лимитирует диффузионная стадия, это отражается слабо и равносильно, при увеличении скорости нагрева, уменьшению масштаба оси абсцисс при неизменной ординате.

Положение кривой после кипения зависит всецело от теплоподвода. Величина теплоподвода увеличивается при увеличении скорости нагрева в этом случае правая часть кривой располагается на графике более круто.

В заключение выражаю благодарность К. Н. Шабалину за ряд ценных указаний при выполнении настоящей работы.

### ВЫВОДЫ

1. Проведено теоретическое обоснование динамического метода определения упругости паров металлов.

2. Поскольку кипение металлов в вакууме происходит без образования пузырьков, переход от диффузии пара в инертном газе к общемассовому потоку совершается плавно и непрерывно еще до начала кипения.

3. В этом случае для резкого проявления точки кипения необходимо поставить дополнительное сопротивление потоку пара — диафрагму.

4. При помощи диафрагмы можно приблизить место наибольшего изменения скорости перегонки к точке кипения и добиться вместе с тем ее резкого проявления, тогда точность динамического метода определяется уже только не зависящими от метода факторами, а именно: точностью измерения температуры металла и давления инертного газа.

5. Эксперимент показывает согласие с теорией.

Уральский политехнический институт  
им. С. М. Кирова  
Свердловск

Поступила  
20.XII.1955

### ЛИТЕРАТУРА

1. W. Fischer u. O. Rahlfs, Zs. anorg. u. allg. Chem., 205, 1, 1935.
2. J. Fischer, Zs. anorg. u. allg. Chem., 219, 367, 1934.
3. R. W. Ditchburn a. J. L. Gilmour, Rev. Mod. Phys., 13, 310, 1941.
4. O. Ruff a. B. Bergdahl, Zs. anorg. u. allg. Chem., 106, 76, 1919.
5. O. Ruff u. H. Hartmann, Zs. anorg. u. allg. Chem., 133, 29, 1924.
6. J. Fischer, Zs. anorg. u. allg. Chem., 219, 1, 1934.
7. O. Ruff u. L. Le Boucher, Zs. anorg. u. allg. Chem., 210, 376, 1934.
8. Leitgeb, Zs. anorg. u. allg. Chem., 181, 225, 1929.
9. I. Langmuir, Phys. Rev. 11, 329, 1913.
10. H. L. Johnston a. A. L. Marshall, Journ. Amer. Chem. Soc., 62, 1382, 1940.
11. R. B. Holden, R. Speiser a. H. L. Johnston, Journ. Amer. Chem. Soc. 70, 3897, 1948.
12. А. А. Грановская и А. П. Любимов, Журн. физ. химии, 22, 103, 1948.
13. R. Speiser, H. L. Johnston a. P. E. Blackburn, Journ. Amer. Chem. Soc., 42, 4142, 1950.
14. J. W. Edwards, L. Herrick, H. L. Johnston a. P. E. Blackburn, Journ. Amer. Chem. Soc., 73, 172, 1951.
15. Ан. Н. Несмеянов, Н. Ф. Лебедев, В. И. Лозгачев, Э. Г. Чудинов, Сессия АН СССР по мирному использованию атомной энергии, Заседание отдела технических наук, Изд-во АН СССР, 1955, стр. 79.



16. P. Harteck, Zs. phys. Chem., **134**, 1, 1928.
17. М. В. Смирнов и С. П. Детков, ДАН, **98**, 777, 1954.
18. M. J. Kroll, Met. Ind., **19**, 28, 1945.
19. P. C. Carman, Trans. Farad. Soc., **44**, 529, 1948.
20. J. J. Retcherman and L. M. Pidgeon, Can. Min. a. Met. Bull., **44**, 253, 1951.
21. T. R. A. Davey, Journ. of metals, **5**, 991, 1953.
22. L. Holland and J. Varwood, Journ. Appl. Phys., **5**, 411, 1954.
23. H. C. Greenwood, Proc. Roy. Soc., **A82**, 396, 1909; **A83**, 486, 1910; Zs. Electrochem., **18**, 319, 1912.
24. K. C. D. Hickman and D. J. Trevoу, Chem. Eng. Prog., **49**, 105, 1953.
25. E. Preston, Trans. Farad. Soc., **29**, 1188, 1933.
26. J. Stephan, Ann. d. Phys., **17**, 550 1882; **41**, 725, 1890.
27. А. Гутри и Р. Уокерлинг, Вакуумное оборудование и вакуумная техника, пер. с англ., М., 1951.
28. J. M. Dunoyer, C. R., Compt. rend., **235**, 1027, 1952.

## THE DYNAMIC METHOD OF DETERMINING METAL VAPOR PRESSURES

*S. P. Detkov (Sverdlovsk)*

### Summary

In the paper a theoretical grounding is given for the dynamic method of determination of metal vapor pressure, abandoned since 1934. For liquids boiling with the formation of vapor bubbles the distillation rate increases sharply at the boiling temperature chiefly because of increased heat input. Metals boil without forming vapor bubbles; their distillation rates change smoothly and continuously on passing through the boiling point. In order that a sharper boiling point be obtained when using the dynamic method for metals an additional resistance in the form of a diaphragm should be placed in the path of the vapor stream.

The diaphragm, furthermore, brings the observed boiling point nearer to the true one; i. e., it leads to greater accuracy in the determination. Experimental results confirm the theoretical conclusions. The dynamic method of metal vapor pressure determination is not inferior to the other best methods. Its precision is limited by the errors in measuring the temperature and pressure.

## СКОРОСТЬ ЗАУГЛЕРОЖИВАНИЯ КАТАЛИЗАТОРА ПРИ ДЕГИДРИРОВАНИИ *n*-БУТАНА

*И. Я. Тюреев, А. Н. Бушин, Р. Ю. Михайлов  
и Е. А. Сарычева*

При каталитическом дегидрировании *n*-бутана до *n*-бутилена происходит постепенное зауглероживание катализатора углистыми отложениями. Для восстановления активности катализатора необходимо периодически производить его регенерацию путем выжигания «угля».

Исследование скорости зауглероживания катализатора (или, что то же, скорости углеотложения) является важным как для изучения дегидрогенизационного катализа, так и при решении вопр осов, связанных с расчетом процессов дегидрирования и регенерации.

Литературные данные, относящиеся к изучению скорости зауглероживания катализатора при дегидрировании *n*-бутана, весьма скудны: работ, специально посвященных изучению этого вопроса, насколько нам известно, в литературе опубликовано не было.

В статьях [1—3] или только отмечен сам факт зауглероживания катализатора, или приведены величины заусероженности при отдельных режимах дегидрирования.

Скорость углеотложения при крекинге нефтепродуктов на алюмосиликатных катализаторах изучена лучше, и имеется несколько работ [4,5], в которых предложены уравнения скорости этого процесса.

В монографии Д. И. Орочко [4] для описания скорости зауглероживания катализатора при крекинге предложено уравнение:

$$K\tau = \lg \frac{a}{a-x} - \beta x, \quad (1)$$

где  $K$  — константа скорости;  $\tau$  — время,  $a$  — максимальная «углеемкость» катализатора — величина, постоянная для данного катализатора и сырья;  $x$  — степень зауглероженности катализатора (например, в процентах к весу);  $\beta$  — коэффициент.

Как видно, по форме это уравнение аналогично известному уравнению Фроста.

Вурхайс [5] предложил для скорости углеотложения при крекинге на алюмосиликатном катализаторе следующее эмпирическое уравнение:

$$C_C = A\theta^n, \quad (2)$$

где  $C_C$  — количество отлагающегося угля в процентах к весу катализатора за цикл;  $\theta$  — продолжительность цикла в минутах;  $A$  и  $n$  — эмпирические коэффициенты, зависящие только от сырья, катализатора и температуры (для  $A$ ).

В работе [5] показано, что для условий, обследованных автором, значение  $n$  меняется от 0,41 до 0,53, причем автор считает возможным принять в среднем  $n = 0,5$ , т. е. зауглероженность пропорциональна корню квадратному из длительности цикла. Найдено, что при увеличении объемной скорости в два раза степень зауглероженности катализатора не изменяется.

Наконец, Рудерсхаузен и Ватсон [6] нашли, что при дегидрировании циклогексана на алюмополибиденовом катализаторе скорость зауглероживания может быть описана уравнением:

$$\frac{dC_C}{d\theta} = \frac{K}{C_C}, \quad (3)$$

где  $dC_C/d\theta$  — скорость отложения угля;  $K$  — константа;  $C_C$  — содержание угля на катализаторе.

В этой работе было найдено, что при увеличении объемной скорости примерно в 4,5 раза зауглероженность катализатора увеличилась лишь на 50%.

Несомненно, что при дегидрировании бутана образование и отложение «угля» на катализаторе есть конечный результат многих реакций распада и уплотнений молекул как исходных веществ, так и большого числа про-

дуктов реакций. В самом деле, «уголь» может образоваться в результате крекинга бутана, бутилена и дивинила. Получающиеся бутилен и дивинил, вступая в многочисленные реакции полимеризации, дают новые соединения, которые в результате последующих реакций крекинга наряду с другими продуктами превращаются частично и в «уголь». Один из таких возможных вариантов превращения дивинила в «уголь», правда, на алюмосиликатном катализаторе, описан в статье [7].

Поскольку химизм процесса углеобразования неизвестен, в настоящее время имеется практически единственная возможность рассматривать углеобразование только с точки зрения зауглероживания катализатора и оценивать скорость зауглероживания по количеству «угля», отнесенному к весу катализатора. Так как в процессе дегидрирования углеобразование есть также процесс каталитический, то можно считать, что количество «угля», отлагающегося на катализаторе при прочих равных условиях, определяется каталитической активностью катализатора и продолжительностью цикла дегидрирования. Это положение находится в согласии со всеми тремя приведенными выше кинетическими уравнениями.

Из этих трех уравнений эмпирическое уравнение (2) и теоретическое уравнение (3) при ближайшем рассмотрении оказываются идентичными. В самом деле, уравнение

$$\frac{dC_C}{d\Theta} = \frac{K}{C_C}$$

может быть преобразовано следующим образом.

Интегрируя при соблюдении условий  $T = \text{const}$ ,  $K = \text{const}$  и при  $\Theta = 0$ ,  $C_C = 0$ , получим

$$\frac{C_C^2}{2} = K\Theta,$$

откуда

$$C_C = \sqrt{\frac{K}{2}} \Theta^{0,5}.$$

Полученное уравнение аналогично уравнению (2), причем

$$A = \sqrt{\frac{K}{2}},$$

а  $n = 0,5$ .

Полученные нами данные по зауглероживанию хромоалюминиевого катализатора были обработаны по уравнению (2). При изучении углеотложения при дегидрировании бутана\* нами было найдено, что в составе отлагающегося на катализаторе «угля» содержится и водород. Этот факт находится в согласии с работами [7, 8], в которых отмечается содержание водорода в составе «угля», образующегося при крекинге на алюмосиликатных катализаторах.

Путем сжигания было найдено, что в наших условиях «уголь» содержит

углерода —  $93 \div 97$  вес. %;

водорода —  $3 \div 7$  вес. %.

Качественная зависимость состава «угля» от условий опыта сводится к тому, что с увеличением температуры или длительности цикла дегидрирования содержание водорода уменьшается.

**Методика эксперимента.** Скорость зауглероживания изучалась на хромоалюминиевом катализаторе при дегидрировании бутана, проводимом в кварцевом реакторе с внутренним диаметром 18 мм. Реактор помещался в трубчатую электрическую печь длиной 650 мм. Температура замерялась хромель-алюмелевой термопарой в кварцевой гильзе с наружным диаметром 8 мм, помещаемой в середине слоя катализатора.

Температура регулировалась вручную при помощи лабораторного трансформатора. Точность измерений температуры  $\pm 2^\circ$ .

\* Эти работы нами были начаты еще в 1950 г.

В реактор загружалось 10 см<sup>3</sup> катализатора, высота слоя — 50 мм. Для опытов тарировки катализатора диаметром в среднем 6 мм раскалывались на половинки или на четвертинки.

Используемый бутан имел состав (в объемн. %):

C<sub>3</sub> — 0,1 — 0,2; непредельные — 0,1 ÷ 0,2; изо-C<sub>4</sub>H<sub>10</sub> — 1,7; н-C<sub>4</sub>H<sub>10</sub> — 97,98;  
C<sub>5</sub> — 0,5 — 0,7.

Перед началом каждого опыта реактор продувался азотом, а затем подавался бутан. Время вытеснения азота бутаном в длительность цикла не включалась (при объемной скорости 400 л/л катализатора в час, это время составляло 2 мин.).

Контактный газ анализировался на аппарате Орас-Егера на содержание CO<sub>2</sub>, H<sub>2</sub>N<sub>2</sub>, непредельных и кислорода. Количество «угля» на катализаторе рассчитывалось по количеству выделяющегося при регенерации углекислого газа с поправкой на содержание водорода. Регенерация катализатора проводилась путем продувки через катализатор воздуха в течение 2 час. при 650° С. Образования окиси углерода при регенерации не наблюдалось. Углекислый газ поглощался 0,1 N раствором Ba(OH)<sub>2</sub>. Избыток Ba(OH)<sub>2</sub> оттитровывался 0,1N HCl. Расчет содержания углерода на катализаторе производился по формуле:

$$m = \frac{(V_1 f_1 - V_2 f_2) \cdot 0,022 \cdot 12 \cdot 100}{44g} - m_1,$$

где V<sub>1</sub> и V<sub>2</sub> — объемы Ba(OH)<sub>2</sub> и HCl; f<sub>1</sub> и f<sub>2</sub> — фактические нормальности растворов Ba(OH)<sub>2</sub> и HCl; g — навеска катализатора, m<sub>1</sub> — поправка на холостой опыт. Ошибка определения 0,01—0,02% абсолютных.

В расчетах зауглероживания катализатора вносилась поправка на водород, исходя из среднего содержания водорода в «угле», равного 5%.

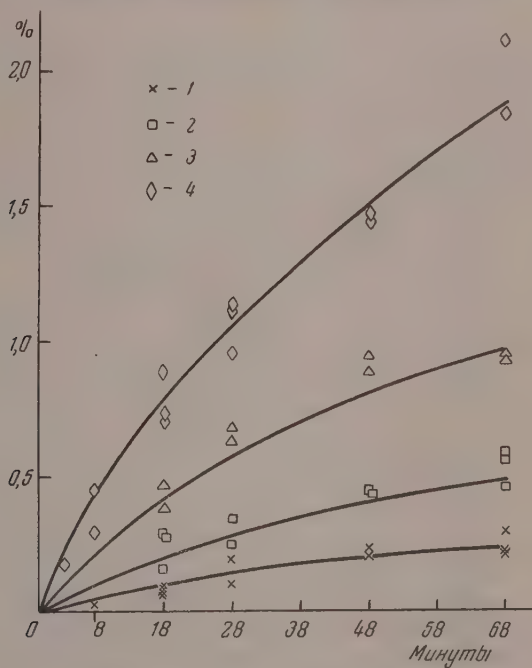


Рис. 1. Зауглероживность катализатора в процентах от веса в зависимости от температуры и длительности цикла дегидрирования при объемной скорости  $w = 400$  л/л час на половинках шариков. 1—510° С; 2—540° С; 3—570° С; 4—600° С

Обсуждение результатов. Результаты опытов по скорости зауглероживания катализатора частью сведены в таблицу (стр. 96—97) и более подробно показаны на рис. 1 и 2.



## Сводка экспериментальных данных по скорости зауглероживания хромоалюминиевого катализатора при дегидрировании н-бутана

Размер зерен катализатора	Режим дегидрирования			Состав контактного газа в объемн. %				Количество углерода в % к весу катализатора	Количество «угля» в % к весу катализатора с поправкой на содержание водорода
	Температура °С	Объемная скорость л. кат. час.	Цикл дегидрирования в мин.	Непр.	C <sub>2</sub> H <sub>4</sub>	CO <sub>2</sub>	H <sub>2</sub>		
Половинки шариков	510	411	8	4,0	1,4	1,0	—	0,0208	0,0218
То же	510	400	8	4,2	1,4	0,2	—	0,0244	0,0256
»	508	401	18	10,6	0,2	0,0	—	0,085	0,0894
»	510	398	18	14,2	0,6	0,2	18	0,078	0,082
»	510	399	18	14,0	0,4	0,2	—	0,092	0,0967
»	510	398	28	13,2	0,4	0,2	—	0,192	0,202
»	509	400	28	13,4	0,6	0,2	17,7	0,068	0,103
»	510	402	48	15,8	0,6	0,2	16,4	0,204	0,214
»	510	400	48	14,7	0,4	0,2	14,5	0,23	0,242
»	510	399	68	12,6	0,4	0,2	20,3	0,218	0,229
»	510	398	68	10,9	0,6	0,2	19,8	0,292	0,307
Четвертинки шариков	510	399	18	10,4	0,4	0,0	13,6	0,0544	0,0573
То же	510	401	18	10,0	0,4	0,0	—	0,109	0,1145
»	510	400	28	8,2	0,6	0,0	17,1	0,07	0,0736
»	511	400	28	11,1	0,6	0,0	—	0,174	0,183
»	510	408	28	10,1	0,4	0,0	—	0,1	0,105
Половинки шариков	510	1183	18	3,7	0,8	0,4	—	0,156	0,1638
То же	510	1260	18	6,2	0,6	0,0	—	0,052	0,0547
»	509	2200	18	3,0	0,4	0,2	—	0,04	0,042
»	510	2360	18	7,8	1,6	0,0	—	0,067	0,0704
»	540	402	18	20,4	0,6	0,2	—	0,291	0,306
»	539	399	18	16,2	0,4	0,2	22,1	0,288	0,303
»	540	397	18	17,1	0,6	0,0	—	0,161	0,169
»	540	425	28	21,6	0,4	0,0	25,3	0,231	0,244
»	540	404	28	21,6	0,6	0,0	—	0,332	0,348
»	538	410	48	16,6	0,6	0,0	—	0,423	0,445
»	542	402	48	16,0	0,6	0,0	—	0,427	0,448
»	540	401	68	15,6	0,8	0,0	20,9	0,569	0,597
»	540	403	68	16,4	0,8	0,0	—	0,555	0,583
»	540	403	68	16,4	0,8	0,0	—	0,455	0,478
»	569	400	18	24,0	0,6	0,0	26,6	0,453	0,477
»	570	404	18	22,2	1,0	0,0	—	0,369	0,388
»	570	399	28	19,0	1,0	0,0	—	0,650	0,680
»	571	401	28	18,9	1,0	0,0	22,9	0,613	0,644
»	571	403	48	16,4	2,0	0,0	18,0	0,853	0,899
»	570	398	48	17,8	0,8	0,2	—	0,904	0,95
»	571	400	68	17,9	0,8	0,3	—	0,902	0,948
»	570	401	68	18,0	0,4	0,0	23,2	0,906	0,952
»	600	400	3	—	—	—	—	0,174	0,183
»	602	409	8	21,6	0,8	0,7	—	0,291	0,3055
»	598	400	8	20,6	1,0	0,4	—	0,452	0,474
»	600	399	18	21,3	1,6	0,2	26,8	0,709	0,745
»	600	398	18	20,6	1,6	0,2	—	0,704	0,74
»	600	400	28	21,3	1,6	0,2	26,8	1,084	1,139
»	600	403	28	17,4	1,6	0,4	—	1,086	1,14
»	600	402	48	19,1	2,0	0,0	20,4	1,422	1,492
»	599	404	48	17,2	2,6	0,0	—	1,411	1,48
»	600	418	68	17,4	3,0	0,0	—	2,025	2,125
»	602	398	68	17,5	3,2	0,0	18,3	1,761	1,85
Четвертинки шариков	600	400	18	20,4	2,2	0,0	23,4	0,614	0,645

Продолжение

Размер зерен катализатора	Режим дегидрирования			Состав контактного газа в объемн. %				Количество углерода в % к весу катализатора	Количество «угля» в % к весу катализатора с поправкой на содержание водорода
	Температура °C	Объемная скорость л кат. час.	Цикл дегидрирования в мин.	Непр.	C <sub>2</sub> H <sub>4</sub>	CO <sub>2</sub>	H <sub>2</sub>		
четвертинки шариков	600	400	18	21,1	2,4	0,0	—	0,819	0,862
» же	600	400	18	21,0	2,4	0,0	—	0,891	0,936
»	600	400	28	20,1	3,1	0,0	—	1,156	1,21
»	600	400	28	20,7	3,0	0,0	23,7	1,0935	1,148
половинки шариков	600	1218	18	11,9	2,4	0,4	—	0,931	0,978
» же	600	1400	18	14,7	1,4	0,0	—	0,904	0,95
»	600	1390	18	16,3	1,6	0,2	—	0,668	0,703
»	600	2520	18	10,3	0,6	0,4	—	0,754	0,793
»	600	2540	18	9,4	1,4	0,0	—	0,812	0,853
»	600	2560	18	10,7	1,6	0,2	—	0,743	0,781
»	594	2300	18	11,7	1,6	0,2	—	0,746	0,784

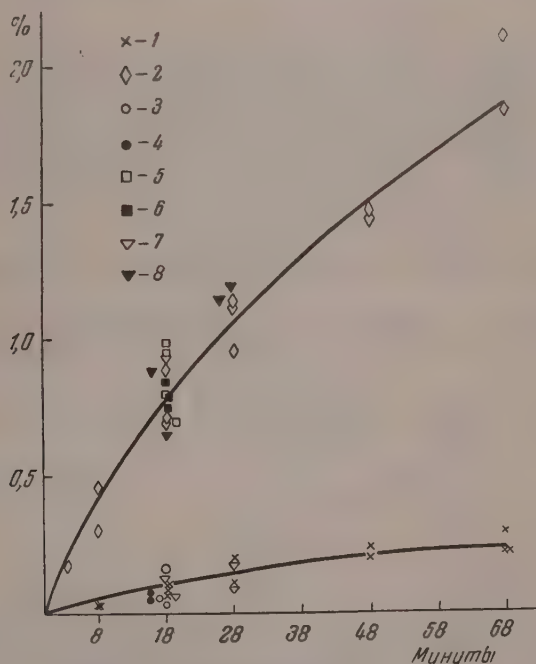


Рис. 2. Зауглероженность катализатора в процентах от веса в зависимости от температуры и длительности цикла дегидрирования при различной объемной скорости для зерен разного размера. 1—510° C,  $w = 400$  л/л час, половинки шариков; 2—600° C,  $w = 400$  л/л час, половинки шариков; 3—510° C,  $w = 1200$  л/л час, половинки шариков; 4—510° C,  $w = 2500$  л/л час, половинки шариков; 5—600° C,  $w = 1200$  л/л час, половинки шариков; 6—600° C,  $w = 2500$  л/л час, половинки шариков; 7—510° C,  $w = 400$  л/л час, четвертинки шариков; 8—600° C,  $w = 400$  л/л час, четвертинки шариков

Из данных таблицы следует, что количество угля, отлагающегося на данном хромоалюминиевом катализаторе, при дегидрировании н-бутана не зависит от объемной скорости подачи бутана (в пределах 400—2500 л/л час) и от размера зерна катализатора (начиная от половинок шариков диаметром 6 мм и меньше.)

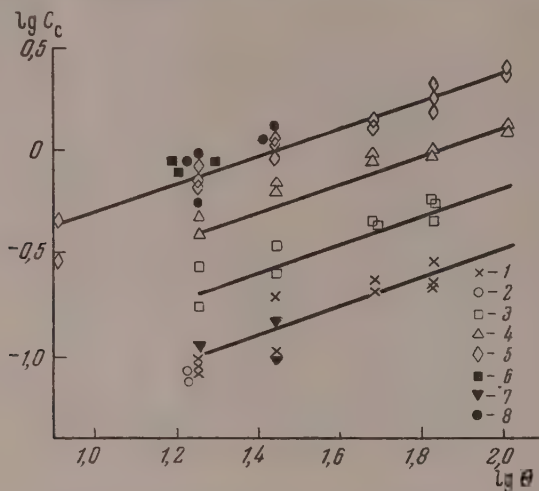
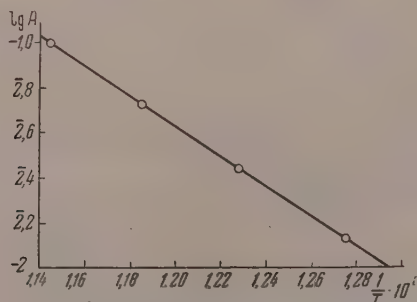


Рис. 3. Зависимость  $\lg C_c$  от  $\lg \theta$ . 1—510° С,  $w = 400$  л/л час, половинки шариков; 2—510° С,  $w = 2500$  л/л час, половинки шариков; 3—540° С,  $w = 400$  л/л час, половинки шариков; 4—570° С,  $w = 400$  л/л час, половинки шариков; 5—600° С,  $w = 400$  л/л час, половинки шариков; 6—600° С,  $w = 2500$  л/л час, половинки шариков; 7—510° С,  $w = 400$  л/л час, четвертинки шариков; 8—600° С,  $w = 400$  л/л час, четвертинки шариков

Следовательно, уравнение (2) пригодно для описания скорости зауглероживания.

Для определения коэффициентов  $A$  и  $n$  этого уравнения строим график зависимости  $\lg C_c$  от  $\lg \theta$ , исходя из уравнения (2) в логарифмической форме

$$\lg C_c = \lg A + n \lg \theta. \quad (4)$$



4. Зависимость коэффициента  $A$  от температуры

Из рис. 3 видно, что опытные данные более или менее удовлетворительно укладываются на прямых, как это и требуется уравнением (4). Все прямые имеют один и тот же наклон. Значит, величина  $n$  не зависит от температуры.

Из рис. 3 найдено, что для всех случаев  $n = 0,684$ . Коэффициент  $A$  имеет следующие значения:

$T^{\circ}\text{C}$	510	540	570	600
$A$	0,0137	0,027	0,0527	0,10

Зависимость коэффициента  $A$  от температуры показана на рис. 4, из которого найдено, что эта зависимость может быть выражена уравнением

$$\lg A = -\frac{6620}{T} + 6,57. \quad (5)$$

Подставляя найденное значение  $A$  в уравнение (2), получим уравнение зависимости зауглероживания катализатора от температуры в окончательной форме

$$C_C = e \left( -\frac{15226}{T} + 15,11 \right) 0,684. \quad (6)$$

### ВЫВОДЫ

1. Исследована скорость зауглероживания окисного хромоалюминиевого катализатора при дегидрировании н-бутана до бутилена.
2. Найдено, что в интервале температур 510—600°С количество отлагающегося на катализаторе «угля» может быть выражено уравнением (6).

Поступила  
22.XII.1955

### ЛИТЕРАТУРА

1. А. А. Баландин, М. Н. Марушкин, М. М. Афанасьев, Изв. АН СССР, ОХН, № 1, 79, 1941.
2. А. А. Баландин, Изв. АН СССР, ОХН, № 1, 21, 1942.
3. K. Haschuth, G. Hanson, Chem. Eng. Progr., 44, 421, 1948.
4. Д. И. Орочко, Теоретические основы ведения синтезов жидких топлив, Гос-топтехиздат, Москва, 1951.
5. A. Voovhies, Ind. Eng. Chem., 37, 318, 1945.
6. C. G. Rudershausen, C. C. Watson, Chem. Eng. Sci., 3, 110, 1954.
7. С. Р. Сергиенко, Н. В. Жданова, ДАН, 104, 737, 1955.
8. J. C. Dart, R. T. Savage, C. G. Kirbride, Chem. Eng. Progr., 45, 102, 1949.

### THE RATE OF CATALYST CARBONIZATION IN THE DEHYDROGENATION OF N-BUTANE

*I. Ya. Turyaev, A. N. Bushin, R. K. Mikhailov and E. A. Sarycheva*  
(Yaroslavl)

#### Summary

The carbonization velocity of a chromia — alumina catalyst in the dehydrogenation of n-butane to butylene has been studied and an equation has been proposed for the process, wherein the quantity of the deposited carbon is related to the duration of the cycle and to the temperature.



## ФАЗОВЫЕ РАВНОВЕСИЯ В СИСТЕМЕ ВОДА — АЦЕТАЛЬДЕГИД — МЕТАНОЛ \*

Д. С. Циклис и А. Н. Кофман

Парциальные давления ацетальдегида и метанола над двойными растворами ацетальдегид — вода и метанол — вода различных концентраций определены [1—3]. Совершенно отсутствуют данные о парциальных давлениях этих компонентов над их тройными растворами. Для получения этих данных и была поставлена настоящая работа.

### МЕТОДИКА ИССЛЕДОВАНИЯ

Измерения парциальных давлений ацетальдегида, метанола и воды были проведены динамическим методом. В качестве инертного газа мы выбрали азотоводородную смесь. Азотоводородная смесь из баллона 1 (рис. 1) поступает через маностат 2 в барботер 3,

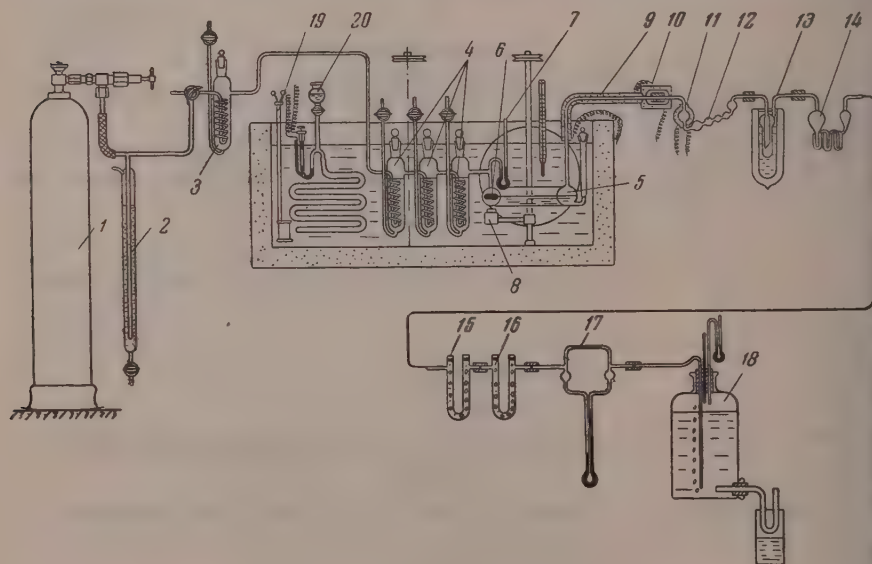


Рис. 1. Схема установки для определения парциальных давлений ацетальдегида, метанола и воды над их тройными растворами. 1 — баллон с азотоводородной смесью; 2 — маностат; 3 — барботер; 4 — насытител; 5 — кольцеобразный сосуд; 6 — поплавок; 7 — манометр; 8 — магнит; 9 — обогреваемая трубка; 10 и 11 — обогревы; 12 — шариковый поглотитель; 13 — ловушка; 14 — кали-аппарат; 15 и 16 — U-образные трубки; 17 — реометр; 18 — аспиратор; 19 — терморегулятор; 20 — нагреватель

исполненный бесцветным медноаммиачным раствором, для очистки от следов кислорода. Далее, пройдя барботер с серной кислотой (на рисунке не указан) для очистки от аммиака, попадающего в газ из медноаммиачного раствора, азотоводородная смесь поступает в три насытител 4, находящиеся в термостате и наполненные исследуемым раствором.

\* В работе принимала участие Г. Г. Леонтьева.

Из последнего насытителя азотоводородная смесь поступает в кольцо 5, спаянное из стеклянной трубки, и проходит для окончательного насыщения над зеркалом раствора при постоянном давлении, измеряемом манометром 7. Раствор в кольце перемешивается при движении поплавок 6 с вращаемым в его сердечнике из трансформаторного железа. Поплавок движется при помощи постоянного магнита 8.

Из кольца 5 газ выходит в обогреваемую трубку 9, откуда направляется на анализ. Для наблюдения за работой поплавок и отсчета давления по находящемуся в термостате манометру 7 термостат имеет два круглых окна.

Азотоводородную смесь пропускают через раствор со скоростью 300—400 мл/час в течение нескольких часов, после чего направляют в аналитическую часть и улавливают ацетальдегид, метанол и воду в ряде поглотителей. Чтобы при включении поглотителей не происходило изменения давления в системе, газ при установлении равновесия пропускают через поглотитель с краном, сопротивление которого равно сопротивлению аналитической системы. Из этого поглотителя газ идет в реометр 17.

В аналитической системе газ последовательно проходит через шариковый поглотитель 12, наполненный 2N раствором солянокислого гидроксилamina, где поглощается ацетальдегид и частично метанол, ловушку 13, погруженную в жидкий азот, в которой вымораживают метанол и воду, кали-аппарат 14 с крепкой серной кислотой и U-образные трубки с аскаритом 15 и хлористым кальцием 16. Последние две трубки защищают аналитическую систему от попадания в нее путем диффузии влаги из реометра. Из трубки 16 газ через реометр 17 поступает в аспиратор 18.

Термостат снабжен толуоловым терморегулятором 19 и нагревателем 20, включенным через реле и автотрансформатор. Это устройство позволяет поддерживать температуру с точностью до  $\pm 0,1^\circ\text{C}$ .

Перед опытом поглотители продували в течение 10—15 мин. азотоводородной смесью и взвешивали. Ловушку 18 охлаждали в жидком азоте под давлением сухой азотоводородной смеси, пока давление в ловушке не уравнивалось с атмосферным. После этого все поглотители соединяли между собой и включали в установку.

После окончания опыта ловушку отепляли и взвешивали все поглотители. Затем переносили содержимое поглотителей 12 и 13 в мерную колбу емкостью 25 мл. Из этой колбы отбирали пробы для определения ацетальдегида и метанола. Количество воды определяли по разности между общим привесом и количествами ацетальдегида и метанола.

Ацетальдегид определяют по количеству соляной кислоты, которая выделяется при реакции между ацетальдегидом и солянокислым гидроксилaminом [4]. Метанол определяют этерификацией муравьиной кислотой [4].

Присутствие солянокислого гидроксилamina в концентрированном (10—15%) растворе ацетальдегида может вызвать ошибку при определении в этом растворе метанола. Крепкая серная кислота (прибавляемая в раствор при этерификации) вытесняет газообразный хлористый водород, который отгоняется (с изотермическим конденсатором) в титрованную щелочь, применяемую при омылении формиата. При этом находит большее количества метанола, чем есть в действительности. Ошибка может достигать 15—20%. В таких случаях нужно применять сернокислый гидроксилamin.

Вычисление парциальных давлений проводили в предположении, что вода, ацетальдегид и метанол находятся в газовой фазе в виде  $\text{H}_2\text{O}$ ,  $\text{CH}_3\text{CHO}$  и  $\text{CH}_3\text{OH}$ .

Для проверки этого предположения мы определили общее давление над растворами. Общее давление определяли на установке (рис. 2), которая состояла из пробирки 1, соединенной краном 4 с манометром 5. Пробирку эвакуируют до остаточного давления 0,1—0,2 мм рт. ст. и проверяют герметичность установочного манометром 5. В эвакуированную воронку 7 вводят исследуемый раствор и, осторожно поворачивая кран, впускают раствор в пробирку так, чтобы остаток раствора закрывал канал крана. Затем замораживают раствор и поворотом крана 4 соединяют на короткое время пробирку с вакуум-насосом. При этом из раствора удаляется растворенный в нем воздух.

Затем соединяют пробирку с манометром и, установив в термостате плавную температуру, перемешивают раствор магнитной мешалкой 2. После установления ртутного уровня в манометре 5 на постоянном уровне производят отсчет.

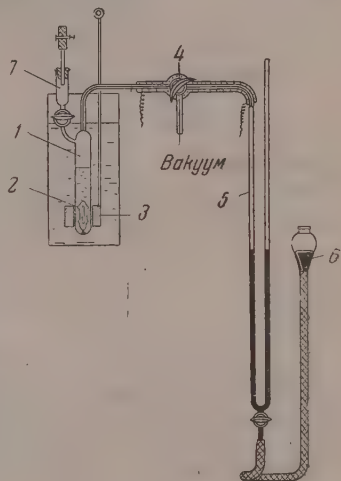


Рис. 2. Схема установки для определения общего давления над раствором. 1 — пробирка; 2 — мешалка; 3 — магнит; 4 — кран; 5 — манометр; 6 — груша с ртутью; 7 — воронка

Для суждения о надежности нашей методики мы измерили парциальное давление ацетальдегида над его водными растворами и получили удовлетворительное совпадение с литературными данными [1,2].

### Парциальные давления воды, ацетальдегида и метанола над их водными растворами

Всего было исследовано пять растворов (табл. 1).

Таблица 1

Состав исследованных растворов, вес. %

Компонент	Раствор				
	1	2	3	4	5
Ацетальдегид	4,76	4,50	4,06	9,90	14,00
Метанол	4,89	10,00	15,90	4,70	4,20
Моли на 1000 г воды					
Ацетальдегид	1,20	1,20	1,20	2,64	3,90
Метанол	1,69	3,61	6,22	1,72	1,60

Парциальные давления ацетальдегида, метанола и воды над этими растворами были измерены при 10, 20 и 30 °С. Полученные данные сглаживали по графикам  $\lg P$  против  $1/T$ , где  $P$  — парциальное давление, а  $T$  — температура опыта в градусах Кельвина.

Данные опытов и расчетов приведены в табл. 2—6 и на рис. 3—7.

Таблица 2

Парциальные давления ацетальдегида, метанола и воды над раствором 1

P, мм рт. ст.	°С				
	10	15	20	25	30
$P_{\text{CH}_3\text{CHO}}$	18,2	26,0	36,5	50,8	70,0
$P_{\text{CH}_3\text{OH}}$	4,24	5,06	5,95	6,96	8,1
$P_{\text{H}_2\text{O}}$	6,00	9,2	13,9	20,6	30,0
$P_{\Sigma}$	28,4	40,3	56,4	78,4	108,1
$P_{\text{общ}}$	29,0	41,5	57,5	78,0	106,0

Таблица 3

Парциальные давления ацетальдегида, метанола и воды над раствором 2

P, мм рт. ст.	°С				
	10	15	20	25	30
$P_{\text{CH}_3\text{CHO}}$	12,9	18,6	26,3	36,9	50,3
$P_{\text{CH}_3\text{OH}}$	8,0	10,9	14,8	19,8	26,2
$P_{\text{H}_2\text{O}}$	7,6	10,6	14,6	19,9	26,9
$P_{\Sigma}$	28,5	40,1	55,7	76,6	103,4
$P_{\text{общ}}$	29,5	39,2	52,5	73,5	99,0

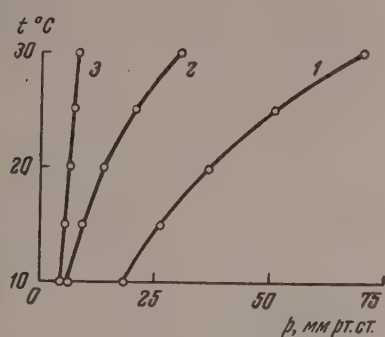


Рис. 3

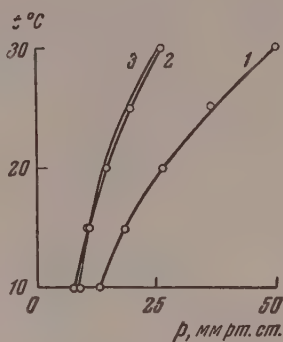


Рис. 4

Рис. 3. Парциальные давления ацетальдегида, метанола и воды над раствором 1. 1 —  $\text{CH}_3\text{COH}$ ; 2 —  $\text{CH}_3\text{OH}$ ; 3 —  $\text{H}_2\text{O}$

Рис. 4. Парциальные давления ацетальдегида, метанола и воды над раствором 2. 1 —  $\text{CH}_3\text{COH}$ ; 2 —  $\text{CH}_3\text{OH}$ ; 3 —  $\text{H}_2\text{O}$

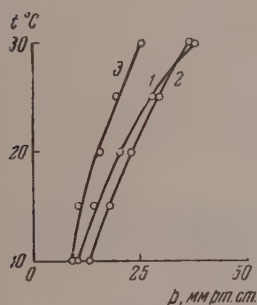


Рис. 5

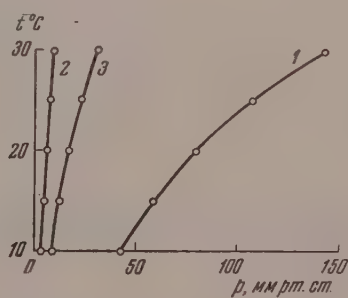


Рис. 6

Рис. 5. Парциальные давления ацетальдегида, метанола и воды над раствором 3. 1 —  $\text{CH}_3\text{COH}$ ; 2 —  $\text{CH}_3\text{OH}$ ; 3 —  $\text{H}_2\text{O}$

Рис. 6. Парциальные давления ацетальдегида, метанола и воды над раствором 4. 1 —  $\text{CH}_3\text{COH}$ ; 2 —  $\text{CH}_3\text{OH}$ ; 3 —  $\text{H}_2\text{O}$

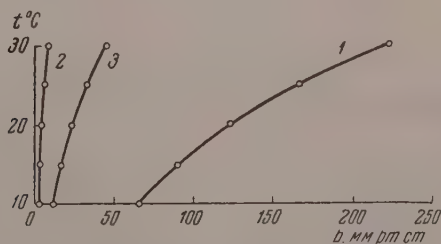


Рис. 7. Парциальные давления ацетальдегида, метанола и воды над раствором 5. 1 —  $\text{CH}_3\text{COH}$ ; 2 —  $\text{CH}_3\text{OH}$ ; 3 —  $\text{H}_2\text{O}$



Таблица 4

Парциальные давления ацетальдегида, метанола и воды над раствором 3

P, мм рт. ст.	°C				
	10	15	20	25	30
$P_{\text{CH}_3\text{CHO}}$	10,3	14,5	20,2	27,6	37,5
$P_{\text{CH}_3\text{OH}}$	13,4	17,5	22,6	28,9	36,6
$P_{\text{H}_2\text{O}}$	8,8	10,6	15,3	19,8	25,2
$P_{\Sigma}$	32,5	42,6	58,1	76,3	99,3
$P_{\text{общ}}$	36,0	43,5	58,0	74,0	94,0

Таблица 5

Парциальные давления ацетальдегида, метанола и воды над раствором 4

P, мм рт. ст.	°C				
	10	15	20	25	30
$P_{\text{CH}_3\text{CHO}}$	42,4	58,5	79,2	106,6	142,0
$P_{\text{CH}_3\text{OH}}$	3,8	4,7	5,8	7,0	8,4
$P_{\text{H}_2\text{O}}$	8,6	11,9	16,4	22,4	30,1
$P_{\Sigma}$	54,8	74,8	101,4	136,0	180,5
$P_{\text{общ}}$	54,2	73,5	101,0	134,0	180,0

Таблица 6

Парциальные давления ацетальдегида, метанола и воды над раствором 6

P, мм рт. ст.	°C				
	10	15	20	25	30
$P_{\text{CH}_3\text{CHO}}$	65,5	90,0	123,0	166,0	223,8
$P_{\text{CH}_3\text{OH}}$	2,4	3,4	4,7	6,4	8,7
$P_{\text{H}_2\text{O}}$	11,9	16,9	23,8	33,2	45,5
$P_{\Sigma}$	79,8	110,3	151,5	206,2	278,8
$P_{\text{общ}}$	71,5	98,0	137,0	178,2	236,0

## ОБСУЖДЕНИЕ РЕЗУЛЬТАТОВ

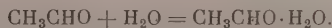
## Образование гидратов ацетальдегида в газовой фазе

Общее давление над раствором 5 значительно меньше суммарного парциального давления воды превышает давление над чистой водой. Такие же расхождения мы наблюдали и при исследовании растворов ацетальдегид — вода\*. Парциальное давление воды над раствором было тем больше, чем концентрированнее был раствор.

Это явление нельзя было объяснить ошибками опыта, и так как парциальное давление растворителя над раствором согласно термодинамике не может быть больше, чем над чистым растворителем, мы предположили

\* Авторы работы [1] также столкнулись с аналогичным явлением, хотя и не упоминают на это в своей статье.

что ацетальдегид и вода в газовой фазе ассоциированы так же, как и в жидкой [5]:



Обозначим числа молей компонентов в газовой фазе:

Найденные в опыте  
 $n_0$  — азотоводородной смеси  
 $n'_1$  — воды  
 $n'_2$  — ацетальдегида

Присутствующие в газе  
 $n_0$  — азотоводородной смеси  
 $n_1$  — воды  
 $n_2$  — ацетальдегида  
 $n_3$  — комплекса

Обозначим также парциальные давления:

Экспериментальные  
 $P'_1$  — воды  
 $P'_2$  — ацетальдегида

Расчетные  
 $P_1$  — воды  
 $P_2$  — ацетальдегида  
 $P_3$  — комплекса

Тогда расчетные (истинные) парциальные давления компонентов равны

$$P_1 = \frac{n_1 P_6}{n_0 + n_1 + n_2 + n_3},$$

$$P_2 = \frac{n_2 P_6}{n_0 + n_1 + n_2 + n_3},$$

$$P_3 = \frac{n_3 P_6}{n_0 + n_1 + n_2 + n_3},$$

где  $P_6$  — давление, при котором проведен опыт. Далее

$$P_1 + P_2 + P_3 = P_{\text{общ}}.$$

где  $P_{\text{общ}}$  — общее давление над раствором. Произведя преобразования, получим

$$n_1 = \frac{n_0 P_{\text{общ}}}{(P_6 - P_{\text{общ}})} - n'_2,$$

$$n_2 = n'_2 - n_3,$$

$$n_3 = n'_1 - n_1.$$

(1)

По этим уравнениям можно вычислить истинные числа молей компонентов, находящихся в газовой фазе, и также истинные парциальные давления компонентов и комплекса, образованного одной молекулой ацетальдегида\*.

Мы измерили парциальные давления ацетальдегида и воды при 30 °C над тремя растворами, содержащими 7,07; 10,1 и 21,8% ацетальдегида по весу. По этим экспериментальным данным были рассчитаны истинные числа молей и парциальные давления ацетальдегида и комплекса (табл. 7—9).

«Истинное» парциальное давление воды только немного превышает давление пара над чистой водой, при 30° равное 31,5 мм рт. ст. Такое расхождение может быть отнесено за счет ошибок опыта.

Вычисления, проведенные для раствора, содержавшего 21,8% ацетальдегида, не дали удовлетворительных результатов; вся вода оказывалась связанной в виде комплекса.

\* Такое предположение сделано для упрощения расчета. В действительности же комплекс имеет формулу  $(\text{CH}_3\text{CHO})_r \cdot (\text{H}_2\text{O})_s$ , причем в газовой фазе могут присутствовать комплексы с набором значений  $s$  и  $r$ .

Таблица 7

Парциальные давления компонентов и общее давление над раствором, содержащим 7,07 вес. % ацетальдегида при 30° С

Давление, мм рт. ст.	О п ы т ы				
	1	2	3	4	5
$P'_1$	43,4	46,3	41,9	44,0	42,9
$P'_2$	135,3	133,0	133,7	135,0	134,3
$P_\Sigma$	178,3	179,3	175,6	179,0	177,2
$P_1$	33,3	36,1	36,2	34,2	35,2
$P_2$	126,4	124,3	128,7	126,4	127,1
$P_3$	10,7	10,5	6,1	10,4	8,1
$P_\Sigma$	170,4	170,9	171,0	171,0	170,4
$P_{\text{общ}}$	171,0	171,0	171,0	171,0	171,0

Таблица 8

Парциальные давления компонентов и общее давление над раствором, содержащим 10,1 вес. % ацетальдегида при 30° С

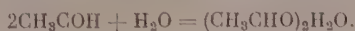
Давление, мм рт. ст.	О п ы т ы			
	1	2	3	4
$P'_1$	49,5	46,2	50,8	52,6
$P'_2$	190,2	190,2	185,2	187,1
$P_\Sigma$	239,7	236,4	236,0	239,7
$P_1$	26,2	27,3	32,3	29,4
$P_2$	171,8	175,1	170,3	168,2
$P_3$	24,9	20,1	19,8	24,9
$P_\Sigma$	222,9	222,5	222,4	222,3
$P_{\text{общ}}$	222,5	222,5	222,5	222,5

Таблица 9

Парциальные давления компонентов над раствором, содержащим 21,8 вес. % ацетальдегида при 30° С

Давление, мм рт. ст.	О п ы т ы				
	1	2	3	4	5
$P'_1$	73,9	76,2	73,8	77,9	74,3
$P'_2$	396,4	390,5	388,2	391,9	392,3
$P_\Sigma$	469,4	466,7	462,0	469,8	466,7
$P_1$	27,2	32,8	34,4	29,2	32,6
$P_2$	341,5	338,6	341,0	349,9	341,9
$P_3$	57,1	53,9	47,6	57,4	51,8
$P_\Sigma$	425,8	425,3	423,0	426,5	424,7
$P_{\text{общ}}$	423,5	423,5	423,5	423,5	423,5

Мы предположили, что в случае концентрированного раствора ацетальдегида в воде, в газовой фазе комплекс будет состоять из двух молекул ацетальдегида и одной молекулы воды:



Тогда

$$\begin{aligned} n_1 &= n'_1 - n_3, \\ n_2 &= n'_2 - 2n_3, \\ n_3 &= \frac{1}{2} \left\{ n'_1 + n'_2 - \frac{P_{\text{общ}} n_0}{P_0 - P_{\text{общ}}} \right\}. \end{aligned} \quad (2)$$

Результаты вычислений приведены в табл. 9.

На основании этих данных можно сделать вывод, что состав комплекса в газовой фазе зависит от концентрации ацетальдегида в растворе.

### Зависимость парциальных давлений компонентов от состава раствора

Зависимость между химическими потенциалами компонентов, образующих раствор, выражается уравнением Гиббса — Дюгема. Для трехкомпонентного раствора

$$n_1 d\mu_1 + n_2 d\mu_2 + n_3 d\mu_3 = 0 \quad (dP = 0; dT = 0), \quad (3)$$

где  $n_1$ ,  $n_2$  и  $n_3$  — числа молей компонентов и  $\mu_1$ ,  $\mu_2$  и  $\mu_3$  — химические потенциалы компонентов.

На основании равенства частных производных

$$\left( \frac{\partial \mu_2}{\partial n_3} \right)_{n_1, n_2, P, T} = \left( \frac{\partial \mu_3}{\partial n_2} \right)_{n_1, n_3, P, T}, \quad (4)$$

где  $n_1$  — число молей воды,  $n_2$  — число молей ацетальдегида, а  $n_3$  — число молей метанола.

Если газовая фаза представляет собой смесь идеальных газов, то

$$\begin{aligned} \mu_1 &= \mu_1^0(T) + RT \ln P_1, \\ \mu_2 &= \mu_2^0(T) + RT \ln P_2, \\ \mu_3 &= \mu_3^0(T) + RT \ln P_3. \end{aligned} \quad (5)$$

Тогда

$$\left( \frac{\partial \ln P_2}{\partial n_3} \right)_{n_1, n_2, P, T} = \left( \frac{\partial \ln P_3}{\partial n_2} \right)_{n_1, n_3, P, T}. \quad (6)$$

Мы построили по экспериментальным данным графики  $\lg P$  против  $n$  и вычислили производные в точках  $n_2 = 1,2$  и  $n_3 = 1,7$ . При  $10^\circ\text{C}$

$$\left( \frac{\partial \lg P_2}{\partial n_3} \right)_{n_1, n_2} = 0,085; \quad \left( \frac{\partial \lg P_3}{\partial n_2} \right)_{n_1, n_3} = 0,108.$$

Полученное совпадение можно считать удовлетворительным, если учесть ошибки при определении парциальных давлений и вычислении производных.

Данные табл. 1—5 выражены следующими уравнениями, которые могут служить для температурной интерполяции парциальных давлений:

Раствор 1

$$\begin{aligned} \lg P_{\text{CH}_3\text{CHO}} &= 10,095 - 2500/T \\ \lg P_{\text{CH}_3\text{OH}} &= 4,870 - 1200/T \\ \lg P_{\text{H}_2\text{O}} &= 11,3800 - 3000/T \end{aligned}$$



## Раствор 2

$$\lg P_{\text{CH}_3\text{CHO}} = 10,1745 - 2565/T$$

$$\lg P_{\text{CH}_3\text{OH}} = 8,7360 - 2217/T$$

$$\lg P_{\text{H}_2\text{O}} = 9,1758 - 2347/T$$

## Раствор 3

$$\lg P_{\text{CH}_3\text{CHO}} = 9,4950 - 2400/T$$

$$\lg P_{\text{CH}_3\text{OH}} = 7,7525 - 1875/T$$

$$\lg P_{\text{H}_2\text{O}} = 8,0100 - 2000/T$$

## Раствор 4

$$\lg P_{\text{CH}_3\text{COH}} = 9,5954 - 2255/T$$

$$\lg P_{\text{CH}_3\text{OH}} = 4,9200 - 1210/T$$

$$\lg P_{\text{H}_2\text{O}} = 9,2186 - 2345/T$$

## Раствор 5

$$\lg P_{\text{CH}_3\text{CHO}} = 9,4150 - 2150/T^*$$

$$\lg P_{\text{CH}_3\text{OH}} = 8,8600 - 2400/T$$

$$\lg P_{\text{H}_2\text{O}} = 9,5300 - 2400/T^*$$

Авторы выражают благодарность И. Р. Кричевскому за внимание к работе и советы.

## ВЫВОДЫ

1. Измерены парциальные давления воды, ацетальдегида и метанола над растворами пяти концентраций при температурах 10, 20 и 30° С.

2. Измерено общее давление над растворами пяти концентраций при тех же температурах.

3. Добавка метанола к водному раствору ацетальдегида понижает парциальное давление последнего, а добавка ацетальдегида повышает парциальное давление метанола.

4. В газовой фазе вода и ацетальдегид образуют комплекс, состав которого зависит от концентрации ацетальдегида в жидкой фазе.

Институт азотной промышленности  
Москва

Поступила  
8.XII.1955

## ЛИТЕРАТУРА

1. А. А. Добринская, В. Г. Маркович и М. Б. Нейман, Изв. АН СССР, ОХН, № 3, 434, 1953.
2. И. Н. Буммакин и К. П. Кучинская, Синтетический каучук, 160, 1953.
3. В. М. Олевский и И. Ф. Голубев, Труды ГИАП, 4, 36, 1954.
4. А. И. Гуляева, В. Ф. Поликарпова и З. К. Ремиз, Анализ продуктов производства дивинила из этилового спирта по способу С. В. Лебедева, ГХИ, 1950.
5. Liebig, Ann. 14, 189,

## PHASE EQUILIBRIA IN THE SYSTEM WATER-ACETALDEHYDE-METHANOL

D. S. Tsiklis and A. N. Kofman (Moscow)

## Summary

The total pressure of solutions and partial pressures of water, acetaldehyde and methanol have been determined over solutions of five different concentrations at temperatures 10, 20 and 30° C.

It was found that the addition of methanol to aqueous acetaldehyde solutions lowers the partial pressure of the aldehyde and the addition of the latter lowers the partial pressure of methanol over the solution.

Water and acetaldehyde were shown to form in the gaseous phase a complex, the composition of which depends upon the concentration of the acetaldehyde in the liquid phase.

\* Вместе с комплексом.

## ИЗУЧЕНИЕ ПОЛИМЕРИЗАЦИИ п-ТРЕТИЧНОГО БУТИЛФЕНИЛМЕТАКРИЛАТА

*С. Е. Бреслер, Т. В. Шереметева, С. Я. Френкель  
и М. Г. Женовская*

Как нами уже сообщалось [1], полимеризация п-третичного бутилфенилметакрилата в присутствии перекиси бензонла (в количествах от 0,1 до 5%) проходит при ступенчатом подъеме температуры от 60 до 120° с более чем на 90%.

Для выяснения возможности повышения степени конверсии, а также для исследования зависимости свойств полученного полимера от режима полимеризации была поставлена серия опытов, в которых изучалась скорость полимеризации п-третичного бутилфенилметакрилата при температурах от 70 до 120°С и определялось молекулярно-весовое распределение результирующего полимера при различных режимах полимеризации.

### ПОСТАНОВКА И РЕЗУЛЬТАТЫ ОПЫТОВ

Полимеризация велась одновременно в нескольких запаянных ампулах, в атмосфере азота, в масляном термостате. В течение процесса отдельные ампулы через определенные промежутки времени вынимались из термостата и замораживались твердой углекислотой. Количество полимера определялось путем растворения содержимого ампул в ацетоне и последующего осаждения метиловым спиртом; далее рассчитывались процент конверсии соответствующей пробы и средний скорость полимеризации в интервалы времени между измерением.

В дальнейшем, для простоты, образцы обозначены следующим образом:

п-третичный бутилфенилметакрилат (I) — продукт, полученный при ступенчатом подъеме температуры;

п-третичный бутилфенилметакрилат (II), полученный при 100° за 15 мин.;

п-третичный бутилфенилметакрилат (III) — «промежуточный» образец, полимеризовавшийся в течение 2,5 час. при постепенном подъеме температуры от 70 до 130°С в режиме, подобранном таким образом, чтобы скорость полимеризации сохранялась более или менее постоянной (см. рис. 3). При этом процесс завершался за 2,5 часа, и полимер доходил до глубины конверсии 94%.

Полученные результаты приведены в табл. 1—3 и на рис. 1—8.

Таблица 1

Полимеризация п-третичного бутилфенилметакрилата (I)

$t, ^\circ\text{C}$	Время полимеризации в мин.	Общее время полимеризации в мин.	Выход в %	Средняя скорость полимеризации
70	20	—	7,1	0,355
	45	—	35	1,115
	90	—	41	0,138
	150	—	49	0,141
	1440	1440	79,2	0,024
80	50	1490	85	0,116
	1390	2880	86,5	0,001
100	20	2900	89,17	0,13
	1440	4340	89	—
120	1440	5780	89	—

Таблица 2

Полимеризация п-третичного бутил-фенилметакрилата (II)

$t, ^\circ\text{C}$	Время полимеризации в мин.	Выход в %	Средняя скорость полимеризации
100	6	12,5	2,05
	10	85	18,1
	15	89,09	0,8
	25	88,8	—
	45	89,03	—
	150	88,8	—
	1440	88,7	—

Таблица 3

Полимеризация п-третичного бутил-фенилметакрилата (III)

$t, ^\circ\text{C}$	Время полимеризации в мин.	Общее время полимеризации в мин.	Выход в %	Средняя скорость полимеризации
70	45	45	28,6	0,635
80	30	75	62,2	1,12
90	20	95	72,8	0,53
100	15	110	80,3	0,506
120	15	125	87,9	0,506
130	10	135	94,9	0,7

Для сравнения на рис. 9 приведены также кривые полимеризации метилметакрилата по данным Шульца [2].

Как следует из рисунков, при  $70^\circ$  полимеризации п-третичного бутил-фенилметакрилата в присутствии перекиси бензоила протекает медлен-

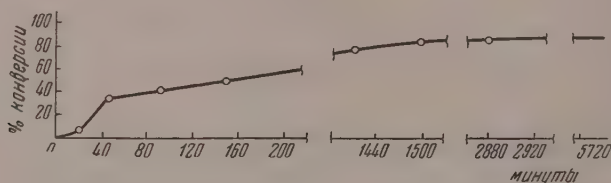


Рис. 1. Конверсия п-третичного бутилфенилметакрилата, полученного при ступенчатом подъеме температуры

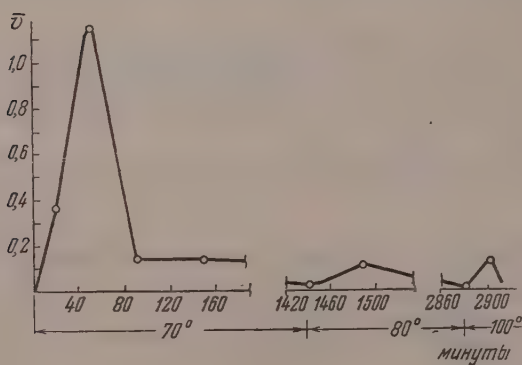


Рис. 2. Средняя скорость полимеризации п-третичного бутилфенилметакрилата, полученного при ступенчатом подъеме температуры

нее, нежели метилметакрилата, тогда как при  $100^\circ$  п-третичный бутил-фенилметакрилат полимеризуется с большой скоростью, достигая 89% конверсии за 15 мин.

При ступенчатом подъеме температуры 89—90% конверсии достигается за 100 час. Для наглядного представления отечений этого процесса скорость полимеризации была измерена при температурах 70, 80,

100 и 120°, и результаты представлены в виде кривой, изображенной на рис. 1.

Как видно из рисунка, полимеризация фактически идет с постепенным замедлением, вследствие чего материал длительное время подвергается

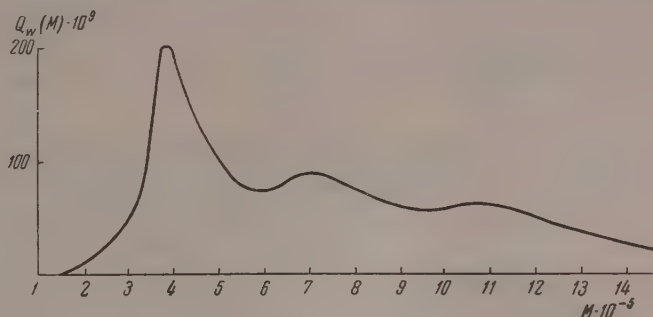


Рис. 3. Молекулярно-весовое распределение п-третичного бутилфенилметакрилата, [полученного при ступенчатом подъеме температуры]

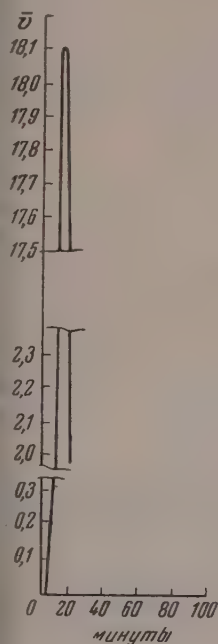


Рис. 5

Рис. 5. Средняя скорость полимеризации п-третичного бутилфенилметакрилата, полученного при 100° за 15 мин.

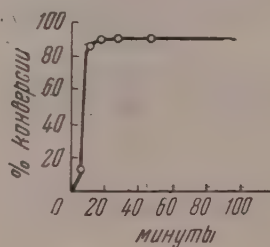


Рис. 4. Конверсия п-третичного бутилфенилметакрилата, полученного при 100° за 15 мин.

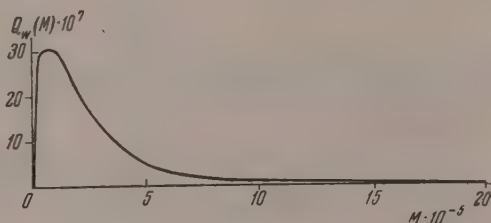


Рис. 6

Рис. 6. Молекулярно-весовое распределение п-третичного бутилфенилметакрилата, полученного при 100° за 15 мин.

нагреву при небольшом изменении соотношения между полимером и мономером. Это означает, что в полимеризующейся системе разворачиваются процессы, приводящие к своего рода постепенному «затормаживанию»



полимеризации; при подъеме же температуры происходит «оживление» реакции, за которым следует новое затормаживание, и т. д. В отличие от этого полимеризация двух других образцов протекала равномерно.

Следующий этап исследования, необходимый для объяснения изложенных особенностей полимеризации п-третичного бутилфенилметакрилата, состоял в исследовании функций распределения по молекулярным весам. Теория соответствующего метода, основанного на применении ультрацентрифуги, была подробно описана в работах [3—5] и вкратце сводится к следующему.

За счет различия молекулярных весов макромолекулы растворенного полимера, помещенные в мощное центробежное поле (порядка  $10^5g$ ), седиментируют, образуя непрерывный спектр масс, могущий при помощи специального оптического устройства

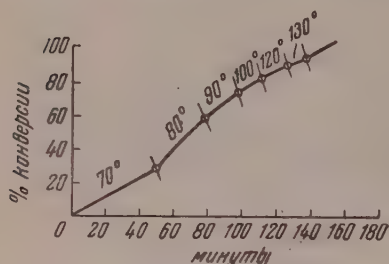


Рис. 7. Конверсия п-третичного бутилфенилметакрилата «промежуточного» образца

быть снятым на фотопластинку [6] в виде дифференциального распределения концентрации  $c$  в направлении действия центробежной силы  $\omega^2 x$ , где  $\omega$  — угловая скорость ротора ультрацентрифуги,  $x$  — расстояние от оси вращения. Аналитическое выражение этого распределения имеет вид:

$$f(x) = \frac{dc}{dx} = -\frac{dw}{dx}, \quad (1)$$

где  $\bar{c}$  — средняя концентрация полимера в кювете ультрацентрифуги,  $dw$  — весовая доля макромолекул, находящихся в бесконечно узком интервале  $dx$  на расстоянии  $x$  от оси вращения. Значения  $x$  однозначно определяются соответствующими значениями седиментационных коэффициентов  $s$ ; согласно определению [6],

$$s = \ln\left(\frac{x}{x_0}\right) / \omega^2 t \quad \text{или} \quad x = x_0 \exp(\omega^2 s t). \quad (2)$$

Здесь  $x_0$  — положение мениска (т. е. исходная координата, откуда началась седиментация), а  $t$  — время, прошедшее с момента образования седиментирующей границы; при помощи формулы (2) легко перейти к распределению по седиментационным коэффициентам

$$Q'_w(s) = \frac{dw}{dx} \frac{dx}{ds} = \frac{dw}{dx} \omega^2 x t, \quad (3)$$

причем эту величину для исключения эффекта центробежного разбавления [6] следует еще умножить на  $(x/x_0)^2$ , так что окончательно

$$Q_w(s) = \frac{dw}{ds} = \frac{dw}{dx} \frac{x^3}{x_0^2} \omega^2 t.$$

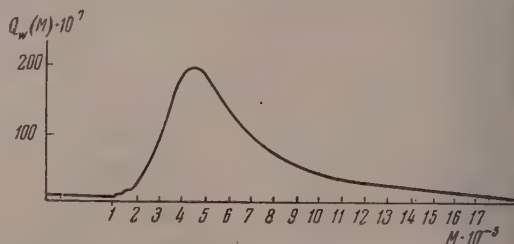


Рис. 8. Молекулярно-вещное распределение п-третичного бутилфенилметакрилата «промежуточного» образца

Соответствующее графическое построение  $Q_w(s)$  делается при нескольких значениях  $t$  через узкие интервалы  $x$  (обычно 0,5—0,25 мм); если при этом точки на графике  $Q_w - s$  ложатся на один контур, без систематического дрейфа, можно быть уверенным, что таким путем получено правильное распределение, не искаженное дополнительными концентрационными или диффузионными эффектами [3,4]. Типичный пример такого построения для п-третичного бутилфенилметакрилата (II) приведен на рис. 10.

Для перехода к распределению по молекулярным весам  $M$

$$Q_w(M) = \frac{dw}{dM} = \frac{dw}{ds} \frac{ds}{dM} \quad (4)$$

необходимо знать зависимость между  $s$  и  $M$ . Как известно [3—5], она имеет вид

$$s = K_s M^{1-a}; \quad 0,5 \leq a \leq 1,0. \quad (5)$$

Поэтому образец п-третичного бутилфенилметакрилата (I) был предварительно фракционирован на 10 фракций (путем осаждения бензином из ацетонового раствора), молекулярные веса трех из этих фракций были рассчитаны по формуле Сведберга

$$M = \frac{s}{D} \frac{RT}{1 - V\rho}, \quad (6)$$

где  $D$  — коэффициент диффузии,  $R$  — универсальная газовая постоянная,  $T$  — абсолютная температура,  $V$  — молярный удельный объем полимера,  $\rho$  — плотность растворителя; параллельно  $M$  определялся путем комбинации  $s$  и  $D$  с характеристической вязкостью  $[\eta]$  [7], и для определения параметров  $K_s$  и  $a$  брались средние значения  $M$ , полученные по обеим формулам. Опыты с фракциями нефракционированными образцами проводились в ацетоне при средних ускорениях  $10^5 g$  и температурах  $15-18^\circ C$ ; при помощи обычных поправок [6] значения  $s$  и  $D$  приводились к стандартной температуре  $20^\circ C$ .

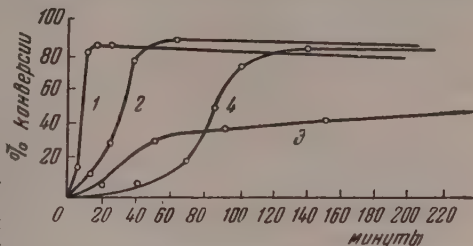


Рис. 9. 1 — п-третичный бутилфенилметакрилат при  $100^\circ$ ; 2 — метилметакрилат при  $100^\circ$ ; 3 — п-третичный бутилфенилметакрилат при  $70^\circ$ ; 4 — метилметакрилат при  $70^\circ$

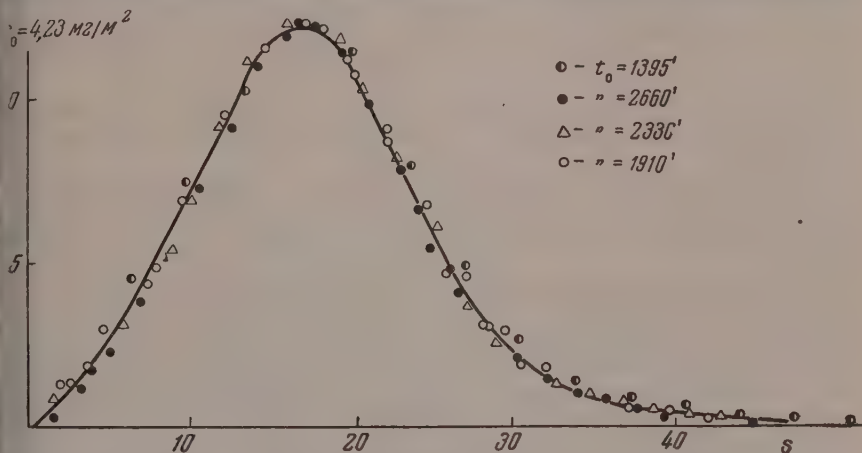


Рис. 10

Ультрацентрифуга и диффузионный аппарат подробно описаны в работах [6] и [8]. Для п-третичного бутилфенилметакрилата определялось стандартным образом

Таблица 4

№ фракции	$s_0$ ед. Сведберга [6]	$[\eta]$ , $\frac{100 \text{ мл}}{г}$	$M$ , $(\pm 0,10) \cdot 10^5$
I	56	1,53	17,20
VIII	29	0,33	3,20
X	21	0,27	1,67

п-третичного бутилфенилметакрилата (I) и (II) при  $\bar{c} = 2 \text{ мг/мл}$ , пересчитывались на  $Q_w(M)$  использованием зависимости

$$\lg s_0 = -1,0014 + 0,444 \lg M, \quad (7)$$

вытекающей из табл. 4, и построенной по ее данным рис. 11

Допущенная благодаря этому погрешность в  $Q_w(M)$  не превышает 5%.

Распределения  $Q_w(M)$  для п-третичного бутилфенилметакрилата (I) и (II) приведены рядом с соответствующими кривыми полимеризации на рис. 3 и 6. Обращает на себя внимание резкое различие функций распределения. Первая из них характеризуется тремя максимумами при  $M = 3,9$

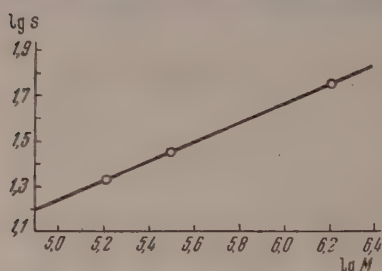


Рис. 11

7,1 и  $11,1 \cdot 10^5$ , тогда как вторая имеет один единственный максимум в сравнительно низкомолекулярной области ( $M \approx 10^5$ ) и очень длинный высокомолекулярный «хвост». п-Третичный бутилфенилметакрилат (III) подробно не исследовался: для него было лишь определено положение максимума при  $M \approx 450\,000$  по седиментационной диаграмме, что этот максимум является единственным. Этих данных все же достаточно для однозначного заключения,

что п-третичный бутилфенилметакрилат (III) действительно занимает промежуточное положение между п-третичными бутилфенилметакрилатами (I) и (II). Его молекулярно-весовое распределение имеет примерно вид, изображенный на рис. 8.

### ОБСУЖДЕНИЕ РЕЗУЛЬТАТОВ

Полимеризация в рассматриваемом случае отличается постепенным затуханием процесса со временем и оживлением при дополнительном подъеме температуры.

Это обстоятельство не вызывает удивления. Нарастание вязкости в системе должно приводить к затуханию всех химических реакций — как самой реакции продолжения цепи, так и реакций между макрорадикалами.

Здесь следует указать, что при полимеризации метилметакрилата процесс развивается несколько иначе. Эта реакция проходит с выраженным гель-эффектом, возникающим при конверсии 10—20%, и резкое затухание процесса наблюдается лишь при конверсии выше 80%. В нашем случае имеется только намек на гель-эффект, а затухание происходит значительно раньше. В литературе высказывалось предположение, что вероятность возникновения гель-эффекта в значительной мере определяется термодинамическим равновесием между мономером и полимером: чем худшим растворителем для полимера является мономер, тем в большей степени (благодаря компактной конфигурации макромолекул) растущий конец цепи заэкранирован собственными сегментами от других растущих цепей. Поэтому резко понижается вероятность эффективных столкновений между макрорадикалами, ведущих к обрыву (кинетической) цепи, в то время как рост цепи продолжается беспрерывно, поскольку вероятность мономеров, диффундирующих внутрь клубка, остается еще очень большой. Подобное положение сохраняется, однако, до определенного предела, когда вязкость системы становится столь большой, что диффузия мономера значительно затрудняется. Положение этого предела различается для различных мономеров и, возможно, определяется стерическими факторами.

При подъеме температуры каждый раз происходит некоторое разжижение системы и «оживление» полимеризации, которая через некоторое время вновь замирает. При этом образец п-третичного бутилфенилметакрилата (I), в котором реакция велась крайне медленно (100 час.), так как подъем температуры осуществлялся трехкратно с большими интервалами времени, сильно отличается от двух других, в которых процесс



меризации шел сравнительно быстро [в п-третичном бутилфенилметакрилате (II) 15 мин., в п-третичном бутилфенилметакрилате (III) — часа].

Характерной особенностью п-третичного бутилфенилметакрилата (I) равнени с другими двумя образцами является наличие трех максимумов молекулярно-вессового распределения, первый из которых к тому же является весьма острым. В соответствии с высказанными в другом месте ретическими соображениями [5] обострение и умножение максимумов текулярно-вессового распределения может иметь место лишь в том случае, если наряду с ростом полимерных цепей разветвляются вторичные цепи: деструкция цепей под действием радикалов, обменные реакции кду макрорадикалами и поарные, тройные и т. д. присоединения готов цепочек. Образование разветвленных цепочек за счет такого присоединения приводит к совершенно иным результатам, нежели разветвление счет передачи цепи на промежуточное звено полимера. Как показывает мой расчет [5], во втором случае никакие дополнительные — а тем же обостренные — максимумы образоваться не могут. Напротив, в первом случае неминуемо возникают новые максимумы, тем более острые, в большей мере на рост цепей накладываются обменные реакции между радикалами. Более того, значения молекулярных вессов в этих максимумах (что тоже можно показать расчетом) должны относиться, как простые кратные целые числа, причем ряд  $M_1 : M_2 : M_3 : \dots$  обязательно начнется с единицы, т. е.

$$M_1 : M_2 : M_3 : \dots = 1 : a : b : c : \dots, \quad (8)$$

$a, b, c$  — целые числа. В цитированной работе [5] приведен ряд примеров таких соотношений. В данном случае также  $M_1 : M_2 : M_3 = 3,9 : 1 : 11 \approx 1 : 2 : 3$ . Это не оставляет сомнений в том, что одновременно олимеризацией шли вторичные реакции.

Совершенно иная картина имела место в случае п-третичного бутилфенилметакрилата (II). При протекании реакции с большой скоростью вязкость катастрофически нарастала. При этом подавленными оказались реакции между макрорадикалами, т. е. не только обменные реакции присоединения, но также и рекомбинация, приводящая к обрыву кинеской цепи. На отсутствие вторичных реакций указывает наличие лишь одного максимума. Что касается обрыва цепи, то, как было показано [5], в условиях полностью подавленной рекомбинации должно установиться «классическое» равновесное распределение по молекулярным ам, описываемое функцией Пуассона; его характерным признаком является соотношение между среднечисленным, средневесовым и  $z$  — ным молекулярным весом  $M_n : M_w : M_z = 1 : 2 : 3$ . Прямой расчет  $x$  величин по  $Q_w(M)$  для п-третичного бутилфенилметакрилата (II) т  $M_n : M_w : M_z = 149\,000 : 287\,000 : 515\,000 \approx 1 : 2 : 3$ , в полном согласии юрней. Близким к пуассонову является и распределение для п-третичного бутилфенилметакрилата (III).

Как уже говорилось, нарастание вязкости является причиной торможения всех химических реакций в системе. В вопросе же о структуре ретирующего продукта главную роль играют вторичные реакции деструкции и присоединения, в которых участвуют макромолекулярные радикалы. В тех случаях, когда процесс перехода от подвижной жидкости зердому телу огромной вязкости протекает быстро, вторичные реакции успевают за короткое время произвести большие искажения цепной уктуры полимера. Чтобы добиться прямых цепей, нужно, следовательно, вести полимеризацию быстро, так, чтобы интервал, в течение орого полимеризующееся вещество остается жидкостью, был пройден возможности быстрее. Медленное проведение полимеризации в тече-



ние многих десятков часов приводит к тому, что макрорадикалы, в жизни которых чрезвычайно сильно возрастает в условиях вязкой среды успевают заметно взаимодействовать с цепями, что дает в итоге деструкцию и присоединения цепей. Полимер п-третичный бутилфенилметакрилат (I) отличается как-раз сильным развитием вторичных процессов, что привело к сложному «гребню» в молекулярно-весовом распределении. Конечно, загущение среды тормозит очень сильно и реакции между макрорадикалами и цепями, однако не следует забывать, что даже небольшое число отдельных актов вторичных реакций сильно изменяет структуру цепей и соответственно молекулярно-весовое распределение.

### ВЫВОДЫ

На основе сопоставления кривых полимеризации и молекулярно-весовых распределений п-третичного бутилфенилметакрилата выявлено значение вторичных реакций между макромолекулярными радикалами. Показано, что вторичные реакции могут приводить к образованию неупорядоченных разветвленных структур. Эти реакции могут быть подавлены в достаточно быстром проведении процесса полимеризации, обеспечиваемом быстрым увеличением вязкости системы. Подавление вторичных реакций приводит к образованию более упорядоченных неразветвленных структур. Следовательно, структуру цепи можно сознательно регулировать, подбирая соответствующий режим полимеризации. В свою очередь, можно полагать, что это позволит в принципе регулировать такие свойства результирующего полимера, как прочность, хрупкость, термостойкость и т. д.

Академия наук СССР  
Институт высокомолекулярных соединений  
Ленинград

Поступила  
28.XII.1955

### ЛИТЕРАТУРА

1. М. М. Котон, Т. В. Шереметева, М. Г. Женеvская, Изв. АН СССР, (принята к печати) 1957.
2. Schulz a. Harborth, Makromolekulare chemie, 127, 1927.
3. С. Я. Френкель, Журн. техн. физики, 24, 2169, 1954.
4. С. Я. Френкель, Усп. физ. наук, 13, 161, 1954.
5. С. Е. Бреслер и С. Я. Френкель, Журн. техн. физики, 25, 2163, 1955.
6. T. Svedberg, K.-O. Pedersen, The Ultracentrifuge, Oxford, Clarendon Press, 1940.
7. P. J. Flory, L. Mandelkern, G. Scheraga, W. Krigbaum, Journ. Chem. Phys., 20, 1393, 1952.
8. П. А. Финногенов, Журн. техн. физики, 20, 480, 1950.

### A STUDY OF THE POLYMERIZATION OF p-tert-BUTYLPHENYLMETHACRYLATE

S. E. Bresler, T. V. Sheremeteva, S. Ya. Frenkel' and M. G. Zhenevskaya

(Leningrad)

#### Summary

A study has been made on the polymerization of p-tert-butylphenylmethacrylate. Comparison of the rate curves and the molecular weight distributions revealed the importance of secondary reactions between the macroradicals. A method has been described for calculating molecular weight distributions from ultracentrifuge sedimentation data. It has been shown that the secondary reactions lead to the formation of branched structures. Inhibition of these reactions giving more ordered linear structures. The side reactions may be inhibited by carrying out the polymerization at sufficiently high rates. The possibility of regulating the mechanical properties of the polymers in the process of the polymerization has been discussed.

## ПОЛЯРИЗАЦИЯ ВНУТРЕННЕЙ ПОВЕРХНОСТИ ТРУБКИ

*О. С. Ксенжек и В. В. Стендер*

В большинстве практических случаев электролиза наряду с микрокинетикой электродных процессов существенную роль играют макрокинетические факторы — геометрические параметры ячейки и электродов, электропроводность электролита и электродов и т. д. Суммарная кинетика электрохимического процесса определяется сочетанием микро- и макрокинетических факторов.

Попыткой учесть их взаимное влияние является, в сущности, представление о рассеивающей способности электролита, широко распространенное в гальванотехнике. Это понятие позволяет, однако, лишь в простейших случаях, и притом только качественно, оценить свойства конкретной электрохимической системы.

Более оправданными, по-видимому, являются методы, основанные на изучении структуры электрического поля в электролизере. Аналитическое решение такой задачи сводится к решению уравнения Лапласа при граничных условиях, определяемых геометрическими параметрами ячейки поляризуемостью электродов. Несмотря на существенные математические трудности, возникающие при рассмотрении такого рода проблем, литературе за последние годы появилось значительное число работ, посвященных изучению пространственного распределения электрохимических процессов [1].

Наряду с точными аналитическими методами построения поля в электролизере развиваются приближенные графо-аналитические методы [2], особенно полезные при сложной конфигурации электродов и ячейки.

Достаточно простым, допускающим точное решение и в то же время представляющим практический интерес, является случай одномерного распределения электрохимического процесса. Примером такого рода может служить рассмотренная А. Н. Фрумкиным задача о распределении коррозионного процесса по длине тонкой трубки [3].

Аналогично решается задача о поляризации пористого электрода [4]. С этой точки зрения трубка может рассматриваться как модель отдельной поры пористого электрода.

В одной из наших прежних работ [5] было показано, что при изучении стационарных и периодических процессов поляризации пористых электродов можно получить некоторые сведения о внутренней структуре таких электродов, в частности о величине их истинной поверхности. Ввиду аналогии, о которой упоминалось выше, исследование поляризации трубки может служить удобным способом экспериментальной проверки теории поляризации пористого электрода. В настоящей работе была сделана попытка такой проверки.

### ТЕОРИЯ ПОЛЯРИЗАЦИИ ТРУБКИ

Рассмотрим условия поляризации внутренней поверхности тонкой электропроводной трубки, ограниченной с одного конца и заполненной электролитом, обладающим сопротивлением  $\rho$  ом на 1 см длины трубки. Обозначая через  $I$  ток, текущий по электролиту в трубке, и через  $\varphi$  — потенциал электролита относительно трубки, получим

$$\frac{d\varphi}{dx} = -\rho I. \quad (1)$$

Переход тока из раствора на поверхность электрода может происходить путем заряжения двойного электрического слоя и путем разряда ионов. Последний процесс подчиняется во многих случаях закономерности [6]:

$$D = 2i_0 \operatorname{sh} \frac{\varphi}{b}, \quad (1)$$

где  $D$  — истинная плотность тока;  $i_0$  — ток обмена;  $b$  — постоянная.

Тогда переход тока определится уравнением:

$$\frac{\partial I}{\partial x} = -C \frac{\partial \varphi}{\partial t} - 2Si_0 \operatorname{sh} \frac{\varphi}{b}, \quad (2)$$

где  $S$  и  $C$  — соответственно поверхность и емкость двойного слоя на единицу длины трубки.

Из (1) и (3) следует

$$\frac{\partial^2 \varphi}{\partial x^2} = C\rho \frac{\partial \varphi}{\partial t} + 2Si_0\rho \operatorname{sh} \frac{\varphi}{b}. \quad (3)$$

Полученное уравнение описывает нестационарные процессы на электроде.

В частном случае, при  $\partial \varphi / \partial t = 0$ , уравнение (4) сводится к уравнению (5), выражающему стационарное состояние поляризованного электрода:

$$\frac{d^2 \varphi}{dx^2} = 2Si_0\rho \operatorname{sh} \frac{\varphi}{b}. \quad (4)$$

Решение уравнения (5) для условий, аналогичных рассматриваемым в настоящей работе, дано А. Н. Фрумкиным [3]. Мы приведем его в несколько иной форме.

Однократное интегрирование (5) с учетом (1), при граничных условиях  $\varphi_{(x=\infty)} = 0$ ;  $I_{(x=\infty)} = 0$  дает:

$$\varphi = 2b \operatorname{Arsh} I \sqrt{\frac{\rho}{8Si_0b}}. \quad (5)$$

В результате вторичного интегрирования при условии  $\varphi_{(x=0)} = \varphi_0$  получаем

$$\varphi_x = 4b \operatorname{Arth} \left[ \exp(-\beta x) \operatorname{th} \frac{\varphi_0}{4b} \right], \quad (6)$$

где  $\beta = \sqrt{2Si_0\rho/b}$ .

Полученным выражением описывается распределение потенциала вдоль трубки при заданном значении потенциала на конце ее  $x = 0$ . Последняя величина может быть найдена из (6) при  $I = I_0$  ( $I_0$  — полная величина поляризующего тока, входящего в трубку).

При малых значениях поляризации ( $\varphi_0 \ll 4b$ ) или  $I_0 \ll \sqrt{8Si_0b}$  уравнения (6) и (7) упрощаются

$$\varphi = I \sqrt{\frac{\rho b}{2Si_0}}$$

и

$$\varphi_x = \varphi_0 e^{-\beta x}.$$

Найдем теперь решение уравнения (4) для нестационарного процесса заряжения трубки током  $I_0$ .

Граничными условиями для этого случая будут

$$\left( \frac{\partial \varphi}{\partial x} \right)_{(0, t)} = -\rho I_0; \quad \varphi_{(x, 0)} = 0.$$

Для упрощения решения допустим, что поляризация электрода достаточно мала, чтобы считать  $\text{sh } \frac{\varphi}{b} \approx \frac{\varphi}{b}$ .

Обозначим

$$\frac{1}{C\rho} = a^2 \quad \text{и} \quad \frac{2i_0}{C'b} = \alpha,$$

где  $C'$  — емкость двойного слоя на единице поверхности.

Введем новую переменную  $\psi = \varphi \exp(\alpha t)$ .

Теперь уравнение (4) приводится к каноническому виду:

$$\frac{\partial \psi}{\partial t} = a^2 \frac{\partial^2 \psi}{\partial x^2}, \quad (10)$$

новыми начальными и граничными условиями:

$$\psi(x, 0) = 0; \quad \left( \frac{\partial \psi}{\partial x} \right)_{(0, t)} = -\rho I_0 e^{\alpha t}.$$

Решением (10) при этих условиях является [7]:

$$\psi(x, t) = I_0 \frac{\rho a}{V\pi} \int_0^t \frac{e^{\alpha \tau}}{V t - \tau} e^{-x^2/4a^2(t-\tau)} d\tau. \quad (11)$$

Переходя от  $\psi$  к  $\varphi$ , получим выражение для потенциала у конца трубки при  $x = 0$

$$\varphi_{(0, t)} = I_0 \frac{\rho a}{V\pi} e^{-\alpha t} \int_0^t \frac{e^{\alpha \tau}}{V t - \tau} d\tau. \quad (12)$$

Выполняя интегрирование, имеем окончательно

$$\varphi_{(0, t)} = I_0 \sqrt{\frac{\rho}{\alpha C}} \Phi(\sqrt{\alpha t}), \quad (13)$$

где  $\Phi(z) = \frac{2}{V\pi} \int_0^z e^{-y^2} dy$  — интеграл ошибок.

Очевидно, что при  $t \rightarrow \infty$  (13) сводится к (8) (при этом следует иметь в виду, что  $C = C'S$ ).

Аналогичным образом может быть найдено решение уравнения (4) для процесса разрядки трубки после предварительной поляризации до установившегося состояния. Начальным условием в этом случае будет дужить уравнение (9), выражающее распределение потенциала по длине трубки, если конец ее заряжен до потенциала  $\varphi_0$ .

Граничным условием является

$$\left( \frac{\partial \varphi}{\partial x} \right)_{(0, t)} = 0.$$

Решение (4) при этих условиях и с учетом допущений, сделанных ранее при рассмотрении процесса зарядки, может быть представлено в виде [7]:

$$\varphi(x, t) = \varphi_0 \sqrt{\frac{C\rho}{\pi t}} e^{-\alpha t} \int_0^x e^{-x^2/4a^2 t} e^{-\beta x} dx. \quad (14)$$

Откуда, выполняя интегрирование в пределах от  $x = 0$  до  $x = \infty$ , получаем [8]

$$\varphi_{(0, t)} = \varphi_0 e^{-2\alpha t} [1 - \Phi(\sqrt{\alpha t})]. \quad (15)$$



Существенный интерес представляет также поляризация электродов переменным током. Этот случай может быть исследован подобным же путем при граничном условии вида:

$$\left(\frac{\partial \varphi}{\partial x}\right)_{(0, t)} = -I_0 \rho \sin \omega t.$$

Проще, однако, воспользоваться векторной формой уравнений. Действительно, ограничиваясь рассмотрением поляризации трубки токами достаточно высокой частоты, при которой током разряда ионов можно пренебречь по сравнению с током заряжения двойного слоя \*, можно записать исходя из закона Ома:

$$\frac{d\bar{\varphi}}{dx} = -\rho \bar{I}, \quad (15)$$

$$\frac{d\bar{I}}{dx} = -j\omega C \bar{\varphi}, \quad (16)$$

где  $\bar{I}$  и  $\bar{\varphi}$  — соответственно векторы тока и потенциала,  $\omega$  — угловая частота поляризующего тока,  $j$  — мнимая единица.

Из (15) и (16) получаем

$$\frac{d^2 \bar{\varphi}}{dx^2} - k^2 \bar{\varphi} = 0, \quad (17)$$

где  $k^2 = j\omega C \rho$ .

Решением (18) является

$$\bar{\varphi} = A e^{-kx}. \quad (18)$$

При  $x = 0$  экспоненциальный множитель равен единице; следовательно, константа интегрирования  $A$  равна вектору потенциала у конца трубки  $\bar{\varphi}_0$

$$\bar{\varphi} = \bar{\varphi}_0 e^{-kx}. \quad (19)$$

Дифференцируя (20) по  $x$  и подставляя производную в (16), получаем

$$\bar{\varphi}_0 = \bar{I} \frac{\rho}{k} e^{kx} = I_0 \frac{\rho}{k} = I_0 \sqrt{\frac{\rho}{2\omega C}} (1 - j). \quad (20)$$

Из (21) следует, что потенциал конца трубки отстает по фазе от поляризующего тока на угол  $\pi/4$ .

Переходя к абсолютным значениям векторов, имеем

$$\varphi_0 = I_0 \sqrt{\frac{\rho}{\omega C}}. \quad (21)$$

Из (22) видно, что величина радикала равна комплексному сопротивлению — импедансу — электрода

$$Z = \sqrt{\frac{\rho}{\omega C}}. \quad (22)$$

Измеряя  $Z$ , можно найти величину емкости

$$C = \frac{\rho}{\omega Z^2}. \quad (23)$$

Выведенные формулы (6), (13), (15) и (24) позволяют определить некоторые характеристики исследуемого электрода, в том числе ток обмена, емкость, пользуясь экспериментальными данными по нестационарной установившейся поляризации.

Приведенные выше выводы могут быть непосредственно распространены на некоторые другие случаи одномерного распределения электрохимических

\* Это условие соблюдается, если  $\omega \gg \alpha$ .

ного процесса, например, на поляризацию пористого электрода. В последнем случае все величины, отнесенные в настоящем расчете к единице длины —  $\rho$ ,  $S$ ,  $C$ , должны быть отнесены к единице объема электрода.

### ЭКСПЕРИМЕНТАЛЬНАЯ ЧАСТЬ

Электролитическая ячейка. Схема устройства ячейки для исследования поляризации трубчатого электрода изображена на рис. 1.

В качестве исследуемого электрода служила никелированная изнутри медная трубка длиной 450 мм и внутренним диаметром 8,0 мм. В нее коаксиально вставлялась стеклянная трубка диаметром 5,7 мм, запаянная с нижнего конца и имеющая тонкий отросток с отверстием. Стеклянная трубка служила электролитическим ключом и могла свободно передвигаться вдоль медной трубки. На конец медной трубки надевались винипластовые муфты, служащие для направления центральной стеклянной трубки. Внутренняя поверхность верхней муфты на 2,5 см удлиняла внутреннюю поверхность трубки, благодаря чему уменьшалось искажение электрического поля у конца трубки.

Электролитом служил  $\sim 0,1 N$  раствор  $NaOH$ , приготовленный на дважды перегнанной воде и очищенный обработкой активированным углем и катодной поляризацией в течение 48 час. Удельное сопротивление электролита —  $49,7 \Omega \text{ см}$ . Сопротивление электролита в кольцевом зазоре между внутренней поверхностью медной трубки и стеклянной трубкой —  $\rho = 49,7 : 0,245 = 203 \Omega \text{ см}^{-1}$ , где  $0,245 \text{ см}^2$  — сечение кольцевого зазора.

В качестве электрода сравнения был применен окиснортутный электрод в том же растворе.

Опыты проводились в атмосфере водорода, с протоком электролита через трубку со скоростью около 1 мл/мин при температуре  $20 \pm 1^\circ$ .

Перед опытами электрод катодно поляризовался в течение суток. Анодом при предварительной поляризации служила никелевая проволока, протянутая вдоль оси трубки.

Снятие поляризационных характеристик. Снятие поляризационных кривых для трубчатого электрода производилось по обычной схеме. Трубка включалась катодом. Сила поляризующего тока регулировалась последовательно включенным сопротивлением в 100 000  $\Omega$  и делителем напряжения и измерялась микроамперметром на два предела — 750  $\mu A$  и 7,5 мА. Потенциал измерялся потенциометром типа ППТВ-1.

Отверстие электролитического ключа при измерении поляризации располагалось на уровне верхнего края трубки. При измерениях потенциала в глубине трубки центральная стеклянная трубка опускалась с таким расчетом, чтобы отверстие ключа находилось на расстоянии 5, 10, 20, 40, 100 и 300 мм от верхнего конца трубки.

Снятие кривых заряжения и разряжения. Схема для получения кривых заряжения и разряжения трубчатого электрода изображена на рис. 2.

Поляризующая цепь, такая же как и при снятии поляризационных характеристик, состояла из аккумулятора на 80V, замкнутого на реостат в 10 000  $\Omega$ . Часть напряжения с него через безиндукционное переменное сопротивление в 100 000  $\Omega$  и микроамперметр подавалось на ячейку.

Измеряемое напряжение от катода и электрода сравнения через контрольный гальванометр поступало на вход усилителя постоянного тока. Усилитель двухкаскадный, с катодной нагрузкой в цепи первой лампы, имел максимальный коэффициент усиления 6 мА/V и от измерительной цепи потреблял ток менее  $10^{-7}$  А. Питание анодных и накальных цепей усилителя производилось от аккумуляторов.

На выход усилителя включался шлейфовый осциллограф типа МПО-2 и контрольный миллиамперметр.

Вся схема тщательно экранировалась, экран заземлялся.

Характеристика системы усилитель — осциллограф строго линейна при входном напряжении до 2,5V и отклонении луча осциллографа  $\pm 19 \text{ мм}$ .

Пример снятых осциллограмм производился после увеличения на фотобумагу до размеров  $13 \times 18 \text{ см}$  или непосредственно при помощи спектропроектора с 20-кратным увеличением.

Масштаб осциллограмм по оси времени задавался метчиком с собственной частотой 500  $\mu\text{с}$  или подачей на один из шлейфов тока от сети с частотой 50  $\mu\text{с}$ . По оси потенциалов масштаб устанавливался специальной отметкой, получаемой при включении усилителя на потенциометр.

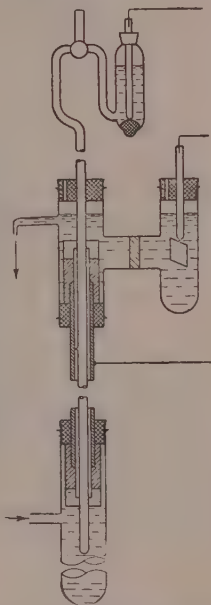


Рис. 1. Устройство ячейки для исследования поляризации трубки

Общий вид осциллограмм заряжения и разряжения изображен на рис. 3.

Поляризующий ток включался после 10—30-минутного «отдыха» электрода, в течение которого устанавливался практически постоянный потенциал. Предварительная поляризация перед снятием кривых разряжения длилась 8—10 мин.

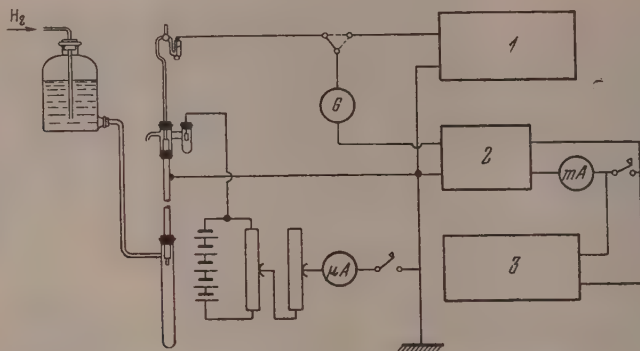


Рис. 2. Схема установки для снятия кривых заряжения.  
1 — потенциометр; 2 — усилитель; 3 — осциллограф

Осциллограммы снимались при скоростях от 4 до 250 мм/сек. Величина поляризующего тока менялась от 40 до 2600  $\mu$ A.

Поляризация переменным током. При поляризации переменным током измерялся импеданс электрода. Схема применявшейся для этого установки изображена на рис. 4. Принцип действия ее основан на определении сдвига фаз между поляризующим током и потенциалом электрода.

Переменный ток от генератора синусоидальных колебаний типа 3Г-10 через разделяющую емкость и переменное сопротивление в 500  $\Omega$  подавался на ячейку.

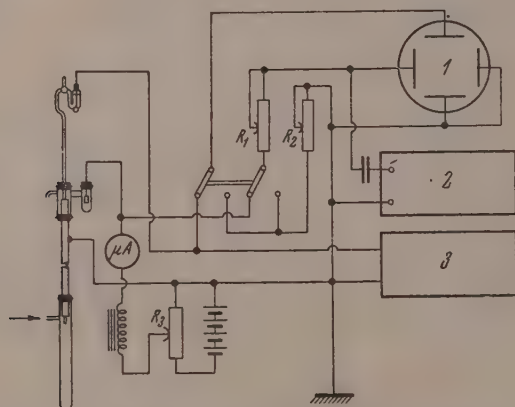


Рис. 4. Схема установки для исследования электрода методом переменного тока. 1 — осциллограф; 2 — генератор; 3 — потенциометр

Величина тока регулировалась таким образом, чтобы переменная составляющая напряжения между исследуемым электродом и электродом сравнения была в пределах 5—25 mV. Это напряжение поступало на вход вертикального усилителя электронного осциллографа типа ЭО-7. Напряжение с переменного сопротивления, совпадающее по фазе с поляризующим током, снималось на горизонтальный вход.

При включенной развертке на экране осциллографа появлялось изображение наклонного эллипса, форма которого зависит от соотношения фаз напряжений, подаваемых на горизонтальный и вертикальный входы.



Рис. 3. Осциллограммы заряжения и разряжения трубки.  
1 — заряжение; 2 — разряжение





Расчет производился по формулам:

$$\frac{B}{A} = \sin \vartheta; \quad (25)$$

$$\frac{1}{\omega C} = \frac{B}{r}; \quad (26)$$

$$R = \frac{B}{r} \operatorname{ctg} \vartheta; \quad (27)$$

$$Z = \sqrt{\left(\frac{1}{\omega C}\right)^2 + R^2}, \quad (28)$$

где  $\vartheta$  — угол сдвига фаз, значения  $A$  и  $B$  ясны из рис. 5,  $R$  — сопротивление электрода,  $r$  — пересчетный коэффициент.

Величина последнего определялась путем включения вместо исследуемой ячейки безиндукционного сопротивления сравнения. При этом эллипс на экране сводился в наклонную прямую. Отношение длины проекции этой прямой на вертикальную ось к величине включенного сопротивления сравнения в омах, равно  $r$ .

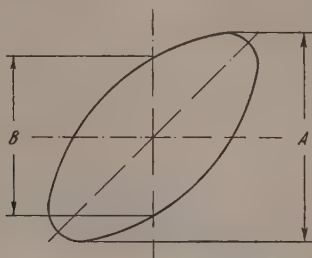


Рис. 5

(Сопротивление сравнения должно составлять не более  $1/100$  от нагрузочного сопротивления и быть одного порядка с сопротивлением ячейки.)

При необходимости измеренная величина  $R$  корректировалась на омическое сопротивление раствора между электродом и электролитическим ключом и в формулу (28) подставлялось исправленное значение.

Кроме цепи переменного тока в схему включалась измерительная цепь с потенциометром и поляризующая цепь постоянного тока, отделенная от цепи переменного тока индуктивностью. Вся схема экранировалась, экран заземлялся.

Примененная схема для измерения емкости и сопротивления электрода, уступающая по точности мостовым схемам, имеет перед последними то преимущество, что позволяет измерять очень большие емкости при отсутствии соответствующих магазинов эталонных емкостей.

Ориентировочно точность метода можно оценить исходя из того, что величины  $A$  и  $B$  могут быть измерены с точностью  $\sim 0,5$  мм. При размерах изображения 50 мм это составит приблизительно 1%. При очень больших и очень малых углах сдвига фаз точность измерения существенно понижается.

Непосредственно измеримые при помощи описанной схемы величины емкостей достигали 3000  $\mu\text{F}$  и, с меньшей точностью при низких частотах — даже 10 000  $\mu\text{F}$  (минимальная величина  $Z$  — порядка десятых долей ома).

Частотная и фазовая характеристики усилителей осциллографа и качество сравнительного магазина сопротивлений позволяли осуществлять измерения в пределах от 20 до 2500  $\text{гц}$ .

Измерения импеданса трубчатого электрода производились при установившемся в данном растворе потенциале.

## ОБСУЖДЕНИЕ РЕЗУЛЬТАТОВ

Результаты измерения поляризации трубчатого электрода изображены на рис. 6, распределение потенциала по длине трубки — на рис. 7.

Рассмотрим подробнее, как получены расчетные кривые, изображенные на этих рисунках сплошными линиями. Уравнения этих кривых (6)

и (7) содержат кроме переменных, определяемых режимом поляризации и свойствами электролита —  $I$  и  $\rho$ , еще величины, зависящие от геометрических параметров и структуры поверхности —  $S$  и характера электродного процесса —  $t$  и  $i_0$ .

Величина коэффициента  $b$  для процесса выделения водорода на никелевом катоде в щелочном растворе близка к 0,043 (при использовании

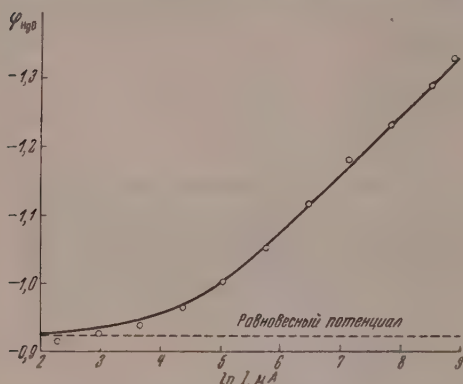


Рис. 6. Поляризационная кривая трубчатого электрода

натуральных логарифмов) [9]. Нетрудно также показать, сравнивая уравнения (2) и (6), что при достаточно большой поляризации наклон кривой  $\varphi - \ln I$  для трубчатого электрода должен быть вдвое больше наклона поляризационной кривой плоского электрода из того же материала в том же электролите. Действительно, угловой коэффициент экспериментальной кривой на рис. 6 при  $I > 20 \mu A$  равен 0,088, что хорошо соответствует удвоенной величине коэффициента  $b$  по литературным данным.

Ток обмена  $i_0$  для исследуемого процесса имеет порядок  $10^{-6} - 10^{-7} A/cm^2$  [9]. Для определения величины  $i_0$  в нашем случае можно воспользоваться формулой (15). Как видно из (15), характер спада поляризации при выключении тока определяется безразмерным фактором  $\alpha t$ . (Величина  $\alpha = 2i_0/bC'$  имеет размерность  $t^{-1}$ .) На рис. 8 изображен график функции  $F = e^{-2\alpha t} [1 - \Phi(\sqrt{\alpha t})]$ . Изменяя масштаб осциллограмм разряджения по оси времени, попытаемся привести их в максимально возможное соответствие с этим графиком. Результат достигается при значении  $\alpha = 1,2$ .

Аналогичным образом можно воспользоваться осциллограммами заряджения, как это изображено на том же рисунке. Хорошее совпадение опытных данных с теоретической кривой наблюдается при поляризации малыми токами, практически до  $160 \mu A$ . При больших значениях поляризации экспериментальная кривая заряджения ложится ниже, а разряджения — выше теоретической.

Из полученного значения  $\alpha$ , находим величину тока обмена \*:

$$i_0 = \frac{1}{2} (\alpha b C') = 4,75 \cdot 10^{-7} A/cm^2.$$

Рассчитаем теперь величину истинной поверхности трубки. Для этого

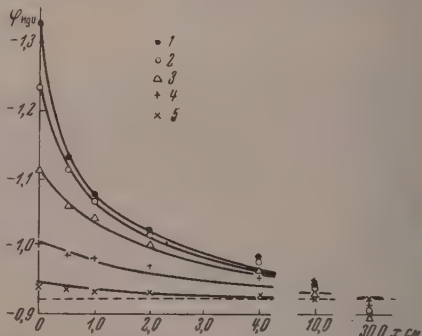


Рис. 7. Распределение потенциала по длине трубки. Пунктирная линия — равновесный потенциал.  $I_0$  равняется: 1 — 7500  $\mu A$ ; 2 — 2600  $\mu A$ ; 3 — 640  $\mu A$ ; 4 — 160  $\mu A$ ; 5 — 40  $\mu A$ .

\* Величина  $C'$  может быть принята равной двойной емкости ( $\sim 18 \mu F/cm^2$ ), так как при малой поляризации, устройке съемке кривых заряджения — разряджения и использовании только начальных участков этих кривых, влияние адсорбционной емкости не должно быть существенным.

можно исходить, например, из формулы (13). Результаты расчета по данным осциллограмм заряжения сведены в таблицу

$I_0, \mu A$	$t, \text{сек.}$	$\varphi, \text{mV}$	$\Phi(\sqrt{at})$	$C, \mu F/\text{см}$	$S, \text{см}^2/\text{см}$
80	0,04	11,2	0,243	505	28,1
80	0,08	15,9	0,339	492	27,4
80	0,16	22,0	0,464	481	26,8
80	0,24	25,9	0,552	491	27,3
160	0,04	22,2	0,243	519	28,8
160	0,08	31,1	0,339	513	28,5
160	0,16	43,1	0,464	500	27,8
160	0,24	51,0	0,543	492	27,4

Определить  $C$ , а следовательно, и  $S$  можно также на основании данных по поляризации электрода переменным током. Эти данные изобра-

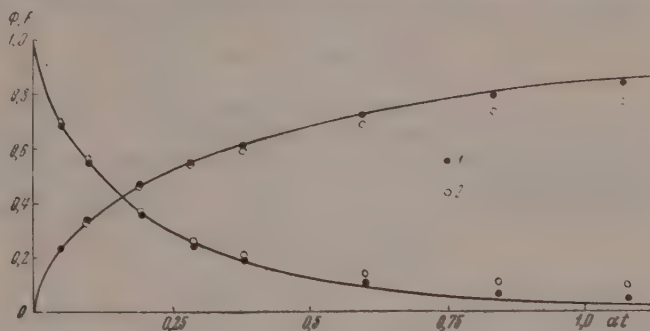


Рис. 8. Графики функций  $\Phi(\sqrt{at})$  и  $e^{-2at}[1 - \Phi(\sqrt{at})]$  (сплошные линии) и экспериментальные данные по заряжению и разряжению трубчатого электрода;  $I_0$  равняется: 1 — 80  $\mu A$ ; 2 — 160  $\mu A$

жены на рис. 9. Как видно из рис. 9,  $1/\omega C$  и  $R$  линейно зависят от  $\omega^{-1/2}$ . Считая, что отрезок, отсекаемый кривой  $R = f(\omega^{-1/2})$  на оси ординат, соответствует сопротивлению электролита, можем написать

$$\frac{1}{\omega C} = \frac{435}{V\omega}, \quad R = \frac{475}{V\omega}.$$

Откуда, учитывая (28), получаем

$$Z = \frac{643}{V\omega}.$$

Подставляя полученное значение импеданса в (24), находим  $C = 490 \mu F/\text{см}$  или  $S = 27,2 \text{ см}^2/\text{см}$ , в близком соответствии с результатами, полученными по методу кривых заряжения.

В пересчете на 1  $\text{см}^2$  внутренней поверхности трубки, получим

$$S_{уд} = 10,8 \text{ см}^2/\text{см}^2.$$

Если сопоставить эту величину с данными Боудена и Райдила [10], которые нашли для свежей никелированной поверхности величину  $12 \text{ см}^2/\text{см}^2$ , а для состаренной —  $9,5 \text{ см}^2/\text{см}^2$ , то, по-видимому, полученный результат можно считать вполне вероятным.



Таким образом мы получили следующие данные:

$$S = 27,2 \text{ см}^2/\text{см}; \quad i_0 = 4,75 \cdot 10^{-7} \text{ А/см}^2;$$

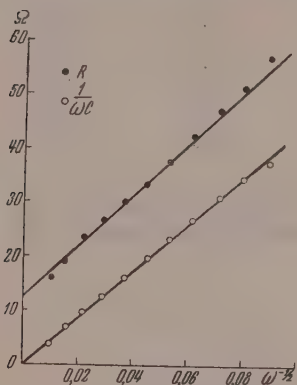
$$C = 490 \text{ мк/см}; \quad b = 0,044.$$

Расчетная поляризационная кривая на рис. 6 построена на основании этих данных по формуле (6). Таким же путем, пользуясь формулой 7, построены расчетные кривые распределения потенциала по длине трубки (рис. 7).

Как видно из рис. 6, экспериментальные точки хорошо ложатся на расчетную кривую.

Для распределения потенциала по длине трубки, совпадение теории с опытом несколько менее удовлетворительное, что связано, по-видимому, с упрощениями, принятыми при выводе основного уравнения (4). Действительно, уравнение (4) строго справедливо для одномерного распространения тока. В нашем же случае — трубка конечного поперечного сечения — это уравнение справедливо лишь приближенно, в той мере, в которой можно считать, что поверхностями равного потенциала в электролите внутри трубки являются плоскости, нормальные к оси трубки. Кроме того, в глубине трубки, где плотность тока очень мала, может сказываться деполаризующее действие следов загрязнений в электролите.

Рис. 9. Зависимость активного и емкостного сопротивления трубчатого электрода от частоты



Результаты, полученные в настоящей работе, подтверждают наши теоретические расчеты и позволяют применить их к изучению пористых электродов, рассматривая трубку как модель такого электрода. Это дает возможность, пользуясь данными по неустановившейся поляризации, находить такие характеристики пористого электрода, как удельная поверхность и ток обмена, определение которых иными методами затруднительно и которые нужны для расчета распределения тока внутри электрода.

Выражаем признательность М. А. Лошкареву за его участие в обсуждении нашей работы.

### ВЫВОДЫ

1. Выведено дифференциальное уравнение неустановившейся поляризации электрода, имеющего форму длинной тонкой трубки, учитывающее зарядение двойного электрического слоя и разряд ионов.
2. Получены решения этого уравнения для случаев зарядения и разрядки электрода и для установившейся поляризации.
3. Рассмотрен случай поляризации трубчатого электрода переменным током.
4. Проведена экспериментальная проверка теории поляризации трубчатого электрода.
5. Методами кривых зарядения и поляризации переменным током найдена величина удельной поверхности электролитически осажденного никеля —  $10,8 \text{ см}^2/\text{см}^2$ .
6. Методом кривых зарядения найдена величина тока обмена для процесса катодного выделения водорода на никеле в  $0,1 \text{ N}$  растворе  $\text{NaOH}$ :  $i_0 = 4,75 \cdot 10^{-7} \text{ А/см}^2$ .
7. Разработанные методы могут служить средством для исследования пористых электродов.

## ЛИТЕРАТУРА

1. C. Wagner, Journ. Electrochem. Soc., 98, 116, 1951; J. Waber, Journ. Electrochem. Soc., 101, 271, 1954.
2. В. П. Машовед, Журн. прикл. химии, 23, 66, 1950; В. П. Машовед, Г. В. Форсблом, Журн. прикл. химии, 22, 1083, 1949.
3. А. Н. Фрумкин, Журн. физ. химии, 23, 1477, 1949.
4. В. С. Даниель-Бек, Журн. физ. химии, 22, 697, 1948.
5. О. С. Ксенжек, В. В. Стендер, ДАН, 106, 487, 1956.
6. А. Н. Фрумкин, В. С. Багоцкий, Э. А. Иофа, В. Н. Кабанов, Кинетика электродных процессов, М., 1952.
7. Ф. Франк, Р. Мизес, Дифференциальные и интегральные уравнения математической физики, Л.—М., 1937.
8. И. М. Рыжик, И. С. Градштейн, Таблицы интегралов, М.—Л., 1951.
9. П. Д. Луковцев, С. Д. Левина, Журн. физ. химии, 21, 599, 1947.
10. S. Brunauer, The Adsorption of Gases and Vapors, I, 284, 1945.

## POLARIZATION OF THE INNER SURFACE OF A TUBE

*O. S. Ksenzhek and V. V. Stender (Dnepropetrovsk)*

## Summary

A theory is presented of the non-stationary polarization of a tube, applicable also to porous electrodes. In the latter case the tube may be regarded as a model of a single pore. With the aid of charging curves and alternating current polarization, data were obtained supporting the theory. The experiments were made with tubes the inner surface of which was nickel-plated. The methods developed may be used to determine the surface area and the exchange current of porous electrodes.

## КИНЕТИКА ЦЕПНОГО ЗАТОРМОЖЕННОГО РАСПАДА ПРОПАНА И ИЗОБУТАНА С УЧАСТИЕМ НЕСКОЛЬКИХ АКТИВНЫХ ЦЕНТРОВ

*А. Д. Степухович и Б. И. Хайкин*

В работе [1] было показано, что учет двух активных центров (H-СН<sub>3</sub>-радикалов) в случае цепного распада этана, заторможенного некоторыми добавками (пропилен, изобутилен и др.) в условиях, когда квадратичным обрывом цепей можно пренебречь, приводит к уравнению для скорости распада  $w$ :

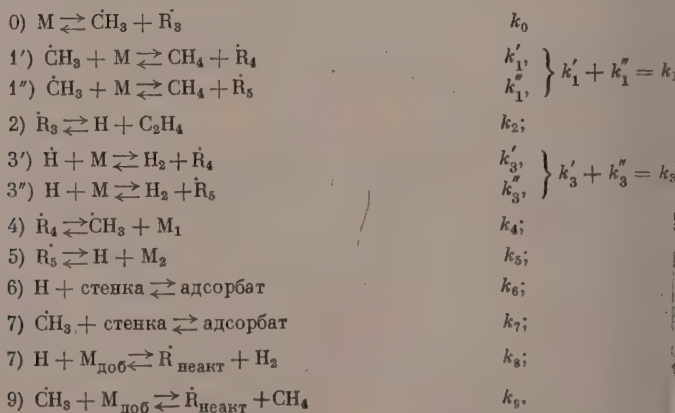
$$\frac{1}{w - w_0} = A' + B'c_{\text{доб}}, \quad (1)$$

которое имеет такой же вид, как ранее полученное и экспериментально подтвержденное уравнение кинетики заторможенного цепного распада парафиновых углеводородов с учетом одного активного центра [2].

В уравнении (1)  $w_0$  — остаточная скорость полностью заторможенного распада,  $c_{\text{доб}}$  — концентрация тормозящей добавки, а  $A'$  и  $B'$  — при фиксированном давлении некоторые постоянные, выражающиеся через константы скорости элементарных реакций. Что касается коэффициента  $B'$ , то он полностью совпадает с коэффициентом  $B$ , входящим в уравнение работы [2], и связан с константой скорости реакции торможения. Коэффициент же  $A'$  может несколько отличаться от коэффициента  $A$ , приводимого в [2], и связан с различным взаимодействием активных центров с стенкой [1].

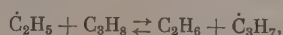
Задачей настоящей работы является распространение уравнения (1) на более сложные углеводороды и, в частности, вывод уравнения, аналогичного (1), для скорости цепного распада пропана и изобутана в присутствии малых тормозящих добавок при участии в процессе двух активных центров.

Для цепного распада пропана и изобутана принимаем следующую общую схему:

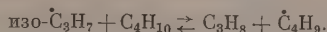


Через  $M$ ,  $M_1$ ,  $M_2$ ,  $\dot{R}_3$ ,  $\dot{R}_4$  и  $\dot{R}_5$  обозначены соответственно молекулы пропана, этилена, пропилена  $\dot{C}_2H_5$ ,  $n\text{-}\dot{C}_3H_7$  и  $изо\text{-}\dot{C}_3H_7$  — радикалы в случае цепного распада пропана и молекулы изобутана, пропилена, изобутилена,  $изо\text{-}\dot{C}_3H_7$ ,  $n\text{-}\dot{C}_4H_9$  и  $изо\text{-}\dot{C}_4H_9$  — радикалы в случае цепного распада изобутана.

В этой схеме цепного распада пропана и изобутана мы пренебрегаем вращательными обрывами цепей (так как рассматривается случай низких давлений), а также образованием этана по реакции:



пропана по реакции:



Введем следующие обозначения для концентраций:  $(H) = (\dot{R}_1)$ ,  $(CH_3) = (\dot{R}_2)$ ,  $(n\text{-}\dot{C}_3H_7) = (\dot{R}_4)$ ,  $(\dot{C}_2H_5) = (\dot{R}_3)$  ( $изо\text{-}\dot{C}_3H_7) = (\dot{R}_5)$ ,  $(\dot{C}_3H_8) = (M)$ ,  $c_{доб} = (x)$  в случае цепного распада пропана и  $(H) = (\dot{R}_1)$ ,  $(CH_3) = (\dot{R}_2)$ ,  $изо\text{-}C_3H_7 = (\dot{R}_3)$ ,  $(n\text{-}\dot{C}_4H_9) = (\dot{R}_4)$ ,  $(изо\text{-}\dot{C}_4H_9) = (\dot{R}_5)$ ,  $(C_4H_{10}) = (M)$  и  $c_{доб} = (x)$  в случае цепного распада изобутана.

В общем случае, для скорости цепного распада пропана и изменения концентраций промежуточных продуктов со временем, на основании вышеприведенной схемы получаем следующую систему дифференциальных уравнений:

$$w = -\frac{d(M)}{dt} = k_0(M) + k_1(M)(\dot{R}_2) + k_3(M)(\dot{R}_1), \quad (2)$$

$$\frac{d(\dot{R}_i)}{dt} = a_{i0} + \sum_j a_{ij}(\dot{R}_j) \quad j = 1, \dots, 5. \quad (3)$$

В уравнении (3)  $a_{i0}$  — скорости зарождения  $i$ -х промежуточных продуктов, а индекс  $j$  относится к тем  $\dot{R}_j$ , с которыми связано исчезновение или появление радикалов  $\dot{R}_i$ .

Значения  $a_{i0}$  и  $a_{ij}$  находятся из схемы распада пропана и изобутана:

$$a_{11} = -k_3(M) - k_6 - k_8(x), \quad a_{13} = k_2, \quad a_{15} = k_5, \quad a_{20} = k_0(M),$$

$$a_{22} = -k_1(M) - k_7 - k_9(x), \quad a_{24} = k_4, \quad a_{30} = k_0(M), \quad a_{33} = -k_2,$$

$$a_{41} = k'_3(M), \quad a_{42} = k'_1(M), \quad a_{44} = -k_4, \quad a_{51} = k''_3(M), \quad a_{52} = k''_1(M), \quad a_{55} = -k_5.$$

стальные  $a_{ij} = 0$ .

Применяя метод Боденштейна  $\left(\frac{d(\dot{R}_i)}{dt} = 0\right)$ , получим систему алгебраических уравнений, из которой тривиальным путем находятся концентрации  $(\dot{R}_1)$  и  $(\dot{R}_2)$   $(\dot{R}_1) = \frac{\Delta_1}{\Delta}$  и  $(\dot{R}_2) = \frac{\Delta_2}{\Delta}$ , где  $\Delta$ ,  $\Delta_1$ ,  $\Delta_2$  — детерминанты пятого порядка, имеющие значения

$$\Delta = \begin{vmatrix} a_{11} & 0 & a_{13} & 0 & a_{15} \\ 0 & a_{22} & 0 & a_{24} & 0 \\ 0 & 0 & a_{33} & 0 & 0 \\ a_{41} & a_{42} & 0 & a_{44} & 0 \\ a_{51} & a_{52} & 0 & 0 & a_{55} \end{vmatrix} = -k_2 k_4 k_5 \{ [k_6 + k_8(x)] [k_7 + k_9(x)] + \\ + k'_1(M) [k_6 + k_8(x)] + k'_3(M) [k_7 + k_9(x)] \};$$



$$\Delta_1 = \begin{vmatrix} 0 & 0 & a_{13} & 0 & a_{15} \\ -a_{20} & a_{22} & 0 & a_{24} & 0 \\ -a_{30} & 0 & a_{33} & 0 & 0 \\ 0 & a_{42} & 0 & a_{44} & 0 \\ 0 & a_{52} & 0 & 0 & a_{55} \end{vmatrix} = -k_2 k_4 k_5 k_0 (M) [2k_1''(M) + k_7 + k_9(x)];$$

$$\Delta_2 = \begin{vmatrix} a_{11} & 0 & a_{13} & 0 & a_{15} \\ 0 & -a_{20} & 0 & a_{24} & 0 \\ 0 & -a_{30} & a_{33} & 0 & 0 \\ a_{41} & 0 & 0 & a_{44} & 0 \\ a_{51} & 0 & 0 & 0 & a_{55} \end{vmatrix} = -k_2 k_4 k_5 k_0 (M) [2k_3'(M) + k_6 + k_8(x)].$$

Для  $(\dot{R}_1)$  и  $(\dot{R}_2)$  получаем существенно положительные решения

$$(\dot{R}_1) = \frac{k_0(M) [2k_1''(M) + k_7 + k_9(x)]}{[k_6 + k_8(x)] [k_7 + k_9(x)] + k_1''(M) [k_6 + k_8(x)] + k_3'(M) [k_7 + k_9(x)]};$$

$$(\dot{R}_2) = \frac{k_0(M) [2k_3'(M) + k_6 + k_8(x)]}{[k_6 + k_8(x)] [k_7 + k_9(x)] + k_1'(M) [k_6 + k_8(x)] + k_3'(M) [k_7 + k_9(x)]}.$$

Подставляя  $(\dot{R}_1)$  и  $(\dot{R}_2)$  в выражение для скорости (2) и обозначая  $k_0(M) = w$  (скорость первичного распада пропана или изобутана, которая при малых двалениях будет выражаться так, независимо от того происходит распа, гетерогенным путем или гомогенно), получим:

$$\frac{1}{w - w_0} = \frac{1}{w_0(M)} \times$$

$$\times \frac{k_8 k_9(x)^2 + [k_7 k_8 + k_6 k_9 + (k_3 k_1'' + k_6 k_3')(M)](x) + k_6 k_7 + [k_6 k_7 + k_7 k_3](M)}{[k_1 k_8 + k_3 k_9](x) + k_1 k_6 + k_3 k_7 + 2[k_1 k_3' + k_3 k_1'](M)},$$

Введем обозначения:  $A_1 = k_8 k_9$ ,  $B_1 = k_7 k_8 + k_6 k_9 + [k_3 k_1'' + k_6 k_3'](M)$ ,

$$C_1 = k_6 k_7 + [k_6 k_1' + k_7 k_3'](M), \quad A = k_1 k_8 + k_3 k_9,$$

$$B = k_1 k_6 + k_3 k_7 + 2[k_1 k_3' + k_3 k_1'](M).$$

Поделив в выражении для скорости числитель на знаменатель, получим

$$\frac{1}{w - w_0} = \frac{1}{w_0(M)} \frac{A_1}{A}(x) + \frac{1}{w_0(M)} \frac{B - \frac{A_1 B}{A}}{A} + \text{остаток}.$$

Остаток от деления равен:

$$\frac{A^2 C_1 - A B B_1 + B^2 A}{w_0(M) A^2} =$$

$$= \frac{2(k_1 k_3' + k_3 k_1)[k_8 k_9(k_3 k_1' + k_3 k_1'') - k_8^2 k_1 k_1'' - k_6 k_3 k_3'](M)^2 + (k_1 k_8 + k_3 k_9)[k_1 k_3'(k_7 k_8 - k_6 k_9)](M)}{w_0(M) A^2} +$$

$$+ \frac{2(k_1 k_3' + k_3 k_1'')[k_8 k_9(k_1 k_6 + k_3 k_7) - k_6^2 k_1 k_7 - k_9^2 k_3 k_6](M) + k_1 k_3(k_7 k_3 - k_6 k_9)^2}{w_0(M) A^2}$$

и обращается в нуль при условии, если

$$\frac{k_8}{k_9} = \frac{k_3}{k_1},$$

$$\frac{k_8}{k_9} = \frac{k_6}{k_7}.$$

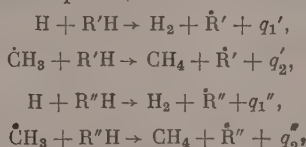
Из соображений кинетики эти условия представляются достаточно вероятными. Действительно,  $k_8$  и  $k_9$  представляют собой константы скорости реакций  $\dot{H}$  и  $\dot{C}H_3$ -радикалов с одной и той же непредельной молекулой добавки, а  $k_3$  и  $k_1$  — константы скорости реакции тех же радикалов молекулой предельного углеводорода. Условие (4) можно представить в виде

$$\frac{s_8}{s_9} e^{-(E_8-E_9)/RT} = \frac{s_3}{s_1} e^{-(E_3-E_1)/RT}. \quad (5)$$

Поскольку реакции торможения и развития цепей однотипны, т. е. представляют собой бимолекулярные реакции отрыва атома  $H$  от непредельной или предельной молекулы, то они характеризуются одинаковым значением отношений стерических факторов, так как в первом приближении эти отношения зависят только от этих радикалов, но не от тех молекул, в которых происходит отрыв атома водорода. Таким образом, поскольку отношения  $s_8/s_9$  и  $s_1/s_3$  равны в первом приближении, равенство отношений констант  $k_8/k_9$  и  $k_3/k_1$  сведется к равенству разностей энергий активаций  $E_8-E_9$  и  $E_3-E_1$ . На основании зависимости Поляни для энергии активации и теплового эффекта реакции

$$\epsilon_0 = A - \alpha q^* \quad (6)$$

разности энергий активаций в первом приближении определяются разностями тепловых эффектов реакций



где через  $R'H$  и  $R''H$  обозначены молекулы непредельных и предельных углеводородов, а через  $q_i'$  — тепловые эффекты реакций. Но разности тепловых эффектов реакции можно представить в виде:

$$\begin{aligned} q_1' - q_2' &= (Q_{H_2} - Q_1) - (Q_{CH_4} - Q_1) = Q_{H_2} - Q_{CH_4}, \\ q_1'' - q_2'' &= (Q_{H_2} - Q_2) - (Q_{CH_4} - Q_2) = Q_{H_2} - Q_{CH_4}, \end{aligned} \quad (7)$$

где  $Q_{H_2}$ ,  $Q_{CH_4}$ ,  $Q_1$  и  $Q_2$  являются энергиями разрыва связи между атомами молекулы водорода и  $C-H$  связей в метане и в молекулах непредельного и предельного углеводорода. Следовательно, на основании (7) равенство отношений  $k_3/k_1$  и  $k_8/k_9$  в первом приближении выполняется.

Несколько особо обстоит дело с условием (5), так как нет еще подробных данных о реакциях обрыва на стенках (в частности для  $\dot{C}H_3$  радикала). Однако опираясь на анализ данных, полученных в [2], можно прийти к заключению о выполнимости условия (5).

Основываясь на равенстве отношений констант, мы можем оценивать некоторые из них, относящиеся еще к мало изученным процессам. Например, если известны константы скорости реакций взаимодействия  $\dot{H}$  и  $\dot{C}H_3$  радикалов с непредельными или предельными молекулами, а также стехиометрическая константа для атомов  $\dot{H}$ , то можно оценить еще плохо известную константу захвата  $\dot{C}H_3$  радикалов теми же стенками\*\*.

Из вышеизложенного следует, что кинетика распада пропана и изобутана будет описываться уравнением вида  $\frac{1}{W-W_0} = A' + B'c_{доб}$ , которое идентично уравнению (1), выведенному для этана в [1].

\* Унифицированный Н. Н. Семеновым [3].

\*\* По расчетам А. Д. Степуховича энергия активации захвата  $\dot{C}H_3$ -радикалов на кварце равна 13,5 ккал, что хорошо согласуется с экспериментальными данными по заторможенному крекингу [2].

## ВЫВОДЫ

1. Выведено кинетическое уравнение заторможенного цепного cracking пропана и изобутана с участием нескольких активных центров.
2. Показано, что уравнение, полученное ранее для этана [1], распространяется и на более сложные углеводороды.
3. Показано, что константы скоростей реакций замещения различных радикалов с одними и теми же предельными или непредельными молекулами в первом приближении находятся в постоянном отношении, что можно использовать для вычислений неизвестных констант.

Саратовский государственный  
университет  
им. Н. Г. Чернышевского

Поступила  
3.1.1955

## ЛИТЕРАТУРА

1. А. Д. Степухович, ДАН, 96, 111, 1954.
2. А. Д. Степухович, ДАН, 89, 889; 90, 213, 1953.
3. Н. Н. Семенов, О некоторых проблемах химической кинетики и реакционной способности, Изд-во АН СССР, Москва, 1954.

KINETICS OF THE MULTI-CENTERED CHAIN RETARDATION OF PROPANE  
AND ISOBUTANE DECOMPOSITION AT LOW PRESSURES

*A. D. Stepukhorich and B. I. Khaikin (Saratov)*

## Summary

It is shown that the kinetic equations for the retarded chain cracking previously derived by Stepukhovich for three active centers (the cracking of ethane) hold also for a case of more complex hydrocarbons, the decomposition of which occurs with the participation of five radicals.

The condition of validity of the equation for propane and butane is that the rate constants of the substitution of various radicals in the same saturated or unsaturated molecules as well as the rate constants of the capture of the radicals by the walls of the vessel are in a constant ratio to each other.

Simple ratios have been obtained between the constants of the reaction of chain development and interruption in space or on the walls. A new method of calculating rate constants of radical capture by the walls from the experimental data on hydrocarbon cracking retarded by the addition of inhibitors has been proposed.

ВЗАИМОДЕЙСТВИЕ ХЛОРНОГО, БРОМНОГО И ЙОДНОГО ОЛОВА  
С НЕКОТОРЫМИ АЛИФАТИЧЕСКИМИ СПИРТАМИ

Ю. Н. Вольнов

Взаимодействие хлорного и бромного олова с алифатическими спиртами изучал Пфейффер [1] препаративным методом. Им выделены и изучены соединения  $\text{SnCl}_4 \cdot 2\text{C}_2\text{H}_5\text{OH}$  и  $\text{SnCl}_4 \cdot 2\text{C}_2\text{H}_5\text{OH}$  [2]. Соединения хлорного олова со спиртами изучались Розенгеймом и Шнабелем [3].

Н. С. Курнаков и Н. К. Воскресенская [4], изучая вязкость и плавкость системы  $\text{SnBr}_4 - \text{C}_2\text{H}_5\text{OH}$ , указывают на образование соединений  $\text{SnBr}_4 \cdot 3\text{C}_2\text{H}_5\text{OH}$  и, по-видимому,  $\text{SnBr}_4 \cdot 2\text{C}_2\text{H}_5\text{OH}$ .

С. В. Рогов, изучая электропроводность и вязкость системы  $\text{SnCl}_4 - \text{C}_2\text{H}_5\text{OH}$ , установил образование соединений  $\text{SnCl}_4 \cdot 4\text{C}_2\text{H}_5\text{OH}$  и  $\text{SnCl}_4 \cdot 2\text{C}_2\text{H}_5\text{OH}$  [5].

В нашей работе криоскопическим методом В. В. Удавенко [6] изучены системы, образованные хлорным, бромным и йодным оловом с метиловым, этиловым, пропиловым, н-бутиловым и изобутиловым спиртами.

Методика работы заключалась в изучении температур замерзания бензольных растворов вышеуказанных компонентов при различных их соотношениях в смесях и построении изоконцентрат:  $\Delta t$  — состав и молекулярный вес — состав [7].

Хлорное олово получено из олова и хлора и очищено многократной перегонкой. Бромное олово получалось пропусканием паров брома над нагретым в фарфоровой трубке оловом и очищено многократной перегонкой. Йодное олово получено при кипячении бензольного раствора возогнанного йода с металлическим оловом и очищено последующими многократными перекристаллизациями из кипящего бензола. От бензола готовый продукт освобожден просушкой в вакууме. Спирты обезвожены окисью кальция и металлическим натрием и очищены многократной перегонкой. Очистка исходных веществ производилась до тех пор, пока их температуры кипения и плавления, удельные веса и коэффициенты преломления не совпали с литературными данными.

На основании данных, полученных при изучении систем: хлорное олово — спирты нами построены изоконцентраты молекулярный вес — состав для концентраций исходных растворов хлорного олова и спиртов в бензоле 0,5; 0,35; 0,25 и 0,10 моль/кг. На ослабшие откладывались молекулярные проценты хлорного олова, рассчитанные по отношению к спирту. Изоконцентраты, молекулярный вес — состав характеризуются острым, не смещающимся при разбавлении максимумом, соответствующим 33,3 мол. % хлорного олова.

На рис. 1 показаны изоконцентраты 0,5; 0,25 и 0,10 моль/кг для системы:  $\text{SnCl}_4 - \text{CH}_3\text{OH}$ . Максимум изоконцентрат снижается при разбавлении растворов. Влияние разбавления на расположение максимумов систем: хлорное олово — этиловый спирт, хлорное олово — пропиловый спирт; хлорное олово — н-бутиловый спирт; хлорное олово — амиловый спирт, совершенно аналогично системе хлорное олово — метиловый спирт.

Изоконцентраты для 0,5 моль/кг вышеперечисленных систем, образованных хлорным оловом, приведены на рис. 2. Их максимумы соответствуют 33,3 мол. %  $\text{SnCl}_4$  и указывают на образование соединений  $\text{SnCl}_4 \cdot 2\text{ROH}$ .

Микроскопическое изучение кристаллической фазы, образующейся при замерзании смешанных бензольных растворов спиртов и хлорного олова, указывает на выпадение эвтектической смеси кристаллов бензола и соединений хлорного олова со спиртами, отличающихся малой растворимостью в бензоле при температуре замерзания. На основании этого следует считать, что высота максимумов и расположение изоконцентрат рис. 2 обусловлены выпадением эвтектики.



Ввиду того что рассчитанные значения молекулярных весов вследствие выпадения эвтектики явно завышены, нами построены изоконцентраты

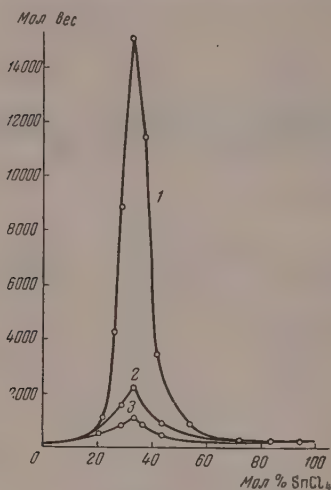


Рис. 1

Рис. 1. Система  $\text{SnCl}_4 - \text{CH}_3\text{OH}$ . 1 — концентрация 0,5 моль/кг; 2 — концентрация 0,25 моль/кг; 3 — концентрация 0,1 моль/кг

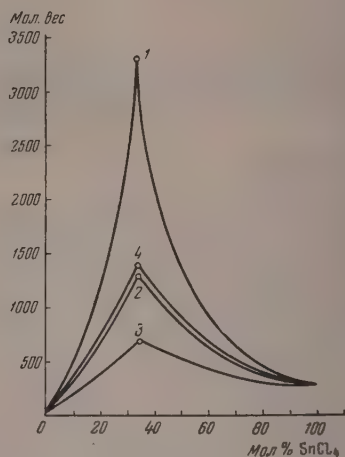


Рис. 2

Рис. 2. Система  $\text{SnCl}_4 - \text{ROH}$  при концентрации 0,5 моль/кг; 1 —  $\text{C}_2\text{H}_5\text{OH}$ ; 2 —  $\text{C}_3\text{H}_7\text{OH}$ ; 3 —  $\text{C}_4\text{H}_9\text{OH}$ ; 4 —  $\text{C}_5\text{H}_{11}\text{OH}$

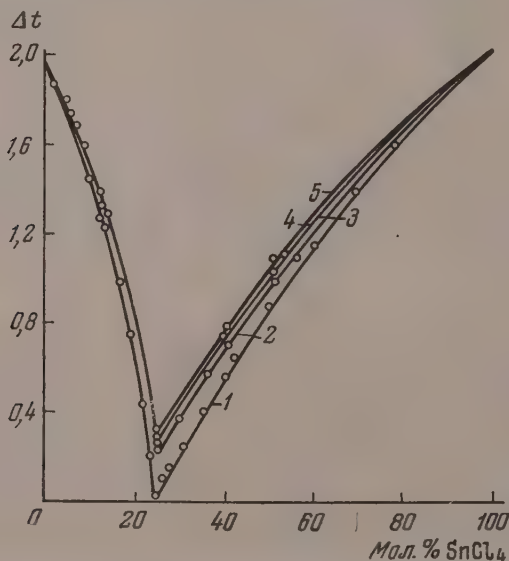


Рис. 3. Система  $\text{SnCl}_4 - \text{ROH}$  при концентрации 0,5 моль/кг; 1 —  $\text{CH}_3\text{OH}$ ; 2 —  $\text{C}_2\text{H}_5\text{OH}$ ; 3 —  $\text{C}_3\text{H}_7\text{OH}$ ; 4 —  $\text{C}_4\text{H}_9\text{OH}$ ; 5 —  $\text{C}_5\text{H}_{11}\text{OH}$ .

$\Delta t$  — состав, изображенные на рис. 3. Их минимум соответствует образованию соединений  $\text{SnCl}_4 \cdot 2\text{CH}_3\text{OH}$ ;  $\text{SnCl}_4 \cdot 2\text{C}_2\text{H}_5\text{OH}$ ;  $\text{SnCl}_4 \cdot 2\text{C}_3\text{H}_7\text{OH}$ ;  $\text{SnCl}_4 \cdot 2 \text{н-C}_4\text{H}_9\text{OH}$  и  $\text{SnCl}_4 \cdot 2 \text{i-C}_5\text{H}_{11}\text{OH}$ .

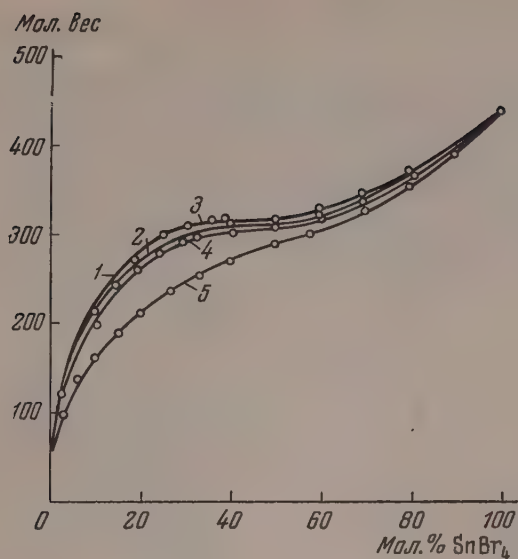


Рис. 4. Система  $\text{SnBr}_4 - \text{ROH}$  при концентрации 0,5 моль/кг; 1 —  $\text{C}_6\text{H}_{11}\text{OH}$ ; 2 —  $\text{C}_4\text{H}_9\text{OH}$ ; 3 —  $\text{C}_3\text{H}_7\text{OH}$ ; 4 —  $\text{C}_2\text{H}_5\text{OH}$ ; 5 —  $\text{CH}_3\text{OH}$

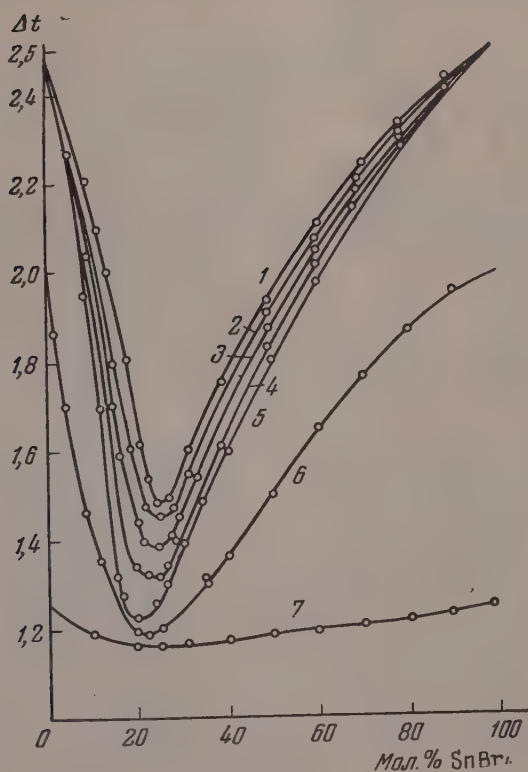


Рис. 5. Система  $\text{SnBr}_4 - \text{ROH}$  при концентрации 0,5 моль/кг; 1 —  $\text{C}_6\text{H}_{11}\text{OH}$ ; 2 —  $\text{C}_4\text{H}_9\text{OH}$ ; 3 —  $\text{C}_3\text{H}_7\text{OH}$ ; 4 —  $\text{C}_2\text{H}_5\text{OH}$ ; 5 —  $\text{CH}_3\text{OH}$ . При концентрации 0,4 моль/кг; 6 —  $\text{C}_6\text{H}_{11}\text{OH}$  и при концентрации 0,25 моль/кг; 7 —  $\text{C}_6\text{H}_{11}\text{OH}$

На основании данных, полученных при изучении систем: бромное олово — спирты, нами построены изоконцентраты: молекулярный вес — состав для 0,5; 0,4; 0,25 и 0,10 моль/кг. На рис. 4 нанесены изоконцентраты для 0,5 моль/кг систем, образованных бромным оловом с метиловым, этиловым, пропиловым, н-бутиловым и изоамиловым спиртами.

Изоконцентраты молекулярный вес — состав изображаются S-образными кривыми, не имеющими максимумов и минимумов. Перегиб кривых лежит около 25 мол. %  $\text{SnBr}_4$ .

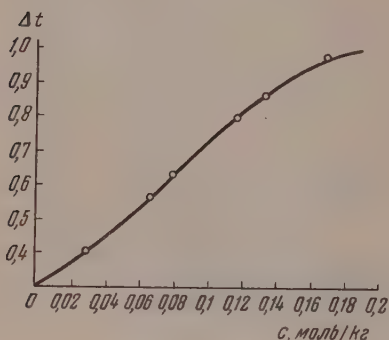


Рис. 6

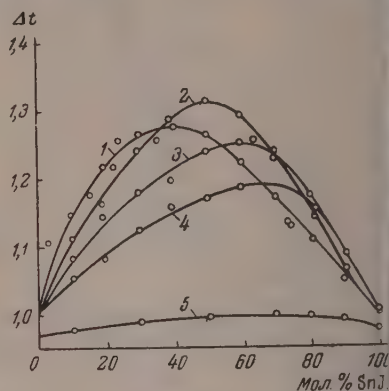
Рис. 6. Система  $\text{SnJ}_4 - \text{C}_6\text{H}_6$ 

Рис. 7

Рис. 7. Система  $\text{SnJ}_4 - \text{ROH}$  при концентрации 0,2 моль/кг. 1 —  $\text{C}_5\text{H}_{11}\text{OH}$ ; 2 —  $\text{C}_4\text{H}_9\text{OH}$ ; 3 —  $\text{C}_3\text{H}_7\text{OH}$ ; 4 —  $\text{C}_2\text{H}_5\text{OH}$  и при концентрации 0,1 моль/кг; 5 —  $\text{C}_2\text{H}_5\text{OH}$

При разбавлении изоконцентраты всех изученных систем, включая бромное олово и спирты, спрямляются. Изоконцентраты:

$\Delta t$  — состав имеют четкий минимум. На рис. 5 изображены изоконцентраты:  $\Delta t$  — состав системы  $\text{SnBr}_4 - \text{CH}_3\text{OH}$  для 0,50; 0,40 и 0,25 моль/кг. Изоконцентрата для 0,5 моль/кг имеет минимум при 20 мол. %  $\text{SnBr}_4$ . При разбавлении минимум смещается и для концентрации 0,25 моль/кг он соответствует 25 мол. %  $\text{SnBr}_4$ . Для остальных систем: бромное олово — спирты при разбавлении наблюдается меньшее смещение минимума изоконцентрат:  $\Delta t$  — состав с 25 мол. %  $\text{SnBr}_4$  в сторону увеличения мол. %  $\text{SnBr}_4$ .

Йодное олово ограничено растворимо в бензоле. Ввиду малой растворимости мы работали с растворами концентрации 0,2 и 0,1 моль/кг.

Как видно из рис. 6, понижение температуры замерзания раствора йодного олова в бензоле нелинейно зависит от концентрации. Наибольшие отклонения от линейности нами наблюдались в интервале концентраций 0,13—0,2 моль/кг. Изоконцентраты:  $\Delta t$  — состав для систем, образованных йодным оловом с этиловым, пропиловым, н-бутиловым и изоамиловым спиртами проходят через плавный максимум.

На рис. 7 изображены изоконцентраты  $\Delta t$  системы:  $\text{SnJ}_4 - \text{C}_2\text{H}_5\text{OH}$  для концентраций 0,2 и 0,1 моль/кг.

Максимум этих изоконцентрат при разбавлении становится плоским и смещается в сторону уменьшения мол. %  $\text{SnJ}_4$ .

Сопоставление изоконцентрат для 0,5 моль/кг остальных изученных систем, включающих йодное олово и спирты, показывает, что с увеличением молекулярного веса и поляризуемости спиртов их максимум смещается в сторону уменьшения мол. %  $\text{SnJ}_4$  (рис. 7).

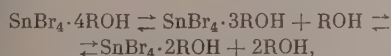
Изоконцентраты: молекулярный вес — состав для этих же систем изображены на рис. 8. Они имеют вид выпуклых к оси состава кривых. При

разбавлении изоконцентраты спрямляются, как видно из приведенного на рис. 8 примера 0,2 и 0,1 моляльных растворов йодного олова и этилового спирта.

Наиболее устойчивыми соединениями в системах: хлорное олово — спирты являются, как это видно из опытных данных, соединения типа  $\text{SnCl}_4 \cdot 2\text{ROH}$ .

Наблюдавшееся С. В. Роговым при изучении электропроводности и вязкости системы  $\text{SnCl}_4 - \text{C}_2\text{H}_5\text{OH}$  соединение  $\text{SnCl}_4 \cdot 4\text{C}_2\text{H}_5\text{OH}$  в бензольных растворах, видимо, полностью диссоциирует и не отражается на изоконцентрах: молекулярный вес — состав и  $\Delta t$  — состав.

В системах  $\text{SnBr}_4$  — спирты наблюдается смещение минимумов изоконцентрат  $\Delta t$  — состав. Это явление можно объяснить смещением равновесий:



при разбавлении раствора в сторону уменьшения числа молекул адденда в комплексе.

Положение минимумов, по нашему мнению, указывает на образование соединений  $\text{SnBr}_4 \cdot 4\text{CH}_3\text{OH}$  и  $\text{SnBr}_4 \cdot 3\text{CH}_3\text{OH}$ , а также  $\text{SnBr}_4 \cdot 3\text{C}_2\text{H}_5\text{OH}$ ;  $\text{SnBr}_4 \cdot 3\text{C}_3\text{H}_7\text{OH}$ ;  $\text{SnBr}_4 \cdot 3\text{C}_4\text{H}_9\text{OH}$  и  $\text{SnBr}_4 \cdot 3i\text{-C}_5\text{H}_{11}\text{OH}$ .

Для системы  $\text{SnBr}_4 - \text{C}_2\text{H}_5\text{OH}$  образование соединения  $\text{SnBr}_4 \cdot 3\text{C}_2\text{H}_5\text{OH}$  установлено Н. С. Курнаковым и Н. К. Воскресенской.

На смещение минимумов изоконцентрат:  $\Delta t$  — состав может оказать влияние процесс электролитической диссоциации образовавшихся комплексных соединений.

Наличие максимумов на изоконцентрах:  $\Delta t$  — состав в системах: йодное олово — спирты указывает на увеличение числа частиц растворенных веществ в системах по сравнению с числом частиц в исходных растворах и спиртах. На диссоциацию йодного олова в бензольных растворах указывает нелинейный характер изоконцентраты  $M$  — состав, вогнутой к оси состава.

Значительное увеличение диссоциации, обуславливающее появление максимумов изоконцентраты  $\Delta t$  — состав в системах:  $\text{SnI}_4 - \text{ROH}$ , происходит, по-видимому, под влиянием образования неустойчивых комплексных соединений йодного олова со спиртами. С увеличением молекулярного веса и поляризуемости молекул спиртов максимум диссоциации смещается в сторону большего избытка спирта.

Приведенные результаты показывают, что атомный вес и поляризуемость иона галогена существенно влияют на комплексообразование в изученных системах. С их увеличением диссоциация комплексных соединений и число молекул адденда в более устойчивом комплексе увеличиваются.

## ВЫВОДЫ

1. Криоскопическим методом изучены системы, образованные хлорным, бромным и йодным оловом с метиловым, этиловым, пропиловым, н-бутиловым и изоамиловым спиртами.

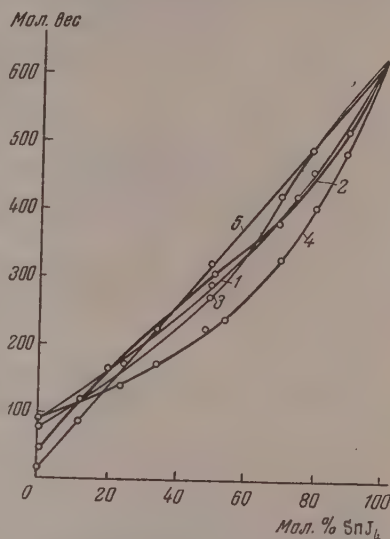


Рис. 8. Система  $\text{SnI}_4 - \text{ROH}$  при концентрации 0,2 моль/кг; 1 —  $\text{C}_2\text{H}_5\text{OH}$ ; 2 —  $\text{C}_3\text{H}_7\text{OH}$ ; 3 —  $\text{C}_4\text{H}_9\text{OH}$ ; 4 —  $\text{C}_5\text{H}_{11}\text{OH}$  и при концентрации 0,1 моль/кг; 5 —  $\text{C}_2\text{H}_5\text{OH}$



2. Хлорное олово со спиртами образует устойчивые соединения типа  $\text{SnCl}_4 \cdot 2\text{ROH}$ .

3. Бромное олово со спиртами образует диссоциирующие соединения  $\text{SnBr}_4 \cdot 3\text{ROH}$ . В системе  $\text{SnBr}_4 - \text{CH}_3\text{OH}$  наблюдается образование соединений  $\text{SnBr}_4 \cdot 4\text{CH}_3\text{OH}$  и  $\text{SnBr}_4 \cdot 3\text{CH}_3\text{OH}$ .

4. Иодное олово диссоциирует в бензольных растворах.

5. В системах, образованных иодным оловом со спиртами, наблюдается диссоциация. С увеличением молекулярного веса и поляризуемости молекул спиртов максимум диссоциации смещается в сторону избытка спирта.

Ленинградский технологический  
институт холодильной промышленности

Поступила  
5.1.1956

#### ЛИТЕРАТУРА

1. P. Pfeiffer, *Organische Molekülverbindungen*, Stuttgart, 1922.
2. P. Pfeiffer, *Zs. anal. Chem.*, 87, 243, 1914.
3. A. Rosenheim u. R. Schnabel, *Ber.*, 38, 2778, 1905.
4. Н. С. Курнаков и Н. К. Воскресенская, *Изв. АН СССР, сер. хим.*, № 4, 797, 1937.
5. С. В. Рогов, *Диссертация Ленингр. педагог. ин-та им. Герцена*, 1954.
6. В. В. Удовенко, *Журн. общ. химии*, 11, 276, 1941.
7. Ю. Н. Вольнов, *Журн. физ. химии*, 29, 1646, 1955.

#### THE REACTION OF TIN CHLORIDES, BROMIDES AND IODIDES WITH SOME ALIPHATIC ALCOHOLS

Yu. N. Vol'nov (Leningrad)

#### Summary

The systems tin [chloride, tin [bromide and tin iodide with methyl alcohol, n-propyl alcohol, n-butyl alcohol and isoamyl alcohol were studied by a cryoscopic method of physico-chemical analysis. The maxima of the molecular weight composition curves for systems with tin chloride correspond to 33.3 molar % tin chloride and bear witness to the formation of the compounds  $\text{SnCl}_4 \cdot 2\text{ROH}$ . Tin bromide forms the compounds  $\text{SnBr}_4 \cdot 4\text{ROH}$  and  $\text{SnBr}_4 \cdot 3\text{ROH}$ .

## К ВОПРОСУ О КИНЕТИКЕ ДЕГИДРОГЕНИЗАЦИИ СПИРТОВ

*А. А. Баландин и С. Л. Киперман*

Согласно представлениям о кинетике гетерогенных каталитических реакций, развитым, главным образом, Гиншельвудом и Швабом [1,2], скорость процесса на однородной поверхности катализатора, если она определяется актом элементарной реакции на поверхности, при отсутствии взаимодействия адсорбированных частиц, выражается уравнением:

$$\omega = k \prod_{(r)} \frac{a_r p_r}{1 + \sum_j a_j p_j}, \quad (1)$$

где  $\omega$  — скорость реакции,  $k$  — константа скорости,  $p_r$  и  $p_j$  — парциальные давления веществ, находящихся в системе, причем индексы  $r = 1, 2, 3$  относятся к исходным веществам, а  $j = 1, 2, \dots, r, \dots$  — ко всем веществам, присутствующим в системе (т. е. также и к продуктам реакции и к постоянным веществам),  $a_r$  и  $a_j$  — постоянные, обычно трактуемые как адсорбционные коэффициенты соответствующих компонентов, экспоненциально связанные с величинами теплот адсорбции компонентов на активной поверхности катализатора. Уравнение (1) вытекает из «закона действия поверхностей» Лэнгмюра [3], без учета множителя, выражающего долю свободной поверхности катализатора.

Экспериментальные данные [4—11] по кинетике дегидрогенизации низших гомологов алифатических спиртов отвечают уравнению:

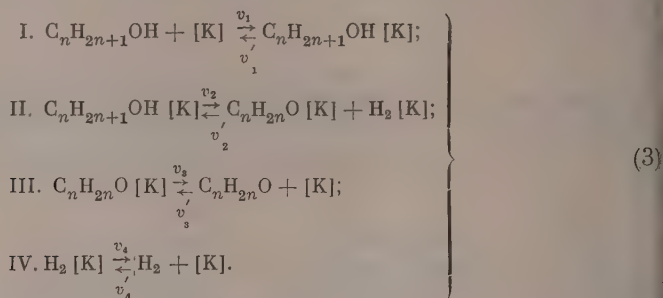
$$\omega = k \frac{a_1 p_1}{1 + \sum_j a_j p_j}, \quad (2)$$

интерпретируемому на основе указанных выше представлений, как вытекающее из уравнения (1), если пренебречь единицей в знаменателе, по сравнению с остальными членами; в соответствии с этим, постоянные  $a_j$  рассматриваются как адсорбционные коэффициенты.

Одним из авторов [14] недавно показано, что уравнения типа (2) справедливы и для процессов дегидрогенизации на энергетически неоднородных поверхностях катализаторов, при условии, если такие поверхности, названные квазиоднородными, характеризуются постоянством соотношения адсорбционных коэффициентов различных компонентов реакции на разных местах поверхности. Последнее условие означает, что теплоты адсорбции любого из компонентов при переходе от одного места квазиоднородной поверхности к другому изменяются одинаково.

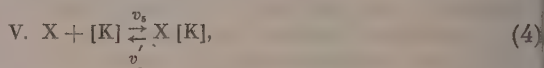
Ниже дается другой, чем в работах [1—11], вывод уравнений кинетики дегидрогенизации спиртов, причем учитывается квазиоднородность поверхности катализаторов; при этом, в отличие от прежней трактовки, сначала не дается предположения о том, что скорость процесса лимитируется той или иной стадией.

Предполагаем процесс дегидрогенизации спирта идущим через следующие стадии, со сравнимыми скоростями:



В схеме (3) символ  $[K]$  обозначает активную поверхность катализатора;  $v_1, v_2, v_3, v_4$  — скорости стадий в прямом направлении, характеризующиеся константами скорости  $k_1, k_2, k_3, k_4$ ;  $v_1', v_2', v_3', v_4'$  — скорости стадий в обратном направлении, с константами скорости  $k_1', k_2', k_3', k_4'$ . Следует иметь в виду, что согласно мультиплетной теории, общая поверхность, занятая образующимися продуктами реакции, в данном случае равна поверхности, занятой исходным адсорбированным веществом, поэтому, хотя реакция и идет с увеличением числа молекул, можно не учитывать, дополнительной доли свободной поверхности катализатора, необходимой для адсорбции продуктов.

Если в системе присутствует постороннее вещество, то к схеме (3) может быть добавлена стадия



принимаемая равновесной (т. е. скорости ее в прямом и обратном направлениях одинаковы).

На основании метода стационарных концентраций Боденштейна считаем поверхностные концентрации компонентов реакции постоянными. Скорость процесса  $d\omega$  на данной  $i$ -ой группе мест квазиоднородной поверхности, характеризующихся величинами теплот адсорбции компонентов от  $(\lambda_j)_i$  до  $(\lambda_j)_i + d\lambda$  ( $d\lambda$  — одна и та же для любого из компонентов, в соответствии с указанной выше закономерностью для квазиоднородных поверхностей), выразим как разность скоростей любой из стадий I — IV, в прямом и обратном направлениях. Величина  $d\omega$  будет также пропорциональна ширине выбранного интервала изменения адсорбционной способности поверхности  $ds$ , являющегося, в свою очередь, функцией  $\lambda$ , т. е.  $ds = \varphi'(\lambda)d\lambda$ . Поэтому

$$d\omega = (v_1 - v_1')_i ds = (v_2 - v_2')_i ds = (v_3 - v_3')_i ds = (v_4 - v_4')_i ds. \quad (5)$$

Будем полагать, для простоты, что реакция идет в таком температурном интервале и таком удалении от равновесия, что  $v_2' \ll v_2$ , т. е.

$$d\omega = (v_1 - v_1')_i ds = (v_2)_i ds = (v_3 - v_3')_i ds = (v_4 - v_4')_i ds. \quad (6)$$

Обозначая доли данной группы мест, занятые спиртом, альдегидом или кетоном (в дальнейшем, мы будем именовать альдегидом тот или иной органический продукт дегидрогенизации спирта), водородом и посторонним веществом, парциальные давления которых равны  $p_1, p_2, p_3, p_4$

ответственно через  $\sigma_1, \sigma_2, \sigma_3, \sigma_4$ , имеем

$$\left. \begin{aligned} (u_1)_i &= (k_1)_i p_1 (1 - \sigma_1 - \sigma_2 - \sigma_3 - \sigma_4); & (v_4)_i &= (k_4)_i \sigma_3; \\ (u'_1)_i &= (k'_1)_i \sigma_1; & (v'_4)_i &= (k'_4)_i p_3 (1 - \sigma_1 - \sigma_2 - \sigma_3 - \sigma_4); \\ (u_2)_i &= (k_2)_i \sigma_1; & (v_5)_i &= (k_5)_i p_4 (1 - \sigma_1 - \sigma_2 - \sigma_3 - \sigma_4); \\ (u_3)_i &= (k_3)_i \sigma_2; & & \\ (u'_3)_i &= (k'_3)_i p_2 (1 - \sigma_1 - \sigma_2 - \sigma_3 - \sigma_4); & (v'_5)_i &= (k'_5)_i \sigma_4; \end{aligned} \right\} (7)$$

где индексы  $i$  показывают, что рассматриваемые величины относятся к той группе мест поверхности. Решая систему уравнений (6) при помощи уравнений (7), после преобразований получаем

$$\omega = \frac{k_2 \left( \frac{k_1}{k'_1} \right) p_1 ds}{\left( 1 + \frac{k_2}{k'_1} \right) + \left( 1 + \frac{k_2}{k_3} + \frac{k_2}{k_4} \right) \frac{k_1}{k'_1} p_1 + \left( 1 + \frac{k_2}{k'_1} \right) \frac{k'_3}{k_3} p_2 + \left( 1 + \frac{k_2}{k'_1} \right) \frac{k'_4}{k_4} p_3 + \left( 1 + \frac{k_2}{k'_1} \right) \frac{k_5}{k'_5} p_4} \quad (8)$$

здесь, для простоты написания, индексы  $i$  опущены.

Для перехода от уравнения (8) к уравнению кинетики на всей квази-однородной поверхности рассмотрим два предельных случая.

Случай 1. Пусть константа скорости дегидрогенизации спирта на поверхности  $k_2$  (стадия II) значительно меньше как константы скорости десорбции неизмененного спирта  $k'_1$  (стадия I в обратном направлении), так и константы скорости десорбции альдегида  $k_3$  (стадия III) и водорода  $k_4$  (стадия IV):

$$k_2 \ll k'_1; \quad k_2 \ll k_3; \quad k_2 \ll k_4.$$

При этом можно пренебречь членами, стоящими в скобках в знаменателе, по сравнению с единицей, и уравнение (8) переходит в следующее

$$\omega = \frac{k_2 \frac{k_1}{k'_1} p_1 ds}{1 + \frac{k_1}{k'_1} p_1 + \frac{k'_3}{k_3} p_2 + \frac{k'_4}{k_4} p_3 + \frac{k_5}{k'_5} p_4} \quad (9)$$

Так как отношение констант скорости адсорбционных стадий в прямом и обратном направлениях представляет собою соответствующий адсорбционный коэффициент, т. е.

$$\left. \begin{aligned} \frac{k_1}{k'_1} &= a_1; & \frac{k'_4}{k_4} &= a_3; \\ \frac{k'_3}{k_3} &= a_2; & \frac{k_5}{k'_5} &= a_4, \end{aligned} \right\} \quad (10)$$

то вместо уравнения (9) имеем

$$\omega = (k_2)_i \frac{(a_1)_i p_1}{1 + (a_1)_i p_1 + (a_2)_i p_2 + (a_3)_i p_3 + (a_4)_i p_4} ds. \quad (11)$$

Это выражение, справедливо и для процесса на всей однородной поверхности (а не для данной группы мест), после интегрирования приобретает вид:

$$\omega = k_2 \frac{a_1 p_1}{1 + a_1 p_1 + a_2 p_2 + a_3 p_3 + a_4 p_4} S, \quad (12)$$

поскольку  $a_1, a_2, a_3, a_4, k_2, \lambda$  не зависят тогда от  $S$ .



Полагая, что  $1 \ll (a_1)_i p_1 + (a_2)_i p_2 + (a_3)_i p_3 + (a_4)_i p_4$ , имеем из уравнения (11)

$$d\omega = (k_2)_i \frac{p_1}{p_1 + \frac{a_2}{a_1} p_2 + \frac{a_3}{a_1} p_3 + \frac{a_4}{a_1} p_4} ds, \quad (13)$$

где члены, стоящие в знаменателе, содержат отношение адсорбционных коэффициентов и потому не зависят от  $s$ , в соответствии с основной закономерностью процессов на квазиоднородных поверхностях. Интегрируя уравнение (13), получаем выражение для скорости реакции на всей квазиоднородной поверхности:

$$\omega = k' \frac{p_1}{p_1 + \frac{a_2}{a_1} p_2 + \frac{a_3}{a_1} p_3 + \frac{a_4}{a_1} p_4}, \quad (14)$$

где

$$k' = (k_2)_0 \int \varphi(s) ds, \quad (14')$$

причем  $(k_2)_0$  — константа скорости на наиболее активных местах поверхности, т. е. часть  $(k_2)_i$ , не зависящая от  $s$ ; функция  $\varphi(s)$  включает в себя часть  $(k_2)_i$ , зависящую от  $s$ ; аналогично этому, далее будут рассматриваться и другие константы.

Таким образом в данном случае получаем кинетические уравнения, совпадающие с уравнением (2).

С л у ч а й 2. Пусть, в противоположность рассмотренному выше, константа скорости дегидрогенизации спирта на поверхности  $k_2$  (стадия II) значительно больше как константы скорости десорбции неизменного спирта (стадия I в обратном направлении), так и константы скорости десорбции альдегида  $k_3$  (стадия III) и водорода  $k_4$  (стадия IV):

$$k_2 \gg k'_1; \quad k_2 \gg k_3; \quad k_2 \gg k_4.$$

Пренебрегая единицей по сравнению с остальными членами в каждом из выражений, стоящих в скобках в знаменателе уравнения (8), получаем

$$d\omega = (k_1)_i \frac{p_1}{1 + \left[ \frac{k'_1}{k_3} + \frac{k'_1}{k_4} \right] \left( \frac{k_1}{k'_1} \right)_i p_1 + \left( \frac{k'_3}{k_3} \right)_i p_2 + \left( \frac{k'_4}{k_4} \right)_i p_3 + \left( \frac{k'_5}{k_5} \right)_i p_4} ds. \quad (15)$$

Это же уравнение в виде:

$$\omega = k_1 \frac{p_1}{1 + \left[ \frac{k'_1}{k_3} + \frac{k'_1}{k_4} \right] \frac{k_1}{k'_1} p_1 + \frac{k'_3}{k_3} p_2 + \frac{k'_4}{k_4} p_3 + \frac{k'_5}{k_5} p_4} s, \quad (15')$$

справедливо для скорости процесса на всей однородной поверхности катализатора, так как постоянные уравнения тогда не зависят от  $s$ .

Для перехода к скорости реакции на всей квазиоднородной поверхности катализатора воспользуемся бренстедовским соотношением между константой скорости и константой равновесия обратных реакций в растворах, впервые примененным М. И. Темкиным [13] к гетерогенным каталитическим процессам, в виде линейного соотношения между энергией активации и теплотой адсорбции на различных местах неоднородной поверхности катализатора. Похожее соотношение в виде пропорциональной зависимости между каталитическим и адсорбционным перенапряжением, как показано одним из авторов [12], оказывается справедливым для процессов на квазиоднородных поверхностях. Примем, что в нашем случае указанное соотношение будет выражать зависимость между тепловым

фектом  $q$  и энергией активации  $E$  соответствующих стадий на данной упне мест квазиоднородной поверхности:

$$\begin{aligned} E_1 &= -\alpha q_1 + C_1; & E'_1 &= \beta q_1 + C_1; \\ E_2 &= -\alpha' q_2 + C_2; & E'_2 &= \beta' q_2 + C_2; \\ E_3 &= \beta'' q_3 + C_3; & E'_3 &= -\alpha'' q_3 + C_3; \\ E_4 &= \beta''' q_4 + C_4; & E'_4 &= -\alpha''' q_4 + C_4. \end{aligned} \quad (16)$$

есть  $\alpha, \alpha', \alpha'', \alpha''', \beta, \beta', \beta'', \beta'''$  — положительные постоянные, причем  $\alpha + \beta = \alpha' + \beta' = \alpha'' + \beta'' = \alpha''' + \beta''' = 1$ , так как  $E'_1 - E_1 = q_1$ ;  $E'_2 - E_2 = q_2$  т. д. Для простоты примем, что в разных стадиях постоянные  $\alpha$  оди-ковы, т. е.  $\alpha = \alpha' = \alpha'' = \alpha'''$ . Очевидно, что  $q_1 = \lambda_1$ ;  $q_3 = -\lambda_2$ ;  $q_4 = -\lambda_3$ , е  $\lambda_1, \lambda_2, \lambda_3$  — теплоты адсорбции, соответственно, спирта, альдегида и роода, зависящие от места поверхности;  $q_2 = Q + \lambda_2 + \lambda_3 - \lambda_1$ , потому о в тепловой эффект процесса дегидрогенизации  $Q$  должна быть внесена правка на то, что вещества, участвующие в реакции, адсорбированы поверхности. От зависимости, выражаемой уравнениями (16), переходим зависимости между константами скорости и адсорбционными коэффици-ентами, поскольку вообще  $k = k_0 e^{-E/RT}$  и  $K = K_0 e^{q/RT}$  ( $k_0$  и  $K_0$  — пред-споненциальные члены):

$$\left. \begin{aligned} (k_1)_i &= G_1 (a_1)_i^\alpha; & (k'_1)_i &= G_1 (a_1)_i^{-\beta}; \\ (k_2)_i &= G'_2 K^\alpha \left( \frac{a_2 a_3}{a_1} \right)_i^\alpha = G_2 \left( \frac{a_2 a_3}{a_1} \right)_i^\alpha; & & \\ (k_3)_i &= G_3 (a_2)_i^{-\beta}; & (k'_3)_i &= G_3 (a_2)_i^\alpha; \\ (k_4)_i &= G_4 (a_3)_i^{-\beta}; & (k'_4)_i &= G_4 (a_3)_i^\alpha \end{aligned} \right\} \quad (17)$$

е  $G_1, G_2, G_3, G_4$  — постоянные, не зависящие от места поверхности, — константа равновесия процесса,  $a_1, a_2, a_3$ , как и раньше, — адсорбци-ные коэффициенты. Из уравнений (15) и (17) имеем

$$d\omega = \frac{G_1 (a_1)_i^\alpha p_1}{1 + \left[ \frac{G_1}{G_3} \left( \frac{a_1}{a_2} \right)^{-\beta} + \frac{G_1}{G_4} \left( \frac{a_1}{a_3} \right)^{-\beta} \right] (a_1)_i p_1 + (a_2)_i p_2 + (a_3)_i p_3 + (a_4)_i p_4} ds \quad (18)$$

$$d\omega = \frac{G_1 (a_1)_i^{-\beta} p_1}{\left( \frac{1}{a_1} \right)_i + \left[ \frac{G_1}{G_3} \left( \frac{a_1}{a_2} \right)^{-\beta} + \frac{G_1}{G_4} \left( \frac{a_1}{a_3} \right)^{-\beta} \right] p_1 + \frac{a_2}{a_1} p_2 + \frac{a_3}{a_1} p_3 + \frac{a_4}{a_1} p_4} ds. \quad (19)$$

Согласно оценке Шваба [2] предэкспоненциальная часть  $a_i$  по порядку личины равна  $\sim 10^{-7}$  мм<sup>-1</sup> рт. ст., откуда для  $T = 500^\circ$ , принимая  $= 15\,000 - 25\,000$  кал, имеем порядок величины  $a_1 \sim 1 - 1000$  мм<sup>-1</sup> рт. ст. и порядок величины  $1/a_1 \sim 0,001 - 1$  мм<sup>-1</sup> рт.ст. Пренебрегая величиной  $1/a_1$  в знаменателе, по сравнению с другими членами, получаем уравнение

$$d\omega = \frac{G_1 (a_1)_i^{-\beta} p_1 ds}{p_1 + \frac{a_2}{a_1} l p_2 + \frac{a_3}{a_1} l p_3 + \frac{a_4}{a_1} l p_4}, \dots \quad (20)$$

$$l = \frac{1}{\frac{G_1}{G_3} \left( \frac{a_1}{a_2} \right)^{-\beta} + \frac{G_1}{G_4} \left( \frac{a_1}{a_3} \right)^{-\beta}} \dots \quad (20')$$

в котором опять члены в знаменателе содержат лишь отношения адсорбционных коэффициентов, не зависящие от места поверхности [то же самое получаем, пренебрегая в знаменателе уравнения (18) единицей].

Интегрируя уравнение (20), приходим к уравнению:

$$\omega = \frac{k'' p_1}{p_1 + \frac{a_2}{a_1} p_2 + \frac{a_3}{a_1} p_3 + \frac{a_4}{a_1} p_4} \dots \quad (21)$$

$$k'' = G_1 (a_1)_0^{-\beta} \int \varphi(s) ds, \quad (22)$$

причем  $(a_1)_0$  — адсорбционный коэффициент на наиболее активных местах поверхности, функция  $\varphi(s)$  включает в себя часть  $(a_1)_i$ , зависящую от  $s$ . Аналогично в уравнении (14а)

$$k' = G'_2 K^\alpha \left( \frac{a_2 a_3}{a_1} \right)_0^\alpha \int \varphi(s) ds, \quad (23)$$

где в  $\varphi(s)$  включены части всех постоянных, зависящие от  $s$ .

Как видно, уравнение (21), по форме зависимости от парциальных давлений компонентов не отличается от уравнения (2), однако отличается от него по смыслу постоянных в знаменателе, которые представляют собою не относительные адсорбционные коэффициенты (т. е. отношение адсорбционного коэффициента данного вещества к адсорбционному коэффициенту исходного вещества), как это следует из (2), а более сложные выражения, включающие постоянные бренстедовского соотношения. Таким образом обычная трактовка постоянных в уравнениях кинетики дегидрогенизации спиртов в данном случае оказывается неточной.

Рассмотрим дегидрогенизацию спиртов на меди, когда по литературным данным [4—8] постоянные в знаменателе кинетического уравнения при  $p_1$  и  $p_3$  оказываются равными друг другу, а постоянная при  $p_2$  равна нулю. Это до сих пор трактовалось, как равенство адсорбционных коэффициентов спирта и альдегида. Если рассматривать такой экспериментальный результат с точки зрения уравнения (21), то он означает, что

$$\frac{a_2/a_1}{G_3 \left( \frac{a_1}{a_2} \right)^{-\beta} + G_4 \left( \frac{a_1}{a_3} \right)^{-\beta}} = 1. \quad (24)$$

Если, кроме того,  $a_3 = 0$  (т. е. адсорбция водорода в условиях опыта незначительна), то отсюда следует, что

$$\frac{a_2}{a_1} = \left( \frac{G_1}{G_3} \right)^{1/\alpha} \quad (25)$$

При  $G_1 \approx G_3$  это дает, что  $a_2 \approx a_1$ , т. е. адсорбционные коэффициенты спирта и альдегида равны между собою.

Выражение для кажущейся энергии активации  $E$  может быть получено из уравнений (22), (23) и (17). Для разобранных выше случаев 1 из уравнения (23) получаем

$$E = (E_2)_0 \quad (26)$$

(так как, согласно уравнению (17), следует, что  $G_2 = (k_2)_0 \left( \frac{a_2 a_3}{a_1} \right)_0^{-\alpha}$ , а подынтегральное выражение в уравнении (23) от температуры не зависит) т. е. наблюдаемая энергия активации равна энергии активации химиче-

й реакции дегидрогенизации спирта на поверхности, а именно на более активных участках последней.

Для случая 2 из уравнений (21) и (22) получается, что

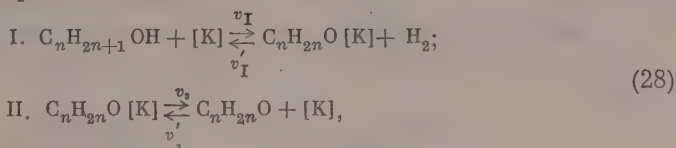
$$E = RT^2 \frac{d \ln k''}{dT} = RT^2 \frac{d \ln G_1}{dT} - \beta RT^2 \frac{d \ln (a_1)_0}{dT},$$

так как из уравнения (17) следует, что  $G_1 = (k_1)_0 (a_1)_0^{-\alpha}$ , то

$$E = (E_1)_0 + (\lambda_1)_0, \quad (27)$$

е. что наблюдаемая энергия активации равна энергии активации орбции спирта с наиболее активных участков поверхности (так как  $E_1 = \lambda_1$ ).

Процесс дегидрогенизации спиртов может быть рассмотрен, кроме того, основе более краткой схемы:



е остальные стадии схемы 3 объединены в суммарную стадию I, скорость торой в прямом направлении —  $v_I$  в обратном —  $v'_I$ , а соответствующие нстанты скорости  $k_I$  и  $k'_I$ . Проводя рассмотрение, аналогичное преды- щему, для  $i$ -ой группы мест квазиоднородной поверхности получаем, с етом обратной реакции

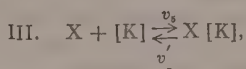
$$d\omega = \frac{(k_I k_3)_i P_1 - (k'_I k'_3)_i P_2 P_3}{(k_3)_i + (k_I)_i P_1 + (k'_3)_i P_2 + (k'_I)_i P_3} ds. \quad (29)$$

з уравнения (29) следует, что при  $d\omega = 0$

$$\left( \frac{k_I k_3}{k'_I k'_3} \right)_i = \frac{P_2 P_3}{P_1} = K = \text{const}, \quad (30)$$

еданное отношение констант скоростей стадий не зависит от места верхности (в соответствии с требованием термодинамики), а зависит ьшь от температуры.

Если в системе присутствует постороннее вещество X, то, добавляя схеме (28) стадию



оторую полагаем равновесной, пренебрегая в знаменателе членом  $\frac{k'_I}{P_3 P_4}$ , по сравнению с другими, приходим к выражению, аналогич-

му (29), но содержащему также в знаменателе член  $\frac{k_3 k_5}{k'_5} P_4$ .

На основании бренстедовского соотношения имеем [ср. выше урав- нение (17)]:

$$\begin{aligned} (k_I)_i &= G_I K^\alpha (a_2)_i^\alpha; & (k'_I)_i &= G_I K^{-\beta} (a_2)_i^{-\beta}; \\ (k_3)_i &= G_3 (a_2)_i^{-\beta}; & (k'_3)_i &= G_3 (a_2)_i^\alpha, \end{aligned} \quad (31)$$



поскольку тепловые эффекты стадий  $q_I = Q + \lambda_2$  ( $Q$  — по-прежнему тепловой эффект реакции,  $\lambda_2$  — теплота адсорбции альдегида),  $q_2 = -\lambda_2$ . Подставляя эти выражения в (29), получаем

$$d\omega = \frac{G_I K^\alpha (a_2)_i^\alpha p_1 - G_I K^{-\beta} (a_2)_i^\alpha p_2 p_3}{1 + \frac{G_I}{G_3} K^\alpha (a_2)_i p_1 + (a_2)_i p_2 + \frac{G_I}{G_3} K^{-\beta} p_3 + (a_4)_i p_4} ds. \quad (32)$$

Пренебрегая, как и раньше, единицей в знаменателе, по сравнению с остальными членами, после преобразования, получаем

$$d\omega = \frac{G_3 (a_2)_i^{-\beta} p_1 - G_3 (a_2)_i^{-\beta} K^{-1} p_2 p_3}{p_1 + \frac{G_3}{G_I} K^{-\alpha} p_2 + K^{-1} (a_2)_i^{-1} p_3 + \frac{G_3}{G_I} K^{-\alpha} \left(\frac{a_4}{a_2}\right) p_4} ds. \quad (33)$$

Так как значение  $K$  велико (равновесие сминуто вправо), а значение  $(a_2)_i^{-1} p_3$  невелико, то членом  $K^{-1} (a_2)_i^{-1} p_3$  в знаменателе можно пренебречь по сравнению с остальными, которые, как видно, не зависят от места квазигоднородной поверхности. Поэтому, интегрируя уравнение (33), получаем

$$\omega = \frac{[G_3 (a_2)_0^{-\beta} p_1 - G_3 (a_2)_0^{-\beta} K^{-1} p_2 p_3] \int \varphi(s) ds}{p_1 + \frac{G_3}{G_I} K^{-\alpha} p_2 + \frac{G_3}{G_I} K^{-\alpha} \frac{a_4}{a_2} p_4}. \quad (34)$$

К такому же уравнению можно прийти от уравнения (32), приняв на данной поверхности катализатора экспоненциальное распределение по теплотам адсорбции и считая, что  $\alpha + 1/n$  близко к единице ( $1/n$  — показатель степени, заданный законом распределения).

Уравнение (34) согласуется с ранее полученными уравнениями, если в них предполагать, что адсорбция водорода мала. Вдали от равновесия уравнение (34) переходит в следующее:

$$\omega = k''' \frac{p_1}{p_1 + \frac{G_3}{G_I} K^{-\alpha} p_2 + \frac{G_3}{G_I} K^{-\alpha} \frac{a_4}{a_2} p_4}, \quad (35)$$

где

$$k''' = G_3 (a_2)_0^{-\beta} \int \varphi(s) ds. \quad (35')$$

Как и в ранее рассмотренном случае, здесь постоянные в знаменателе не могут уже трактоваться как исключительно адсорбционные коэффициенты. Их следует рассматривать как отношение констант скоростей соответствующих стадий, которые вместе с тем, в силу бренстедовского соотношения, зависят от адсорбционных коэффициентов.

Ниже сопоставлены значения постоянных в уравнениях кинетики, вытекающие из разных трактовок.

В уравнении (35) отсутствие в знаменателе члена с парциальным давлением водорода может трактоваться как результат определенного соотношения констант скоростей стадий. Экспериментально наблюдаемое равенство друг другу постоянных при  $p_1$  и  $p_2$  при дегидрогенизации спиртов на меди приводит в случае схемы (28) к зависимости:

$$\left(\frac{G_3}{G_I}\right)^{1/\alpha} = K, \quad (36)$$

т. е. указывает на связь постоянных бренстедовского соотношения с константой равновесия.

Энергия активации процесса в данном случае выражается, на основании уравнений (34), (35') и (31), следующим образом:

$$E = (E_3)_0, \quad (37)$$

т. е. она равна энергии активации десорбции альдегида с наиболее активных мест поверхности катализатора.

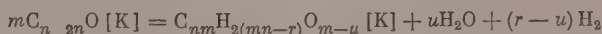
В цитированных выше работах [4—6], а также одним из авторов, при помощи статистико-механического расчета [14], было показано, что для разных низших гомологов спиртов в процессе их дегидрогенизации адсорбционные коэффициенты при переходе от одного гомолога к другому становятся одинаковыми. Кроме того, те же экспериментальные данные [4—6, 20], а также расчет при помощи теории абсолютных скоростей реакции [14], кажутся на приблизительно одинаковые величины скоростей реакции в случае одних и тех же гомологов и на близость имеющих значения энергии активации. С точки зрения изложенных здесь представлений,

#### Постоянные в уравнениях кинетики дегидрогенизации спиртов

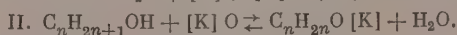
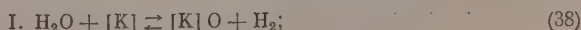
Предшествующие представления	Стадийная схема (3)		Стадийная схема (28)
	Случай 1 [ур-ние (14)]	Случай 2 [ур-ние (21)]	
$\frac{a_2}{a_1}$	$\frac{a_2}{a_1}$	$\frac{a_2}{a_1} \left[ \frac{G_1}{G_3} \left( \frac{a_1}{a_2} \right)^{-\beta} + \frac{G_1}{G_4} \left( \frac{a_1}{a_3} \right)^{-\beta} \right]^{-1}$	$\frac{G_3}{G_1} K^{-\alpha}$
$\frac{a_3}{a_1}$	$\frac{a_3}{a_1}$	$\frac{a_3}{a_1} \left[ \frac{G_1}{G_3} \left( \frac{a_1}{a_2} \right)^{-\beta} + \frac{G_1}{G_4} \left( \frac{a_1}{a_3} \right)^{-\beta} \right]^{-1}$	—
$\frac{a_4}{a_1}$	$\frac{a_4}{a_1}$	$\frac{a_4}{a_1} \left[ \frac{G_1}{G_3} \left( \frac{a_1}{a_2} \right)^{-\beta} + \frac{G_1}{G_4} \left( \frac{a_1}{a_3} \right)^{-\beta} \right]^{-1}$	$\frac{G_3}{G_1} K^{-\alpha} \frac{a_3}{a_2}$
	$G_2 K^{\alpha} \left( \frac{a_2 a_3}{a_1} \right)^{\alpha} \int \varphi(s) ds$	$G_1 (a_1)_0^{-\beta} \int \varphi(s) ds$	$G_3 (a_2)_0^{-\beta} \int \varphi(s) ds$

казанные факты позволяют предположить, что при дегидрогенизации спиртов, односторонних представителей одного и того же гомологического ряда, на данной поверхности катализатора выполняется бренстедовское соотношение с близкими для разных гомологов одинаковой структуры значениями постоянных  $G$ ,  $\alpha$ ,  $\beta$  (если адсорбционные способности гомологов близки друг другу) или, другими словами, что бренстедовское соотношение остается справедливым при переходе от одного гомолога к другому, с близкими значениями постоянных. Можно также думать, что это соотношение имеет существенное значение и для других реакций органического катализа.

Наблюдаемое в некотором температурном интервале действие небольших количеств воды при дегидрогенизации спиртов на меди [4], препятствующее быстрому падению активности катализатора, может быть истолковано, с одной стороны, как результат сдвига влево равновесия быстрой стадии:



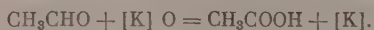
другой же стороны, можно предположить, что параллельно основному процессу реакция в незначительной степени идет по схеме



С этой точки зрения, отравляющее или активирующее действие воды зависит от прочности связи  $[K]O$ : если связь  $[K]O$  прочна, то стадия I схем (38) будет идти быстро, а стадия II — медленно, что будет вести

к отравлению поверхности. Подобное отравляющее действие воды через образование поверхностного окисла катализатора рассмотрено в работе одного из авторов [15]. Промежуточное окисление поверхности катализатора водой наблюдалось, например, при синтезе углеводородов [16]. В определенном температурном интервале энергия связи  $[K]O$  будет оптимальной, стадия II будет идти достаточно быстро, что эквивалентно активизирующему действию воды.

Образование малых количеств уксусной кислоты, наблюдаемое при дегидрогенизации водного этилового спирта на меди [5, 17], может быть объяснено частичным протеканием стадии I схемы (38) с дальнейшей быстрой стадией



Такая схема представляется нам более правдоподобной, чем предложенные ранее [5].

Изложенные здесь представления могут быть перенесены и на процессы дегидрогенизации углеводородов и дегидратации спиртов. С. Я. Пшежецким с сотрудниками недавно рассмотрена дегидрогенизация бутана и бутилена на однородной поверхности катализатора при помощи представления о стадийном протекании процесса [18].

Из нашего рассмотрения видно, что для всестороннего изучения механизма гетерогенных каталитических реакций недостаточно только кинетических данных. Не исключено, что для разных веществ в разных условиях могут реализоваться различные механизмы, указанные выше. Экспериментальные данные, позволяющие выбрать ту или другую схему, к сожалению, отсутствуют, однако случаю I отвечает, например, известный экспериментальный факт (для родственного процесса дегидрогенизации углеводородов), что при отравлении осмиевого катализатора скорость дегидрогенизации молекул декалина [8, 19] составляет всего 0,04 от скорости их испарения с поверхности, т. е.  $k'_1 \gg k_2$ , как того и требует указанная схема. Очевидно, что для полного доказательства механизма реакции необходимо проведение дальнейших экспериментальных исследований, например, при помощи меченых атомов.

### ВЫВОДЫ

Рассмотрена кинетика дегидрогенизации спиртов на квазиоднородной поверхности катализатора на основе предположения о стадийном протекании процесса.

Получены уравнения кинетики, согласующиеся с экспериментальными данными, отличающиеся от предшествующих уравнений трактовкой постоянных.

Высказано предположение, что бренстедовское соотношение между энергией активации и тепловым эффектом соответствующих стадий процесса сохраняется для реакций одноклассных гомологов на данной поверхности катализатора с приблизительно тем же значением постоянных этого соотношения.

Предложено объяснение активизирующего действия воды при дегидрогенизации спиртов на меди, а также образования при этом малых количеств уксусной кислоты.

Академия наук СССР  
Институт органической химии  
им. Н. Д. Зелинского  
Москва

Поступила  
7.I.1956

### ЛИТЕРАТУРА

1. Ч. Н. Гинзельвуд, Кинетика газовых реакций, ГТТИ, М. — Л., 1933; Г. М. Шваб, Катализ с точки зрения химической кинетики, ГХТИ, Л., 1934.
2. Г. М. Шваб, О механизме контактного катализа, Сборник «Катализ. Вопросы теории и методы исследований», ИИЛ, М., 1955, стр. 25.

3. I. Langmuir, Journ. Amer. Chem. Soc., 38, 2221, 1916.
4. А. Х. Борки и А. А. Баландин, Zs. phys. Chem., B33, 55, 73, 435, 443, 1936.
5. А. Х. Борки и М. И. Дарыкина, Журн. физ. химии, 9, 330, 1937.
6. А. Х. Борк, Журн. физ. химии, 11, 109, 1936; 13, 421, 1939; 14, 1288, 1940.
7. А. Х. Борк, Acta Phys.-chim URSS, 11, 409, 1939.
8. А. А. Баландин, Журн. физ. химии, 14, 1160, 1940.
9. А. А. Агрономов, Вестн. МГУ, № 2, 109, 1951.
10. А. А. Баландин и Е. И. Клабуновский, ДАН, 98, 783, 1954.
11. Н. З. Котелков, Журн. прикл. химии, 27, 63, 1954.
12. А. А. Баландин, ДАН, 93, 55, 273, 475, 1953.
13. М. И. Темкин, Журн. физ. химии, 15, 296, 1941.
14. А. А. Баландин, ДАН, 63, 535, 1948.
15. С. Л. Киперман, Журн. физ. химии, 28, 389, 1954.
16. А. Н. Башкиров, Ю. Б. Каган, Ю. Б. Крюков, Р. М. Федорович, М. И. Хотимская, Тр. Института нефти АН СССР, 4, 151, 1954.
17. W. G. Palmer, Proc. Roy. Soc., A99, 442, 1921.
18. С. Я. Пшежецкий, С. Д. Любарский, Н. А. Щеглова, С. К. Мериляйнен, Журн. физ. химии, 28, 1458, 1954.
19. А. А. Баландин, Zs. phys. Chem., B9, 49, 1930.
20. J. Brihta, P. Luetic, Croat. chem. acta, 28, 93, 1956.

## ON THE KINETICS OF THE DEHYDROGENATION OF ALCOHOLS

*A. A. Balandin and S. L. Kiperman (Moscow)*

### Summary

A kinetic treatment has been made of the dehydrogenation of alcohols on a quasi-homogeneous catalytic surface, based on the assumption that the process occurs in stages.

The kinetic equations derived are in agreement with experiment and differ from previous equations in the interpretation of the constants.

It has been suggested that the Brønsted relation between the activation energy and heat effect of the respective stages of the reaction holds for the reactions of the same homologous series on the given catalyst surface with approximately the same values for the constants.

An explanation has been advanced of the activating action of water in the dehydrogenation of alcohols on copper, as well as of the formation during the reaction of small amounts of acetic acid.



## ФУНКЦИЯ РАСПРЕДЕЛЕНИЯ ДЛЯ СИСТЕМ, НАХОДЯЩИХСЯ В ОДНОРОДНОМ ВНЕШНЕМ ПОЛЕ И СОДЕРЖАЩИХ ПЕРЕМЕННОЕ ЧИСЛО ЧАСТИЦ

**В. П. Скрипов**

В любой реальной системе тепловое движение приводит к флуктуациям термодинамических параметров. Средние значения этих флуктуаций можно связать с величинами, измеряемыми на опыте, если известна функция распределения для системы. Установление указанной связи позволяет оценивать величину средних флуктуаций, а также раскрывает статистический смысл термодинамических величин. Наиболее общим случаем является такой, когда система может обмениваться с окружающей средой не только энергией, но и частицами разных сортов. При постоянстве объема системы этому случаю соответствует большое каноническое распределение Гиббса [1]:

$$w(N_1, \dots, N_h, p_1, \dots, p_s, q_1, \dots, q_s) d\Gamma = \frac{1}{\prod_{i=1} N_i!} e^{(\Omega + \sum_{i=1}^h \mu_i N_i - E)/\theta} \quad (1)$$

Здесь  $w$  — плотность вероятности;  $N_1, \dots, N_h$  — числа частиц различных сортов в системе;  $\mu_1, \dots, \mu_h$  — химические потенциалы;  $p_1, \dots, p_s$  — обобщенные импульсы, а  $q_1, \dots, q_s$  — обобщенные координаты частиц;  $d\Gamma = dp_1 \dots dp_s dq_1 \dots dq_s$ ;  $\theta = kT$  — модуль распределения. Энергия системы  $E$  — функция микроскопических переменных  $p, q$  и, кроме того, термодинамических параметров  $x_i$  (например,  $x_i = V$ ). Частные производные  $\partial E / \partial x_i$  дают со знаком минус мгновенные значения соответствующих сил ( $\partial E / \partial V = -p$ ). Среднее значение энергии  $E$  эквивалентно термодинамическому потенциалу  $U$  — внутренней энергии системы,  $\Omega$  — термодинамический потенциал в переменных  $\theta, \mu, x$ ;  $d\Omega = -SdT - \sum_k X_k dx_k - \sum_i N_i d\mu_i$ .

Этот потенциал имеет вид:  $\Omega = - \sum_k X_k x_k$ , в частности,  $\Omega = -pV$ .

Если рассмотреть случай, когда система находится не при постоянном объеме, а при постоянном давлении или в других постоянных полях  $X_k$ , то распределение Гиббса (1) должно быть изменено аналогично тому, как это делается для малого канонического распределения [2]. В качестве примера можно указать на смесь химически реагирующих веществ при постоянном давлении или на какую-либо из сосуществующих фаз, взятую как целое. В первом примере число частиц флуктуирует вследствие случайных нарушений химического равновесия, а во втором примере — за счет обмена частицами с другой фазой, т. е. за счет «мгновенных» нарушений фазового равновесия.

Обсудим вопрос о функции распределения для систем, находящихся в однородных внешних полях. Пусть  $h$  — число компонентов,  $N_1, N_2, \dots, N_h$  — числа частиц соответствующих видов в системе. На систему действуют однородные поля, характеризующиеся термодинамическими силами  $X_1, X_2, \dots, X_k$ . Система помещена в термостат, который одновременно может быть и резервуаром частиц. Термодинамические координаты  $x_1, x_2, \dots, x_k$  подвержены флуктуациям. В этом случае энергия системы  $E^*$

зисит, кроме микроскопических переменных еще и от внешних сил, как параметров:

$$E^* = E + \sum_k X_k x_k. \quad (2)$$

сколькү  $\partial E / \partial x_k = -X_k$ , то, составляя дифференциал (2), получим

$$\frac{\partial E^*}{\partial X_k} = x_k. \quad (3)$$

Интересующее нас распределение можно записать в следующем виде:

$$w d\Gamma^* = C \frac{1}{\prod_i N_i!} e^{(\sum_i \mu_i N_i - E^*)/\theta} d\Gamma^*. \quad (4)$$

Здесь  $C$  — постоянная относительно  $p$ ,  $q$ ,  $N$ . Она определяется из нормировочного соотношения

$$C \sum_{(N_1, \dots, N_h)} \frac{1}{\prod_i N_i!} \int e^{(\sum_i \mu_i N_i - E^*)/\theta} d\Gamma^* = 1, \quad (5)$$

$$d\Gamma^* = dp_1 \dots dp_s dq_1 \dots dq_s dx_1 \dots dx_k.$$

Число переменных интегрирования в (5) возрастает по сравнению с (1) число макроскопических координат  $x_1, \dots, x_k$ . Это соответствует дополнительным степеням свободы тела, которые обусловлены тем, что  $x_1, \dots, x_k$  не фиксированы. Для случая  $x=V$  такой вопрос рассмотрен Я. И. Френлем [3] в связи с малым каноническим распределением. Вводя вместо другой параметр  $W$ , связанный с  $C$  соотношением  $C = e^{-w/\theta}$ , запишем) в виде:

$$\sum_{(N_1, \dots, N_h)} \frac{1}{\prod_i N_i!} \int e^{(W + \sum_i \mu_i N_i - E^*)/\theta} d\Gamma^* = 1. \quad (6)$$

Суммирование в (6) проводится по всем целым положительным значениям  $N_1, \dots, N_h$ , начиная с нуля, а интегрирование охватывает все возможные состояния системы при заданных числах частиц всех сортов. микросостояния, отличающиеся только перестановкой тождественных частиц, рассматриваются как одно микросостояние. Это обеспечивается множителем  $1/\prod_i N_i!$ . Переноса  $e^{W/\theta}$  в правую часть

$$e^{-W/\theta} = \sum_{(N_1, \dots, N_h)} \frac{1}{\prod_i N_i!} \int e^{(\sum_i \mu_i N_i - E^*)/\theta} d\Gamma^*, \quad (7)$$

мечаем, что  $W$  должна быть функцией от  $\theta$ ,  $\mu$ ,  $X$ , которые остаются постоянными при интегрировании и суммировании.

Для целей статистической термодинамики важно получить в явном виде выражение полного дифференциала величины  $W = W(\theta, \mu, X)$  и показать возможность перехода от (7) к основному термодинамическому соотношению

$$dU = T dS - \sum_k X_k dx_k + \sum_i \mu_i dN_i. \quad (8)$$

Составим полный дифференциал от (7), умножим обе части полученного равенства на  $e^{W/\theta}$  и примем во внимание, что  $E^* = E + \sum_k X_k x_k$ ,  $\partial E^* / \partial X_k = x_k$ ,

тогда получим по определению средних значений

$$dW = \frac{W + \sum_i \mu_i \bar{N}_i - \bar{E} - \sum_k X_k \bar{x}_k}{\theta} d\theta - \sum_i \bar{N}_i d\mu_i + \sum_k \bar{x}_k dX_k. \quad (9)$$

Величину, стоящую в показателе экспоненты (6), можно назвать, следуя Гиббсу, показателем вероятности фазы. Введем для нее специальное обозначение

$$\frac{W + \sum_i \mu_i N_i - E - \sum_k X_k x_k}{\theta} = -\sigma. \quad (10)$$

Тогда (9) примет вид:

$$dW = -\bar{\sigma} d\theta - \sum_i \bar{N}_i d\mu_i + \sum_k \bar{x}_k dX_k. \quad (11)$$

Покажем, что  $\bar{\sigma}$  имеет смысл энтропии системы. Составим полный дифференциал усредненного выражения (10) и исключим из него  $dW$  при помощи (11), получим

$$d\bar{E} = \theta d\bar{\sigma} - \sum_k X_k d\bar{x}_k + \sum_i \mu_i d\bar{N}_i. \quad (12)$$

Это вполне аналогично основному термодинамическому соотношению (8). Учитывая, что  $\theta = kT$ , можно положить  $k\bar{\sigma} = S$  и переписать (11)

$$dW = -S dT - \sum_i \bar{N}_i d\mu_i + \sum_k \bar{x}_k dX_k. \quad (13)$$

Таким образом  $W$  — новая термодинамическая функция. Ее частные производные по  $T$ ,  $\mu$ ,  $X$  имеют простой физический смысл:

$$\left(\frac{\partial W}{\partial T}\right)_{\mu, X} = -S, \quad \left(\frac{\partial W}{\partial \mu_i}\right)_{T, X} = -\bar{N}_i, \quad \left(\frac{\partial W}{\partial X_k}\right)_{T, \mu} = \bar{x}_k. \quad (14)$$

Если воспользуемся равенством перекрестных производных в (13), то будем иметь следующие соотношения:

$$\begin{aligned} \left(\frac{\partial S}{\partial \mu_i}\right)_{T, X} &= \left(\frac{\partial \bar{N}_i}{\partial T}\right)_{\mu, X}, & \left(\frac{\partial S}{\partial X_k}\right)_{T, \mu} &= \\ &= -\left(\frac{\partial \bar{x}_k}{\partial T}\right)_{X, \mu}, & \left(\frac{\partial \bar{N}_i}{\partial X_k}\right)_{T, \mu} &= -\left(\frac{\partial \bar{x}_i}{\partial \mu_i}\right)_{T, X}, \\ \left(\frac{\partial \bar{x}_k}{\partial \mu_i}\right)_{T, \mu} &= \left(\frac{\partial \bar{x}_i}{\partial \mu_k}\right)_{T, \mu}, & \left(\frac{\partial \bar{N}_i}{\partial \mu_j}\right)_{T, X} &= \left(\frac{\partial \bar{N}_j}{\partial \mu_i}\right)_{T, X}. \end{aligned} \quad (15)$$

Термодинамическую функцию  $W$  можно назвать постоянным потенциалом, так как ее численное значение при обычном определении равно постоянной величине. Действительно, усредняя (10), подставляя  $\theta\bar{\sigma} = TS$ ,  $\bar{E} = U$  и опуская значки усреднения, получим

$$W = -TS - \sum_i \mu_i N_i + U + \sum_k X_k x_k.$$

Но  $\sum_i \mu_i N_i$  равна полному термодинамическому потенциалу  $Z$ ,  $Z = U - TS + \sum_k X_k x_k$ . Отсюда сразу же приходим к равенству  $W = 0$  или, учитывая, что  $W$  из (7) определена с точностью до постоянной, имеем

$$W(T, \mu, X) = \text{const}^*. \quad (16)$$

\* С учетом (16) уравнение (13) аналогично известному в термодинамике уравнению Гиббса—Дюгема. На самом же деле результат (16) указывает на незаконность полного отождествления  $Z$  и  $\sum_i \mu_i N_i$ .

Применим введенное распределение для вычисления флуктуаций термодинамических величин. Мы рассмотрим многокомпонентную систему, а которую действует только одна внешняя сила — давление  $p$ . Но результаты этого раздела без труда обобщаются и на случай действия электрического или магнитного поля.

**Флуктуации числа частиц.** Дифференцируем нормировочное соотношение (6) дважды по  $\mu_i$  и пользуемся определением средних значений

$$\frac{\partial^2 W}{\partial \mu_i^2} + \frac{1}{\theta} \overline{\left( \frac{\partial W}{\partial \mu_i} + N_i \right)^2} = 0.$$

Учитывая значение производных, получаем

$$\overline{(N_i - \bar{N}_i)^2} = kT \left( \frac{\partial \bar{N}_i}{\partial \mu_i} \right)_{T, p}. \quad (17)$$

**Корреляция между числами частиц разного сорта.** Дифференцируем (6) по  $\mu_i$ , затем по  $\mu_k$ :

$$\overline{(N_i - \bar{N}_i)(N_k - \bar{N}_k)} = kT \left( \frac{\partial \bar{N}_i}{\partial \mu_k} \right)_{T, p} = kT \left( \frac{\partial \bar{N}_k}{\partial \mu_i} \right)_{T, p}. \quad (18)$$

Формулы (17) и (18) отличаются от аналогичных формул Гиббса [1] только тем, что производные в правых частях взяты у нас при постоянном давлении, а не при постоянном объеме.

**Флуктуации объема.** Дифференцируем (6) два раза по  $p$  и пользуемся соотношениями  $(\partial W / \partial p)_{T, \mu} = \bar{V}$ ,  $\partial E^* / \partial p = V$ , получаем

$$\overline{(V - \bar{V})^2} = -kT \left( \frac{\partial \bar{V}}{\partial p} \right)_{T, \mu}. \quad (19)$$

**Корреляция между числом частиц и объемом.** Дифференцируем (6) по  $\mu_i$  и по  $p$ :

$$\overline{(N_i - \bar{N}_i)(V - \bar{V})} = kT \left( \frac{\partial \bar{N}_i}{\partial p} \right)_{T, \mu} = -kT \left( \frac{\partial \bar{V}}{\partial \mu_i} \right)_{T, p}, \quad (20)$$

Если просуммировать (20) по всем сортам частиц, то получится

$$\overline{(N - \bar{N})(V - \bar{V})} = kT \sum_i \left( \frac{\partial \bar{N}_i}{\partial p} \right)_{T, \mu}. \quad (21)$$

**Флуктуации энергии.** Дифференцируем (6) по  $\theta$  при  $p = \text{const}$  и принимаем во внимание зависимость  $\mu$  от  $\theta$

$$\bar{E}^* = W - \theta \frac{\partial W}{\partial \theta} + \sum_i \mu_i \bar{N}_i - \theta \sum_i \frac{\partial \mu_i}{\partial \theta} \bar{N}_i. \quad (22)$$

Этот результат уже содержался в (9). По определению среднего значения

$$\bar{E}^* = \sum_{(N_1, \dots, N_h)} \frac{1}{\prod_i N_i!} \int E^* e^{(W + \sum_i \mu_i N_i - E^*)/\theta} d\Gamma^*. \quad (23)$$

Дифференцируя (23) по  $\theta$  и пользуясь усреднением, получим

$$\theta^2 \frac{\partial^2 \bar{E}^*}{\partial \theta^2} = \bar{E^{*2}} - \overline{E^* \left( W - \theta \frac{\partial W}{\partial \theta} + \sum_i \mu_i N_i - \theta \sum_i \frac{\partial \mu_i}{\partial \theta} N_i \right)}.$$



С учетом (22) последнее выражение можно преобразовать к виду

$$\overline{(E^* - \bar{E}^*)^2} = kT^2 \left( \frac{\partial \bar{E}^*}{\partial T} \right)_p + \sum_i \left[ \mu_i - T \left( \frac{\partial \mu_i}{\partial T} \right)_p \right] \overline{(E^* - \bar{E}^*) (N_i - \bar{N}_i)}. \quad (24)$$

Следовательно, флуктуации энергии существенно зависят от корреляции между энергией и числом частиц различных сортов. В частном случае  $N_i = \bar{N}_i = \text{const}$  ( $i = 1, 2, \dots, h$ ) получаем известную формулу для флуктуаций энергии в системе с постоянным числом частиц

$$\overline{(E^* - \bar{E}^*)^2} = kT^2 C_p.$$

Корреляция между энергией и числом частиц. Дифференцируем (6) по  $\mu_i$ , затем по  $\theta$

$$(N_i - \bar{N}_i) \left( E^* - W + \theta \frac{\partial W}{\partial \theta} + \theta \sum_{k=1}^h \frac{\partial \mu_k}{\partial \theta} N_k - \sum_{k=1}^h \mu_k N_k \right) = \theta^2 \left( \frac{\partial \bar{N}_i}{\partial \theta} \right)_p. \quad (25)$$

Опять при помощи (22) введем в (25)  $\bar{E}^*$ . Тогда для корреляции между энергией и числом частиц  $i$ -го сорта получим выражение

$$\begin{aligned} \overline{(E^* - \bar{E}^*) (N_i - \bar{N}_i)} &= kT^2 \left( \frac{\partial \bar{N}_i}{\partial T} \right)_p + \\ &+ (N_i - \bar{N}_i) \sum_{k=1}^h \left[ \mu_k - T \left( \frac{\partial \mu_k}{\partial T} \right)_p \right] (N_k - \bar{N}_k). \end{aligned} \quad (26)$$

Если бы корреляция между числами частиц разных сортов (18) равнялась нулю, то (26) значительно упростилось бы, а именно в этом случае

$$\overline{(E^* - \bar{E}^*) (N_i - \bar{N}_i)} = kT^2 \left( \frac{\partial \bar{N}_i}{\partial T} \right)_p + \left[ \mu_i - T \left( \frac{\partial \mu_i}{\partial T} \right)_p \right] \overline{(N_i - \bar{N}_i)^2}. \quad (27)$$

Вернемся теперь к выражению (24) для флуктуаций энергии. Подставляя значение (26), имеем

$$\begin{aligned} \overline{(E^* - \bar{E}^*)^2} &= kT^2 \left( \frac{\partial \bar{E}^*}{\partial T} \right)_p + kT^2 \sum_{i=1}^h \left[ \mu_i - T \left( \frac{\partial \mu_i}{\partial T} \right)_p \right] \left( \frac{\partial \bar{N}_i}{\partial T} \right)_p + \\ &+ \left\{ \sum_{i=1}^h \left[ \mu_i - T \left( \frac{\partial \mu_i}{\partial T} \right)_p \right] (N_i - \bar{N}_i) \right\}^2. \end{aligned} \quad (28)$$

Заметим, что теплоемкость тела в рассматриваемом случае имеет вид:

$$C_p = \left( \frac{\partial \bar{E}^*}{\partial T} \right)_p - \sum_i \mu_i \left( \frac{\partial \bar{N}_i}{\partial T} \right)_p. \quad (29)$$

Действительно,  $\bar{E}^* = \bar{E} + p\bar{V}$  является статистическим аналогом энтальпии  $H$ , а ее полный дифференциал равен

$$dH = TdS + Vdp + \sum_i \mu_i dN_i. \quad (30)$$

Следовательно,

$$T(dS)_p = (dH)_p - \sum_i \mu_i (dN_i)_p.$$

чит,

$$C_p = T \left( \frac{\partial S}{\partial T} \right)_p = \left( \frac{\partial H}{\partial T} \right)_p - \sum_i \mu_i \left( \frac{\partial \bar{N}_i}{\partial T} \right)_p,$$

т. е. действительно имеет место (29).

С учетом (29) флуктуации энергии (28) в системе с переменным числом частиц примут вид:

$$\begin{aligned} \overline{(E^* - \bar{E}^*)^2} = kT^2 C_p + kT^2 \sum_i \left[ 2\mu_i - T \left( \frac{\partial \mu_i}{\partial T} \right)_p \right] \left( \frac{\partial \bar{N}_i}{\partial T} \right)_p + \\ + \left\{ \sum_i \left[ \mu_i - T \left( \frac{\partial \mu_i}{\partial T} \right)_p \right] (N_i - \bar{N}_i) \right\}^2. \end{aligned} \quad (31)$$

Если постоянным поддерживается не давление, а объем системы, то большого канонического распределения Гиббса (1) аналогичным способом получим

$$\overline{(E - \bar{E})^2} = kT^2 \left( \frac{\partial \bar{E}}{\partial T} \right)_V + \sum_i \left[ \mu_i - T \left( \frac{\partial \mu_i}{\partial T} \right)_V \right] \overline{(E - \bar{E}) (N_i - \bar{N}_i)} \quad (32)$$

$$\begin{aligned} \overline{(E - \bar{E})^2} = kT^2 C_V + kT^2 \sum_i \left[ 2\mu_i - T \left( \frac{\partial \mu_i}{\partial T} \right)_V \right] \left( \frac{\partial \bar{N}_i}{\partial T} \right)_V + \\ + \left\{ \sum_i \left[ \mu_i - T \left( \frac{\partial \mu_i}{\partial T} \right)_V \right] (N_i - \bar{N}_i) \right\}^2. \end{aligned} \quad (33)$$

Не обсуждая различных частных случаев, отметим, что флуктуации энергии растут вместе с ростом флуктуаций числа частиц в системе.

Наши вычисления показывают, что известные соотношения

$$\overline{(E^* - \bar{E}^*)^2} = kT^2 C_p, \quad \overline{(E - \bar{E})^2} = kT^2 C_V$$

являются справедливыми только для систем с постоянным числом частиц. В литературе отсутствуют формулы для флуктуаций энергии в системах с переменным числом частиц. Точно так же мы не встречали указания на функцию распределения для большого ансамбля, находящегося в заданном силовом поле. Все это побудило нас провести изложенное выше исследование.

## ВЫВОДЫ

1. Обсужден вопрос о функции распределения для систем, находящихся в однородном внешнем поле и содержащих переменное число частиц разных сортов. Предложенная функция распределения является видоизмененной функцией Гиббса для большого канонического ансамбля. Введенному распределению соответствует термодинамический потенциал в переменных  $T, \mu, p$  («постоянный потенциал»).

2. Новое распределение применено к вычислению флуктуаций, при постоянном давлении, ряда термодинамических параметров. Особое внимание обращено на флуктуации энергии.

Уральский политехнический  
институт им. С. М. Кирова  
Свердловск

Поступила  
7.I.1956

## ЛИТЕРАТУРА

- Дж. В. Гиббс. Основные принципы статистической механики, Гостехиздат, 1947.  
А. Г. Самойлович. Термодинамика и статистическая физика, М., 1953.  
Я. И. Френкель, Статистическая физика, М.—Л., 1948.

THE PARTITION FUNCTION OF A SYSTEM OF VARYING NUMBERS  
OF PARTICLES IN A UNIFORM EXTERNAL FIELD*V. P. Skrypov (Sverdlovsk)*

## Summary

The report is concerned with the partition function of systems containing variable numbers of different kinds of particles in a uniform external field. The proposed distribution is a modification of the Gibbs distribution for a large canonic ensemble. The distribution introduced is associated with the thermodynamic potential  $W=W(T, \mu, X)$ , the „constant potential“, where  $X$  is the generalized external force, for example, the pressure.

The new partition function may be applied in calculating the quadratic fluctuations of some thermodynamic parameters, particularly, the energy of the system.

---

## ВЛИЯНИЕ ВНУТРЕННЕЙ ДИФФУЗИИ НА ПРОТЕКАНИЕ ГЕТЕРОГЕННОЙ КАТАЛИТИЧЕСКОЙ РЕАКЦИИ, ТОРМОЗИМОЙ ПРОДУКТОМ

*В. М. Чередниченко и М. И. Темкин*

Большое число гетерогенных каталитических реакций замедляется при повышении концентрации продукта реакции, причем этот эффект наблюдается и при таком удалении системы от равновесия, когда обратной реакцией можно пренебречь. К числу таких реакций относятся важные в практическом отношении процессы — синтез аммиака [1], окисление инертного газа [2], реакция водяного газа [3], синтез метанола [4] и другие.

При проведении реакций на пористых катализаторах часто наблюдается снижение скорости реакции, обусловленное медленностью переноса вещества в порах катализатора. В таких случаях говорят, что на скорости реакции сказывается внутренняя диффузия.

Можно выделить два предельных случая. Реакция протекает в кинетической области, если скорость реакции на пористом катализаторе пропорциональна суммарному объему зерен катализатора. Реакция протекает в диффузионной области, если ее скорость пропорциональна суммарной внешней поверхности зерен катализатора. Между этими предельными случаями имеется непрерывный переход.

Кинетика реакций, тормозимых продуктом, при протекании их во внутренней диффузионной области рассмотрена в работах Г. К. Борескова [5], С. Я. Пшежецкого [6], С. Я. Пшежецкого и Р. Н. Рубинштейна [7], С. Я. Пшежецкого и С. А. Каменской [8]. Г. К. Боресков и Г. Слинько [9] рассмотрели протекание обратимой гетерогенной каталитической реакции в области внутренней диффузии.

В перечисленных работах, однако, не дана количественная трактовка области, переходной от кинетической к диффузионной, для гранул катализатора конечных размеров. В них также не получены в явной форме уравнения для скорости реакции, тормозимой продуктом, во внутренней диффузионной области при учете обратной реакции.

Некоторые уравнения, дополняющие результаты цитированных выше работ, были получены нами для анализа опытных данных, относящихся к синтезу метанола. Эти уравнения могут быть применены и к другим реакциям.

### ПРОТЕКАНИЕ РЕАКЦИИ В ОБЛАСТИ, ПЕРЕХОДНОЙ МЕЖДУ КИНЕТИЧЕСКОЙ И ОБЛАСТЬЮ ВНУТРЕННЕЙ ДИФФУЗИИ

Рассмотрим случай, когда реакция протекает в области переходной между кинетической и внутренней диффузионной. Таким образом мы предполагаем, что концентрации продукта реакции на поверхности зерна катализатора и в его центре различаются, но не настолько, чтобы можно было пренебречь протеканием реакции в участках зерна катализатора, удаленных от его поверхности. Мы предполагаем далее, что реакция протекает так далеко от равновесия, что обратную реакцию можно не учитывать. Примем для простоты, что зерна катализатора имеют сферическую



форму и что истинная кинетика может быть представлена уравнением:

$$\omega(c) = \frac{k}{c}, \quad (1)$$

где  $\omega(c)$  — скорость реакции,  $k$  — постоянная величина,  $c$  — концентрация продукта реакции. Величину  $\omega(c)$  определим как количество продукта, образующееся за единицу времени в единице объема зерна, величину  $c$  будем измерять количеством продукта в единице объема зерна (а не в единице объема пор). Уравнение (1) применимо при любой форме зависимости скорости реакции от концентраций исходных веществ, если степень превращения мала.

Мы примем, что поры равномерно пронизывают все зерно катализатора, и их размеры весьма малы по сравнению с размером зерен, так что зерно можно рассматривать как однородную среду, в которой происходит диффузия.

Для описания совместного протекания диффузии и химической реакции воспользуемся уравнением диффузии с источниками:

$$D \frac{\partial c}{\partial t} = D^* \Delta c + \omega(c), \quad (2)$$

$D^*$  — эффективный коэффициент диффузии продукта в порах катализатора,  $\Delta$  — оператор Лапласа.

Мы рассмотрим стационарный процесс, так что  $\partial c / \partial t = 0$ . Перейдем к сферическим координатам, получим

$$\frac{1}{r} \frac{d^2(cr)}{dr^2} + \frac{k}{D^*c} = 0. \quad (3)$$

Здесь  $r$  — расстояние от центра зерна катализатора. Введем вспомогательную функцию  $U = cr$ . Тогда (3) приводится к виду:

$$U \frac{d^2 U}{dr^2} + \frac{k}{D^*} r^2 = 0. \quad (4)$$

Граничные условия имеют следующий вид:

$$U(0) = 0,$$

$$U'(0) = [c + rc']_{r=0} = c_0,$$

где  $c_0$  — концентрация продукта в центре зерна катализатора.

Уравнение (4) встречается в астрофизических проблемах. Мертенс [10] нашел его решение в виде ряда:

$$U = cr = c_0 r (1 + b_1 r^2 - b_2 r^4 + b_3 r^6 - + \dots) \quad (5)$$

или

$$c = c_0 (1 + b_1 r^2 - b_2 r^4 + b_3 r^6 - + \dots). \quad (6)$$

Коэффициенты ряда имеют следующие значения:

$$b_1 = -\frac{1}{6} \frac{k}{D^* c_0^2}; \quad b_2 = \frac{3}{10} b_1^2; \quad b_3 = \frac{13}{70} b_1^3; \quad b_4 = \frac{25}{168} b_1^4 \dots \quad (7)$$

Как показано в [10], ряд (5), заведомо, сходится при условии:

$$r < \left( \frac{3c_0^2 D^*}{k} \right)^{1/2}. \quad (8)$$

Количество продукта, образующееся на одном зерне катализатора в единицу времени,  $w$ , равно величине потока диффузии через отверстия пор на внешней поверхности зерна, т. е.

$$w = -4\pi a^2 D^* \left( \frac{dc}{dr} \right)_{r=a}, \quad (9)$$

где  $a$  — радиус зерна катализатора.

Значение величины  $dc/dr$  при  $r=a$  получаем из уравнения (6)

$$\left(\frac{dc}{dr}\right)_{r=a} = c_0 [2b_1a - 4b_2a^3 + 6b_3a^5 - \dots]. \quad (10)$$

Уравнения (7), (9) и (10) дают

$$w = \frac{4}{3} \pi a^3 \frac{k}{c_0} + \frac{2}{15} \pi a^5 \frac{k^3}{D^* c_0^2} + \frac{13}{630} \pi a^7 \frac{k^3}{(D^*)^2 c_0^5} + \dots \quad (11)$$

Из (11) сходится быстро, если выполнено условие (8). Ограничимся в разложении (11) двумя первыми членами, т. е. рассмотрим случай, когда  $w$  незначительно отличается от  $c_a$  — значения  $c$  при  $r=a$ . Получаем приближенно

$$w = \frac{4}{3} \pi a^3 \frac{k}{c_0} \left(1 + \frac{1}{10} \frac{ka^2}{D^* c_0^2}\right). \quad (12)$$

Для того чтобы выразить величину  $c_0$  через величину концентрации продукта на внешней поверхности зерна катализатора, воспользуемся уравнением (6). Принимая  $r=a$ , находим

$$\frac{1}{c_0} = \frac{1}{c_a} \left(1 - \frac{1}{6} \frac{ka^2}{D^* c_0^2} - \frac{1}{120} \frac{k^2 a^4}{(D^*)^2 c_0^4} - \frac{13}{15120} \frac{k^3 a^6}{(D^*)^3 c_0^6} - \dots\right). \quad (13)$$

Следует отметить, что величина  $c_a$ , т. е. значение  $c$  при  $r=a$ , не совпадает с концентрацией продукта в пространстве у поверхности зерна, а связана с ней соотношением:

$$c_a = C\psi, \quad (14)$$

где  $\psi$  — доля свободного объема пор в зерне.

Ограничиваясь в разложении (13) двумя первыми членами, производя подстановку в (12) и вновь сохраняя лишь два члена ряда, получаем

$$w = \frac{4}{3} \pi a^3 \frac{k}{c_a} \left(1 - \frac{1}{15} \frac{ka^2}{D^* c_a^2}\right). \quad (15)$$

Подставляя с уравнением (1), находим, что

$$w = \frac{4}{3} \pi a^3 \omega(c_a) \left[1 - \frac{1}{15} \frac{\omega(c_a) a^2}{D^* c_a}\right]. \quad (16)$$

В уравнениях (15) и (16) мы используем предположение о том, что  $w \approx c_a$ .

Выражение (16) для скорости реакции может быть истолковано в том смысле, что множитель  $\frac{4}{3} \pi a^3 \omega(c_a)$  отвечает протеканию реакции в кинетической области, а величина члена  $(1/15) \omega(c_a) a^2 / D^* c_a$  определяет уменьшение скорости реакции вследствие диффузионного торможения (в том случае, если это торможение мало).

Отношение  $\omega(c_a) a^2 / D^* c_a$  имеет простой физический смысл. Если бы реакция шла с постоянной скоростью  $\omega$ , то для того, чтобы в единице объема зерна образовалось количество продукта, равное  $c_a$ , потребовалось бы время, равное  $c_a / \omega$ . Эту величину можно назвать «временем реакции». Согласно известной формуле Эйнштейна, время, соответствующее среднему смещению, при диффузии на расстояние  $a$  по порядку величины равно  $a^2 / D^*$ . Эту величину назовем «временем диффузии». Таким образом безразмерная величина  $\omega(c_a) a^2 / D^* c_a$  может быть истолкована как отношение времени диффузии ко времени реакции\*. Если  $\omega(c_a) a^2 / D^* c_a \ll 1$ , то реакция должна протекать в кинетической области. Этот вывод согла-

\* Аналогичная трактовка была развита Дамкёлером [11].

суется с уравнениями (15) и (16), которые, однако, позволяют установить более точный критерий кинетической области:

$$\frac{1}{15} \frac{ka^2}{D^*c_a} \ll 1. \quad (17)$$

Уравнения (15) и (16) определяют производительность одного зерна катализатора. Пусть слой катализатора содержит  $n$  зерен в единице объема. Тогда скорость реакции в расчете на единицу объема слоя  $W$  может быть найдена из уравнения:

$$W = wn. \quad (18)$$

В рассматриваемом нами случае сферических зерен:

$$n = \frac{1 - \xi}{(\frac{4}{3})\pi a^3}, \quad (19)$$

где  $\xi$  — доля свободного объема между зернами катализатора.

Чтобы вывести уравнение для сопоставления с опытными данными, полученными в проточной системе, необходимо учесть изменение концентрации продукта реакции по длине слоя зерен катализатора. Так как рассматривается случай малых степеней превращения, то изменение объема реагирующих газов при прохождении через слой катализатора мало, и им можно пренебречь.

Пусть за время  $t$  через слой катализатора объемом  $X$  проходит объем газа  $Y$ ; при этом образуется  $N$  молей продукта. Обозначим через  $C$  концентрацию продукта в отходящем газе. Тогда

$$N = CY. \quad (20)$$

При увеличении объема катализатора на малую величину  $dX$  и сохранении прежних значений  $t$  и  $Y$  количество образующегося продукта возрастает на  $dN$ ; при этом

$$dN = YdC. \quad (21)$$

Скорость реакции  $W(C)$  (в расчете на единицу объема слоя), для последнего по ходу газа слоя катализатора выражается через

$$W(C) = \frac{dN}{idX}. \quad (22)$$

Будем называть условным временем контакта величину

$$\tau = \frac{X}{Y} t. \quad (23)$$

Уравнение (22) на основании уравнения (21) может быть заменено следующим:

$$W(C) = \frac{dC}{d\tau}. \quad (24)$$

Величина  $C$  есть значение  $c$  в последнем по ходу газа слое катализатора: она выражается через значение  $c_a$  для этого слоя по уравнению (14). Поэтому

$$\frac{dC}{d\tau} = \frac{1}{\psi} \frac{dc_a}{d\tau}, \quad (25)$$

и мы получаем из (15) и (19)

$$\frac{dc_a}{d\tau} = \frac{k\psi(1-\xi)}{c_a} \left(1 - \frac{1}{15} \frac{ka^2}{D^*c_a^2}\right), \quad (26)$$

видно, что это уравнение справедливо для любого сечения слоя катализатора, если под  $X$  в (23) понимать объем катализатора, заключенный между начальным и данным сечением.

Разделив переменные в (26) и выполнив интегрирование, получаем

$$k = \frac{\tau}{2\psi(1-\xi)} \left( c_a^2 + \frac{1}{15} \frac{ka^2}{D^*c_a^2} \ln \left| \frac{15 D^*c_a^2}{ka^2} - 1 \right| \right). \quad (27)$$

Величина  $c_a$  в (27) связана со значением  $C$  на выходе соотношением (14).

Необходимо подчеркнуть, что изложенная выше трактовка применима и в тех случаях, в которых наблюдается сравнительно слабое искажение кинетики наложением диффузионных явлений. Математическое выражение условий применимости этой трактовки дается неравенством (8).

### ПРОТЕКАНИЕ ОБРАТИМОЙ ГЕТЕРОГЕННОЙ КАТАЛИТИЧЕСКОЙ РЕАКЦИИ, ТОРМОЗИМОЙ ПРОДУКТОМ, В ОБЛАСТИ ВНУТРЕННЕЙ ДИФФУЗИИ

При развитой диффузионной кинетике изложенный выше способ учета влияния диффузии на кинетику реакции не применим, так как ряд (5) становится расходящимся. С другой стороны, поскольку эффективная толщина работающего слоя зерна катализатора мала по сравнению с размерами зерна, в данном случае может быть применима значительно более простая трактовка.

Уравнения для диффузионной области при кинетике, выражаемой уравнением (1), были выведены ранее [5—7]. Мы выведем уравнения, учитывающие протекание обратной реакции, используя те же методы, которые были применены авторами [5—7].

Следуя Д. А. Фрашк-Камеицекому [12], будем рассматривать реакцию простым зерном бесконечных размеров, поверхность которого можно считать плоской, и определим количество продукта, выделяющегося с единицы внешней поверхности этого зерна в единицу времени. Так как эффективная толщина работающего слоя зерен мала по сравнению с их размерами, то с единицы внешней поверхности зерен конечных размеров будет выделяться за единицу времени почти такое же количество продукта, и с единицы поверхности бесконечно большого зерна. Поэтому задачу можно свести к одномерной, т. е. рассматривать диффузию только по координате, направленной перпендикулярно к плоской поверхности катализатора.

На основании сказанного в предыдущем разделе, условием применимости такой трактовки является выполнение неравенства

$$\frac{\omega(c) a^2}{D^*c_a} \gg 1. \quad (28)$$

рассматриваемого случая и при  $\partial c / \partial t = 0$  уравнение (2) принимает

$$D^* \frac{d^2c}{dx^2} + \omega(c) = 0, \quad (29)$$

$x$  — расстояние от внешней поверхности катализатора. Для решения уравнения (29) воспользуемся подстановкой  $\frac{dc}{dx} = p$ . Тогда  $\frac{d^2c}{dx^2} = p \frac{dp}{dc}$  и

$$p dp = - \frac{1}{D^*} \omega(c) dc, \quad (30)$$

исходя из начальных условий уравнения (30) определим следующим образом:

$$\begin{aligned} p &= 0 \text{ при } c = c_{\text{равн}}, \\ p &= p_{\text{пов}} \text{ при } c = c_{\text{пов}}, \end{aligned} \quad (31)$$



Здесь  $c_{\text{равн}}$  — равновесная концентрация продукта,  $c_{\text{пов}}$  — концентрация продукта у внешней поверхности катализатора\*,  $p_{\text{пов}}$  — величина градиента концентрации продукта у внешней поверхности.

Интегрируя (30) с учетом граничных условий (31), получим уравнение:

$$\left(\frac{dc}{dx}\right)_{x=0} = \left(\frac{2}{D^*} \int_{c_{\text{пов}}}^{c_{\text{равн}}} \omega(c) dc\right)^{1/2}. \quad (32)$$

Величина  $(dc/dx)_{x=0}$  определяет количество продукта реакции, выделяющееся с единицы внешней поверхности катализатора в единицу времени; оно равно  $D^* (dc/dx)_{x=0}$ .

Вид функции  $\omega(c)$  определяется кинетикой прямой и обратной реакций. Для прямой реакции мы, как и прежде, будем принимать, что ее скорость обратно пропорциональна концентрации продукта, и рассмотрим два предположения о кинетике обратной реакции: первое — обратная реакция имеет нулевой порядок по продукту (прямой реакции), второе — обратная реакция имеет первый порядок по продукту.

При первом предположении:

$$\omega(c) = \frac{k_1}{c} - k_2, \quad (33)$$

где  $k_1$  и  $k_2$  — постоянные величины, пропорциональные константам скоростей прямой и обратной реакций, соответственно, и зависящие от концентраций исходных веществ, которые принимаются постоянными.

При равновесии  $k_1/c_{\text{равн}} - k_2 = 0$ , т. е.

$$k_1/c_{\text{равн}} = k_2. \quad (34)$$

Выполняя интегрирование в уравнении (32) и подставляя значение из (34), получаем

$$\left(\frac{dc}{dx}\right)_{x=0} = \left\{ \frac{2k_1}{D^*} \left[ \ln \frac{c_{\text{равн}}}{c_{\text{пов}}} - \left(1 - \frac{c_{\text{пов}}}{c_{\text{равн}}}\right) \right] \right\}^{1/2}. \quad (35)$$

Для количества вещества, образующегося на одном зерне катализатора в единицу времени, получаем

$$w = s \sqrt{2k_1 D^* \left[ \ln \frac{c_{\text{равн}}}{c_{\text{пов}}} - \left(1 - \frac{c_{\text{пов}}}{c_{\text{равн}}}\right) \right]}, \quad (36)$$

где  $s$  — площадь внешней поверхности зерна.

Скорость реакции в расчете на единицу объема слоя зерен катализатора определим из (18) в соответствии с (24):

$$\frac{dC}{d\tau} = sn \sqrt{2k_1 D^* \left[ \ln \frac{C_{\text{равн}}}{C_{\text{вых}}} - \left(1 - \frac{C_{\text{вых}}}{C_{\text{равн}}}\right) \right]}. \quad (37)$$

Величины  $C$  обозначают концентрации, рассчитанные по объему газа, отличие от величин  $c$ , рассчитанных по объему зерна. При переходе от (36) к (37) использовано очевидное равенство  $c_{\text{равн}}, c_{\text{пов}} = C_{\text{равн}}, C_{\text{вых}}$ . Введем обозначение

$$u = C/C_{\text{равн}}. \quad (38)$$

\* Величина  $c_{\text{пов}}$  совпадает с  $c_s$ , фигурировавшей в предшествующих уравнениях, поскольку здесь мы не предполагаем шарообразной формы зерна, обозначение изменено.

величину  $u$  называют относительным выходом. Так как

$$du = \frac{1}{C_{\text{равн}}} dC,$$

то из (37) и (38) находим

$$\frac{du}{d\tau} = \frac{sn}{C_{\text{равн}}} \sqrt{2k_1 D^* (u - \ln u - 1)}, \quad (39)$$

разделяя переменные и интегрируя, получаем

$$\sqrt{k_1 D^*} = \frac{C_{\text{равн}}}{\sqrt{2} sn \tau} \int_0^{u_{\text{вых}}} \frac{du}{\sqrt{u - \ln u - 1}}. \quad (40)$$

Здесь  $u_{\text{вых}}$  — значение величины  $u$  на выходе из слоя зерен катализатора.

При значительном удалении от равновесия  $u_{\text{вых}} \ll 1$ , и в (39) можно пренебречь величиной  $u$  по сравнению с единицей. Тогда (39) приводится к виду:

$$\frac{du}{\sqrt{-\ln(eu)}} = \frac{sn \sqrt{2k_1 D^*}}{C_{\text{равн}}} d\tau. \quad (41)$$

При помощи подстановки  $\sqrt{-\ln(eu)} = z$ , находим, что

$$\sqrt{k_1 D^*} = \sqrt{\frac{\pi}{2}} \frac{C_{\text{равн}} [1 - \Phi(z)]}{esn\tau}, \quad (42)$$

Здесь  $e$  — основание натуральных логарифмов,  $\Phi(z) = \frac{2}{\pi} \int_0^z e^{-\alpha^2} d\alpha$  — интеграл вероятностей (функция Крампа).

Рассмотрим теперь предположение о том, что обратная реакция протекает по первому порядку. В этом случае

$$\omega(c) = \frac{k_1}{c} - k_2 c. \quad (43)$$

Расчет проводится тем же путем, что и в рассмотренном ранее случае. Количество вещества, образующееся на одном зерне катализатора за единицу времени, найдем в этом случае из уравнения:

$$w = s \sqrt{k_1 D^* \left[ \left( \frac{C_{\text{пов}}}{C_{\text{равн}}} \right)^2 - \ln \left( \frac{C_{\text{пов}}}{C_{\text{равн}}} \right)^2 - 1 \right]}. \quad (44)$$

Уравнение (40) заменяется на

$$\sqrt{k_1 D^*} = \frac{C_{\text{равн}}}{sn\tau} \int_0^{u_{\text{вых}}} \frac{du}{\sqrt{u^2 - \ln(u^2) - 1}}. \quad (45)$$

При значительном удалении от равновесия  $u_{\text{вых}} \ll 1$  и (45) переходит в

$$\sqrt{k_1 D^*} = \sqrt{\frac{\pi}{e}} \frac{C_{\text{равн}} [1 - \Phi(z')]}{sn\tau}. \quad (46)$$

Здесь  $z' = \sqrt{-\ln(Veu)}$ .

Уравнения (40), (42), (45) и (46) были использованы нами при рассмотрении опытных данных по синтезу метанола [4]. Уравнение (45) применимо к синтезу аммиака во внутренней диффузионной области, если реакция происходит при низких давлениях, например атмосферном, тогда степень превращения невелика, поскольку в этих условиях соблюдается [1] уравнение (43).

## ВЫВОДЫ

Рассмотрена кинетика гетерогенных каталитических реакций, скорость которых обратно пропорциональна концентрации продукта, в условиях, когда скорость реакции снижена вследствие медленности транспорта продукта в порах катализатора.

Выведены уравнения для следующих трех случаев: 1) диффузионное торможение мало (принимается, что зерна катализатора сферические, и пренебрегается обратной реакцией); 2) диффузионное торможение велико, и обратная реакция протекает по нулевому порядку; 3) диффузионное торможение велико, и обратная реакция протекает по первому порядку.

Физико-химический институт  
им. Л. Я. Карпова  
Москва

Поступила  
7.1.1956

## ЛИТЕРАТУРА

1. М. И. Темкин, В. М. Пыжев, Журн. физ. химии, **13**, 851, 1939.
2. Г. К. Боресков, Т. И. Соколова, Журн. хим. пром., **14**, 1241, 1937.
3. Н. В. Кулькова, М. И. Темкин, Журн. физ. химии, **23**, 695, 1949.
4. В. М. Череди́нченко, кандидатская диссертация, Физ.-хим. ин-т им. Л. Я. Карпова, М., 1952.
5. Г. К. Боресков, докторская диссертация, Физ.-хим. ин-т им. Л. Я. Карпова, М., 1945. Проблемы кинетики и катализа т. VI. стр. 404, Изд-во АН СССР, М., 1949.
6. С. Я. Пшежецкий, Журн. физ. химии, **19**, 376, 1945; докторская диссертация, Физ.-хим. ин-т им. Л. Я. Карпова, М., 1948.
7. С. Я. Пшежецкий, Р. Н. Рубинштейн, Журн. физ. химии, **20**, 1127, 1946.
8. С. Я. Пшежецкий, С. А. Кеменецкая, Журн. физ. химии, **22**, 136, 1949.
9. Г. К. Боресков, М. Г. Слинько, Журн. физ. химии, **26**, 235, 1952.
10. F. Mertens, Sitzungsber. Akad. d. Wiss. Wien, **126**, 3, 1917.
11. G. Damköhler, Der Chemie-Ingenieur, **III**, 359.
12. Д. А. Франк-Каменецкий, Диффузия и теплопередача в химической кинетике, Изд-во АН СССР, М., 1947.

# THE EFFECT OF INTERNAL DIFFUSION ON THE COURSE OF A CATALYTIC REACTION RETARDED BY THE REACTION PRODUCT

V. M. Cherednichenko and M. I. Temkin (Moscow)

## Summary

The influence of the diffusion in the catalyst pores on the course of heterogeneous catalytic reactions is considered, the rate of reaction being inversely proportional to the concentration of the reaction product.

Among the reactions retarded by their products there are important industrial processes such as ammonia synthesis, sulfur dioxide oxidation, the water gas reaction, methanol synthesis, and others.

Equations have been derived for the following cases:

1. Diffusion retardation is small. (It is assumed that the catalyst granules are of spherical shape and that the reverse reaction may be neglected).
2. The diffusion retardation is large. The reverse reaction proceeds according to zero order with respect to the products of the direct reaction.
3. The diffusion retardation is large. The reverse reaction proceeds according to the first order with respect to the products of the direct reaction.

In all the cases it is assumed that the change in concentration of the reactants can be neglected.

## К ВОПРОСУ ОБ ИЗМЕРЕНИИ ПОКАЗАТЕЛЯ ПРЕЛОМЛЕНИЯ КРИСТАЛЛИЧЕСКИХ ТЕЛ

*Ф. Т. Нечай*

В настоящее время известны следующие четыре метода измерения показателей преломления кристаллов: метод призмы, рефрактометрический метод, метод И. В. Обреимова и иммерсионный метод.

Для измерения показателя преломления методом призмы необходимо изготовить из исследуемого кристалла, на что требуется много времени; кроме того, и не всегда можно осуществить изготовление призмы. Для измерения показателя преломления на кристаллрефрактометре необходимо иметь пластинку с отполированной поверхностью.

Для иммерсионного метода необходимо подбирать жидкости с показателем преломления, равным показателю преломления кристалла.

Иммерсионный метод нашел широкое применение во всех случаях, когда исследуется показатель преломления кристалла при какой-то определенной температуре. Использовать его для определения температурной зависимости показателя преломления кристаллов не представляется возможным, так как его применение в этом случае сопряжено с рядом известных трудностей.

В настоящее время не существует методов, при помощи которых можно было бы измерить показатель преломления кристаллических обломков, подбирая для этой цели иммерсионных жидкостей.

Не существует также методов одновременного измерения показателей преломления кристаллов и жидкостей.

Между тем одновременные измерения показателей преломления жидкостей и кристалла в момент кристаллизации будут способствовать расширению наших знаний об изменении показателей преломления в области фазового перехода.

Нами были проделаны опыты с целью выяснить обоснованность общепризнанного мнения о невозможности измерения показателей преломления кристаллических обломков на рефрактометре типа Аббе. В результате этих опытов установлено следующее.

Если на призму рефрактометра положить покровное стекло или какой-либо другой тонкий кристаллик, то границы раздела в поле зрения тубуса становиться не удастся, и, следовательно, показатель преломления измерить нельзя. Если на призму рефрактометра, где находится кристаллик, нанести какую-либо жидкость, то в поле зрения появляется граница раздела, соответствующая показателю преломления жидкости, и граница раздела, соответствующая показателю преломления кристалла. Жидкость играет роль среды, которая создает оптический контакт и устраняет или уменьшает рассеяние света. Для этих целей может быть применена любая жидкость, смачивающая кристаллик. Показатель преломления кристалла не зависит от того, в какую жидкость он помещается.

Если же жидкость кристаллизировать на рефрактометре, то образуется кристаллическая пластинка, хорошо контактирующая с призмами рефрактометра, в результате чего появляется возможность измерения ее показателя преломления. Пластинку, полученную указанным выше способом, можно нагревать до точки плавления и исследовать изменение ее показателя преломления.



теля преломления вблизи температуры плавления и в момент плавления, а, кроме того, можно измерить показатель преломления жидкости вблизи температуры кристаллизации и в момент закристаллизовывания. Метод может найти широкое применение при исследовании фазовых переходов.

Кристаллы, помещенные в насыщенный раствор, дают в поле зрения тубуса рефрактометра две границы раздела. Одна граница раздела соответствует показателю преломления кристалла, а вторая — показателю

Таблица 1

Вещество	$t, ^\circ\text{C}$	$n$
Стекло	20,0	1,520
Слюда, мусковит	20,0	1,561
Гипс	25,0	1,52
Каменная соль	26,5	1,543

преломления насыщенного раствора. Это явление может быть использовано для изучения кинетики адсорбции и для обнаружения жидкости, адсорбированной на данном кристалле.

Предлагаемый автором метод был проверен на опыте. Ниже приводятся экспериментальные данные.

Слюда, стекло, гипс и каменная соль были в виде тонких кристаллических пластинок (табл. 1). В качестве контактирующей жидкости бралась вода. Показатель преломления стекла, гипса, слюды и каменной соли оставался неизменным, когда применялись другие контактирующие жидкости. Каменная соль сильно поглощает влагу из воздуха, и жидкой пленки на ее поверхности оказалось достаточно для создания оптического контакта, но граница раздела несколько ухудшается, если на кристаллик налить этилового спирта. Размер кристаллика NaCl около 3 мм длины и 2 мм ширины, толщина кристаллика около 0,3 мм.

Если на призму рефрактометра поместить пластинку стекла, а на нее положить пластинку слюды и затем налить воды, то в поле зрения рефрактометра наблюдаются три границы раздела, соответствующие показателям преломления воды, стекла и слюды.

Таким образом, если в распоряжении исследователя имеется очень тонкая пластинка, то для надежного оптического контакта ее следует помещать на стеклянную пластинку и заливать жидкостью.

Температурная зависимость показателя преломления некоторых органических веществ и воды вблизи кристаллизации и плавления. Ис-

Таблица 2

Вещество	Температура, $^\circ\text{C}$	Показатель преломления образца	
		жидкого	кристаллического
Бензол	5,5	1,508	1,547
Вода	0	1,334	1,309
Ментол	43	1,451	1,491
Ацетамид	80,1	1,427	1,489
Фенол	41	1,540	1,593

следование температурной зависимости физических свойств веществ в области кристаллизации и плавления представляет научный и практический интерес, и этому вопросу за последнее время уделялось значительное внимание.

Автором была сделана попытка подойти к точке фазового перехода с двух сторон, т. е. со стороны жидкого и со стороны кристаллического состояний.

В этой статье приводятся данные о температурной зависимости показателя преломления кристаллических и жидких салол, дифенила, ментола, ацетамида, бензола и воды в области фазового перехода.

Вода, бензол, салол, дифенил, ацетамид, фенол, хлоралгидрат, ортокрезол и ментол кристаллизовались на призмах рефрактометра, в результате чего обеспечивался нужный оптический контакт, а следовательно, и возможность измерения их показателей преломления. Однако показатель преломления не-

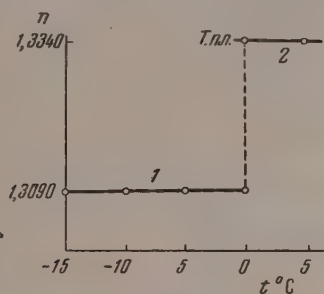


Рис. 1

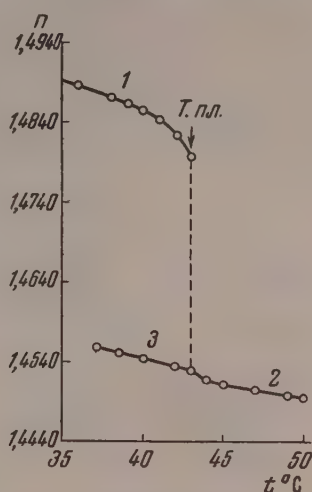


Рис. 2

Рис. 1. Температурная зависимость показателя преломления: 1 — льда и 2 — воды  
Рис. 2. Температурная зависимость показателя преломления: 1 — кристаллического ментола; 2 — жидкого; 3 — переохлажденно-жидкого

которых из перечисленных выше пластинок можно измерить лишь вблизи температуры плавления, а именно, за  $15-17^\circ$  до точки плавления (салол и др.). Для воды, ацетамида, ментола и др. показатель преломления можно измерить в широком температурном интервале.

В табл. 2 помещены данные о показателях преломления кристаллических пластинок бензола, ацетамида, фенола, ментола и льда.

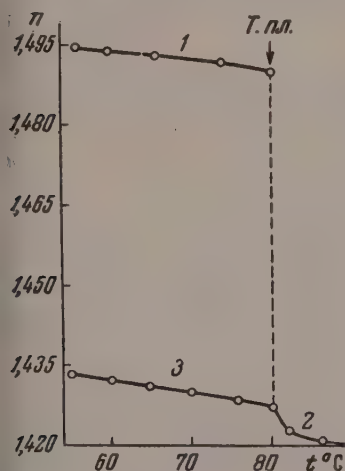


Рис. 3

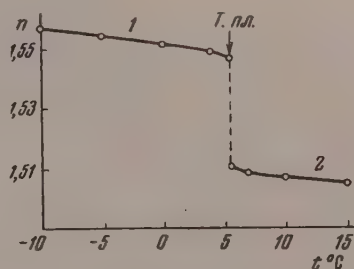


Рис. 4

Рис. 3. Температурная зависимость показателя преломления: 1 — кристаллического ацетамида; 2 — жидкого и 3 — переохлажденно-жидкого

Рис. 4. Температурная зависимость показателя преломления: 1 — кристаллического бензола и 2 — жидкого

Получать кристаллические пластинки на призмах рефрактометра вообще можно для всех не очень тугоплавких веществ. Методика получения таких пластинок состоит в следующем. На нижнюю призму рефрактометра,

нагретую при помощи ультратермостата до температуры, несколько более высокой, чем температура плавления исследуемого вещества, помещается кристаллик и расплавляется. При последующем охлаждении рефрактометра слой жидкости, образовавшийся в результате расплавления кристаллика, кристаллизуется между плотно прижатыми призмами, в результате чего образуется кристаллическая пластинка, хорошо контактирующая своими поверхностями с поверхностями призм рефрактометра. Это дает возможность получать кристаллические пластинки нужного размера даже из очень хрупких веществ.

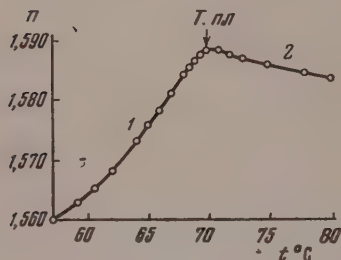


Рис. 5

Рис. 5. Температурная зависимость показателя преломления: 1 — кристаллического дифенила и 2 — жидкого

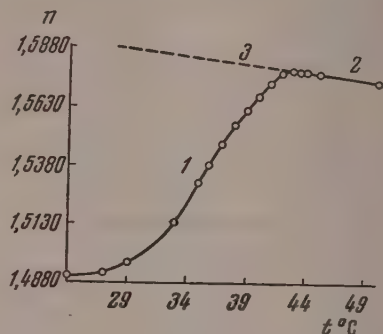


Рис. 6

Рис. 6. Температурная зависимость показателя преломления: 1 — кристаллического салола; 2 — жидкого и 3 — переохлажденно-жидкого

Температурная зависимость показателя преломления кристаллических веществ вблизи точки плавления, жидкостей вблизи кристаллизации, а также кристалла и жидкости в момент плавления кристалла, экспериментально недостаточно изучена.

Применение описанной выше методики позволило провести исследование температурной зависимости показателя преломления кристаллических и жидких веществ в области фазового перехода для некоторых органических соединений и воды. Полученные нами данные приведены на рис. 1—6.

Как видно из рис. 1, показатель преломления у льда намного меньше, чем у воды; у воды при  $0^\circ\text{C}$   $n = 1,3340$ , а у льда при той же температуре  $n = 1,309$ . Показатель преломления льда по мере повышения температуры от  $-25$  до  $0^\circ\text{C}$  очень незначительно возрастает. Каких-либо значительных изменений показателя преломления льда вблизи температуры плавления, в момент начала плавления, в процессе плавления и в конце плавления не обнаружено.

Что касается воды, то ее показатель преломления не остается постоянным в процессе плавления льда. В первый момент плавления он на много больше, чем в последний момент. Так, например, в начале плавления  $n$  воды при  $0^\circ\text{C}$  равен  $1,3480$ , а после расплавления льда при той же температуре  $0^\circ\text{C}$  показатель преломления равен  $1,3340$ . Таким образом в процессе плавления льда показатель преломления воды меняется с  $1,3480$  до  $1,3340$ . Объяснить это явление, по-видимому, можно структурными изменениями, происходящими при плавлении.

Из рис. 1—6 видно, что соотношения между показателями преломления в жидком и кристаллическом состояниях могут быть равными. В соответствии с этим вещества можно разделить на три группы. К первой группе относятся те вещества, для которых показатели преломления в жидком и в кристаллическом состояниях почти одинаковы (например, о-крезол)

Ко второй группе следует отнести те вещества, для которых показатель преломления в кристаллическом состоянии больше, чем в жидком (например, ментол, ацетамид и др.).

К третьей группе следует отнести те вещества, для которых показатель преломления в поликристаллическом состоянии намного меньше, чем в жидком (например, салол, дифенил и др.).

### ВЫВОДЫ

1. При помощи рефрактометра типа Аббе можно измерить показатель преломления кристаллических пластинок, если смачивать кристаллик жидкостью, которая создавала бы оптический контакт.

2. Для измерения показателя преломления хрупких веществ их необходимо закристаллизовать на призмах рефрактометра.

3. При помощи рефрактометра типа Аббе можно исследовать температурную зависимость показателя преломления кристалла, а также одновременно измерять показатель преломления кристалла и жидкости при температуре фазового перехода.

4. На нескольких органических веществах показано, что характер изменения показателя преломления кристалла вблизи температуры плавления зависит от соотношения между показателями преломления кристалла и жидкости.

Белорусский государственный  
университет им. В. И. Ленина  
Минск

Поступила  
16.I.1956

### ЛИТЕРАТУРА

- Я. И. Френкель, Кинетическая теория жидкостей, Изд. АН СССР, 1945.  
В. Д. Кузнецов, Кристаллы и кристаллизация, Гостехиздат, 1954.  
Н. М. Меланхолин, С. В. Грум-Гржимайло, Методы исследования оптических свойств кристаллов, Изд. АН СССР, 1954.  
Справочник химика том 2 Госхимиздат 1954,  
Справочник физических, химических и технологических величин, под ред. Л. Н. Мартенса Т. 1—40, ОГИЗ, 1927—1933, М. 1929—1933.  
Landolt-Börnstein, Physikalisch—Chemische Tabellen. Т. 1—5, 6-е изд., 1950—1955, Берлин  
Handbuch der organischen Chemie. Beilstein, Bd. 1—28, 1941—1944, Berlin, J. Springer  
Ф. Нечай, О возможности измерения показателя преломления кристаллических тел на рефрактометре типа абб Е. Журн. техн. физ. 26, вып. 2, 1956.

### CONCERNING THE MEASUREMENT OF THE REFRACTIVITY INDEX OF CRYSTALS

[F. T. Nechai (Minsk)]

#### Summary

In this communication it is reported that the refractivity index of thin crystal plates can be measured by means of an Abbe refractometer with a closed prismatic lock. In this case the crystal is wetted with the contacting liquid and placed between the prisms of the refractometer. The method is used by the author to investigate the phase transitions.

If the liquid is crystallized between the refractometer prisms then the crystal plate reduced forms a good optical contact with the prism faces and there is no longer need of mechanical polishing or of applying a contacting liquid.

Heating the crystal plate obtained in the above way allows one to investigate the temperature dependence of the index of refraction of the crystal up to the melting point and to measure the  $h$  of the crystal and  $n$  of the liquid at the moment of melting of the crystal.

In the report data are tabulated on the refractive indices of crystals and of liquids or a number of substances at the moment of melting. Curves are given for the refractive indices of crystals and liquids in the neighborhood of the phase transition as a function of temperature and the ratios are determined between the refractive indices of the crystals and of the liquids at the moment of melting.



## НОВЫЕ МЕТОДЫ КОЛИЧЕСТВЕННОГО ИЗУЧЕНИЯ ВОДОРОДНОЙ СВЯЗИ

### II. МОЛЯРНЫЕ РЕФРАКЦИИ

*С. С. Бацанов и В. И. Пахомов*

В первой статье этой серии [1] был описан метод использования молярных объемов для количественного исследования водородной связи в органических и неорганических соединениях. Настоящая статья посвящена использованию рефрактометрии в тех же целях.

Рефрактометрический метод был уже применен одним из нас к кристаллам неорганических соединений [2—4]; в этой работе он будет распространен на область жидких органических и неорганических веществ.

### НЕОРГАНИЧЕСКИЕ СОЕДИНЕНИЯ

Классическим примером структуры с водородными связями является лед, который по исследованиям Берналла и Фаулера [5] имеет тетраэдрическое строение, причем каждая молекула воды связана со своими соседями двумя водородными связями.

Рефракция льда равняется  $3,68 \text{ см}^3$  (для  $\lambda = \infty$ ), а рефракция кристаллизационной воды —  $3,42 \text{ см}^3$  [3]. Поскольку образование водородной связи сопровождается повышением степени заполнения пространства, а рефракция пропорциональна действительному объему атомов, экзальтация рефракции в случае льда ( $0,26 \text{ см}^3$ ) обусловлена водородными связями.

В многоводных кристаллогидратах молекулы воды упакованы по типу структуры льда, и там, следовательно, также имеются водородные связи. Соответственно этому рефракция воды в  $\text{SrCl}_2 \cdot 6\text{H}_2\text{O}$  равняется  $3,63 \text{ см}^3$ , т. е. больше собственного значения на  $0,21 \text{ см}^3$ .

Связи  $\text{OH} \dots \text{O}$  могут быть не только между молекулами воды, но и между атомами водорода воды и атомами кислорода сульфат-иона, например в  $\text{CaSO}_4 \cdot 2\text{H}_2\text{O}$  и  $\text{K}_2\text{HPO}_4 \cdot 3\text{H}_2\text{O}$ .

Рефракции водородных связей в этих соединениях равны  $0,08$  и  $0,13 \text{ см}^3$  соответственно [3].

Водородные связи существуют также в жидкой воде. По данным Хельманна [6] рефракция воды, экстраполированная на  $\lambda = \infty$ , равняется  $3,66 \text{ см}^3$ ; следовательно,  $R_{\text{H} \dots \text{O}} = 0,13 \text{ см}^3$ .

В табл. 1 собраны значения рефракций водородных связей типа  $\text{OH} \dots \text{O}$ .

Из таблицы видно, что лед имеет наибольшие рефракции водородных связей. Поскольку в кристаллогидратах молекулы воды находятся в поле катионов, что снижает эффективный отрицательный заряд на атомах кислорода, можно констатировать симбатность изменений рефракций водородных связей и эффективных зарядов. В случае воды заниженное значение рефракции может быть связано с тепловым движением молекул жидкости, которое ослабляет водородные связи.

Из других видов водородной связи наиболее изучены рефракции связей  $\text{NH} \dots \text{O}$ . Эти связи имеются в аммиачных солях с кислородсодержащим

Таблица 1

Соединение	$R_{\text{OH} \dots \text{O}}$
$\text{H}_2\text{O}$ (лед)	0,13
$\text{K}_2\text{HPO}_4 \cdot 3\text{H}_2\text{O}$	0,13
$\text{H}_2\text{O}$ (вода)	0,12
$\text{SrCl}_2 \cdot 6\text{H}_2\text{O}$	0,11
$\text{CaSO}_4 \cdot 2\text{H}_2\text{O}$	0,08

ионом. Метод расчета состоит в сравнении молярных рефракций аналогичных аммониевых и калиевых солей. Поскольку эти соли различаются только своими катионами и их молярные рефракции аддитивно слагаются из ионных рефракций [7], разница молярных рефракций  $\Delta R = R_{\text{NH}_4\text{X}} - R_{\text{KX}}$  должна равняться разнице рефракций катионов  $\text{NH}_4^+$  и  $\text{K}^+$ . Последняя равняется  $1,60 \text{ см}^3$ . Завышенное ее значение может быть обусловлено только образованием водородных связей  $\text{NH}\dots\text{O}$  между ионами аммония и кислородсодержащим анионом.

Таблица 2

Соединения	$R_\infty$	$\Delta R_{\text{NH}_4}$	$R_{\text{NH}\dots\text{O}}$
$\text{NH}_4\text{H}_2\text{AsO}_4$	21,47	2,10	0,13
$\text{KH}_2\text{AsO}_4$	19,37		
$(\text{NH}_4)_3\text{Co}(\text{NO}_2)_6$	74,57	2,07	0,12
$\text{K}_3\text{Co}(\text{NO}_2)_6$	68,35		
$(\text{NH}_4)_2\text{HPO}_4$	23,54	2,06	0,12
$\text{K}_2\text{HPO}_4$	19,43		
$\text{NH}_4\text{H}_2\text{PO}_4$	18,66	2,04	0,11
$\text{KH}_2\text{PO}_4$	16,62		
$(\text{NH}_4)_2\text{Cr}_2\text{O}_7$	46,59	2,03	0,11
$\text{K}_2\text{Cr}_2\text{O}_7$	42,53		
$(\text{NH}_4)_2\text{SeO}_4$	26,06	1,99	0,10
$\text{K}_2\text{SeO}_4$	22,08		
$(\text{NH}_4)_2\text{Fe}(\text{SO}_4)_2 \cdot 6\text{H}_2\text{O}$ [8]	59,56	1,86	0,07
$\text{K}_2\text{Fe}(\text{SO}_4)_2 \cdot 6\text{H}_2\text{O}$	55,56		
$(\text{NH}_4)_2\text{SO}_4$	22,42	1,85	0,06
$\text{K}_2\text{SO}_4$	18,73		
$\text{NH}_4\text{HCO}_3$	14,62	1,85	0,06
$\text{KHCO}_3$	12,77		
$\text{NH}_4\text{NO}_3$	12,68	1,81	0,05
$\text{KNO}_3$	10,87		
$\text{NH}_4\text{VO}_3$	21,75	1,79	0,05
$\text{KVO}_3$	19,96		
$\text{NH}_4\text{NO}_3$	14,16	1,78	0,05
$\text{KNO}_3$	12,38		
$\text{NH}_4\text{ClO}_4$	16,92	1,77	0,04
$\text{KClO}_4$	15,15		
$\text{NH}_4\text{Fe}(\text{SO}_4)_2 \cdot 12\text{H}_2\text{O}$ [9]	78,54	1,64	0,01
$\text{KFe}(\text{SO}_4)_2 \cdot 12\text{H}_2\text{O}$	76,90		

В табл. 2 приведены значения рефракций аммониевых и калиевых солей, рассчитанные на  $\lambda = \infty$ . Соединения выписаны в порядке возрастания силы поля центрального атома комплекса типа  $[\text{ЭO}_n]$ , как это можно себе представить на основании периодического закона. В тех случаях, где нет ссылок, величины рефракций взяты из цитированной выше работы [3]. Рефракции отдельных связей  $\text{NH}\dots\text{O}$  рассчитаны делением на четыре экзальтации рефракции, приходящейся на один ион аммония.

Из этой таблицы видно, что рефракция водородной связи  $\text{NH}\dots\text{O}$  изменяется в пределах от 0,13 до 0,04  $\text{см}^3$ , закономерно снижаясь по мере увеличения поляризующего действия центрального атома кислородсодержащего аниона. Последнее обстоятельство обусловлено уменьшением молярности связи  $\text{Э}-\text{O}$  и, следовательно, эффективного отрицательного заряда на кислороде.

Наиболее наглядно это видно на примере соли Мора и железо-аммонийных квасцов — в первом случае (двухвалентное железо) молярная экзальтация составляет  $0,5 \text{ см}^3$ , во втором случае (трехвалентное железо) — водородные связи отсутствуют. Эту зависимость количественно можно выразить в терминах концепции электроотрицательностей. Именно, чем больше электроотрицательность центрального атома, тем более ковалентна связь комплекса. В табл. 3 сопоставлены значения электроотрицательности элементов по Паулингу ( $X$ ) [10] с рефракциями связей  $\text{NH}\dots\text{O}$  в солях с соответствующим центральным атомом.

Зависимость, как явствует из таблицы, совершенно монотонная. Поскольку сила притяжения протона к кислороду комплекса  $[\text{ЭO}_n]$  должна быть пропорциональна эффективному отрицательному заряду на нем, т. е. полярности связи  $\text{Э}-\text{O}$ , очевидно, что энергия связей  $\text{H}\dots\text{O}$  также должна уменьшаться сверху вниз в табл. 3.

Таблица 3

Таблица 4

Элемент	$X$	$R_{\text{H}\dots\text{O}}$	Соединение	Связь	Рефракция
As	2,0	0,13	$\text{K}_4\text{Fe}(\text{CN})_6 \cdot 3\text{H}_2\text{O}$	$\text{O}\text{H}\dots\text{N}$	0,24
P	2,1	0,11	$(\text{NH}_4)_4\text{Fe}(\text{CN})_6 \cdot 1,5\text{H}_2\text{O}$	$\text{N}\text{H}\dots\text{N}$	0,24
Se	2,4	0,10	$\text{NH}_4\text{CNS}$		0,19
S	2,5	0,06	$\text{NH}_4\text{N}_3$		0,14
C	2,5	0,06			
Cl	3,0	0,05	$(\text{NH}_4)_3\text{Fe}(\text{CN})_6$		0,10
N	3,0	0,04			

Таким образом можно сделать вывод, что рефракции водородных связей с кислородом уменьшаются вместе с уменьшением эффективных зарядов на партнерах связи, а это и означает симбатность рефракций и энергий водородных связей, так как энергии последних прямо связаны с полярностью соответствующих атомов [11].

Со значением рефракции водородной связи  $\text{NH}\dots\text{O}$  в кристаллических веществах интересно сопоставить рефракцию этой же связи в водном растворе. Последнюю величину можно определить следующим образом. Из сравнения ионных рефракций для кристаллического состояния и для водных растворов [7] видно, что катионы в кристаллическом состоянии имеют рефракцию, равную или большую чем в растворах (уменьшение рефракции обусловлено деформацией молекул воды). Исключение составляет ион аммония, который в водном растворе имеет большую электронную поляризуемость, чем в кристалле, что обусловлено образованием водородных связей в водных растворах аммониевых солей [1, 12].

Ионная рефракция кристаллического  $\text{NH}_4^+$  равняется  $3,85 \text{ см}^3$ , растворенного —  $4,31 \text{ см}^3$ . Следовательно, экзальтация рефракции из-за образования четырех водородных связей равняется  $4,31 - 3,85 = 0,46 \text{ см}^3$ , и на одну связь  $\text{H}\dots\text{O}$  приходится  $0,12 \text{ см}^3$ . Это значение совпадает с рефракцией связи  $\text{OH}\dots\text{O}$  в жидкой воде (см. табл. 1). Аналогично обстоит дело и с двузамещенным фосфатом калия: рефракция связи молекул воды с фосфат-ионом ( $0,13 \text{ см}^3$ , табл. 1) практически совпадает с рефракцией связи иона аммония с этим же анионом ( $0,12 \text{ см}^3$ , табл. 2). Причина, очевидно, заключается в одинаковой полярности водорода в воде и ионе аммония, причем в последнем случае меньшая разница электроотрицательностей компенсируется дополнительным положительным зарядом [10].

Наряду со связями  $\text{H}\dots\text{O}$ , рефрактометрическим методом исследованы также водородные связи типа  $\text{H}\dots\text{N}$ .

В табл. 4 приведены рефракции этих связей.

В этой таблице наибольшего внимания заслуживают два обстоятельства. Во-первых, большие абсолютные значения рефракций водородных

вязей в роданиде аммония и ферроцианидах калия и аммония, которые обусловлены избыточным отрицательным зарядом на азоте [4]. Во-вторых, резкое уменьшение рефракции водородной связи с азотом пианидного комплекса при увеличении валентности центрального атома:  $0,24 \text{ см}^3$  при  $\text{Fe}^{2+}$  и  $0,10 \text{ см}^3$  при  $\text{Fe}^{3+}$ , которое обусловлено уменьшением эффективных отрицательных зарядов на аддендах. Интересно также, что ион аммония и вода дают одинаковые по величине их рефракций водородные связи типа  $\text{XH} \dots \text{N}$ , аналогично тому, как это было в случае связи с кислородом.

Таким образом и на примерах связи с азотом подтверждается зависимость рефракций водородной связи от полярности атомов. Отсюда можно сделать общий вывод, что рефракции водородных связей в неорганических соединениях закономерно (симбатно) изменяются по мере изменения энергий этих связей. Это позволяет использовать рефрактометрию для количественного изучения водородной связи в неорганических веществах.

### ОРГАНИЧЕСКИЕ СОЕДИНЕНИЯ

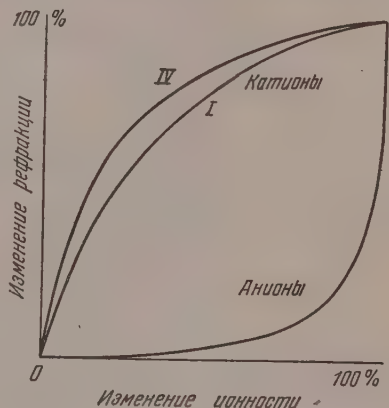
Рефракцию водородной связи в органических веществах мы будем определять таким же путем, что и объемный инкремент [1], т. е. путем сравнения молярных рефракций соседних членов гомологических рядов. Очевидно, что разница рефракций между первым и вторым членом ряда будет отличаться от обычного значения рефракций гомологической разницы при наличии у первого члена водородной связи. Сопоставлением этих двух величин можно выявить рефракцию такой связи. Однако при этом надо учесть изменение рефракции от изменения характера связи, происходящего при переходе к первому члену ряда. Учет этого изменения можно произвести по данным работы Баданова [13], где приведены кривые изменения рефракции атомов по мере их ионизации.

На рисунке воспроизведены кривые изменений рефракций электроположительных элементов I и IV групп («катионы») и электроотрицательных элементов («анионы»). Последняя кривая вычерчена по данным табл. 5, в которой выписаны объемы (кубы радиусов) атомов хлора и брома по мере приобретения последними отрицательного заряда (через 10%).

На основании изучения многих физических свойств известно, что в анилине отсутствует сколько-нибудь заметные водородные связи. В табл. 6 сопоставлены молярные рефракции анилина и его производных, рассчитанные на  $\lambda = \infty$  методом Вульфа по наиболее надежным экспериментальным данным.

Из таблицы видно, что по мере замещения атома водорода при азоте на метильную группу рефракция  $\text{CH}_3$ -группы повышается в среднем на  $0,22 \text{ см}^3$  по сравнению со стандартным значением —  $4,58 \text{ см}^3$ .

Вычитая из рефракции  $\text{R} - \text{NH} - \text{CH}_3$ , где R — радикал, рефракцию  $\text{R} - \text{NH}_2$ , необходимо принять во внимание различие рефракции атома водорода, связанного с азотом, от атома, соединенного с углеродом. Если в первом разнице электроотрицательностей (X) равняется 0,9 и связь на 18% полярна, то во втором случае  $X = 0,4$ , и полярность связи равняется 4% [10]. Из кривой зависимости атомных рефракций элемен-



Изменение рефракции с изменением характера связи



Таблица 5

% ионности	Cl		Br		Среднее Δ%
	r <sup>3</sup>	Δ%	r <sup>3</sup>	Δ%	
0	1,000		1,482		
10	1,112	0,7	1,647	0,3	0,5
20	1,249	0,9	1,847	0,3	0,6
30	1,428	1,1	2,107	0,4	0,7
40	1,656	1,4	2,449	0,5	1,0
50	1,963	1,9	2,918	0,7	1,3
60	2,406	2,8	3,603	1,1	2,0
70	3,070	4,2	4,725	1,7	3,0
80	4,275	7,5	6,859	3,2	5,3
90	6,859	16,2	12,46	8,5	12,3
100	16,90	63,1	67,67	83,4	73,3

тов I группы от полярности связи следует, что рефракция водорода, связанного с азотом, будет на  $0,31 \text{ см}^3$  меньше, чем водорода метильной группы. Помимо водорода нужно учесть также изменение рефракции углерода, который в  $\text{R}-\text{NH}-\text{CH}_3$  имеет связь  $\text{C}-\text{N}$ , отличаясь этим от углерода в обычной гомологической разнице.

Таблица 6

Соединение	$R_\infty$	$\Delta R_{\text{CH}_2}$
$\text{C}_6\text{H}_5-\text{NH}_2$	29,22 [14]	
$\text{C}_6\text{H}_5-\text{NHCH}_3$	34,04 [14]	4,82
$\text{C}_6\text{H}_5-\text{NHC}_2\text{H}_5$	38,65 [14]	4,61
$\text{C}_6\text{H}_5-\text{NH}-\text{NH}_2$	32,56 [15]	
$\text{C}_6\text{H}_5-\text{NCH}_3-\text{NH}_2$	37,35 [15]	4,79
$\text{C}_6\text{H}_5-\text{NC}_2\text{H}_5-\text{NH}_2$	41,93 [15]	4,58
$\text{C}_6\text{H}_5-\text{NHCH}_3$	34,03 [14]	
$\text{C}_6\text{H}_5-\text{N}(\text{CH}_3)_2$	38,84 [14]	4,81
$\text{C}_6\text{H}_5-\text{N}(\text{C}_2\text{H}_5)_2$	47,96 [14]	4,56

Полярность этой связи 6% (10). Поскольку атомная рефракция углерода  $2,08 \text{ см}^3$ , и при полной ионизации одной связи происходит уменьшение в  $0,52 \text{ см}^3$  [13], ионизация одной связи углерода на 6% соответствует уменьшению рефракции на  $0,13 \text{ см}^3$ .

Таблица 7

Соединение	$R_\infty$	$\Delta R_{\text{CH}_2}$
$\text{C}_2\text{H}_5\text{SH}$	18,61 [16]	4,57
$(\text{C}_2\text{H}_5)_2\text{S}$	27,75 [16]	

Изменением рефракции азота можно пренебречь, так как изменению полярности на 12% (при смене связи  $\text{N}-\text{H}$  на  $\text{N}-\text{C}$ ) при приобретении атомом отрицательного заряда соответствует почти горизонтальный отрезок кривой  $R_{\text{азона}} = f(\% \text{ ионности})$ .

Таким образом из-за изменения характера связи при переходе от первого ко второму члену гомологического ряда  $\text{R}-\text{NH}-\text{R}_1$  происходит увеличение рефракции на  $0,31-0,13=0,18 \text{ см}^3$ . Опыт дает значение  $0,22 \text{ см}^3$ . Следовательно, изменение молярной рефракции (в пределах ошибки опыта) обусловлено лишь изменением полярности связи, а не образованием новых водородных связей.

Приведенный выше метод расчета можно проверить также на некоторых сернистых соединениях, где отсутствуют водородные связи, причем сера имеет ту же электроотрицательность, что и углерод, и потому здесь не должно быть никакого изменения рефракции из-за изменения характера связи. В табл. 7 приведены соответствующие данные.

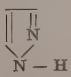
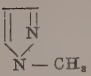
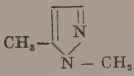
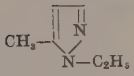
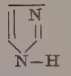
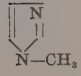
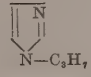
Из таблицы видно, что разница рефракций в случае жирных тиосоединений совпадает с обычным значением рефракции гомологической разницы. Отсюда можно сделать вывод, что в отсутствие водородных связей изменение рефракций при переходе от одного члена гомологического ряда к другому зависит только от изменения характера связи между атомами.

Таблица 8

Соединение	$R_{\infty}$	$\Delta R_{CH_2}$	$R_{NH...N}$
$\begin{array}{c} NH_2-NH_2 \\ N(CH_3)_2-NH_2 \end{array}$	$\begin{array}{c} 8,72 [17] \\ 18,18^* \end{array}$	$4,72$	$0,08$
$\begin{array}{c} CH_3-CH-CH_2CN \\   \\ NH_2 \end{array}$	$23,14 [18]$		$0,14$
$\begin{array}{c} CH_3-CH-CH_2CN \\   \\ N(CH_3) \end{array}$	$32,46 [18]$	$4,66$	

\* По данным таблиц Ландольта — Бернштейна.

Таблица 9

Соединение	$R_{\infty}$	$\Delta R_{CH_2}$	$R_{NH...N}$
	$18,24 [19]$	$4,43$	$0,28$
	$22,67 [19]$	$4,49$	
	$27,03 [19]$		
	$31,52 [19]$		
	$18,13 [20]$	$4,22$	$0,47$
	$22,35 [20]$	$4,47$	
	$31,29 [20]$		

Для определения рефракции связи  $NH...X$  достаточно вычесть разницу молярных рефракций первых и вторых членов соответствующих гомологических рядов ( $\Delta R$ ) из значения разницы рефракций последующих членов ряда (если данных по ним нет, то со стандартным значением  $R_{CH_2} = 4,58 \text{ см}^3$ ) и затем прибавить к разности  $R_{CH_2} - \Delta R$  экспериментально найденную поправку на изменение характера связи ( $0,22 \text{ см}^3$ ).

В табл. 8 приведены данные для аминов жирного ряда.

Сопоставляя данные этой таблицы с табл. 6, можно сделать вывод, что рефракция водородной связи  $\text{NH} \cdots \text{N}$  зависит от основности азота. Так, фенилгидразин — более слабое основание, чем гидразин, и соответственно этому рефракция водородной связи в первом случае равна нулю (табл. 6), а во втором —  $0,08 \text{ см}^3$ .

Таблица 10

Соединение	$R_\infty$	$\Delta R_{\text{CH}_2}$	$R_{\text{NH} \cdots \text{O}}$
$\text{HC} \begin{smallmatrix} \diagup \text{O} \\ \diagdown \text{NH}_2 \end{smallmatrix}$	10,29 [21]	4,56	0,24
$\text{HC} \begin{smallmatrix} \diagup \text{O} \\ \diagdown \text{NHCH}_3 \end{smallmatrix}$	14,85 [21]		
$\text{HC} \begin{smallmatrix} \diagup \text{O} \\ \diagdown \text{NHCH}_3 \end{smallmatrix}$	14,85 [21]	4,55	0,25
$\text{HC} \begin{smallmatrix} \diagup \text{O} \\ \diagdown \text{N(CH}_3)_2 \end{smallmatrix}$	19,40 [21]		
$\text{CH}_3\text{C} \begin{smallmatrix} \diagup \text{O} \\ \diagdown \text{NCH}_2\text{H}_5 \end{smallmatrix}$	23,84 [21]	4,31	0,39
$\text{CH}_3\text{C} \begin{smallmatrix} \diagup \text{O} \\ \diagdown \text{N(C}_2\text{H}_5) \end{smallmatrix}$	32,70 [21]		

В табл. 9 приведены рефракции гетероциклических соединений. Водородные связи в них имеют довольно большие значения рефракций, что также связано со значительным эффективным отрицательным зарядом на атоме азота. Последнее обстоятельство следует из того факта, что атом азота в имидазоле имеет очень высокую основность.

В табл. 10 вычислены рефракции водородной связи типа  $\text{NH} \cdots \text{O}$ .

Из таблицы следует, что в ацетамиде рефракция водородной связи больше, чем в формамиде. Это находится в соответствии с фактом значительно большего повышения температур плавления и кипения ацетамида, чем можно было бы ожидать при простом увеличении молекулярного веса.

Таблица 11

Соединение	$R_\infty$	$\Delta R_{\text{CH}_2}$	$R_{\text{OH} \cdots \text{O}}$
$\text{NON}$	3,66		0,21
$\text{CH}_3\text{OH}$	8,06	4,40	
$\text{C}_2\text{H}_5\text{OH}$	12,48	4,42	

Для определения рефракции водородной связи  $\text{OH} \cdots \text{O}$  необходимо провести соответствующий расчет изменения рефракций атомов при изменении характера связи.

При переходе от метилового эфира к первому члену ряда — спирту или кислоте — происходит уменьшение молярной рефракции на  $0,23 \text{ см}^3$  из-за изменения полярности связей атомов водорода, кислорода и углерода (расчет производился так же, как и для азотосодержащих соединений).

Однако при этом расчете не учитывается индуктивный эффект, т. е. предполагается одинаковая полярность связи в гидроксиле спирта и кислоты, а также в простых и сложных эфирах. Это безусловно не является правильным, но учесть индуктивное влияние в настоящее время невозможно. Влияние такой погрешности в расчете на результат опыта можно оценить следующим путем.

В гомологическом ряду спиртов  $\text{H}_2\text{O}$  можно считать первым членом ряда и применить к ней указанный прием. В табл. 12 помещены соответствующие цифры и расчеты по данным таблиц Ландольта — Беринштейна

Если этот результат сопоставить с данными табл. 1, то видно, что приведенный выше метод расчета дает в данном случае завышенное на  $0,1 \text{ см}^3$  значение. Таким образом неучет индуктивного влияния атомов не отражается в данном случае существенным образом на точности результатов.

В табл. 12 приведены рефрактометрические данные для спиртов и простых эфиров, заимствованные из работы Карвонена [22].

Таблица 12

Соединение	$R_{\infty}$	$\Delta R_{\text{CH}_2}$	$R_{\text{ОН...O}}$
$\text{C}_6\text{H}_7\text{ОН}$	17,07		
$\text{C}_3\text{H}_7\text{ОСН}_3$	21,80	4,73	0,41
$\text{C}_3\text{H}_7\text{ОС}_2\text{H}_5$	26,45	4,65	
$\text{ОНСН}_2\text{СН}_2\text{ОН}$	14,16		
$\text{ОНСН}_2\text{СН}_2\text{ОСН}_3$	18,77	4,62	0,20
$\text{ОНСН}_2\text{СН}_2\text{ОС}_2\text{H}_5$	23,40	4,63	
$\text{СlСН}_2\text{СН}_2\text{ОН}$	17,36		
$\text{СlСН}_2\text{СН}_2\text{ОСН}_3$	21,96	4,60	0,27
$\text{СlСН}_2\text{СН}_2\text{ОС}_2\text{H}_5$	26,64	4,68	

Из таблицы видно, что введение в спирт электрофильных групп (ОН, I) повышает рефракцию водородной связи. В соответствии с этим фактом находится повышение температур кипения спиртов при введении в их келет электрофильных групп, по сравнению с аддитивно вычисленными значениями.

В табл. 13 приведены рефракции кислот и их эфиров. Рефракции кислот и их эфиров состава  $\text{C}_1\text{—C}_5$  рассчитаны по данным таблиц Ландольта-Бернштейна, рефракции бутановой кислоты и ее производных взяты из работы Шайнберга [23].

Таблица 13

Соединение	$R_{\infty}$	$\Delta R_{\text{CH}_2}$	$R_{\text{ОН...O}}$
$\text{НСООН}$	8,37		
$\text{НСООСН}_3$	12,75	4,38	0,41
$\text{НСООС}_2\text{H}_5$	17,35	4,60	
$\text{СН}_3\text{СООН}$	12,75		
$\text{СН}_3\text{СООСН}_3$	17,17	4,42	0,34
$\text{СН}_3\text{СООС}_2\text{H}_5$	21,74	4,57	
$\text{C}_6\text{H}_5\text{СООН}$	17,16		
$\text{C}_2\text{H}_5\text{СООСН}_3$	21,66	4,50	0,28
$\text{C}_2\text{H}_5\text{СООС}_2\text{H}_5$	26,25	4,59	
$\text{C}_3\text{H}_7\text{СООН}$	21,65		
$\text{C}_3\text{H}_7\text{СООСН}_3$	26,26	4,61	0,17
$\text{C}_3\text{H}_7\text{СООС}_2\text{H}_5$	30,85	4,59	
$\text{СlСН}_2\text{СН}_2\text{СН}_2\text{СООН}$	26,35		
$\text{СlСН}_2\text{СН}_2\text{СН}_2\text{СООСН}_3$	30,95	4,60	0,24
$\text{СlСН}_2\text{СН}_2\text{СН}_2\text{СООС}_2\text{H}_5$	35,60	4,65	
$\text{СН}_2\text{СНСlСН}_2\text{СООН}$	26,59		
$\text{СН}_2\text{СНСlСН}_2\text{СООСН}_3$	31,06	4,47	0,31
$\text{СН}_2\text{СНСlСН}_2\text{СООС}_2\text{H}_5$	35,65	4,59	
$\text{СН}_2\text{СН}_2\text{СНСlСООН}$	26,76		
$\text{СН}_2\text{СН}_2\text{СНСlСООСН}_3$	31,09	4,33	0,49
$\text{СН}_2\text{СН}_2\text{СНСlСООС}_2\text{H}_5$	35,72	4,63	



Данные таблицы указывают, что рефракция водородной связи в жирных кислотах уменьшается по мере роста углеродного скелета молекулы. Представляет интерес также влияние хлора на рефракцию водородной связи в кислотах. Введение хлора в  $\gamma$ -положении в бутановую кислоту, повышает рефракцию  $\text{OH}\cdots\text{O}$  связи от 0,17 до 0,24  $\text{см}^3$ .

По мере приближения галогена к карбоксильной группе рефракция водородной связи увеличивается до 0,49  $\text{см}^3$ . Аналогичное явление имело место и в случае спиртов, как было указано выше.

Таким образом различие молекулярных рефракций изомерных хлорзамещенных спиртов и кислот в зависимости от положения галогена в цепи, отмеченное нами раньше [24], обусловлено водородными связями в этих веществах.

До сих пор мы исследовали межмолекулярные водородные связи. Рефрактометрические данные по фенолам позволяют изучить и некоторые виды внутримолекулярной водородной связи. Различие последних удобно производить по молекулярным объемам [1].

В табл. 14 определены рефракции внутримолекулярных связей типа  $\text{OH}\cdots\text{O}$  по данным Ауверса [25]. В качестве исходной величины для сравнения взято стандартное значение  $R_{\text{CH}_3} = 4,58 \text{ см}^3$ .

Таблица 14

Соединение	$R_\infty$	$\Delta R_{\text{CH}_3}$	$R_{\text{OH}\cdots\text{O}}$
	32,52		0,41
		4,36	
	36,74		
	36,78		0,44
		4,63	
	41,41		
	45,80		0,19
		4,58	
	50,38		
	38,19		0,16
		4,61	
	42,80		

Приведенные данные показывают, что рефракции внутримолекулярных водородных связей имеют тот же порядок величин, что и у межмолекулярных.

трных связей. Увеличение алифатической части молекулы в общем снижает величину рефракции водородной связи.

Приведенные значения рефракций водородных связей в органических соединениях для каждого класса веществ изменяются симбатно изменениям энергий этих связей, как это можно себе представить на основании физико-химических свойств. Поэтому определенные нами величины рефракций имеют объективное значение. Неточности расчета рефракций, происходящие главным образом от неучета индуктивного влияния атомов, будут больше всего сказываться при сравнении рефракций водородных связей веществ разных классов. Однако общий характер изменения рефракций связей и здесь совпадает с характером изменений их энергий.

Известно, что энергии водородных связей в кислотах порядка 8 ккал, в спиртах и фенолах порядка 5—6 ккал [26]. Сравнение данных табл. 12 и 13 показывает, что и рефракции водородных связей в кислотах соответственно в полтора—два раза больше, чем в спиртах. Водородные связи на  $\text{NH}\dots\text{N}$  в аммиаке имеют энергии 1—3 ккал, тогда как энергия связи  $\text{I}\dots\text{O}$  в воде равняется  $\sim 5$  ккал [6]. Соответственно этому рефракция водородной связи в воде ( $0,12 \text{ см}^3$  по табл. 1,  $0,21 \text{ см}^3$  по табл. 2) в среднем два раза больше, чем в гидразине ( $0,08 \text{ см}^3$ , табл. 8).

Эти примеры показывают, что и сравнение инкрементов рефракций, характеризующих связи различных типов, не приводит к противоречию энергетическими характеристиками водородных связей. Следовательно, и помощи рефрактометрии можно не только обнаруживать водородные связи, но и получать сведения об их энергиях.

Следует сказать, что описанный в настоящей статье метод определения рефракций водородных связей не является единственным. Куран и Палерти [27] предложили вычислять рефракции двузамещенных бензолов по формуле  $R_d = R_{m_1} + R_{m_2} - R_b$ , где  $R_d$  и  $R_m$  — рефракции ди- и монозамещенных бензолов и  $R_b$  — рефракция самого бензола. Экзальтацию рефракции, полученную по этой формуле для о-гидроксинацетофенона и о-гидроксипальдегида, эти авторы приписали, резонансной стабилизации, обусловленной образованием водородной связи [28]. Однако при этом не учтены другие возможные причины отклонения рассчитанной величины экспериментального значения, например стерический фактор, который час может существенно сказываться на рефракциях [29]. Кроме того, известные авторы констатировали в некоторых случаях увеличение рефракции из-за образования водородных связей при растворении одного и того же вещества в разных средах. Поскольку при растворении происходит изменение поляризуемости молекул (например, из-за перераспределения водородных связей), становится очевидной невозможность получения на этом пути сколько-нибудь надежных цифр. В силу этого оба способа расчета рефракций водородных связей в органических соединениях получили дальнейшего развития и применения.

Развитый в настоящей работе метод, далекий, конечно, от совершенства, не имеет отмеченных выше принципиальных недостатков и поэтому может принести пользу при изучении водородной связи в органических веществах.

### ВЫВОДЫ

1. Образование водородных связей в неорганических соединениях повышает рефракцию от  $0,04$  до  $0,24 \text{ см}^3$  на каждую связь.
2. Образование водородных связей в органических веществах увеличивает рефракцию от  $0,08$  до  $0,49 \text{ см}^3$  на каждую связь.
3. Величины инкрементов рефракции водородных связей изменяются симбатно их силам.

## ЛИТЕРАТУРА

1. С. С. Бацанов, В. И. Пахомов, Журн. физ. химии, 30, 142, 1956.
2. С. С. Бацанов, Вестн. Моск. ун-та, № 9, 95, 1954.
3. С. С. Бацанов, А. С. Сонин, Кристалл., 1, 321, 1956.
4. С. С. Бацанов, Кристалл., 1, 328, 1956.
5. J. Vernall, R. Fowler, Journ. Chem. Phys., 1, 515, 1933.
6. P. Hölemann, Zs. phys. Chem., B32, 353, 1936.
7. Г. Б. Бокий, С. С. Бацанов, Вестн. Моск. ун-та, № 10, 87, 1954.
8. A. Tutton, Zs. Kryst., 52, 452, 1913.
9. C. Soret, Zs. Kryst., 11, 199, 1886.
10. Л. Паулинг, Природа химической связи, Госхимиздат, 1947.
11. А. Е. Луцкий, Журн. общ. химии, 25, 1086, 1955.
12. K. Fajans, O. Johnson, Journ. Amer. Chem. Soc., 64, 668, 1942.
13. С. С. Бацанов, Журн. физ. химии, 30, 2640, 1956.
14. J. Brühl, Zs. phys. Chem., 16, 216, 1895.
15. K. Auwers, Ann., 437, 82, 1924.
16. R. Nasini, Ber., 15, 2882, 1882.
17. L. Barric, G. Drake, Journ. Amer. Chem. Soc. 58, 160, 1936.
18. P. Bruyants, Bl. Soc., chim. Belg., 32, 257, 1923.
19. K. Auwers, W. Kohlhaas, Ann., 437, 48, 1924.
20. Б. В. Иоффе, Журн. общ. химии, 25, 902, 1955.
21. K. Auwers, Zs. phys. Chem., 122, 248, 1926.
22. A. Karvonen, Ann. Acad. Sci. Fenn. A10, 1, 1916.
23. E. Schjaneberg, Zs. phys. Chem. A172 197, 1935.
24. С. С. Бацанов, В. И. Пахомов, Вестн. Моск. ун-та, № 10, 83, 1954.
25. K. Auwers, Ann., 408, 246, 1915.
26. J. Robertson. Organic crystals and molecules «Ithaca», 1953.
27. C. Curan, F. Palermi, Journ. Amer. Chem. Soc., 73, 3733, 1951.
28. F. Palermi, C. Curan, Journ. Amer. Chem. Soc., 70, 3527, 1948.
29. С. С. Бацанов, В. И. Пахомов, Вестн. Моск. ун-та, № 2, 65, 1956.

## NEW QUANTITATIVE METHODS OF INVESTIGATING THE HYDROGEN BOND

## II. MOLAR REFRACTIONS

S. S. Batsanov and V. I. Pakhomov (Moscow)

## Summary

By comparing the molar refractions of substances similar in composition and structure but differing by the presence of hydrogen bonds, the refractivities of various types of hydrogen bonds were determined.

It was found that:

- 1) The formation of hydrogen bonds in inorganic compounds increases the refractivity from 0.04 to 0.24 cm<sup>3</sup> for each bond.
- 2) The formation of hydrogen bonds in organic compounds increases the refractivity from 0.08 to 0.49 cm<sup>3</sup> for each bond.
- 3) The values of the refraction increments of the hydrogen bonds parallel bond energies.

## К ТЕРМОДИНАМИЧЕСКИМ РАСЧЕТАМ ПРОЦЕССОВ ГОРЕНИЯ ВОДОРОДНО-КИСЛОРОДНЫХ СМЕСЕЙ

А. А. Блочкин, П. Г. Маслов

Теоретический расчет процессов горения имеет важное значение в технике. Он находит применение при оценке влияния состава исходной смеси на те или иные характеристики процессов [1—3] для расчета технических характеристик двигателей [4—6] и решения тех или иных задач в металлургии [7], в сварочном деле и т. д.

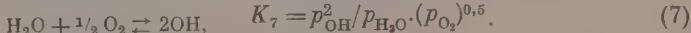
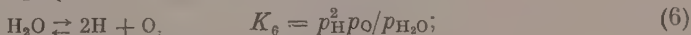
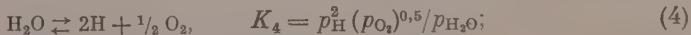
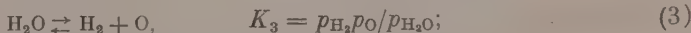
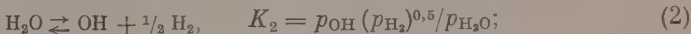
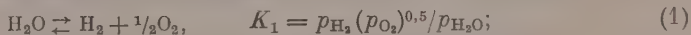
Известны различные методы расчета процессов горения [8—12]. По существу все они исходят из предположения, что процесс горения протекает адиабатически и может быть разбит на три стадии: 1) смесь сгорает при начальной температуре  $T_0$  и давлении  $p_0$ , выделяя некоторое количество энергии  $\Delta$ ; 2) продукты сгорания в той или иной степени диссоциируют, на что расходуется некоторая доля  $\Delta_{\text{дисс}}$  выделенной энергии; при том степени превращения определяются при конечной искомой температуре  $T$  и давлении  $p$  (или объеме  $V$ ); 3) конечная равновесная смесь нагревается от исходной  $T_0$  до конечной искомой температуры  $T$ , на что тратится оставшаяся доля выделенной при горении энергии, т. е. часть  $\Delta_{\text{нагр.}} = \Delta - \Delta_{\text{дисс}}$ . Естественно, что в процессе горения выполняется как закон сохранения энергии, так и закон сохранения вещества [8, 9]. В основном методы расчета процессов горения отличаются друг от друга способом решения соответствующих систем уравнений [8—12].

В работе [12] нами рассмотрен метод расчета процессов горения смесей, содержащих углерод, водород и кислород.

В настоящей статье предлагается метод расчета процессов горения водородно-кислородных смесей при избытке водорода, могущих содержать, кроме того, некоторые инертные газы и пары воды.

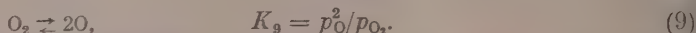
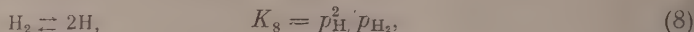
Пусть смесь, состоящая из  $n_1$  молей водорода и  $n_2$  молей кислорода ( $n_1 > 2n_2$ ), содержащая, кроме того,  $n_0$  молей паров воды (влажная смесь) и  $n'_0$  молей инертного газа, сгорает при постоянном объеме в закрытом сосуде с центральным зажиганием. Начальную температуру и давление обозначим через  $T_0$  и  $p_0$  соответственно, общее количество молей в смеси о сгорания через  $\Sigma'$ . Как и обычно, процесс горения считаем адиабатическим.

В конце первой стадии горения смесь, очевидно, будет содержать  $2n_2 + n_0$  молей воды,  $n_1 - 2n_2$  молей несгоревшего водорода и  $n'_0$  молей инертного газа. Продукты сгорания за счет выделенной энергии  $\Delta$  не только агрегуются до весьма высокой температуры  $T$ , но частично диссоциируют. Возможными реакциями диссоциации воды  $\text{H}_2\text{O}$ , вообще говоря, будут





Водород и кислород частично диссоциируют по уравнениям:



Здесь  $K_i$  — константы равновесия  $p_{\text{H}_2}$ ,  $p_{\text{O}_2}$ ,  $p_{\text{H}_2\text{O}}$ ,  $p_{\text{O}}$ ,  $p_{\text{H}}$  и  $p_{\text{OH}}$  — парциальные давления.

Таким образом при двух принимающих участие в горении элементах водорода и кислорода в равновесной смеси присутствуют, кроме инертных газов,  $\text{H}_2\text{O}$ ;  $\text{H}_2$ ;  $\text{O}_2$ ;  $\text{O}$ ,  $\text{OH}$  и  $\text{H}$ . Однако при избытке водорода в смеси диссоциацией кислорода можно пренебречь. Поэтому в равновесной смеси после сгорания будут содержаться пять компонентов (кроме инертного газа). Отсюда, в нашем случае, для расчета процесса горения из восьми реакций диссоциации, приведенных выше, можно взять лишь три независимые. В качестве последних мы выбираем первую, вторую и восьмую реакции. Как известно [9, 11], константы равновесия других реакций выражаются через  $K_1$ ,  $K_2$ ,  $K_8$  по соотношениям:

$$K_4 = K_1 K_8; \quad K_5 = K_2 K_8^{0.5}; \quad K_7 = K_2^2 K_1^{-1}; \quad K_6 = K_9 K_3. \quad (10)$$

Обозначим через  $x$ ,  $y$  и  $z$  степени превращения, т. е. молярные доли воды и водорода, диссоциированных по уравнениям (1), (2) и (8), соответственно. Далее, как и обычно [2—4, 8—10, 12], предполагается, что исходная смесь сгорает, а затем продукты сгорания диссоциируют при начальной температуре  $T_0$  и давлении  $p_0$ , между тем как степени превращения  $x$ ,  $y$ ,  $z$  удовлетворяют условию равновесия конечной смеси при искомой температуре  $T$  и давлении  $p$ .

Таким образом в конечной равновесной смеси присутствуют:

$m_{\text{H}_2\text{O}} = (2n_2 + n_0)(1 - x - y)$	молей	$\text{H}_2\text{O}$ ,	} (11)
$m_{\text{H}_2} = [(2n_2 + n_0)(x + 0.5y) + (n_1 - 2n_2)(1 - z)]$	»	$\text{H}_2$	
$m_{\text{O}_2} = 0.5(2n_2 + n_0)x$	»	$\text{O}_2$ ,	
$m_{\text{OH}} = (2n_2 + n_0)y$	»	$\text{OH}$ ,	
$m_{\text{H}} = 2[(2n_2 + n_0)(x + 0.5y) + (n_1 - 2n_2)]z$	»	$\text{H}$ .	

Учитывая, что связь между парциальными давлениями  $p_k$  и числом молей  $m_{ik}$   $k$ -ой компоненты в смеси дается выражением вида

$$p_k = p_0 T m_{ik} / T_0 \Sigma', \quad (12)$$

уравнения (1), (2) и (8) для констант равновесия нетрудно представить в форме:

$$\alpha K_1 = \frac{[(2n_2 + n_0)(x + 0.5y) + (n_1 - 2n_2)](1 - z)}{[2(2n_2 + n_0)]^{0.5}} \frac{x^{0.5}}{1 - x - y}, \quad (1')$$

$$\alpha K_2 = \frac{\{[(2n_2 + n_0)(x + 0.5y) + (n_1 - 2n_2)](1 - z)\}^{0.5}}{1 - x - y} y, \quad (2')$$

$$\alpha K_8 = [(2n_2 + n_0)(x + 0.5y) + (n_1 - 2n_2)] \frac{4z^2}{1 - z}. \quad (8)$$

В уравнениях (1'), (2') и (8')

$$\alpha = \left( \frac{T_0 \Sigma'}{p_0 T} \right)^{0.5}. \quad (13)$$

Уравнение энергетического баланса

$$\Delta = \Delta_{\text{дисс}} + \Delta_{\text{нагр}} \quad (14)$$

может быть записано более конкретно, а именно:

$$57490 \cdot 2n_2 = (2n_2 + n_0) [(57490 - \Delta_{H_2O} + 0,5\Delta_{O_2})x + \\ + (0,5 \cdot 63000 - \Delta_{H_2O} + \Delta_{OH})y + \Delta_{H_2}] + [(2n_2 + n_0)(x + 0,5y) + (n_1 - 2n_2)] \times \\ \times [(102817 - \Delta_{H_2} + 2\Delta_H)z + \Delta_{H_2}] + 2,5805n'_0(T - T_0). \quad (15)$$

В уравнении (15) молярная энергия диссоциации по уравнению (1) принята равной 57 490 кал/моль, по уравнению (2) — 63 000 кал/моль, энергия диссоциации водорода по уравнению (8) принята равной 102 817 кал/моль; значения  $\Delta_{H_2O}$ ,  $\Delta_{O_2}$ ,  $\Delta_{OH}$ ,  $\Delta_{H_2}$  и  $\Delta_H = 2,5805(T - T_0)$  определяются по таблицам [8]. В случае сгорания смесей при постоянном давлении они представляют собой изменения молярных энтальпий и находятся из таблиц [2]. Очевидно, что  $\Delta_{H_2O}$ ,  $\Delta_{O_2}$  и т. д. являются функциями температуры  $T$ .

Принципиально, из четырех уравнений (1'), (2'), (8') и (15) можно определить четыре неизвестных  $x$ ,  $y$ ,  $z$  и  $T$  и затем при взрывах по выражению

$$p = p_0 T \Sigma / T_0 \Sigma', \quad (16)$$

давление взрыва, а при горении в открытых сосудах ( $p_0 = \text{const}$ ) по соотношению:

$$V = V_0 \frac{T \Sigma}{T_0 \Sigma'}, \quad (17)$$

объем пламени [8]; в выражениях (16) и (17)  $\Sigma$  — общее количество молей в конечной равновесной смеси после сгорания,  $V_0$  — начальный объем, занимаемый еще несгоревшей смесью. Однако практически решить систему из четырех и часто из большего числа нелинейных уравнений не представляется возможным. Существующие методы расчета процессов горения отличаются друг от друга главным образом способами нахождения приближенных решений [2, 4, 8, 9—12]. К сожалению, все они связаны с утомительным процессом итерации при решении систем уравнений.

В настоящей работе найдена возможность обойти указанную трудность. Тут дела состоят в том, что в уравнении (2') пренебрежение слагаемым  $(2n_2 + n_0)(x + 0,5y)$  уменьшает правую часть примерно настолько же, насколько увеличивается ее значение при отбрасывании множителя  $(1-z)$ ; кроме того, можно пренебречь значением  $x$  в сравнении с единицей. С учетом этого из уравнения (2') находим нулевое приближение для  $y$ :

$$y_0 \approx \frac{\alpha K_2}{(n_1 - 2n_2)^{0,5} + \alpha K_2}. \quad (18)$$

Если теперь в выражении (8') пренебречь значением  $x$  и вместо  $y$  подставить его значение  $y_0$ , определяемое по формуле (18), то после решения полученного квадратного уравнения нетрудно получить соотношение для определения  $z$ , т. е.

$$z = \frac{\{16\alpha^2 K_8 [(2n_2 + n_0)0,5y_0 + (n_1 - 2n_2)] + \alpha^2 K_8^{2,0,5} - \alpha^2 K_8\}}{8[0,5(2n_2 + n_0)y_0 + (n_1 - 2n_2)]}. \quad (19)$$

зная  $y_0$  и  $z$ , из уравнения (2'), находим более точное значение  $y$ ; при этом

$$y = \frac{\alpha K_2}{\{[0,5(2n_2 + n_0)y_0 + (n_1 - 2n_2)](1-z)\}^{0,5} + \alpha K_2}. \quad (20)$$

Наконец, в уравнении (1')  $x \ll x^{0,5}$ ; поэтому, пренебрегая  $x$  и решая уравнение относительно  $x^{0,5}$ , приходим к формуле

$$x^{0,5} = \frac{\alpha K_1 [2(2n_2 + n_0)]^{0,5} (1-y)}{[0,5(2n_2 + n_0)y + (n_1 - 2n_2)](1-z)};$$

отсюда

$$x = \frac{\alpha^2 K_1^2 [2(2n_2 + n_0)](1-y)^2}{\{[0,5(2n_2 + n_0)y + (n_1 - 2n_2)](1-z)\}^2} \quad (21)$$

При заданных температуре  $T$ , константах равновесия  $K_1$ ,  $K_2$ ,  $K_8$  и известном составе исходной смеси совокупность формул (18)—(21) дает возможность определять степени превращения  $x$ ,  $y$ ,  $z$  с высокой степенью точности без решения системы уравнений (1'), (2') и (8'). Это существенно упрощает весь расчет процессов сгорания.

Для этой цели задают предполагаемую температуру сгорания (пусть  $T = T_1$ ); берут из таблиц [8; 9; 12] соответствующие величины для  $K_1$ ,  $K_2$  и  $K_8$ ; по формулам (18)—(21) определяют  $x$ ,  $y$ ,  $z$  и подставляют их в уравнение (15). Если равенство выполняется достаточно хорошо, то  $T_1$  — искомая температура, а  $x$ ,  $y$ ,  $z$  — искомые степени превращения; если же окажется, что левая часть равенства (15) будет больше правой, то искомая температура лежит выше  $T_1$ . В таком случае берут для  $T$  новое значение  $T_2 > T_1$ , например,  $T_2 = T_1 + 100$ , и все вычисления повторяют еще раз; если же левая часть равенства (15) окажется меньше правой, то это означает, что искомая температура  $T < T_1$ , и тогда берут  $T_2 < T_1$ . Затем поступают так, как это описано в [2] и в [8—11].

Для иллюстрации рассмотрим пример, приведенный в [8].

В бомбе с центральным зажиганием сгорает смесь, состоящая из  $n_1 = 1,297$  молей водорода,  $n_2 = 0,5$  молей кислорода,  $n'_0 = 7,23$  молей аргона и  $n_0 = 0,169$  молей паров воды. Начальная температура смеси  $T_0 = 291^\circ \text{K}$ , давление  $p_0 = 760$  мм рт. ст. Рассчитать процесс взрыва смеси.

Принимая во внимание [8], для искомой температуры  $T$  сразу выбираем значение  $T = 2020^\circ \text{K}$ , при котором (см. таблицы в [8])  $K_1 = 0,00040$ ;  $K_2 = 0,000417$  и  $K_8 = 0,000006$ . Затем по формулам (13), (18)—(21) определяем  $\alpha$ ,  $x$ ,  $y$ ,  $z$ ; при этом  $\alpha = 0,041958$ ;  $x = 0,7 \cdot 10^{-9}$ ,  $y = 0,0000236$ ;  $z = 0,000121$ . Подставляя  $x$ ,  $y$ ,  $z$ , а также значения  $\Delta_{\text{H}_2\text{O}}$ ,  $\Delta_{\text{H}_2}$ ,  $\Delta_{\text{O}_2}$ ,  $\Delta_{\text{OH}}$ , найденные по [8], убеждаемся в справедливости равенства (15). Это свидетельствует о том, что  $T = 2020^\circ \text{K}$  — искомая температура сгорания, а  $x$ ,  $y$ ,  $z$  — искомые степени превращения  $\text{H}_2\text{O}$  и  $\text{H}_2$ . На основании вычисленных значений  $x$ ,  $y$ ,  $z$  при помощи выражения (11) легко находится состав конечной равновесной смеси после взрыва, а по соотношению (16) — давление взрыва; расчет дает, что  $p = 4964$  мм рт. ст.

Итак, опытное значение давления взрыва по [8] будет 5015 мм рт. ст., а рассчитанное нами равно 4964 мм рт. ст.; опытная температура взрыва по [8]  $2041^\circ \text{K}$ , расчетная  $2020^\circ \text{K}$ . Такое совпадение можно считать удовлетворительным.

При взрыве смеси, состоящей из  $n_1 = 3,924$  молей  $\text{H}_2$ ,  $n_2 = 0,5$  моля  $\text{O}_2$  и  $n_0 = 0,111$  моля  $\text{H}_2\text{O}$ , при начальных условиях:  $T_0 = 291^\circ \text{K}$ ,  $p_0 = 760$  мм рт. ст., наш расчет дал искомую температуру взрыва  $T = 2488^\circ \text{K}$  и давление  $p = 5781$  мм рт. ст.; опытные же величины [8] равны  $2419^\circ \text{K}$  и  $p = 5625$  мм рт. ст. Как видно, и в этом случае согласие удовлетворительное.

Существенно обратить внимание на то, что степень превращения  $y$  для  $\text{H}_2\text{O}$  по уравнению (2) с образованием гидроксильной группы  $\text{OH}$  много больше, чем степень превращения ее по уравнению (1) с образованием  $\text{O}_2$  и  $\text{H}_2$ , т. е.  $x \ll y$ . Это соответствует сравнительно большому содержанию свободного гидроксидов  $\text{OH}$  в конечной равновесной смеси, что находится в согласии с выводами В. Н. Кондратьева [13], вытекающими из опыта.

Пусть при расчете процессов взрыва с избытком водорода необходимо учесть степень превращения  $t$  кислорода по уравнению (9); тогда в соотношении (11) число молей кислорода в конечной равновесной смеси будет иным, а именно:  $m_{\text{O}_2} = 0,5(2n_2 + n_0)x(1-t)$ ; кроме того, в смеси присут

существует шестой компонент — атомарный кислород в количестве  $m_{1s} = (2n_2 + n_0) \alpha t$  молей. Вследствие этого уравнение (1') заменится более сложным, а именно

$$\alpha K_1 = \frac{[(2n_2 + n_0)(x + 0.5y) + (n_1 - 2n_2)](1 - z)[x(1 - t)]^{0.5}}{[2(2n_2 + n_0)]^{0.5}(1 - x - y)} \quad (1'')$$

Уравнения же (2') и (8'), как легко убедиться, не претерпевают изменений. Однако появляется четвертое уравнение, вытекающее из соотношения (9), а именно

$$\alpha^2 K_9 = (2n_2 + n_0) x \frac{t^2}{1 - t} \quad (9')$$

В этом более общем случае остаются в силе формулы (18) — (20) для определения  $y_0$ ,  $y$  и  $z$ : формула (21) для определения  $x'$  заменяется более сложной. Для нахождения  $x'$  и  $t$  надо решить совместно уравнения (1'') и (9'), считая  $y$  и  $z$  уже известными из соотношений (18) — (20). Это дает для  $t$  и  $x'$  формулы:

$$t = \frac{\alpha^2 K_9 - [\alpha^2 K_9 (2n_2 + n_0) L]^{0.5}}{\alpha^2 K_9 - (2n_2 + n_0) L} > 0, \quad (22)$$

$$x' = \frac{L}{1 - t} > 0,$$

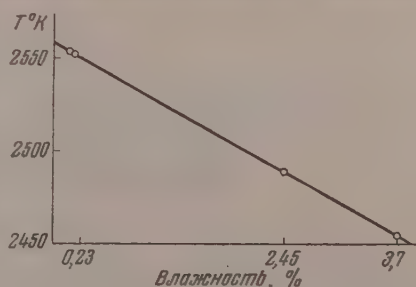
$$L = \frac{\alpha^2 K_1^2 [2(2n_2 + n_0)](1 - y)^2}{\{[(2n_2 + n_0)0.5y + (n_1 - 2n_2)](1 - z)\}^2};$$

следовательно,  $L$  равно значению  $x$ , найденному без учета диссоциации кислорода.

Предлагаемый метод расчета процессов взрывов водородно-кислородных смесей с избытком водорода отличается от известных методов тем, что пользование им существенно сокращает весь процесс расчета.

В заключение мы исследовали зависимость температуры взрыва водородно-кислородных смесей от влажности смеси. Для смеси, содержащей  $n_1 = 3,924$  моля  $H_2$ ,  $n_2 = 0,5$  моля  $O_2$ , но имеющей различную влажность %, результаты расчетов приведены в таблице. Зависимость температуры взрыва от влажности по данным таблицы изображена на рисунке. Как видно на рисунке, нанесенные точки с большой точностью ложатся на прямую. Таким образом зависимость  $T = f(n_0)$  может быть выражена в линейной форме

$$T = a - b(n_0) \quad (23)$$



Заметим, что на рисунке по оси абсцисс отложена влажность в процентах. Это позволяет сделать, по крайней мере, приближенно следующий вывод: зная температуру взрыва водородно-кислородной смеси с избытком водорода для двух значений влажности, по графику или аналитически по формуле типа (23) легко определить температуру взрыва смеси того же состава при любых ее других влажностях.



Смесь:  $n_1 = 3,924$  моля  $H_2$ ;  $n_2 = 0,5$  моля  $O_2$ 

Число молей $H_2O$	Влажность $n_0$ в %	$T$ , °К	$T_0$ , °К	$\Sigma'$
0,000	0,00	2559	291	4,424
0,008	0,18	2553	291	4,432
0,010	0,23	2551	291	4,434
0,111	2,4	2488	291	4,535
0,170	3,7	2455	291	4,594

## ВЫВОДЫ

1. Предложен метод расчета процессов взрыва водородно-кислородных смесей с избытком водорода, отличающийся от других [2, 4, 8—11] значительной простотой всех вычислений.

2. Обнаружено, что зависимость температуры взрыва данной смеси от влажности приближенно является линейной.

Поступила  
18.I.1956

## ЛИТЕРАТУРА

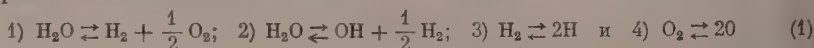
1. W. Fenning and A. C. Whiffen, Phil. Trans. Roy. Soc., 238(A), 149, 1939.
2. Р. Веннер, Термохимические расчеты, ИИЛ, М., 1950.
3. «Химия двигателя», Сборник № 1, Химические основы работы двигателя, ИИЛ, М., 1948.
4. А. П. Ваничев, Термодинамический расчет горения и истечения в области высоких температур, Бюро новой техники, М., 1947.
5. Hottel, Eberhardt, Chem. Rev., 21, 438, 1937.
6. V. N. Huff, S. Gordon, V. E. Morrell, General method and thermodynamic tables for computation of equilibrium composition and temperature of chemical reactions. NACA, Report, 1037, 1951.
7. Ф. Н. Пирский и М. М. Карнаухов, Расчеты процессов горения, 1929.
8. Б. Льюис и Г. Эльбе, Горение, пламя и взрывы в газах, ИИЛ, М., 1948.
9. Я. Б. Зельдович и А. И. Полярный, Расчеты тепловых процессов при высокой температуре, Бюро новой техники, М., 1947.
10. В. Иост, Взрывы и горение в газах, ИИЛ, М., 1952.
11. N. Zeise, Feuerungstechnik, 26, 5, 9, 278, 1938.
12. П. Г. Маслов, Журн. физ. химии, 29, 62, 1955.
13. В. Н. Кондратьев, Свободный гидроксил, ОНТИ, М., 1939.

THERMODYNAMIC CALCULATIONS OF THE BURNING PROCESS  
OF HYDROGEN-OXYGEN MIXTURES

A. Klochikhin and P. G. Maslov (Moscow)

## Summary

In the report a method is proposed for calculating the burning process of hydrogen-oxygen mixtures containing excess hydrogen and, moreover, possibly some inert gases. In comparison with the existing methods this one is considerably simpler. At low temperatures, besides the inert gases the reaction products contain water vapor,  $H_2$  and  $O_2$ . At sufficiently high temperatures these components partially dissociate. It is assumed that the equations for the dissociation are:



the degree of conversion being expressed in  $x$ ,  $y$ ,  $z$  and  $t$ . The latter as shown in the report are easily determined from the equations:

$$y_0 = \alpha K_2 / (n_1 - 2n_2)^{0,5} + \alpha K_2 \quad (2)$$

$$z = [ \{ 16\alpha^2 K_8 [(2n_2 + n_0) 0,5 y_0 + (n_1 - 2n_2) + \alpha^2 K_8^2]^{0,5} - \\ - \alpha K_8 \} / 8 [0,5 (2n_2 + n_0) y_0 + (n_1 - 2n_2)] \quad (3)$$

$$y = \alpha K_2 / \{ [0,5 (2n_2 + n_0) y_0 + (n_1 - 2n_2)] (1 - z) \}^{0,5} + \alpha K_2 \quad (4)$$

$$L = x' = \alpha^2 K_1^2 [2 (2n_2 + n_0)] (1 - y)^2 / \{ [2n_2 + n_0] 0,5 y + (n_1 - 2n_2) \} (1 - z) \}^2 \quad (5)$$

$$t = \{ - [\alpha^2 K_9 (2n_2 + n_0) L]^{0,5} + \alpha^2 K_9 \} / [\alpha^2 K_9 - (2n_2 + n_0) L] > 0 \quad (6)$$

$$x' = L / (1 - t) \quad (7)$$

In the equations (2) to (7)  $n_1$ ,  $n_2$ ,  $n_0$  are the numbers of moles of  $H_2$ ,  $O_2$  and  $H_2O$  in the initial mixture;  $K_1$ ,  $K_2$ ,  $K_3$ ,  $K_8$  and  $K_9$  are the equilibrium constants corresponding to equations 1), 2), 3) and 4), respectively, in (1);  $\alpha = [T_0 \Sigma' / T p_0]^{0,5}$  where  $T_0$  and  $T$  are the beginning and unknown temperatures;  $p$  and  $p_0$  are the initial and final explosion pressures;  $\Sigma'$  and  $\Sigma$  are the total number of moles in the mixture before and after combustion. Assuming the most probable burning temperature  $T$  the degree of conversion of  $x$ ,  $y$ ,  $z$ , and  $t$  and consequently the equilibrium composition are obtained from the equations (2)–(7), the composition being checked according to the well known equation for the energy balance. After determination of the composition the pressure  $p$  or volume  $V$  is found. The applicability of the method is illustrated by examples. It has been noted that the explosion temperature depends practically linearly upon the humidity of the mixture.

## К ВОПРОСУ О ПОНЯТИИ «ОБЛАСТИ МИГРАЦИИ» В ТЕОРИИ АКТИВНЫХ АНСАМБЛЕЙ

*О. М. Полторак*

При определении строения центра катализа методом теории активных ансамблей Н. И. Кобозева [1] основной задачей является нахождение закона распределения каталитически активного вещества на поверхности носителя. Н. И. Кобозевым этот вопрос решен при помощи введения представления о замкнутых «областях миграции», ограничивающих свободную диффузию по поверхности адсорбента, что позволило простым путем найти закон распределения, приводящий к результатам, находящимся в согласии с опытными данными по активности адсорбционных катализаторов, и вычислить из этих данных число атомов в активном центре. С кристаллофизической точки зрения подобное представление о строении поверхности адсорбента соответствует учету блочной структуры реальных кристаллов, другим проявлением которой является энергетическая неоднородность их поверхности.

Методы теории активных ансамблей были применены к широкому кругу адсорбционных катализаторов, в которых в качестве носителей применялись ионные кристаллы, аморфные вещества и органические полимеры [2]. Во всех случаях найдено достаточно хорошее согласие опытных данных с предсказаниями теории, полученными в предположении, что вещество, адсорбированное на поверхности носителя, распределено по системе замкнутых «областей миграции». Вместе с тем трудно предполагать, что поверхность всех без исключения адсорбентов, использованных для построения адсорбционных катализаторов, действительно может быть представлена в виде системы замкнутых областей миграции. Это наводит на мысль, что использованный в теории Н. И. Кобозева закон Пуассона для распределения малого количества вещества, адсорбированного на поверхности носителя, выполняется и в случае более общих предположений о свойствах поверхности адсорбента.

В теории активных ансамблей Н. И. Кобозева понятие «области миграции» дальше не уточнялось и использовалось как вспомогательное представление теории. В настоящей статье мы рассмотрим этот вопрос подробнее, так как весьма распространено слишком буквальное толкование «областей миграции», а также имеет распространение неправильное представление о том, что математический аппарат и физические концепции теории активных ансамблей применимы только для изучения адсорбционных катализаторов, поверхность носителей в которых может быть представлена в виде совокупности замкнутых областей миграции, не допускающих ни при каких условиях свободной диффузии по поверхности. В действительности это не так. Ниже будет показано, что закон Пуассона выполняется для адсорбции малого количества вещества на поверхности носителя при самых различных предположениях о свойствах адсорбента. На первый взгляд такое заключение не кажется правдоподобным, так как закон распределения при адсорбции вещества на энергетически неоднородной поверхности носителя рассматривался многими исследователями, и было найдено, что закон Пуассона регулирует только распределение вещества между энергетически эквивалентными центрами, а общее распределение с учетом  $\epsilon$ -закона по энергии адсорбции в основном будет зависеть от характера энергетической неоднородности поверхности.

Здесь мы хотим обратить внимание на тот факт, что в наиболее интересной для теории активных ансамблей области «достаточно малых»\* степеней заполнения решение упомянутой выше задачи, относящейся только к описанию равновесных состояний, не имеет прямого отношения к явлениям, наблюдаемым на опыте, так как время достижения равновесия при адсорбции на энергетически неоднородной поверхности очень сильно растёт при уменьшении степени заполнения  $\alpha$ , и то, что мы сможем наблюдать в действительности, будет лишь «практически устойчивым» распределением, которое при малых  $\alpha$  может необычайно сильно отличаться от равновесного (соответствующего, например, кристаллизации слоя адсорбированного на носителе металла), а последнее не имеет шансов осуществиться за промежутки времени, доступные человеческому опыту. Мы сейчас не рассматриваем свойств сплошных металлических кристаллов, так как в другом месте [3] нами показано, что распределение атомной фазы на их поверхности определяется иными законами.

### ОСОБЕННОСТИ РАСПРЕДЕЛЕНИЯ МАЛОГО КОЛИЧЕСТВА ВЕЩЕСТВА НА ЭНЕРГЕТИЧЕСКИ НЕОДНОРОДНОЙ ПОВЕРХНОСТИ

Основной особенностью адсорбции на энергетически неоднородной поверхности при малых  $\alpha$  является то, что рассматриваемое обычно термодинамически равновесное распределение на неоднородной поверхности оказывается практически недостижимым, а устойчивыми будут совершенно иные типы распределения в слое.

Если система рассматривается за промежуток времени  $\tau = \Sigma \tau_i$ , достаточный для того, чтобы каждая молекула смогла побывать на всех типах центров адсорбции (различающихся по энергии), то наиболее вероятным будет равновесное распределение. Однако при малых заполнениях энергетически неоднородной поверхности молекулы располагаются только на центрах с высокой энергией адсорбции, время пребывания на которых весьма велико. Если через  $\varepsilon^*$  обозначить энергию адсорбции для центра, среднее время жизни на котором достаточно велико (например, 1 год или 10 лет), то условие «достаточной малости»  $\alpha$  можно записать в виде

$$\alpha < \Sigma m_i S_i \sigma \equiv \alpha^*, \quad (1)$$

где  $\alpha$  — степень заполнения поверхности адсорбированным веществом;  $m_i$  — число центров данного типа на поверхности;  $S_i$  — емкость центра или число атомов, которые, адсорбируясь на данном центре, не снижают энергии присоединения, следующего ниже  $\varepsilon^*$ ;  $\alpha^*$  — максимальная степень заполнения центров с энергией адсорбции, большей  $\varepsilon^*$ ;  $\sigma$  — площадь адсорбированного атома или молекулы;  $\Sigma^*$  означает, что суммирование проведено по центрам с энергией адсорбции выше  $\varepsilon^*$ . Все центры с энергией адсорбции ниже  $\varepsilon^*$  будут пусты, а с энергией выше  $\varepsilon^*$  будут заполняться совершенно равноправно и независимо от энергии (в отличие от равновесного распределения), так как при попадании на любой из подобных центров атомы за рассматриваемый промежуток времени с заметной вероятностью не могут мигрировать по поверхности и занять энергетически более «выгодные» положения, соответствующие равновесному распределению. Тогда достаточно устойчивым будет заполнение по закону случая  $L^*$  центров «практически необратимой адсорбции», где

$$L^* = \Sigma^* m_i. \quad (2)$$

Подчеркнем, что здесь мы говорим о центрах «практически необратимой адсорбции», ибо при изменении условий, например, повышении температуры, часть из  $L^*$  центров перестанет обладать указанными выше свойствами. Это может оказаться существенным для теории спекания катализаторов.

\* Понятие «достаточной малости» будет уточнено ниже.



Оценим величину  $\varepsilon^*$  для обычных адсорбентов. Среднее время жизни  $\tau_i$  в данном состоянии для атома, адсорбированного на поверхности, если потенциальная кривая имеет вид, представленный на рис. 1, известно из теории твердого тела [4] и имеет вид:

$$\frac{1}{\tau_i} = \nu e^{-\varepsilon_i/kT}, \quad (3)$$

где фактор частоты  $\nu = 10^{12} - 10^{13}$  сек.<sup>-1</sup>, а  $\varepsilon_i$  — энергия активации диффузии по поверхности, близкая к энергии адсорбции, если рассматривается переход между центрами с сильно отличающимися значениями  $\varepsilon_i$ . Однако в случае адсорбентов обычного типа атомы носителя, смежные с центром высокого адсорбционного потенциала, всегда также обладают несколько повышенной адсорбционной способностью, в связи с чем потенциальная

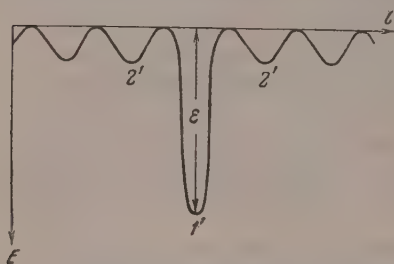


Рис. 1. Идеализированная потенциальная кривая перемещения адсорбированного атома по поверхности твердого тела

кривая перемещения атома по поверхности в действительности имеет вид, представленный на рис. 2. В этом случае среднее время жизни на данном центре при той же общей энергии адсорбции сильно увеличивается, так как при активированной диффузии по поверхности твердого тела в каждом элементарном акте совершается перескок в соседнее положение только на один период решетки (из 1 в 2, но не в 3), из которого попасть назад в 1 значительно вероятнее, чем уйти с центра в положение 3 и далее 4 (рис. 2). Эта особенность обусловлена легкостью рассеяния избыточной

кинетической энергии в конденсированных системах и уже обсуждалась в литературе (см., например, [4]). Вероятность перехода атома из 1 в 2 равна  $\nu e^{-\varepsilon_1/kT}$ , а вероятность, попав в положение 2, перейти в 3, но не вернуться назад в 1, составляет  $\frac{1}{2} \exp \left\{ -\frac{\Delta\varepsilon_2 + \Delta\varepsilon'_2}{kT} \right\}$ . Множитель  $1/2$  учитывает

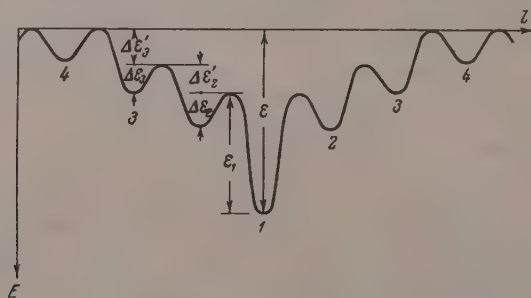


Рис. 2. Потенциальная кривая перемещения атома по поверхности твердого тела

вероятность нужного направления движения, а фактор частоты отсутствует, так как здесь рассматривается вероятность получить энергию  $\Delta\varepsilon_2 + \Delta\varepsilon'_2$  за одно колебание, ибо при получении меньшей энергии ( $\nu$  «попытках») атом неизбежно попадает назад в положение 1. Отсюда полная вероятность перехода из положения 1 в 3 равна

$$\frac{1}{2} \nu \exp \left\{ -\frac{\varepsilon_1 + \Delta\varepsilon_2 + \Delta\varepsilon'_2}{kT} \right\}. \quad (4)$$

В общем случае среднее время пребывания в потенциальной яме, изображенной на рис. 2, может быть определено по аналогичной формуле:

$$\frac{1}{\tau} = \left(\frac{1}{2}\right)^n \nu \exp\left\{-\frac{\varepsilon}{kT}\right\} \exp\left\{-\sum_2^n \frac{\Delta\varepsilon_i}{kT}\right\}, \quad (5)$$

где  $n$  — число дополнительных барьеров, а множитель  $\left(\frac{1}{2}\right)^n \exp\left\{-\sum_2^n \frac{\Delta\varepsilon_i}{kT}\right\}$

обусловлен необходимостью дважды набирать энергию  $\sum_2^n \Delta\varepsilon_i$  из-за ее рассеивания, обязательного в конденсированной системе после каждого перемещения на один период решетки.

Например, при наличии трех барьеров по 4000 кал (т. е.  $\Delta\varepsilon_2 = \Delta\varepsilon_3 = \Delta\varepsilon_4 = 4000$  кал) и общей энергии адсорбции  $\varepsilon \sim 25\,000$  кал,  $T = 400^\circ$  по формуле (5) при  $\nu = 10^{13}$  сек.<sup>-1</sup>,  $\tau \sim 10^8$  сек. (3 года), и таким образом распределение нами центры адсорбции  $\varepsilon > 25\,000$  кал в отношении распределения адсорбированного слоя ведут себя практически неразлично для  $400^\circ$ .

Следовательно, на поверхности энергетически неоднородного адсорбента действует некоторое число центров, адсорбирующих практически поровну уже при энергии адсорбции 20—25 ккал/моль.

При наличии  $L^*$  центров, независимо от энергетических преимуществ некоего распределения (выигрыш энергии при кристаллизации металла всегда значителен) на носителе при адсорбции малого количества вещества за измеримый промежуток времени может установиться только некое равновесное распределение между «равноправными»  $L^*$  центрами, а равновесное распределение не имеет заметных шансов реализоваться, так ничтожно малы «токи обмена» между различными участками, которые могли привести к равновесию системы.

Величина  $\alpha^*$  в общем случае зависит от адсорбируемого вещества, однако активные адсорбенты для широкого круга веществ часто имеют приблизительно одинаковое число центров с высокой адсорбционной способностью. Иначе величина  $\alpha^*$  соответствует тысячным долям полного заполнения поверхности. При увеличении общей степени заполнения выше  $\alpha^*$  такое соотношение нарушится, и начнет осуществляться равновесное распределение.

Изложенное может также иметь значение при интерпретации дифференциальных теплот адсорбции при малых  $\alpha$ .

#### [РАСПРЕДЕЛЕНИЕ АТОМНОЙ ФАЗЫ НА ПОВЕРХНОСТИ АДсорбЕНТА] ПРИ МАЛЫХ $\alpha$ .

Понятие «малой» и «большой» степени заполнения поверхности в данном случае не следует понимать в буквальном смысле слова, так как оно определяется величиной  $\alpha^*$ , характерной для адсорбента и сорбируемого вещества. Малыми мы будем называть заполнения, когда

$$\alpha < \alpha^*, \quad (6)$$

на поверхности за измеримый промежуток времени не может осуществиться равновесное распределение.

Возникает вопрос о виде закона неравновесного распределения. Он имеет особенно простой вид при условии (6), если емкость  $L^*$  центров  $S_i$  больше интересующей нас величины  $n$ , равной числу атомов в активном центре, и мы рассматриваем систему через промежуток времени  $t$ , малый по сравнению с  $\tau$ , определяющимся энергией  $\varepsilon^*$ . Все эти условия в общем хорошо выполняются для модельных катализаторов, изучаемых в теории

активных ансамблей, так как обычно заполнение не превосходит сотой доли монослоя, адсорбенты берутся достаточно активными, и для  $L^*$  центров время  $\tau$  достаточно велико, а величина  $n$  редко превосходит 2—3. В этом случае все центры адсорбции, независимо от закона их распределения по энергии, можно разделить всего на два класса:  $L^*$  центры «практически необратимой» адсорбции и все остальные, которые в установившемся состоянии все будут пустыми. Тогда распределение  $N$  атомов:

$$N = \frac{\alpha}{\sigma} S,$$

между  $L^*$  центрами, в среднем равномерно расположенными на поверхности с площадью  $S$ , подчиняется в точности тому же закону, что и распределение между энергетически эквивалентными центрами. Последнее является распределением Пуассона и имеет вид:

$$W_n = \frac{\nu^n e^{-\nu}}{n!} = \frac{(p\alpha)^n e^{-p\alpha}}{n!}, \quad (7)$$

где  $W_n$  — вероятность захвата центром адсорбции  $n$  атомов, если в среднем на каждый центр приходится  $\nu$  атомов

$$\nu = \frac{N}{L^*} = \frac{N}{N_{\infty}} \frac{N_{\infty}}{L^*} = \alpha p,$$

$N_{\infty}$  — число атомов при полном покрытии поверхности;  $p$  — среднее число центров обратимой адсорбции, окружающее центр «практически необратимой» адсорбции. Применимость закона (7) можно проиллюстрировать следующим образом.

Движение атомов на поверхности до захвата центром необратимой адсорбции является хаотическим и подчиняется закону случая. Если каждый центр «необратимой адсорбции», окруженный  $p$  центрами «обратимой», окружить непроницаемым для частиц барьером, то распределение по центрам будет распределением Пуассона по замкнутым областям миграции осуществляемым из-за хаотического распределения в начальный момент адсорбции, ибо в каждой области все атомы рано или поздно будут захвачены центром необратимой адсорбции.

Подобная картина установления распределения в слое для простоты рассмотрения принята в теории активных ансамблей. Результаты не изменяются, если при наличии центров сняты барьеры между областями миграции, так как переход из одной области в другую сам происходит по закону случая и не может нарушить типа распределения (7), описываемого законом Пуассона.

### ОБСУЖДЕНИЕ РЕЗУЛЬТАТОВ

Проведенное выше рассмотрение показывает, что с точки зрения закона распределения адсорбированного на поверхности вещества, при малых  $\alpha$  результаты получаются одинаковыми как при распределении вещества по замкнутым «областям миграции», так и для случая адсорбции малого количества вещества на энергетически неоднородной поверхности. Не изменяя основ флуктуационного анализа, это расширяет область его применимости и обобщает смысл использованной в теории величины  $p$ . По теории Н. И. Кобозева  $p$  определяет размер замкнутой области миграции, а в нашей концепции — определяет концентрацию на поверхности центров адсорбции с энергией выше  $\epsilon^*$ .

Подчеркнем, что введение области миграции размером  $p$ , в котором происходит формирование  $n$ -атомного ансамбля, является необходимыми элементами теории как при наличии на поверхности замкнутых областей

миграции, так и для случая адсорбции на неоднородной поверхности носителя.

В обоих случаях число  $n$ -атомных ансамблей на поверхности  $Z_n$  при  $\alpha < \alpha^*$  имеет одинаковое значение:

$$Z_n = L^* W_n = \frac{N_{\infty}}{p} W_n = \frac{S}{\Delta} W_n, \quad (8)$$

где  $\Delta = S \frac{p}{N_{\infty}}$  — средняя площадь области, окружающей один из центров практически необратимой адсорбции, или площадь «области миграции».

Для каталитической активности слоя, обусловленной наличием на поверхности  $n$ -атомных ансамблей, получается хорошо известное из теории активных ансамблей выражение

$$A_n = \text{const } Z_n = \text{const } \frac{S}{\Delta} \frac{(p\alpha)^n e^{-p\alpha}}{n'}, \quad (9)$$

имеющее максимум общей активности при

$$n = n_{\text{макс}} = p\alpha_{\text{макс}}^A \quad (10)$$

удельной  $a = A/\alpha$  при

$$p\alpha_{\text{макс}}^a = n - 1. \quad (11)$$

Исключая  $p$  из уравнений (10) и (11), мы получаем формулу

$$n = \frac{\alpha_{\text{макс}}^A}{\alpha_{\text{макс}}^A - \alpha_{\text{макс}}^a}, \quad (12)$$

замечательную тем, что она дает возможность вычислить число атомов активном центре ( $n$ ) без детального изучения свойств носителя — величины его поверхности, «области миграции» и т. д.

Основной причиной нечувствительности закона распределения малого количества вещества на адсорбенте к изменению свойств поверхности носителя является практическая устойчивость неравновесного распределения при малых  $\alpha$  сильно отличающегося от равновесного. В этих условиях закон случайного распределения полностью определяет характер распределения в адсорбционном слое. Специфика адсорбента сказывается только на числе центров адсорбции с энергией выше  $\varepsilon^*$ , т. е. определяет границу по  $\alpha$ :

$$\alpha < \alpha^*,$$

при которой не осуществляется равновесное распределение по  $e$ -закону, практически устойчивым оказывается распределение атомов по закону случая. Различия, возникающие при

$$\alpha > \alpha^*,$$

имеют существенного значения для определения строения центра катализа, так как основные результаты получены в теории активных ансамблей при рассмотрении адсорбционных катализаторов при очень малых степенях заполнения поверхности активным веществом.

В заключение выражаю глубокую признательность проф. Н. И. Кобову за интерес к работе и обсуждение полученных в ней результатов.

## ВЫВОДЫ

1. Рассмотрены условия устойчивого распределения малого количества вещества, адсорбированного на энергетически неоднородной поверхности носителя, и полученные результаты использованы для обоснования теории активных ансамблей.



2. Показано, что ни математические, ни каталитические аспекты теории не меняются при переходе от рассмотрения замкнутых «областей миграции» на поверхности носителя к закону «практически устойчивого» распределения вещества на энергетически неоднородной поверхности. В обоих случаях необходимым элементом теории является характеристика носителя путем рассмотрения некоторой средней области на его поверхности, по которой происходит движение адсорбированного вещества перед организацией  $n$ -атомного ансамбля.

3. При малых степенях заполнения энергетически неоднородной поверхности атомизированное состояние адсорбированного вещества является практически достаточно устойчивым, хотя абсолютному равновесию часто соответствует кристаллизация слоя. Дело в том, что при малых  $\alpha$  равновесие оказывается недостижимым за обозримый период времени, а устойчивое распределение с достаточной точностью описывается законом Пуассона, использованным в теории активных ансамблей.

Московский государственный  
университет им. М. В. Ломоносова

Поступила  
19.1.1956

#### ЛИТЕРАТУРА

1. Н. И. Кобозев, Журн. физ. химии, 13, 1, 1939.
2. Н. И. Кобозев. Уч. зап. МГУ, вып. 174, 17, 1955.
3. О. М. Полторак. Журн. физ. химии, 29, 1650, 1955.
4. Я. И. Френкель, Кинетическая теория жидкостей, Изд-во АН СССР, М.—Л. 1945.

#### ON THE CONCEPTION OF THE „REGION OF MIGRATION“ IN THE THEORY OF ACTIVE ENSEMBLES

*O. M. Poltorak (Moscow)*

#### Summary

In the paper the law of the distribution of small quantities of substance on an energetically heterogeneous adsorbent surface has been investigated. It has been shown that for a sparsely covered surface the stable distribution of the applied substance among the adsorption centers follows the Poisson law, whereas the equilibrium distribution with account made of the  $e$ -law is not established during the time of observation.

The results obtained have been used in proof of the validity of the theory of catalytically active ensembles. It has been shown that the fluctuational analysis developed in this theory is applicable not only in calculating the active centers of adsorption catalysts, the surface of the carrier of which may be conceived of as an aggregate of confined „regions of migration“, but also on applying a catalytically active substance to an adsorbent surface of non-uniform energy.

## МАГНЕТОХИМИЯ АКТИВНЫХ ЦЕНТРОВ

### IV. ЗАВИСИМОСТЬ МАГНИТНОЙ ВОСПРИИМЧИВОСТИ АДСОРБЦИОННЫХ ПЛАТИНОВЫХ КАТАЛИЗАТОРОВ ОТ ТЕМПЕРАТУРЫ ПРОКАЛИВАНИЯ

*А. А. Лопаткин, Ж. В. Стрельникова и В. П. Лебедев*

Как было обнаружено, зависимость каталитической активности платиновой черни [1] и адсорбционных платиновых катализаторов ( $\text{Pt}/\text{SiO}_2$ ) [2] от температуры предварительного прокаливания имеет весьма сложный (полиэкстремальный) характер. Дальнейшее изучение природы этого эффекта, по нашему мнению, связано с исследованием тех или других физических свойств образцов, прогретых при различных температурах.

В настоящей статье освещаются результаты измерения магнитной восприимчивости адсорбционных платиновых катализаторов, для которых ранее [2] были сообщены данные по зависимости каталитической активности (при разложении  $\text{H}_2\text{O}_2$ ) от температуры предварительного прокаливания.

### ЭКСПЕРИМЕНТАЛЬНАЯ ЧАСТЬ

Измерения проводились на крутильных весах системы И. Н. Озерецковского [3]. Навеска измеряемого образца равнялась примерно 0,05 г. Предельный разброс данных параллельных измерений не превышал 30'', что соответствует точности измерения  $\pm 0,1 \cdot 10^{-6}$ . Расчет проводился по формуле

$$\chi_{\text{обр.}} = \frac{D_{\text{обр.}}}{D_{\text{Ві}}} \cdot \frac{m_{\text{Ві}}}{m_{\text{обр.}}} \chi_{\text{Ві.}}$$

где  $D_{\text{Ві}}$  — угол поворота контрольного образца висмута;  $D_{\text{обр.}}$  — угол поворота измеряемого образца;  $m_{\text{Ві}}$  — навеска контрольного образца висмута;  $m_{\text{обр.}}$  — навеска измеряемого образца;  $\chi_{\text{Ві}}$  — восприимчивость висмута, принятая равной  $1,35 \cdot 10^{-6}$ .

Магнитная восприимчивость силикагеля в зависимости от температуры прокаливания. Ранее было замечено наличие отражающегося на каталитических свойствах системы, особенно при малых заполнениях, взаимодействия в системе платина — силикагель [2]. Поэтому представлялось наиболее интересным поставление с каталитической активностью восприимчивости активного образца в целом, а не доли, отнесенной только к платине. Полезно было также определить зависимость восприимчивости от температуры прокаливания и отдельно для силикагеля. Восприимчивость исходного силикагеля, долгое время стоявшего на воздухе, оказалась равной  $0,64 \cdot 10^{-6}$ . В литературе до сих пор еще для  $\text{SiO}_2$  (кварца) принимается значение  $0,493 \cdot 10^{-6}$ , найденное в 1913 г. Паскалем [4]. Повышенный диамагнетизм исходного образца, по-видимому, связан с наличием в нем воды ( $\text{H}_2\text{O} = -0,72 \cdot 10^{-6}$ ). Действительно, после 3-часового прокаливания при  $400^\circ\text{C}$  при непрерывном отсосе форвакуумным насосом получается силикагель с восприимчивостью  $0,28 \cdot 10^{-6}$ . Как видно на рис. 1, дальнейшее прогревание при  $500, 600$  и  $700^\circ\text{C}$  приводит к линейному падению диамагнетизма до  $\chi_{\text{SiO}_2} = -0,17 \cdot 10^{-6}$  при  $700^\circ\text{C}$ . Наиболее естественно предположить, что в примененных условиях прогрева падение диамагнетизма связано с удалением воды. С другой стороны, хотя примененный нами силикагель (марки КСМ) предварительно несколько месяцев отмывался со-

ляной и азотной кислотами и кипятился в бидеистиллате до исчезновения аналитически определяемых следов железа в промывных водах, значительное уменьшение диамагнетизма, скорей всего, явилось следствием наличия ферромагнитных или сильно парамагнитных микропримесей.

Зависимость магнитной восприимчивости от температуры прокаливании для адсорбционных катализаторов.

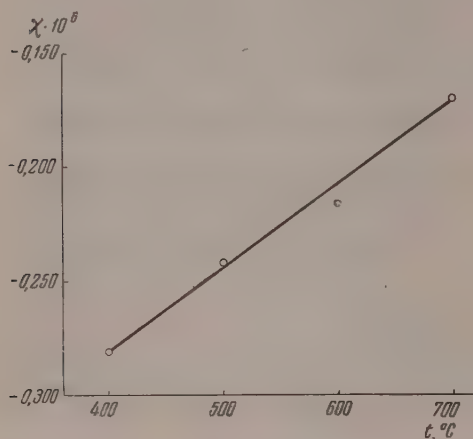


Рис. 1. Уменьшение диамагнетизма силикагеля при прокаливании

50 раз ( $\chi = 0,03 \cdot 10^{-6}$ ); при  $425^\circ\text{C}$  имеет место острый максимум (точно воспроизводимый и на кривой каталитической активности). Далее наблюдается спад и менее ярко выраженный максимум примерно при  $460^\circ\text{C}$ .

Рассматривая данные для катализаторов со степенями заполнения 0,0178 и 0,035 можно заметить, что с точностью до относительной величины максимумов и минимумов зависимость их восприимчивости от температуры предварительного прокаливании фактически идентична — каждый максимум и минимум на одной из кривых (рис. 3) имеет при той же температуре прокаливании своего аналога (изредка несколько смещенного по оси температуры) и на другой кривой. Кривая для катализатора со степенью заполнения 0,0178 в общем лежит выше кривой для катализатора с  $\alpha = 0,035$ , т. е. первый в целом более парамагнитен.

Таким образом у достаточно концентрированных катализаторов с температурой прокаливании происходят одинаковые процессы, приводящие к резкому спаду и возрастанию магнитной восприимчивости. Для этих же катализаторов был обнаружен [2] и одинаковый ход каталитической активности в зависимости от температуры прокаливании.

## ОБСУЖДЕНИЕ РЕЗУЛЬТАТОВ

Связь между магнитными и каталитическими свойствами привлекала внимание многих исследователей, однако показательные результаты были получены лишь со времени начала изучения магнитной восприимчивости разведенных адсорбционных катализаторов, т. е. образцов, содержащих максимальное количество каталитически деятельного вещества в активном состоянии. Так, Н. И. Кобозев, В. Б. Евдокимов, И. А. Зубович и А. И. Мальцев [5], параллельно изучавшие активность и магнитную восприимчивость платиновых, серебряных и железных (Fe/уголь) адсорбционных катализаторов, нашли, что, как правило, рост парамагнетизма соответствует в целом и росту каталитической активности, и, наоборот, снижение парамагнетизма содействует понижению активности.

В исследованном нами случае, для разведенного катализатора (0,0054) наблюдается также отчетливая симбатность между активностью и восприимчивостью. На рис. 2 кривая каталитической активности (пунктир), дает тот же ход, что и кривая восприимчивости. Особенно показательны максимумы на обеих кривых при  $425^\circ\text{C}$ .

Для более концентрированных катализаторов (рис. 4) характерно наличие двух различных областей. До  $550^\circ\text{C}$  активность и восприимчивость дают весьма сходные по положению максимумов и минимумов кривые, т. е. наблюдается симбатность в каталитических и магнитных свойствах. При повышении температуры прокаливания картина меняется, и, начиная примерно с  $600^\circ\text{C}$ , максимумы активности соответствуют минимумам на кривых восприимчивости, и наоборот, — наблюдается антибатность в каталитических и магнитных свойствах.

Результаты наших опытов приводят к установлению наличия прямой связи между магнитной восприимчивостью и каталитической активностью. Для обоих этих свойств повторяется полиэкстремальная зависимость от температуры

предварительного прокаливания, в целом совпадающая по всему характеру (по положению максимумов и минимумов). Следовательно, тождественны и причины, вызывающие при прогреве колебания в активности и восприимчивости. Между тем магнитная восприимчивость определяется электронным состоянием исследуемой системы, точнее, числом неспаренных, обладающих нескомпенсированными спинами электронов: чем это число больше, тем выше парамагнетизм. Отсюда и каталитическая активность обуславливается наличием в системе парамагнитных центров, обладающих электронами со свободными спинами. С другой стороны, исследования, проведенные методом теории активных ансамблей [6], приводят к признанию понятия об активном центре, как атоме или группе атомов, не являющихся элементами кристаллической решетки. Наличие свободных валентностей в подобном образовании для любых атомов, обладающих в свободном состоянии отличным от нуля магнитным моментом, неизбежно. Таким образом результаты сопоставления каталитических и магнитных свойств в разбираемом случае еще раз приводят к взгляду на активный центр, как на атомарное образование на поверхности, обладающее свободными валентностями.

Следует еще подчеркнуть, что исследовалась достаточно сложная система (платина + силикагель), в которой, особенно при высоких температурах, возникает взаимодействие между компонентами. Это приводит к «аномальным» явлениям в ходе активности (например, возрастание активности для катализатора 0,0054 при  $600\text{--}700^\circ\text{C}$  [2]). По-видимому, этим обстоятельством может быть объяснена обнаруженная выше  $550^\circ\text{C}$  антибатность каталитических и магнитных свойств для катализаторов 0,0178 и 0,0035. Между  $550$  и  $600^\circ\text{C}$  лежит точка перехода  $\text{SiO}_2$ , из одной модификации другую [7], возможно, что именно в этом температурном интервале при

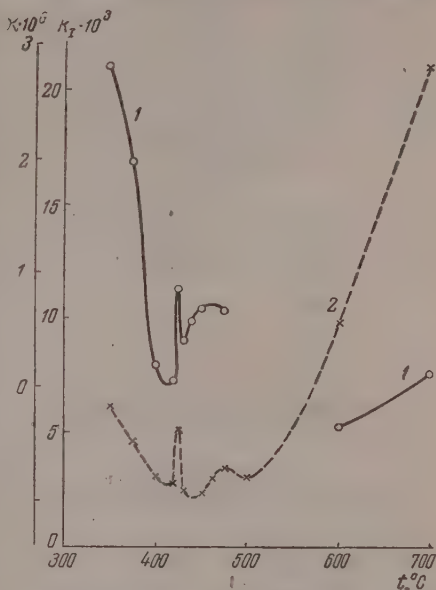


Рис. 2. Катализатор  $\text{Pt}/\text{SiO}_2$ ;  $\alpha = 0,0054$ , 1 — зависимость магнитной восприимчивости от температуры прокаливания; 2 — зависимость каталитической активности от температуры прокаливания [2]



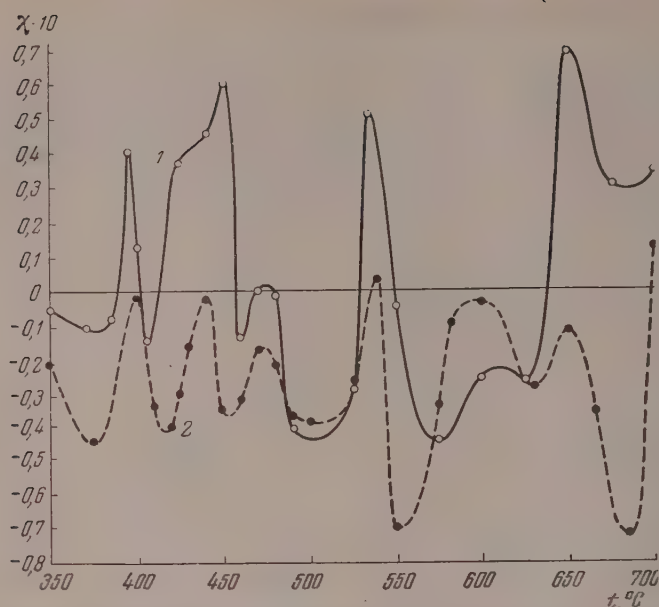


Рис 3. Зависимость магнитной восприимчивости от температуры предварительного прокаливания. 1 —  $\chi$  катализатора с  $\alpha = 0,0178$ ; 2 —  $\chi$  катализатора с  $\alpha = 0,035$

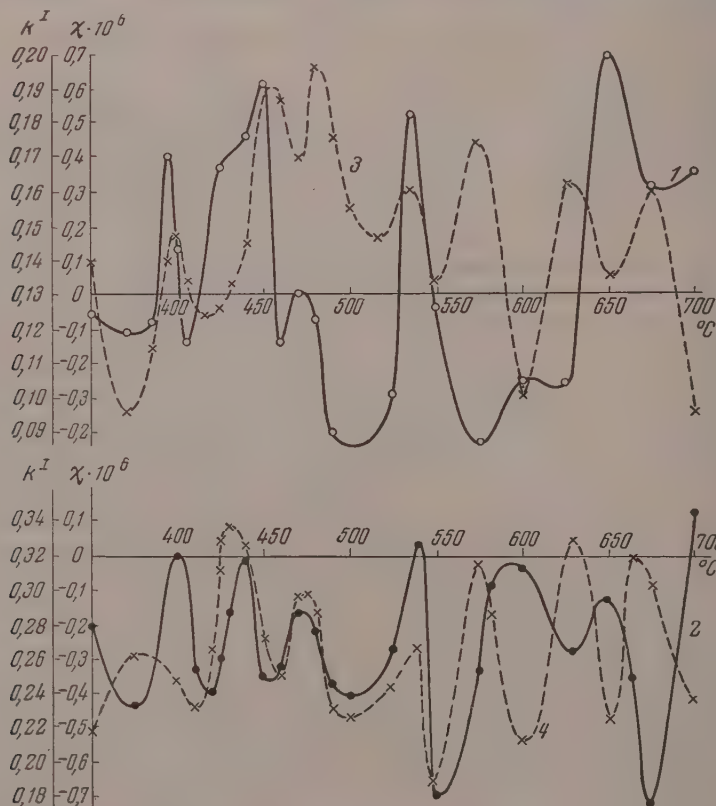


Рис. 4. Сравнение магнитных и каталитических свойств. 1 —  $\chi$  катализатор с  $\alpha = 0,0178$ ; 2 —  $\chi$  катализатора с  $\alpha = 0,035$ ; 3 — каталитическая активность катализатора с  $\alpha = 0,0178$  [2]; 4 — каталитическая активность катализатора с  $\alpha = 0,035$  [2]

перестройке решетки происходит и перестройка активных центров, введение платины в поверхностные слои решетки, и образование активных центров смешанного состава или даже активных центров самого носителя. В этом случае или теряется связь между активностью и восприимчивостью, и возникающие новые диамагнитной природы локальные микросистемы перекрывают долю восприимчивости парамагнитных активных центров, или, может быть, частичный переход активных функций к «разрыхленной» платиной поверхности силикагеля приводит к возникновению активных центров диамагнитной природы. Имеющийся пока материал не позволяет пойти дальше этих альтернативных догадок и судить о механизме действия и строения этих центров.

В заключение авторы выражают свою благодарность проф. Н. И. Кобозеву, предложившему тему настоящей работы, и В. Б. Евдокимову, оказавшему методическую помощь при ее экспериментальном проведении.

### ВЫВОДЫ

1. Изучена зависимость магнитной восприимчивости трех адсорбционных катализаторов ( $\text{Pt/SiO}_2$ ) ( $\alpha = 0,0054$ ;  $0,0178$  и  $0,035$ ) от температуры предварительного прокаливания.

2. Обнаружено, что кривые магнитной восприимчивости катализаторов со степенями заполнения  $0,0178$  и  $0,035$  вполне идентичны, с точностью до относительной величины максимумов и минимумов.

3. При сопоставлении магнитной восприимчивости с каталитической активностью найдено, что а) катализатор  $0,0054$  показывает симбатность между каталитическими и магнитными свойствами — рост активности сопровождается ростом парамагнетизма, и наоборот; б) для катализаторов  $0,0178$  и  $0,035$  ход кривых восприимчивости симбатен ходу активности примерно до  $550^\circ \text{C}$ , после чего для обоих наблюдается антибатность.

4. Обнаруженное совпадение в магнитных и каталитических свойствах приводит к признанию наличия общих причин в изменении обоих свойств — изменения с температурой предварительного прокаливания числа активных образований атомной природы.

Московский государственный  
университет им. М. В. Ломоносова

Поступила  
19.I.1956

### ЛИТЕРАТУРА

1. Ж. В. Стрельникова, А. А. Лопаткин, В. П. Лебедев, Журн. физ. химии, **30**, 196, 1956.
2. Ж. В. Стрельникова, А. А. Лопаткин, В. П. Лебедев, Журн. физ. химии, **30**, 639, 1956.
3. И. Н. Озерецковский, Авторское свидетельство, 11826, 1950.
4. Pascal, Compt. rend., **156**, 323, 1913; **158**, 37, 1914.
5. Н. И. Кобозев, В. Б. Евдокимов, И. А. Зубович и А. Н. Мальцев, Журн. физ. химии, **26**, 1349, 1952.
6. Н. И. Кобозев, Уч. зап. МГУ, **174**, 17, 1955.
7. Г. Б. Бокпй, Введение в кристаллохимию, Изд-во МГУ, 1954, стр. 374.

### THE MAGNETOCHEMISTRY OF ACTIVE CENTERS

#### IV. THE DEPENDENCE OF THE MAGNETIC SUSCEPTIBILITY OF PLATINUM ADSORPTION CATALYSTS ON THE TEMPERATURE OF THE HEAT TREATMENT

*A. A. Lopatkin, Zh. V. Strel'nikova and V. P. Lebedev (Moscow)*

#### Summary

A study has been made of the magnetic susceptibility of three supported (platinum on silica gel) catalysts as a function of the preliminary heating temperature. The values of the magnetic susceptibilities were compared with data on catalytic activity for the reaction of hydrogen peroxide decomposition. It was found that below  $550^\circ \text{C}$  the magnetic susceptibility and the catalytic activity change consonantly, increase in paramagnetism corresponding to increase in catalytic activity. The results obtained have been interpreted from the standpoint of the atomic nature of the active centers.

## ПОВЕРХНОСТНЫЙ СЛОЙ ОДНОМЕРНОЙ ЖИДКОСТИ

*И. З. Фишер и Б. В. Бокуть*

В предыдущих работах авторов [1, 2] была развита общая статистическая теория переходного слоя жидкость — пар и было показано, что вдали от критической точки слой жидкости, граничащий с идеальной потенциальной стенкой, может служить хорошим приближением к реальному переходному слою свободной границы раздела жидкость — пар. Получающаяся при этом погрешность будет порядка отношения плотности пара к плотности жидкости и окажется, следовательно, очень малой вдали от критической точки. Однако основное уравнение теории (уравнение (20) работы [2]), решение которого дает знание структуры и свойств переходного слоя, оказывается очень сложным, и без обращения к современным счетным машинам его разрешение едва ли возможно. Поэтому нам представляется не лишенным интереса вопрос об анализе задачи о системе у идеальной стенки в одномерном случае, где сравнительно легким путем можно получить точное решение. Обращение, в методических целях, к одномерным моделям неоднократно производилось разными авторами во многих других вопросах статистической физики и статистической термодинамики, и всегда позволяло на сравнительно простом объекте подробнее изучить сложные закономерности реальных трехмерных систем. Поэтому можно надеяться, что обращение к одномерной модели и в нашей задаче окажется полезным для выяснения реальных свойств переходного слоя жидкость — пар.

При переходе к одномерному случаю мы встречаемся с тем осложнением, что здесь невозможны фазовые переходы в обычном смысле [3, 4]. Поэтому здесь невозможен и свободный переходный слой жидкость — пар. Однако здесь вполне возможен переходный слой у стенки, а если выбрать стенку идеальной, то мы и получим наиболее близкую одномерную модель реального переходного слоя.

Пусть имеется  $N$  частиц, расположенных на отрезке оси  $Ox$  от  $x = 0$  до  $x = L$ . Пронумеруем частицы так, чтобы было

$$0 \leq x_1 < x_2 < x_3 < \dots < x_N \leq L. \quad (1)$$

и пусть межмолекулярные силы убывают с расстоянием настолько быстро, что каждая частица может взаимодействовать только со своими непосредственными соседями. Тогда, если  $\Phi(x)$  означает межмолекулярный потенциал, то энергия взаимодействия всех  $N$  частиц системы равна

$$U_N = \sum_{i=1}^{N-1} \Phi(x_{i+1} - x_i), \quad (2)$$

и соответственно

$$e^{-U_N/kT} = \prod_{i=1}^{N-1} e^{-\Phi(x_{i+1} - x_i)/kT}. \quad (3)$$

Поэтому конфигурационный интеграл системы запишется

$$Q_N = \int_0^L \dots \int_0^L e^{-U_L/kT} \prod_{i=1}^{N-1} e^{-\Phi(x_{i+1}-x_i)/kT} dx_1 dx_2 \dots dx_N, \quad (4)$$

где  $U_L$  есть потенциальная энергия взаимодействия частиц со стенками, ограничивающими систему. В [4] принято, что стенки реализованы двумя частицами (номер 0 и номер  $N+1$ ) той же природы, что и остальные  $N$  частиц, и неподвижно закрепленными в точках  $x=0$  и  $x=L$ . Это дает

$$U_L = \Phi(x_1) + \Phi(L - x_N), \quad (5)$$

что после подстановки в (4) и учета (1) приводит к следующему выражению для конфигурационного интеграла

$$Q_N(L) = N! \int_0^L dx_N \int_0^{x_N} dx_{N-1} \dots \int_0^{x_1} f(x_1) f(x_2 - x_1) \dots f(L - x_N) dx_1, \quad (6)$$

где обозначено

$$f(x) \equiv e^{-\Phi(x)/kT}. \quad (7)$$

Автору работы [4] удалось рассчитать интеграл (6), применив методы теории преобразования Лапласа.

В результате получилось

$$Q_N(L) = N! e^{pL/kT} \{\varphi(p, T)\}^{N+1}, \quad (8)$$

где  $p$  — давление, и

$$\varphi(p, T) = \int_0^\infty e^{-(px + \Phi(x))/kT} dx. \quad (9)$$

Исходя отсюда, можно полностью развить термодинамику одномерных систем. Например, уравнение состояния оказывается равным

$$l + kT \frac{\partial \ln \varphi}{\partial p} = 0, \quad (10)$$

где  $l = (L/N + 1)$  есть длина, приходящаяся на одну частицу.

Вернемся теперь к нашей задаче о системе у идеальной стенки. Пусть рассматриваемая система  $N$  частиц ограничена в точке  $x=0$ , закрепленной там неподвижно частицей, а в точке  $x=L$  — идеальной непроницаемой стенкой, так что вместо (5) будем теперь иметь

$$U_L = \begin{cases} \Phi(x_1), & \text{если } x_N < L, \\ +\infty, & \text{если } x_N > L. \end{cases} \quad (11)$$

Тогда конфигурационный интеграл нашей системы, который в отличие от (4) обозначим через  $\bar{Q}_N(L)$ , будет равен

$$\bar{Q}_N(L) = N! \int_0^L dx_N \int_0^{x_N} dx_{N-1} \dots \int_0^{x_1} f(x_1) f(x_2 - x_1) \dots f(x_N - x_{N-1}) dx_1 \quad (12)$$

При больших  $N$  различие  $Q_N(L)$  и  $\bar{Q}_N(L)$  несущественно, и термодинамические свойства обеих систем тождественны.

Введем теперь в рассмотрение последовательность функций

$$\psi^{(1)}(x), \quad \psi^{(2)}(x), \quad \psi^{(3)}(x), \dots \quad (13)$$



нормированных так, что

$$\int_0^L \psi^{(m)}(x) dx = 1, \quad (14)$$

и обладающих тем свойством, что величина

$$dw_{N-m+1}(x) = \psi^{(m)}(x) dx \quad (15)$$

есть вероятность  $(N-m+1)$ -ой частице быть обнаруженной на оси  $Ox$  в промежутке между  $x$  и  $x+dx$ . Легко видеть, что функции  $\psi^{(m)}(x)$  выражаются при помощи интегралов, аналогичных (12), но с пропуском одного интегрирования [по координате  $(N-m+1)$ -ой частицы] и с учетом того обстоятельства, что при фиксировании положения одной частицы область изменения координат остальных частиц меняется в соответствии с (1). Это дает нам

$$\begin{aligned} \psi^{(m)}(x_{N-m+1}) = \text{const} \cdot \int_{x_{N-m+1}}^L dx_N \int_{x_{N-m+1}}^{x_N} dx_{N-1} \dots \int_{x_{N-m+1}}^{x_{N-m+3}} f(x_N - x_{N-1}) \dots \\ \dots f(x_{N-m+2} - x_{N-m+1}) dx_{N-m+2} \int_0^{x_{N-m+1}} dx_{N-m} \int_0^{x_{N-m}} dx_{N-m-1} \dots \\ \dots \int_0^{x_1} f(x_1) f(x_2 - x_1) \dots f(x_{N-m+1} - x_{N-m}) dx_1. \end{aligned} \quad (16)$$

Положим  $x_{N-m+1} = L - z$ . Тогда вторая группа интегралов в (16), с точностью до постоянного коэффициента, есть  $Q_{N-m}(L-z)$  по (5), и, следовательно, ее переменная часть (зависящая от  $z$ ) равна  $e^{-pz/kT}$ . Поэтому, заменяя аргумент  $y$   $\psi^{(m)}$ , имеем

$$\begin{aligned} \psi^{(m)}(z) = C_m e^{-pz/kT} \int_{L-z}^L dx_N \int_{L-z}^{x_N} dx_{N-1} \dots \int_{L-z}^{x_{N-m+3}} f(x_N - x_{N-1}) \dots \\ \dots f(x_{N-m+2} - L + z) dx_{N-m+2}. \end{aligned} \quad (17)$$

Отсюда

$$\psi^{(1)}(z) = C_1 e^{-pz/kT}, \quad (18)$$

или учитывая (14) и полагая  $L \rightarrow \infty$ , получаем

$$\psi^{(1)}(z) = \frac{p}{kT} e^{-pz/kT}. \quad (19)$$

Далее

$$\psi^{(2)}(z) = C_2 e^{-pz/kT} \int_{L-z}^L f(x_N - L + z) dx_N = C_2 e^{-pz/kT} \int_0^z f(\xi) d\xi, \quad (20)$$

и нормировка по (14) при  $L \rightarrow \infty$  даст нам  $C_2 = \frac{p}{kT} \{\varphi(p, T)\}^{-1}$ , так что

$$\psi^{(2)}(z) = \frac{p}{kT} \frac{e^{-pz/kT}}{\varphi(p, T)} \int_0^z f(\xi) d\xi. \quad (21)$$

Аналогичным путем можно найти и дальнейшие функции  $\psi^{(m)}(z)$ . Нетрудно показать, что в общем случае получается

$$\psi^{(m)}(z) = \frac{p}{kT} \frac{e^{-pz/kT}}{(\varphi(p, T))^{m-1}} \int_0^z dt_{m-1} \int_0^{t_{m-1}} dt_{m-2} \dots \int_0^{t_2} f(t_1) f(t_2 - t_1) \dots f(t_{m-1} - t_{m-2}) dt_1. \quad (22)$$

Зная функции  $\psi^{(m)}(z)$ , легко перейти к микроплотностям  $F_1(z)$  нашей системы. Если потребовать, чтобы при  $z \rightarrow \infty$  было  $F_1(z) \rightarrow 1$ , т. е. нормировать  $F_1(z)$  согласно условию

$$\frac{1}{L} \int_0^L F_1(z) dz \rightarrow 1 \text{ при } L \rightarrow \infty, \quad (23)$$

то мы для  $F_1(z)$  в силу (14) получим

$$F_1(z) = l \sum_{m=1}^{\infty} \psi^{(m)}(z), \quad (24)$$

т. е. учитывая (19) — (22)

$$F_1(z) = \frac{pl}{kT} e^{-pz/kT} \left\{ 1 + \frac{1}{\varphi(p, T)} \int_0^z f(\xi) d\xi + \frac{1}{(\varphi(p, T))^2} \int_0^z d\eta \int_0^{\eta} f(\xi) f(\eta - \xi) d\xi + \dots \right\}. \quad (25)$$

Этот ряд и решает поставленную в начале статьи задачу о микроплотности одномерной системы, ограниченной идеальной стенкой при  $z = 0$ . Заметим, что при  $z = 0$  из (25) получается  $F_1(0) = pl/kT$ , что является одномерным аналогом уравнения (12) работы [2].

Для того чтобы создать себе наглядное представление о полученном в (25) результате, рассмотрим конкретный пример. Пусть имеется система частиц в виде твердых шариков диаметра  $a$ , взаимодействие которых изображается прямоугольной потенциальной ямой глубиной  $\varepsilon$  и шириной также в  $a$  единиц (последнее для упрощения счета). Тогда будем иметь

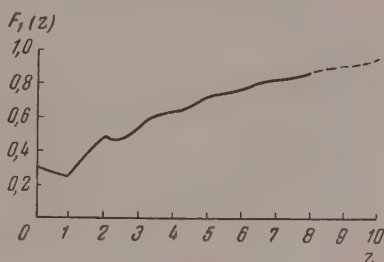
$$f(x) = \begin{cases} 0, & \text{если } x < a; \\ e^{\varepsilon/kT}, & \text{если } a < x < 2a; \\ 1, & \text{если } x > 2a. \end{cases} \quad (26)$$

Функция  $\varphi(p, T)$  теперь равна

$$\varphi(p, T) = \frac{kT}{p} e^{-ap/kT} \{ e^{-ap/kT} + e^{\varepsilon/kT} (1 - e^{-ap/kT}) \}, \quad (27)$$

и по (10) можно найти уравнение состояния системы. Соответствующие расчеты и графики  $p-l$  изотерм приведены в [4]. Без особого труда можно по (26) найти также и все интегралы типа (22), входящие в уравнение (26), хотя при больших  $m$  вычисления оказываются довольно громоздкими.

Выше уже упоминалось, что в одномерной системе фазовый переход жидкость — газ невозможен, и при всех  $T > 0$  и  $a < l < \infty$  мы имеем единую



газо-жидкую фазу. Для конкретных расчетов нами была выбрана одна из наиболее «жидкоподобных» точек на  $l$ - $T$  плоскости системы, имеющая координаты

$$l = 1,55a; T = \frac{\varepsilon}{10k}, p = \frac{\varepsilon}{50a}. \quad (28)$$

Расчеты проводились с учетом восьми членов в ряду (25), и их результаты изображены на рисунке. Здесь по оси абсцисс отложены расстояния от идеальной стенки, причем на единицу масштаба принята величина  $a$ . Участок  $z > 8a$ , соответствующий учету 9-го, 10-го и т. д. членов в ряду (25), не рассчитывался, и на рисунке проведен пунктиром путем экстраполяции.

Анализируя полученный результат, мы видим, что одномерная модель поверхностного слоя жидкости в основном правильно отражает свойства реального переходного слоя жидкость — пар, которые можно было ожидать на основании общей теории [1, 2]. На протяжении нескольких молекулярных слоев микроплотность жидкости возрастает от минимального значения, равного в трехмерном случае примерно плотности пара, до значения плотности в объеме жидкости. Этот переход совершается не монотонно — кривая микроплотности имеет характерные осцилляции, аналогичные осцилляциям радиальной функции распределения, хотя и менее выраженные.

Сравнительно большое значение  $F_1(0)$  на рисунке является особенностью одномерного случая. Возможно, что с одномерностью же связана и сравнительно большая толщина переходного слоя — более 10 молекулярных слоев на рисунке. Что касается заостренности первого минимума и первого максимума  $F_1(z)$ , то это является следствием выбора потенциала в форме (26).

### ВЫВОДЫ

Строгими статистическими методами получено распределение микроплотности в переходном слое возле идеальной стенки для одномерной жидкости. Результат зависит от вида межмолекулярных сил, а также от температуры и давления. Рассчитан и графически представлен простейший случай переходного слоя в системе твердых невзаимодействующих шариков.

Белорусский государственный  
университет им. В. И. Ленина  
Минск

Поступила  
20.1.1956

### ЛИТЕРАТУРА

1. И. З. Фишер и Б. В. Бокуть, Журн. физ. химии, 30, 2547, 1956.
2. И. З. Фишер и Б. В. Бокуть, Журн. физ. химии, 30, 2747, 1956.
3. L. van Hove, Physica, 16, 137, 1950
4. F. Gütsey, Proc. Cambr. Phil. Soc., 46, 182, 1950.

### THE SURFACE LAYER OF A ONE-DIMENSIONAL LIQUID

I. Z. Fisher and B. V. Bokut' (Minsk)

#### Summary

An exact solution has been obtained of the problem of the microdensity of a one-dimensional gas or liquid bounded by an ideal wall. Numerical calculations have been made for the system with an intermolecular potential in the form of a rectangular potential hole. The relations of the microdensity in the layer adjacent to the wall possess all the characteristics that may be expected for the transition layer of a free liquid-vapor boundary in a real tri-dimensional case.

## ЭЛЕКТРОХИМИЧЕСКОЕ ОКИСЛЕНИЕ И ВОССТАНОВЛЕНИЕ НЕКОТОРЫХ ОРГАНИЧЕСКИХ СОЕДИНЕНИЙ НА ВРАЩАЮЩЕМСЯ ДИСКОВОМ ЭЛЕКТРОДЕ

Э. А. Айказян и Ю. В. Плесков

В последнее время для исследования электродных процессов успешно применяется электрод в виде вращающегося диска. Этому во многом благоприятствовала развитая В. Г. Левичем [1] количественная теория конвективной диффузии, позволяющая достаточно точно рассчитать поток диффундирующих частиц к вращающемуся диску. Применение этой теории к вращающемуся дисковому электроду дает следующее выражение для плотности предельного тока, проходящего через электрод в присутствии избытка постороннего электролита:

$$i_{\text{пр}} = 0,62 n F D^{1/2} \omega^{1/2} \nu^{-1/2} c_0,$$

где  $n$  — число электронов, участвующих в процессе;  $F$  — число Фарадея;  $\omega$  — угловая скорость вращения электрода;  $D$  — коэффициент диффузии реагирующих частиц;  $c_0$  — их концентрация;  $\nu$  — кинематическая вязкость раствора.

Приведенное выражение было подвергнуто экспериментальной проверке в работах Ю. Г. Сивера и Б. Н. Кабанова [2,3], а также Э. А. Айказяна и А. И. Федоровой [4]. На основе этого соотношения из полученных экспериментальных данных были вычислены коэффициенты диффузии ионов [3] и молекул [4] водорода. Вращающийся дисковый электрод был успешно применен Хогге и Крейчманом [5] для определения коэффициента диффузии ионов  $J_2$ .

В настоящей работе вращающийся дисковый электрод использован для изучения кинетики окисления и восстановления хинона, гидрохинона, этилового и бутилового спиртов.

Исследованию окислительно-восстановительных процессов, протекающих в системе хинон — гидрохинон, и влияния pH на величину ее равновесного потенциала посвящен ряд работ [6], из которых известно, что на платинированной платине равновесный окислительно-восстановительный потенциал этой системы легко устанавливается; на гладкой платине и других металлах система хинон — гидрохинон не вполне обратима. Необратимость этой системы на гладком платиновом электроде показана в работе Норда и Рогерса [7]; авторы нашли, что потенциалы полуволи хинона, гидрохинона и хингидрона заметно различаются. На графитовом электроде эта необратимость почти полностью исчезает.

В некоторых работах окисление гидрохинона и восстановление хинона на платиновых микроэлектродах изучалось с аналитическими целями. Поляризационные кривые для этих процессов, полученные Лайтенином и Кольцгофом [8], имеют четко выраженные предельные токи диффузии. Аналогичные кривые были получены Мюллером [9] в проточном электролите.

Как показали Е. М. Скобеев и Н. Н. Атаманенко [10], вращающийся платиновый микроэлектрод может быть успешно применен для качественного и количественного определения следов хинона и гидрохинона. Особенно четкие волны получаются в подкисленных растворах и при больших скоростях вращения электрода.

Электрохимическое окисление спиртов исследовалось в ряде работ; большинство из них посвящено выделению и изучению продуктов электролиза, но не кинетике процесса. Подробный обзор этих исследований приведен в монографии К. Брокмана [11]. В настоящей работе рассматриваются результаты, главным образом, тех работ, в которых методом поляризационных кривых в той или иной мере изучалась кинетика окисления спиртов.

Одна из первых работ, посвященных анодному окислению этилового спирта, принадлежит Доми-Эно [12], который получал поляризационные кривые окисления этанола на платинированном платиновом электроде. Эти кривые состоят из двух слабо выраженных волн, вторая из которых лежит в области потенциалов окисления уксусного альдегида, на основании чего автор приходит к заключению, что процесс окисления спирта идет через альдегид до уксусной кислоты. Было также замечено [12], что окисление спирта на гладкой платине протекает при более положительных потенциалах, чем на платинированной платине.



Мари и Лежен [13] изучали окисление ряда спиртов:  $\text{CH}_3\text{OH}$ ,  $\text{C}_2\text{H}_5\text{OH}$ ,  $\text{C}_3\text{H}_7\text{OH}$ ,  $\text{C}_4\text{H}_9\text{OH}$ , на электродах из платины, золота и никеля в растворах  $\text{H}_2\text{SO}_4$  и  $\text{NaOH}$ . Поляризационные кривые в растворах щелочи характеризуются одной волной и спадом тока при потенциалах положительнее 1V; в кислой среде кривая состоит из двух волн. Из приведенных данных можно заметить, что перенапряжение окисления спирта на платине практически не зависит от pH раствора.

В цитированной выше работе Е. М. Скобеца и Н. Н. Атаманенко [10] получены полярограммы окисления этилового спирта на вращающемся платиновом микроэлектроде при помощи автоматического полярографа; кривые имеют две волны. Авторы предполагают, что первая волна соответствует окислению спирта до альдегида, а вторая — окислению последнего в уксусную кислоту.

Влияние ионов галогенидов на реакцию анодного окисления этилового спирта изучалось в работе В. Н. Модестовой [14]. Как было показано автором, прибавление хлорида и бромидов в небольших концентрациях резко снижает величину максимального тока в кислой среде. Поляризационные кривые, полученные В. Н. Модестовой, имеют одну волну в кислой среде и две в щелочной, что не согласуется с данными Мари и Лежена.

Как видно из приведенного обзора, в литературе встречаются противоречивые указания относительно формы поляризационной кривой окисления этилового спирта. Следует также отметить, что замеченная в ряде работ [12—14] вторая волна, приписываемая окислению ацетальдегида до уксусной кислоты, выражена весьма нечетко.

### ЭКСПЕРИМЕНТАЛЬНАЯ ЧАСТЬ

Измерения проводились в открытой ячейке, так как использовались растворы относительно высокой концентрации по реагирующему веществу, и поэтому участие кислорода воздуха в электрохимическом процессе не могло сколько-нибудь заметно повлиять на силу тока. Вращающийся электрод представлял собой латунный стержень, к нижнему концу которого был приварен платиновый диск диаметром 5 мм. Боковая поверхность стержня и верхняя поверхность диска были изолированы стеклянной рубашкой. Вращение электрода осуществлялось при помощи мотора трехфазного тока (обеспечивающего постоянство скорости вращения независимо от небольших колебаний напряжения в сети) через систему шкивов. Скорость вращения измерялась тахометром. В настоящей работе использовались скорости от 60 до 3000 об/мин.

Перед началом съемки кривой платиновый электрод подвергался попеременно катодной и анодной поляризации в 1N серной кислоте, чем достигалась воспроизводимость состояния поверхности электрода перед началом отдельных измерений.

Для измерений при различных температурах ячейка с раствором нагревалась струей теплого воздуха от сильной электролампы, причем скорость повышения температуры не превышала  $0,3^\circ$  в минуту. Значения предельных токов измерялись в интервале  $20-50^\circ\text{C}$ .

Применяемые вещества были подвергнуты тщательной очистке:  $\text{KCl}$  и  $\text{Na}_2\text{SO}_4$  — двойной, а хинон и гидрохинон — тройной перекристаллизации,  $\text{H}_2\text{SO}_4$  и этиловый спирт-ректификат — двойной перегонке; бутиловый спирт был разогнан на колонке, причем была выделена узкая средняя фракция.

Значения потенциалов приведены относительно нормального водородного электрода.

### ПОЛУЧЕННЫЕ РЕЗУЛЬТАТЫ И ИХ ОБСУЖДЕНИЕ

Окисление гидрохинона и восстановление хинона. Нами были сняты поляризационные кривые окисления гидрохинона на гладкой платине в растворах  $\text{KCl}$  и  $\text{Na}_2\text{SO}_4$ , подкисленных  $10^{-3}\text{N H}_2\text{SO}_4$ , при различных скоростях вращения электрода; часть кривых представлена на рис. 1. Как видно из рис. 1, кривые имеют форму волны с хорошо выраженной областью предельного тока. Наклон кривых значительно меньше рассчитанного по формуле концентрацииной поляризации

$$\Delta\varphi = 0,029 \ln \left( 1 - \frac{i}{i_{\text{пр}}} \right),$$

где  $i$  — плотность тока, проходящего через электрод;  $i_{\text{пр}}$  — плотность предельного тока;  $\Delta\varphi$  — сдвиг равновесного потенциала электрода при пропускании через него тока. Это указывает на некоторую необратимость процесса.

Диффузионный характер предельного тока доказывается существованием прямолинейной зависимости между плотностью тока и корнем квадратным из угловой скорости вращения электрода (рис. 2), как того требует теория В. Г. Левича.

Вычисленные с использованием формулы В. Г. Левича коэффициенты диффузии гидрохинона в различных электролитах приведены в таблице. Значения кинематической вязкости растворов взяты из [15].

Индиферентный электролит	Температура, °C	Коэффициент диффузии $D \cdot 10^5 \text{ см}^2/\text{сек}$
$2N \text{ Na}_2\text{SO}_4 + 10^{-3} N \text{ H}_2\text{SO}_4$	21	0,59
$0,5 N \text{ Na}_2\text{SO}_4 + 10^{-3} N \text{ H}_2\text{SO}_4$	21	0,87
$0,1 N \text{ Na}_2\text{SO}_4 + 10^{-3} N \text{ H}_2\text{SO}_4$	22	0,95
$2N \text{ KCl} + 10^{-3} N \text{ H}_2\text{SO}_4$	21	0,91

Нами была также определена зависимость коэффициента диффузии от температуры. Опыт показал, что в интервале  $20-50^\circ$  ее можно приближенно считать линейной

$$D_t = D_0 [1 + \alpha(t - t_0)],$$

где  $D_t$  и  $D_0$  — значения коэффициента диффузии при температурах, соответственно,  $t$  и  $t_0$ ,  $\alpha$  — постоянная.

Для гидрохинона в  $0,1 N \text{ KCl} + 10^{-3} N \text{ H}_2\text{SO}_4$   $\alpha$  составляет 0,022, что соответствует кажущейся энергии активации 3,8 ккал/моль (при  $21^\circ$ ).

Путем экстраполяции значений  $D$  для растворов  $\text{Na}_2\text{SO}_4$  различной концентрации была найдена величина коэффициента диффу-

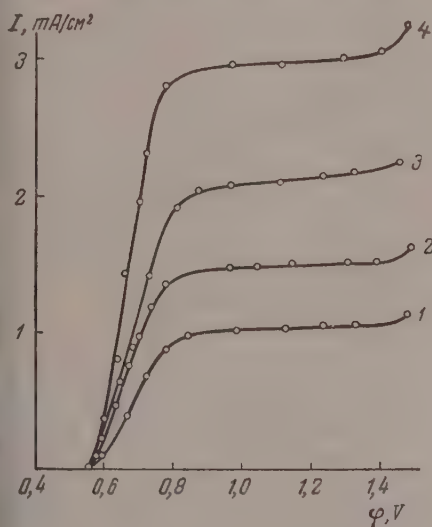


Рис. 1

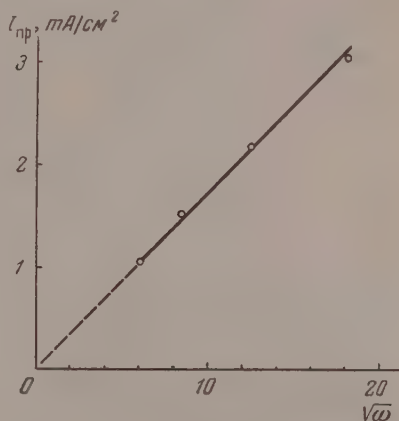


Рис. 2

Рис. 1. Поляризационные кривые окисления гидрохинона в растворе  $0,1 N \text{ Na}_2\text{SO}_4 + 10^{-3} N \text{ H}_2\text{SO}_4$ . Концентрация гидрохинона  $1,51 \cdot 10^{-3} \text{ моль/л}$ . Скорость вращения электрода: 1—5,9 об/сек.; 2—11,5 об/сек.; 3—25,0 об/сек.; 4—52,5 об/сек.

Рис. 2. Зависимость предельного тока окисления гидрохинона от скорости вращения электрода. Фон:  $0,1 N \text{ Na}_2\text{SO}_4 + 10^{-3} N \text{ H}_2\text{SO}_4$ . Концентрация гидрохинона  $1,51 \cdot 10^{-3} \text{ моль/л}$

ли гидрохинона в воде, которая составляет  $0,95 \cdot 10^{-5} \text{ см}^2/\text{сек}$  (при  $21^\circ$ ).

Аналогичным способом (с введением поправки на одновременное восстановление кислорода, доля которого в измеряемом предельном токе оставляет 4%) был определен коэффициент диффузии хинона в  $2N \text{ KCl} +$

$+10^{-3} N H_2SO_4$ , который при  $21,5^\circ$  составляет  $1,10 \cdot 10^{-5} \text{ см}^2/\text{сек}$ ; температурный коэффициент  $\alpha$  равен 0,018.

Измеренные нами коэффициенты диффузии хинона и гидрохинона удовлетворительно согласуются с данными, полученными другими способами.

Так, Кальве [16], изучая диффузию гидрохинона в воде при помощи интерферометра, получил для коэффициента диффузии при  $16^\circ$  значение

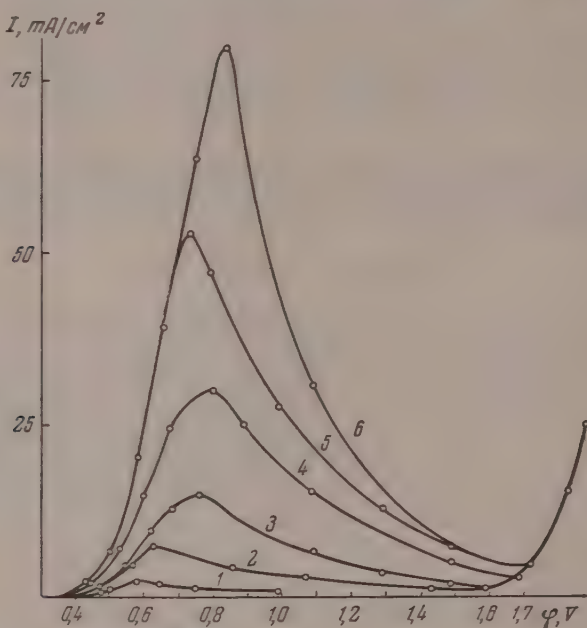


Рис. 3. Поляризационные кривые окисления этилового спирта на платинированной платине в  $0,5 N$  растворе  $H_2SO_4$ . Концентрация этанола: 1— $5 \cdot 10^{-3}$  моль/л; 2— $2,5 \cdot 10^{-2}$  моль/л; 3—0,1 моль/л; 4—0,25 моль/л; 5—1,0 моль/л; 6—2,5 моль/л

$0,57 \cdot 10^{-5} \text{ см}^2/\text{сек}$ . Из наших данных следует, что при этой температуре  $D = 0,85 \cdot 10^{-5} \text{ см}^2/\text{сек}$  (принимая, что значение  $\alpha$  одинаково для воды и  $0,1 N KCl$ ).

Для коэффициента диффузии хинона [17] приведено значение  $1,30 \cdot 10^{-5} \text{ см}^2/\text{сек}$  при  $27,3^\circ$  в фосфатном буфере с вязкостью 0,925 сантипуаза. В  $2 N KCl$  при  $26^\circ$ , имеющем такую же вязкость, коэффициент диффузии хинона, по нашим данным, составляет  $1,21 \cdot 10^{-5} \text{ см}^2/\text{сек}$ .

Н. П. Гохштейн любезно предоставил нам данные по коэффициентам диффузии хинона и гидрохинона, полученные по разработанному им дифференциальному методу [18]. Измеренный им коэффициент диффузии гидрохинона при  $25^\circ$  в растворе  $0,1 N KCl + 10^{-3} N H_2SO_4$  равен  $0,976 \cdot 10^{-5} \text{ см}^2/\text{сек}$ . Рассчитанная из наших данных величина  $D$  для раствора  $2 N KCl + 10^{-3} N H_2SO_4$  при той же температуре (вязкость растворов почти одинакова) составляет  $0,99 \cdot 10^{-5} \text{ см}^2/\text{сек}$ . Для хинона величина  $D$  при  $25^\circ$  в  $2 N KCl + 10^{-3} N H_2SO_4$  составляет по Я. П. Гохштейну  $1,185 \cdot 10^{-5} \text{ см}^2/\text{сек}$ , наше значение  $D$  для того же раствора (экстраполированное на  $25^\circ$ ) равно  $1,18 \cdot 10^{-5} \text{ см}^2/\text{сек}$ .

Таким образом, метод вращающегося дискового электрода можно считать пригодным для измерения коэффициентов диффузии органически-



веществ, предельный ток которых на электроде определяется скоростью диффузии.

**Анодное окисление спиртов.** Поляризационные кривые окисления этилового спирта на платинированной платине в 0,5N  $H_2SO_4$  представлены на рис. 3. Как видно из рис. 3, кривые имеют характерный резкий максимум при 0,8 V с последующим спадом тока. Новый подъем при 1,6 V отвечает выделению кислорода. В 0,5 N NaOH кривые имеют такую же форму, но потенциал максимума лежит в области 0—0,15 V, а величина максимального тока возрастает почти в два раза по сравнению с кислой средой. Следует отметить, что подобная форма  $i$ ,  $\varphi$ -кривых характерна для окисления молекулярного водорода [19] и ряда органических [10] и неорганических [20] ионов и молекул на платине.

Таким образом, в отличие от некоторых предшествующих работ, поляризационные кривые окисления этанола, полученные нами, имеют одну волну как в кислой, так и в щелочной среде, а плотность тока значительно выше, чем во всех цитированных работах, в которых окисление производилось на платинированной платине. Последнее обстоятельство указывает на то, что электрод, применявшийся в нашей работе, имел более активную поверхность.

По-видимому, наличие только одной волны на поляризационных кривых в наших опытах можно объяснить тем, что на достаточно активном платиновом электроде потенциалы окисления этанола и ацетальдегида близки между собой. Последний вывод был подтвержден снятием поляризационной кривой окисления ацетальдегида, которая, как оказалось, также имеет максимум при потенциале около 0,9 V.

Изменение потенциала окисления спирта при переходе от 0,5 N NaOH к 0,5 N  $H_2SO_4$  составляет 0,7—0,75 V, что примерно соответствует сдвигу потенциала водородного электрода при изменении pH на 12 единиц. На такую же величину изменяется в зависимости от pH и обратимый потенциал системы  $C_2H_5OH - C_2H_4O$ . Судя по этим данным, перенапряжение процесса окисления спирта на платине мало зависит от pH, что согласуется с результатами работы [13]. Это обстоятельство позволяет предположить, что медленная стадия процесса окисления протекает с участием ионов гидроксила или кислорода, адсорбированного на платине, и заключается, возможно, в окислении спирта адсорбированным на платине кислородом, либо в дегидрировании спирта с последующей ионизацией образующегося адсорбированного атомарного водорода или переходом его в воду. Для уточнения этого вывода необходимо более подробное исследование зависимости положения волны окисления спирта от pH раствора.

Исследование влияния размешивания на величину максимального тока  $i_{\max}$  показывает, что последняя при концентрациях спирта 0,1—2,5 моль/л не зависит от скорости вращения электрода, и уже при небольших скоростях величина тока во много раз меньше рассчитанной по формуле В. Г. Левича. Это указывает, что скорость окисления этилового спирта на платине определяется не диффузией, а некоторой кинетической стадией процесса. Последний вывод подтверждается и тем, что на гладкой платине величина максимального тока приблизительно в 150 раз меньше, чем на платинированной, при аналогичной форме поляризационных кривых. Наконец, температурный коэффициент скорости реакции значительно выше,

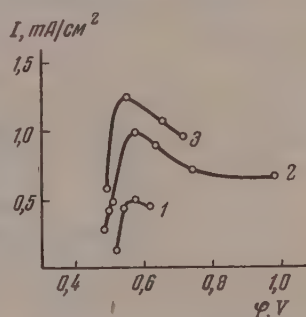


Рис. 4. Влияние размешивания на скорость окисления этилового спирта при концентрации  $5 \cdot 10^{-3}$  моль/л. Фон: 0,5 N  $H_2SO_4$ . Скорость вращения электрода: 1—53,2 об./сек.; 2—12,4 об./сек.; 3—2,9 об./сек.



чем для диффузионных процессов. Он составляет 0,06, что соответствует кажущейся энергии активации 10,3 ккал/моль.

Представляет особый интерес тот факт, что при низких концентрациях спирта ( $5 \cdot 10^{-3}$  моль/л) размешивание оказывает некоторое влияние на скорость окисления, а именно, с повышением скорости вращения электрода максимальный ток падает (рис. 4). Такая необычная зависимость плотности тока от интенсивности размешивания указывает на наличие своеобразного автокаталитического эффекта. Возможно, что какой-то промежуточный нестабильный продукт окисления, являясь более сильным восстановителем, чем исходный спирт, разрушает окисную пленку на платине и увеличивает активность электрода, а вследствие этого и скорость окисления. В результате размешивания продукты окисления удаляются из околоэлектродного слоя, концентрация восстановителя у поверхности электрода падает, и каталитическая активность платины снижается.

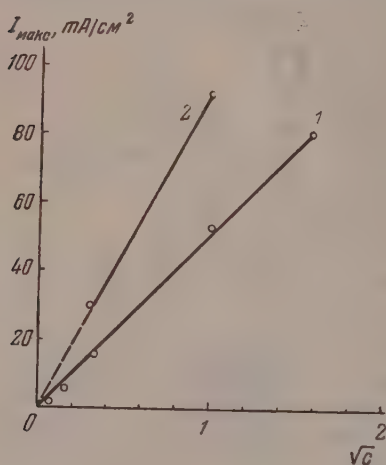


Рис. 5. Зависимость максимального тока от концентрации этилового спирта. Фон: 1 — 0,5 N  $\text{H}_2\text{SO}_4$ ; 2 — 0,5 N NaOH

восходящей ветви кривой, медленной стадией процесса является какая-то из стадий собственно электрохимической реакции, по-видимому, протекающей, как было указано выше, с участием адсорбированного кислорода. При потенциалах более положительных, чем потенциал максимума (0,7—0,8 В), скорость окисления лимитируется уже стадией, предшествующей электрохимической, вероятно, связанной с процессом адсорбции спирта платиной. В пользу последнего вывода говорит и найденная экспериментально зависимость между максимальным током и концентрацией:  $i_{\text{max}} = c^{0,5}$ .

Исходя из представлений о роли адсорбционной стадии в процессе окисления, можно объяснить спад тока при более высоких положительных потенциалах. Адсорбция спирта протекает, вероятно, с достаточно большой скоростью только на активных участках поверхности. Уменьшение числа активных участков при более положительных потенциалах, как это было показано на примере окисления молекулярного водорода в работе А. Н. Фрумкина и Э. А. Айказяна [19], приводит к пассивации платины и к уменьшению скорости процесса.

Нами было также исследовано влияние анионов на скорость окисления спирта. При этом использовались KCl, KBr и  $\text{NH}_4\text{CNS}$  в кислой среде и KCl, KBr и KJ в щелочной. Полученные результаты представлены на рис. 6 и 7. В согласии с результатами В. Н. Модестовой [14], в кислой среде максимальный ток резко падает при добавлении  $\text{Cl}^-$ ,  $\text{Br}^-$  и  $\text{CNS}^-$ .

Поэтому с увеличением скорости вращения электрода максимальный ток уменьшается. Этот эффект исчезает при более высоких концентрациях спирта, возможно, из-за заполнения поверхности электрода адсорбированными молекулами спирта. Каталитическое действие продуктов окисления наблюдается и при окислении анилина на угольных анодах [21].

Зависимость максимального тока окисления этанола от его концентрации иллюстрируется рис. 5. Как видно, эта зависимость может быть приближенно охарактеризована степенной функцией с показателем 0,5.

Полученных результатов недостаточно для полного выяснения механизма процесса, но они все же позволяют сделать некоторые выводы относительно кинетики окисления спирта.

При потенциалах, соответствующих

в щелочной среде влияние анионов, кроме  $\text{J}^-$ , выражено значительно слабее.

Снижение скорости окисления спирта в присутствии перечисленных анионов можно объяснить по аналогии с подобным явлением, наблюдаемым при процессе ионизации водорода [19].  $\text{Cl}^-$ ,  $\text{Br}^-$ ,  $\text{J}^-$  и  $\text{CNS}^-$  обладают повышенной способностью к адсорбции на платине, в результате которой

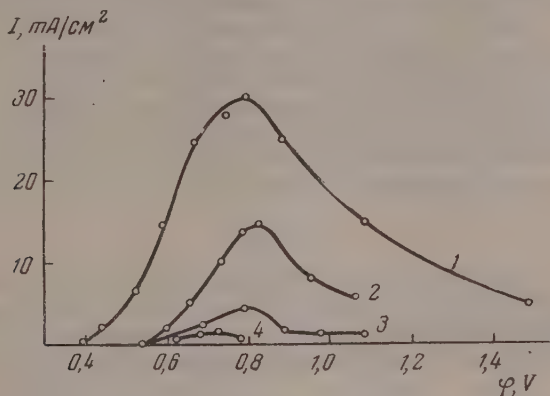


Рис. 6. Влияние анионов на окисление этилового спирта в кислой среде. Концентрация спирта 0,25 моль/л. Фон: 1—0,5 N  $\text{H}_2\text{SO}_4$ ; 2—0,5 N  $\text{H}_2\text{SO}_4 + 10^{-2}$  N  $\text{KCl}$ ; 3—0,5 N  $\text{H}_2\text{SO}_4 + 10^{-2}$  N  $\text{KBr}$ ; 4—0,5 N  $\text{H}_2\text{SO}_4 + 10^{-2}$  N  $\text{NH}_4\text{CNS}$

наступает пассивация электрода. Пассивирующее действие растет в ряду  $\text{I}^- < \text{Br}^- < \text{J}^-$  в соответствии с увеличением адсорбционной способности. С ростом положительного потенциала адсорбция анионов возрастает, и эффект пассивации увеличивается.

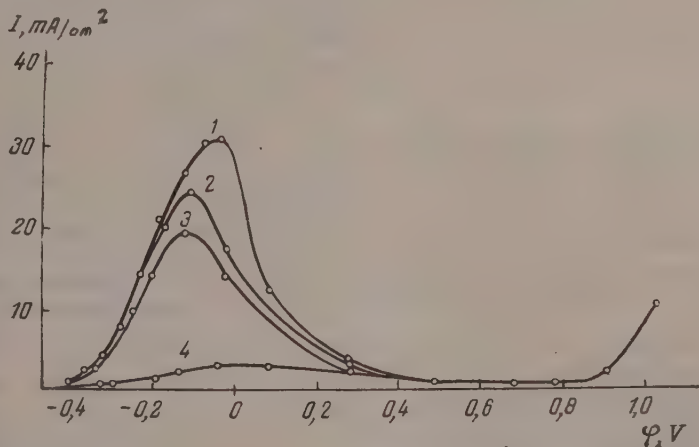


Рис. 7. Влияние анионов на окисление этилового спирта в щелочной среде. Концентрация спирта 0,1 моль/л. Фон: 1—0,5 N  $\text{NaOH}$ ; 2—0,5 N  $\text{NaOH} + 0,25$  N  $\text{KCl}$ ; 3—0,5 N  $\text{NaOH} + 0,25$  N  $\text{KBr}$ ; 4—0,5 N  $\text{NaOH} + 10^{-2}$  N  $\text{KJ}$

В щелочной среде окисление спирта происходит при таких потенциалах, при которых поверхность платины заряжена, вероятно, отрицательно. Это препятствует адсорбции анионов, и их влияние сказывается меньше, чем в кислой среде, в которой окисление спирта протекает на положительно заряженной поверхности.

Интересно привести для сравнения некоторые ориентировочные данные по окислению первичного нормального бутилового спирта. Поляризационные кривые в  $0,5\text{ N H}_2\text{SO}_4$  имеют такую же форму, как и для этанола, но высота максимума в несколько раз меньше. Потенциал максимума  $0,8\text{--}0,9\text{ V}$ .

Зависимость максимального тока от концентрации бутанола изображена на рис. 8. Как можно видеть, максимальный ток пропорционален концентрации в степени  $0,3$ . Это обстоятельство указывает, по-видимому, на большее заполнение поверхности платины, чем в случае этилового спирта.

В присутствии  $10^{-2}\text{ N HBr}$  максимальный ток не зависит от концентрации бутанола; иначе говоря, процесс окисления оказывается реакцией нулевого порядка (в интервале концентраций  $0,25\text{--}1\text{ моль/л}$ ).

Выражаем благодарность А. Н. Фрумкину за предложение темы и ценные советы при обсуждении полученных результатов.

### ВЫВОДЫ

1. Изучен процесс окисления гидрохинона и восстановления хинона на гладком платиновом вращающемся дисковом электроде в растворах  $\text{KCl}$  и  $\text{Na}_2\text{SO}_4$  различной концентрации, подкисленных  $\text{H}_2\text{SO}_4$ . Показано, что предельный ток носит диффузионный характер.

2. Определена величина коэффициентов диффузии гидрохинона и хинона, которые в  $2\text{ N KCl}$  при  $21^\circ$  составляют соответственно  $0,91 \cdot 10^{-5}\text{ см}^2/\text{сек}$  и  $1,10 \cdot 10^{-5}\text{ см}^2/\text{сек}$ . Измерен температурный коэффициент диффузии.

3. Изучен процесс окисления этилового спирта на платинированном платиновом вращающемся электроде в растворах  $\text{H}_2\text{SO}_4$  и  $\text{NaOH}$ . Высказано предположение, что при более положительных потенциалах, чем потенциал максимума поляризационной кривой, скорость реакции определяется скоростью активированной адсорбции спирта на платине. Измерен температурный коэффициент и определена кажущаяся энергия активации реакции.

4. Показано, что при малых концентрациях этанола ( $5 \cdot 10^{-3}\text{ моль/л}$ ) скорость окисления уменьшается с увеличением интенсивности размешивания, что указывает на автокаталитический характер процесса окисления.

5. Показано, что в присутствии анионов  $\text{Cl}^-$ ,  $\text{Br}^-$ ,  $\text{J}^-$  и  $\text{CNS}^-$  в кислой среде окисление спирта резко замедляется. В щелочной среде влияние анионов выражено значительно слабее.

Московский государственный  
университет им. М. В. Ломоносова

Поступила  
23.I.1956

### ЛИТЕРАТУРА

1. В. Г. Левич, Физико-химическая гидродинамика. Изд-во АН СССР, 1952.
2. Ю. Г. Сивер, Б. Н. Кабанов, Журн. физ. химии, 22, 53, 1948.
3. Ю. Г. Сивер и Б. Н. Кабанов, Журн. физ. химии, 23, 428, 1949.
4. Э. А. Айказян, А. И. Федорова, ДАН, 86, 1137, 1952.
5. E. Hogge, M. Kraichman, Journ. Amer. Chem. Soc., 76, 1431, 1954.
6. S. Glasstone, A. Hickling, Electrolytic Oxidation and Reduction, 1954.
7. S. Lord, L. Rogers, Anal. Chem., 26, 284, 1954.

8. H. Laitinen, I. Kolthoff, Journ. Phys. Chem., 45, 1061, 1941.
9. O. Müller, Journ. Amer. Chem. Soc., 69, 2992, 1947.
10. Е. М. Скобец, Н. Н. Атаманенко, Зав. лаб., 15, 1291, 1949.
11. К. Брокман, Электрохимия органических соединений. Процессы электрохимического окисления и восстановления, Химтеоретиздат, 1937.
12. O. Donu-Henault, Zs. Elektrochem., 6, 533, 1900.
13. С. Marie, G. Lejeune, Journ. chim. phys., 26, 237, 1929.
14. В. Н. Модестова, Влияние галогидных анионов на течение некоторых электрохимических реакций, Диссертация, 1952.
15. Справочник химика, т. III, Госхимиздат, 1952.
16. E. Calvet, Journ. chim. phys., 44, 47, 1947.
17. C. Lin, E. Denton, H. Gaskill, G. Putnam, Ind. Eng. Chem., 43, 2136, 1951.
18. Я. П. Гохштейн, Журн. физ. химии, 26, 224, 1952.
19. А. Н. Фрумкин, Э. А. Айказян, ДАН, 100, 315, 1955.
20. К. И. Розенталь, В. И. Веселовский, Журн. физ. химии, 27, 1163, 1953.
21. Н. Е. Хомутов, С. В. Горбачев, Журн. физ. химии, 24, 1101, 1950.

---

## THE ELECTROCHEMICAL OXIDATION AND REDUCTION OF SOME ORGANIC COMPOUNDS AT THE ROTATING DISC ELECTRODE

*E. A. Aikazyan and Yu. V. Pleskov (Moscow)*

### Summary

The kinetics of the anodic oxydation of hydroquinone and ethyl and butyl alcohols and of the cathodic reduction of quinone were investigated with the help of a rotating disc electrode. Diffusion coefficients were calculated from the values of diffusion limiting currents on the basis of V. Levich's theory; the diffusion coefficients of hydroquinone and quinone in 2N KCl at 21° C are equal resp. to  $0,91 \cdot 10^{-5}$  and  $1,10 \cdot 10^{-5}$  cm<sup>2</sup>/sec.

The velocity of oxydation of ethanol and butanol on platinum at sufficiently high positive potentials is limited by the activated adsorption step and decreases with increasing anodic polarisation. At small ethanol concentration ( $5 \cdot 10^{-3}$  M) the oxydation rate decreases with increasing rotation speed which points to an autocatalytic mechanism of the process.

---



## О ТАУТОМЕРИИ НЕКОТОРЫХ ПРОИЗВОДНЫХ ГЕТЕРОЦИКЛИЧЕСКИХ СОЕДИНЕНИЙ

### II. ИНФРАКРАСНЫЕ И УЛЬТРАФИОЛЕТОВЫЕ СПЕКТРЫ И СТРОЕНИЕ 2-АМИНОПРОИЗВОДНЫХ ТИАЗОЛА

*Ю. Н. Шейнкер, В. В. Кушкин и И. Я. Постовский*

Представление об amino-иминной таутомерии в ряду гетероциклических аминов было введено в химию А. Е. Чичибабиным в его классических работах по химии аминопиридина [1] и находило в дальнейшем свое подтверждение в целом ряде химических особенностей поведения этих соединений. Однако все факты, говорящие в пользу amino-иминной таутомерии, основывались лишь на результатах различных химических реакций, в которых участвовали эти соединения. Хотя эти факты несомненно являются очень важными, они вместе с тем не могут служить действительным доказательством таутомерного превращения аминосоединений в имино-соединения, так как образование продуктов реакции, имеющих строение производных имино-формы, в соответствии с современными представлениями [2] может быть обусловлено не только таутомерией, но и переносом реакционного центра в молекуле, имеющей до реакции amino-строение.

В связи с этим для выяснения вопроса о строении гетероциклических аминов и их таутомерии большой интерес представляет приложение физических и физико-химических методов исследования. Среди этих методов наиболее существенные результаты были получены при помощи спектроскопии, хотя не всегда и здесь выводы разных работ были достаточно однозначны.

Так, в работе Штека и Эвинга [3] на основании изучения ультрафиолетовых спектров аминопиридинов, аминохинолинов и аминозохинолинов доказывалось наличие в растворах иминной формы, в то время как спектральные данные Андерсона и Зегера [4] и Близнюкова [5] свидетельствуют об отсутствии имино-формы в растворах  $\alpha$ -и  $\gamma$ -аминопиридина.

В работе Андыяла и Вернера [6] были рассмотрены инфракрасные спектры ряда гетероциклических аминов, в результате чего авторы пришли к выводу о том, что гетероциклические амины имеют «скорее amino-, чем имино-форму». Аналогичные выводы на основании инфракрасных или ультрафиолетовых спектров были сделаны также для таких соединений, как  $\alpha$ -аминопиррол [7], 5-амино-1,2,4-тиодиазол [8], 5-аминотетразол [9].

В настоящей работе изучение вопросов amino-иминной таутомерии при помощи спектроскопии проведено в ряду 2-аминопроизводных тиазола. Такое исследование в ряду соединений, где в гетероциклическом ядре кроме азота находится еще и атом серы, должно было позволить выяснить, как влияет наличие этого атома на те таутомерные соотношения, которые имеют место для *N*-гетероциклических аминов.

Некоторые данные об инфракрасных спектрах и строении 2-аминотиазола имеются в отмеченной выше работе [6]. Однако эти данные, полученные для растворов в  $\text{CHCl}_3$ , охватывают ограниченную спектральную область и касаются лишь самого 2-аминотиазола, спектр которого сравнивался со спектром соединения с закрепленной иминотиазолиновой структурой (2-имино-3-метилтиазолина). Как указывают Андыял и Вернер, вывод о большей вероятности amino-строения 2-аминотиазола удастся сделать лишь на основании сопоставления полос поглощения в высокочастотной области спектра (валентные колебания N—H), в то время как дан-

ные в области колебаний двойных связей и колебаний цикла интерпретировать оказалось затруднительно в связи с отсутствием материалов по характеристическим колебаниям тиазольного и тиазолинового ядра. Вместе с тем такой материал был бы весьма полезным при решении не только вопроса о таутомерии аминопроизводных тиазола, но и других структурных вопросов в ряду тиазола и тиазолина.

В работе, посвященной спектрам и строению ацетилированных производных 2-аминотиазола [10], двумя из нас совместно с С. Г. Богомолым было показано, что эти производные обладают аммно-строением (как в кристаллическом состоянии, так и в растворах) и что характерные для тиазольного кольца полосы в этих соединениях лежат в области 1520—1540  $\text{см}^{-1}$ , а для тиазолинового кольца — в области 1590  $\text{см}^{-1}$ . Однако эти данные не могли быть без проверки перенесены на неацетилированные амины тиазола, так как не было достаточных оснований считать, что на положении характеристических полос циклов не скажется наличие или отсутствие ацетильной группы.

В соответствии со всем этим в настоящей работе были исследованы инфракрасные и ультрафиолетовые спектры ряда аминопроизводных тиазола и тиазолина в кристаллическом и растворенном состоянии. Некоторые из исследованных соединений, а именно: *N*-метилные производные — служили эталонами для исследования, представляя собой соединения с «закрепленной» формой, исключающей таутомерные превращения. Данные по этим соединениям использовались для дальнейшего рассмотрения вопросов строения соединений, в которых возможны таутомерные формы.

Для установления характеристических полос поглощения тиазольного цикла и влияния замещения в цикле на положение этих полос были рассмотрены прежде всего спектры самого тиазола и его метилных производных.

В спектре тиазола (рис. 1) в области от 6  $\mu$  и выше имеется ряд четких интенсивных полос поглощения. Полосы поглощения в инфракрасном спектре хорошо совпадают по положению с линиями спектра комбинационного рассеяния, полученного нами для тиазола в растворе  $\text{CCl}_4$ :

$\Delta\nu$	3125 (4),	3093 (5),	1484 (1),	1382 (7),	1324 (2),
	1242 (1),	1124 (2),	1044 (4),	867 (5),	612 (4),
	403 (2),	357 (1),	256 (2)	$\text{см}^{-1}$	

На основании сопоставления со спектрами других циклических молекул (пиррол, тиофен, бензол) можно считать, что наиболее высокочастотная полоса в спектре в области, характерной для колебаний двойных связей и колец (1485  $\text{см}^{-1}$ ), относится к асимметричному колебанию тиазольного кольца. Для бензола эта полоса лежит при 1600  $\text{см}^{-1}$ , в пирроле, по-видимому, — при 1575  $\text{см}^{-1}$ , в тиофене спускается до 1515  $\text{см}^{-1}$  (влияние наличия в кольце тяжелого атома серы) и, наконец, в тиазоле имеет значение 1485  $\text{см}^{-1}$ .

По мере последовательного замещения атомов водорода в цикле на метилные группы происходит смещение этой полосы в более высокочастотную область. Как видно из рис. 1, эта полоса в 2-метилтиазоле и 4-метилтиазоле смещается до 1505 и 1518  $\text{см}^{-1}$ , в 2,4-диметилтиазоле — до 1532  $\text{см}^{-1}$ , в 2,4,5-триметилтиазоле — до 1556  $\text{см}^{-1}$ .

Смещение  $\nu$  ( $\alpha$ s) тиазольного кольца при введении таких заместителей, как метильная группа, обусловлено взаимодействием колебаний кольца и боковой связи C—C, обладающих сравнительно близкими частотами. Это подтверждается сопоставлением спектров тиазола и 2-бромтиазола (рис. 1), где в области 1500—1300  $\text{см}^{-1}$  наблюдается практически полное совпадение полос. Низкое значение собственной частоты колебаний связи C—Br не позволяет этим колебаниям в сколько-нибудь заметной степени влиять на колебания кольца, в отличие от связи C—C в метилтиазолах.

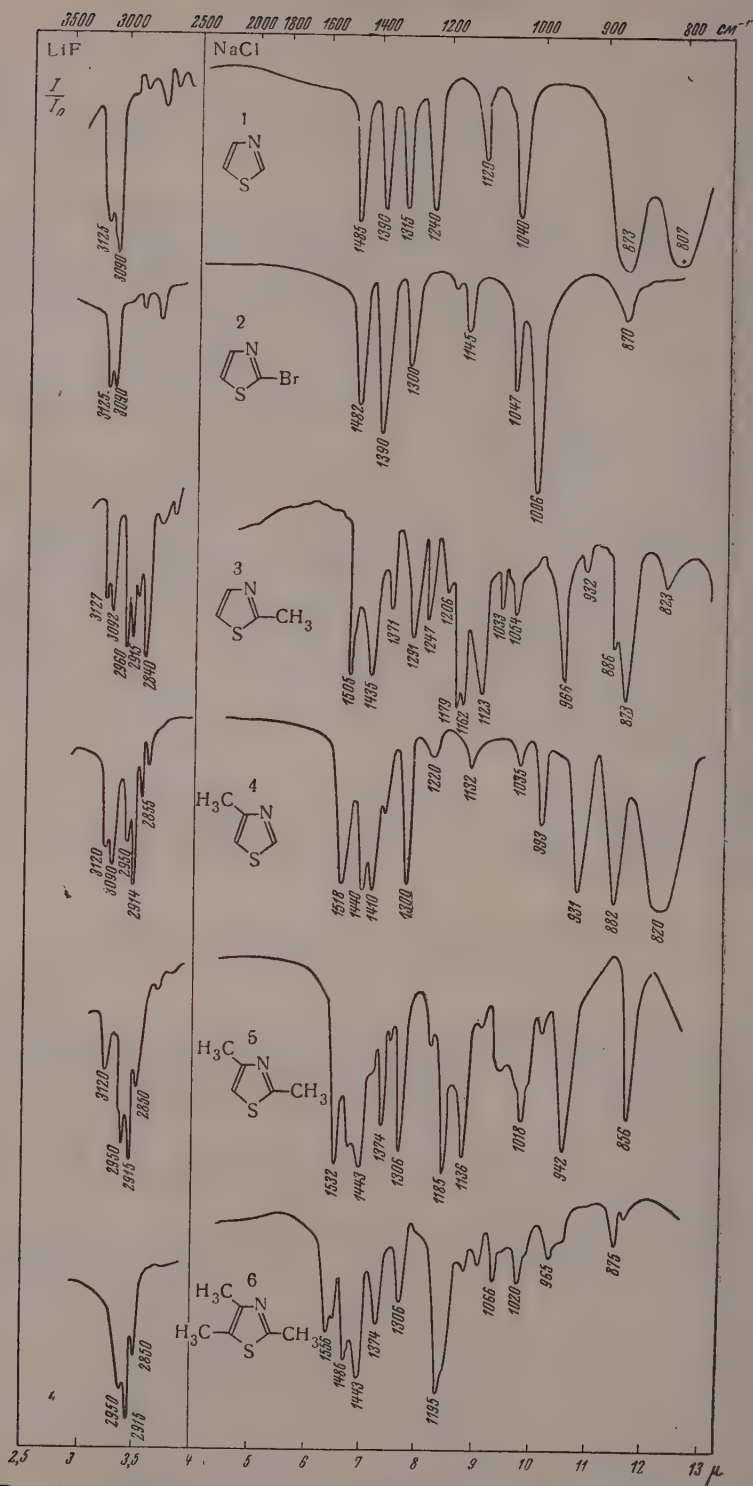


Рис. 1. Инфракрасные спектры поглощения: 1 — тиазола; 2 — 2-бромтиазола; 3 — 2-метилтиазола; 4 — 4-метилтиазола; 5 — 2,4-диметилтиазола; 6 — 2,4,5-триметилтиазола (все в жидком состоянии)



С другой стороны, смещение частот колебаний, характерных для тиазольного кольца, может быть в какой-то степени связано и с перераспределением электронной плотности в кольце в связи с электронодонорным характером метильных групп.

По мере метилирования тиазольного ядра происходит усложнение инфракрасного спектра соединений, число полос возрастает, и их отнесение становится тем более затруднительным. Можно лишь отметить, что две полосы — в области  $1300\text{—}1315$  и  $860\text{—}880\text{ см}^{-1}$  — довольно устойчиво сохраняют свое положение в замещенных тиазолах и самом тиазоле и, таким образом, по-видимому, могут быть связаны с менее подверженными внешнему влиянию колебаниями тиазольного кольца. Последнее из этих колебаний —  $860\text{—}880\text{ см}^{-1}$  — проявляется в виде одной из наиболее интенсивных линий в спектре комбинационного рассеяния тиазола и, возможно, отвечает симметричному колебанию тиазольного цикла. Полосы в области  $1440\text{—}1380\text{ см}^{-1}$ , наблюдающиеся в метильных производных, обусловлены деформационными колебаниями групп  $\text{CH}_3$ .

В области валентных колебаний  $\text{C—H}$  в инфракрасном спектре тиазола наблюдаются две полосы —  $3090$  и  $3127\text{ см}^{-1}$  (в спектрах комбинационного рассеяния соответственно  $3093$  и  $3125\text{ см}^{-1}$ ). Рассмотрение спектров различных замещенных тиазола (рис. 1) позволяет сделать вывод о том, что полоса  $3127\text{—}3125\text{ см}^{-1}$  обусловлена валентным колебанием атома водорода в положении 5 тиазольного кольца, а полоса  $3090\text{—}3093\text{ см}^{-1}$  — совпадающими (или мало отличающимися по частоте) полосами, характерными для колебаний  $\text{C—H}$  как в положении 2, так и 4. Следовательно, оба  $\alpha$ -положения по отношению к азоту кольца (положения 2 и 4) являются близкими по свойствам (по крайней мере, с точки зрения характера связи  $\text{C—H}$ ), в то время как положение 5 отличается большей «ненасыщенностью» (более высокое значение частоты  $\text{C—H}$ ).

Данные для метилтиазолов могут рассматриваться как доказательство отсутствия таутсмерии 2-метилтиазола, представление о которой было использовано [11] для объяснения повышенной реакционной способности метильной группы в положении 2. В спектрах 2-метил-, 2,4-диметил- и 2,4,5-триметилтиазолов наблюдаются полосы  $\text{C—H}$ , характерные лишь для метильных групп и тиазольного кольца (рис. 1), и отсутствуют полосы метиленовой группировки  $=\text{CH}_2$  ( $3070\text{—}3090\text{ см}^{-1}$ ) и полосы, характерные для тиазолинового строения (см. ниже).

Проведенное рассмотрение спектров тиазола и его простейших производных позволяет выделить характерные для тиазольного ядра полосы поглощения и характер их смещения при введении заместителей. Наибольшее значение, с этой точки зрения, имеет самая высокочастотная полоса в области двойных связей ( $1485\text{ см}^{-1}$  для тиазола и  $1505\text{—}1560\text{ см}^{-1}$  для метилтиазолов).

При переходе от метильных к аминопроизводным было необходимо раньше всего проверить, в какой степени эта полоса сохраняет свое положение при замене метильной группы на амино-группу. В ацетилированных производных 2-аминотиазола с закрепленным строением в качестве характерной полосы тиазольного кольца ранее нами была выявлена полоса  $1540\text{ см}^{-1}$  [10].

В данной работе были получены спектры более простых модельных соединений — 2-диметиламинотиазола и 2-диметиламино-4-метилтиазола, в которых исключалась возможность влияния на положение полос ацетильной группы. Оба соединения характеризуются наличием в спектре (рис. 2) интенсивной полосы  $1560\text{—}1565\text{ см}^{-1}$ , которая хотя лежит несколько выше, чем аналогичная полоса других монозамещенных тиазола, все же находится в той же области и, по-видимому, может рассматриваться как  $\nu(\text{as})$  тиазольного кольца, несколько повышенная за счет накопления метильных групп в молекуле (аналогично повышению частоты в триметилтиазоле).



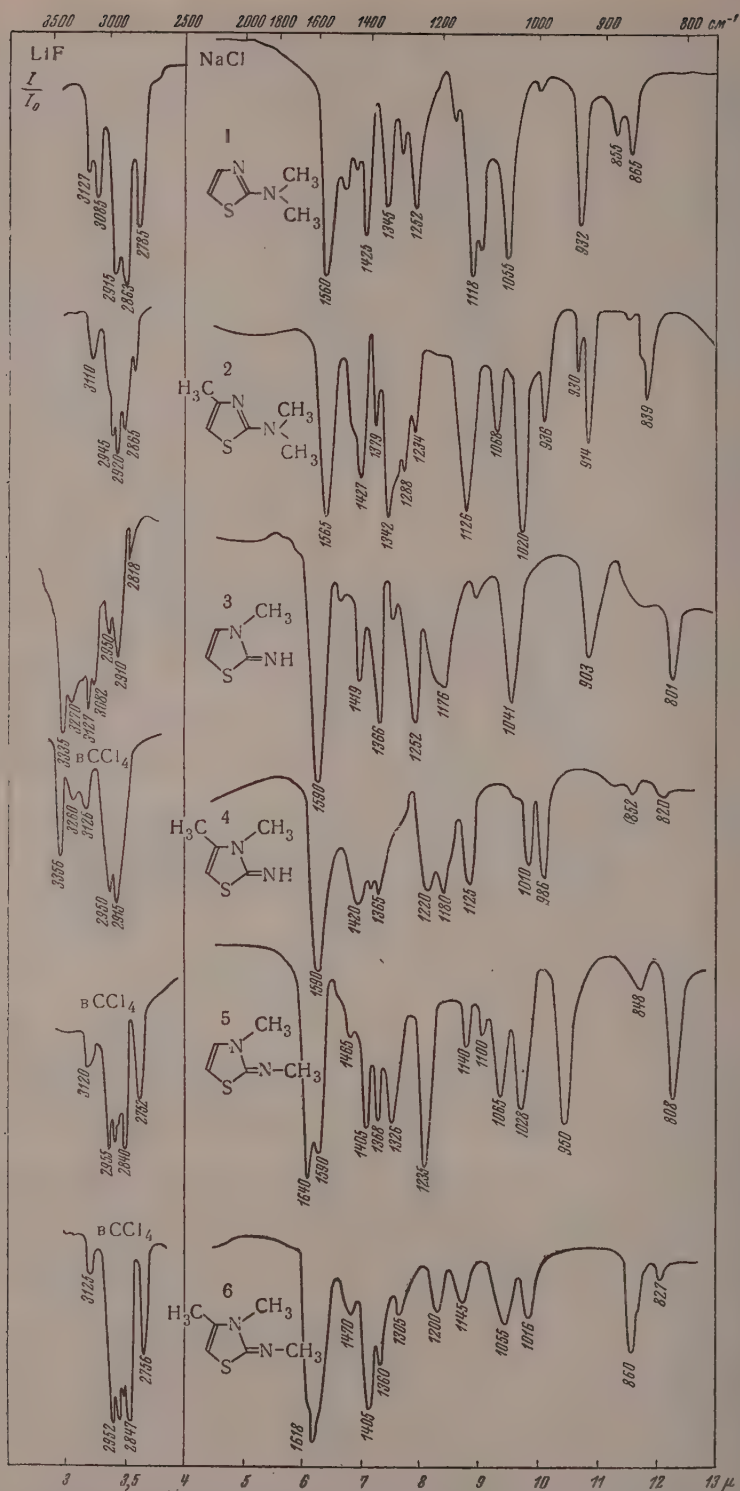


Рис. 2. Инфракрасные спектры поглощения: 1—2-диметиламино-3-метилтиазола; 2—2-диметиламино-4-метилтиазола; 3—2-имино-3-метилтиазолина; 4—2-имино-3,4-диметилтиазолина; 5—2-метилимино-3-метилтиазолина; 6—2-метилимино-3,4-диметилтиазолина (4 и 6 — в кристаллическом состоянии, остальные в жидком)

Следовательно, для разнообразных замещенных тиазола, включая и иминопроизводные, характерным является наличие в спектре интенсивной полосы поглощения в области  $1505\text{--}1560\text{ см}^{-1}$  и в зависимости от характера замещения — полос  $\text{C}=\text{N}$  в области  $3090$  и  $3125\text{ см}^{-1}$ .

Для выявления характерных полос тиазолинового цикла (отвечающего имино-форме исследуемого класса соединений) нами были исследованы спектры нескольких производных с закрепленным тиазолиновым строением. На рис. 2 представлены инфракрасные спектры исследованных иминотиазолинов.

Во всех этих соединениях в области  $1500\text{--}1560\text{ см}^{-1}$  отсутствуют полосы поглощения. Вместе с тем в несколько более высокочастотной области —  $1590\text{--}1620\text{ см}^{-1}$  — появляются очень интенсивные полосы, очевидно, характерные именно для тиазолиновой структуры. Полосы в этой области были ранее нами обнаружены и для ацетилированных иминотиазолинов [10].

Интересно, что в иминосоединениях, где при минимуме азоте имеется том водорода, полоса имеет значение  $1590\text{ см}^{-1}$ , если же этот атом заменен на  $\text{CH}_3$ -группу, то наблюдается или раздвоение этой полосы (при отсутствии  $\text{CH}_3$ -группы в 4-положении), или смещение ее в более высокочастотную область (при наличии  $\text{CH}_3$ -группы в 4-положении).

Наблюдаемые в спектрах тиазолинов полосы, по-видимому, следует рассматривать как обусловленные характеристическими колебаниями связей  $\text{C}=\text{N}$  и  $\text{C}=\text{C}$ .

Смещение полос в тиазолинах в более высокочастотную область по сравнению с тиазолами связано с ослаблением сопряжения двойных связей в первых. По-видимому, каждая из двойных связей тиазолина — двойная связь цикла и боковой цепи — при отсутствии  $\text{CH}_3$ -группы при минимуме азоте имеет близкие характеристические частоты, и обе полосы сливаются в одну ( $\sim 1590\text{ см}^{-1}$ ). Замещение водорода при иминном азоте повышает частоту иминной двойной связи — происходит раздвоение полосы; наличие  $\text{CH}_3$ -группы в положении 4 повышает и частоту двойной связи цикла — обе полосы опять сливаются в одну ( $1618\text{ см}^{-1}$ ).

Следует отметить, что повышение частоты колебаний в области двойных связей или расщепление полос в этой области наблюдается не только при переходе от тиазольной к тиазолиновой структуре, но и в других случаях при переходе от замкнутых в цикле сопряженных систем двойных связей к системам с экзодиклической двойной связью (аминопиридин — тридонимин и т. п. [6]).

Все полученные данные были нами использованы при рассмотрении спектров 2-аминотиазола и некоторых его производных, для которых можно было ожидать аминотиазольное или иминотиазолиновое таутомерное строение.

В инфракрасных спектрах 2-амино-тиазола и его 4-метил- и 4,5-диметилпроизводных в кристаллическом состоянии (рис. 3) в области  $1500\text{--}1550\text{ см}^{-1}$  наблюдаются две интенсивные полосы —  $1630\text{--}1610\text{ см}^{-1}$  и  $1500\text{--}1540\text{ см}^{-1}$  (в некоторых соединениях эта полоса раздваивается). Первая полоса является характерной для первичных аминов [12] и отвечает деформационному колебанию группы  $\text{NH}_2$ , вторая — находится в отмеченной нами области полос, характерных для тиазольного кольца. Таким образом как одна, так и другая полоса в этой области свидетельствуют в пользу аминотиазольного строения как самого 2-аминотиазола, так и его метилзамещенных производных. В спектрах не обнаруживаются каких-либо даже мало интенсивных полос в области, характерной для тиазолиновой формы молекул.

В области высоких частот в спектрах рассматриваемых соединений имеется группа из 3—4 интенсивных полос ( $3480\text{--}3100\text{ см}^{-1}$ ), которые, очевидно, относятся к валентным колебаниям  $\text{N}=\text{H}$  связей в аминогруппе (аналогично аминопроизводным других гетероциклов и анилину).

Имины тиазолина (рис. 2), имеющие незамещенный атом водорода при иминном азоте, обладают в этой области весьма отличным поглощением — для них характерна узкая интенсивная полоса  $3360\text{--}3340\text{ см}^{-1}$ , отвечающая, валентному колебанию N—H связи при иминном азоте.

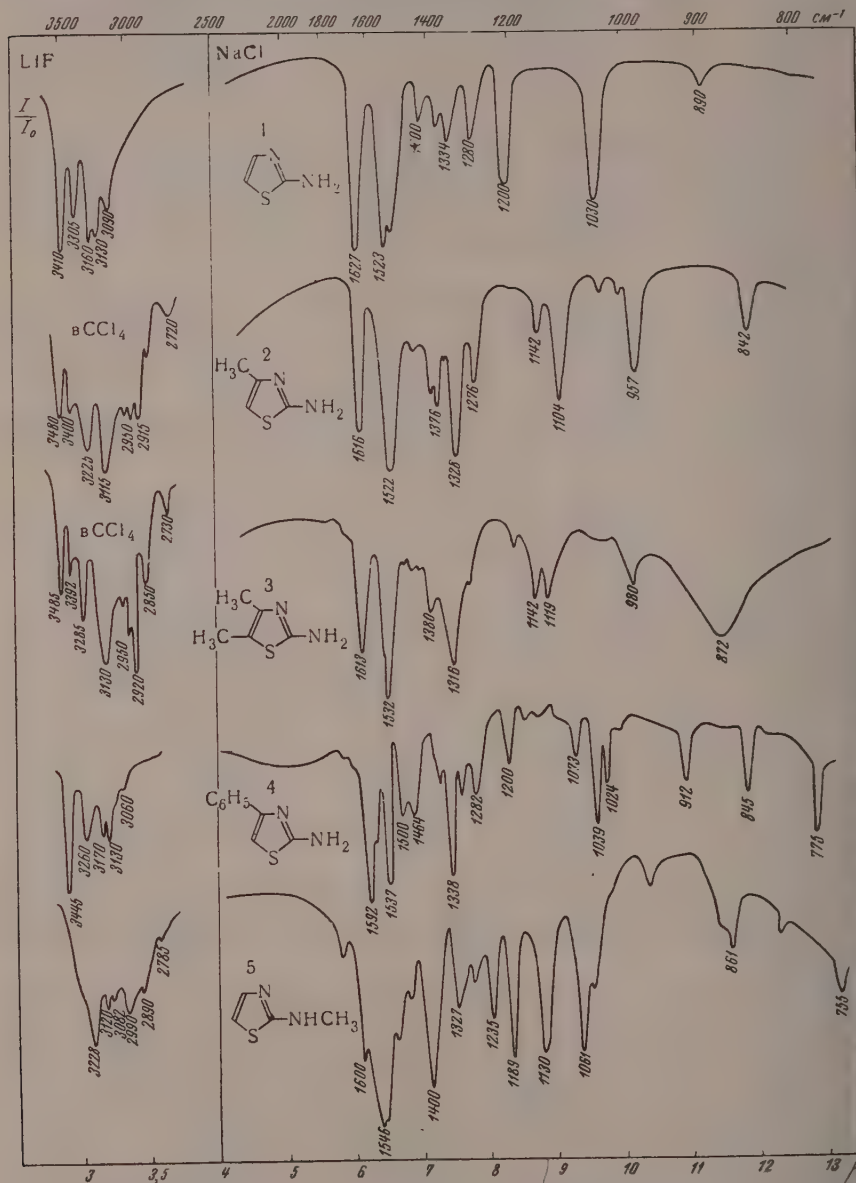


Рис. 3. Инфракрасные спектры поглощения: 1—2-аминотиазола; 2—2-амино-4-метилтиазола; 3—2-амино-4,5-диметилтиазола; 4—2-амино-4-фенилтиазола; 5—2-метилтиазола (5 в жидком состоянии, остальные в кристаллическом)

Для 2-амино-4-фенилтиазола также характерно наличие в спекте интенсивной «тиазольной» полосы  $1537\text{ см}^{-1}$ , что говорит об аминотиазольном строении этого соединения. Что касается второй полосы  $1592\text{ см}^{-1}$

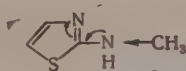
го она не может быть отнесена к тиазолиновой форме молекул (хотя и лежит в области, характерной для иминотиазолина), а является частотой деформационного колебания группы  $\text{NH}_2$ , несколько смещенной по сравнению с уже рассмотренными аминами в низкочастотную область.

Об этом свидетельствует как спектр вещества в высокочастотной области  $3000\text{—}3500\text{ см}^{-1}$  (призма  $\text{LiF}$ ), характерный для группы  $\text{NH}_2$  (полосы  $3445$ ,  $3260$ ,  $3170\text{ см}^{-1}$ ), так и то соображение, что одновременное присутствие в кристаллическом веществе двух таутомерных форм можно считать исключенным, а наличие тиазольной формы (полоса  $1537\text{ см}^{-1}$ ) не вызывает сомнений.

2-Метиламинотиазол также имеет тиазольное строение (интенсивная полоса  $1546\text{ см}^{-1}$ , отвечающая тиазольному кольцу). Мало интенсивное поглощение при  $1600\text{ см}^{-1}$  должно быть отнесено к колебаниям системы  $\text{C}_{\text{ар}}-\text{N}-\text{C}$ ;

$$\begin{array}{c} \text{N} \\ | \\ \text{H} \end{array} \quad \text{; подобная полоса наблюдается, например, во вторичных ароматических аминах [12].}$$

Повышение «тиазольной» частоты с  $1523\text{ см}^{-1}$  в 2-аминотиазоле до  $1546\text{ см}^{-1}$  в 2-метиламинотиазоле и  $1565\text{ см}^{-1}$  в 2-диметиламинотиазоле обусловлено электронодонорным характером метильных групп, вызывающих смещение электронного облака молекулы в направлении тиазолинового строения



Таким образом, из данных инфракрасных спектров следует, что 2-аминотиазол и исследованные в работе его производные в кристаллическом состоянии имеют амино-, а не иминостроение. Этот вывод не мог быть без дополнительных исследований перенесен и на растворы аминопроизводных тиазола, где соотношения могли быть существенно иными и где не исключалась возможность одновременного наличия двух таутомерных форм или даже одной иминной таутомерной формы.

Так как исследование растворов при помощи инфракрасных спектров представляло существенные трудности (относительно низкая растворимость многих исследуемых соединений на холоду, сильное поглощение инфракрасного излучения растворителями и т. п.), мы использовали для изучения строения соединений в растворах ультрафиолетовые спектры поглощения.

Сам тиазол (рис. 4) имеет в различных растворителях (спирт, диоксан) интенсивную и вместе с тем относительно узкую полосу поглощения с  $\lambda_{\text{макс}} 233\text{—}232\text{ м}\mu$ ;  $\lg \epsilon 3,59\text{—}3,52$ .

Замещение атомов водорода в положениях 2 и 4 на  $\text{CH}_3$ -группу или  $\text{Br}$  сдвигает поглощение в сторону более длинных волн (для 2-бромтиазола  $\lambda_{\text{макс}} 247\text{ м}\mu$ , для 4-метилтиазола  $\lambda_{\text{макс}} 243\text{ м}\mu$ ).

Дальнейший сдвиг в ту же сторону с ростом интенсивности наблюдается для 2-диметиламинотиазола — закрепленной амино-формы, при сохранении прежней конфигурации полосы поглощения.

Весьма отличен вид кривых поглощения тиазолиновых производных (рис. 5). Полоса поглощения иминотиазолинов значительно расширена по сравнению с соединениями тиазольного ряда и не имеет симметрии в связи с наличием в коротковолновой области второй полосы поглощения, что обычно обуславливает весьма пологий спад кривой с этой стороны. Главный максимум обычно лежит примерно в той же области, что и в диметиламинотиазоле и имеет значение  $\lambda_{\text{макс}} 260\text{ м}\mu$ ,  $\lg \epsilon 3,8\text{—}3,9$ , второй максимум, проявляющийся в виде более или менее пологого спада, находится в интервале  $230\text{—}250\text{ м}\mu$ .

В разных растворителях кривые поглощения иминотиазолинов заметно



отличаются (в противоположность тиазольным производным, спектры которых мало зависят от растворителя). Так интенсивность более длинноволновой полосы ( $\lambda_{\text{макс}}$  260—270  $\text{m}\mu$ ) падает, а коротковолновой ( $\lambda_{\text{макс}}$  230—240  $\text{m}\mu$ ) — возрастает в ряду растворителей — спирт, диоксан, *n*-гептан (рис. 6—8).

Необходимо отметить, что все эти особенности спектров иминотиазольных производных остались неотмеченными в недавно опубликованной

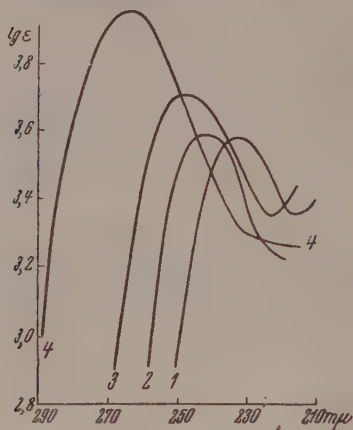


Рис. 4

Рис. 4. Ультрафиолетовые спектры поглощения: 1 — тиазола; 2 — 2-метилтиазола; 3 — 2-бромтиазола; 4 — 2-диметиламинотиазола (все в спирте)

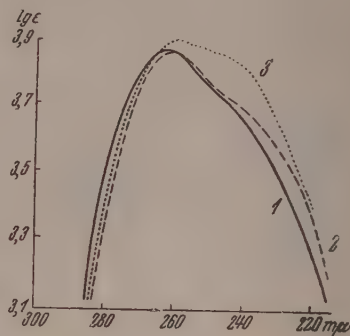


Рис. 5

Рис. 5. Ультрафиолетовые спектры поглощения: 1 — 2-имино-3,4-диметилтиазолина; 2 — 2-имино-3-метилтиазолина; 3 — 2-метилимино-3-метилтиазолина (все в спирте)

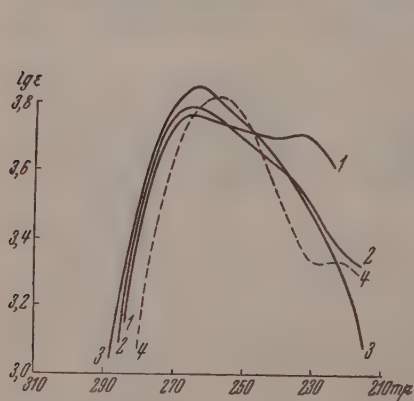


Рис. 6

Рис. 6. Ультрафиолетовый спектр поглощения 2-имино-3,4-диметилтиазолина: 1 — в *n*-гептане; 2 — в диоксане; 3 — в спирте; 4 — в 0,1 *N* HCl в воде

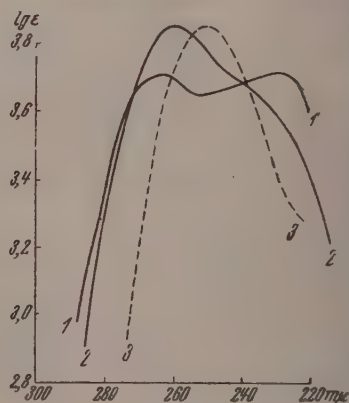


Рис. 7

Рис. 7. Ультрафиолетовый спектр поглощения 2-имино-3-метилтиазолина: 1 — в спирте; 2 — в *n*-гептане; 3 — в 0,1 *N* HCl в воде

работе [13], посвященной ультрафиолетовым спектрам производных 2-аминотиазола и 2-иминотиазолина. Так как в этой работе приведено и обсуждается лишь положение главного максимума поглощения веществ в спирте, авторы не находят ощутимого различия в спектрах аминотиазолов и иминотиазолинов. При рассмотрении же всей кривой поглощения видно заметное отличие в поглощении тем и другим классом соединений.

Различие между amino- и имино-формами особенно четко удается наблюдать по изменению характера спектра при солеобразовании, имеющем место в кислых растворах. Для самого тиазола, равно как и его метильных и аминопроизводных с закрепленным строением в кислых растворах (0,1 N HCl), наблюдается лишь незначительное изменение положения полосы поглощения. Это однотипное спектральное поведение самого тиазола и его метил- и аминопроизводных при солеобразовании, с учетом данных

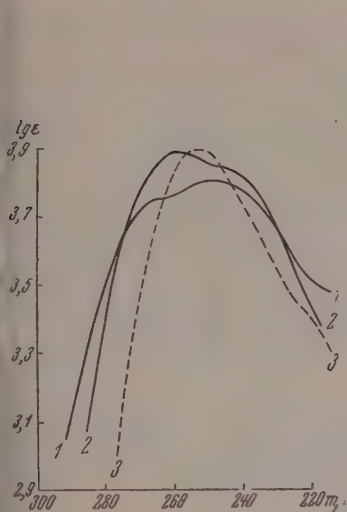


Рис. 8

рис. 8. Ультрафиолетовый спектр поглощения 2-метиламино-3-метилтиазола: 1 — в диоксане; 2 — в спирте; 3 — в 0,1N HCl в воде

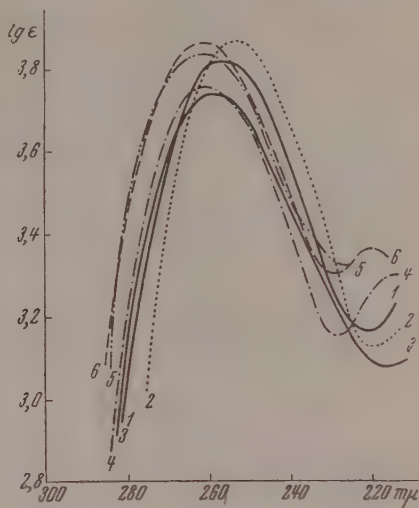
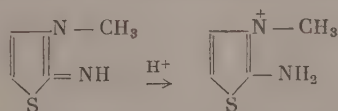


Рис. 9

рис. 9. Ультрафиолетовые спектры поглощения: 1—2-аминотиазола в диоксане; 2—2-аминотиазола в 0,1N HCl в воде; 3—2-амино-4-метилтиазола в спирте; 4—2-амино-метилтиазола в 0,1 N HCl в воде; 5—2-метиламино-4-метилтиазола в спирте; 6—2-метиламино-4-метилтиазола в 0,1 N HCl в воде

И. Л. Гольдфарба, О. Н. Сеткиной и А. Д. Данюшевского [14] о характере смещения полос поглощения при образовании йодметилатов аминопиридина по кольцевому и аминному атому азота, позволяет сделать заключение, что присоединение протона при солеобразовании в тиазольных производных идет к кольцевому атому азота, независимо от того, имеется ли еще молекуле атом азота аминогруппы, или нет.

Тиазольные производные существенно изменяют поглощение при переходе от нейтральных к кислым растворам — исчезает коротковолновая полоса поглощения, и, как следствие этого, суживается (при некотором смещении максимума в сторону коротких волн) длинноволновая полоса поглощения, принимающая вид обычной тиазольной полосы (рис. 6—8). Следовательно, здесь солеобразование связано с существенным изменением электронного строения молекулы, с переходом ее в тиазольную форму, что может быть лишь в случае, если присоединение протона происходит к иминному азоту



очевидно, что в аминотиазолах кольцевой азот является более основным (прочнее удерживает протон), в то время как в иминотиазолах большинство основных свойств обладает иминный атом азота.

Вид спектров иминотиазолинов в нейтральных средах, несомненно, в значительной степени обусловлен имеющим место присоединением протона к молекулам этих веществ в растворителях, способных хотя бы и в небольшой степени служить источником протонов (спирт, недостаточно сухой диоксан).

Наблюдаемые нами закономерности в ряду производных тиазола аналогичны закономерностям, найденным Я. Л. Гольдфарбом с сотрудниками [13, 14] для пиридиновых производных.

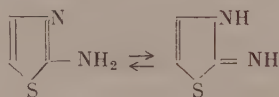
Для целей нашего исследования различное поведение amino- и имино-соединений при переходе от нейтральных к кислым растворам служило дополнительной характеристикой, позволяющей определять присутствие amino- или имино-форм 2-аминотиазола или его производных в растворе.

Изучение спектров соединений, для которых в растворе можно было ожидать наличие двух таутомерных форм—аминотиазольной и имино-тиазолиновой—показывает, что и в этих условиях исследуемые вещества имеют аминотиазольную форму. В спектрах 2-аминотиазола, 2-амино-4-метилтиазола и 2-метиламинотиазола (рис. 9) имеется лишь одна достаточно узкая полоса поглощения с  $\lambda_{\text{макс}}$  255—260 мμ;  $\lg \epsilon$  3,7—3,9, совершенно аналогичная полосе, наблюдаемой в рассмотренных выше закрепленных тиазольных производных. Эта полоса практически не смещается и не изменяет своей конфигурации при переходе к кислым растворам (рис. 9).

Следовательно, вторая иминовая таутомерная форма в растворах спектроскопически не обнаруживается.

Существование 2-аминотиазолов, равно как и других *N*-гетероциклических аминов в amino-форме, мы считаем обусловленным кислотно-основным характером amino-иминовой таутомерной равновесия.

Из двух таутомерных форм



большой основностью должна обладать имино-форма, что следует из сравнения химических свойств amino- и имино-соединений [8, 15] и непосредственных измерений констант основности метилированных производных той и другой формы [16].

С другой стороны, выше уже было показано, что центром солеобразования в гетероциклических аминах является атом азота, а в имино-соединениях — иминный атом азота. Отсюда вытекает, что иминный азот обладает большими основными свойствами (прочнее удерживает протон), чем кольцевые атомы азота, как в имино-, так и в аминосоединениях.

Эти соотношения в основности разных атомов азота в молекуле, способной к amino-иминовой таутомерии, приводят к обязательному переходу протонов от кольцевого атома азота к иминному, что практически связано с превращением всей (или почти всей) иминной таутомерной формы в аминную. Обратный переход в обычных условиях не сможет иметь места для исследованных соединений, так как он потребует отрыва протона от атома, с которым связь прочнее, и присоединения его к атому, где связь слабеет.

Поэтому таутомерное равновесие в случае обычных гетероциклических аминов должно быть сдвинуто в сторону amino-формы в такой степени, в какой константа основности имино-формы (атом, ответственный за солеобразование, — иминный азот) превосходит константу основности аминной формы (атом, ответственный за солеобразование, — кольцевой азот). На основании имеющихся в литературе [16] ориентировочных оценок основности той и иной формы (данные для метильных производных закрепленного строения) это отношение имеет порядок  $10^4 : 1$  в пользу amino-формы.

го отвечает такому содержанию имино-формы в равновесной системе, которое не удается пока обнаружить спектральным методом.

Вместе с тем, однако, концентрация имино-формы, которую можно ожидать из этих соображений в случае amino-иминной таутомерии, в растворах еще такова, что не может быть исключена возможность протекания реакций через стадию таутомерного превращения amino-формы в имино-форму.

## ЭКСПЕРИМЕНТАЛЬНАЯ ЧАСТЬ

Инфракрасные спектры поглощения были получены при помощи инфракрасных регистрирующих спектрометров, ИСП-146 и ИКС-11 с призмами из NaCl (область 2,5—3  $\mu$ ) и LiF (область 2,5—4  $\mu$ ).

Вещества в кристаллическом состоянии снимались в виде суспензий (паст) с полигуглеводородом (2,5—7,4  $\mu$ ) и вазелиновым маслом (7,4—13  $\mu$ ). Жидкие вещества исследовались в виде тонких слоев 0,01—0,02 мм. Измерения в области призмы LiF ряде случаев производились для растворов соответствующих соединений в  $\text{CCl}_4$ .

Ультрафиолетовые спектры поглощения были промерены на кварцевом спектрометре СФ-4. Измерялись растворы в спирте, диоксане, n-гексане; там, где это требовалось, в 0,1N HCl в воде.

Вещества для исследования были синтезированы по следующим методам.

Тиазол был получен восстановлением 2-бромтиазола пикновой пылью [17], перед исследованием препарат тщательно высушивался над BaO: т. кип. 117°, пикрат т. пл. 51°. 2-Бромтиазол получался diaзотированием 2-аминотиазола и заменой диазогруппы бромом [18]; т. кип. 74°/22 мм рт. ст.

2-Метилтиазол был получен при конденсации тиацетамида и хлорацетальдегида в присутствии бензола и уксусного ангидрида [19], т. кип. 129—130°.

4-Метилтиазол получался конденсацией формамида с хлорацетоном в присутствии тиоэристого фосфора [19], т. кип. 131—132°. Аналогично конденсацией ацетамида бромацетоном был получен 2,4-диметилтиазол (т. кип. 143—144°) и конденсацией гетамида с метил- $\alpha$ -бромэтилкетом — 2,4,5-триметилтиазол (т. кип. 67°/20 мм рт. ст.). Все метилтиазолы перед исследованием высушивались над BaO или KOH.

2-Аминотиазол (т. пл. 90°) и 2-амино-4-метилтиазол (т. пл. 44°) синтезировались по Рауману [20], 2-амино-4-фенилтиазол получен из хлорацетофенона и тиомочевины, т. пл. 148°.

2-Метиламинотиазол получался при конденсации метилмочевины и хлорацетата. кип. 103—104°/8—9 мм рт. ст., 2-диметиламинотиазол — при взаимодействии 2-аминотиазола с диметиламином в спиртовой среде при 100° в запаянной трубке, т. кип. 55—59,5°/20 мм рт. ст.

2-Имино-3-метилтиазолин (т. кип. 96°/2 мм рт. ст.) и 2-имино-3,4-диметилтиазолин (т. пл. 47°) получались метилированием и последующим гидролизом соответствующих 2-ацетамидотиазолов [21], 2-мети-имино-3-метилтиазолин (т. кип. 85—86°/5 мм рт. ст.) и 2-мети-имино-3,4-диметилтиазолин (т. пл. 96°) получены конденсацией  $\text{NH}_4^+$ -метилтиомочевины с хлорацетатом и соответственно хлорацетоном [22].

Все вещества перед измерениями тщательно очищались путем перегонки или перекристаллизации.

## ВЫВОДЫ

1. С целью изучения строения 2-аминопроизводных тиазола исследованы инфракрасные и ультрафиолетовые спектры поглощения самого тиазола, метилтиазолов, 2-аминотиазолов и 2-иминотиазолинов.

2. На основании рассмотрения спектральных данных для модельных соединений выявлены полосы поглощения, характерные для аминотиазольной и иминотиазолиновой таутомерных форм.

3. Показано, что 2-аминотиазол и его производные имеют в свободном кристаллическом состоянии и в растворах amino-, а не имино-соединение.

4. Отмечено, что в 2-метилтиазоле и его метильных производных отсутствуют признаки существования таутомерной метиленовой формы.

5. Показано, что солеобразование (присоединение протона) идет в ряду аминотиазолов по кольцевому, а в ряду иминотиазолинов — по внекольцевому (иминному) атому азота.



6. Существование 2-аминотиазольных производных в форме аминов, а не иминов объяснено с точки зрения приложения закономерностей кислотно-основного протолитического равновесия к amino-иминной таутомерии.

Химико-фармацевтический  
институт им. С. Орджоникидзе  
Москва

Уральский политехнический  
институт им. С. М. Кирова  
Свердловск

Поступила  
25.1.1956

#### ЛИТЕРАТУРА

1. А. Е. Чичибабин, Р. А. Коновалова, А. А. Коновалова, ЖРФ-ХО, **53**, 193, 1921.
2. А. Н. Несмеянов, М. И. Кабачник, Журн. общ. химии, **25**, 41, 1955.
3. E. A. Steck G. W. Ewing, Journ. Amer. Chem. Soc., **70**, 3397, 1948.
4. L. C. Anderson, N. V. Seeger, Journ. Amer. Chem. Soc., **71**, 340, 1949.
5. В. И. Близнюков, Журн. общ. химии, **22**, 1204, 1952.
6. C. L. Angyal, R. Werner, Journ. Chem. Soc., 2911, 1952.
7. C. A. Grob, H. Utzinger, Helv. chim. Acta, **37**, 1256, 1954.
8. J. Goerdeler, Ber., **87**, 57, 1954.
9. D. Morphy, J. Picard, Journ. org. Chem., **19**, 1907, 1954.
10. С. Г. Богомолов, Ю. Н. Шейнкер, И. Я. Постовский, ДАН, **93**, 277, 1953.
11. H. Erlenmeyer, H. Weber, Helv. chim. Acta, **21**, 863, 1938; **31**, 1142, 1948.
12. L. Bellamy, The Infra-red Spectra of Complex Molecules. L., 1954.
13. W. Wilson, R. Wooden, Journ. Chem. Soc., 2943, 1955.
14. Я. Л. Гольдфарб, О. Н. Сеткина, Я. А. Данюшевский, Журн. общ. химии, **18**, 124, 1948.
15. Я. Л. Гольдфарб, М. А. Прянишникова, К. А. Жукова, Изв. АН СССР, ОХН, № 1, 145, 1953.
16. S. J. Angyal, C. L. Angyal, Journ. Chem. Soc., 1461, 1952.
17. P. Schotzmann, Lieb. Ann., **261**, 13, 1891.
18. K. Ganapathi, A. Venkataraman, Proc. Indian Acad. Sci., **A22**, 362, 1945.
19. R. P. Kurkju, E. V. Brown, Journ. Amer. Chem. Soc., **74**, 5778, 1952.
20. V. Traumann, Lieb. Ann., **249**, 31, 1888.
21. В. В. Кушкин, И. Я. Постовский, ДАН, **93**, 63, 1953.
22. E. Näf, Lieb. Ann., **265**, 108, 1891.

#### TAUTOMERISM OF SOME DERIVATIVE HETEROCYCLIC COMPOUNDS

##### II. THE INFRA-RED AND ULTRA-VIOLET SPECTRA AND THE STRUCTURE OF THE 2-AMINO DERIVATIVES OF THIAZOLE

*Yu. N. Sheinker, V. V. Kushkin and I. Ya. Postovskiy (Moscow, Sverdlovsk)*

#### Summary

In order to investigate the structure of 2-amino derivatives of thiazole the infra-red and ultra-violet spectra of the parent thiazole, the methylthiazoles, 2-aminothiazoles and the 2-iminothiazolines were studied. Absorption bands were noted in the spectra characteristic of the aminothiazole and iminothiazoline tautomeric forms and it was shown that 2-aminothiazole and its derivatives both in the free crystalline state and in solution possess the amino and not the imino structure. The tautomeric methylene form was found to be absent in 2-methylthiazole. The formation of salts in the 2-aminothiazole series occurs at the ring nitrogen, whereas in the 2-iminothiazolines it takes place at the non-cyclic nitrogen atom. The data obtained are interpreted from the viewpoint of application of acid-base equilibrium laws to amino-imino tautomerism.

ФАЗОВОЕ РАВНОВЕСИЕ ЖИДКОСТЬ — ПАР В СИСТЕМЕ  
МЕТАНОЛ — ХЛОРОФОРМ ПРИ ДАВЛЕНИЯХ  
600, 500 И 400 мм рт. ст.

А. Г. Натрадзе и Е. Е. Новикова

По экспериментальным данным Лека [1] система метанол — хлороформ разует азеотропную смесь, которая при давлении 760 мм содержит 5,5 вес. % хлороформа и кипит при 53,5° С. Азеотропные данные при других давлениях для этой системы в литературе отсутствовали.

Как нами установлено, зависимость между давлением, температурой кипения и составом азеотропа может быть выражена графически в виде прямой линии в пространстве в системе прямоугольных координат.

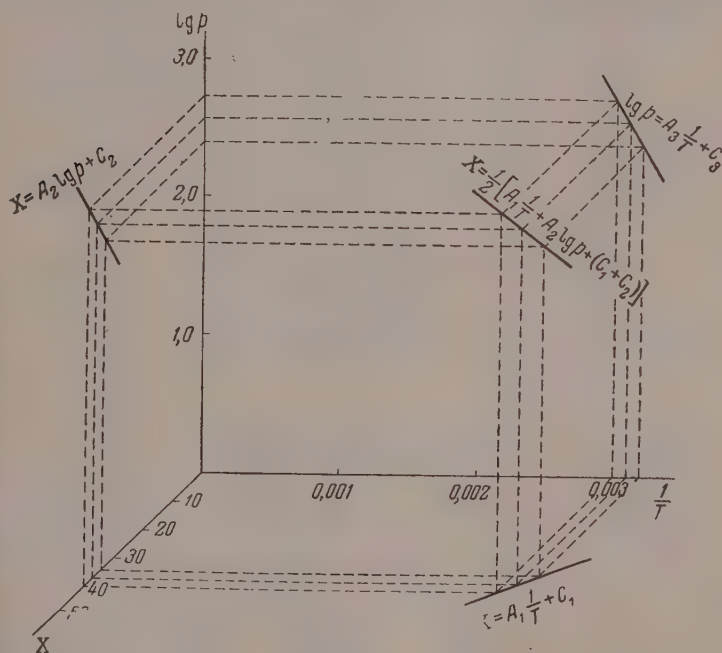


Рис. 1. Зависимость между давлением, температурой кипения и составом азеотропа

(рис. 1), если откладывать по оси абсцисс состав азеотропа ( $x$ ) в %, по оси ординат — обратные значения абсолютной температуры ( $1/T$ ), а по оси аппликат — логарифм давления ( $\lg p$ ).

Зависимость между этими тремя параметрами может быть выражена аналитически уравнением прямой в общем виде

$$2x - A_1 \frac{1}{T} - A_2 \lg p - (C_1 + C_2) = 0, \quad (1)$$

$A_1$ ,  $A_2$ ,  $C_1$  и  $C_2$  — постоянные для данной системы.

Проекции пространственной прямой на соответствующие плоскости координат представляют собой прямые линии, определяющие зависимость состава азеотропа от давления и температуры кипения, а также изменения температуры кипения азеотропа с давлением.

Зависимость состава азеотропа от давления в системе координат  $x - \lg p$  определяется следующей формулой:

$$x = A_2 \lg p + C_2. \quad (2)$$

Исходя из большого числа известных экспериментальных данных нами установлено, что для систем, образованных из компонентов, скрытые теплоты испарения которых значительно отличаются друг от друга (например, 400—2500 кал/моль), коэффициент  $A_2$  в среднем равен 0,2 и колеблется в большинстве случаев в пределах 0,1 ÷ 0,2. Для систем, образованных из компонентов с небольшой разностью скрытых теплот испарения (75—300 кал/моль), коэффициент  $A_2$  в среднем равен 0,02 и может колебаться в пределах 0,02 ÷ 0,08.

Поэтому, зная разность скрытых теплот испарения компонентов, задаваясь коэффициентом  $A_2$  и, подставляя значение одной точки в формулу (2), находим  $C_2$ . Так может быть определена в первом приближении зависимость состава азеотропа от давления.

Зависимость температуры кипения азеотропа от давления в первом приближении определяется еще проще. По одной известной точке и углу наклона  $45^\circ$  (при соотношении масштабов  $M_{\lg p} : M_{1/T} = \frac{1}{50} : \frac{0,000}{10}$ ) проводится прямая, которая и будет выражать зависимость температуры кипения азеотропа от давления в системе координат  $\lg p - \frac{1}{T}$ .

Приближенный метод расчета был применен при изучении систем метанол — хлорсформ.

#### РАСЧЕТНЫЕ АЗЕОТРОПНЫЕ ДАННЫЕ ДЛЯ СИСТЕМЫ МЕТАНОЛ — ХЛОРОФОРМ

Скрытая теплота испарения метанола равна 8410 кал/моль, а хлороформа 7003 кал/моль [2]. Так как разность скрытых теплот испарения

Таблица 1

Расчетные данные состава и температур кипения азеотропной смеси метанол — хлороформ

Давление в мм рт. ст.	Состав в мол. долях хлороформа			Темп. кипения в °C
	$A_2 = 0,1$	$A_2 = 0,15$	$A_2 = 0,2$	
600	0,661	0,666	0,671	48,4
500	0,669	0,678	0,687	44,3
400	0,679	0,693	0,707	39,4

значительная (1407 кал/моль), коэффициентом  $A_2$  задаемся в пределах 0,1 ÷ 0,2. Подставляя значение одной точки (при давлении 760 мм рт. ст.) в формулу (2), определяем  $C_2$  и затем составы азеотропа при давлениях 600, 500 и 400 мм рт. ст. Результаты расчета приведены в табл. 1.

Для определения температур кипения азеотропных смесей при выбранных давлениях в системе координат  $\lg p - \frac{1}{T}$  через точку, отвечающую им при давлении 760 мм рт. ст., проводим прямую под углом  $45^\circ$ . По абсциссам точек прямой, ординаты которых соответствуют давлениям 600 и 400 мм, определяем температуры кипения азеотропных смесей при этих давлениях. Полученные данные приведены в табл. 1.

## ЭКСПЕРИМЕНТАЛЬНЫЕ АЗЕОТРОПНЫЕ ДАННЫЕ

Для экспериментального определения азеотропных данных нами были использованы продажные препараты хлороформа и метанола, которые подвергались дополнительной очистке. Хлороформ промывался 5%-ным раствором перманганата калия, несколько раз водой, высушивался над прокаленным хлористым кальцием и перегонялся в лабораторной талочной колонне диаметром 24 мм, высотой 1,3 м, содержащей 50 тарелок. Метанол дважды перегонялся в лабораторной насадочной колонне диаметром 30 мм, высотой 2 м, наполненной стеклянными кольцами Рашига диаметром 5 мм. При ректификации отбирались фракции, кипящие в пределах  $1 \div 0,2^\circ \text{C}$ . Очищенные таким образом вещества имели следующие константы: хлороформ, т. кип.  $61,2^\circ$  (760 мм),  $d_4^{20}$  1,489,  $n_D^{19}$  1,446; метанол, т. кип.  $64,6$  (760 мм),  $d_4^{20}$  0,793,  $n_D^{20}$  1,3284. В литературе [3] для указанных веществ приводятся следующие данные: хлороформ, т. кип.  $61,2$  (760 мм),  $d_4^{20}$  1,489,  $n_D^{19}$  1,4457; метанол, т. кип.  $64,7$  (760 мм),  $d_4^{20}$  0,792.  $n_D^{20}$  1,3288.

Для измерения точек фазового равновесия нами был изготовлен прибор конструкции проф. В. А. Киреева, Ю. Н. Шейнкера и Е. М. Переселени [4—6]. Прибор (рис. 2) представлял собой эбулиоскоп, в котором пары после конденсации в холодильнике попадали в приемник 1. Конденсат из приемника возвращался в основной сосуд 2 по узкому капилляру 3. Объем основного сосуда 2 составлял около 100 мм. Количество конденсата, задерживаемого в приемнике, равнялось 1,5 мм. Обогрев производился при помощи глицериновой бани. Разрежение в приборе создавалось одоструйным насосом и поддерживалось постоянным при помощи мафостата. Оста-

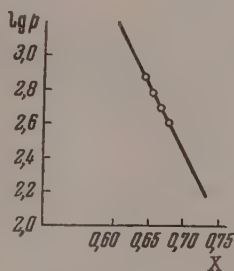


Рис. 2

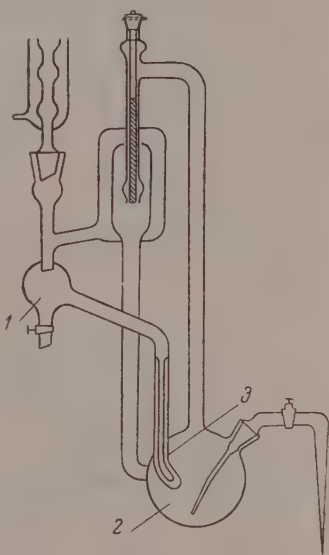


Рис. 3

точное давление измерялось ртутным манометром. Атмосферное давление измерялось при помощи ртутного барометра с точностью до 0,1 мм рт. ст. Температура кипения измерялась при помощи термометров Аншюца.

Методика определения точек фазового равновесия ничем не отличалась от описанной в цитированной работе [5].

Определение состава конденсата (паровой) и жидкой фазы производилось по удельному весу, измеренному в пикнометрах емкостью 1 мл при  $10^\circ \text{C}$ . Для этого первоначально была получена соответствующая калибровочная кривая. Экспериментальные данные для построения калибровочной кривой приведены в табл. 2.



Полученные экспериментальные данные точек фазового равновесия системы метанол — хлороформ при давлениях 600, 500 и 400 мм рт. ст. приведены в табл. 3.

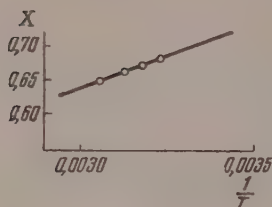


Рис. 4.

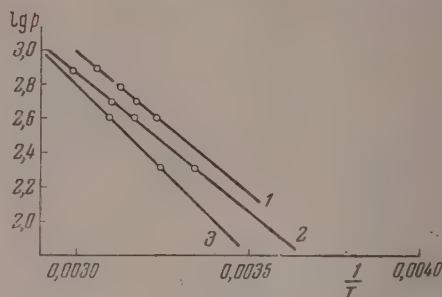
Рис. 5. 1 — азеотроп; 2 — хлороформ  
3 — метанол

Таблица 2

Удельный вес смеси метанол — хлороформ при 20 °С

Содержание хлороформа в вес. %	Удельный вес г/см	Содержание хлороформа в вес. %	Удельный вес г/см
0	0,793	60,08	1,101
9,34	0,827	69,72	1,172
19,50	0,876	80,65	1,266
29,26	0,915	90,02	1,372
39,15	0,969	100	1,489
48,80	1,028		

Полученные данные для азеотропов метанол — хлороформ приведены в табл. 4. Как видно, они хорошо согласуются с расчетными данными табл. 1.

Таблица 3

Угустости паров смеси метанол — хлороформ

600 мм			500 мм			400 мм		
Т. кип.	Вес. % хлороформа		Т. кип.	Вес. % хлороформа		Т. кип.	Вес. % хлороформа	
	в жидкости	в парах		в жидкости	в парах		в жидкости	в парах
59,1	0	0	54,7	0	0	49,9	0	0
57,5	10	21,5	53,1	9	22,5	47,5	10	23,5
56,3	19	38,5	51,2	20,5	39,5	46,3	17	38
54,9	30,5	51,8	49,4	30,5	51,5	44,8	30,2	51
53,3	40	61	47,7	40,5	63,5	43,3	39	62,2
51,8	50,5	71	45,8	49,5	70,5	41,6	49,3	69,5
49,1	66,2	80,5	42,8	76	83,5	40,6	58	76,5
47,4	75,5	83,5	42,1	82	86,5	37,7	75,5	85
46,8	82,5	86	42	85	88	36,9	82	87,2
46,5	85,5	87,5	41,8	87	88,2	36,8	85	88
46,4	87	87,7	41,7	92	90,2	36,4	91,5	90,2
46,4	91,5	90	42,2	94,5	91,2	36,6	94,5	91
46,8	94,5	91	42,7	97,3	93,5	37,5	97,5	93,2
47,6	96,5	93	49,5	100	100	42,7	100	100
54,7	100	100						

В системе координат  $\lg p - x$  (рис. 3)  $x - 1/T$  (рис. 4) и  $\lg p - 1/T$  (рис. 5) полученные экспериментальные азеотропные данные ложатся

Таблица 4

## Экспериментальные данные для азеотропной смеси метанол — хлороформ

Давление в мм рт. ст.	Состав азеотропа		Темп. кипения в °C	$\frac{1}{T}$	lg p
	в вес. % хлороформа	в мол. долях хлороформа			
400	89	0,684	36,3	0,00323	2,6021
500	88,5	0,673	41,6	0,00318	2,6990
600	88	0,661	46,2	0,00313	2,7782

дну прямую, которая проходит также и через точку, определенную Лекари давлением 760 мм рт. ст. На последнем рисунке нанесены прямые зависимости температуры кипения от давления для чистых компонентов [5]. Из рисунка следует, что система метанол — хлороформ становится неазеотропной при давлениях выше 37 атм и ниже 9 мм. Состав азеотропной смеси в пределах изменения давлений от 37 атм до 9 мм изменяется соответственно от 49,6 до 88,9 мол. % хлороформа.

Авторы выражают благодарность Ю. Н. Шейнкеру за советы и помощь в выполнении экспериментальной части работы.

## ВЫВОДЫ

1. Изучено фазовое равновесие в системе метанол — хлороформ при давлении 600, 500 и 400 мм рт. ст.
2. Установлены азеотропные точки в этой системе при указанных давлениях.
3. Произведен приближенный расчет азеотропных данных в изученной системе по одной известной точке, и показано что расчетные данные хорошо согласуются с экспериментальными.

Химико-фармацевтический  
институт им. С. Орджоникидзе  
Москва

Поступила  
25.1.1956

## ЛИТЕРАТУРА

М. Lesat, L'Azéotropisme, Bruxelles, 1918.

Техническая энциклопедия, т. VII.

Справочник химика, т. II, Госхимиздат, 1951.

В. А. Киреев, Ю. Н. Шейнкер, Е. М. Переслени, 26, 352, 1952.

Ю. Н. Шейнкер, Е. М. Переслени. Журн. физ. химии, 26, 1103, 1952.

Стэлл, Табл. давления паров индивидуальных веществ, ИИЛ, 1949.

# QUID-VAPOR PHASE EQUILIBRIUM IN THE SYSTEM METHANOL—CHLOROFORM AT PRESSURES OF 600, 500, 400 mm. Hg

A. G. Natradze and K. E. Norikova (Moscow)

## Summary

The phase equilibrium has been studied in the system methanol — chloroform at 600, 500 and 400 mm Hg pressure. In this system at the pressures indicated azeotropic points have been revealed. At 600 mm the azeotropic mixture contains 66.1 mole % chloroform and boils at 46.2° C, at 500 mm — 67.3% mole % chloroform and boils at 41.6° C and at 400 mm — 68.4% and boils at 36.3° C. The experimental results confirm the relation established by the authors between the pressure, boiling temperature and the composition of the azeotrope. The relationship can be represented graphically as a straight line in tridimensional rectangular coordinates if the composition of the azeotrope in mole % be plotted on the x-axis, the reciprocals of the absolute temperature along the Y-axis and the logarithms of the pressure along the z-axis.

An approximate calculation has been made of the azeotropic data in the above system on the basis of one given point and it has been shown that the results are in good agreement with observed values.

## О ПРИРОДЕ «ВТОРЫХ» ПОТЕНЦИАЛОВ В РАСПЛАВЛЕННЫХ СОЛЯХ

*Т. Н. Антипин и Ю. Б. Холманских*

При электролизе водных растворов и расплавленных солей на катодной поляризационной кривой очень часто обнаруживается большее число перегибов, чем можно было бы ожидать от полного разряда присутствующих в электролите простых катионов.

Большинство авторов, занимавшихся изучением этого вопроса [1—4], считает, что первые перегибы на потенциальных кривых соответствуют обычному разряду простых металлических катионов, в то время как вторые, возникающие при более высоких плотностях тока, подвергаются тому или иному обсуждению с целью объяснения их природы. По этой причине последние и получили общее название «вторых» потенциалов.

Наиболее широко распространенной является точка зрения, выдвинутая Гаррадом [1] и развиваемая в работах О. К. Кудры [4—6]. Согласно их взглядам, «вторые» потенциалы являются следствием разряда сложных комплексных ионов, присутствующих в электролите.

Работы О. К. Кудры были подвергнуты критике со стороны ряда исследователей [3, 7—9], которые считают «вторые» потенциалы результатом электрохимического разложения растворителя. В частности, в водных растворах последние связываются с разрядом ионов  $H^+$ ,  $OH^-$  и молекул воды.

Если в перечисленных работах теоретические позиции О. К. Кудры в отношении водных растворов были взяты под сомнение, то приложенные ею взгляды к расплавленным солям критическому рассмотрению не подвергались. Ю. К. Делимарский и А. А. Колотий [10], соглашаясь с О. К. Кудрой по поводу объяснений природы «вторых» потенциалов в сложных расплавленных системах (например, в смеси  $NaCl + AlCl_3$ ), отрицают применимость его представлений к бинарным расплавленным солям. Их возражения сводятся к попытке доказать отсутствие в этом случае «вторых» потенциалов. Наличие лишнего перегиба в расплавленном хлористом серебре эти авторы объясняют проявлением остаточного тока. Вряд ли подобный вывод может считаться убедительным, так как этот перегиб лежит при слишком больших плотностях тока (ориентировочно по данным [1] около  $0,2 \text{ A/cm}^2$ ).

Можно утверждать, что и для расплавленных солей точка зрения О. К. Кудры также является недостаточно обоснованной. Она предполагает, что процесс диссоциации комплексного катиона протекает значительно медленнее разряда простых катионов до металлического состояния. При наличии в солевых расплавах, главным образом, полных связей это сомнительно, так как связь между металлом и анионом в катионном комплексе для многих солей мало чем отличается от таковой между свободными ионами.

Природа «вторых» потенциалов в расплавленных солях станет более ясной, если учесть возможность существования в электролите веществ с катионами низшей валентности, называемых субсоединениями. Как известно [11], образование их присуще большинству металлов, только условия их существования для различных случаев специфичны. Расплавленные соли представляют благоприятную среду для существования в них

субсоединений. Последние образуются при растворении в соли соответствующего металла по реакции:

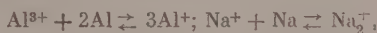


равновесие которой и определяет количество растворенного металла. При этом в расплаве бинарной соли присутствуют, вместо одного, два металлических катиона с различной степенью окисления. При наличии равновесия (1) потенциалы разряда обоих катионов равны. Поэтому «второй» потенциал на катодной кривой в этом случае будет отсутствовать. В чистой соли, не содержащей растворенного металла, катодный процесс протекает в две стадии. При малой плотности тока прежде всего будет идти процесс электрохимического образования катионов низшей валентности (первый потенциал). При непрерывно повышающейся плотности тока в какой-то определенный момент в приэлектродном слое наступит местное равновесие реакции (1) и станет возможным второй процесс, непосредственно связанный с выделением металла. Он также оставит свой след на поляризационной кривой. Разность между величинами потенциалов, отвечающих этим процессам, будет тем меньше, чем ближе будет к равновесию основная масса расплава.

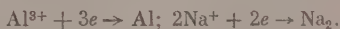
Одним из авторов настоящей статьи [12] было показано, что в криолит-глиноземных расплавах обнаруживаются четыре последовательно идущих электродных процесса:



которые при установлении равновесий:



переходят в два



Такое течение процесса характерно и для других расплавленных солей. В настоящей статье была сделана попытка качественно оценить изменения потенциалов разряда катионов полной и низшей валентности в зависимости от степени удаления от равновесия реакции (1) в некоторых расплавленных солях.

Для этой цели были выбраны хлористые соли свинца, натрия и серебра. Кроме того, некоторые эксперименты были дополнительно проведены с криолит-глиноземными расплавами.

Та или иная степень насыщения расплава катионами неполного окисления достигалась либо различной продолжительностью предварительного электролиза, либо различной выдержкой после введения в расплав соответствующего металла. Введение алюминия и свинца в расплав не представляло особых трудностей. Что же касается натрия, то благодаря невысокой температуре кипения его приходилось вводить при помощи спе-

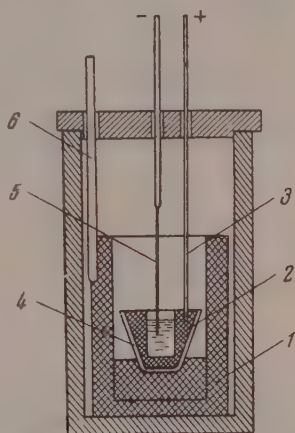


Рис. 1. Конструкция электролитической ячейки. 1 — графитовый стакан; 2 — графитовая футеровка корундового тигля, служащая анодом; 3 — токоподвод к аноду; 4 — корундовый тигель; 5 — молибденовый катод; 6 — хромель-алюмелевая термопара



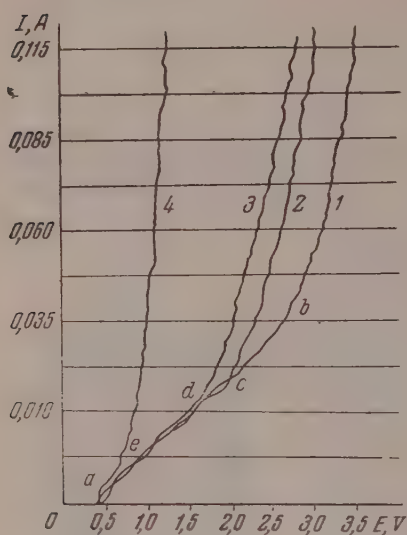


Рис. 2

Рис. 2. Зависимость вида катодных поляризационных кривых от продолжительности предварительного электролиза (электролит NaCl, 850°). 1 — без предварительного электролиза; 2 — с предварительным электролизом в течение 5 мин.; 3 — с предварительным электролизом в течение 10 мин.; 4 — после введения в расплав металлического натрия

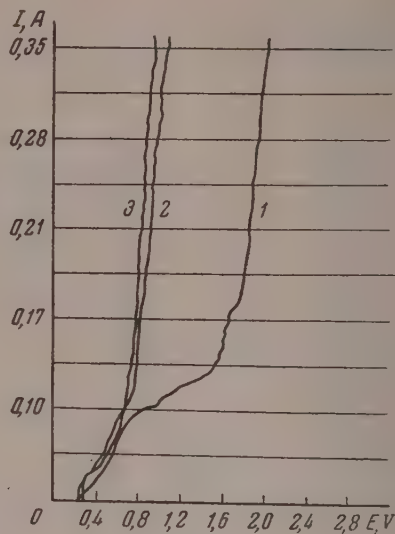


Рис. 3

Рис. 3. Зависимость вида катодных поляризационных кривых от наличия в электролите металлического алюминия (электролит 58% NaF, 40%  $\text{AlF}_3$ , 2%  $\text{Al}_2\text{O}_3$ , 1050°). 1 — без металла; 2 — сразу после введения металла; 3 — после 10 мин. выдержки металла в электролите

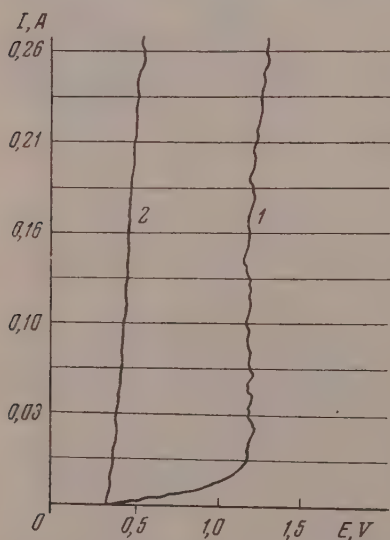


Рис. 4

Рис. 4. Вид катодных поляризационных кривых, снятых в расплаве  $\text{PbCl}_2$  в зависимости от наличия в электролите металлического свинца (550°). 1 — в отсутствие металла; 2 — в присутствии металла

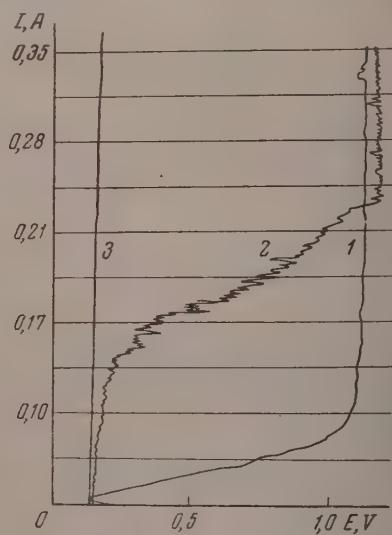


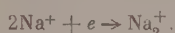
Рис. 5

Рис. 5. Зависимость вида поляризационных кривых от материала катода (электролит  $\text{AgCl}$ , 500°). 1 — вольфрамовый катод; 2 — платиновый катод; 3 — серебряный катод

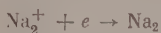
циального колокольчика. Значительная часть натрия при этом сгорала, но некоторое количество успевало раствориться в электролите. Поляризационные кривые в хлористом серебре снимались на вольфрамовом, платиновом и серебряном катодах. Металл в электролит специально не вводился.

Устройство электролитической ячейки для проведения экспериментов ясно из рис. 1. Катод во всех случаях, где это не оговорено специально, изготовлялся из молибденовой проволоки диаметром 0,5 мм и для каждого измерения применялся свежий \*. Запись поляризационных кривых производилась при помощи коммутаторного метода в сочетании с автоматической записью на полярографе (подробнее о методике см [13]).

Результаты опытов приведены на рис. 2, 3 и 4. Все рисунки показывают определенную связь между положениями первого и второго потенциалов при изменении продолжительности предварительного электролиза или выдержки металла в электролите. Особенно ясно это видно из рис. 2. Первый потенциал (точка *a*), отвечающий процессу



практически не зависит от выдержки. В то же время потенциал процесса

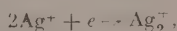
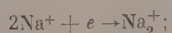
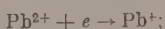


(точки *b*, *c*, *d*, *e*) тем больше сдвигается по направлению к первому потенциалу, чем более насыщен металлом электролит. Подобная же картина наблюдается и в криолит-глиноземном расплаве (рис. 3).

К сожалению, высокая температура и интенсивное окисление ионов неполной валентности на поверхности расплава не дают возможности достичь полного равновесия между  $\text{Na}^+$  и  $\text{Na}_2^+$  в хлористом натрии. Однако в хлориде свинца, обладающем более низкой температурой плавления и, по-видимому, меньшей скоростью окисления иона  $\text{Pb}^+$ , это равновесие, как видно из рис. 4, достигается практически полностью.

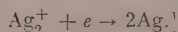
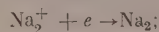
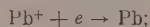
Особый интерес представляют результаты, полученные в хлористом серебре. В этом случае были применены разные катоды, материал которых был подобран в соответствии с различной растворимостью в них серебра. На вольфрамовом катоде 1, не образующим с серебром твердых растворов, оба потенциала видны совершенно четко (рис. 5). На платине 2, дающей с серебром ограниченный ряд твердых растворов, оба потенциала также хорошо заметны. Вид кривой, однако, при этом изменился в соответствии с наличием поляризации, обусловленной изменением концентрации серебра в катодном сплаве. Наконец, на серебряном катоде при достигнутых плотностях тока был получен только один потенциал. В этом случае равновесие между  $\text{Ag}^+$  и  $\text{Ag}_2^+$  в приэлектродном слое устанавливалось при введении электрода в расплав.

Таким образом, появление «вторых» потенциалов в расплавленных солях является следствием электрохимического образования в электролите соединений неполного окисления. В исследованных хлоридах свинца, натрия и серебра первый потенциал отвечает электродным реакциям:



\* Предварительный электролиз проводился со специальным катодом.

а второй обусловлен образованием из получившихся ионов соответствующих металлов:



Обращает на себя внимание тот факт, что «вторые» потенциалы возникают не только в таких солях, как  $\text{PbCl}_2$ , где наличие комплексных катионов вполне вероятно, но и в  $\text{NaCl}$ , преимущественная диссоциация которого на простые ионы не вызывает сомнений. Появление «вторых» потенциалов в последнем случае не может быть достаточно удовлетворительно объяснено, исходя из представлений О. К. Кудры.

На основании результатов, полученных в настоящей работе с хлористым свинцом, можно считать, что в системе, состоящей из соединений свинца и расплавленного едкого натра [14], наличие «вторых» потенциалов также связано с процессами неполного восстановления катионов  $\text{Pb}^{2+}$ . Утверждения авторов о том, что первые потенциалы определяются выделением металла, мало обоснованы. Вероятней всего, они обусловлены образованием на катоде ионов одновалентного свинца. Появление корольков металла при низкой плотности тока является следствием длительного электролиза, приводящего к установлению равновесия



При этом в результате выравнивания потенциалов разряда  $\text{Pb}^{2+}$  и  $\text{Pb}^+$  выделение металлического свинца происходит и при малых плотностях тока. Невоспроизводимость второго потенциала, отмечаемая авторами, по-видимому, проявляется именно в таких случаях.

Можно также полагать, что «вторые» потенциалы, обнаруженные в системе  $\text{AlBr}_3 + \text{галогенид щелочного металла} + \text{C}_6\text{H}_5\text{Br}$  [6], являются следствием образования ионов  $\text{Al}^+$  и  $\text{Me}_2^+$ . Это представляется более вероятным, если обратить внимание на сходство такой системы с криолит-глиноземными расплавами и известную идентичность поляризационных кривых, полученных в том и другом случаях.

Предложенное в настоящей статье объяснение содержит своего рода парадокс, так как в расплавленных солях «вторые» потенциалы (возникающие при более высоких плотностях тока) являются «первыми» в том смысле, что именно они определяют выделение металлов. При более же низких плотностях идут процессы, которые требуют объяснения и являются причиной постановки рассматриваемого вопроса. В связи с этим термин «вторые» потенциалы в применении к солевым расплавам, по-видимому, не является достаточно удачным.

### ВЫВОДЫ

Показано, что причиной возникновения «вторых» потенциалов в расплавленных солях является электрохимическое образование на катоде соединений неполной валентности.

Уральский политехнический  
институт им. С. М. Кирова  
Свердловск

Поступила  
31.1.1956

### ЛИТЕРАТУРА

1. Ch. Garrad, Zs. Elektrochem., 25, 273, 1900.
2. В. А. Избеков, Zs. Elektrochem., 33, 185, 324, 1927.
3. П. П. Туров, Е. М. Скобеев, Журн. физ. химии, 24, 694, 1950.
4. О. К. Кудра, Журн. физ. химии, 12, 148, 1938.
5. О. К. Кудра, П. П. Туров, Журн. физ. химии, 25, 391, 513, 519, 1951.
6. О. К. Кудра, М. Е. Лернер, Журн. физ. химии, 28, 654, 1006, 1954.
7. М. А. Лошкарев, А. М. Озеров, Журн. физ. химии, 24, 731, 1950.

8. П. П. Туров, Укр. хим. журнал, 17, 319, 1951.
  9. А. М. Озеров, Уч. зап. Сталингр., пед. ин-та, № 17, 126, 1954.
  10. Ю. К. Делимарский, А. А. Колотий, Укр. хим. журнал, 17, 877, 1951.
  11. Н. А. Белозерский, Сборник работ по электрохимии расплавленных солей, ГИИХ, № 39, 76, 1940.
  12. Л. Н. Антипин, ДАН, 99, 1019, 1954; Журн. физ. химии, 29, 1668, 1955.
  13. Л. Н. Антипин, Ю. Б. Холманских, С. Ф. Важенин, Журн. физ. химии, 30, 1672, 1956.
  14. Ю. К. Делимарский, П. П. Туров, Е. Б. Гитман, Журн. прикл. химии, 28, 1170, 1955.
- 

## ON THE NATURE OF THE „SECOND“ POTENTIALS IN MOLTEN SALTS

*L. N. Antipin and Yu. B. Kholmanskikh (Sverdlovsk)*

### Summary

A polarographic investigation has been made of the cathodic polarization curves in fused salts. It has been shown that the „second“ potentials on these curves result from the electrochemical formation on the cathode of compounds of incomplete valence.

---



# СИЛОВЫЕ ПОСТОЯННЫЕ И КОЭФФИЦИЕНТЫ ВЛИЯНИЯ ТРЕХАТОМНЫХ НЕЛИНЕЙНЫХ ГИДРИДОВ

В. П. Морозов

Вычисление силовых постоянных, определяющих потенциальную функцию трехатомных нелинейных симметричных гидридов [1]:

$$V = \frac{1}{2} k_q (q_1^2 + q_2^2) + \frac{1}{2} k_\alpha \alpha^2 + h q_1 q_2 + A (q_1 + q_2) \alpha, \quad (1)$$

проводилось уже многими исследователями.

Так, Деннисоном [2] была найдена полная совокупность силовых постоянных молекулы  $\text{H}_2\text{O}$ . Необходимые при этом значения нулевых частот молекул  $\text{H}_2\text{O}$  и  $\text{D}_2\text{O}$  были определены весьма точно при применении методов теории возмущений [3].

Силовые постоянные сероводорода вычислялись Бейли, Томпсоном и Хейлом [4], Глоклером и Тунгом [5], Дюшеном и Бернелом [6]. Так как интерпретация спектров молекул  $\text{H}_2\text{S}$  и  $\text{D}_2\text{S}$  значительно изменилась в результате последних измерений, то значения  $k_i$ , приведенные в [4], нуждаются в пересмотре. Авторы работ [5] и [6] не имели возможности построить достаточную систему уравнений для определения четырех силовых постоянных из-за отсутствия надежных значений нулевых частот молекулы  $\text{D}_2\text{S}$ . Вследствие этого решение, предложенное ими, не свободно от дополнительных допущений.

Расчет динамических постоянных молекулы селеноводорода проводился Камероном, Сирсом, Нильсеном [7] и Та Ю-Бу [8]. Однако им не удалось определить полную совокупность коэффициентов выражения (1).

Из вышеизложенного вытекает, что задача определения силовых постоянных трехатомных нелинейных гидридов, за исключением молекулы воды, не решена до конца.

Задача об определении коэффициентов влияния рассматриваемого класса соединений до настоящего времени не ставилась.

Ниже сообщаются результаты вычислений силовых постоянных и коэффициентов влияния нелинейных гидридов типа  $\text{XY}_2$ , выполненных в соответствии с общим методом М. А. Ельяшевича и Б. И. Степанова [1].

Уравнения и формулы, примененные при расчете силовых постоянных, приводились ранее в [9]\*.

Таблица 1

Исходные данные, примененные при вычислении динамических коэффициентов

	$\text{H}_2\text{O}$	$\text{D}_2\text{O}$	$\text{H}_2\text{S}$	$\text{D}_2\text{S}$	$\text{H}_2\text{Se}$	$\text{D}_2\text{Se}$
$\omega_1$	3825,32 [3]	2758,06 [3]	2714 [11]	1944 [12]	2366 [12]	1683 [12]
$\omega_2$	1653,91 [3]	1210,25 [3]	1214 [11]	86,9 [12]	979,6 [12]	697,2 [12]
$\omega_3$	3935,59 [3]	2883,79 [3]	2732 [11]	1964 [12]	2463 [12]	1753 [12]
$\gamma$	104° 31' [3, 16]		92° 20' [1, 13]		90° [7]	
$S$	0,958 [3, 10]		1,35 [1, 14]		1,6 [7, 14]	
$A_M$	16,00		31,981 [15]	/	78,95 [16]	

Значения нулевых частот  $\omega$  ( $\text{см}^{-1}$ ), валентных углов  $\gamma$ , длин валентных связей  $S(\text{Å})$  и атомных весов центральных атомов  $A_M$  указаны в табл. 1.

\* Следует иметь в виду, что в [9] на стр. 234 допущена опечатка в выражении  $k_q - h$ , где в знаменателе после  $M$  должен стоять знак плюс.

Основные физические постоянные были приняты по Герцбергу [10]; атомные веса водорода и дейтерия считались соответственно равными 1,0081 и 2,0147 [15, 16]. Результаты вычислений силовых постоянных приведены в табл. 2.

Таблица 2

Силловые постоянные ( $10^5$  дин/см) и коэффициенты влияния ( $10^{-5}$  см/дин) трехатомных нелинейных гидридов

	H <sub>2</sub> O	E <sub>1</sub> , %	E <sub>2</sub> , %	H <sub>2</sub> S	E, %	H <sub>2</sub> Se	E <sub>1</sub> , %	E <sub>2</sub> , %
$k_q$	8,424	0,12	0,008	4,261	0,17	3,415	0,4	0,2
$k_a$	0,7680	1,7	1,0	0,4427	2,9	0,2874	10	5
$h$	-0,1006	9,8	0,65	-0,0314	31	-0,141	10	7
$A$	0,2524	42	2,5	0,191	38	0,0940	300	170
$k_q^*$	0,1200	1,0	0,24	0,2395	1,4	0,2962	6,7	3,9
$k_a^*$	1,329	3,4	1,1	2,351	0,47	3,547	22	12
$h^*$	0,00264	46	11	0,0066	55	0,0150	130	80
$A^*$	-0,0403	45	3,7	-0,106	38	-0,102	330	190

За последнее время в теории молекулярных колебаний был выполнен ряд важных работ при применении коэффициентов влияния [коэффициенты матрицы, обратной для матрицы, составленной из коэффициентов выражения (1)], преимущества которых по сравнению с силовыми постоянными убедительно показаны Л. С. Маянцем [17] и П. Г. Масловым [18].

Исходя из значений силовых постоянных, указанных в табл. 2, при помощи метода определителей [18] были рассчитаны коэффициенты влияния для рассматриваемого класса соединений. Результаты вычислений приведены в той же таблице.

Там же указаны возможные погрешности определения силовых постоянных и коэффициентов влияния, возникающие в связи с наличием погрешностей в значениях нулевых частот. При рассмотрении табл. 2 статьи [12] видно, что ошибки вычисления нулевых частот могут быть около  $1-5$  см<sup>-1</sup>. Предположим теперь, что при нахождении частоты симметричного валентного колебания незамещенной молекулы  $\omega_1$  (большая частота) допущена погрешность  $\Delta\omega_1 = 5$  см<sup>-1</sup>. Тогда при применении формул (8) статьи [9] и известных методов теории ошибок может быть рассчитана соответствующая относительная погрешность силовых постоянных и коэффициентов влияния  $E_1$ . Аналогично может быть рассчитана относительная погрешность  $E_2$ , возможная в предположении  $\Delta\omega'_2 = 5$  см<sup>-1</sup>, где  $\omega'_2$  — частота симметричного колебания деформации угла полнозамещенной модификации (малая частота). Данные  $E_1$  и  $E_2$  позволяют судить о влиянии ошибок нахождения больших и малых частот на значения динамических коэффициентов. Легко видеть, что величины  $k_i$  и  $k_i^*$  более чувствительны к погрешностям валентных частот, чем к погрешностям частот деформационных ( $E_1 \gg E_2$ ).

При изучении молекулы сероводорода была рассчитана относительная ошибка  $E$ , возникающая при предположении, что несколько исходных частот содержат погрешности:  $\Delta\omega'_1 = 1$  см<sup>-1</sup>,  $\Delta\omega'_2 = 2$  см<sup>-1</sup>,  $\Delta\omega'_3 = 1$  см<sup>-1</sup>. Интересно отметить, что порядок величины  $E$  сравним с порядком величины  $E_1$ . Анализ результатов вычисления  $E$ ,  $E_1$  и  $E_2$  показывает, что особенно чувствительны к погрешностям определения нулевых частот значения недиагональных динамических коэффициентов. Аналогичное обстоятельство отмечалось ранее М. В. Волькенштейном, М. А. Ельшениным и Э. И. Степановым [1], Л. С. Маянцем [17] и др. Величины  $k_i$  и  $k_i^*$  приве-

дены в табл. 2 в предположении, что исходные данные ( $\omega$ ) содержат четыре верных знака.

П. Г. Масловым [19, 20] при исследовании других типов молекул была обнаружена линейная зависимость между коэффициентом влияния  $A$  и равновесной длиной валентной связи. Аналогичная зависимость, квидно из рисунка, осуществляется и для рассматриваемого класса соединений.

Данные, приведенные в табл. 2, были применены далее для вычисления нулевых частот монодейтерозамещенных молекул. Расчеты были пр

Таблица 3

Нулевые частоты монодейтерозамещенных молекул ( $\text{см}^{-1}$ )

Молекула	$\omega_1$	$\omega_2$	$\omega_3$
HDO	2820	1449	3884
HDS	1955	1057	2722
HDS <sub>e</sub>	1716	850,2	2416

ведены при помощи общего метода М. А. Ельяшевича и Б. И. Степанова [1]. Результаты вычислений сведены в табл. 3.

Нулевые частоты гибридной выды вычислялись ранее Либби [21] результаты, полученные им, и соответствующие данные табл. 3 полностью идентичны. Следует отметить, что значения нулевых частот, указанные в табл. 3, обладают достаточно высокой точностью. Действительно, в

риации силовых постоянных в пределах, определяемых погрешностями  $E$  (см. табл. 2), вызывают ошибки не более  $\Delta\omega \approx 1 \text{ см}^{-1}$ .

На основании данных табл. 3 было выполнено затем вычисление фундаментальных частот монодейтерозамещенных модификаций. Расчет проводился по следующей формуле:

$$\nu_i'' = \omega_i'' - \rho_i^2 (\omega_i - \nu_i),$$

где  $\omega_i''$  и  $\nu_i''$  — нулевые и фундаментальные частоты монодейтерозамещенной модификации,  $\omega_i$  и  $\nu_i$  — нулевые и фундаментальные частоты незамещенной модификации, а  $\rho_i = \omega_i''/\omega_i$ . Выражение (2) легко получается на основании формулы (6) или (7) работы [12]. Значения фундаментальных частот незамещенных молекул, использованные здесь, приводились ранее в табл. 1 статьи [12]. Результаты расчета даны в табл. 4, где для сравнения указаны также имеющиеся в литературе опытные данные.

Таблица 4

Фундаментальные частоты монодейтерозамещенных молекул ( $\text{см}^{-1}$ )

Молекула	$\nu_1$		$\nu_2$		$\nu_3$	
	выч.	опыт.	выч.	опыт.	выч.	опыт.
HDO	2727	2724 [22]	1404	1402 [10]	3710	3707 [22]
HDS	1902		1033	1078 [4]	2616	
HDS <sub>e</sub>	1675	1691 [7]	921	905 [7]	2307	2352 [7]

Рассмотрение данных табл. 4 показывает, что результаты вычислений и наблюдений для молекулы HDO хорошо согласуются между собой. Большие расхождения в остальных частотах объясняются скорее неточной интерпретацией спектров монодейтерозамещенных, чем погрешностями вычислений. Действительно, авторы отнесения частот молекулы HDS [7] дают в одной и той же статье два различных отнесения в табл. VIII X. Измерение частоты  $\nu_2$  молекулы HDS было проведено двадцать лет назад и едва ли может считаться надежным.

В заключение выражаю благодарность М. В. Волькенштейну за обсуждение результатов работы.

## ВЫВОДЫ

1. Выполнен расчет силовых постоянных и коэффициентов влияния атомных нелинейных гидридов.
2. Проведено вычисление нулевых и фундаментальных частот \* молекул HDO, HDS, HDSe.

Химико-технологический институт  
Днепропетровск

Поступила  
7.11.1956

## ЛИТЕРАТУРА

- М. В. Волькенштейн, М. А. Ельяшевич, Б. И. Степанов, Колебания молекул, ГИТТЛ, Москва — Ленинград, 1949.  
 D. M. Dennison. Rev. Mod. Phys., **12**, 175, 1940.  
 B. T. Darling, a. D. M. Dennison, Phys. Rev., **57**, 128, 1940.  
 C. R. Bailey, J. W. Thompson a. J. B. Hale, Journ. Chem. Phys., **4**, 625, 1936.  
 G. Glockler a. Jo-Yon-Tung, Journ. Chem. Phys., **13**, 388, 1945.  
 J. Duchesne a. L. Burnelle, Journ. Chem. Phys., **19**, 1191, 1951.  
 D. M. Cameron, W. C. Sears a. H. H. Nielsen, Journ. Chem. Phys., **7**, 994, 1939.  
 Ta-You-Wu, Vibrational Spectra a. Structure of Polyatomic Molecules, Michigan, 1946.  
 В. П. Морозов, Журн. физ. химии, **27**, 233, 1953.  
 Г. Герцберг, Колебательные и вращательные спектры многоатомных молекул, ИИЛ, Москва, 1949.  
 H. C. Allen, P. C. Cross a. G. W. King, Journ. Chem. Phys., **18**, 1412, 1950.  
 В. П. Морозов, Журн. физ. химии, **29**, 1804, 1955.  
 C. A. Burrus, W. Gordy, Phys. Rev., **92**, 274, 1953.  
 Г. Гальверсон, «Химия изотопов», сб. № 2, ГИИЛ, М., 1948.  
 А. И. Бродский, Химия изотопов, Изд-во АН СССР, М., 1952.  
 Ф. В. Астон, Масс-спектры и изотопы, ГИИЛ, М., 1948.  
 Л. С. Маянц, Труды ФИАН, **5**, 63, 1950.  
 П. Г. Маслов, ДАН **67**, 819, 1949.  
 П. Г. Маслов, Журн. физ. химии, **25**, 814, 1951.  
 П. Г. Маслов, ЖЭТФ, **22**, 729, 1952.  
 W. F. Libby, Journ. Chem. Phys., **11**, 101, 1943.  
 W. S. Benedict, N. Gailar a. E. K. Plyler, Journ. Chem. Phys., **21**, 1302, 1953.

# THE FORCE CONSTANTS AND ACTION COEFFICIENTS OF NON-LINEAR TRIATOMIC HYDRIDES

V. P. Morozov (Dnepropetrovsk)

## Summary

The force constants of the molecules  $H_2O$ ,  $H_2S$  and  $H_2Se$  have been calculated employing the general method of El'yashevich and Stepanov. The action coefficients of the molecules were determined by the Maslov method. It was found that a linear relationship existed between the action coefficients of bond elongation and the equilibrium length of the valency bond. The values of the dynamic coefficients obtained permitted calculation of the normal and fundamental frequencies of the molecules HDO, HDS, HDSe.

\* Термины «нулевая» и «фундаментальная» частота употреблялись в данной работе в том же смысле, что и в [12].



## КИНЕТИКА СОВМЕСТНОЙ ПОЛИМЕРИЗАЦИИ ХЛОРИСТОГО ВИНИЛА С НЕКОТОРЫМИ НЕНАСЫЩЕННЫМИ СОЕДИНЕНИЯМИ

**Г. В. Ткаченко, П. М. Хомиковский, А. Д. Абкин  
и С. С. Медведев**

Ранее [1] нами описана кинетика совместной полимеризации хлористого винила с 1,1-дихлорэтиленом. Содержанием данной статьи является исследование скорости совместной полимеризации хлористого винила с *транс*-1,2-дихлорэтиленом, трихлорэтиленом  $\alpha$ - и  $\beta$ -хлорпропиленом, бутadiеном и ацетиленом.

Полимеризация проводилась в растворах дихлорэтана (при концентрации хлористого винила 1,6 моль/л) в массе и в эмульсии (эмульгатор — фотожелатина, 0,64% к воде, соотношение фаз хлористый винил — вода равно 1 : 1,25) при 50° С с 1% перекиси бензоила в отсутствие воздуха. Скорость реакции в растворах определялась dilatометрически по методике, описанной в [2].

Полимеризация проводилась до небольшой глубины, до которой процесс протекал с практически постоянной скоростью. Начальные скорости полимеризации определялись графически. На рис. 1 приведены данные совместной полимеризации хлористого винила с  $\alpha$ -хлорпропиленом. Кого же вида зависимость выхода полимера от времени была получена при совместной полимеризации хлористого винила с другими исследованными мономерами.

Данные о зависимости начальных скоростей совместной полимеризации хлористого винила с  $\beta$ -хлорпропиленом от состава исходной смеси мономеров приведены в табл. 1.

Таблица

**Совместная полимеризация хлористого винила с  $\beta$ -хлорпропиленом  
в растворе дихлорэтана при 50° С**

Начальные концентрации мономеров, моль/л		Начальные скорости полимеризации $v_p \cdot 10^3 \frac{\text{г-полимера}}{\text{л мин.}}$	Выход полимера, %	Характеристическая вязкость в циклогексаноне $[\eta]$
хлористый винил	$\beta$ -хлорпропилен			
1,60	—	125	21,2	1,68
1,49	0,08	47	19,5	—
1,56	0,17	59	17,0	—
1,60	0,20	56	25,3	0,99
1,55	0,78	34	—	0,72
—	1,60	4,2	3,5	—
—	1,10	3,1	6,7	—

Константы совместной полимеризации ( $\alpha$  и  $\beta$ ) были вычислены из экспериментально найденных скоростей совместной и раздельной полимеризации.

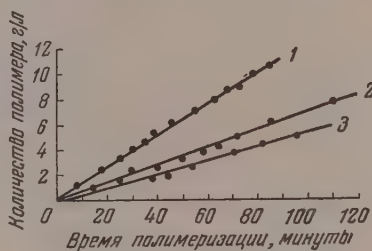
ции по уравнениям, выведенным А. Д. Абкиным [3—5]:

$$v_0 = (\lambda A_0 + B_0)^{1/2} \frac{v_a v_b}{C_0^{3/2}} \left[ \frac{\alpha A_0^2 + 2A_0 B_0 + \beta B_0^2}{v_a \beta B_0 + \lambda^{1/2} v_b \alpha A_0} \right] \quad (1)$$

$$\alpha = \frac{v_a B_0}{v_b A_0} \frac{\beta (v_0 C_0^{3/2} - \varepsilon^{1/2} v_b B_0) - 2\varepsilon^{1/2} v_b A_0}{\varepsilon^{1/2} v_a A_0 - \lambda^{1/2} v_0 C_0^{3/2}}, \quad (2)$$

где  $\alpha = K_{A \cdot A} / K_{A \cdot B}$  и  $\beta = K_{B \cdot B} / K_{B \cdot A}$ ;  $A_0$  и  $B_0$  — начальные концентрации мономеров,  $v_a$ ,  $v_b$  и  $v_0$  — начальные скорости раздельной и совместной

рис. 1. Совместная полимеризация хлористого винила с  $\alpha$ -хлорпропиленом в растворе дихлорэтана при 50° С. Начальная концентрация хлористого винила 100 г/л. — без добавок  $\alpha$ -хлорпропилена; 2 — добавлено 30 г/л  $\alpha$ -хлорпропилена; 3 — добавлено 36 г/л  $\alpha$ -хлорпропилена



полимеризации,  $C_0 = A_0 + B_0$ ,  $\lambda = K_{ин.А} / K_{ин.В}$  — отношение констант скоростей иницирования для мономеров А и В,  $\varepsilon = \lambda A_0 + B_0$ .

Определение констант  $\alpha$  и  $\beta$  по уравнению (2) производится графически, так же как и на основании данных о составе совместных полимеров [3,6].

Из кинетических данных может быть также найдено отношение констант скоростей раздельного роста [3, 5]

$$\delta = \frac{K_{A \cdot A}}{K_{B \cdot B}} = \frac{v_a}{v_b \lambda^{1/2}}. \quad (3)$$

Однако, это соотношение справедливо в том случае, когда скорости реакции обрыва цепи для мономеров различной природы близки. В противном случае из уравнения (3) может быть получено лишь приближенное значение  $\delta$ .

По уравнению (1) вычислены начальные скорости сополимеризации в зависимости от состава исходной смеси мономеров (рис. 2). Из рис. 2 видно, что экспериментальные точки для совместной полимеризации хлористого винила с бутадиеном, а также  $\alpha$ - и  $\beta$ -хлорпропиленами хорошо впадают с расчетной кривой, полученной, исходя из предположения, что иницирование для обоих мономеров протекает с равными или близкими скоростями ( $\lambda = 1$ ).

Малые добавки бутадиена к хлористому винилу (0,02 молярной доли) вызывают резкое уменьшение скорости полимеризации (приблизительно 100 раз). Наименьшая скорость наблюдается в области небольших концентраций бутадиена (0,06 молярной доли), после чего скорость реакции увеличивается (рис. 2, кривая 1). Возникновение минимума на кривой скорости полимеризации — состав исходной смеси мономеров обусловлено образованием малореакционноспособного аллильного радикала и концентрационными условиями.

При совместной полимеризации хлористого винила с другими исследованными мономерами имеет место непрерывное уменьшение скорости

с увеличением содержания второго компонента (кривые 2 и 3 на рис. и рис. 3).

Если принять константу скорости реакции роста цепи хлористого винила,  $K_{A'A} = 1$ , то из величин  $\alpha$ ,  $\beta$  и  $\delta$  можно найти относительные значения трех других констант —  $K_{A'B}$ ,  $K_{B'B}$  и  $K_{B'A}$  и охарактеризовать относительную реакционную способность мономеров и радикалов (табл. 2).

Бутадиен, как видно из табл. 2, является более реакционноспособным мономером, чем хлористый винил, как по отношению к радикалам

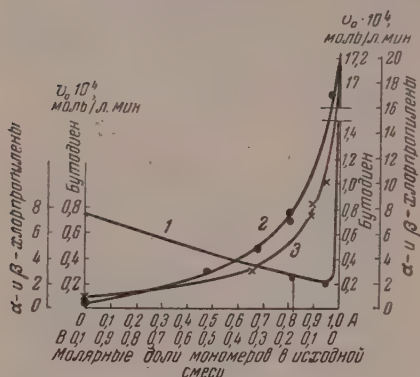


Рис. 2

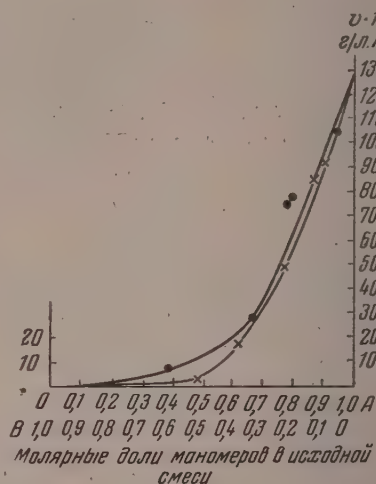


Рис. 3

Рис. 2. Совместная полимеризация хлористого винила (А): кривая 1 — с бутадиеном, кривая 2 — с  $\alpha$ -хлорпропиленом и кривая 3 — с  $\beta$ -хлорпропиленом в растворе дихлорэтана при 50°С. Начальная конц-ия мономеров 1,6 моль/л, перекиси бензоил 0,04 моль/л

Рис. 3. Совместная полимеризация хлористого винила с 1,2-дихлорэтиленом (точки) и трихлорэтиленом (крестики) в растворе дихлорэтана при 50°С

хлористого винила, так и бутадиена  $K_{A'B}/K_{B'A} = 28$  и  $K_{B'B}/K_{B'A} = 9$ . В результате присоединения молекул бутадиена образуются радикалы аллильного типа —  $\text{CH}_2\text{—CH=CH—}\dot{\text{C}}\text{H}_2$ , обладающие, по сравнению с радикалом хлористого винила, весьма малой реакционной способностью по отношению к обоим мономерам:  $K_{B'B}/K_{A'B} = 0,0015$  и  $K_{B'A}/K_{A'A} = 0,003$ . Вследствие малой реакционноспособности молекул хлористого винил присоединение этих молекул к бутадиеновым радикалам происходит с очень малой скоростью.

Реакционные способности мономеров и радикалов  $\alpha$ - и  $\beta$ -хлорпропиленов различны, что связано с различием в их строении.

$\alpha$ -Хлорпропилен является менее реакционноспособным мономером, чем хлористый винил, по отношению к радикалам хлористого винила  $\alpha$ -хлорпропилена ( $K_{A'B}/K_{A'A} = 0,89$  и  $K_{B'B}/K_{B'A} = 0,24$ ). Это, очевидно, обусловлено пространственными затруднениями в случае присоединения  $\alpha$ -хлорпропилена к растущей цепи.

В отличие от  $\alpha$ -хлорпропилена,  $\beta$ -хлорпропилен представляет собой более реакционноспособный мономер, чем хлористый винил, по отношению к радикалу хлористого винила ( $K_{A'B}/K_{A'A} = 1,34$ ). Однако по отношению к «своему» радикалу  $\beta$ -хлорпропилен менее реакционноспособен, как мономер ( $K_{B'A}/K_{B'B} = 1,73$ ). Различие в активности мономера  $\beta$ -хлорпропилен по отношению к обоим радикалам может быть объяснено влиянием полярности, что обуславливает некоторую склонность к чередованию при совместной полимеризации ( $\alpha = 0,75$ ,  $\beta = 0,58$ ). При увеличении концентр

ди  $\alpha$ - и  $\beta$ -хлорпропиленов наблюдается уменьшение скорости совместной полимеризации. Уменьшение скорости полимеризации хлористого винила в присутствии хлорпропиленов в значительной степени может быть обусловлено также реакциями передачи цепи с образованием малореакционноспособных хлораллильных радикалов  $\text{CH}_2\text{—CH}=\text{CHCl}$  и  $\text{CH}_2\text{—CHCl}=\text{CH}_2$ . По-видимому, малая склонность к раздельной полимеризации  $\alpha$ - и  $\beta$ -хлорпропиленов, помимо указанных выше причин, также обусловлена реакциями передачи. Относительная скорость присоединения мономера  $\beta$ -хлорпропилена к радикалу хлористого винила больше, чем для  $\alpha$ -хлорпропилена ( $k_{A'B}$ , соответственно, равны 1,34 и 0,89), поэтому скорость совместной полимеризации хлористого винила и  $\beta$ -хлорпропилена уменьшается при незначительных добавках последнего в большей степени, чем с  $\alpha$ -хлорпропиленом.

Полимеры, полученные в присутствии 1,2-транс-дихлорэтилена и трихлорэтилена, содержат значительно большие количества хлора, чем полимеры хлористого винила. Известны совместные полимеры этих веществ с другими мономерами [7, 8]. Весьма вероятно что при полимеризации с ди- и трихлорэтиленом также образуются совместные полимеры. При этом наряду с высокомолекулярными продуктами получают значительные количества низкомолекулярных веществ, растворимых в метиловом спирте\*. Это не позволило определить кон-

\* При получении полимеров ди- и трихлорэтилена было установлено образование значительных количеств димеров [9].

Таблица 2  
Константы совместной полимеризации и относительные реакционные способности мономеров и радикалов при совместной полимеризации хлористого винила (А) с некоторыми ненасыщенными соединениями (В) в растворе дихлорэтана  $\lambda = K_{\text{ин. В}}/K_{\text{ин. А}} = 1$ ;  $K_{\text{А}} : K_{\text{В}} = 1$

Компонент В	$\alpha = \frac{K_{A'A}}{K_{A'B}}$	$\beta = \frac{K_{B'B}}{K_{B'A}}$	$\gamma = \frac{K_{A'A}}{K_{B'B}}$	$K_{B'B}$	$K_{A'B}$	$K_{B'A}$	Реакционная способность мономеров				Реакционная способность радикалов			
							по отношению к радикалу А	по отношению к радикалу В	по отношению к мономеру А	по отношению к мономеру В	по отношению к радикалу А	по отношению к радикалу В	по отношению к мономеру А	по отношению к мономеру В
Бутадиен	0,035	8,8	23	0,043	28	0,005	$\frac{K_{A'B}}{K_{A'A}} = 28$	$\frac{K_{B'B}}{K_{B'A}} = 9$	$\frac{K_{A'A}}{K_{B'A}} = 200$	$\frac{K_{A'B}}{K_{B'B}} = 650$	$\frac{K_{A'A}}{K_{B'A}} = 1,1$	$\frac{K_{B'B}}{K_{B'A}} = 4$	$\frac{K_{A'A}}{K_{B'A}} = 10$	$\frac{K_{A'B}}{K_{B'B}} = 35$
$\alpha$ -Хлорпропилен	1,13	0,24	40	0,025	0,89	0,1	$\frac{K_{A'B}}{K_{A'A}} = 1,1$	$\frac{K_{B'B}}{K_{B'A}} = 4$	$\frac{K_{A'A}}{K_{B'A}} = 10$	$\frac{K_{A'B}}{K_{B'B}} = 35$	$\frac{K_{A'B}}{K_{A'A}} = 1,3$	$\frac{K_{B'B}}{K_{B'A}} = 1,7$	$\frac{K_{A'A}}{K_{B'A}} = 15,5$	$\frac{K_{A'B}}{K_{B'B}} = 36$
$\beta$ -Хлорпропилен	0,75	0,58	27	0,037	1,34	0,064	$\frac{K_{A'B}}{K_{A'A}} = 1,3$	$\frac{K_{B'B}}{K_{B'A}} = 4,5$	$\frac{K_{A'A}}{K_{B'A}} = 5$	$\frac{K_{A'B}}{K_{B'B}} = 6,4$				
Хлористый винилден*	0,2	4,5	1,28	0,78	5	0,173	$\frac{K_{A'B}}{K_{A'A}} = 5$	$\frac{K_{B'B}}{K_{B'A}} = 4,5$	$\frac{K_{A'A}}{K_{B'A}} = 5,8$	$\frac{K_{A'B}}{K_{B'B}} = 6,4$				

\* Вычисления проведены по данным работы [1].



станты совместной полимеризации и рассмотреть реакционные способности мономеров и их радикалов.

При полимеризации хлористого винила с 1,2-дихлорэтиленом и трихлорэтиленом может, как в случае  $\alpha$ - и  $\beta$ -хлорпропиленов, иметь место реакция передачи цепи с образованием менее реакционноспособных радикалов. Однако сопоставление молекулярных весов полимеров с содержанием в них хлора показывает, что повышение его содержания не может быть целиком обусловлено реакцией передачи. Очевидно, уменьшение скорости полимеризации хлористого винила под влиянием ди- и трихлорэтиленов (рис. 3) вызвано также образованием совместных полимеров.

Во всех опытах наблюдается уменьшение характеристической вязкости совместных полимеров по мере увеличения содержания второго компонента в исходной смеси (табл. 1 и 3).

Таблица 3

Зависимость скорости совместной полимеризации хлористого винила с различными мономерами (В) (в растворе дихлорэтана при 50° С) и характеристической вязкости сополимера от молярной доли хлористого винила в исходной смеси мономеров

Компонент В	Молярная доля хлористого винила в исходной смеси мономеров	Начальная скорость полимеризации, $v_0 \cdot 10^4 \frac{\text{моль}}{\text{л} \cdot \text{мин}}$	Характеристическая вязкость, $[\eta]$ , $\frac{\text{мл}}{\text{г}}$ в пикло-гексаноне при 20° С	Содержание хлора в полимере, %
Нет	1,0	20,0	1,68	56,0
$\alpha$ -Хлорпропилен	0,81	7,8	1,62	—
»	0,68	4,7	1,38	—
$\beta$ -Хлорпропилен	0,89	7,4	0,99	—
»	0,68	3,0	0,71	—
1,2-Транс-дихлор-этилен*	0,80	15,0	1,38	57,0
»	0,67	8,0	0,99	58,4
Трихлорэтилен*	0,88	15,0	0,99	57,6
»	0,80	11,0	0,91	58,3
Бутадиен	0,98	0,2	—	Следы (по расчету должно быть 0,01%)
Нет**	1,0	148,0	5,94	—
Ацетилен**	0,98	85,0	3,13	—
»	0,93	50,0	2,13	—

\* Скорость полимеризации и характеристическая вязкость рассчитаны для высокомолекулярных продуктов (не растворимых в метаноле).

\*\* Данные для полимеризации в массе и в эмульсии  $v_0 \cdot 10^4$  — средняя скорость моль/л мономера мин.

Понижение молекулярного веса совместных полимеров в этом случае обусловлено возникновением в системе малоактивного радикала в результате актов роста или реакциями передачи цепи. При совместной полимеризации хлористого винила с перечисленными веществами в массе и в эмульсии также наблюдается уменьшение выхода полимера во времени по сравнению с полимеризацией хлористого винила. На рис. 4 в качестве примера приведены данные по влиянию  $\alpha$ - и  $\beta$ -хлорпропиленов.

Увеличение скорости полимеризации хлористого винила во времени в массе (рис. 4) и в эмульсии (без добавок второго мономера и с добавками) связано, как это было показано ранее [10], с нерастворимостью мономера в полимере. Это приводит к увеличению продолжительности жизни полимерных радикалов в слое или в частицах полимера и к возрастанию общей скорости процесса вследствие уменьшения скорости реакции обрыва цепей путем взаимодействия двух полимерных радикалов.

Кроме того, средняя продолжительность жизни свободных радикалов при полимеризации хлористого винила в гетерогенных системах увеличи-

ется вследствие того, что часть полимерных радикалов, закрепленных поверхностным слое полимерных частиц, образуется в результате реакции передачи цепи через молекулы полимера. Было показано [10], что

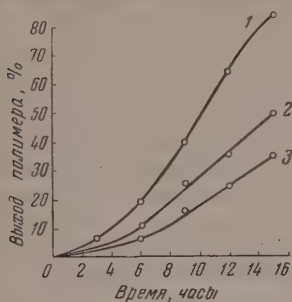


Рис. 4

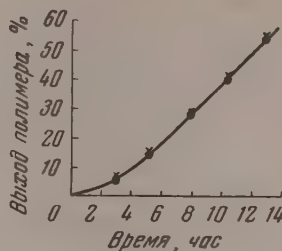


Рис. 5

Рис. 4. Влияние  $\alpha$ - и  $\beta$ -хлорпропиленов на полимеризацию хлористого винила в массе при  $50^\circ\text{C}$ . 1 — без добавок; 2 — в присутствии 3%  $\alpha$ -хлорпропилена и 3%  $\beta$ -хлорпропилена; 3 — в присутствии 6%  $\alpha$ -хлорпропилена и 6%  $\beta$ -хлорпропилена

Рис. 5. Полимеризация хлористого винила в массе при  $50^\circ\text{C}$ . Точки — обычный хлористый винил, крестики — хлористый винил, отогнанный от полимеризата

зрание скорости в начале процесса не связано с наличием следов кислорода или других ингибиторов, так как мономер, отогнанный из полимеризата при глубине полимеризации 25% (без соприкосновения с воздухом) в пулу с инициатором, полимеризуется такой же скоростью, как и исходный (рис. 5). Кроме того, полимеризация хлористого винила в растворах дихлорэтана бензола, т. е. в условиях, в которых полимер и мономер находятся в одной фазе, протекает без увеличения скорости в начале процесса [2].

Изучена также скорость полимеризации хлористого винила в присутствии ацетилена. В массе (рис. 6) и в эмульсии при содержании 0,02 и 0,07 молярных долей ацетилена скорость реакции уменьшается в 2—3 раза. В этом случае также, вероятно, имеет место совместная полимеризация [11]. Можно предположить, что возникающие в результате присоединения ацетилена радикалы  $\text{CHCl}-\dot{\text{C}}\text{H}_2 + \text{CH}\equiv\text{CH} \rightarrow -\text{CHCl}-\text{CH}_2-\text{I} = \dot{\text{C}}\text{H}$  изомеризуются с образованием малореакционноспособного дикала  $-\text{CHCl}-\text{CH}=\text{CH}-\dot{\text{C}}\text{H}_2$ . Присоединение хлористого винила к такому радикалу происходит с небольшой скоростью, что и приводит к уменьшению общей скорости процесса.

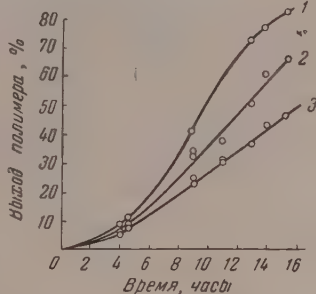


Рис. 6. Влияние ацетилена на полимеризацию хлористого винила в массе при  $50^\circ\text{C}$ . 1 — без добавок; 2 — в присутствии 1%-ного ацетилена; 3 — в присутствии 3%-ного ацетилена

## ВЫВОДЫ

1. Показано, что добавление к хлористому винилу бутадиена,  $\alpha$ - и  $\beta$ -хлорпропиленов, 1,2-дихлорэтилена и трихлорэтилена приводит к образованию совместных полимеров. Для систем хлористый винил — бутадиен, а также хлористый винил —  $\alpha$ - и  $\beta$ -хлорпропилены рассчитаны константы совместной полимеризации. При полимеризации указанных мономерных

пар в растворе дихлорэтана реакции, ведущие к образованию начальных активных центров, протекают с одинаковыми скоростями. Только для такого соотношения скоростей инициирования между расчетными и опытными скоростями полимеризации наблюдается удовлетворительное совпадение.

2. Добавление к хлористому винилу небольших количеств бутадиена и ацетилена вызывает резкое уменьшение скорости реакции, вследствие образования малореакционноспособных радикалов (аллильного типа  $-\text{CH}_2-\text{CH}=\text{CH}-\dot{\text{C}}\text{H}_2$  в случае бутадиена). Так, при содержании бутадиена 0,02 молярные доли в мономерной смеси наблюдается уменьшение скорости полимеризации в 100 раз. При молярном соотношении хлористого винила и бутадиена 0,94 : 0,06 полимеризация протекает с минимальной скоростью. При дальнейшем увеличении содержания бутадиена скорость реакции постепенно возрастает, достигая значения скорости полимеризации чистого бутадиена.

В случае совместной полимеризации хлористого винила с  $\alpha$ - и  $\beta$ -хлорпропиленами имеет место непрерывное уменьшение скорости процесса по мере увеличения содержания этих мономеров в смеси.

3. Значительное ингибирование процесса полимеризации хлористого винила в присутствии  $\alpha$ - и  $\beta$ -хлорпропиленов обусловлено, по-видимому, также возникновением в системе малореакционноспособных радикалов хлораллильного типа  $\dot{\text{C}}\text{H}_2-\text{CH}=\text{CHCl}$  и  $\dot{\text{C}}\text{H}_2-\text{CCl}=\text{CH}_2$ , образующихся в результате реакций передачи цепи между полимерными радикалами хлористого винила и молекулами хлорпропиленов.

4. Уменьшение скорости полимеризации при добавлении к хлористому винилу *транс*-дихлорэтилена и трихлорэтилена вызвано образованием совместных полимеров, а также, по-видимому, реакциями передачи цепи. В этом случае, наряду с высокомолекулярным продуктом, образующимся в заметных количествах низкомолекулярные вещества (вероятно, димеры).

5. Показано, что при полимеризации хлористого винила в массе и в эмульсии с перечисленными мономерами наблюдается также уменьшение скорости процесса по сравнению с полимеризацией хлористого винила

Поступила  
25.II.1956

#### ЛИТЕРАТУРА

1. А. Д. Абкин, С. С. Медведев, П. М. Хомиковский, Е. В. Зубовская, Журн. физ. химии, 27, 1516, 1953.
2. Г. В. Ткаченко, П. М. Хомиковский, С. С. Медведев, Журн. физ. химии, 25, 823, 1951.
3. А. Д. Абкин, Диссертация, Физико-химический институт им. Л. Я. Карпова, 1951.
4. А. Д. Абкин, ДАН, 75, 403, 1950.
5. А. Д. Абкин, Статья в сборнике «Вопросы химической кинетики, катализа, реакционной способности», Изд-во АН СССР, 1955.
6. Л. М. Гиндин, А. Д. Абкин, С. С. Медведев, Журн. физ. химии, 21, 1269, 1947.
7. T. Alfrey, S. Greenberg, Journ. Polymer Sci., 3, 297, 1948; F. Lewis, F. Mayo, Journ. Amer. Chem. Soc., 70, 1533, 1948.
8. T. Alfrey, S. Greenberg, Journ. Polymer Sci., 3, 297, 1948; K. Doi, Journ. Amer. Chem. Soc., 70, 1525, 1948; F. Mayo, F. Lewis, C. Walling, Journ. Amer. Chem. Soc., 70, 1529, 1948; F. Mayo, C. Walling, F. I. Wis, W. Hulse, Journ. Amer. Chem. Soc., 70, 1523, 1948.
9. J. Breitenbach, A. Schindler, C. Pilug, Monatsh. f. Chem., 81, 21, 1950.
10. Г. В. Ткаченко, Диссертация, Моск. ин-т тонкой химич. технологии им. Ломоносова, 1951.
11. F. Mayo, C. Walling, Chem. Rev., 46, 191, 1950.

THE KINETICS OF THE COPOLYMERIZATION OF VINYL CHLORIDE  
AND CERTAIN UNSATURATED COMPOUNDS

G. V. Tkachenko, P. M. Khomikovskii, A. D. Abkin and S. S. Medvedev

(Moscow)

## Summary

A study has been made of the copolymerization of vinyl chloride (A) with the monomers (B): butadiene,  $\alpha$  and  $\beta$  chloropropylenes, 1,2-dichloroethylene and trichloroethylene in dichloroethane solutions, in the monomers and in emulsions. The copolymerization constants for butadiene calculated on the basis of kinetic measurements according

to Eq. 2 are  $\alpha = \frac{K_{A \cdot A}}{K_{B \cdot A}} = 0.035$   $\beta = \frac{K_{B \cdot B}}{K_{B \cdot A}} = 8.8$  For the  $\alpha$  and  $\beta$  chloropropylenes they are  $\alpha = 1.13$ ,  $\beta = 0.024$  and  $\alpha = 0.75$ ,  $\beta = 0.58$ , respectively. On the overall reaction rate vs. monomer mixture composition curves a sharp minimum is observed in the case of butadiene in the low concentration region; for the other monomers there is a continual fall in the rate with increase in the monomer content of the mixture. The relative constants of the rate of chain growth and the reactivities of the monomers and of the radicals formed have been computed (Table 2).

It has been shown that the mean molecular weight of the polymers decreases with increasing content in the polymer of the second component.



## АБСОЛЮТНЫЕ ИЗОТЕРМЫ АДСОРБЦИИ ПАРОВ НОРМАЛЬНОГО, ИЗО- И ЦИКЛОПЕНТАНОВ НА КВАРЦЕ И СИЛИКАГЕЛЯХ

*А. В. Киселев и Ю. А. Эльтеков*

Исследование адсорбционных свойств индивидуальных углеводородов и углеводородных смесей важно как для выяснения механизма адсорбции углеводородов на различных адсорбентах, так и для получения сведений, необходимых для суждения о разделении углеводородных смесей при помощи адсорбционной хроматографии.

В нашей лаборатории предпринято систематическое изучение адсорбционных свойств углеводородов и их смесей на адсорбентах различной природы и различных структурных типов. Как уже отмечалось ранее [1] для количественного выражения адсорбционных свойств, а также для сопоставления данных работ различных авторов необходимо определять абсолютные величины адсорбции, т. е. относить опытные величины к единице поверхности адсорбента или катализатора.

Исследование адсорбции *n*-пентана проводилось неоднократно на толченом стекле [2—4], стеклянных шариках пирекс [4], силикагелях [5—7], минералах [8,9], сажах [10—12], углях [5,13—18] и других адсорбентах [3—5, 10,19—22]. К сожалению имеется лишь очень мало работ, в которых изучалась также и структура адсорбентов (удельная поверхность, размеры пор). Только в работах [4, 9—12] поверхности примененных адсорбентов была определена по адсорбции паров азота, что позволило рассчитать величины адсорбции на 1 м<sup>2</sup> поверхности, причем в интересующем нас случае адсорбции паров *n*-пентана на шариках из стекла пирекс [4] начальная мономолекулярная область заполнений поверхности авторами почти не изучалась\*.

Таким образом, надежных данных для определения абсолютных величин адсорбции паров пентанов на силикагелях в литературе не имеется.

В настоящей работе получены абсолютные величины адсорбции паров нормального пентана и циклопентана на кремнеземах различных структурных типов: кварце и силикагелях разной пористости. Эти данные сопоставлены с полученными ранее в работе В. П. Древинга и авторов этой статьи [23] абсолютными и приведенными изотермами адсорбции паров изопентана на четырех силикагелях разной структуры.

### ЭКСПЕРИМЕНТАЛЬНАЯ ЧАСТЬ

Для изучения адсорбции паров пентанов были взяты в качестве адсорбентов молотый кварц и четыре образца однороднопористых силикагелей, два из которых были синтезированы в лаборатории И. Е. Неймарка (пятый и восьмой образцы эталонного ряда [24]) и два образца заводского изготовления, КСК и КСМ. Адсорбционные свойства некоторых фракций примененного препарата кристаллического кварца изучались ранее [25]. Перед откачкой навеска размолотого кварца выдерживалась под водой при комнатной температуре в течение полутора месяцев для однородной гидратации поверхности. Эвакуация образца производилась при температуре 160° в течение 50 час. до давления меньше  $2 \cdot 10^{-6}$  мм рт. ст. Приблизительно такая же температура эвакуации была принята Гаррисом и Эмметом [4] при изучении адсорбции паров на стеклянных шариках.

Силикагели заводского производства: крупнопористый КСК и тонкопористый КСМ очищались промыванием соляной кислотой и обработкой парами азотной кислоты.

\* В работе [7] определялась интегральная теплота адсорбции ряда углеводородов, в том числе и пентана, на силикагеле с неизвестной поверхностью. С работой [6] удалось познакомиться лишь по реферату; авторы изучали адсорбцию некоторых углеводородов лишь на тонкопористом силикагеле. Д. П. Тимофеев [5] исследовал адсорбируемость паров *n*-пентана на трех образцах силикагелей. Однако удельная поверхность и пористость силикагелей в этих работах не определялись.

промыванием водой, а затем эвакуировались, так же как образцы эталонного ряда до значения меньше  $3 \cdot 10^{-6}$  мм рт. ст. в течение нескольких дней, причем температура снижалась постепенно (за 12 час. на  $80^\circ$ ). Для силикагеля КСМ температура откачки была принята  $200^\circ$ , остальные образцы эвакуировались при температуре  $280^\circ$ . Для определения потери при откачке и содержания структурной воды параллельно зачивались и отпаивались ампулы с теми же силикагелями\*.

Углеводороды высокой степени чистоты были получены из Института органической химии Академии наук СССР. Перед опытами были определены их константы, приведенные в табл. 1.

Таблица 1

Константы примененных углеводородов

Углеводороды	$\alpha_4^{20}$	Т. кип. при давлении $p$ , мм	$\eta_D^{20}$	Упругость пара $p_s$ , мм
Пентан	0,6263	$34,7^\circ - 34,8^\circ$ (738)	1,3581	424,2 ( $20^\circ$ )
Изопентан (2-метил- пентан)	0,6189	$27,8^\circ - 27,9^\circ$ (752)	1,3543	460 ( $14^\circ$ )
Клопентан	0,7454	$48,0^\circ - 48,2^\circ$ (730)	1,4059	259,6 ( $20^\circ$ )

Адсорбционное исследование проводилось в вакуумной установке, схема которой представлена на рис. 1. Она была сходна с разработанной В. П. Древингом [23] уста-

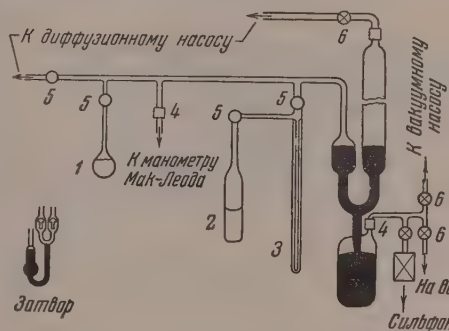


Рис. 1. Схема адсорбционной установки с вакуумной микробюреткой. 1 — ампула с адсорбентом; 2 — баллон с запасом жидкого углеводорода; 3 — капилляр-микробюретка; 4 — клапан; 5 — затвор; 6 — кран

новки с постоянным уровнем ртути в рабочем колене. Грубая подгонка уровня ртути к реперу производилась движимым краном, а точная — сильфоном. Чтобы избежать смазываемых кранов охранить постоянство разделяемых объемов, в рабочей части установки были применены укороченные ртутные затворы с поплавками, которые управлялись подвижными кранами. При надежном термостатировании микробюретки жидкостью из ультрачистоты чувствительность метода составляла  $3\gamma$ , что во много раз превышает чувствительность метода непосредственного взвешивания Мак-Бена и Бахра и больше чувствительности метода независимого взвешивания [27] при большей простоте и удобстве работы. Для повышения относительной чувствительности при работе с кварцем было взято достаточно большое его количество — около 30 г. При этом относительная точность метода вакуумной микробюретки составляла  $0,1 \gamma$  на 1 г адсорбента.

## ОПЫТНЫЕ ИЗОТЕРМЫ АДОРБЦИИ ПАРОВ. СТРУКТУРА ПРИМЕНЕННЫХ АДОРБЕНТОВ

н - П е н т а н. Изотермы адсорбции паров н-пентана были определены при  $0^\circ$  и  $20^\circ$  на кварце и при  $20^\circ$  на четырех образцах силикагелей разной чистоты.

\* Эти образцы по способу обработки и очистки несколько отличались от образцов КСМ-1 и КСМ-1, примененных нами в работе [26], поэтому в табл. 2 они обозначены как образцы КСМ-2 и КСМ-2.

На рис. 2\* и 3 показаны изотермы адсорбции *n*-пентана на кварце силикагелях при 20° в координатах *a* (на г) и  $p/p_s$  — относительное давление пара. S-образная изотерма на кварце типична для адсорбции паров на непористом адсорбенте. Эта изотерма отражает только молекулярный процесс (молекулярный вначале и полумолекулярный при больших относительных давлениях) практически без вторичных явлений капиллярной конденсации и позволяет проследить за постепенным утолщением адсорбционного слоя. Для крупнопористого силикагеля КСК получена изотерма адсорбции с четко выраженным обширным хорошо воспроизводимым капиллярно-конденсационным гистерезисом.

Силикагели № 5 эталонного ряда и КСМ разного происхождения обладали различными значениями удельной поверхности и суммарного объема пор, примерно одинаковыми размерами пор. Опытные изотермы адсорбции паров *n*-пентана на этих образцах имеют сходную форму с большим гистерезисом в области средних относительных давлений. И

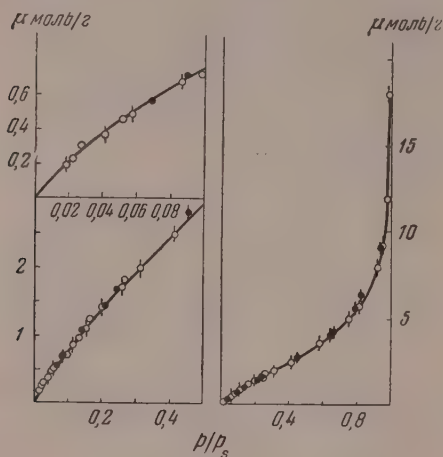


Рис. 2. Опытные изотермы адсорбции паров *n*-пентана на кварце-1 при 20°. Перечеркнутые кружки — опыты второй серии. Здесь и далее черные точки — десорбция

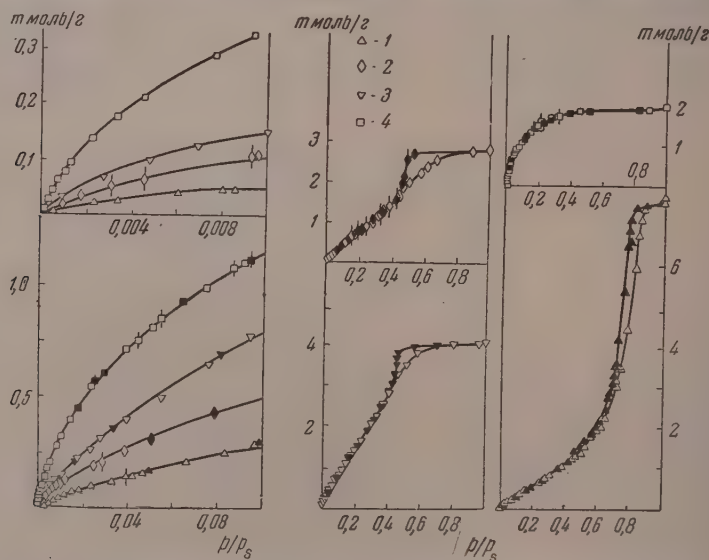


Рис. 3. Изотермы адсорбции паров *n*-пентана при 20° на силикагелях: 1 — КСК; 2 — КСМ; 3 — № 5; 4 — № 8. Слева начальные участки изотерм

терма адсорбции паров *n*-пентана на образце № 8 напоминает изотерму с «пределом» (типа изотермы Лэнгмюра), которую многие авторы считают обязанной мономолекулярной адсорбции. Однако это сходство здесь чисто

\* На всех рисунках черные точки — десорбция.

нее. По Лэнгмюру изотерма с пределом трактуется с точки зрения заполнения адсорбционных центров при мономолекулярной адсорбции, предел соответствует плотному монослою. В нашем случае (как и вообще для адсорбции паров на тонкопористых адсорбентах) происходит плотное заполнение всего объема тонких пор, в основном, уже в первичном адсорбционном процессе в области малых  $p/p_s$ .

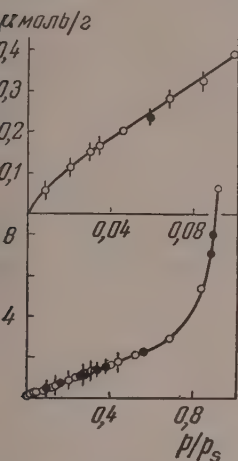


Рис. 4

Рис. 4. Изотермы адсорбции паров циклопентана на кварце. Вверху начальный участок изотермы. Перечеркнутые кружки — опыты второй серии

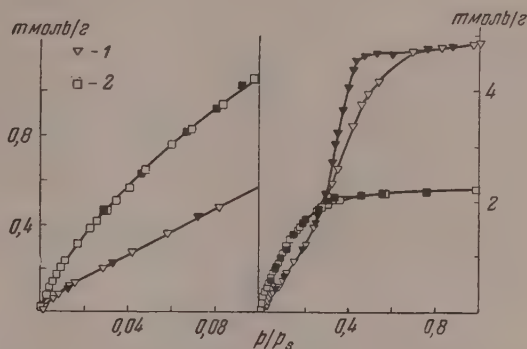


Рис. 5

Рис. 5. Изотермы адсорбции паров циклопентана на силикагелях: 1 — № 5; 2 — № 8. Слева начальные участки изотерм

Поскольку чисто адсорбционные процессы имеют место при низких давлениях, более подробно были изучены начальные участки изотерм при  $p/p_s = 0,15$ .

**Циклопентан.** Изотермы адсорбции паров циклопентана были определены для кварца № 2 и для двух силикагелей № 5 и № 8. Для кварца были получены изотермы адсорбции паров циклопентана при 0 и 20°. На рис. 4 изображена изотерма адсорбции паров циклопентана на кварце при 0°. На рис. 5 даны изотермы адсорбции паров циклопентана на силикагелях № 5 и № 8. Для обоих тонкопористых образцов № 5 и № 8 наблюдается четко выраженный гистерезис. Для более тонкопористого образца № 8 гистерезис на изотерме адсорбции паров н-пентана (как и для адсорбции паров азота [25]) обнаружен не был. В случае же адсорбции плоских молекул циклопентана изотерма имеет четкий гистерезис и для образца № 8.

**Структурные характеристики примененных адсорбентов.** Из изотерм адсорбции паров этих углеводородов были рассчитаны структурные характеристики примененных адсорбентов и поставлены с определенными в нашей лаборатории по адсорбции паров азота А. П. Карнауховым и Е. В. Храповой (образцы силикагелей № 5 и № 8 [25]) и Е. В. Храповой (образец кварца № 2 и образцы силикагелей СК и КСМ) и паров воды О. М. Джигит (образцы № 5 и № 8 [24]) и Е. Д. Беляковой (образцы КСК и КСМ). На рис. 6 представлены кривые распределения пор по их размерам, вычисленные из изотерм десорбции паров н-пентана (кривые 1, 2 и 3), циклопентана (сплошная кривая 4) и воды (пунктирная кривая 4') [24]. Из этих же изотерм в области гистерезиса были определены термодинамическим методом [28, 29] величины пористости адсорбционной пленки  $s'$ , образующейся в порах силикагелей



к началу гистерезиса. Структурные характеристики адсорбентов приведены в табл. 2.

Таблица 2

## Структурные характеристики примененных кремнезёмов

Образцы	Объем жидкости, сорбируемый при насыщении $v_s$ , см <sup>3</sup> /г				Эффективный диаметр пор $d$ , Å			Удельная поверхность, м <sup>2</sup> /г			$s'/s$		Содержание структурной воды в %
	Вода	Азот	н-С <sub>4</sub> H <sub>10</sub>	С <sub>6</sub> H <sub>12</sub>	По воде	По н-С <sub>4</sub> H <sub>10</sub>	По С <sub>6</sub> H <sub>12</sub>	$s$ , считая по азоту	плоскости $s'$		по н-С <sub>4</sub> H <sub>10</sub>	по С <sub>6</sub> H <sub>12</sub>	
									по н-С <sub>4</sub> H <sub>10</sub>	по С <sub>6</sub> H <sub>12</sub>			
Кварц-1	—	—	—	—	—	—	—	0,78*	—	—	—	—	—
Кварц-2	—	—	—	—	—	—	—	0,48	—	—	—	—	—
Силикагели													
КСК-2	0,91	0,87	0,88	—	104	110	—	320	323	—	1,00	—	3,0
КСМ-2	0,36	—	0,32 <sub>5</sub>	—	37	38	—	370	75	—	0,20	—	4,1
№ 5	0,49	0,49	0,46 <sub>5</sub>	0,45	37	36	36	560	150	280	0,27	0,49	3,4
№ 8	0,25	0,25	0,22 <sub>5</sub>	0,21	24	—	26	540	0	30	0	0,12	3,5

\* На обоих образцах кварца были сняты изотермы адсорбции паров н-пентана, оказавшиеся аффинными. Из постоянного отношения их ординат была определена удельная поверхность кварца-1 (0,78 м<sup>2</sup>/г) через поверхность кварца-2, определенную по адсорбции паров азота (0,48 м<sup>2</sup>/г).

Из таблицы видно, что объем жидкого адсорбата, сорбируемый при насыщении,  $v_s$ , в случае широкопористого силикагеля для воды, азота и для пентана одинаков. В случае тонкопористых образцов  $v_s$  для н-пентана

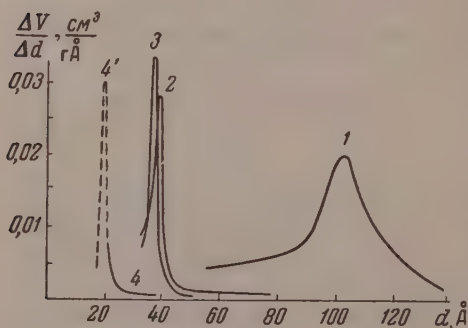


Рис. 6. Кривые распределения объема пор по их диаметрам для силикагелей: 1 — КСК; 2 — KCM; 3 — № 5; 4 — 4' — № 8

и циклопентана немного меньше  $v_s$  для воды и азота, что связано с несколько меньшей доступностью тонких пор силикагелей № 5 и № 8 для этих веществ, обладающих значительно большим молекулярным объемом. Молекулы углеводородов труднее проникают в тонкие зазоры между частицами кремнезема, образующими корпускулярную структуру скелета силикагеля [30—32].

Величина  $s'$ , определенная по капиллярной конденсации в области гистерезиса, для н-пентана в случае широкопористого силикагеля КСК совпадает с поверхностью его скелета  $s$ , что является типичным для адсорбентов второго структурного типа [33]. В случае тонкопористых образцов KCM, № 5 и № 8  $s'$  много меньше  $s$ , в особенности для н-пентана, что связано с заполнением значительной части объема пор до начала гистерезиса. Величина  $s'/s$  для циклопентана больше, чем для н-пентана, вследствие вероятно, меньшей толщины адсорбционного слоя циклопентана в доступных для его адсорбции частях пор (плоские и более компактные молекулы). С этим связано наличие капиллярно-конденсационного гистерезиса в случае адсорбции паров циклопентана даже на наиболее тонкопористом образце № 8. Отсюда следует, что для исследований тонкой пористости гелей удобно применять наряду с водой [24] и циклопентан, особенно в тех случаях, когда вода химически реагирует с адсорбентом, как, например, с окисью алюминия [34] или с окисью магния [35].

В последнем столбце табл. 2 приведено содержание «структурной воды» силикагелей. Влияние дегидратации поверхности на адсорбцию ароматического углеводорода было рассмотрено в работе [36]. На адсорбцию насыщенных углеводородов дегидратация поверхности влияет в меньшей степени. Подробнее этот вопрос будет изучен позже.

Изотермы адсорбции паров этих углеводородов, так же как бутана [1] и изопентана [23], хорошо описываются в начальной части уравнением мономолекулярной адсорбции Брунауэра, Эммета и Теллера. На рис. 7 показаны изотермы адсорбции паров н-пентана на кварце и трех силикагелях различной пористости в координатах уравнения БЭТ. При сужении пор константа  $C$  этого уравнения возрастает так же, как то было нами замечено для адсорбции бутана [1] и изопентана [23].

# АБСОЛЮТНЫЕ ИЗОТЕРМЫ АДСОРБЦИИ ПАРОВ ПЕНТАНОВ

На рис. 8 справа представлены полученные нами абсолютные изотермы адсорбции паров н-пентана на кварце-1 и на силикагелях: крупнопористом КСК и тонкопористом № 8. На тот же рисунок нанесены данные работы Гарриса и Эммета

[4] для стеклянных шариков пирекс размером 2—5  $\mu$ , пересчитанные нами на абсолютные величины адсорбции делением на величину поверхности, определенную этими авторами по адсорбции паров азота. Из рисунка видно, что абсолютные величины адсорбции пентана для непористых образцов кремнезёмов совпадают во всей изученной области давлений. С этой изотермой в начальной мономолекулярной области совпадает абсолютная изотерма адсорбции н-пентана на крупнопористом силикагеле. Отличие адсорбции пентана на этом силикагеле от адсорбции на непористых адсорбентах (кварце и стеклянных шарах) наблюдается лишь в области высоких давлений пара — в области наложения на полимолекулярную адсорбцию вторичного процесса капиллярной конденсации.

Абсолютная изотерма в начальной области (от  $p/p_s = 0,05$  до  $p/p_s = 0,3$ ) подчиняется уравнению БЭТ с константами  $C \approx 4,5$ ,  $\alpha_m = 2,6 \text{ } \mu\text{моль/м}^2$ :

$$\alpha \approx 2,6 \frac{4,5 p/p_s}{(1-p/p_s)(1+3,5 p/p_s)} \text{ } \mu\text{моль/м}^2. \quad (1)$$

Константа  $\alpha_m$  позволяет определить величину площади, занимаемой молекулой н-пентана в плотном монослое на поверхности непористого и крупнопористого кремнезёма:  $\omega_0 = 1/\alpha_m N$ , где  $N$  — число Авогадро, если  $\alpha_m$  выражена в  $\text{моль/м}^2$ .

Чтобы не загромождать рисунка, в правой его части приведена изотерма адсорбции паров пентана только на самом тонкопористом силикагеле № 8. На рис. 8 слева представлены абсолютные изотермы адсорбции паров н-пентана на том же кварце и силикагеле КСК с размерами пор 0,04  $\text{\AA}$ , а также приведенные к ним изотермы адсорбции н-пентана для тонкопористых образцов КСМ, № 5 и № 8 с размерами пор около 38, 36 и 24  $\text{\AA}$ .

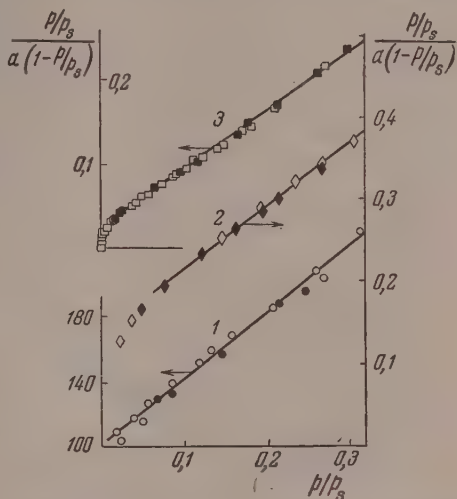


Рис. 7. Изотермы адсорбции паров н-пентана на кварце и силикагелях: 1—кварц, 2—КСМ; 3—№ 8 в координатах уравнения БЭТ

Приведенные изотермы адсорбции н-пентана получены, как и абсолютные изотермы для кварца и крупнопористого силикагеля КСК, делением опытных величин адсорбции на удельную поверхность, определенную по БЭТ из

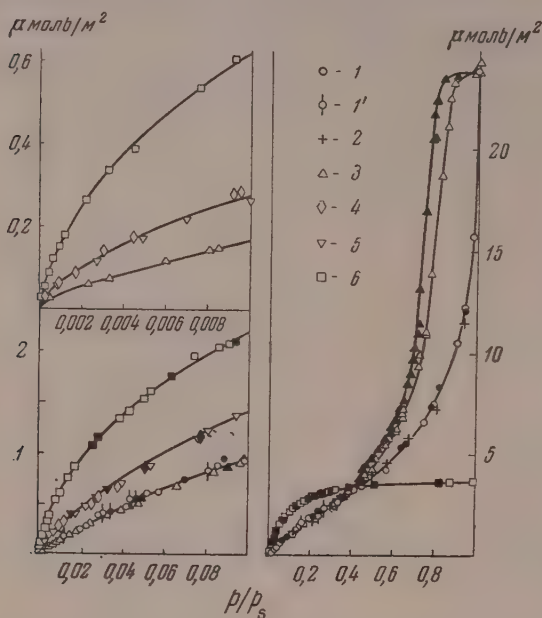
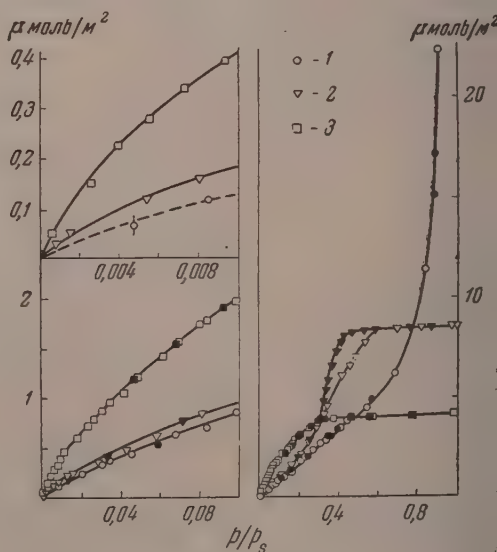


Рис. 8. Абсолютные и приведенные изотермы адсорбции паров н-пентана на 1 и 1' — кварце; 2 — стеклянных шариках порекс; 3 — силикагелях КСК; 4 — КСМ; 5 — № 5; 6 — № 8

Рис. 9. Абсолютные и приведенные изотермы адсорбции паров циклопентана: 1 — на кварце и силикагелях; 2 — № 5; 3 — № 8



низкотемпературных изотерм адсорбции паров азота. Однако здесь возникают три осложнения. Во-первых, часть наиболее тонких пор, еще доступных для молекул азота, может быть уже недоступна для более крупных молекул пентана. Во-вторых, адсорбционный потенциал для пентана в тонких порах повышен (более крутой подъем изотерм, большие величины дифференциальных теплот адсорбции [1, 37], большие значения констант

[1, 23]), что приводит к отступлению от правильного пологого заполнения, соответствующего гладкой поверхности или поверхности крупных пор. В-третьих, для тонкопористых образцов определение  $s$  и по азоту является ненадежным по тем же причинам. Поэтому для тонкопористых образцов изотермы адсорбции, отнесенные к поверхности, определенной по адсорбции паров азота, следует рассматривать лишь как приведенные к абсолютной изотерме адсорбции для кварца и крупнопористых силикатов \*. Это не меняет последовательности расположения изотерм, ибо доступная поверхность для молекул *n*-пентана может быть только меньше, чем для азота. Такое приведение позволяет выявить возмущающее влияние сужения пор силиката на адсорбцию этих углеводородов.

Из рис. 8 видно, что наибольшая крутизна изотермы в чальной области наблюдается на наиболее тонкопористого разца № 8 с диаметром пор оло 24 Å.

Как уже отмечалось ранее, адсорбенты № 5 и КСМ обладали примерно одинаковыми размерами пор (рис. 6). Несмотря на различие опытных величин адсорбции ( $\text{ммоль/г}$ , см. рис. 3), приведенные (отнесенные к поверхности, определенной по азотной изотерме адсорбции паров этана на этих двух образ-

х в начальной области совпадают. Это указывает на то, что отклонение этих изотерм от абсолютной изотермы адсорбции на гладкой поверхности зависит в начальной области лишь от размеров пор. При близких этих размеров, несмотря на разницу в общих суммарных объемах ( $0,49 \text{ см}^3/\text{г}$  для образца № 5 и  $0,32 \text{ см}^3/\text{г}$  для КСМ), приведенные изотермы адсорбции совпадают.

Таким образом найденное отклонение приведенных изотерм адсорбции тонкопористых образцов от единой абсолютной изотермы адсорбции непористых и крупнопористых образцах той же химической природы является мерой усиления адсорбционного потенциала при сужении пор, исходящего за счет проявления аддитивных свойств дисперсионных

В области высоких относительных давлений пара абсолютная изотер-  
адсорбции на силикагеле КСМ, в силу меньшей величины объема пор,  
т. конечно, ниже, чем для образца № 5.

На рис. 9 представлены абсолютные изотермы адсорбции паров циклогексана на кварце-2 и силикагелях с размерами пор около 36 и 24 Å. Для пористых образцов изотермы отнесены также к поверхности, вычисленной из адсорбции паров азота. Из рисунка видно, что для тонкопорного образца изотерма адсорбции идет круче и выше изотермы на кварце.

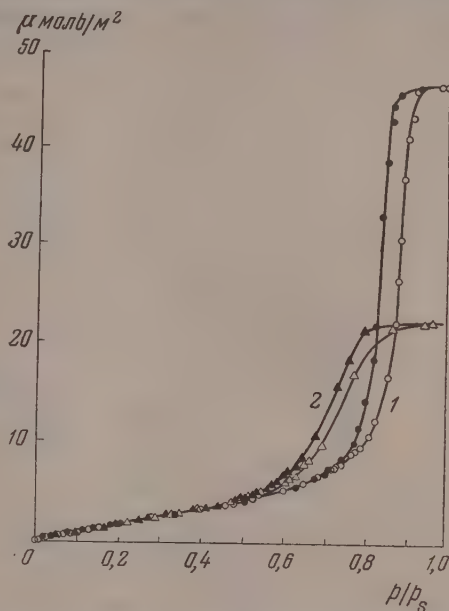


Рис. 10. Абсолютные изотермы адсорбции паров изопентана на образцах эталонного ряда силикагелей: 1—№ 1 и 2—№ 2 по данным работы [23]

х в начальной области совпадают. Это указывает на то, что отклонение этих изотерм от абсолютной изотермы адсорбции на гладкой поверхности зависит в начальной области лишь от размеров пор. При близких этих размеров, несмотря на разницу в общих суммарных объемах ( $0,49 \text{ см}^3/\text{г}$  для образца № 5 и  $0,32 \text{ см}^3/\text{г}$  для КСМ), приведенные изотермы адсорбции совпадают.

Таким образом найденное отклонение приведенных изотерм адсорбции тонкопористых образцов от единой абсолютной изотермы адсорбции непористых и крупнопористых образцах той же химической природы является мерой усиления адсорбционного потенциала при сужении пор, исходящего за счет проявления аддитивных свойств дисперсионных сил.

В области высоких относительных давлений пара абсолютная изотерма адсорбции на силикагеле КСМ, в силу меньшей величины объема пор, естественно, ниже, чем для образца № 5.

На рис. 9 представлены абсолютные изотермы адсорбции паров циклогексана на кварце-2 и силикагелях с размерами пор около 36 и 24 Å. Для тонкопористых образцов изотермы отнесены также к поверхности, вычисленной из адсорбции паров азота. Из рисунка видно, что для тонкопористого образца изотерма адсорбции идет круче и выше изотермы на кварце.

\* Приведение изотерм производится к простым совмещением их с абсолютной изотермой при каком-либо значении  $p/p_0$  [38, 23].



Сопоставляя рис. 8 и 9, можно заметить, что по сравнению с изотермой для *n*-пентана абсолютная изотерма адсорбции паров циклопентана на пористых кремнеземах для тех же самых образцов идет ближе к изотерме, полученной на кварце. Это свидетельствует о том, что для плоской дискообразной молекулы циклопентана, обладающей и меньшим молекулярным объемом, сужение пор приводит к росту адсорбционного потенциала при меньших их размерах, чем для *n*-пентана, или что при одних и тех же размерах пор молекулы *n*-пентана испытывают большее возмущающее действие от сближения стенок пор, чем молекулы циклопентана. Об этом можно

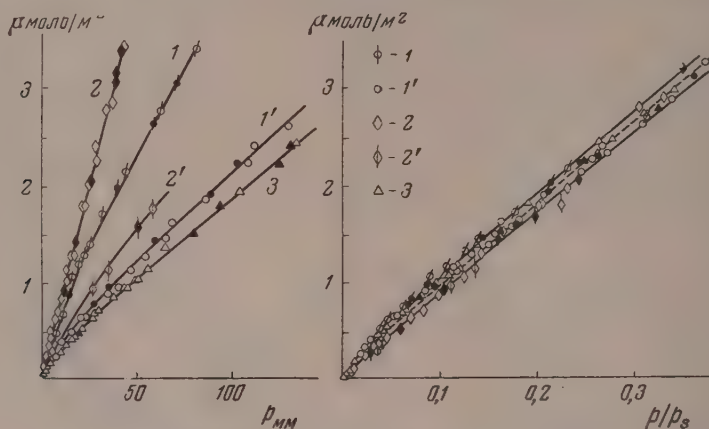


Рис. 11. Абсолютные изотермы адсорбции паров *n*-пентана 1— при 0° и 1'— при 20° и циклопентана 2 — при 0° и 2' — при 20° на кварце и паров изопентана 3—при 14° на силикагеле № 2 [23]

судить также по величинам константы  $C$  уравнения БЭТ. Для образцов № 8 константа  $C$  для *n*-пентана равна около 20, а для циклопентана около 10.

На рис. 10 даны абсолютные изотермы адсорбции изопентана на двух крупнопористых силикагелях с размерами пор 210 и 100 Å. Эти изотермы адсорбции практически совпадают в начальной мономолекулярной области, причем эта область хорошо описывается уравнением БЭТ с константами  $C = 4,2$  и  $a_m = 2,8 \mu\text{моль/м}^2$ . Влияние дальнейшего сужения пор на адсорбцию паров изопентана аналогично влиянию в случае *n*-пентана. Подробно эти изотермы обсуждены в работе [23].

Таким образом адсорбционные свойства единицы поверхности кристаллического непористого кварца и широкопористого (с размерами пор больше 50 Å) силикагеля оказываются близкими. Это позволяет делать ряд важных сопоставлений, не ставя новых трудоемких опытов.

На рис. 11 сопоставлены изотермы адсорбции паров трех пентанов и кремнеземах, для которых пористость еще не влияет на энергию адсорбции. Слева на оси абсцисс отложено абсолютное давление  $p$  в мм рт. ст., справа — относительное давление  $p/p_s$ . Из рисунка видно, что изотермы адсорбции этих пентанов в зависимости от относительного давления близки и для целей грубой оценки могут быть приблизительно выражены в начальной области одним общим уравнением БЭТ с константами  $C = 3,7$  и  $a_m = 2,5 \mu\text{моль/м}^2$ .

Поскольку величины упругости паров  $p_s$  при одной и той же температуре различны, изотермы адсорбции, выраженные в функции абсолютного давления паров для этих углеводородов  $p$ , расходятся, причем при одной и той же  $p$  сильнее адсорбируется циклопентан, затем *n*-пентан, наконец, изопентан. Эта разница определяется, в основном, величинами теплоты конденсации этих углеводородов.

Для разветвленных изомеров энергия адсорбции меньше, чем для углеводородов нормального строения [7, 11] благодаря большому удалению атомов молекулы от поверхности адсорбента.

Избирательность адсорбции из смеси паров изученных пентанов на пористом кремнеземе при данной температуре определяют величины парциальных давлений компонентов. При равенстве этих парциальных давлений из смеси пентанов в начальной мономолекулярной области должен адсорбироваться преимущественно циклопентан, затем нормальный пентан и, наконец, изопентан\*.

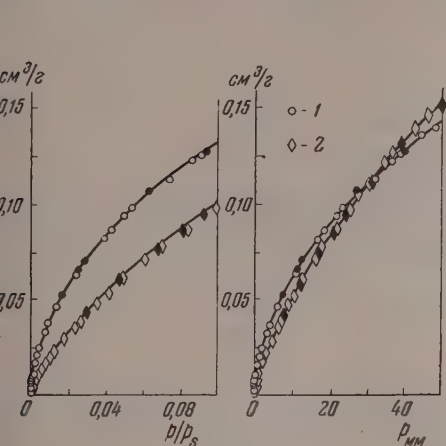


Рис. 12

Рис. 12. Изотермы адсорбции паров: 1 — *n*-пентана и 2 — циклопентана на силикагеле № 8

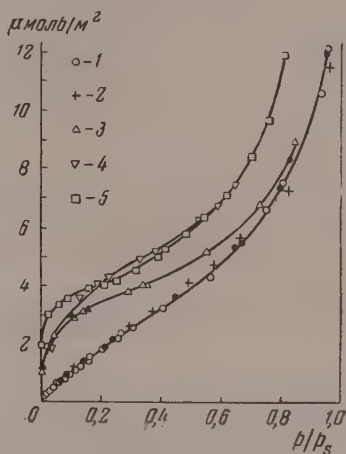


Рис. 13

Рис. 13. Абсолютные изотермы адсорбции паров *n*-пентана на: 1 — кварце; 2 — стеклянных шариках; 3 — сульфате бария; 4 — саже окисленной и 5 — саже графитированной

Для практики важно предсказать преимущественную адсорбцию из смеси циклопентана и *n*-пентана на тонкопористом силикагеле. Выше было показано, что молекулы циклопентана испытывают усиление энергии адсорбции в тонких порах (при равных их размерах) в меньшей степени, чем молекулы *n*-пентана. На рис. 12 приведены изотермы адсорбции паров нормального пентана и циклопентана на образце № 8 в виде зависимости объема адсорбированной жидкости от относительного давления  $p/p_s$  и от абсолютного давления  $p$  (в мм рт. ст.). Из левой части рисунка следует, что при тех же относительных давлениях *n*-пентан адсорбируется в большей степени, чем циклопентан. Но, как уже было сказано, об избирательности удобнее судить по зависимости адсорбции от абсолютного давления, чтобы можно было сравнивать парциальные давления компонентов в смеси. Правая часть рис. 12 указывает на уменьшение избирательности при равных парциальных давлениях в области небольших общих давлений (до 10 мм рт. ст. при 20°). Таким образом варьируя пористость адсорбента, можно менять избирательность адсорбции компонентов этой смеси.

В заключение сопоставим абсолютные изотермы адсорбции паров *n*-пентана на непористых или малопористых адсорбентах разной природы. На рис. 13 приведены эти изотермы адсорбции на кремнеземе по нашим дан-

\* К сожалению, мы не располагали наиболее разветвленным изомером — неопентаном (тетраметилметаном). Он должен адсорбироваться еще слабее.

ным для кварца, по данным Гарриса и Эммета [4] для шариков стекла пирекс, на сульфате бария (по данным Н. Н. Авгуль, Г. И. Березина, А. В. Киселева и И. А. Лыгиной, полученным в лаборатории сорбционных процессов Института физической химии Академии наук СССР), на саже «сферон-6» по данным [11] и на графитированной саже «графон» по данным [10]. Из рисунков видно, что кремнезем адсорбирует этот насыщенный углеводород относительно весьма слабо. Увеличение плотности адсорбента и большее поляризующее действие ионов в случае  $\text{BaSO}_4$  существенно увеличивают адсорбцию пентана (так же как и азота [38]), особенно в мономолекулярной области. Наиболее сильно пентан адсорбируется на

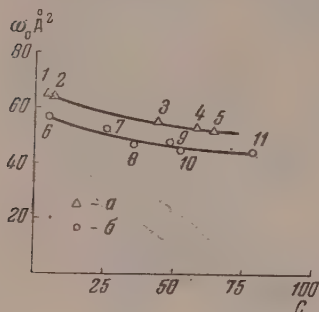


Рис. 14. Зависимость величины  $\omega_0$  для: а — н-пентана и б — н-бутана от величины константы  $C$  уравнения БЭТ: 1 — кварц; 2 — стеклянные шарики [4]; 3 — серебро [4]; 4 и 8 — сажа «сферон» [11]; 5 — сажа «графон» [10]; 6 — кремнезем [1]; 7 — вольфрам [39]; 9 — сажа [40]; 10 — окись цинка [39] и 11 — закись никеля [41]

поверхности графита в случае проявления чисто дисперсионных взаимодействий, причем не только в мономолекулярной, но и во всей изученной полимолекулярной области. Эти данные сходны с ранее полученными для адсорбции паров н-бутана [1].

Опираясь на полученные нами абсолютные изотермы адсорбции паров пентана, можно легко определять удельные поверхности адсорбентов. Однако необходимо иметь в виду, что значения удельных поверхностей, вычисляемые по уравнению БЭТ из изотерм адсорбции паров пентана могут быть надежными лишь для непористых и крупнопористых адсорбентов. Для расчета удельных поверхностей кремнезёмов этих структурных типов по адсорбции паров н-пентана, исходя из абсолютной изотермы, можно предложить ряд простых формул. Например,  $s = 1,00$  а при  $p/p_s = 0,1$ ;  $s = 0,55$  а при  $p/p_s = 0,2$  или приблизительно  $s = a/(0,22 + 7,53 p/p_s)$  при любых  $p/p_s$  в интервале от 0,05 до 0,25; здесь  $a$  — величина адсорбции в  $\mu$  моль/г, а  $s$  — поверхность в  $\text{м}^2/\text{г}$ .

Анализ абсолютных изотерм адсорбции паров н-бутана [1] на непористых и крупнопористых адсорбентах разной химической природы показал, что величина площади, занимаемой молекулой бутана в плотно монослое  $\omega_0 = 1/\alpha_m$ , определяемая через  $\alpha_m$  из уравнения БЭТ, зависит от природы скелета и состояния поверхности адсорбента. Из рис. 13 следует, что это справедливо и для адсорбции паров пентана. В связи с этим возникает вопрос о правильном выборе для каждого конкретного случая такой величины  $\omega_0$ , которая при применении уравнения БЭТ дает возможность получить удельную поверхность непористых и крупнопористых образцов адсорбентов, совпадающую со значением, рассчитанным по низкотемпературной адсорбции паров азота. Исследование абсолютных изотерм адсорбции паров н-бутана [1] и н-пентана показало, что  $\omega_0$  связана с другой константой уравнения БЭТ — с «энергетической» константой  $C$ .

На рис. 14 представлена зависимость  $\omega_0$  н-бутана (кривая б) и н-пентана (кривая а) от величины константы  $C$  уравнения БЭТ, полученная для ряда адсорбентов: кремнезёмов, саж, металлов и окислов металлов. С ростом  $C$   $\omega_0$  падает, т. е. с ростом энергии адсорбции образуется более плотный мономолекулярный слой этих углеводородов. Эта зависимость

которая нуждается в дальнейшей проверке и уточнении) позволяет правильно выбрать значение  $\omega_0$  для расчета удельной поверхности непористых и крупнопористых адсорбентов разной химической природы.

Сужение пор до размеров, меньших 50 Å, т. е. переход к адсорбентам другого структурного типа, вызывает, как уж отмечалось выше, резкий рост константы  $C$  вследствие увеличения дисперсионной части энергии взаимодействий молекул углеводородов со скелетом адсорбента. В этом случае определение удельной поверхности по адсорбции паров *n*-пентана становится уже ненадежным, и здесь следует применять вещества, адсорбция которых менее чувствительна к сужению пор.

Авторы благодарят Л. Д. Белякову и Е. В. Храпову за предоставление некоторых структурных характеристик примененных адсорбентов, В. С. Броншвагера за помощь при сборке установки и Е. А. Михайлову за предоставление чистых углеводородов.

### ВЫВОДЫ

1. При помощи метода вакуумной капиллярной микробюретки определены изотермы адсорбции паров *n*-пентана и циклопентана на молотом кварце и на силикагелях разной структуры и вычислены абсолютные и приведенные изотермы адсорбции.

2. Абсолютная изотерма адсорбции паров пентана на кварце совпадает с абсолютной изотермой на шариках пирекс и с абсолютной изотермой на крупнопористом силикагеле.

3. В функции относительного давления паров в адсорбционной области абсолютные изотермы адсорбции *n*-, цикло- и изо-пентанов близки. При одинаковых абсолютных давлениях паров величины адсорбции соответствуют последовательности: циклопентан > *n*-пентан > изопентан.

4. Сужение пор до размеров, меньших 50 Å, вызывает искажение изотерм адсорбции паров пентанов, адсорбция и энергия адсорбции увеличиваются в области малых давлений паров, причем для образцов силикагелей с близкими размерами пор, несмотря на различие в общем объеме пор, это увеличение также близко.

5. На непористых адсорбентах различной природы величины адсорбции *n*-пентана в мономолекулярной области соответствуют последовательности: графит > сульфат бария > кремнезем.

Московский государственный  
университет им. М. В. Ломоносова

Поступила  
10.III.1956

### ЛИТЕРАТУРА

1. А. В. Киселев, Ю. А. Эльтеков, Журн. физ. химии, 29, 904, 1955.
2. M. T. Isselstein, Phys. Zs., 29, 873, 1928.
3. H. Schluter, Zs. phys. Chem., A153, 68, 1937.
4. B. L. Harris, P. H. Emmett, Journ. Phys. Coll. Chem., 53, 811, 1949.
5. Д. П. Тимофеев, Диссертация, Москва, 1947.
6. P. V. Gauguly, B. P. Gyani, Bull. Patna Sci. Coll. Phil. Soc., 15, 29, 1945; Chem. Abstr., 42, 1101, 1945.
7. G. Beggerow, P. Hardeck, Zs. phys. Chem., A193, 265, 1944.
8. T. Baba, Bull. Chem. Soc. Japan, 5, 190, 1930.
9. R. M. Barrer, N. MacKenzie, D. M. MacLeod, Journ. Phys. Chem., 58, 563, 1954.
10. M. L. Corrin, J. Am. Chem. Soc., 73, 4061, 1951.
11. R. A. Beebe, G. L. Kington, M. H. Polley, Journ. Amer. Chem. Soc., 72, 40, 1950.
12. W. D. Schaeffer, M. H. Polley, W. R. Smith, Journ. Phys. Coll. Chem., 54, 227, 1950.
13. F. Goldmann, M. Polanyi, Zs. phys. Chem., A132, 332, 1928.
14. J. W. McBain, M. R. Lucas, P. F. Chapman, Journ. Amer. Chem. Soc., 52, 2668, 1930.
15. D. H. Jackman, A. M. Bakr, H. G. Smith, Journ. Phys. Chem., 34, 1439, 1930.
16. Б. П. Брунс, М. Максимова, Журн. физ. химии, 4, 534, 1933.



17. Е. Д. Заверина, М. М. Дубинин, Журн. физ. химии, **13**, 151, 1939.
18. М. М. Дубинин, Д. П. Тимофеев, Журн. физ. химии, **21**, 1213, 1947.
- 22, 133, 1948.
19. А. М. Рубинштейн, В. Э. Вассерберг, Н. А. Прибыткова, Изв. ОХН АН СССР, 1952, 1323.
20. А. М. Рубинштейн, В. Э. Вассерберг, ДАН, **79**, 263, 1951.
21. W. Rausch, Zs. phys. Chem., **A201**, 32, 1952.
22. В. А. Каргин, Т. В. Гатовская, Журн. физ. химии, **29**, 889, 1955.
23. В. П. Древинг, А. В. Киселев, Ю. А. Эльтеков, ДАН, **86**, 349, 1952.
24. О. М. Джигит, А. В. Киселев, П. Е. Неймарк, Журн. физ. химии, **28**, 1804, 1954.
25. А. П. Карнаухов, А. В. Киселев, Е. В. Храпова, ДАН, **94**, 915, 1954.
26. А. В. Киселев, Ю. А. Эльтеков, ДАН, **100**, 107, 1955.
27. Б. П. Беринг, В. В. Серпинский, ДАН, **55**, 741, 1947.
28. А. В. Киселев, Усп. химии, **14**, 367, 1945.
29. Н. Н. Авгуль, О. М. Джигит, А. В. Киселев, Журн. физ. химии, **29**, 316, 1955.
30. А. В. Киселев, Труды Комиссии по аналитической химии АН СССР, **6**, 46, 1955.
31. А. В. Киселев, ДАН, **98**, 427, 1954.
32. Е. А. Леонтьев, В. М. Лукьянович, ДАН, **103**, 1039, 1955.
33. А. В. Киселев, Журн. физ. химии, **23**, 452, 1949.
34. А. В. Киселев, И. В. Смирнова, Журн. физ. химии, **23**, 1018, 1949.
35. R. G. Razuok, R. Sh. Mikhail, Journ. Phys. Chem., **59**, 636, 1955.
36. А. В. Киселев, К. Г. Красильников, Л. Н. Соболева, ДАН, **94**, 85, 1954.
37. А. А. Исириян, А. В. Киселев, ДАН, **110**, 1009, 1956.
38. В. П. Древинг, А. В. Киселев, О. А. Лихачева, ДАН, **82**, 277, 1952.
39. R. T. Davies, J. W. De-Witt, P. H. Emmett, Journ. Phys. Chem., **51**, 1232, 1947.
40. P. C. Carman, F. R. Raal, Trans. Farad. Soc., **49**, 1465, 1953.
41. G. D. Schreiner, C. Kemball, Trans. Farad. Soc., **49**, 190, 1953.

## THE ABSOLUTE ADSORPTION ISOTHERMS OF NORMAL-, ISO- AND CYCLO-PENTANE VAPORS ON QUARTZ AND SILICA GELS

A. V. Kiselev and Yu. A. El'tekov (Moscow)

### Summary

By a vacuum capillary microburette method adsorption isotherms have been determined of n-pentane, isopentane and cyclopentane vapors on quartz powders and silica gels of different structural types. The absolute isotherms for the quartz in the adsorption region coincide with those for silica gels with wide pores.

For all three pentanes the isotherms are satisfactorily expressed by a single BET equation. At equal vapor pressures the higher adsorption is exhibited by cyclopentane followed by n-pentane and finally by isopentane.

The isotherms show a steeper rise for silica gels with thin pores, the energy of adsorption possessing higher values.

Values for the absolute adsorption of n-pentane on adsorbents of different nature follow the order: graphite > barium sulfate > silica. The area occupied by a molecule of the densely packed monolayer decreases with increasing adsorption energy.

## МЕТОДЫ И ТЕХНИКА ФИЗИКО-ХИМИЧЕСКОГО ИССЛЕДОВАНИЯ

### ВАКУУМНЫЕ РЕГИСТРИРУЮЩИЕ ВЕСЫ ДЛЯ ИССЛЕДОВАНИЯ КИНЕТИКИ И РАВНОВЕСИЯ В ГЕТЕРОГЕННЫХ СИСТЕМАХ

Г. Г. Муттик

Для изучения гетерогенных реакций весовым методом применялись весы разных конструкций. Пружинные кварцевые весы [1] и различные конструкции коромысловых весов [2—4] применялись также и для вакуумных работ. Оригинальные крутильные весы для изучения адсорбции на малоактивных адсорбентах были построены А. И. Сараховым [5]. В ряде конструкций весы снабжены электромагнитной компенсацией [6—9], позволяющей автоматизировать запись веса [10]. Описанные конструкции весов применимы, как правило, лишь для специфических задач, причем запись веса ведется с меньшей точностью, чем это достижимо при визуальном отсчете.

Описываемые ниже весы разрабатывались для изучения адсорбции на разнообразных адсорбентах, что требовало обеспечения достаточно высокой точности взвешивания в сравнительно широком интервале изменения веса образца. Весы рассчитывались на сравнительно большую навеску, около 10 г. В таблице сопоставлены характеристики описываемых ниже весов с некоторыми из описанных в литературе.

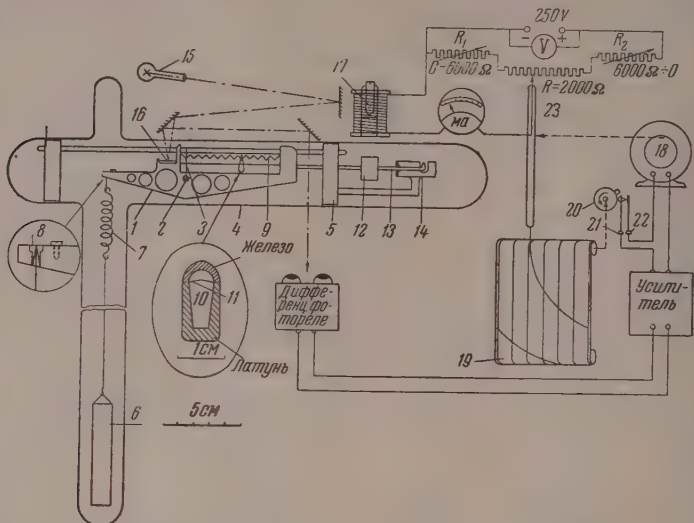
Максимальная нагрузка, г	Чувствительность, г	Диапазон взвешивания, г	Относительная чувствительность, %	Диапазон взвешивания, %	Автор
0,2	1.10 <sup>-10</sup>	—	1.10 <sup>-7</sup>	—	[3]
0,15	2.10 <sup>-7</sup>	0,0012	1,5.10 <sup>-5</sup>	0,8	[9]
0,1	1.10 <sup>-5</sup>	0,1	1.10 <sup>-2</sup>	100	[1]
1	5,7.10 <sup>-8</sup>	0,001	5,7.10 <sup>-6</sup>	0,25	[5]
20	1,5.10 <sup>-4</sup>	0,4	1.10 <sup>-3</sup>	3	[8]
10	1.10 <sup>-4</sup>	1,2	1.10 <sup>-3</sup>	12	Наши весы

**Устройство весов.** Основной частью весов (рисунок) является латунное коромысло 1 со стальной осью 2. Ось на вольфрамовых проволочках 3 (диаметр 18 мк) подвешена внутри стеклянной Т-образной трубки 4 на пружинном каркасе 5. К переднему концу коромысла на такой же проволочке подвешивается ведрышко 6 с образцом; вес образца вместе с ведрышком и пружинкой составляет 10—11 г. Ось коромысла изготовлена из твердой стали и закалена; вольфрамовые подвесы плотно зажимаются в разрезах кондов оси ввинтами, эта ось коромысла играет роль опорной призмы коромысла. Передний конец коромысла имеет стальную закаленную втулку 8, сквозь коническое отверстие которой проходит вольфрамовый подвес, — эта втулка играет роль передней призмы коромысла. Задний конец коромысла, более длинный и тяжелый, уравнивает исследуемый образец. Коромысло снабжено зубчатой рейкой 9, по которой можно переставлять рейтер 10. Вес рейтера составляет 1 г, а перестановка его на один зубец соответствует 0,1 г. Верхняя часть рейтера железная, а нижняя — латунная. Внутри него, несколько выше центра тяжести, имеется тонкая вольфрамовая проволочка 11. Рейтер висит на этой проволочке, нигде больше не касаясь коромысла, что обеспечивает постоянство его положения. Рейка 9 имеет двенадцать зубцов, рейтер переставляется по ним при помощи вспомогательного электромагнита (на рисунке не изображен). Точное уравнивание коромысла осуществляется изменением силы тока в катушке электромагнита, который притягивает сердечник из трансформаторного железа 12, прикрепленный к указателю коромысла 13. Изменения при помощи реостатов  $R_1$  и  $R_2$  силу тока в катушке электромагнита, можно скомпенсировать изменение веса образца в пределах 0,1 г; при большем изменении веса переставляется рейтер.

Нулевое положение коромысла определяется по положению конца указателя при помощи оптической трубы. Для того чтобы такое определение не зависело от положения этой трубы, к каркасу весов 5 прикреплена пластинка 14 с вырезом. Конец указателя 13 и верхний обреш пластинки находятся в одной вертикальной плоскости и одновременно находятся в фокусе трубы. В нулевом положении коромысла конец указателя находится на одном уровне с верхним обрешом этой пластинки, что позволяет установить нулевое положение коромысла с погрешностью, не превышающей 10'', и случайное смещение трубы не вносит дополнительной погрешности. Неизменность положения каркаса весов контролируется уровнем с чувствительностью  $\pm 2,5''$ , расположенным на штативе, поддерживающем стеклянный трюйник.

**Устройство для автоматической записи.** Осветитель 15 посылает пучок света на зеркальце коромысла 16; отраженный луч попадает через

систему зеркал на фотозащелки дифференциального фотореле \*, сигнал от которого поступает на усилитель самописца \*\*. Последний перемещает движок специально вмонтированного в него потенциометра  $R$ , посредством которого самописец управляет током в катушке электромагнита. Катушка электромагнита намотана медной проволокой, диаметром 0,15 мм, на эбонитовой трубке; сопротивление обмотки 1760  $\Omega$ . Трубка катушки имеет внутреннюю резьбу, по которой может передвигаться сердечник 17 (несколько листочков трансформаторного железа, помещенных в трубку из органического стекла). При юстировке сердечник ставится так, чтобы при силе тока



в катушке, равной 30 мА, соответствующей максимальному показанию миллиамперметра, сила тяги электромагнита соответствовала 0,1 г.

Цепь электромагнита и потенциометра питается от стабилизированного выпрямителя 250 В \*\*\*. Миллиамперметр (класса 0,1) включен последовательно с электромагнитом. Его показания являются мерой силы тяги электромагнита. Поэтому прибору весы калибруются, и по показаниям его проверяются результаты записи самописца, когда производится юстировка зеркал, смена осветителя, регулировка реле и т. п. Цепь электромагнита, кроме потенциометра, связанного с самописцем, включает резисторы  $R_1$  и  $R_2$ , необходимые для расширения пределов электромагнитной компенсации без снижения точности записи по сравнению с отсчетом по миллиамперметру \*\*\*\*.

**Работа весов.** В положении равновесия луч от осветителя 15, отраженный от зеркальца коромысла, симметрично освещает фотозащелки дифференциального реле, ламповый мост находится в равновесии, на усилитель самописца сигнал не поступает, двигатель 18 находится в покое. Если в результате изменения веса образца коромысло наклоняется (например, вправо), то ламповый мост фотореле выходит из равновесия, на усилитель самописца поступает сигнал, и реверсивный двигатель перемещает движок потенциометра  $R$  вправо, увеличивая ток в катушке электромагнита коромысло возвращается в исходное положение, восстанавливается равная освещенности фотозащелок реле, и двигатель останавливается. Перо самописца 19 отразит это на ленте, передвинувшись вправо. Если изменение веса образца приведет к тому, что перо самописца дойдет до края бумажной ленты, то следует перейти на другой участок записи, изменив для этого сопротивления  $R_1$  и  $R_2$ . При этом перо самописца вернется к началу шкалы и запись будет продолжаться. Весы предварительно калибруются

\* Схема этого реле близка к примененной нами ранее [11].

\*\* В описываемом устройстве в качестве самописца применен потенциометр тип ЭПП-09 индекса 9111900000, который является наиболее подходящим для этой цели прибором из выпускаемых промышленностью.

\*\*\* Стабильность этого напряжения контролируется вольтметром (класса 0,1).

\*\*\*\* Для обеспечения записи веса с точностью 0,1 мг в интервале 0,1 г, необходим регистрировать ток электромагнита с погрешностью 0,1%. Миллиамперметр класса 0,1 удовлетворяет этим требованиям, но самописец ЭПП-09 является прибором класса 0,5. В связи с этим шкала миллиамперметра была разбита на четыре участка. Переход с одного участка на другой осуществляется изменением сопротивления  $R_1$  и  $R_2$  (для первого участка  $R_1 = 0$ ,  $R_2 = 6000 \Omega$ ; для второго  $R_1 = 2000 \Omega$ ,  $R_2 = 4000 \Omega$ ; для третьего  $R_1 = 4000 \Omega$ ,  $R_2 = 2000 \Omega$  и для четвертого  $R_1 = 6000 \Omega$ ,  $R_2 = 0$ ).



при помощи разновесок; для каждого положения рейтера строится калибровочная кривая зависимости силы тока в электромагните от веса образца.

Переделка электронного автоматического потенциометра. Потенциометр ЭПП-09 предназначен для записи температуры при помощи термпары. Чтобы применить его для записи веса, источник питания отключается, а клеммы, к которым он присоединялся, замыкаются накоротко. Нормальный элемент отключается. Выход дифференциального реле присоединяется к клеммам «термопара». К крышке, прикрывающей реохорд самописца, прикрепляется проволоочный потенциометр  $R_1$  так, чтобы движок потенциометра можно было соединить с осью движка реохорда самописца. Сопротивление потенциометра равно 2000  $\Omega$ ; он должен допускать длительное прохождение через него тока около 30—35 мА без значительного нагрева обмотки; линейность сопротивления потенциометра должна быть не хуже 0,1%.

В самописце необходимо установить прерыватель, включающий реверсивный двигатель лишь на 0,1—0,2 сек., через каждые 2—3 сек.\*. Этот прерыватель необходим в связи с тем, что коромысло представляет собой своеобразный маятник, и в системе автоматической его балансировки могут возникнуть автоколебания — коромысло будет раскачиваться, не успокаиваясь. Установить воздушный или жидкостный демпфер невозможно, так как весы должны работать в вакууме. Электромагнитный демпфер также неприменим из-за влияния на железный сердечник коромысла. Если же включать балансирующее устройство лишь на короткие промежутки времени, в остальное время, оставляя ток в катушке электромагнита неизменным, то автоколебания не возникают. Прерыватель устанавливается в механизме подачи ленты. На ось Д\*\* редуктора прикрепляется кулачок 20, а на стенке редуктора — пружины с контактами 21 и 22, положение пружин подбирается так, чтобы время замыкания контакта было 0,1—0,2 сек. Контакты включаются в разрыв одной из обмоток реверсивного двигателя.

Установка весов. Описываемые весы разрабатывались для изучения медленно текущих процессов, требующих регистрации веса в течение многих часов, а в ряде случаев и месяцев. В связи с этим требовалась большая стабильность нулевого положения весов. Для этого стеклянный тройник весов прикреплен к солидному штативу, который при помощи кронштейна укреплен на капитальной стене. Тройник с деталями весов, электромагнит и другие узлы помещены в термостат; его передняя стенка имеет окно из органического стекла. Осветитель зеркала и реле прикреплены к крышке термостата вне его. В термостате при помощи контактного термометра и нагревателя температура поддерживается в пределах 0,1°.

Область применения весов. Описанные выше весы могут применяться для широкого круга исследований гетерогенных процессов, связанных с термическим разложением, гидратацией, возгонкой и т. п., в особенности в случаях, когда процесс необходимо провести в среде определенного газа, пара или в вакууме. Эти весы оказались весьма удобными для исследования адсорбционных процессов.

Выражаю глубокую благодарность В. С. Броншвагеру за неоценимую помощь при конструировании и изготовлении установки, а также А. В. Киселеву, К. Д. Щербаковой, О. М. Джигит и В. П. Древингу за поддержку этой работы.

Московский государственный  
университет им. М. В. Ломоносова

Поступила  
9.VIII.1956

#### ЛИТЕРАТУРА

1. J. W. McBain, A. M. Bakr, Journ. Amer. Chem. Soc. 48, 690, 1926.
2. H. Petterson, Dissertation, Stockholm, Goeteborg, 1914.
3. H. Petterson, Proc. Roy. Soc., A32, 209, 1920.
4. R. Stromberg, Phys. Ber., 11, 602, 1930.
5. А. И. Сарахов, ДАН, 86, 989, 1952.
6. J. W. McBain, H. G. Tanner, Proc. Roy. Soc., A125, 579, 1929.
7. S. J. Gregg, Journ. Chem. Soc., 7, 561, 1946.
8. S. J. Gregg, M. F. Wintle, Journ. Sci. Instr., 23, 259, 1946.
9. F. C. Edwards, R. R. Baldwin, Anal. Chem., 23, 357, 1951.
10. J. Eugaud, Journ. chim. phys., 47, 104, 1950.
11. А. В. Киселев, В. Ф. Киселев, Н. Н. Микос, Г. Г. Муттик, К. Д. Щербакова, Журн. физ. химии, 23, 577, 1949.

EXPERIMENTAL METHODS AND TECHNIQUES. A RECORDING VACUUM BALANCE FOR STUDYING THE KINETICS AND EQUILIBRIA OF HETEROGENEOUS SYSTEMS

G. G. Muttik (Moscow)

#### Summary

A vacuum electromagnetic balance has been described, automatically recording weights by pen on a paper tape. For sample weights up to 10 g. the registration in the range of 1.2 g. has an accuracy of  $1 \cdot 10^{-4}$  g.

\* Время включения двигателя выбирается таким, чтобы перемещение пера самописца за время замыкания контакта не превышало 1 мм.

\*\* См. Инструкцию на потенциометр ЭПП-09 выпуск 1951 г., стр. 19, фиг. 11.



## ДИСКУССИЯ

ОБ ОТНОШЕНИИ ИДЕЙ Н. А. ШИЛОВА К СОВРЕМЕННЫМ  
ПРЕДСТАВЛЕНИЯМ О МЕХАНИЗМЕ ГОМОГЕННОГО КАТАЛИЗА

Е. А. Шилов

В недавней статье Б. М. Беркенгейма, Н. Н. Семенова и В. В. Серпинского [1] высказано суждение, будто представление о тримолекулярном донорно-акцепторном механизме химических реакций противоречит идее химической индукции Н. А. Шилова и напоминает оствальдовский механизм катализа.

Это суждение неверно. Оно основано на недоразумении, которое заключается в том, что авторы статьи приписали мне вывод о протекании донорно-акцепторных реакций путем тройных соударений.

На самом деле теория донорно-акцепторных гетеролитических реакций (принцип  $D \rightarrow M \rightarrow A$ ) постулирует течение химических реакций через отдельные стадии образования и разрушения промежуточных комплексов [2]. В некоторых своих сочинениях я прямо указывал, что тройные столкновения в механизме химических реакций практически исключаются [3]; в других — это указание опускалось как само собой разумеющееся.

В связи с этим нет никакого противоречия между концепцией донорно-акцепторного механизма и представлениями Н. А. Шилова в области гомогенного катализа. Обе концепции постулируют образование лабильных промежуточных комплексов реагирующих с различными молекулами, находящимися в смеси. Самое «сопряженное химических реакций», открытое Н. А. Шиловым, — это не характерный для теории принцип, а только метод доказательства образования промежуточных активных комплексов. Этот метод и сейчас сохраняет свою убедительность, но мы научились теперь определять промежуточные соединения и другими не менее доказательными методами.

Современная теория подробнее и конкретнее определяет структуру и энергетические особенности промежуточных и переходных комплексов, но основная идея механизма реакции остается той же, что и в представлениях Н. А. Шилова.

Эта идея методологически противопоставлена формальным и агностическим построениям Оствальда, в особенности тому его допущению, что катализатор только ускоряет химическую реакцию, которая медленно идет и в его отсутствие. Современная теория, в согласии с основными представлениями Н. А. Шилова, признает, что катализатор создает механизм термодинамически возможной реакции, участвуя в образовании промежуточных комплексов.

Академии наук УССР  
Институт органической химии  
Киев

Поступила  
15.VI.1956

## ЛИТЕРАТУРА

1. Б. М. Беркенгейм, Н. Н. Семенов и В. В. Серпинский. Журн. физ. химии, 29, 1733, 1955.
2. Е. А. Шилов, Сб. «Вопросы химической кинетики, катализа и реакционной способности», Изд-во АН СССР, М., 1955, стр. 749.
3. Е. А. Шилов, Сб. «Проблемы механизма органических реакций», Изд-во АН УССР, Киев, 1953, стр. 7.



## АНАТОЛИЙ ФЕДОРОВИЧ КАПУСТИНСКИЙ

(К 50-летию со дня рождения)

29 декабря 1956 г. исполнилось 50 лет со дня рождения члена-корреспондента Академии наук СССР, профессора, доктора химических наук — Анатолия Федоровича Капустинского — выдающегося исследователя энергетики химических реакций.

Начатые в 1929 г. А. Ф. Капустинским под влиянием своих учителей — почетного академика И. А. Каблукова и академика Э. В. Брицке — исследования по химической термодинамике охватили различные области неорганической химии и различные объекты (кристаллические вещества, растворы, газы). Для обобщения полученных данных А. Ф. Капустинский широко привлекал периодический закон Д. И. Менделеева, представления кристаллохимии, физико-химический анализ. В этих областях Анатолия А. Ф. Капустинским выполнен ряд ценных исследований, представляющих большой самостоятельный интерес. Результаты исследований А. Ф. Капустинского широко применялись как самим автором, так и другими учеными в области геохимии металлургии.

Тотчас же после окончания химического факультета Московского государственного университета (в 1929 г.) А. Ф. Капустинский начал работать в термической лаборатории Института прикладной минералогии (позже Всесоюзный институт минерального сырья) и продолжал работу в этом институте 12 лет.

В 1934 г. А. Ф. Капустинский был избран профессором физической химии Горьковского университета, где он совмещал свою работу с работой в Москве до 1937 г. Это же время он был командирован за границу и работал некоторое время в лаборатории почетного академика Академии наук СССР, выдающегося американского ученого Г. Н. Льюиса (Калифорнийский университет, США), оказавшего влияние на дальнейшее развитие работ А. Ф. Капустинского.

С 1937 г. А. Ф. Капустинский — профессор Московского института стали, а с 1943 г. и по настоящее время — профессор общей и неорганической химии Московского химико-технологического института им. Д. И. Менделеева. В 1939 г. он избран членом-корреспондентом Академии наук СССР, а с 1941 г. заведует лабораторией термодинамики Института общей и неорганической химии им. Н. С. Курнакова Академии наук СССР.

Первый цикл работ А. Ф. Капустинского и сотрудников в области термохимии (1929—1934 гг.) был посвящен изучению термодинамики сульфидов металлов — объектов весьма важных для металлургии, геохимии и аналитической химии. Экспериментальные исследования проводились в широком диапазоне температур (от комнатной температуры и до 1500°) с применением разнообразных современных методик (прямые калориметрические определения теплот образования, измерения упругостей диссоциации, электродвижущих сил и т. д.). В результате выполнения этих работ были получены весьма важные для неорганической химии и геохимии термодинамические характеристики ряда сульфидов, и положено начало систематической работы по тер-

модинамике кристаллических неорганических веществ, продолжаемой автором в течение 27 лет.

В процессе обобщения накопившегося материала по термодинамике кристаллических бинарных соединений А. Ф. Капустинский ведет исследования в области кристаллохимии и в 1933 г. формулирует один из важнейших принципов кристаллохимии (получивший название «второго принципа»): «энергия кристалла и свойства, от нее зависящие, определяются числом ионов, их радиусами и их поляризационными свойствами».

Формулировке этого принципа предшествовало открытие А. Ф. Капустинским существования пропорциональности между структурными коэффициентами (множителями Маделунга), с одной стороны, и числом ионов и отношением действительного межионного расстояния к сумме голдшмидтовских радиусов, с другой стороны. Отсюда можно было вывести простое уравнение для энергии решетки ионного кристалла широко известное в литературе под названием «уравнения Капустинского».

Для расчета при помощи этого уравнения не требуется предварительного определения методами рентгеноструктурного анализа пространственного расположения ионов и расстояний между ними, а это, в свою очередь, открывает широчайшие возможности вычисления энергии решетки самых разнообразных соединений (в том числе несинтезированных), а также нахождения радиусов ионов из термохимических данных. Радиусы, впервые вычисленные таким методом Капустинским, получили название термохимических (или «термических»).

Наибольшее число работ А. Ф. Капустинский посвятил термодинамике кристаллических неорганических веществ. В результате этих исследований А. Ф. Капустинского и его учеников (И. А. Коршунов, Б. К. Веселовский, К. С. Баюшкина, Л. Г. Ченцова, Б. И. Аязвер, К. А. Новосельцев, Л. М. Шамовский, М. С. Стаханов, О. Я. Самойлов и др.) были получены данные по термодинамике окислов, сульфидов, селенидов, теллуридов, галогенидов, пероксидов, карбонатов, оксалатов, селенатов и некоторых других соединений. В 1937 г. А. Ф. Капустинским (совместно с Л. М. Шамовским и К. С. Баюшкиной) были выполнены исследования по термохимии изотопов. На основе термодинамических данных А. Ф. Капустинский внес существенный вклад в теорию процесса получения серной кислоты. Термодинамические данные А. Ф. Капустинского и его школы широко известны. Они включены в ряд справочников, монографий и широко используются в многочисленных статьях и книгах. В недавно вышедшем справочнике «Selected values of chemical thermodynamic properties» (Вашингтон, 1952), А. Ф. Капустинский — один из наиболее часто цитируемых авторов. Большое значение для советских исследователей в различных областях химии и химической технологии имело появление в 1949 г. книги группы авторов (Э. В. Бридик, А. Ф. Капустинский, Б. К. Веселовский, Л. М. Шамовский, Л. Г. Ченцова, Б. И. Аязвер) «Термические константы неорганических веществ».

В ряде работ А. Ф. Капустинский развивал интересные обобщения, относящиеся к области термодинамики и кристаллохимии.

Одним из самых важных работ такого рода явились точная формулировка и анализ положения о приближении энтропии к нулю при бесконечно большом давлении названного А. Ф. Капустинским «четвертым началом термодинамики» и имеющей большое значение, особенно, для геохимических проблем. Развивая это положение А. Ф. Капустинский сделал многие интересные выводы и, в частности, показал, что направление изменений при глубоком охлаждении и высоких давлениях одно и то же.

Еще в 1944 г. А. Ф. Капустинский показал, что энтропия ионов в растворе и энтропия простых тел являются периодическими функциями, и, таким образом, впервые распространил периодический закон Д. И. Менделеева на область термодинамических функций состояния.

Правило термохимической логарифмичности, сформулированное А. Ф. Капустинским в 1948 г. на основе анализа совокупности имеющихся термохимических данных, широко применяется для корректирования соответствующих данных, их экстраполяции и интерполяции. Это правило устанавливало наличие линейной зависимости между теплотой образования соединения (с одним и тем же катионом или анионом), отнесенной к грамм-эквиваленту, и логарифмом порядкового номера элемента.

В дальнейшем были установлены границы применимости указанного правила разъяснены причины кажущихся отклонений (в работах, выполненных совместно с Ю. М. Голузинным), а само правило распространено на область энергии кристаллической решетки, теплот гидратации ионов и теплот растворения солей.

В кратком очерке можно только упомянуть о работах, проведенных А. Ф. Капустинским с учениками или по его инициативе, по термохимии комплексных соединений, растворимости газов и твердых тел, исследованию ряда свойств растворов электролитов и вычислению таких характеристик ионов, как теплоемкость, энтропия, кажущийся объем, теплопроводность и др.

Обобщая имевшиеся и полученные им данные, А. Ф. Капустинский установил ряд правил и закономерностей для энтропии ионов в растворе, ионной энтропии растворов, теплоемкости, теплопроводности и других свойств ионов и их связи с радиусами ионов в водных растворах; эти радиусы закономерно связаны с кристаллохимическими радиусами ионов.

Упомянутые выше кристаллохимические работы А. Ф. Капустинского также



чили в последующие годы дальнейшее развитие и уточнение. В 1943 г. им было предложено «универсальное уравнение энергии решетки ионных кристаллов»; в 1956 г. этим уравнением А. Ф. Капустинский совместно с К. Б. Яцимирским уточнил выражение для репульсивного члена.

Кристаллохимические работы А. Ф. Капустинского нашли положительную оценку геохимиков, и они часто и широко использованы в работах крупнейшего советского геолога А. Е. Ферсмана и других.

Интересен ряд работ А. Ф. Капустинского, посвященных периодической системе элементов Д. И. Менделеева, в этом цикле следует упомянуть понятие об атомах-изоморах. Было развито представление о том, что периодическая система элементов состоит из четырех циклов (протоэлементы, типические элементы, элементы первичной постройки и элементы вторичной достройки), связанных с особенностями сложной структуры атомных ядер. Было введено понятие электронной изомерии атомов, которое может проявиться при высоких давлениях. Оригинальны мысли А. Ф. Капустинского о химии земного шара, взятого в целом, вытекающие из кристаллохимических, термодинамических обобщений автора и приводящие к интересным выводам об отставании химических превращений в глубине земного шара.

Серия работ А. Ф. Капустинского и его учеников посвящена вопросам физико-химического анализа. Весьма тщательные исследования ряда систем с применением спектров и совершенные методы позволили выявить существование ряда новых соединений, был предложен новый вид диаграмм: диаграммы состав — энергия активации.

А. Ф. Капустинский интенсивно работал в области истории химии и написал ряд статей и монографий.

Многочисленные и разнообразные научные исследования А. Ф. Капустинского нашли свое отражение в 230 печатных работах, среди которых имеется несколько монографий.

А. Ф. Капустинский в течение многих лет вел активную педагогическую работу в Московском, Казанском и Горьковском университетах, в Московском институте химии и Менделеевском химико-технологическом институте. Он известен как блестящий лектор и воспитатель большого числа квалифицированных научных работников и деятелей промышленности.

Свыше 15 лет А. Ф. Капустинский занимает пост заместителя главного редактора журнала «Известия Отделения химических наук Академии наук СССР». С 1946 г. он входит в состав Главной редакции второго издания Большой советской энциклопедии, возглавляя раздел химии.

Правительство высоко оценило заслуги А. Ф. Капустинского перед Родиной, наградив его орденом Трудового Красного Знамени и несколькими медалями.

Большое число интересных и важных работ, выполненных в самые последние годы, свидетельствует о творческом подъеме и полном расцвете сил А. Ф. Капустинского в настоящее время. Его научное дарование, энергия и трудоспособность позволяют ему сделать еще много для развития науки на благо нашей Родины.

Все советские ученые поздравляют А. Ф. Капустинского в день его пятидесятилетия и желают ему новых больших творческих успехов.

*К. Б. Яцимирский*



# СОДЕРЖАНИЕ

М. И. Темкин. Кинетика реакций на поверхностях твердых тел и проблема катализатора наибольшей активности . . . . .	2
Л. И. Голубенкова, Г. Л. Слонимский и В. А. Каргин. Исследование процесса отверждения фенольно-формальдегидных резольных смол. III. Исследование резитов . . . . .	3
Н. А. Шишаков. Исследование атомно-молекулярного строения некоторых окисей методом радиального распределения . . . . .	4
А. В. Сторонкин и А. Г. Морачевский. К вопросу о зависимости между изменениями температуры, давления и состава бинарных азеотропов . . . . .	5
В. Н. Флёров. О процессе старения «пересыщенных» цинкнатных растворов	6
Н. Д. Томашов и О. Г. Дерягина. Распределение эффективности работы катода по его поверхности в условиях коррозии с окислительной деполяризацией . . . . .	7
И. А. Зубович. Смешанные адсорбционные катализаторы. III. Активность смешанных металлических катализаторов на карбонатах щелочно-земельных металлов при разложении перекиси водорода . . . . .	8
И. Л. Розенфельд и И. К. Маршаков. Механизм коррозии металлов в узких зазорах и щелях. II. Коррозия железа в растворах замедлителей	9
С. П. Детков. Динамический метод определения упругости паров металлов	10
И. Я. Тюряев, А. Н. Бушин, Р. К. Михайлов и Е. А. Сарычева. Скорость зауглероживания катализатора при дегидрировании н-бутана . . . . .	11
Д. С. Циклис и А. Н. Кофман. Фазовые равновесия в системе вода—ацетальдегид—метанол . . . . .	12
С. Е. Бреслер, Т. В. Шереметева, С. Я. Френкель и М. Г. Женева. Изучение полимеризации п-третичного бутилфенил-метакрилата . . . . .	13
О. С. Ксенжек и В. В. Стендер. Поляризация внутренней поверхности трубки . . . . .	14
А. Д. Степухович и Б. И. Хайкин. Кинетика цепного заторможенного распада пропана и изобутана с участием нескольких активных центров	15
Ю. Н. Вольнов. Взаимодействие хлорного, бромного и йодного олова с некоторыми алифатическими спиртами . . . . .	16
А. А. Баладин и С. Л. Киперман. К вопросу о кинетике дегидрогенизации спиртов . . . . .	17
В. П. Скрипов. Функция распределения для систем, находящихся в однородном внешнем поле и содержащих переменное число частиц . . . . .	18
В. М. Чердынченко и М. И. Темкин. Влияние внутренней диффузии на протекание гетерогенной каталитической реакции, тормозимой продуктом . . . . .	19
Ф. Т. Нечай. К вопросу об измерении показателя преломления кристаллических тел . . . . .	20
С. С. Бацанов и В. И. Пахомов. Новые методы количественного изучения водородной связи . . . . .	21
А. А. Клочихин и П. Г. Маслов. К термодинамическим расчетам процессов горения водородно-кислородных смесей . . . . .	22
О. М. Полтораки. К вопросу о понятии «области миграции» в теории активных ансамблей . . . . .	23
А. А. Лопаткин, Ж. В. Стрельникова и В. П. Лебедев. Магнетохимия активных центров. IV. Зависимость магнитной восприимчивости адсорбционных платиновых катализаторов от температуры прокаливания	24
И. З. Фишер и Б. В. Бокуть. Поверхностный слой одномерной жидкости . . . . .	25
Э. А. Айказян и Ю. В. Плесков. Электрохимическое окисление и восстановление некоторых органических соединений на вращающемся дисковом электроде . . . . .	26
Ю. Н. Шейнкер, В. В. Кушкин и И. Я. Постовский. О таутомерии некоторых производных гетероциклических соединений. II. Инфракрасные и ультрафиолетовые спектры и строение 2-аминопроизводных тиазола . . . . .	27
А. Г. Натрадзе и К. Н. Новикова. Фазовое равновесие жидкость—пар в системе метанол—хлороформ при давлениях 600, 500, 400 мм рт. ст.	28
Л. Н. Антипин и Ю. Б. Холманских. О природе «вторых» потенциалов в расплавленных солях . . . . .	29
В. П. Морозов. Силы постоянные и коэффициенты влияния трехатомных нелинейных гидридов . . . . .	30
Г. В. Ткаченко, П. М. Хомиковский, А. Д. Абкин и С. С. Медведев. Кинетика совместной полимеризации хлористого винила с некоторыми ненасыщенными соединениями . . . . .	31
А. В. Киселев и Ю. А. Эльтеков. Абсолютные изотермы адсорбции паров нормального, изо- и циклопентанов на кварце и силикагелях . . . . .	32

## Методы и техника физико-химического исследования

- Г. Муттик. Вакуумные регистрирующие весы для исследования кинетики и равновесия в гетерогенных системах . . . . . 263

## Дискуссия

- А. Шилов. Об отношении идей Н. А. Шилова к современным представлениям о механизме гомогенного катализа . . . . . 266

## Хроника

- Б. Яцимирский. Анатолий Федорович Капустинский (К 50-летию со дня рождения) . . . . . 267

## CONTENTS

- I. Temkin. Kinetics of Reactions of the Surfaces on Solids and the Problem of the Catalyst of the Maximum Activity . . . . . 3
- I. Golubenkova, G. L. Slonimsky and V. A. Kargin. Investigation into the Process of Curing of Phenolformaldehyde . . . . . 27
- A. Shishakov. A Study on the Atomic-Molecular Structure of Some Oxides by the Radial Distribution Method . . . . . 33
- V. Storonkin and A. G. Morachevskii. On the Relation between Changes in Temperature, Pressure and the Composition of Binary Azeotropes . . . . . 42
- N. Flerov. On the Process of „Supersaturated“ Zincate Solutions . . . . . 49
- D. Tomashov and O. G. Deryagina. Surface Distribution of the Working Effectivity of a Cathode under Conditions of Corrosion with Oxidative Depolarization . . . . . 55
- A. Zubovich. Mixed Adsorption Catalysts III. The Activity of Mixed Metallic Catalysts on Alkaline Earth Metal Carbonates in the Decomposition of Hydrogen Peroxide . . . . . 61
- L. Rosenfel'd, I. K. Marshakov. „Crevice Corrosion“ of Iron in Solutions of Corrosion Inhibitors . . . . . 72
- P. Detkov. The Dynamic Method of Determining Metal Vapor Pressures . . . . . 83
- Ya. Turyaev, A. N. Bushin, R. K. Mikhailov and E. A. Sarycheva. The Rate of Catalyst Carbonization in the Denydrogenation of n-Butane . . . . . 93
- S. Tsiklis and A. N. Kofman. Phase Equilibria in the System Water — Acetaldehyde — Methanol . . . . . 100
- E. Bresler, T. V. Sheremet'eva, S. Ya. Frenkel' and M. G. Zhelevskaya. A Study of the Polymerization of p-tert-Butylphenylmethacrylate . . . . . 109
- S. Ksen'shek and V. V. Stender. Polarization of the Inner Surface of a Tube . . . . . 117
- D. Stepukhovich and B. I. Khaikin. Kinetics of the Multi-Centered Chain Retardation of Propane and Isobutane Decomposition at LPW Pressures . . . . . 128
- N. Vol'nov. The Reaction of Tin Chlorides, Bromides and Iodides with Some Aliphatic Alcohols . . . . . 133
- A. Balandin and S. L. Keperman. On the Kinetics of the Dehydrogenation of Alcohols . . . . . 139
- P. Skrylov. The Partition Function of a System of Varying Numbers of Particles JR of a Uniform External Field . . . . . 150
- M. Cherednichenko and M. I. Temkin. The Effect of Internal Diffusion of the Course of a Catalytic Reaction Retarded by the Reaction Product . . . . . 157
- T. Nechai. Concerning the Measurement of the Refractivity Index of Crystals . . . . . 165
- S. Batsanov and B. L. Pakhomov. New Quantitative Methods of Investigating the Hydrogen Bond. II. Molar Refractions . . . . . 170
- A. Klochikhin and P. G. Maslov. The Thermodynamic Calculations of the Burning Process of Hydrogen-Oxygen Mixtures . . . . . 181
- M. Pol'torak. On the Conception of the „Region of Migration“ in the Theory of Active Ensembles . . . . . 188
- A. Lopatkin, N. V. Strel'nikova, and V. P. Lebedev. The Magnetochemistry of Active Centers. IV. The Dependence of the Magnetic Susceptibility of Platinum Adsorption Catalysts on the Temperature of the Heat Treatment . . . . . 195

- I. Z. Fisher and B. V. Bokut'. The Surface Layer of a One-Dimensional Liquid . . . . . 2
- E. A. Aikasyan and Ya. V. Pleskov. The Electrochemical Oxidation and Reduction of Some Organic Compounds at the Rotating Disc Electrode . . . . . 2
- Yu. N. Sheinker, V. V. Kushkin and I. Ya. Postovskii. The Tautomerism of Some Heterocyclic Derivatives. II. The Infrared and Ultraviolet Spectra and the Structure of the 2-Amino Derivatives of Thiazole . . . . . 2
- A. G. Natrandze and K. N. Novikova. Liquid-Vapor Phase Equilibrium in the System Methanol-Chloroform at Pressures of 600, 500, 400 mm. Hg. . . . . 2
- L. N. Antipin and Ya. B. Kholmanskikh. On the Nature of the "Second" Potentials in Molten Salts. . . . . 2
- V. P. Morozov. The Force Constants and Action Coefficients of Non-Linear Triatomic Hydrides . . . . . 2
- G. V. Tkachenko, P. M. Khomikovskii, A. D. Abkin and S. S. Medvedev. The Kinetics of the Co-polymerization of Vinyl Chloride and Certain Unsaturated Compounds . . . . . 2
- A. V. Kiselev and Ya. A. El'tekov. The Absolute Adsorption Isotherms of Normal Iso- and Cyclo-Pentane Vapors on Quartz and Silica Gels . . . . . 2

### Experimental Methods and Techniques

- B. B. Muttik. A Recording Vacuum Balance for Studying the Kinetics and Equilibria of Heterogeneous Systems . . . . . 2

### Discussion

- E. A. Shilov. On the Relationship between N. A. Shilov's Theories and Modern Concepts on the Mechanism of Homogeneous Catalysis . . . . . 2

### News

- K. B. Yatsimirskii. Analotoliĭ Fedorovich Kapustinskiĭ (On the 50th Anniversary of His Birth) . . . . . 2



## ИЗВЕЩЕНИЕ

Редакция Журнала физической химии доводит до сведения авторов, что, ввиду большой перегрузки портфеля, Редакция не в состоянии обеспечить своевременную публикацию статей, объем которых превышает 15 страниц на машинке (через 2 интервала). В этот объем включаются также и рисунки, из расчета  $\frac{1}{8}$  страницы на рисунок.

Объем письма в Редакцию не должен превышать 4 страниц на машинке, причем в этом случае допускается не более трех рисунков.

Статьи большего объема Редакция вынуждена будет сокращать по согласованию с автором, что неизбежно приведет к затягиванию сроков публикации.

1957  
10



ОТКРЫТА ПОДПИСКА НА 1957 год

*на новый журнал*

**«ИЗВЕСТИЯ ВОСТОЧНЫХ ФИЛИАЛОВ АКАДЕМИИ  
НАУК СССР»**

В журнале будут печататься статьи, посвященные экспериментальным и теоретическим исследованиям по химическим, геологическим, биологическим, техническим и экономическим наукам, по вопросам координации научных работ и внедрения в производство практических предложений.

Наряду с этим журнал будет периодически помещать обзорные статьи по вопросам развития науки на востоке страны.

Журнал рассчитан на научных работников, преподавателей вузов, инженеров и руководителей предприятий.

Журнал будет печататься в Новосибирске.

Периодичность журнала — 12 номеров в год.

Подписная цена на год — 84 руб.

Цена отдельного номера — 7 руб.

Первый номер журнала выйдет в свет в марте 1957 года (до конца года будет выпущено 12 номеров).

Подписка принимается в городских отделах «Союзпечати», конторах, отделениях и агентствах связи.

Подписка также принимается в магазинах «Академкнига» и конторой «Академкнига» по адресу: Москва, ул. Куйбышева, 8.

*Издательство Академии наук СССР  
Контора «Академкнига»*